

APÉNDICE GRÁFICO

CORRELOGRAMAS¹

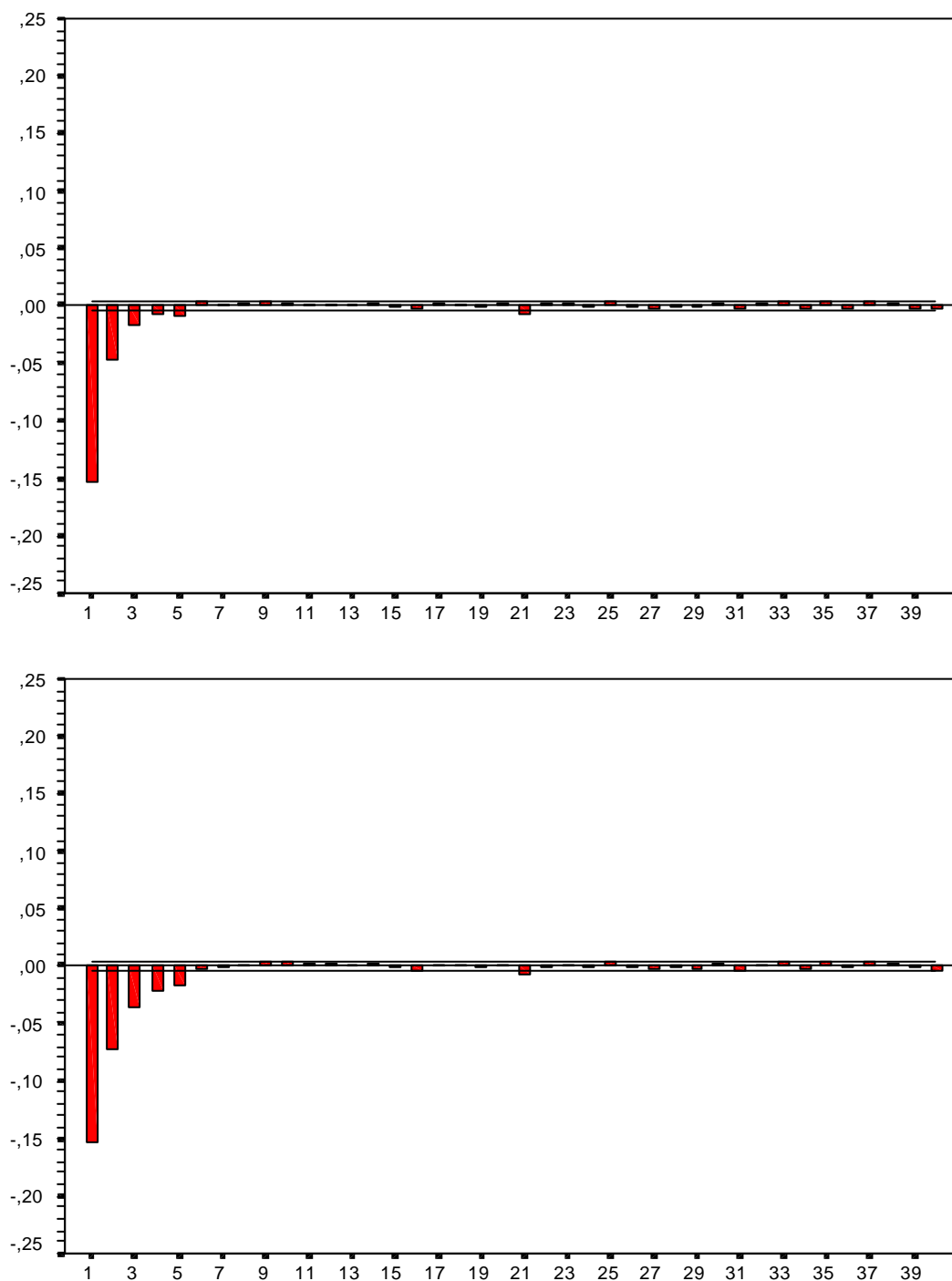


Figura A.1: Correlograma y correlograma parcial de $\Delta\text{Log}(\text{Bono marzo 98})$

[Operación a operación]

¹ Los correlogramas de este apéndice han sido elaborados con el programa SPSS v:7.5.

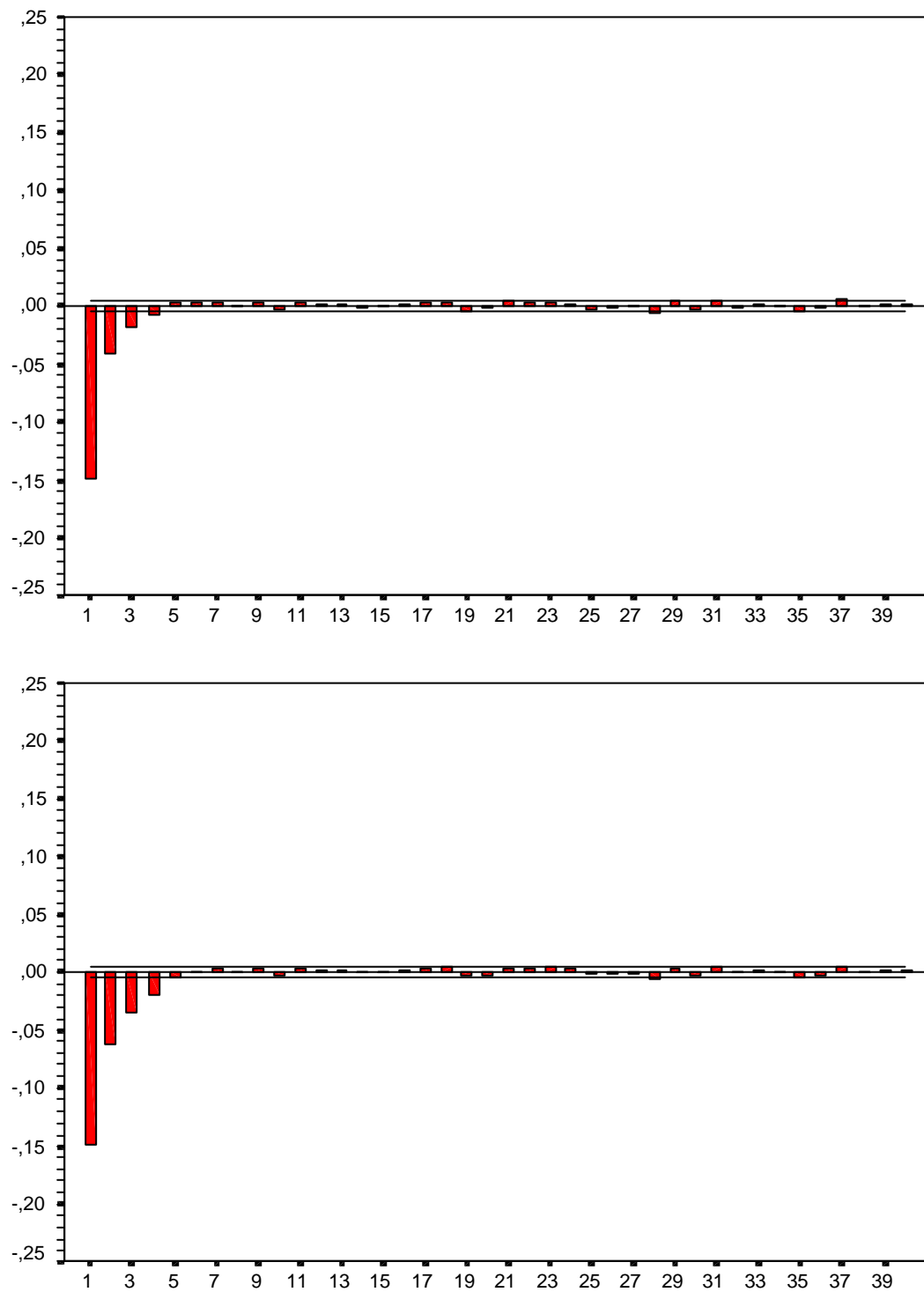


Figura A.2: Correlograma y correlograma parcial de $\Delta\text{Log}(\text{Bono junio 98})$

[Operación a operación]

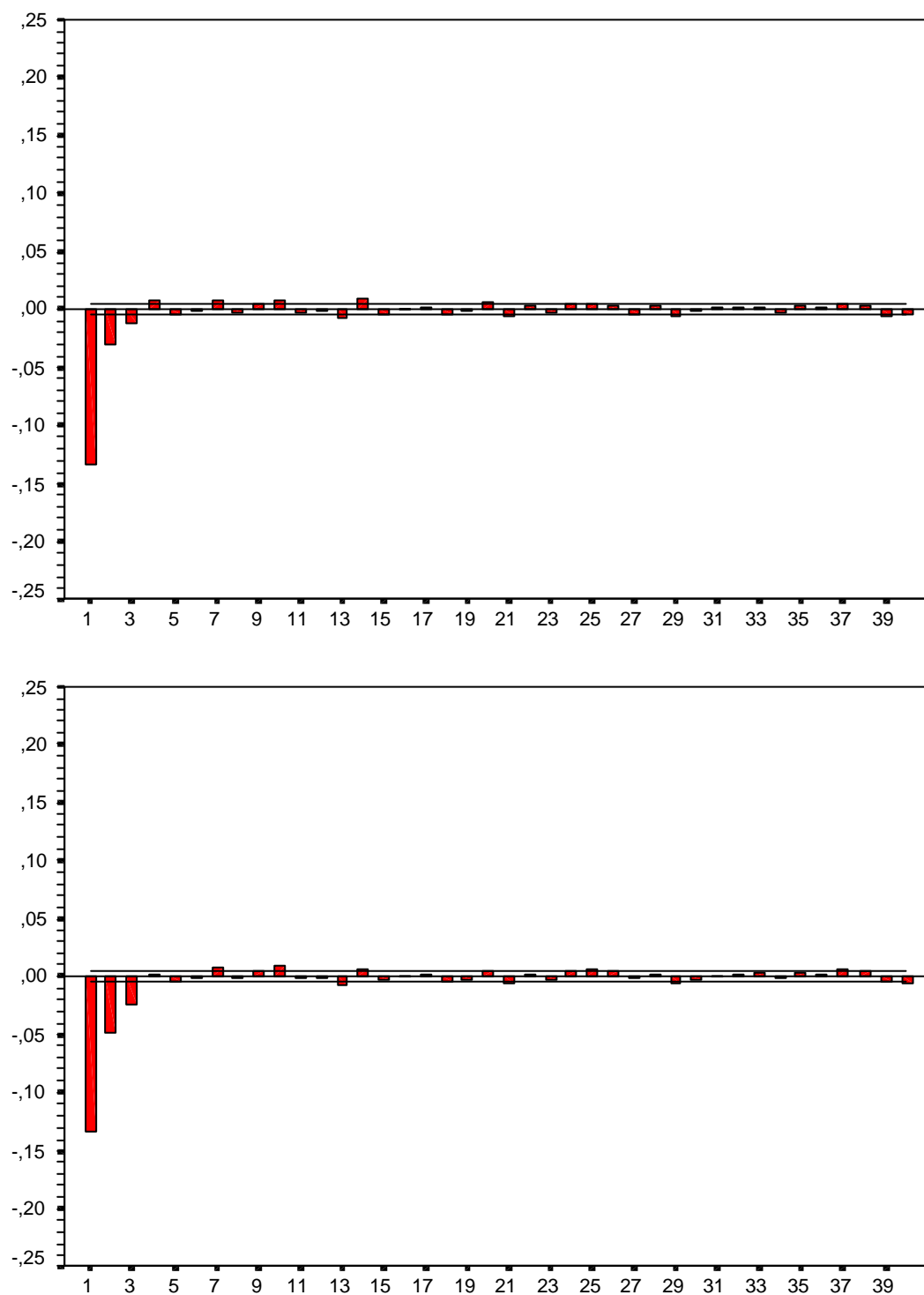


Figura A.3: Correlograma y correlograma parcial de $\Delta\text{Log}(\text{Bono septiembre 98})$

[Operación a operación]

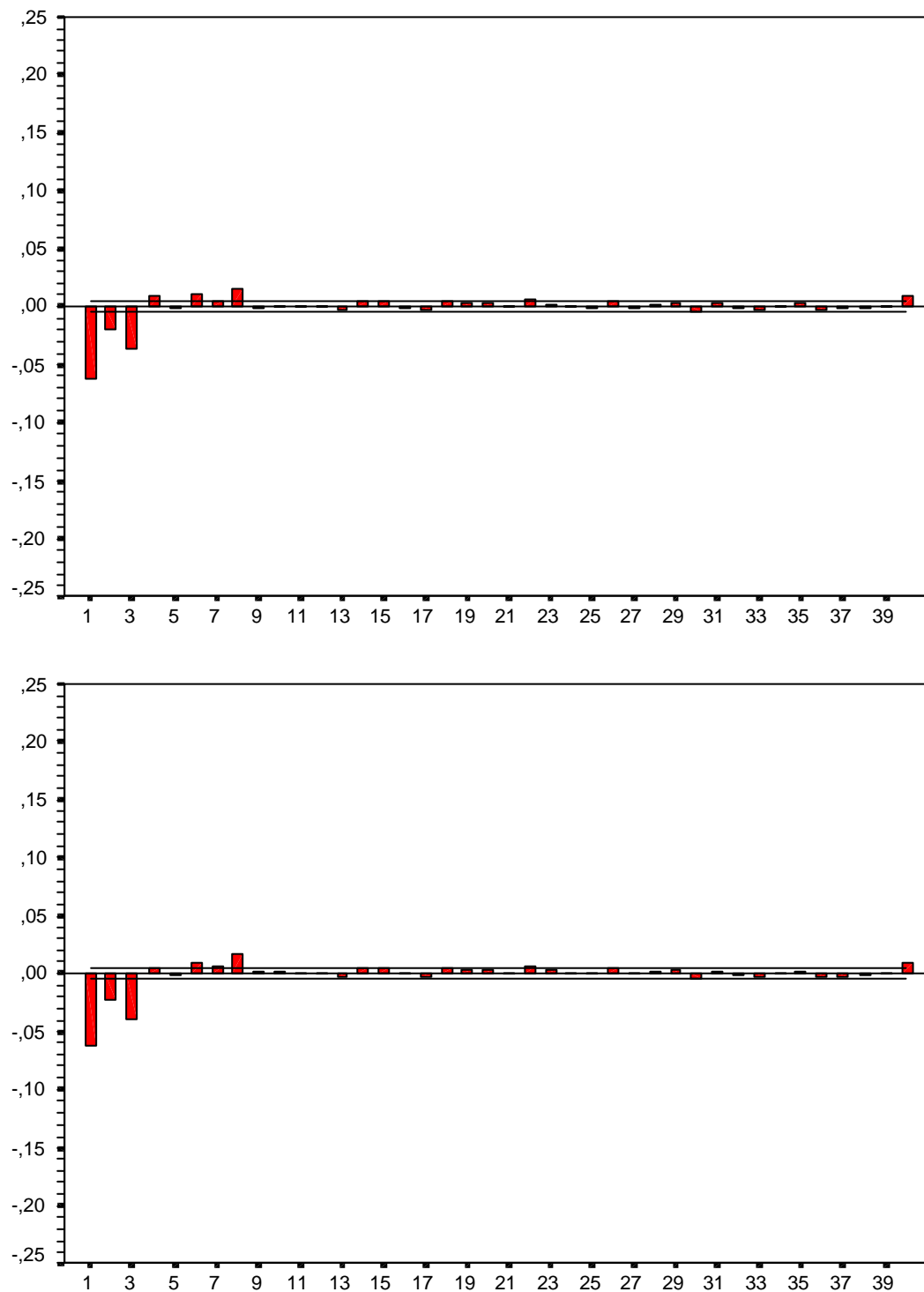


Figura A.4: Correlograma y correlograma parcial de $\Delta\text{Log}(\text{Bono diciembre 98})$

[Operación a operación]

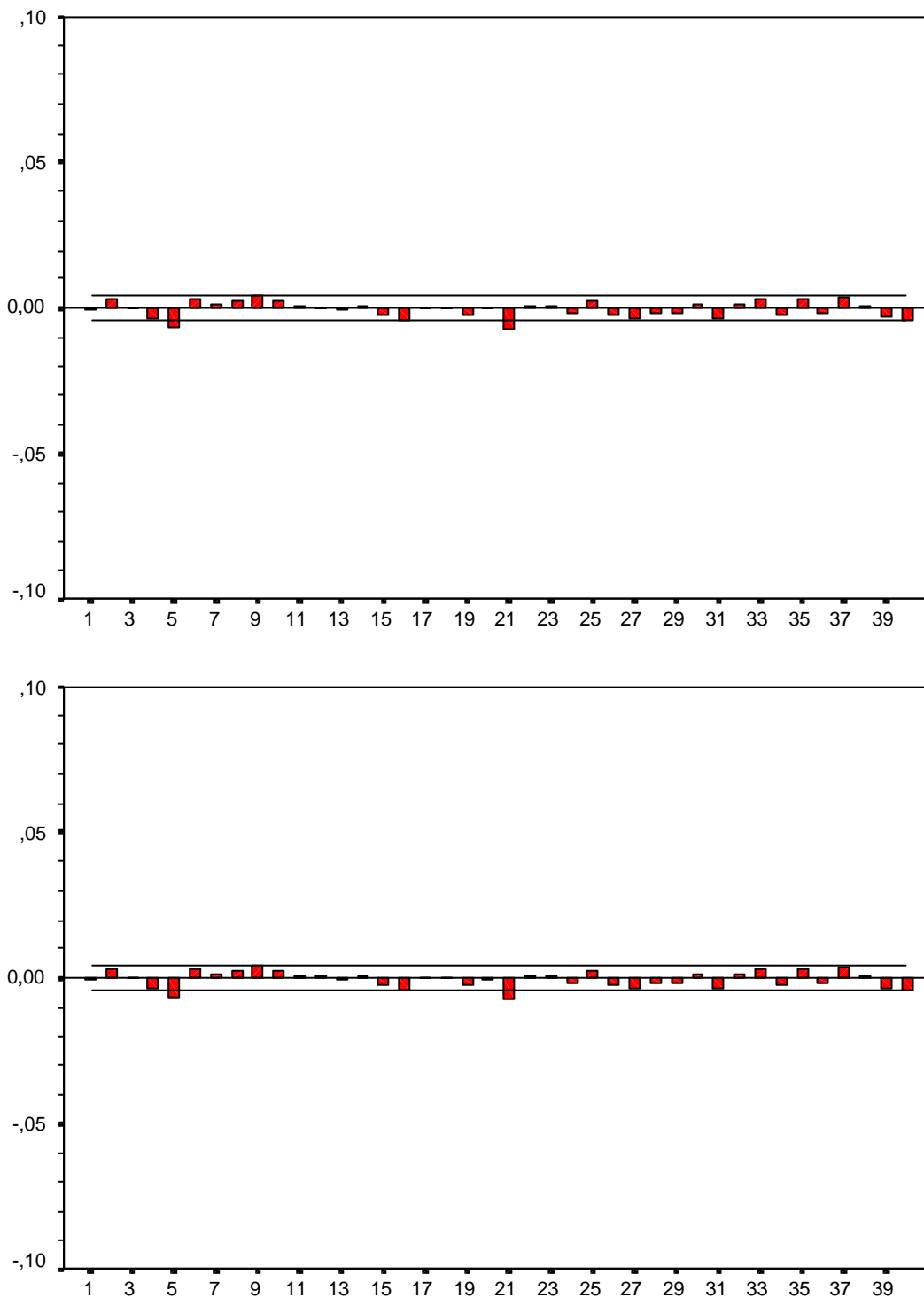


Figura A.5: Correlograma y correlograma parcial residuos modelo ARMA(1,1) sobre
diferencia de logaritmos del Futuro sobre el Bono marzo 98
[Operación a Operación]

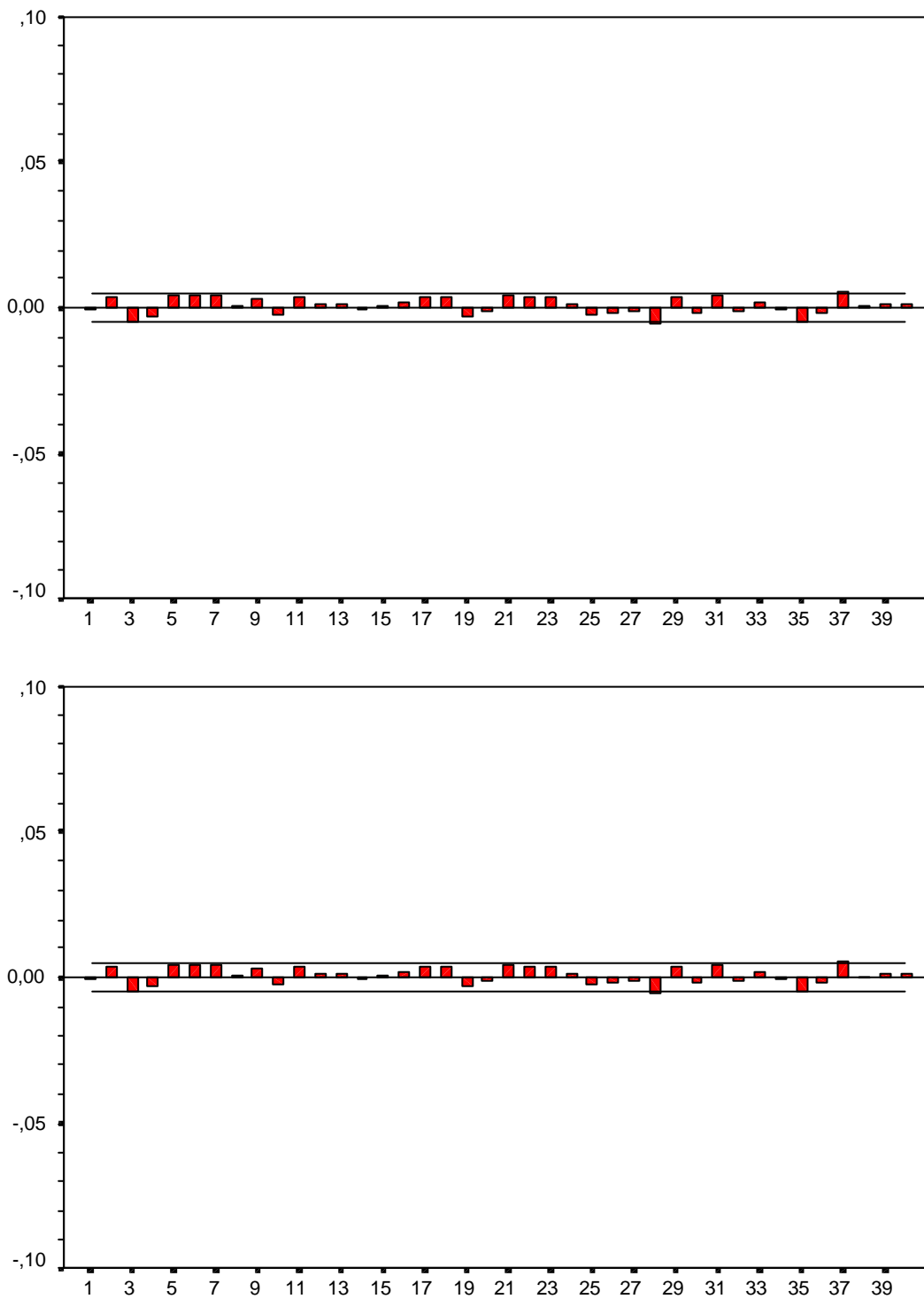


Figura A.6: Correlograma y correlograma parcial residuos modelo ARMA(1,1) sobre
diferencia de logaritmos del Futuro sobre el Bono junio 98
[Operación a Operación]

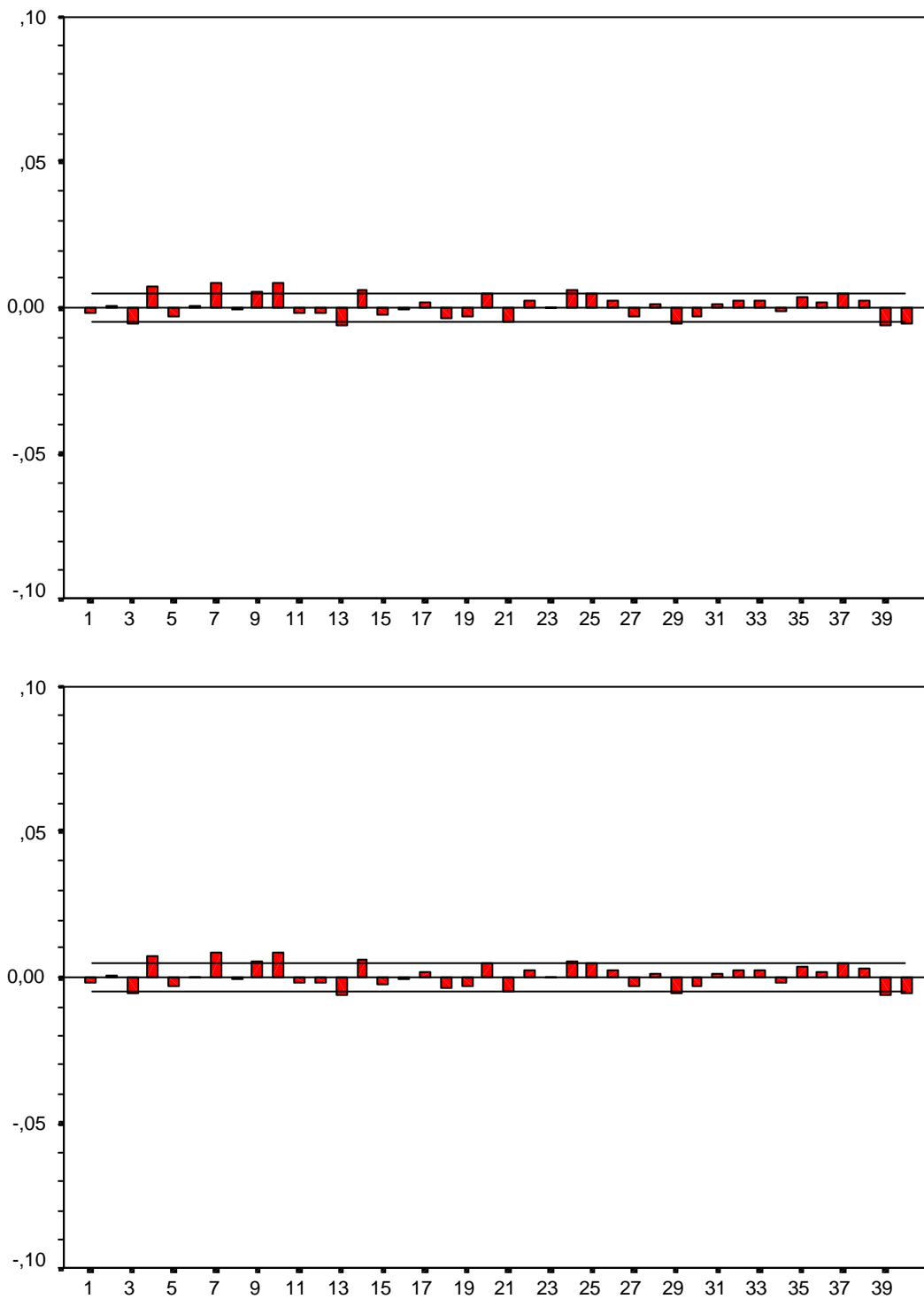


Figura A.7: Correlograma y correlograma parcial residuos modelo ARMA(1,1) sobre
diferencia de logaritmos del Futuro sobre el Bono septiembre 98
[Operación a Operación]

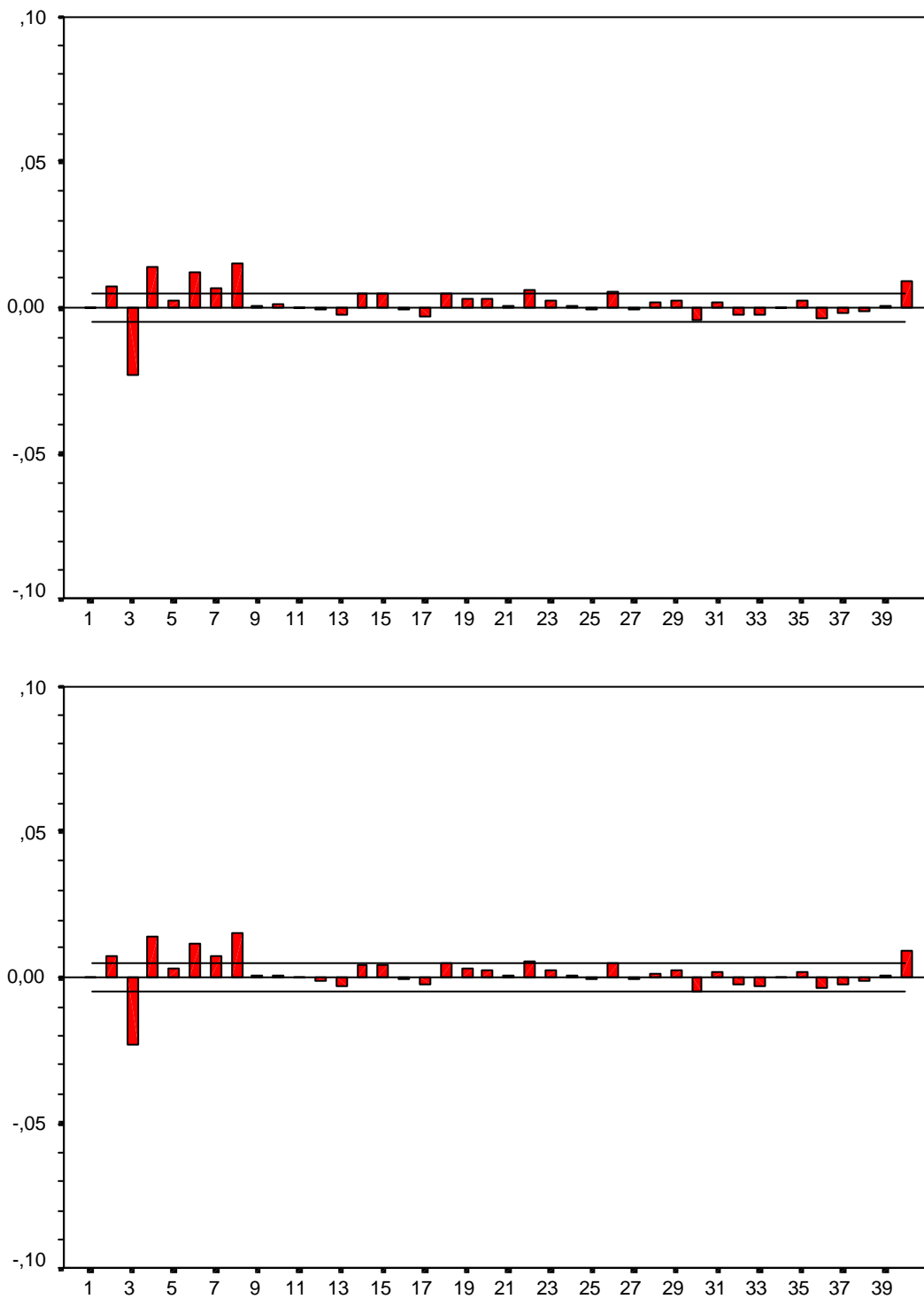


Figura A.8: Correlograma y correlograma parcial residuos modelo ARMA(1,1) sobre
diferencia de logaritmos del Futuro sobre el Bono diciembre 98

[Operación a Operación]

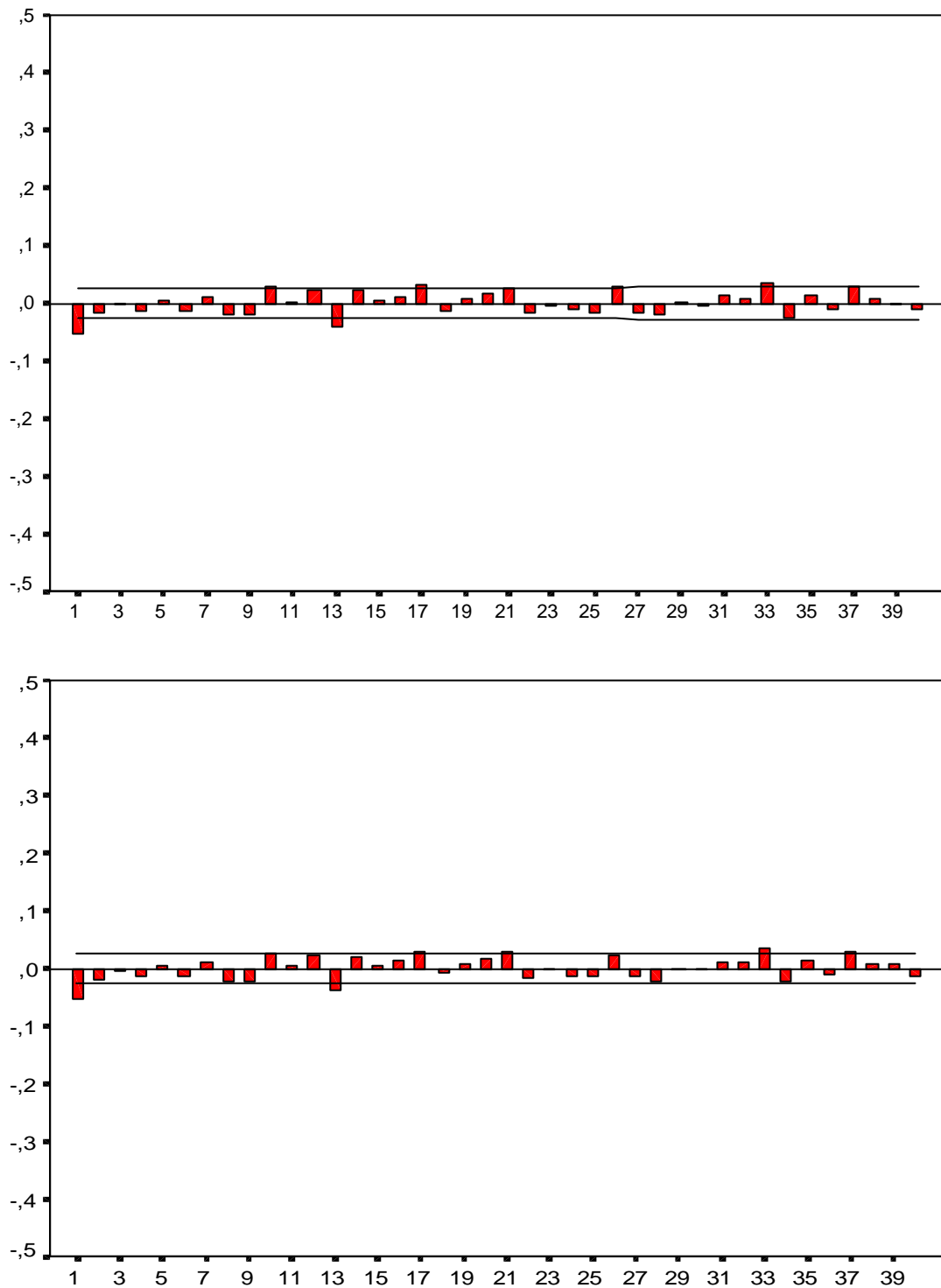


Figura A.9: Correlograma y correlograma parcial de $\Delta\text{Log}(\text{Bono marzo } 98)$

[cinco minutos]

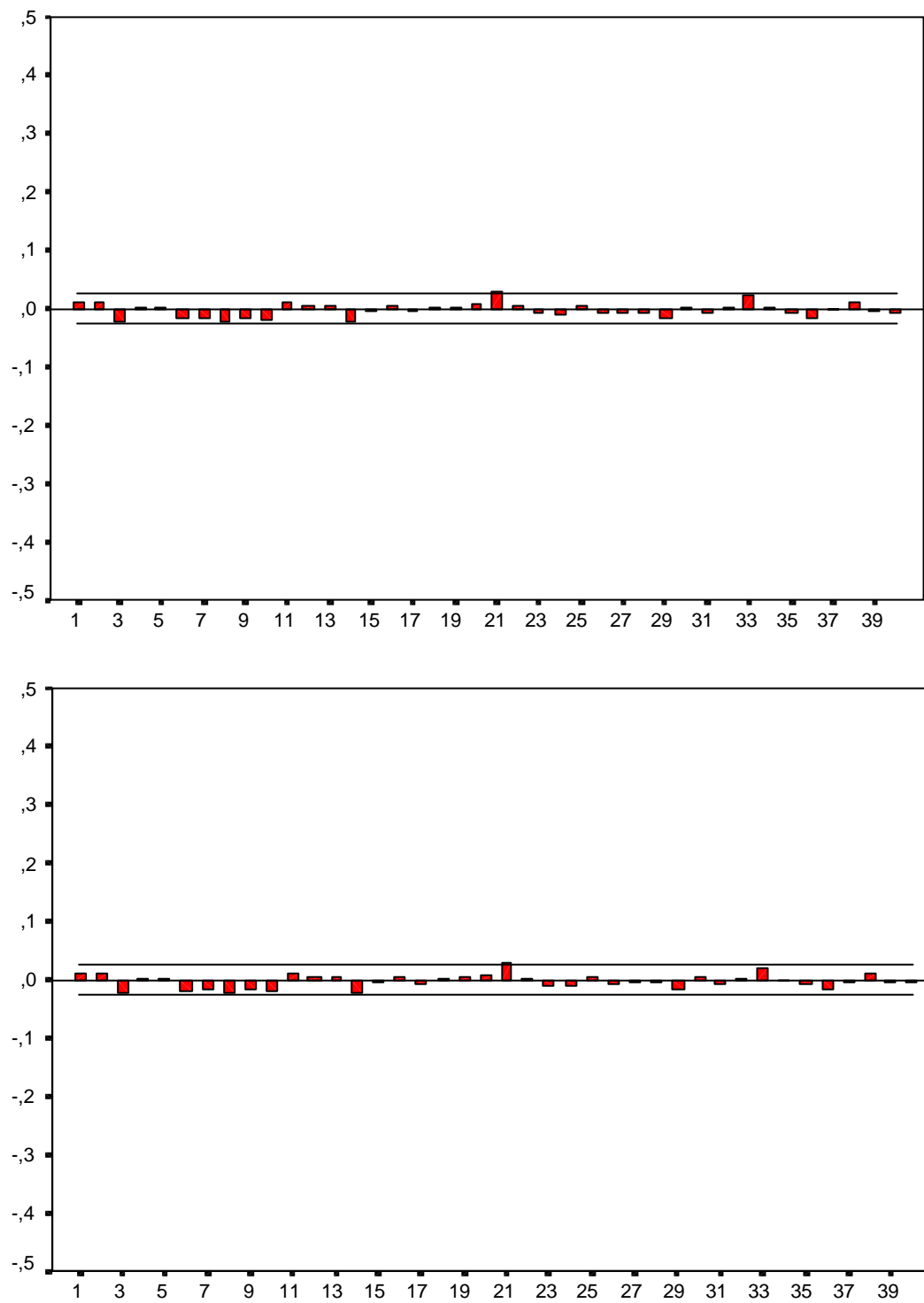


Figura A.10: Correlograma y correlograma parcial de $\Delta\text{Log}(\text{Bono junio 98})$

[cinco minutos]

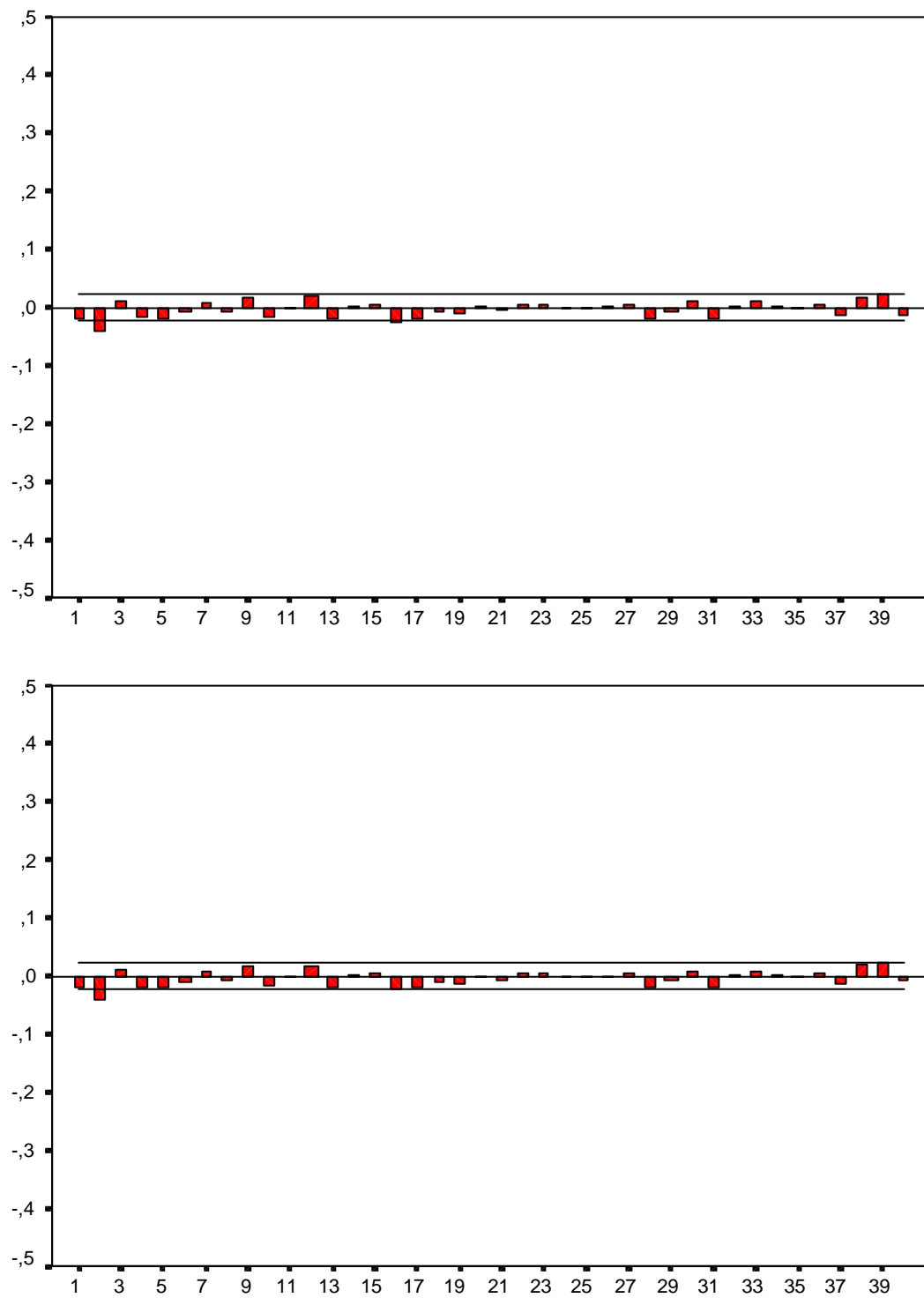


Figura A.11: Correlograma y correlograma parcial de $\Delta\text{Log}(\text{Bono septiembre 98})$

[cinco minutos]

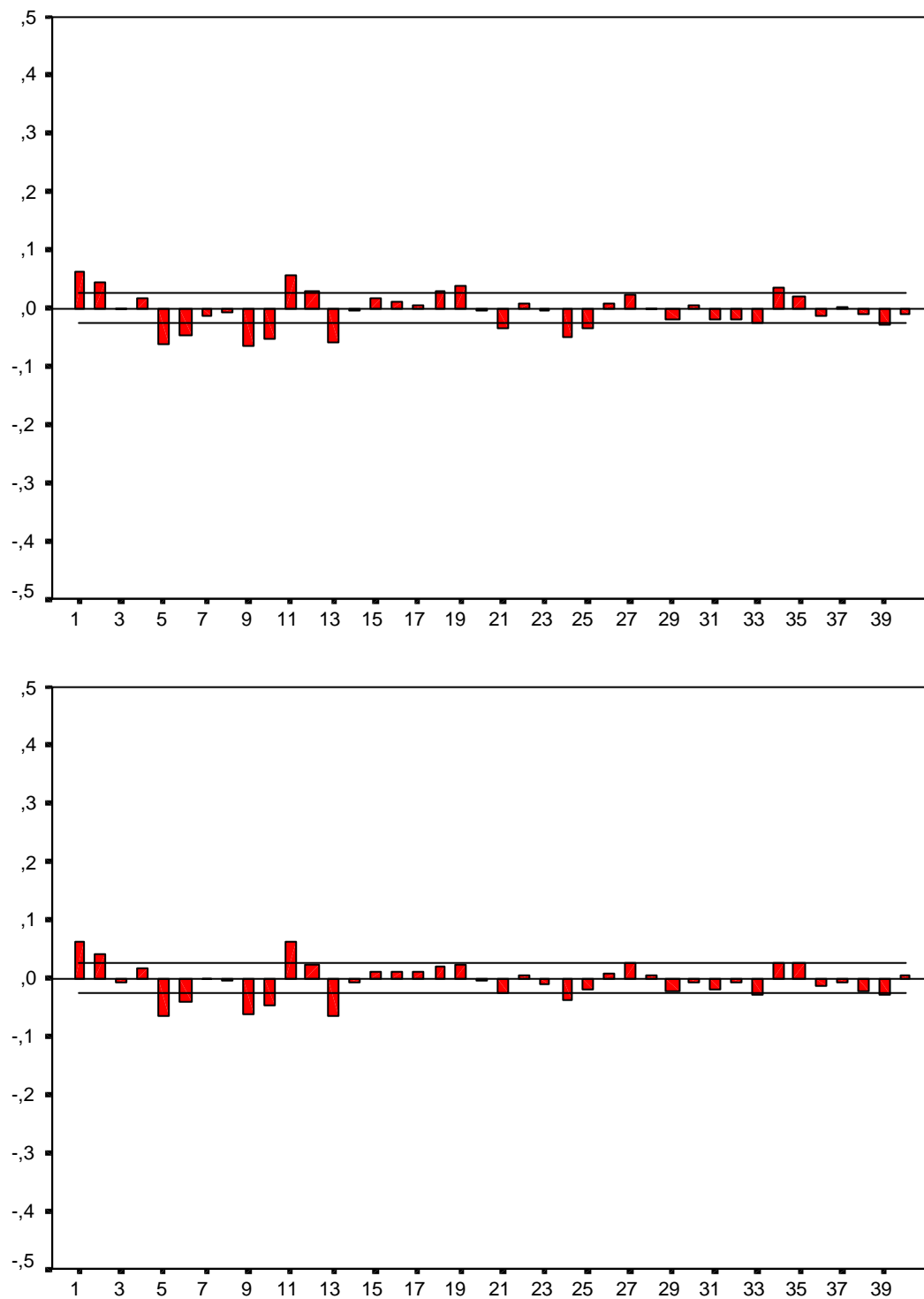


Figura A.12: Correlograma y correlograma parcial de $\Delta\text{Log}(\text{Bono diciembre 98})$

[cinco minutos]

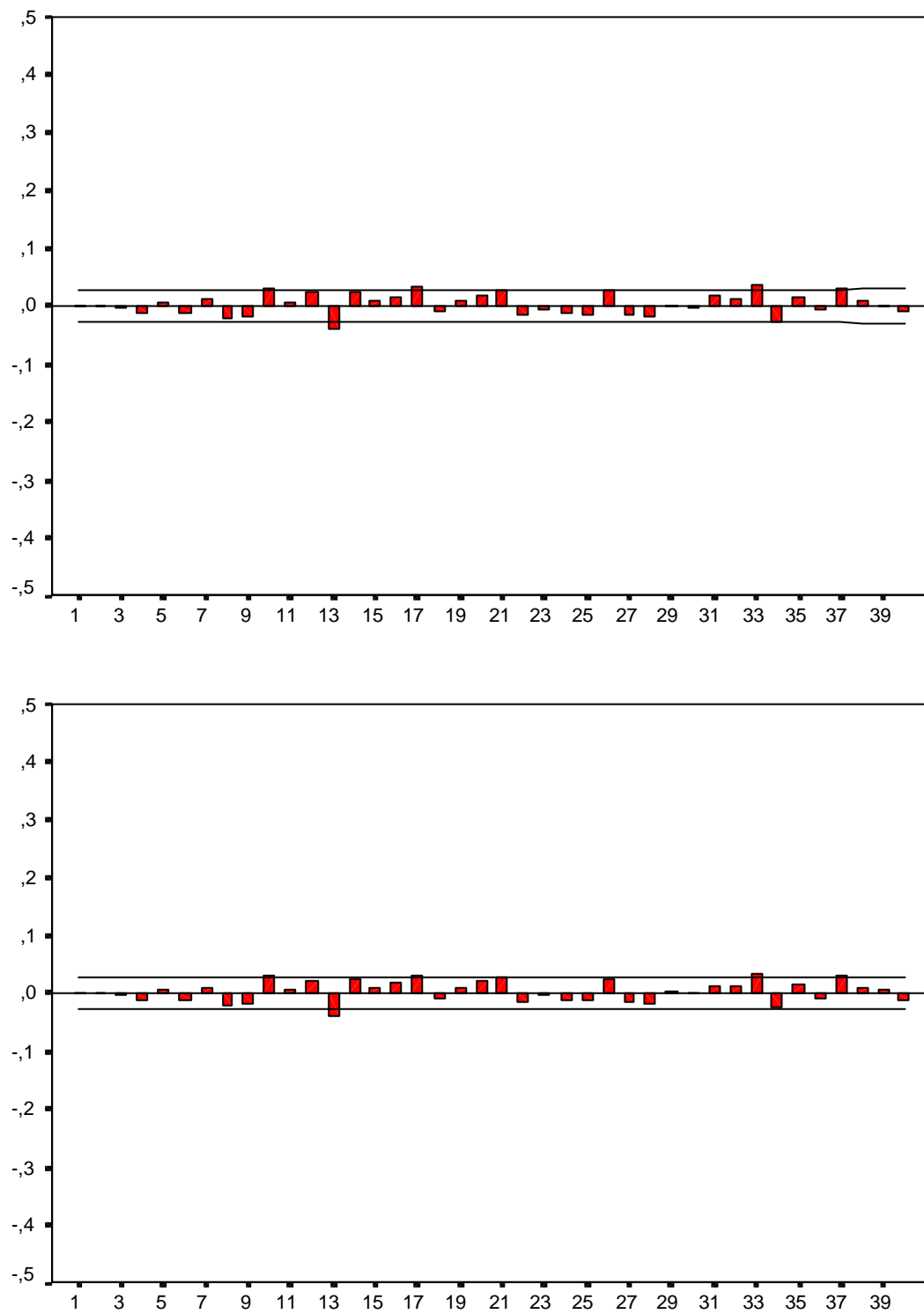


Figura A.13: Correlograma y correlograma parcial de residuos modelo ARMA(2,0)
sobre la diferencia de logaritmos del Bono marzo 98

[cinco minutos]

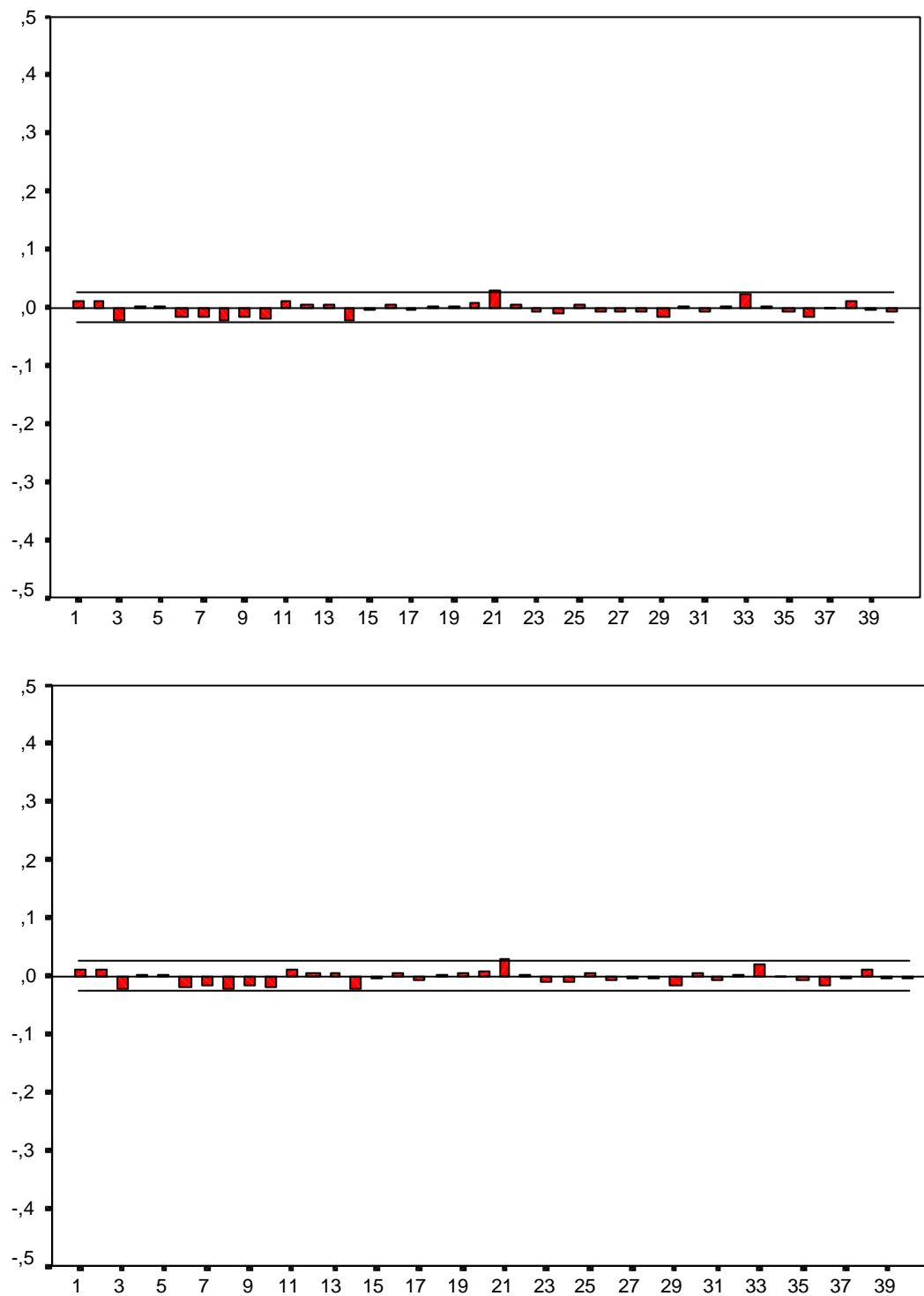


Figura A.14: Correlograma y correlograma parcial de residuos modelo ARMA(0,0)
sobre la diferencia de logaritmos del Bono junio 98
[cinco minutos]

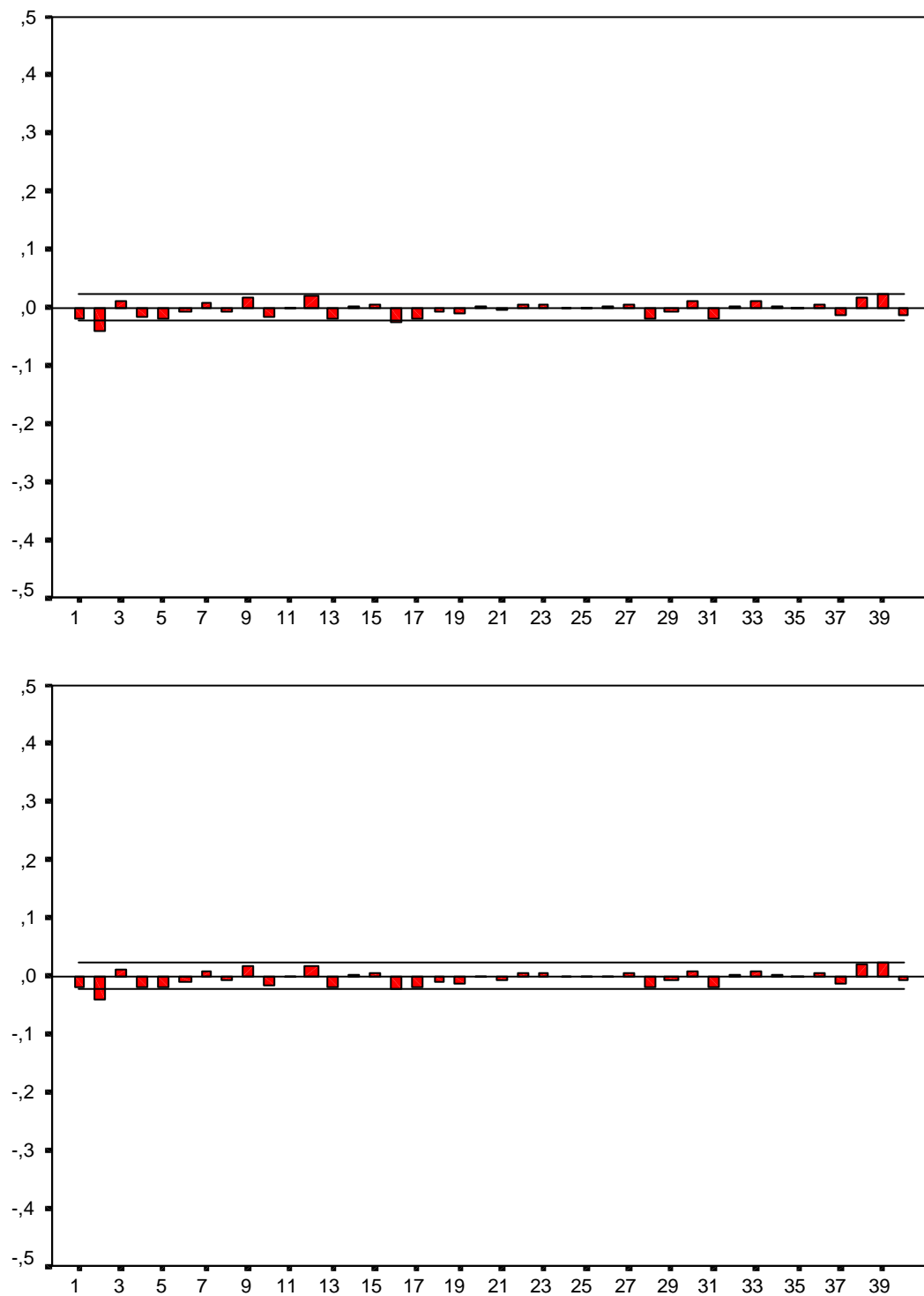


Figura A.15: Correlograma y correlograma parcial de residuos modelo ARMA(0,0)

sobre la diferencia de logaritmos del Bono septiembre 98

[cinco minutos]

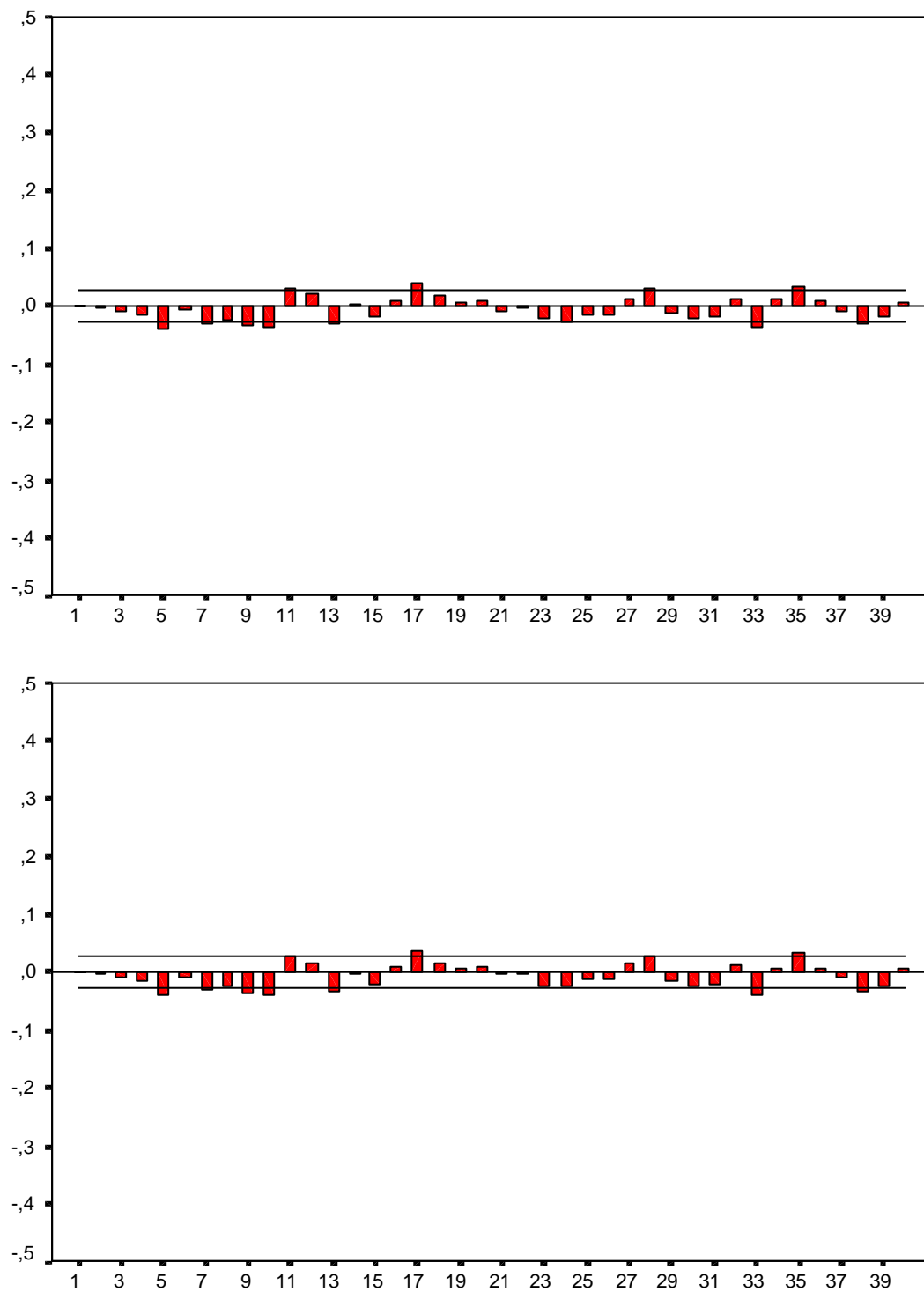


Figura A.16: Correlograma y correlograma parcial de residuos modelo ARMA(2,4)

sobre la diferencia de logaritmos del Bono diciembre 98

[cinco minutos]

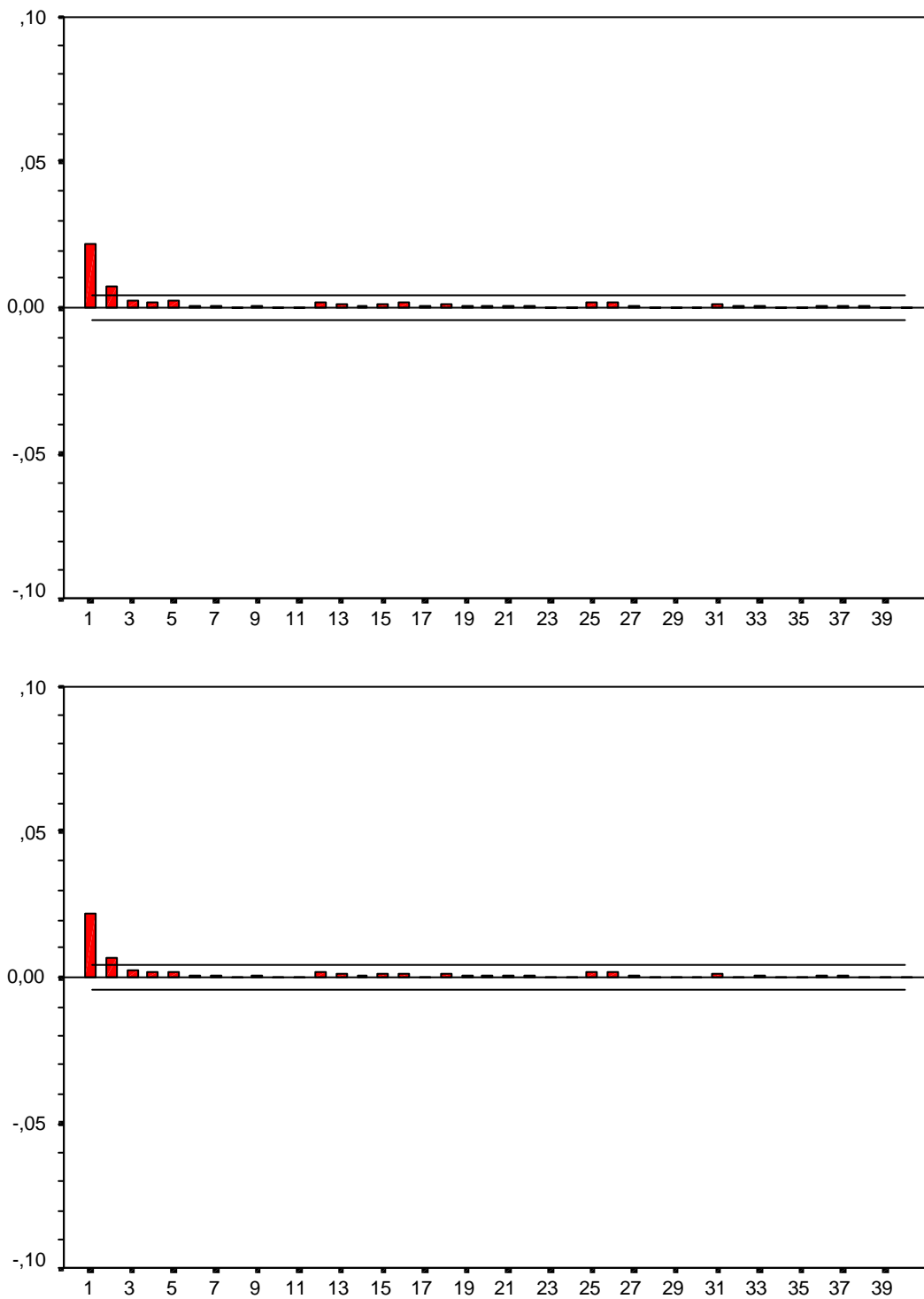


Figura A.17: Correlograma y correlograma parcial de residuos al cuadrado modelo

ARMA(1,1) sobre la diferencia de logaritmos del Bono marzo 98

[operación a operación]

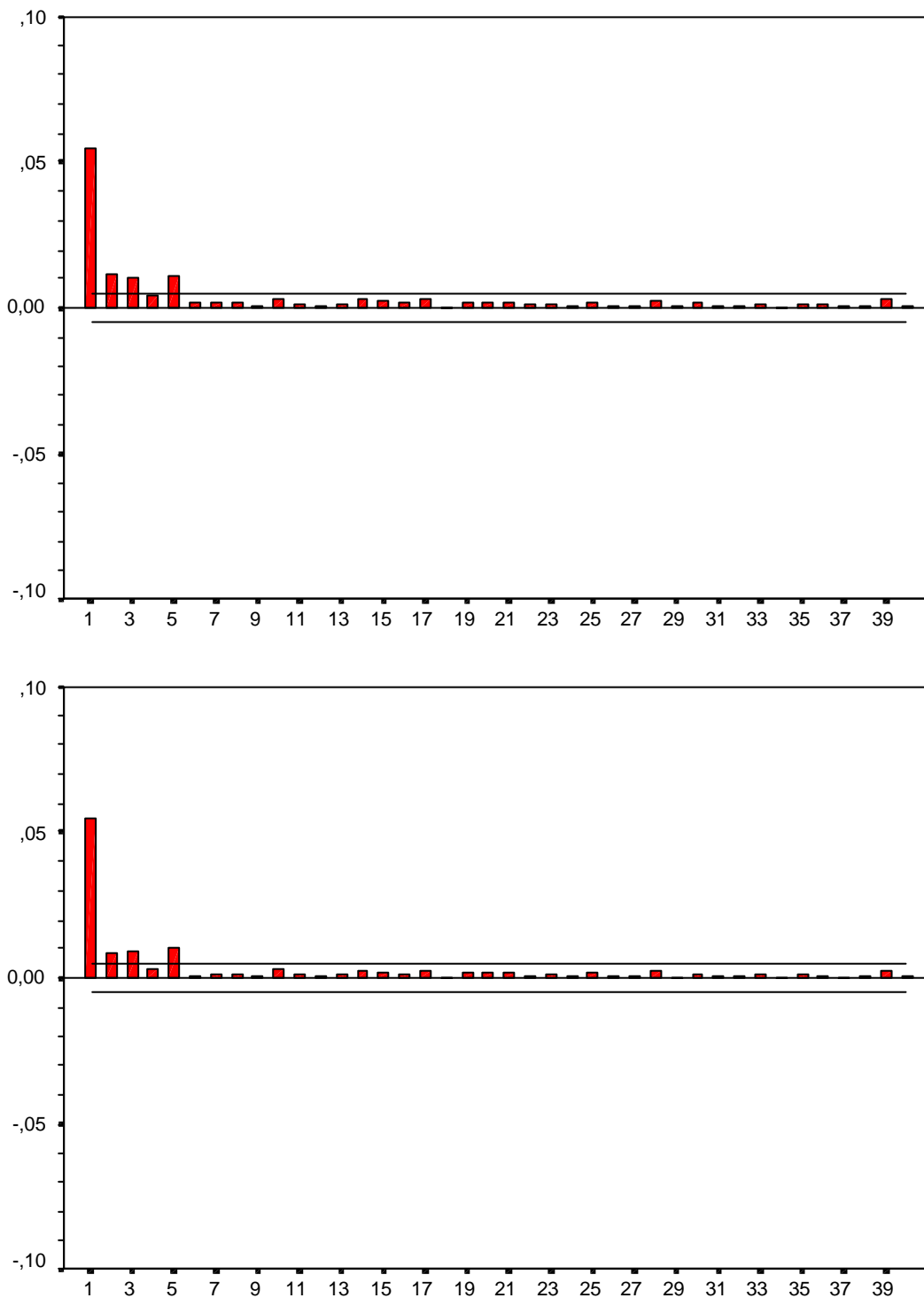


Figura A.18: Correlograma y correlograma parcial de residuos al cuadrado modelo

ARMA(1,1) sobre la diferencia de logaritmos del Bono junio 98

[operación a operación]

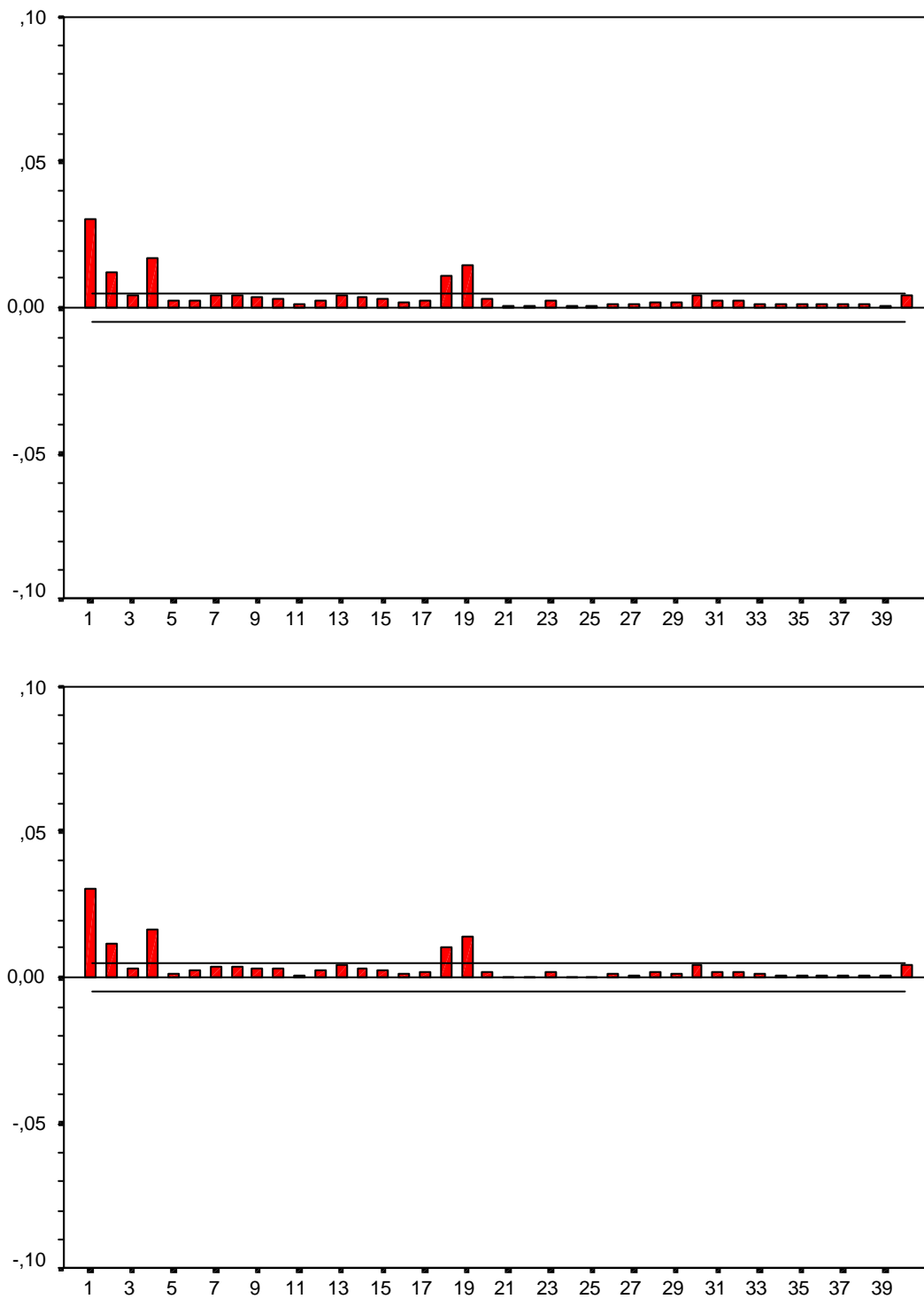


Figura A.19: Correlograma y correlograma parcial de residuos al cuadrado modelo

ARMA(1,1) sobre la diferencia de logaritmos del Bono septiembre 98

[operación a operación]

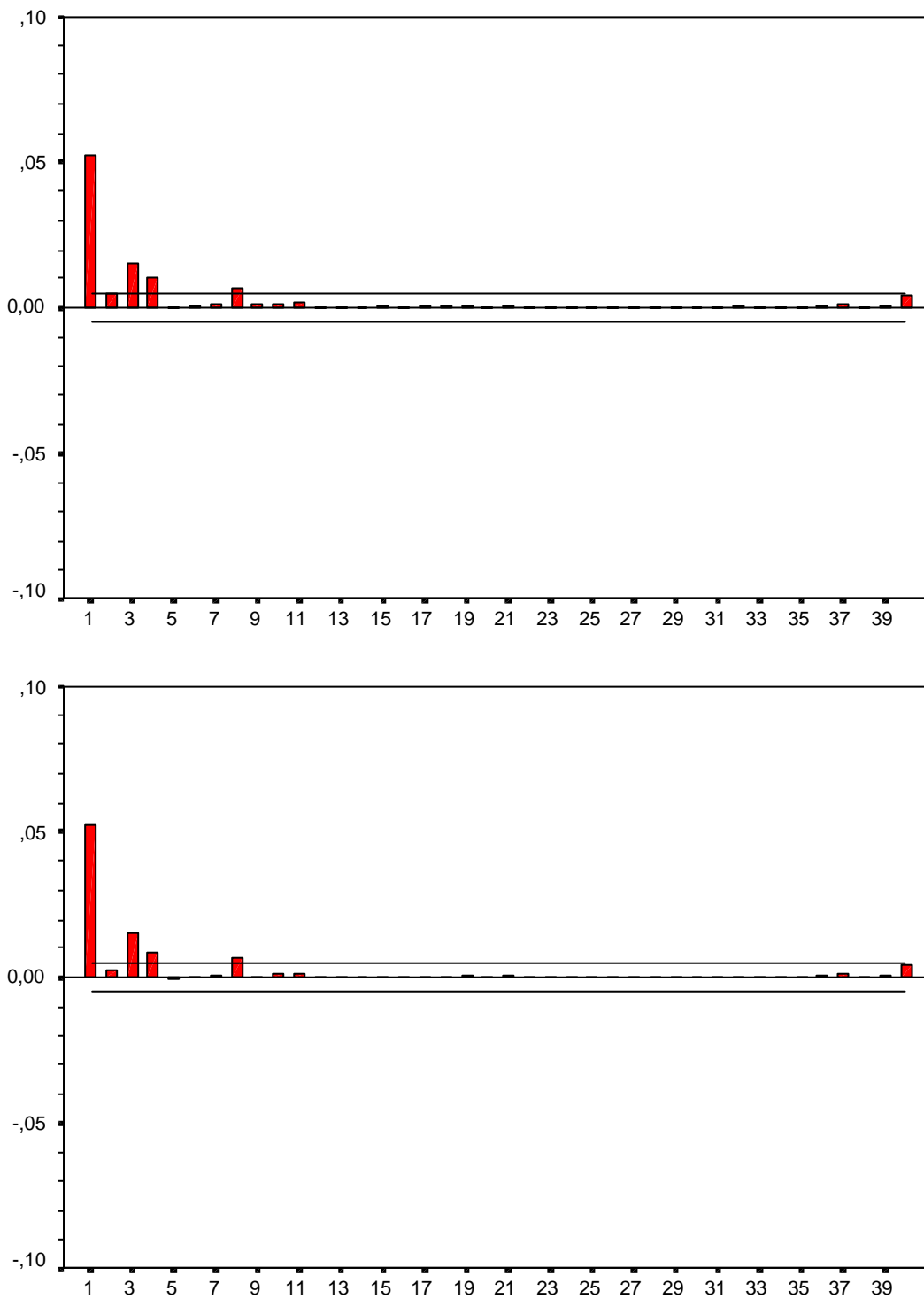


Figura A.20: Correlograma y correlograma parcial de residuos al cuadrado modelo

ARMA(1,1) sobre la diferencia de logaritmos del Bono diciembre 98

[operación a operación]

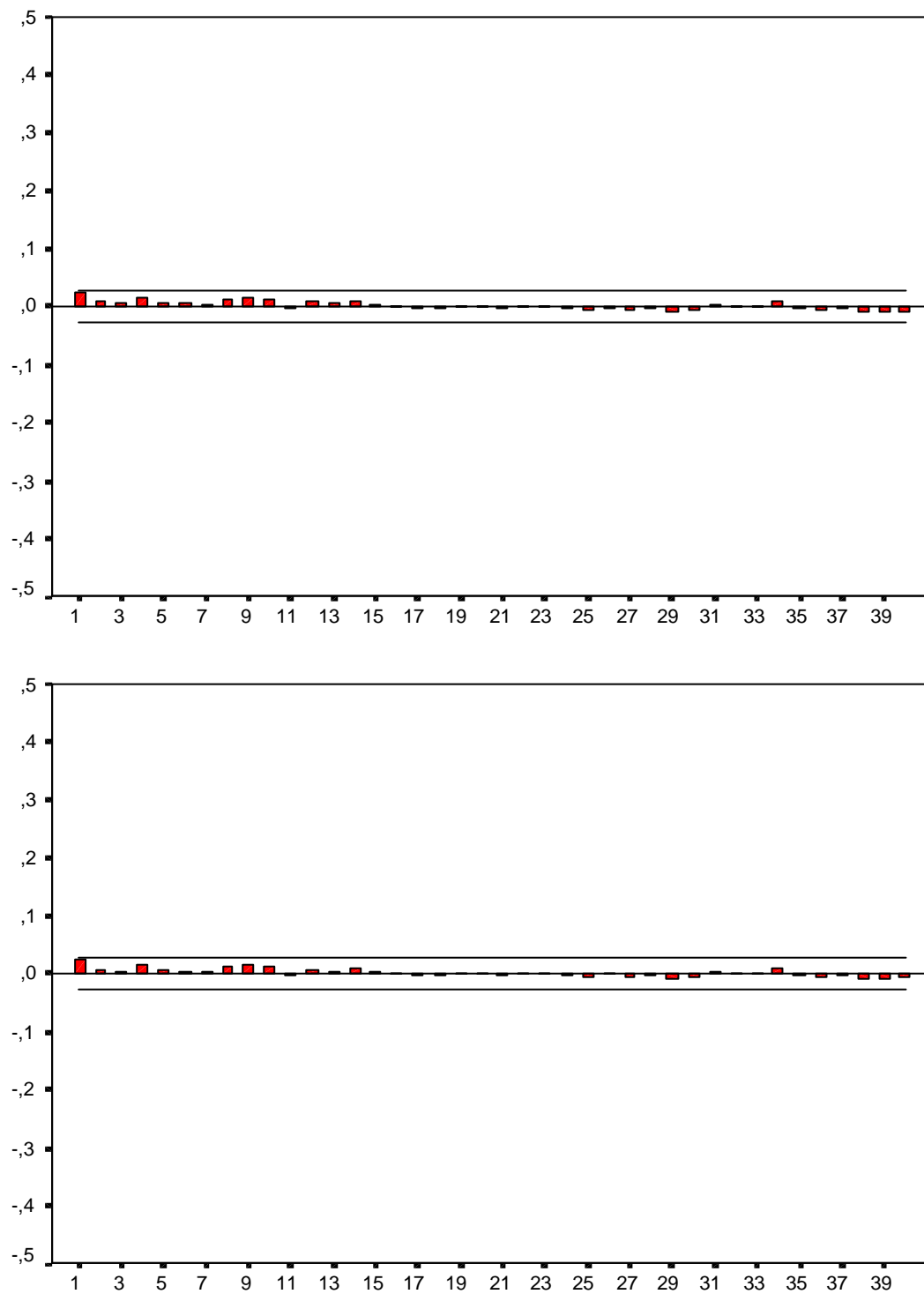


Figura A.21: Correlograma y correlograma parcial de residuos al cuadrado modelo

ARMA(2,0) sobre la diferencia de logaritmos del Bono marzo 98

[cinco minutos]

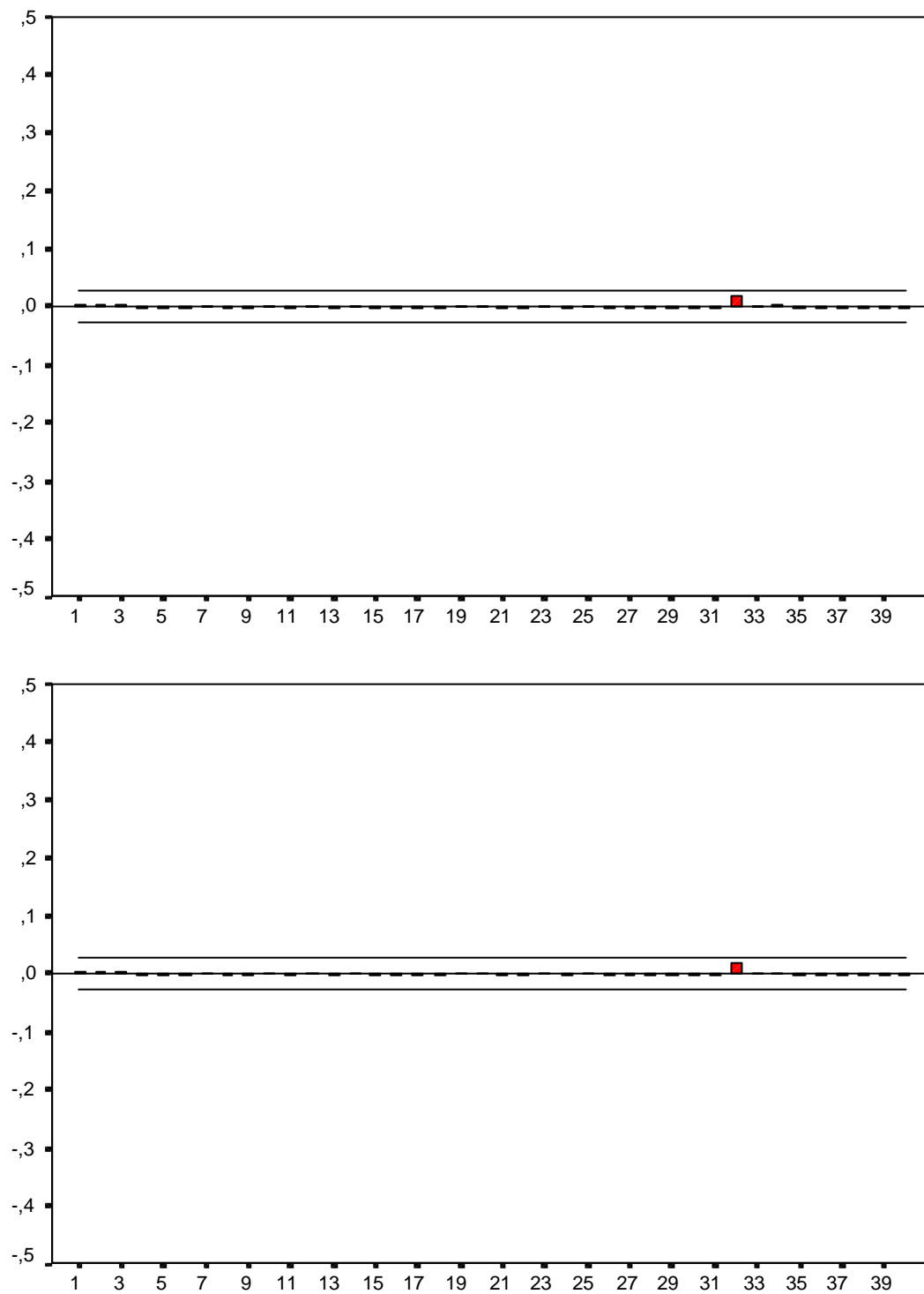


Figura A.22: Correlograma y correlograma parcial de residuos al cuadrado modelo

ARMA(0,0) sobre la diferencia de logaritmos del Bono junio 98

[cinco minutos]

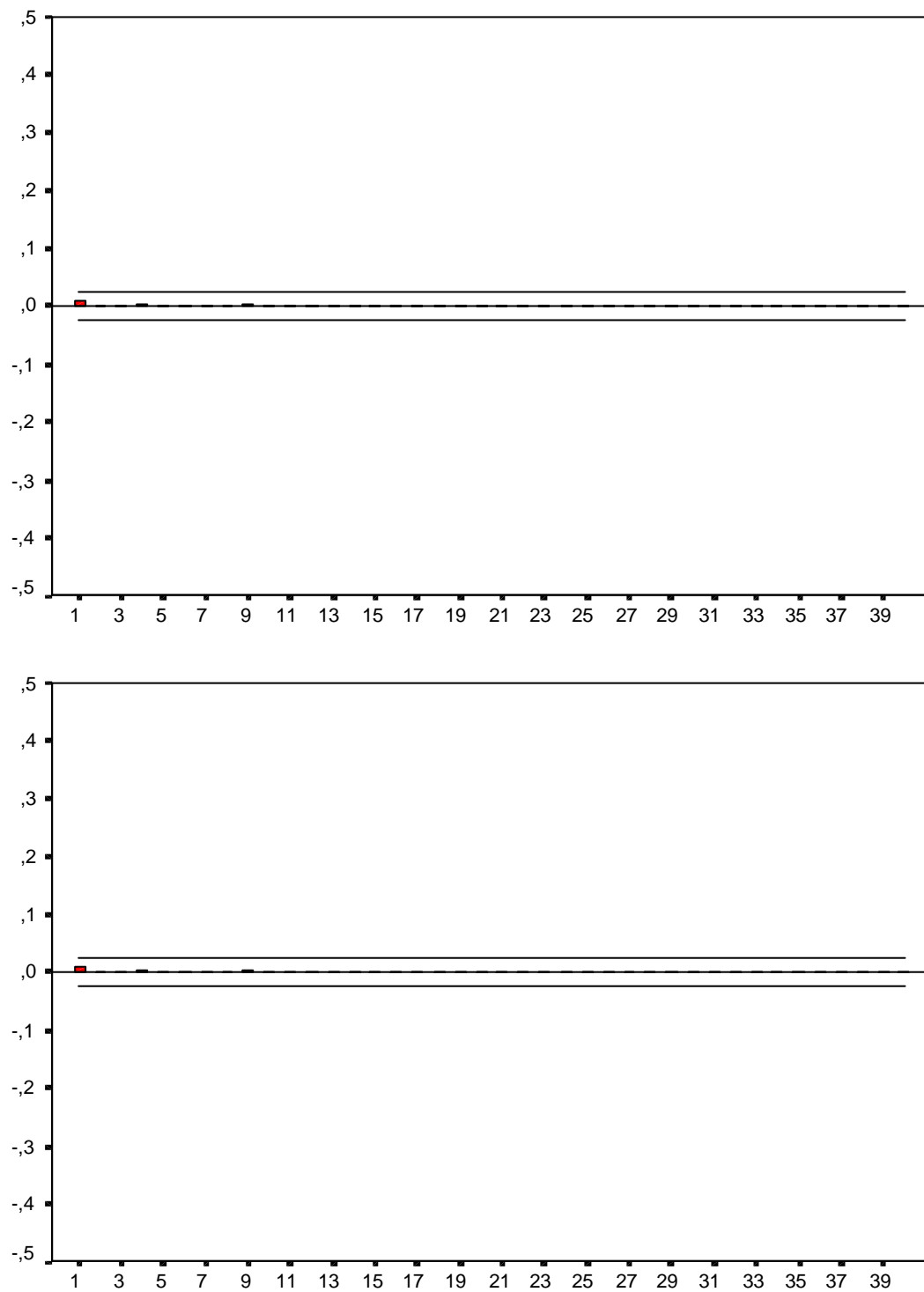


Figura A.23: Correlograma y correlograma parcial de residuos al cuadrado modelo

ARMA(0,0) sobre la diferencia de logaritmos del Bono septiembre 98

[cinco minutos]

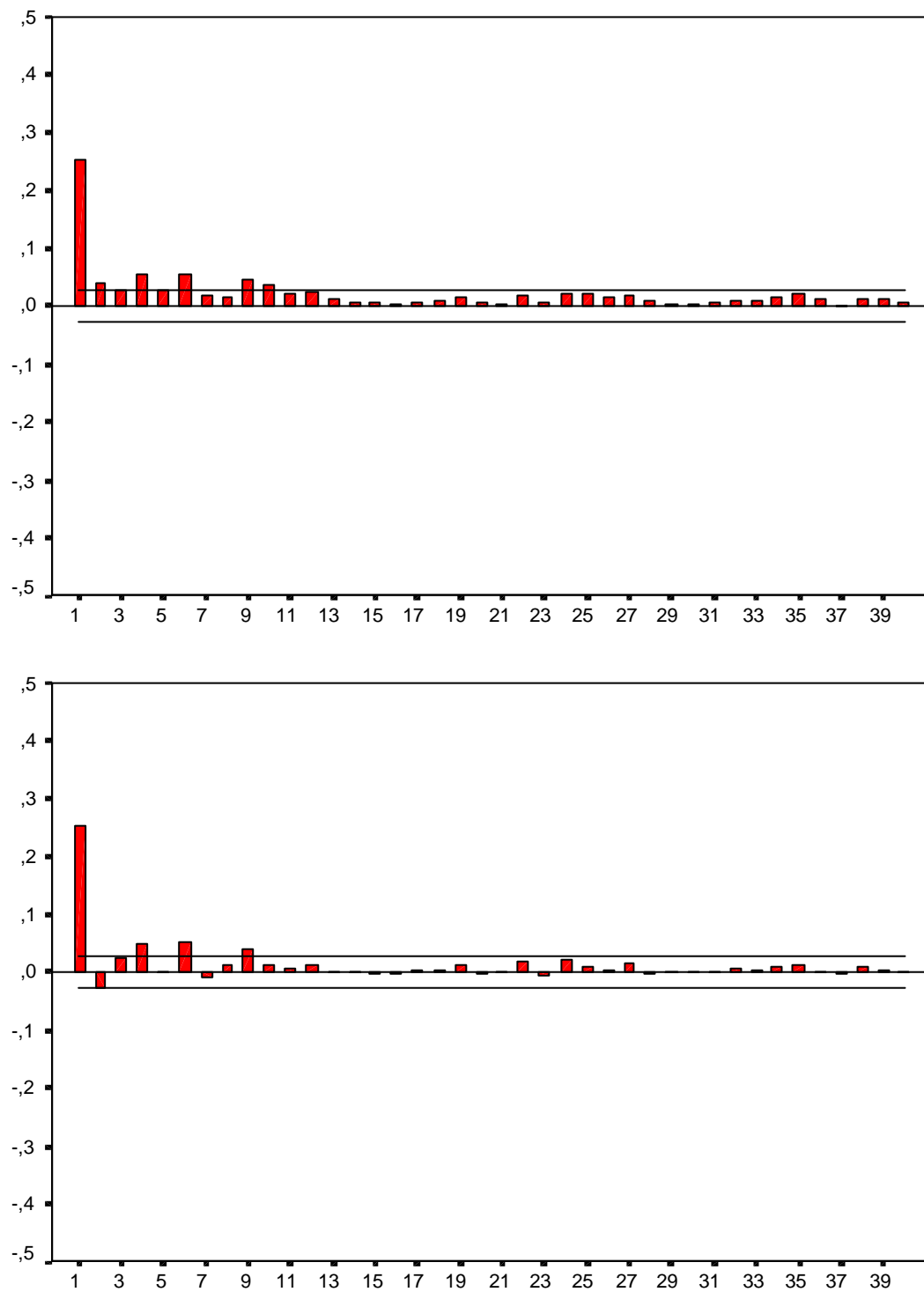


Figura A.24: Correlograma y correlograma parcial de residuos al cuadrado modelo

ARMA(2,4) sobre la diferencia de logaritmos del Bono diciembre 98

[cinco minutos]

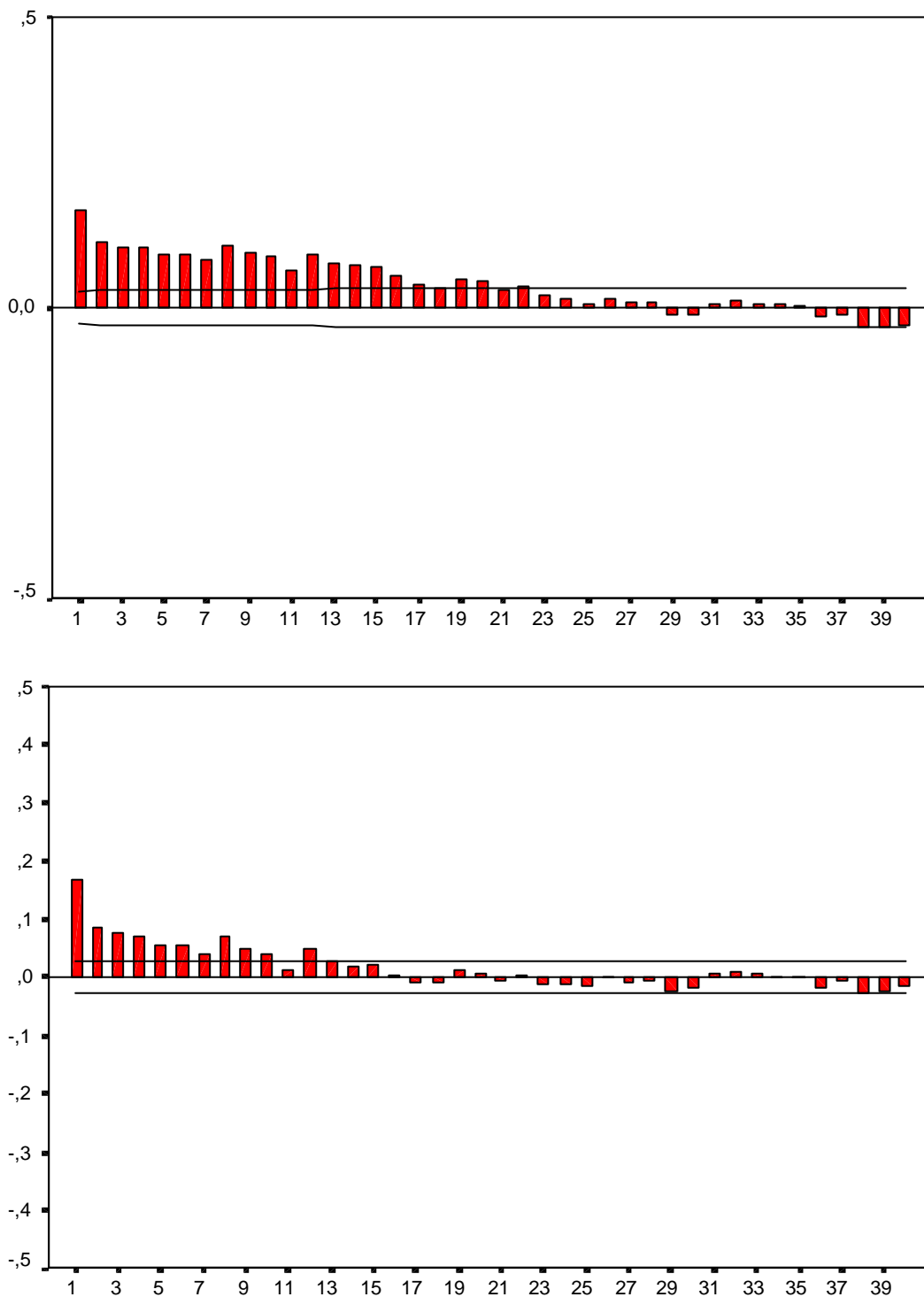


Figura A.25: Correlograma y correlograma parcial de valores absolutos residuos modelo

ARMA(2,0) sobre la diferencia de logaritmos del Bono marzo 98

[cinco minutos]

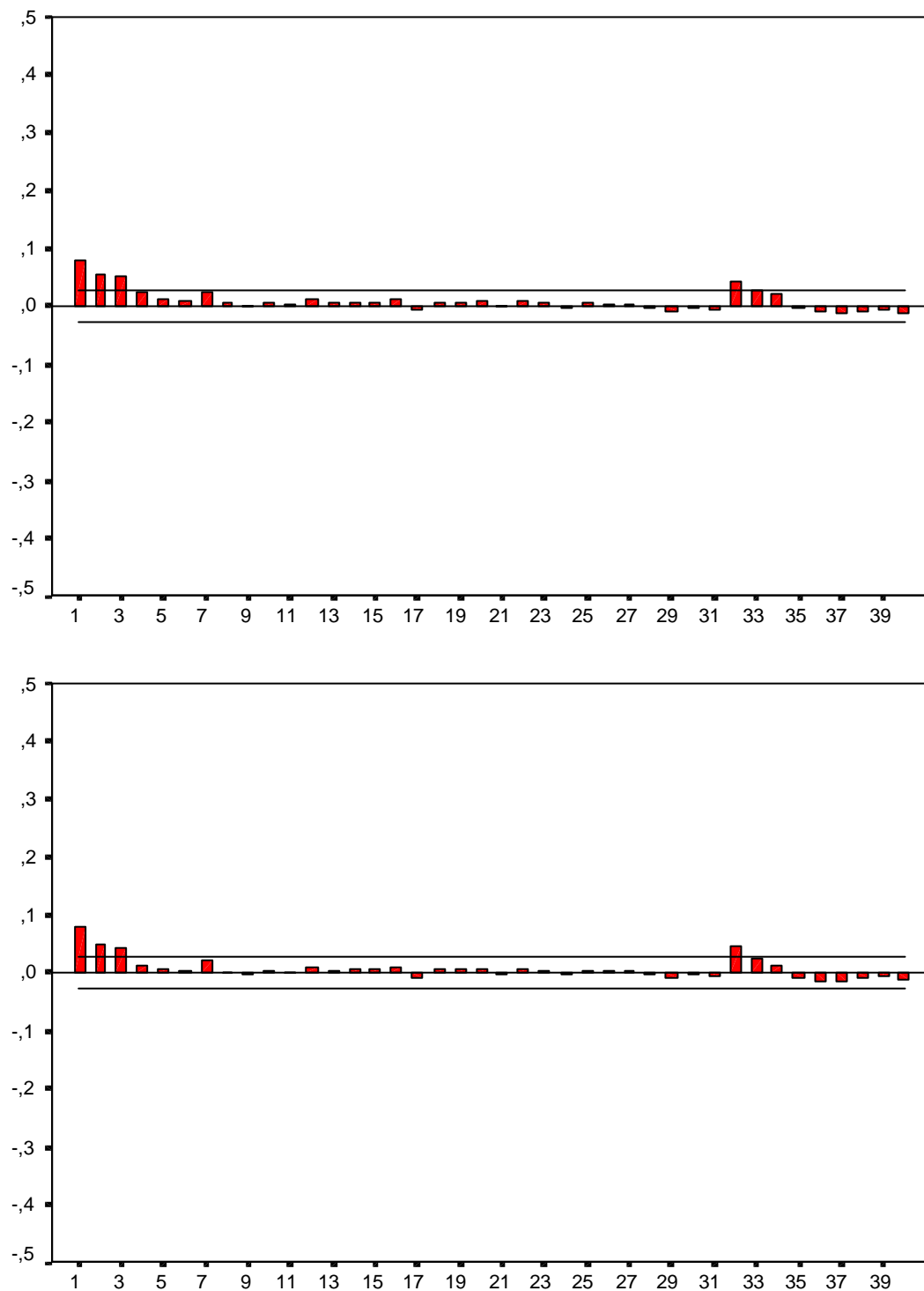


Figura A.26: Correlograma y correlograma parcial de valores absolutos residuos modelo

ARMA(0,0) sobre la diferencia de logaritmos del Bono junio 98

[cinco minutos]

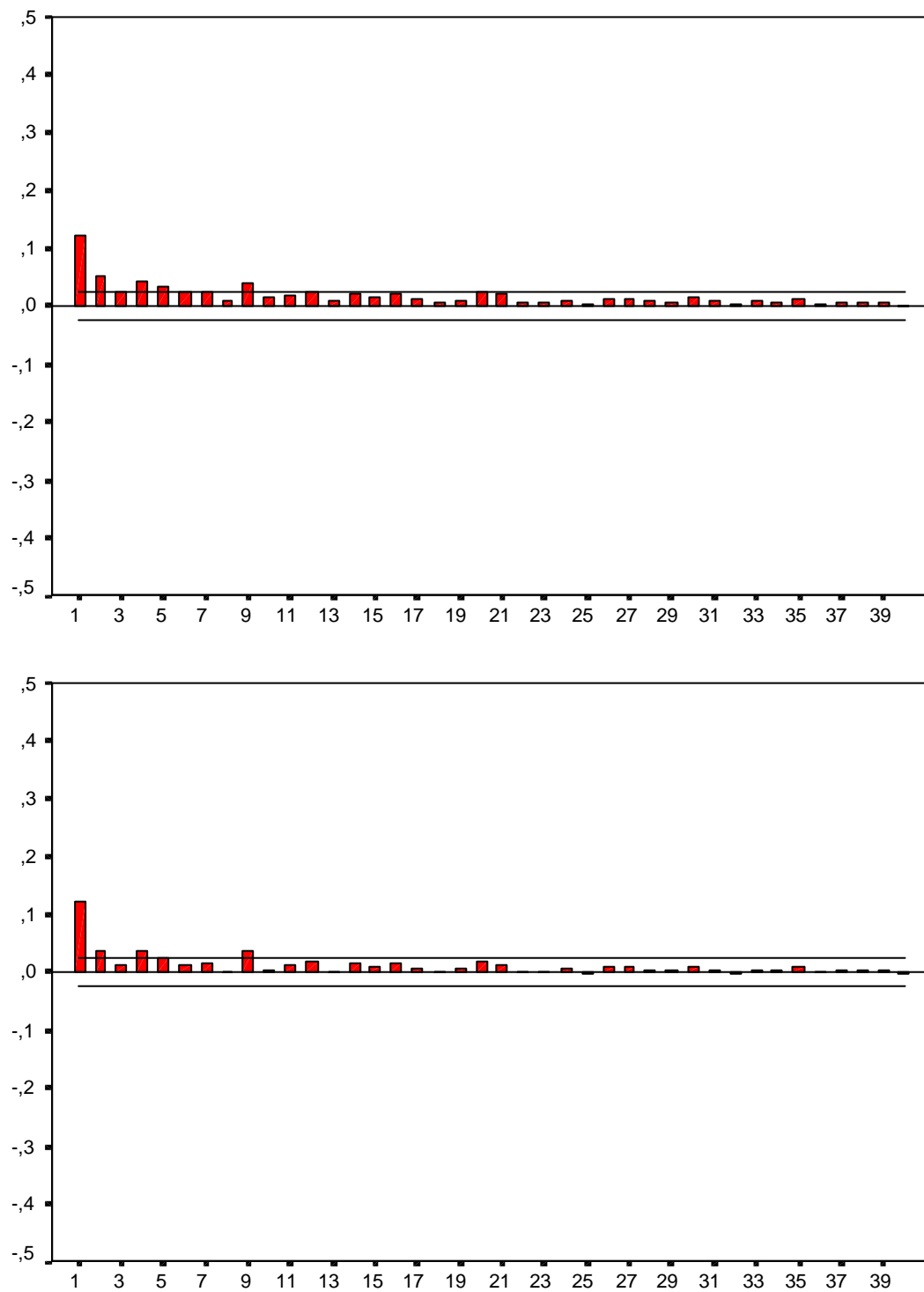


Figura A.27: Correlograma y correlograma parcial de valores absolutos residuos modelo

ARMA(0,0) sobre la diferencia de logaritmos del Bono septiembre 98

[cinco minutos]

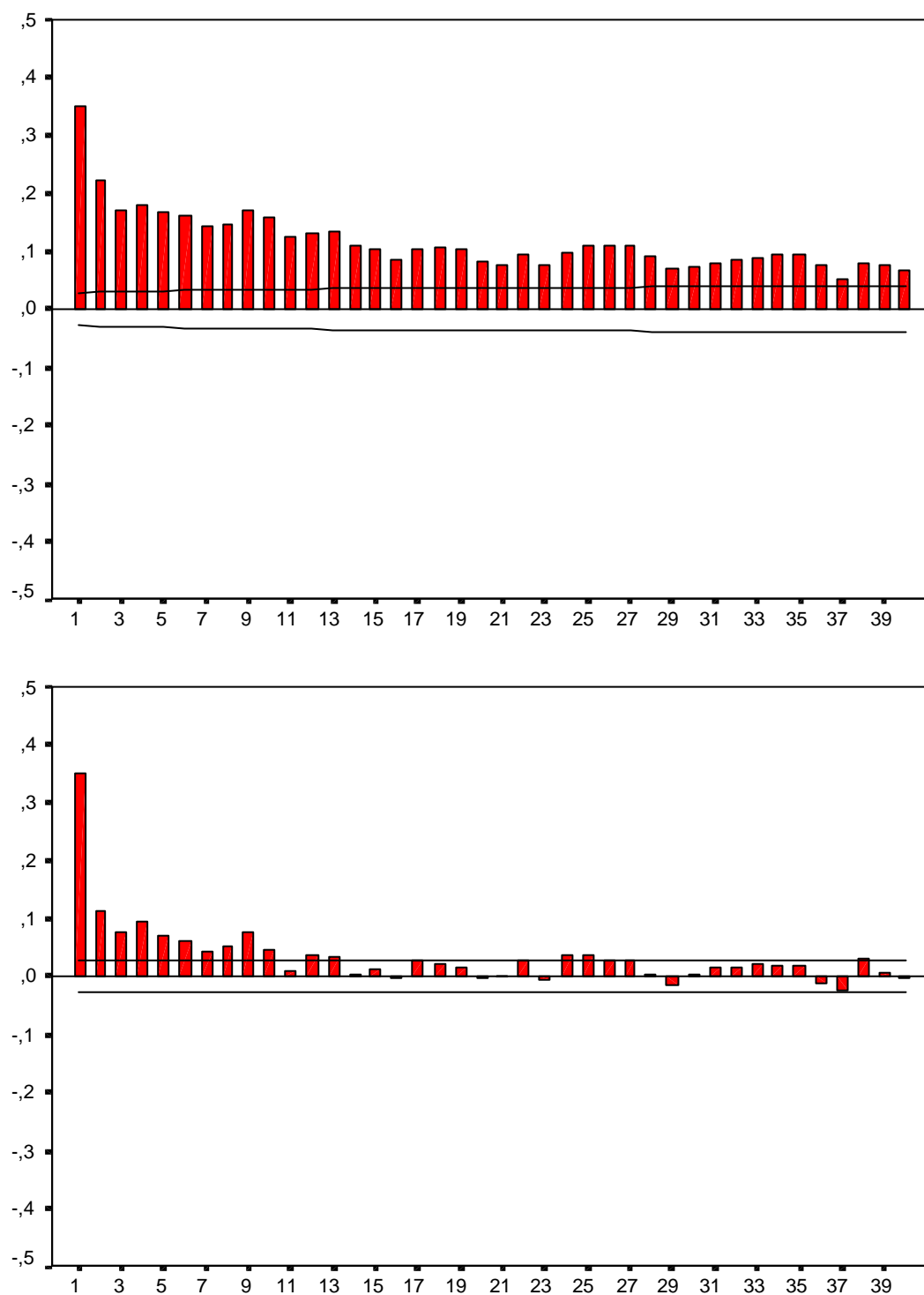


Figura A.28: Correlograma y correlograma parcial de valores absolutos residuos modelo

ARMA(2,4) sobre la diferencia de logaritmos del Bono diciembre 98

[cinco minutos]

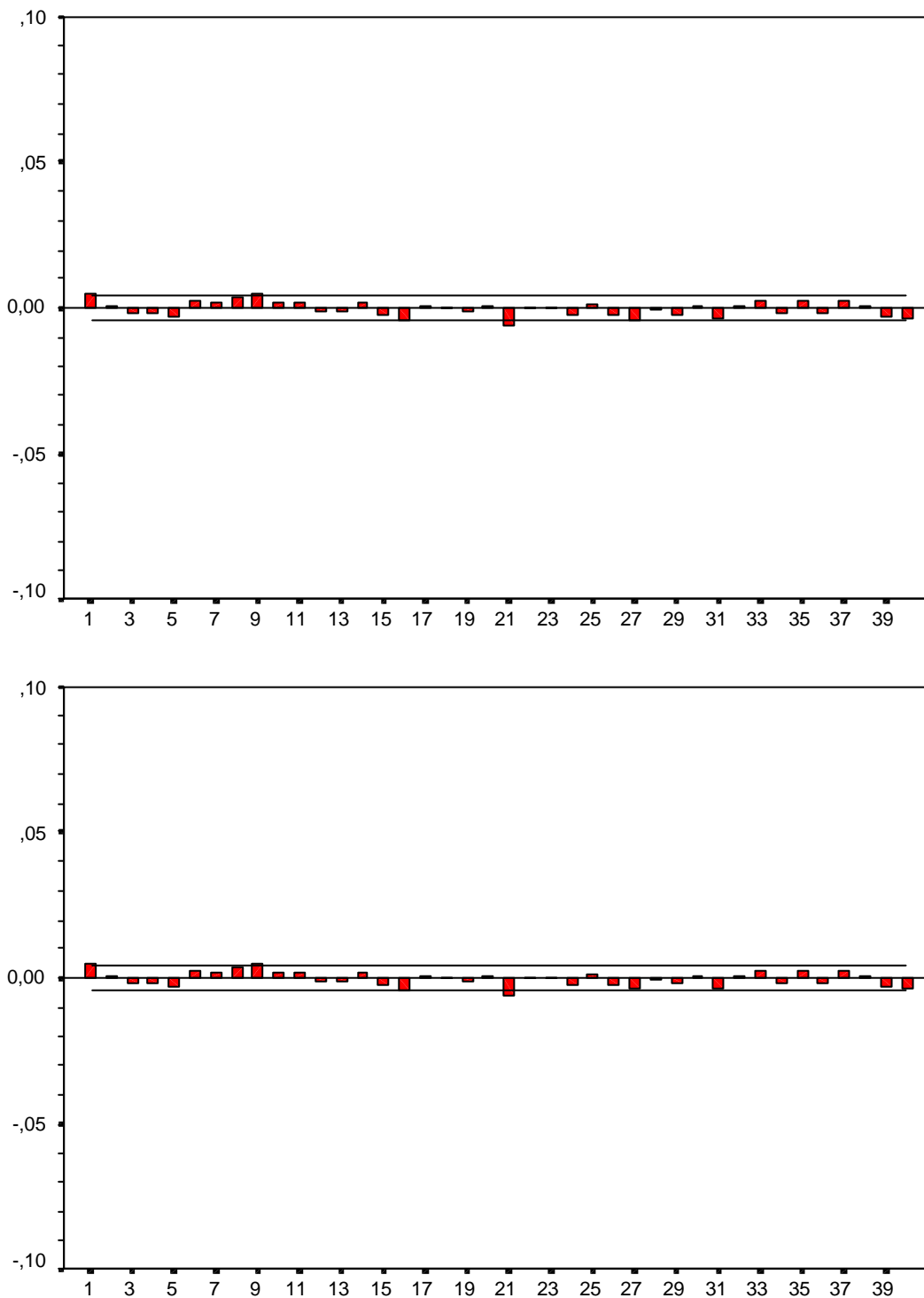


Figura A.29: Correlograma y correlograma parcial de residuos normalizados del modelo
 ARMA(1,1) sobre la media con GARCH(1,1) para la varianza sobre la diferencia de
 logaritmos del Bono marzo 98
 [operación a operación]

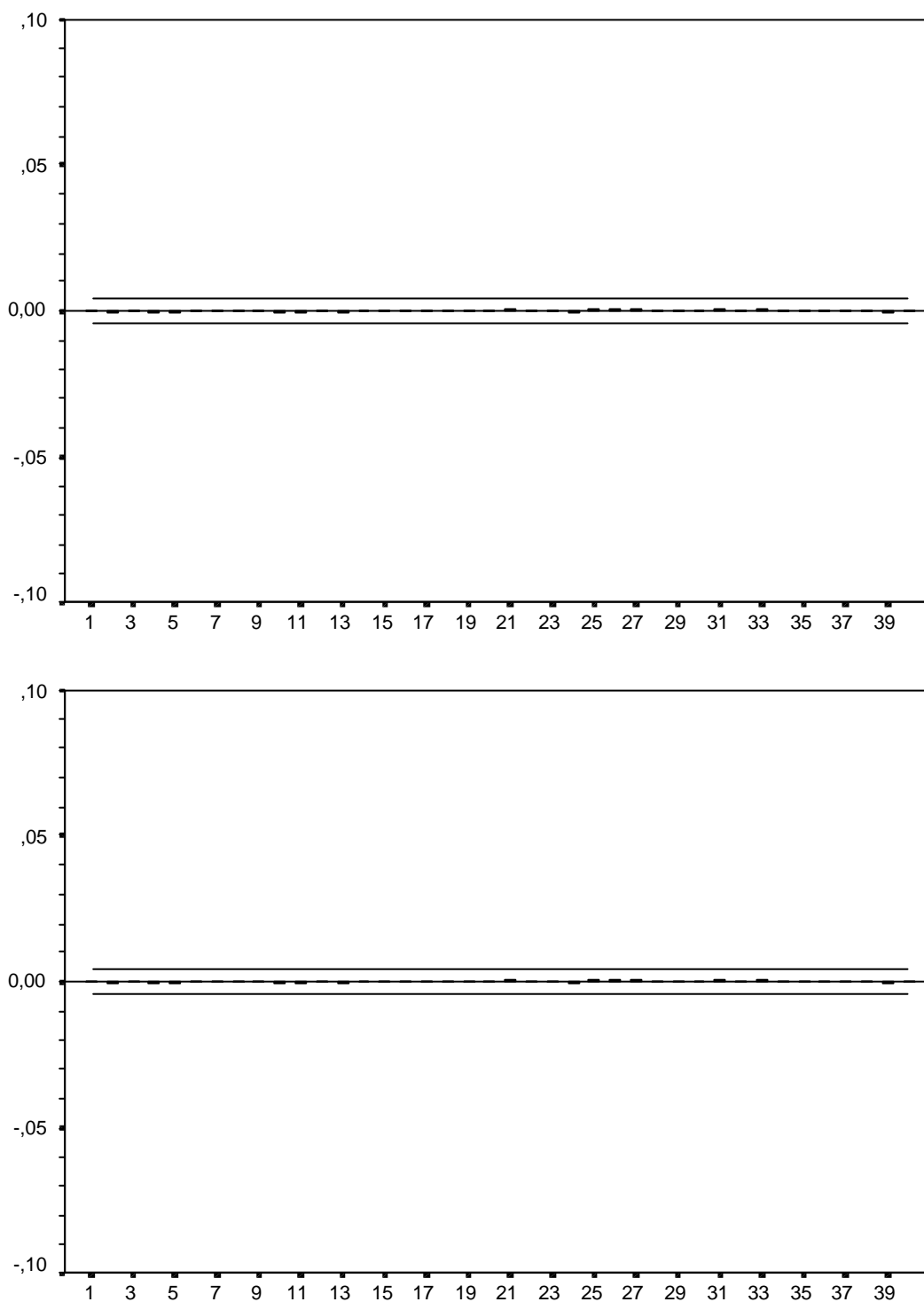


Figura A.30: Correlograma y correlograma parcial de residuos normalizados al cuadrado del modelo ARMA(1,1) sobre la media con GARCH(1,1) para la varianza sobre la diferencia de logaritmos del Bono marzo 98
[operación a operación]

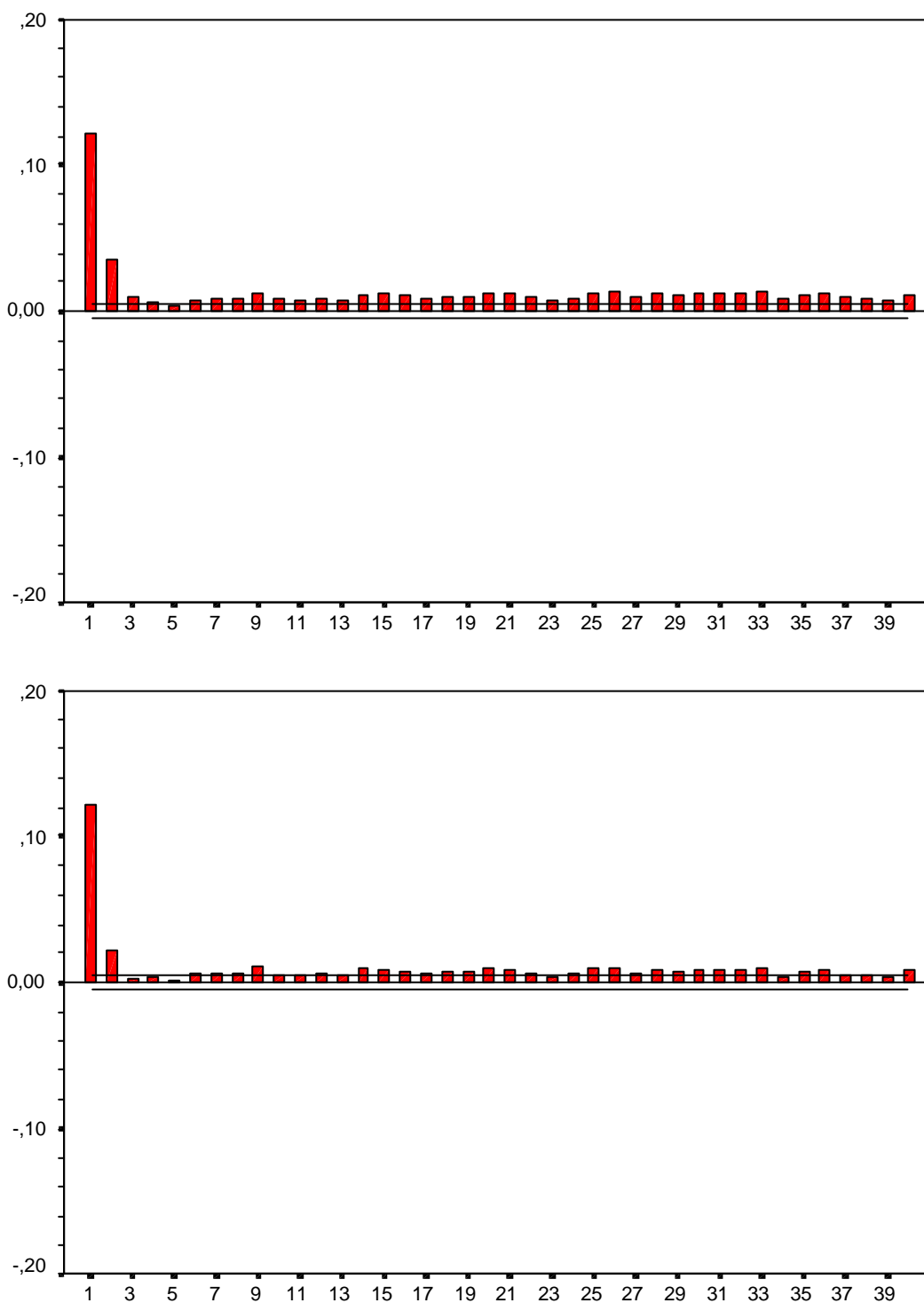


Figura A.31: Correlograma y correlograma parcial del valor absoluto de los residuos normalizados del modelo ARMA(1,1) sobre la media con GARCH(1,1) para la varianza sobre la diferencia de logaritmos del Bono marzo 98

[operación a operación]

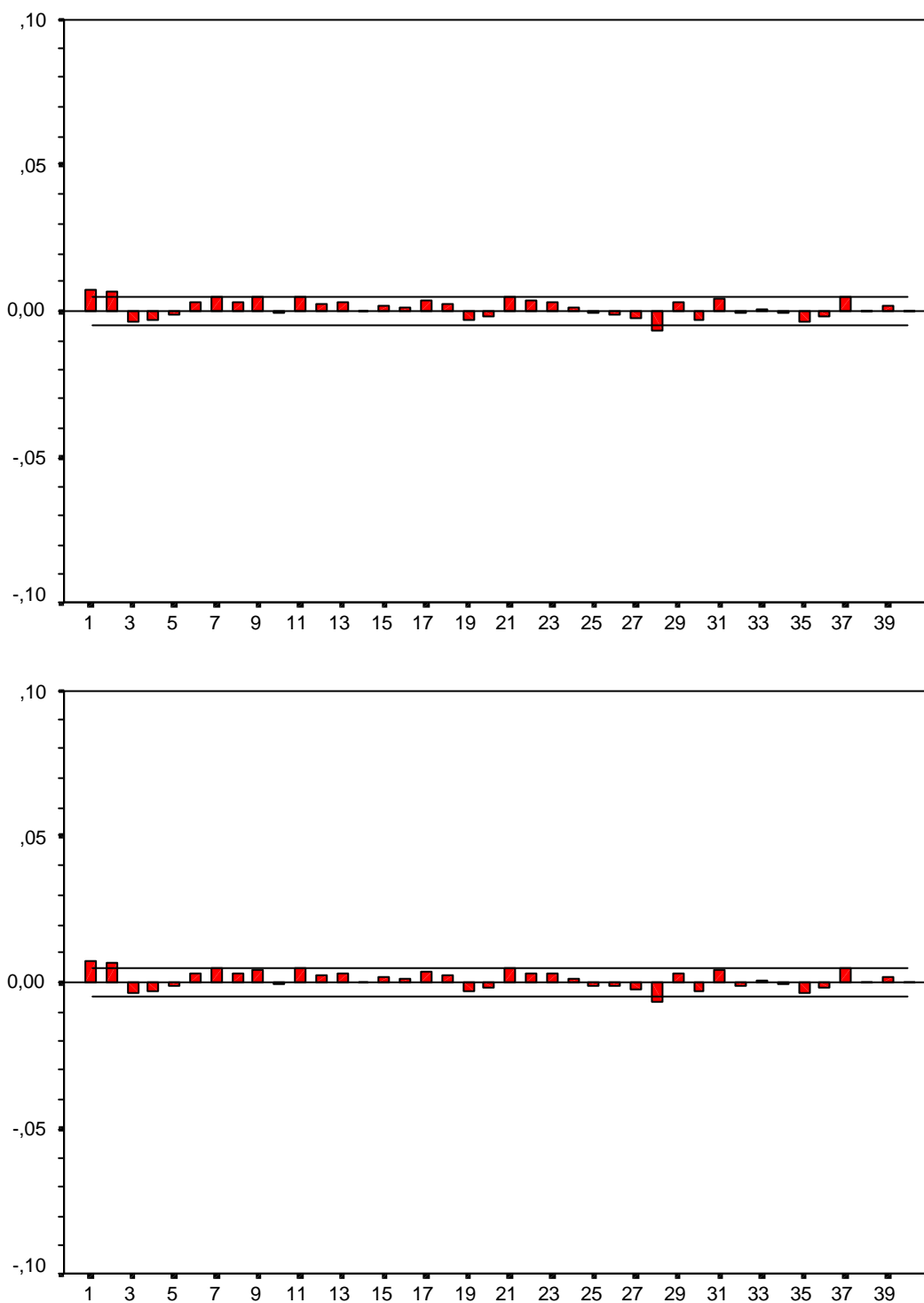


Figura A.32: Correlograma y correlograma parcial de residuos normalizados del modelo
 ARMA(1,1) sobre la media con GARCH(1,1) para la varianza sobre la diferencia de
 logaritmos del Bono junio 98
 [operación a operación]

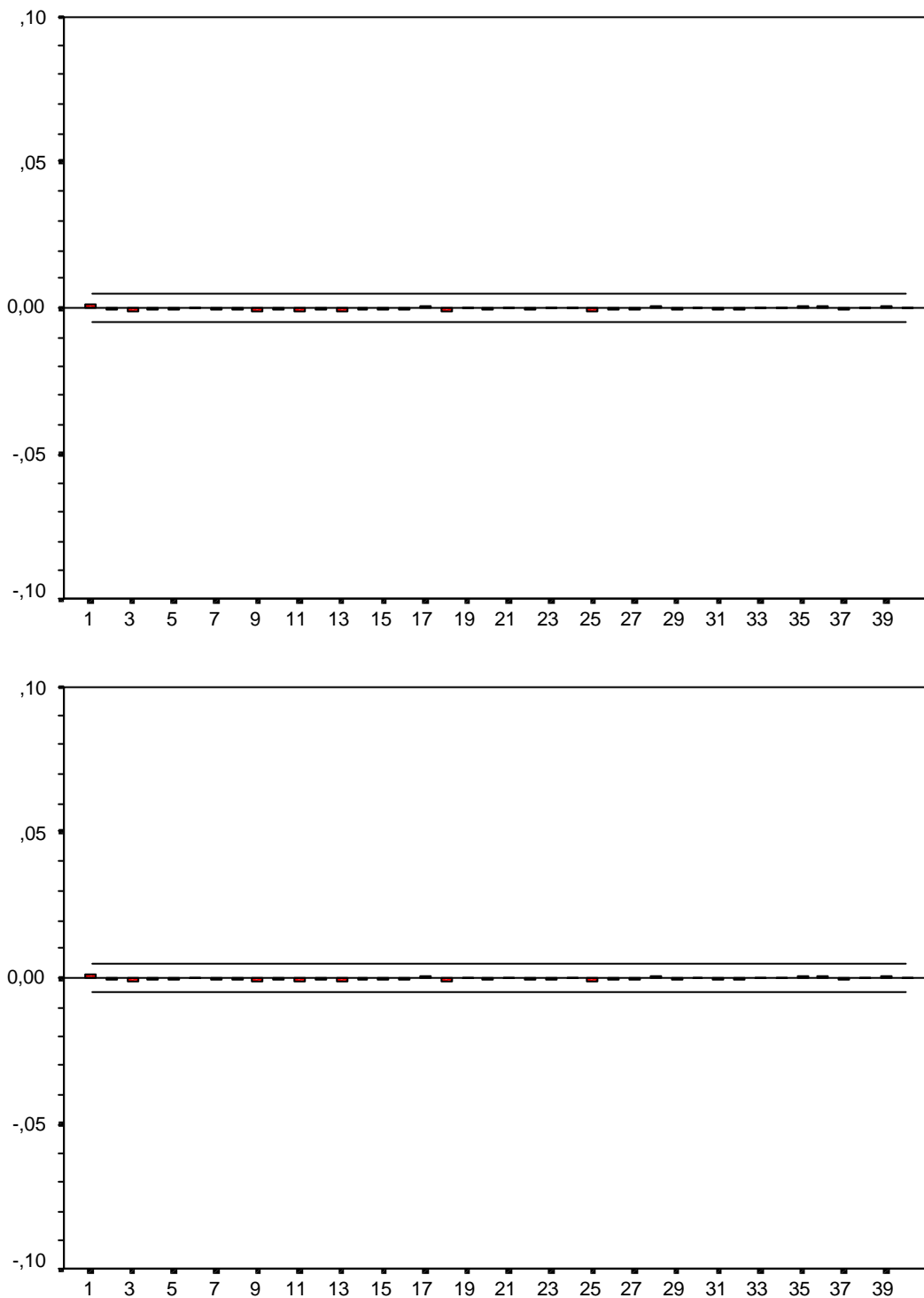


Figura A.33: Correlograma y correlograma parcial de residuos normalizados al cuadrado modelo ARMA(1,1) sobre la media con GARCH(1,1) para la varianza sobre la diferencia de logaritmos del Bono junio 98
[operación a operación]

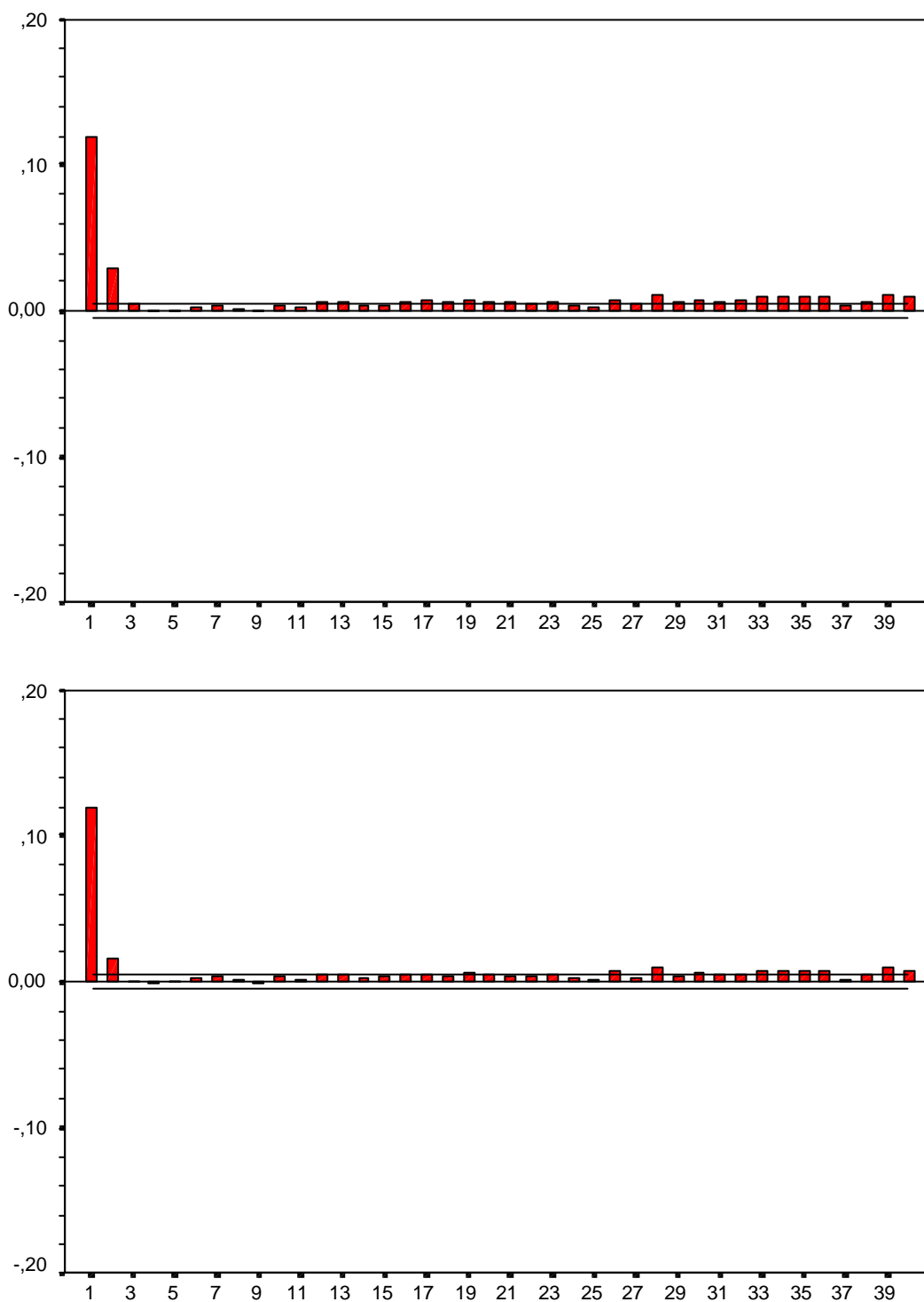


Figura A.34: Correlograma y correlograma parcial del valor absoluto de los residuos normalizados del modelo ARMA(1,1) sobre la media con GARCH(1,1) para la varianza sobre la diferencia de logaritmos del Bono junio 98
[operación a operación]

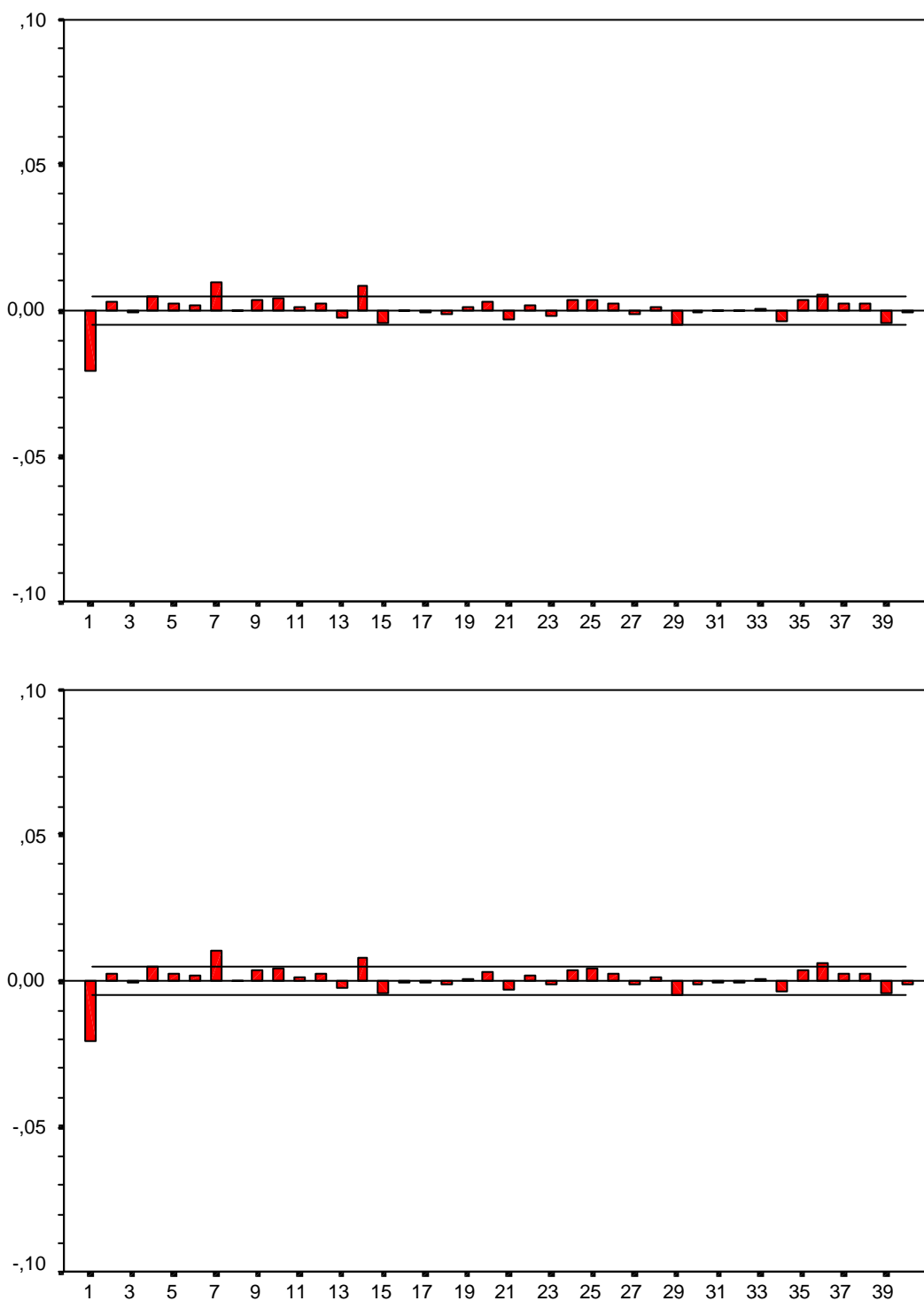


Figura A.35: Correlograma y correlograma parcial de residuos normalizados del modelo
 ARMA(1,1) sobre la media con GARCH(1,1) para la varianza sobre la diferencia de
 logaritmos del Bono septiembre 98
 [operación a operación]

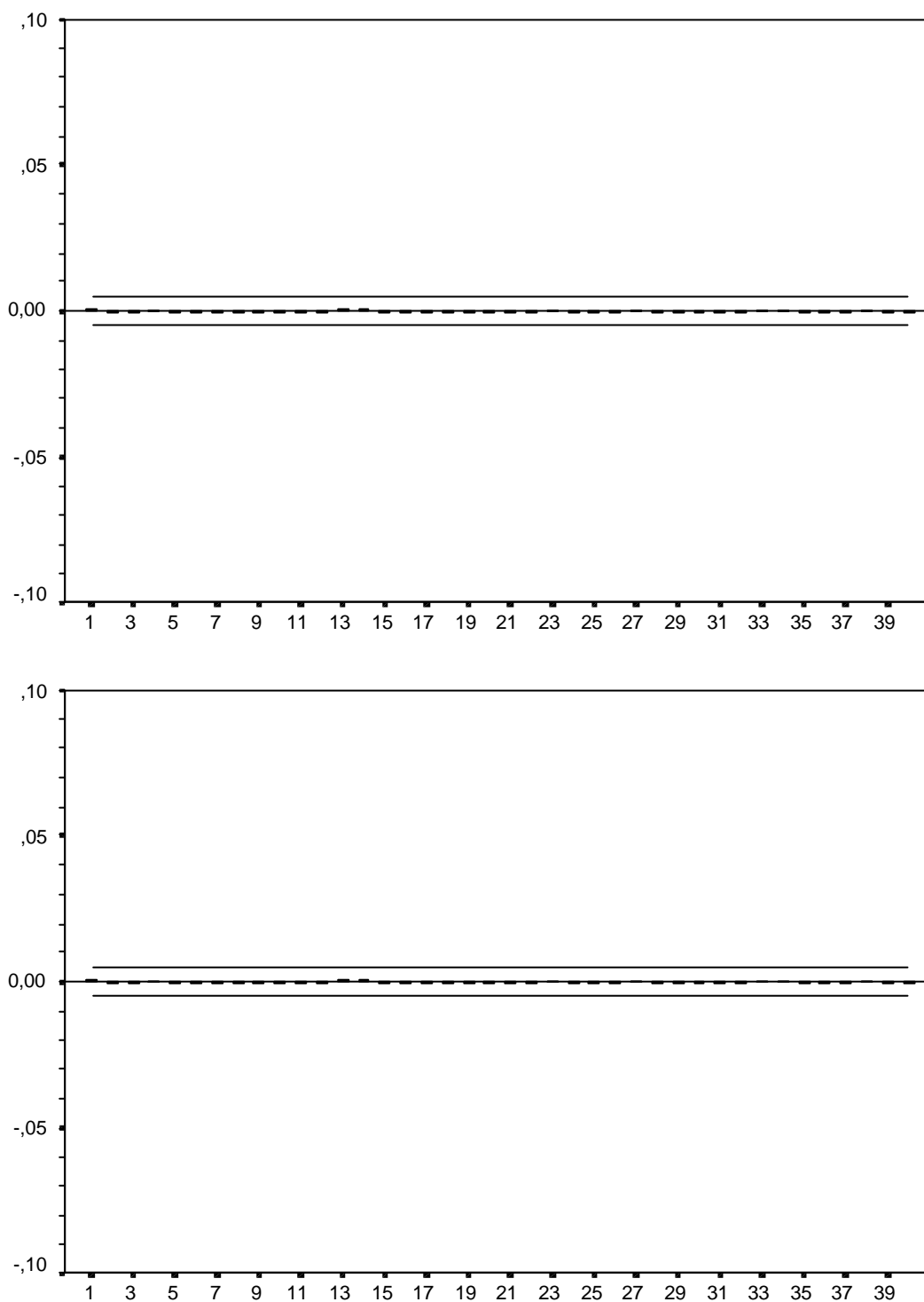


Figura A.36: Correlograma y correlograma parcial de residuos normalizados al cuadrado modelo ARMA(1,1) sobre la media con GARCH(1,1) para la varianza sobre la diferencia de logaritmos del Bono septiembre 98
[operación a operación]

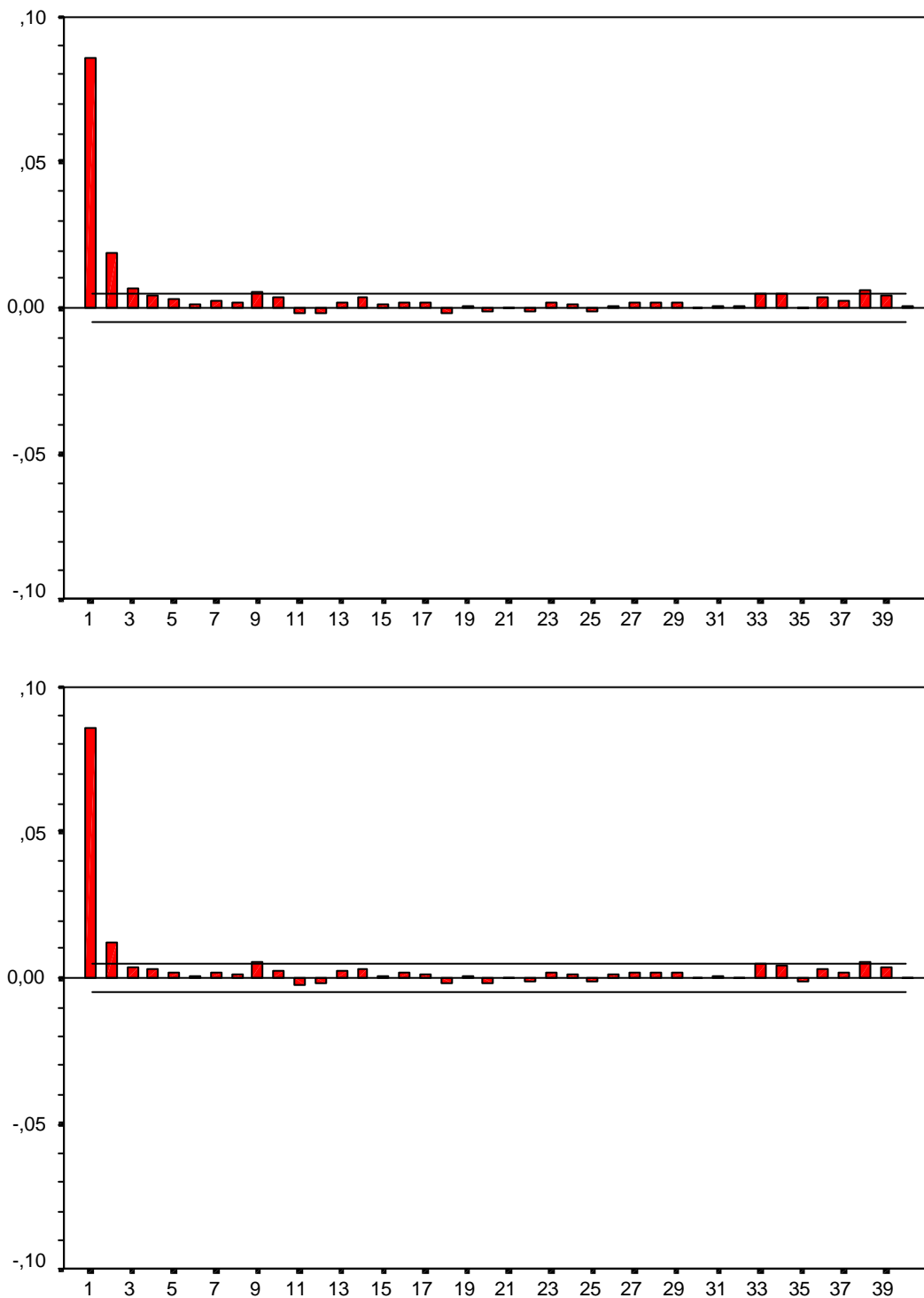


Figura A.37: Correlograma y correlograma parcial del valor absoluto de los residuos normalizados del modelo ARMA(1,1) sobre la media con GARCH(1,1) para la varianza sobre la diferencia de logaritmos del Bono septiembre 98

[operación a operación]

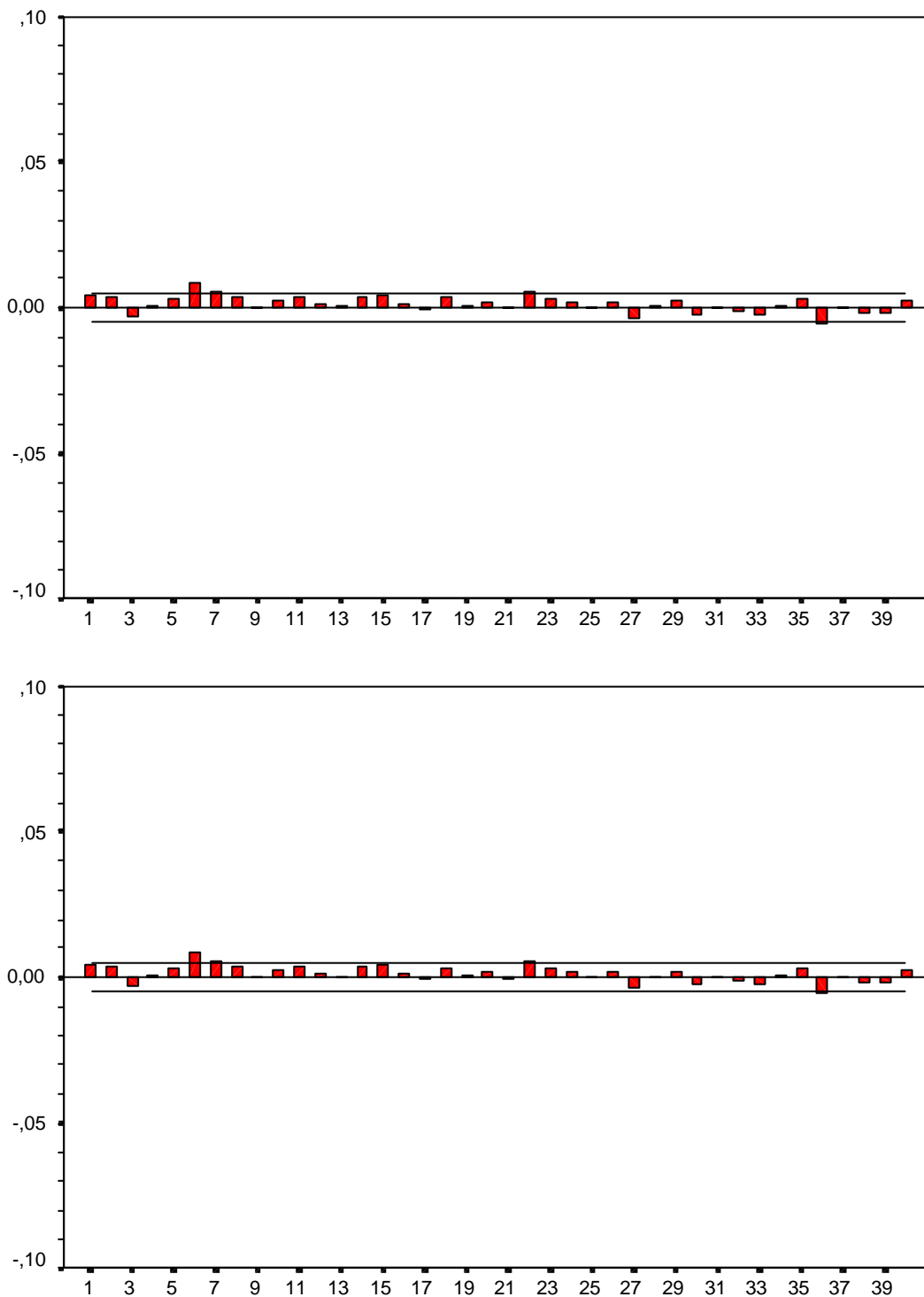


Figura A.38: Correlograma y correlograma parcial de residuos normalizados del modelo
 ARMA(1,1) sobre la media con GARCH(1,1) para la varianza sobre la diferencia de
 logaritmos del Bono diciembre 98
 [operación a operación]

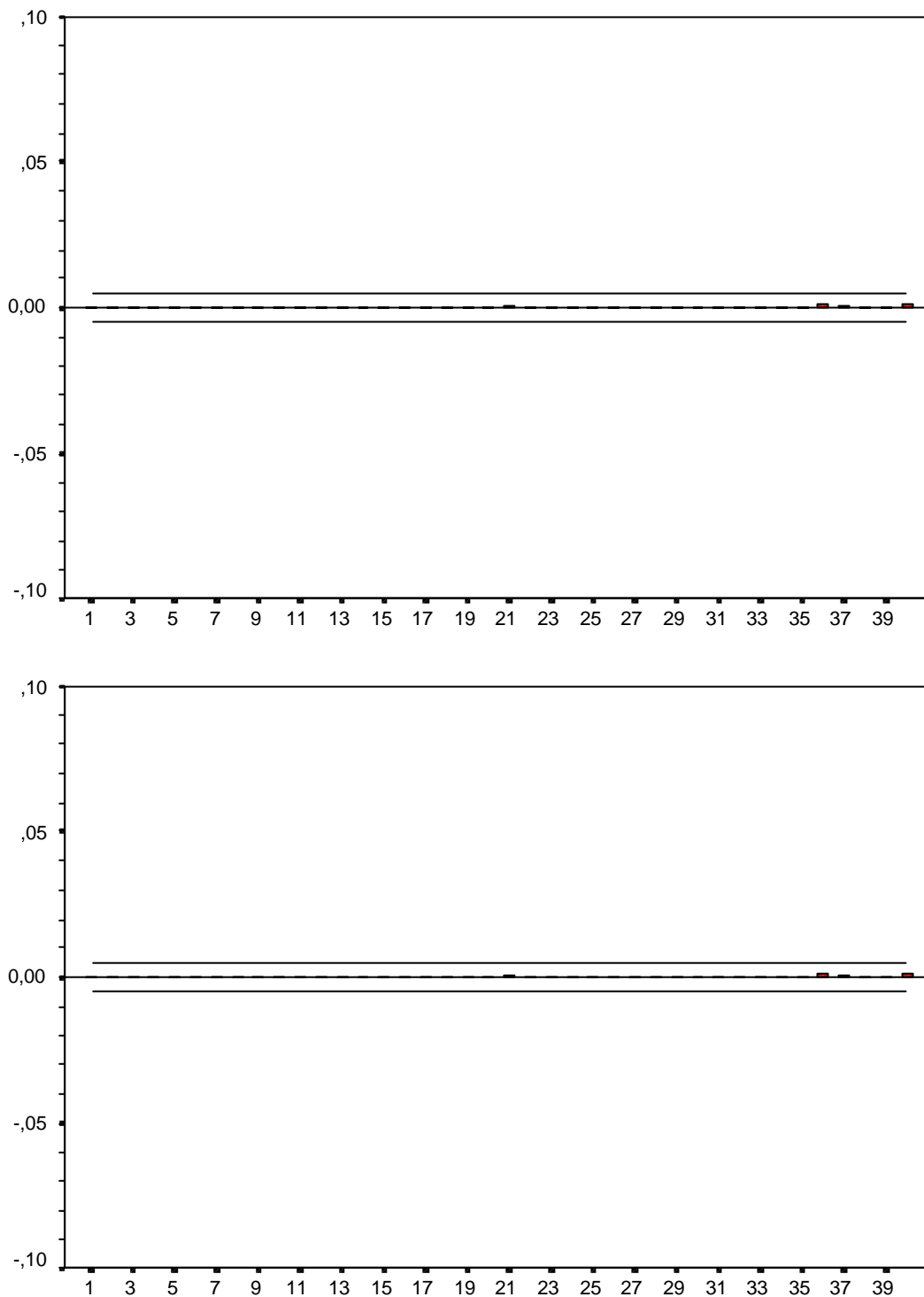


Figura A.39: Correlograma y correlograma parcial de residuos normalizados al cuadrado modelo ARMA(1,1) sobre la media con GARCH(1,1) para la varianza sobre la diferencia de logaritmos del Bono diciembre 98
[operación a operación]

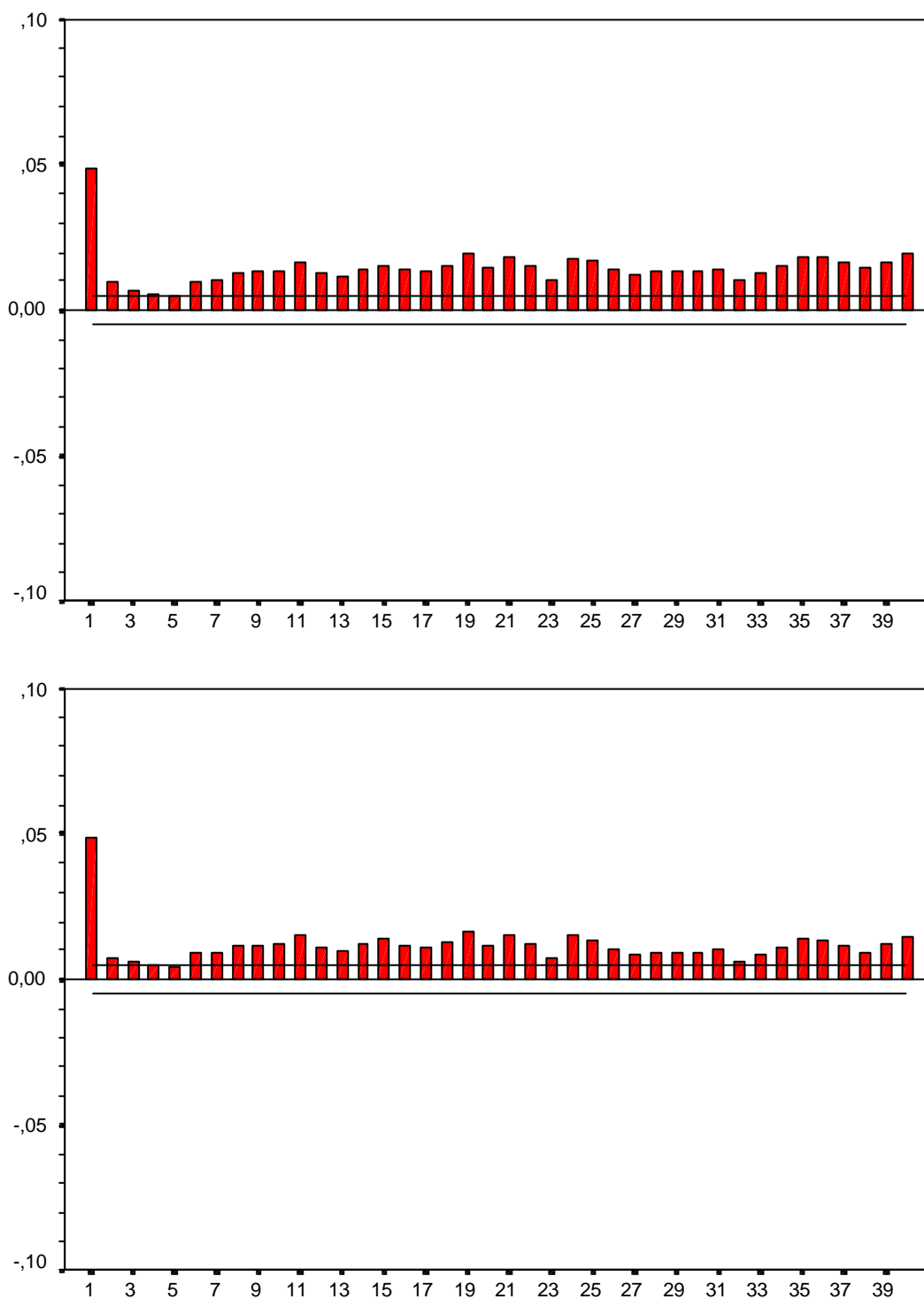


Figura A.40: Correlograma y correlograma parcial del valor absoluto de los residuos normalizados del modelo ARMA(1,1) sobre la media con GARCH(1,1) para la varianza sobre la diferencia de logaritmos del Bono diciembre 98

[operación a operación]

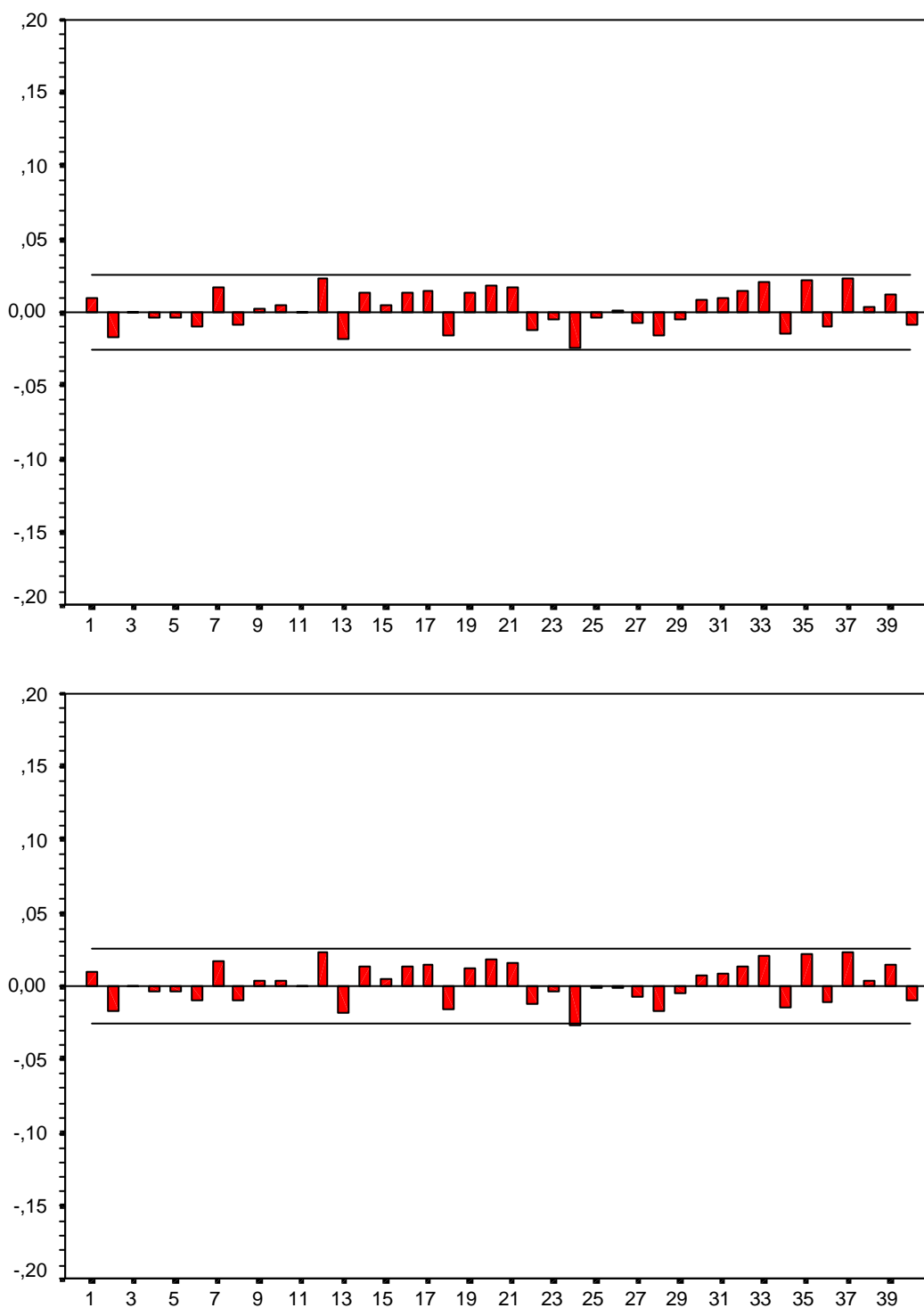


Figura A.41: Correlograma y correlograma parcial de residuos normalizados modelo ARMA(2,0) sobre la media con GARCH(1,1) para la varianza sobre la diferencia de logaritmos del Bono marzo 98 [cinco minutos]

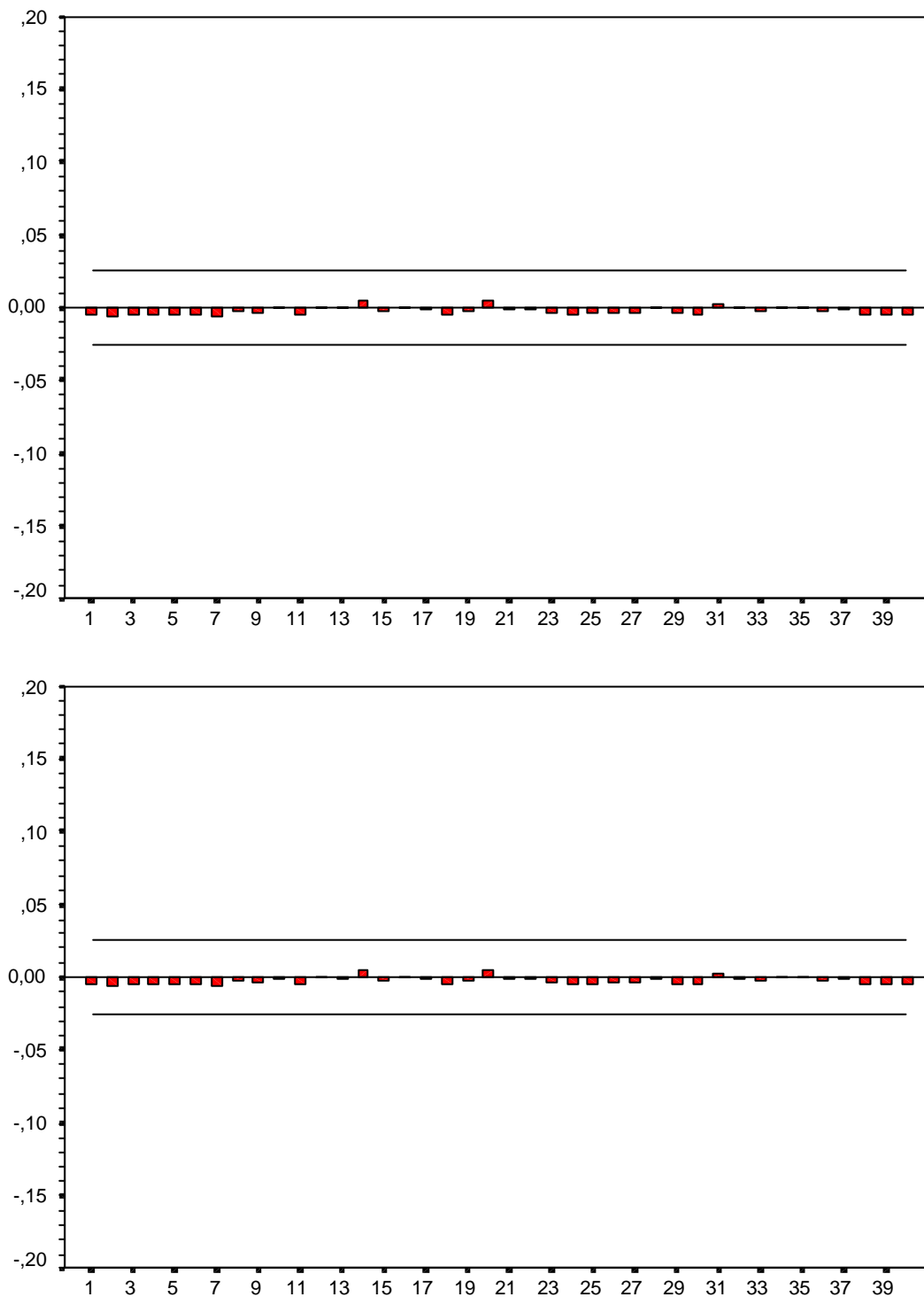


Figura A.42: Correlograma y correlograma parcial de residuos normalizados al cuadrado modelo ARMA(2,0) sobre la media con GARCH(1,1) para la varianza sobre la diferencia de logaritmos del Bono marzo 98 [cinco minutos]

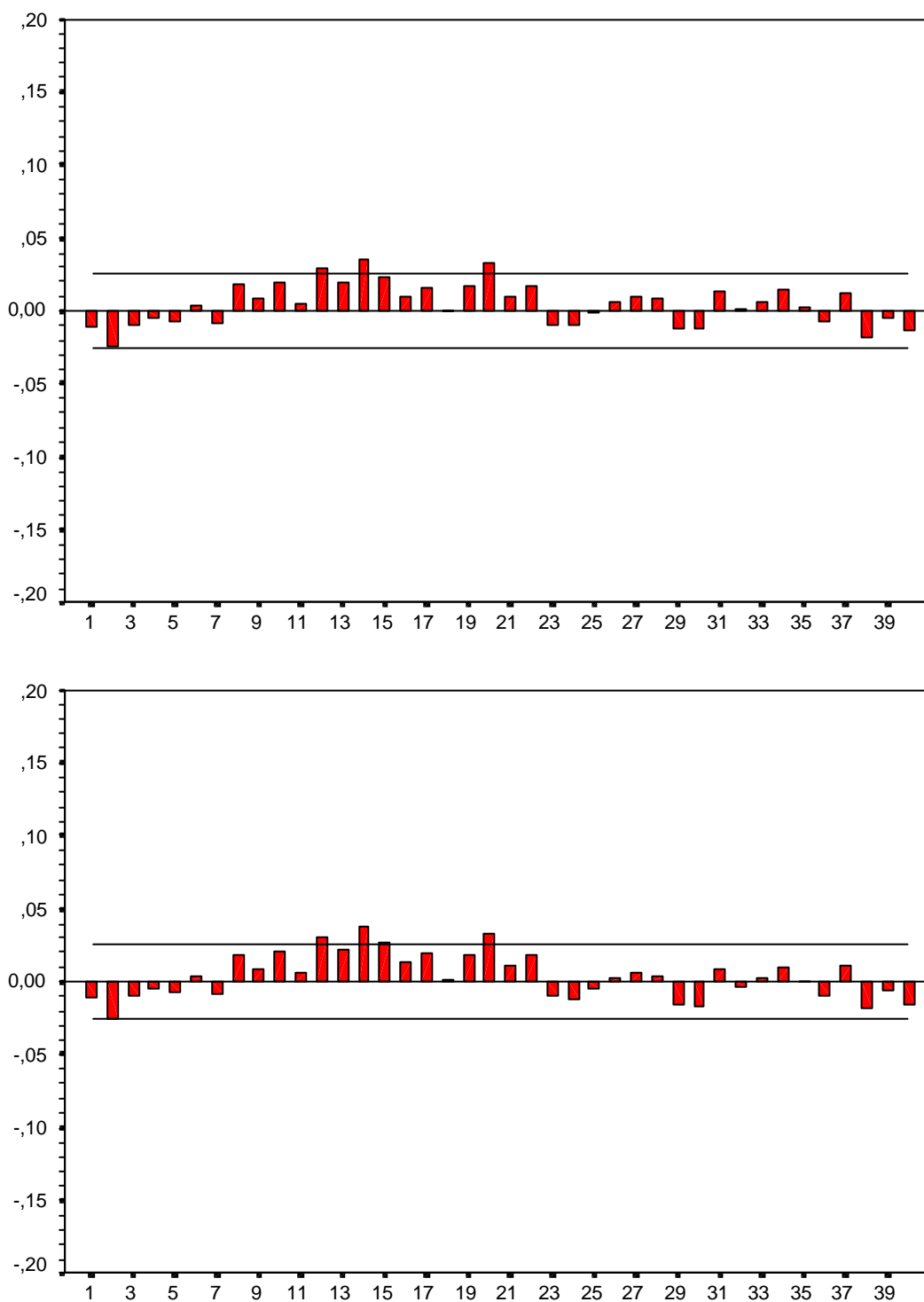


Figura A.43: Correlograma y correlograma parcial del valor absoluto de los residuos normalizados al cuadrado modelo ARMA(2,0) sobre la media con GARCH(1,1) para la varianza sobre la diferencia de logaritmos del Bono marzo 98 [cinco minutos]

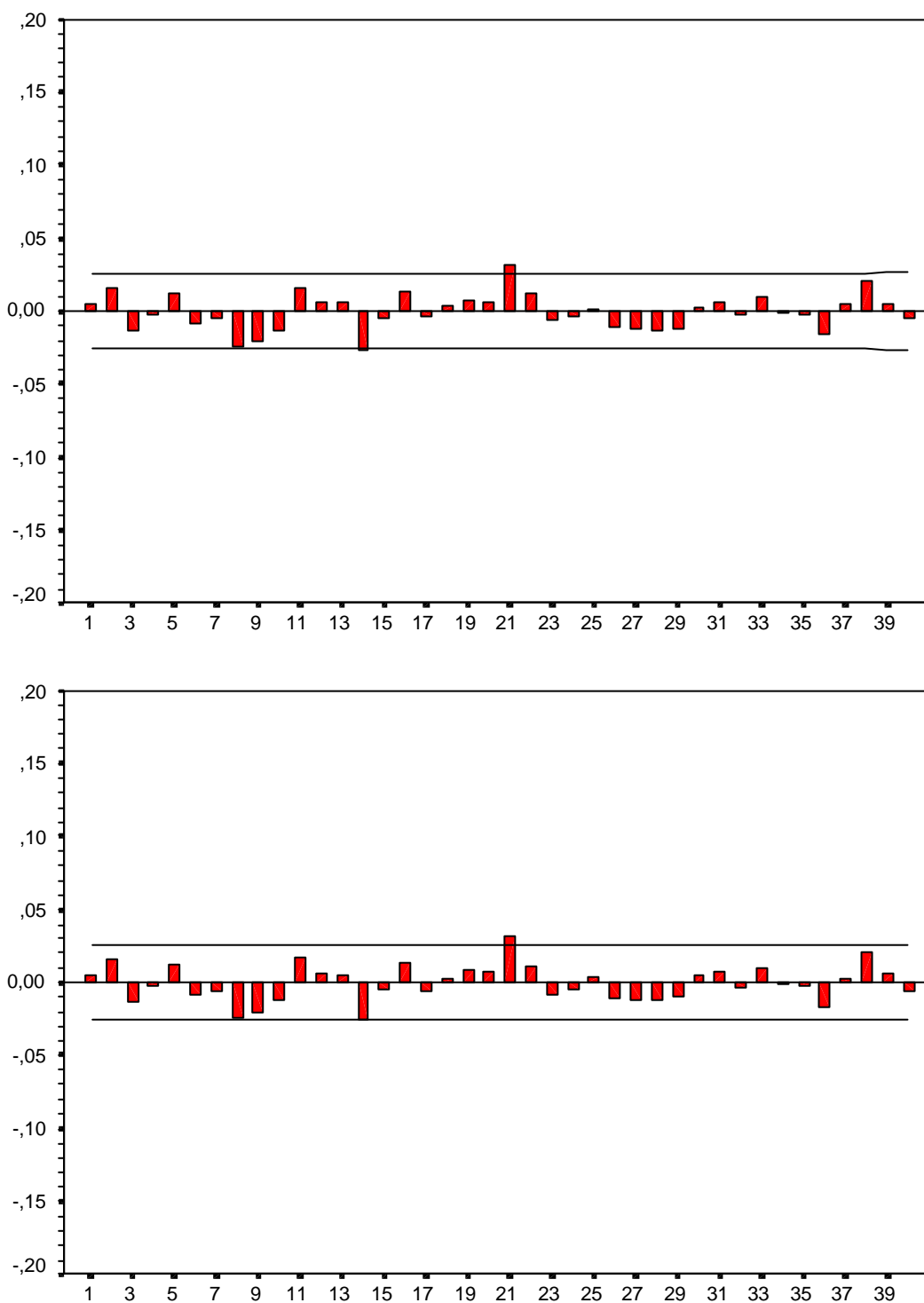


Figura A.44: Correlograma y correlograma parcial de residuos normalizados modelo ARMA(0,0) sobre la media con GARCH(1,1) para la varianza sobre la diferencia de logaritmos del Bono junio 98 [cinco minutos]

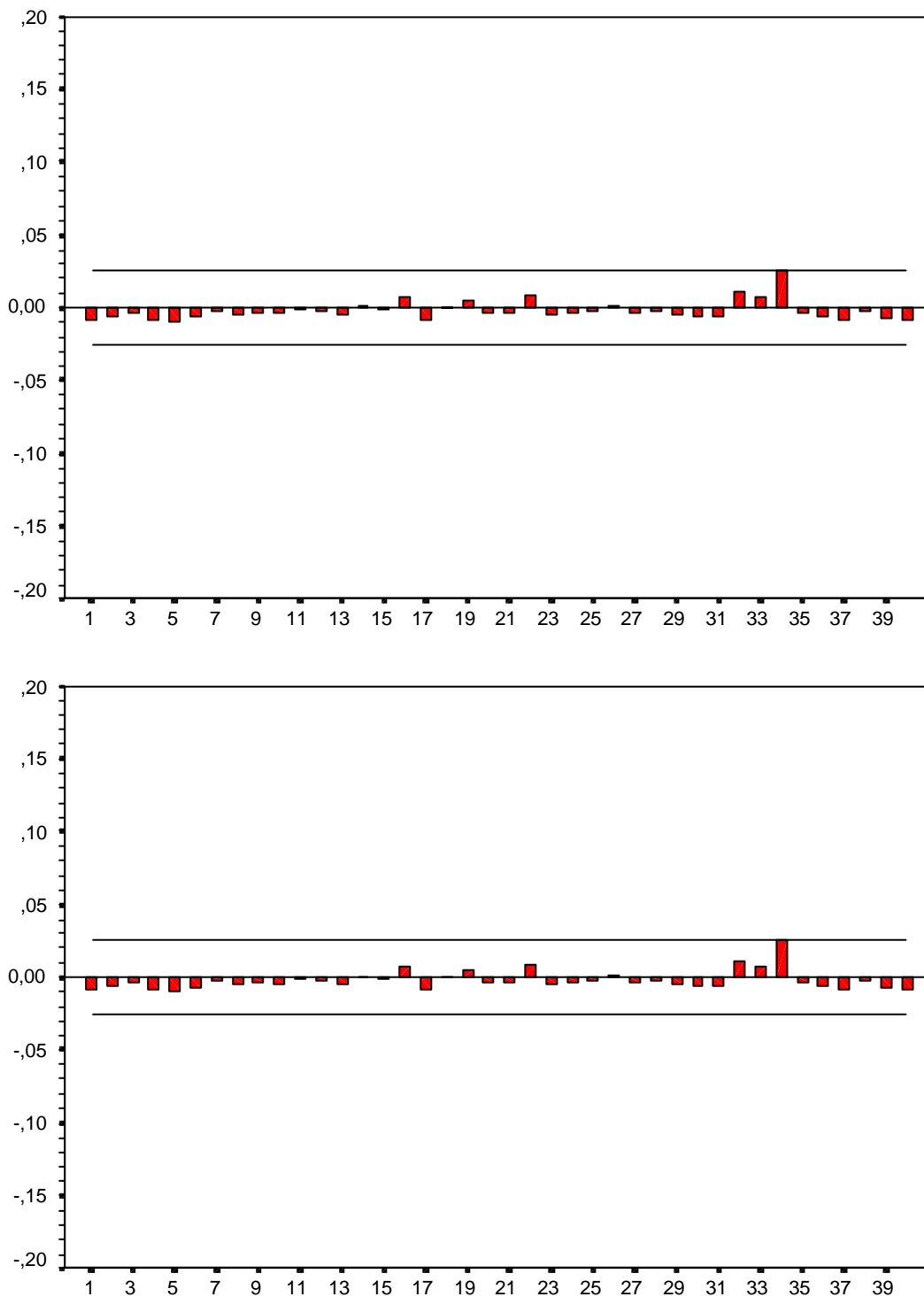


Figura A.45: Correlograma y correlograma parcial de residuos normalizados al cuadrado modelo ARMA(0,0) sobre la media con GARCH(1,1) para la varianza sobre la diferencia de logaritmos del Bono junio 98
[cinco minutos]

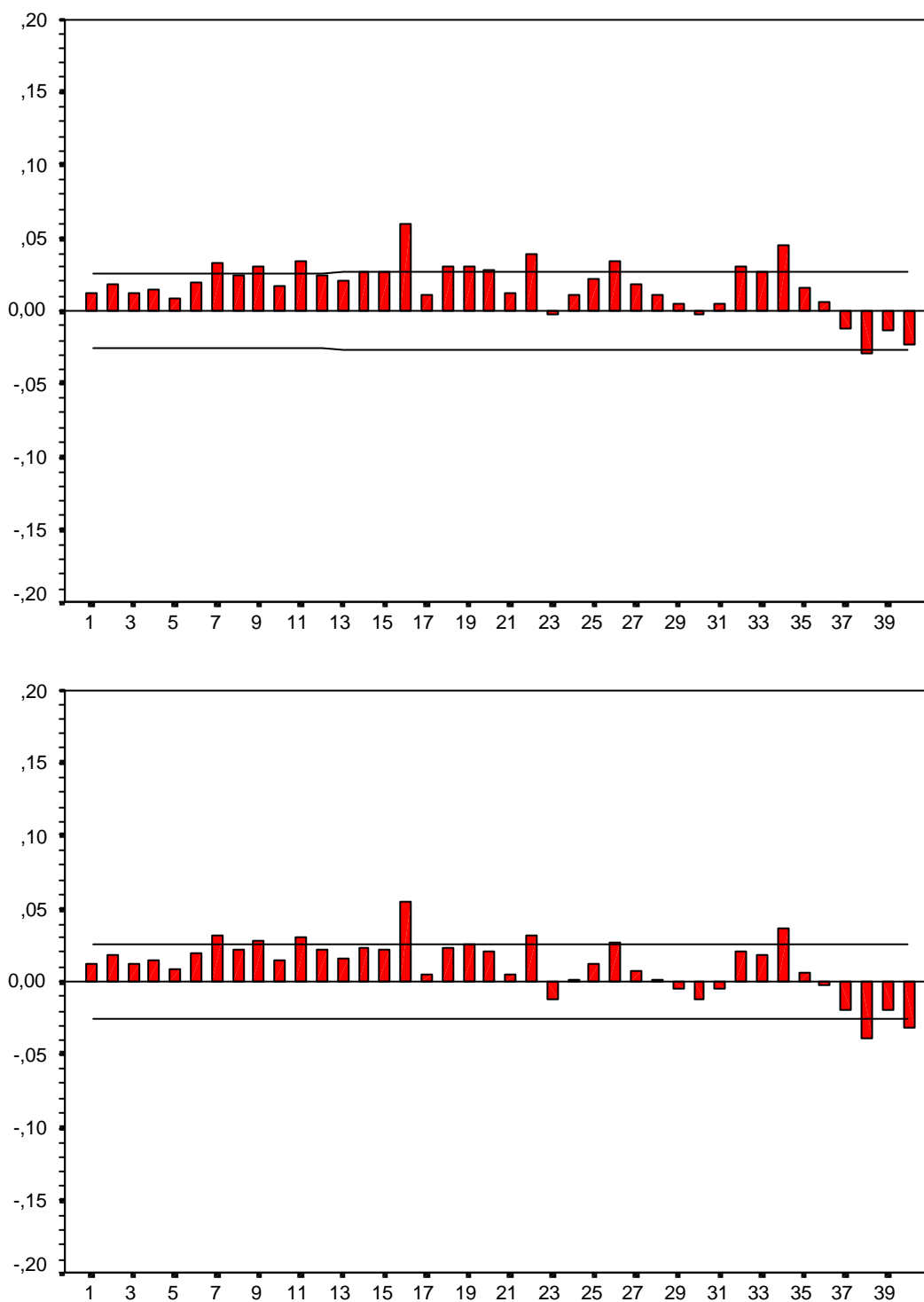


Figura A.46: Correlograma y correlograma parcial del valor absoluto de los residuos normalizados al cuadrado modelo ARMA(0,0) sobre la media con GARCH(1,1) para la varianza sobre la diferencia de logaritmos del Bono junio 98 [cinco minutos]

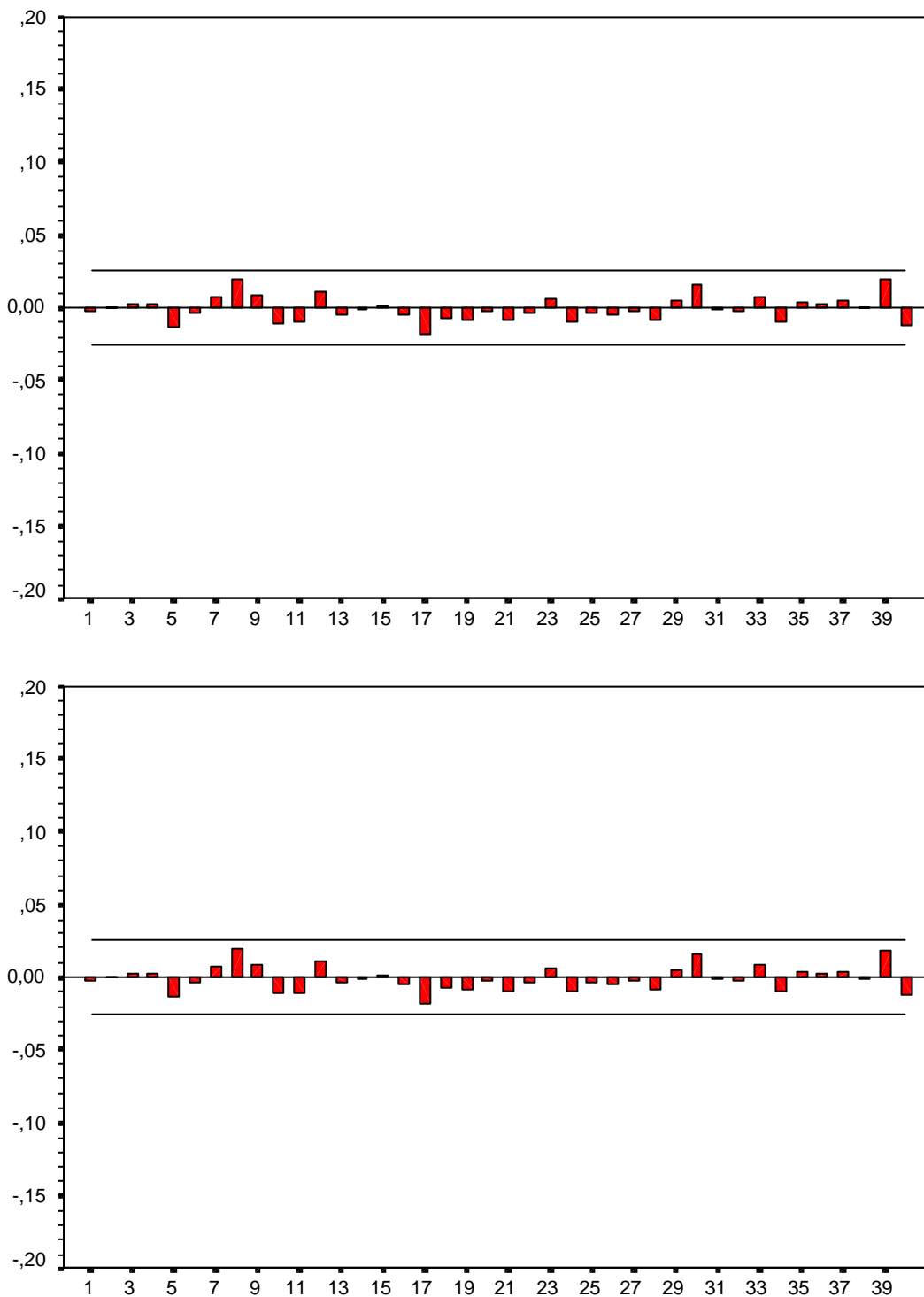


Figura A.47: Correlograma y correlograma parcial de residuos normalizados modelo ARMA(0,0) sobre la media con GARCH(1,1) para la varianza sobre la diferencia de logaritmos del Bono septiembre 98 [cinco minutos]

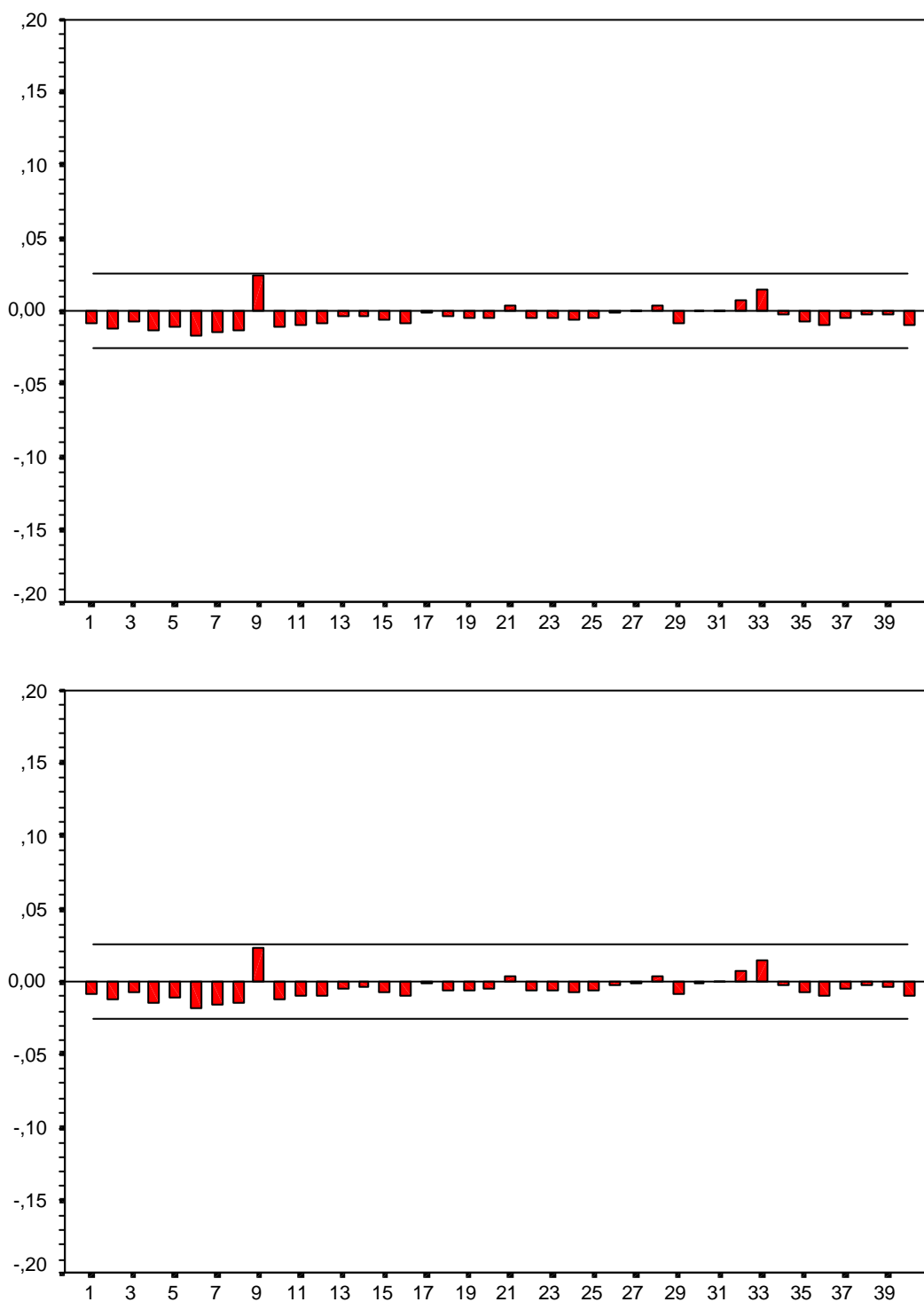


Figura A.48: Correlograma y correlograma parcial de residuos normalizados al cuadrado modelo ARMA(0,0) sobre la media con GARCH(1,1) para la varianza sobre la diferencia de logaritmos del Bono septiembre 98
[cinco minutos]

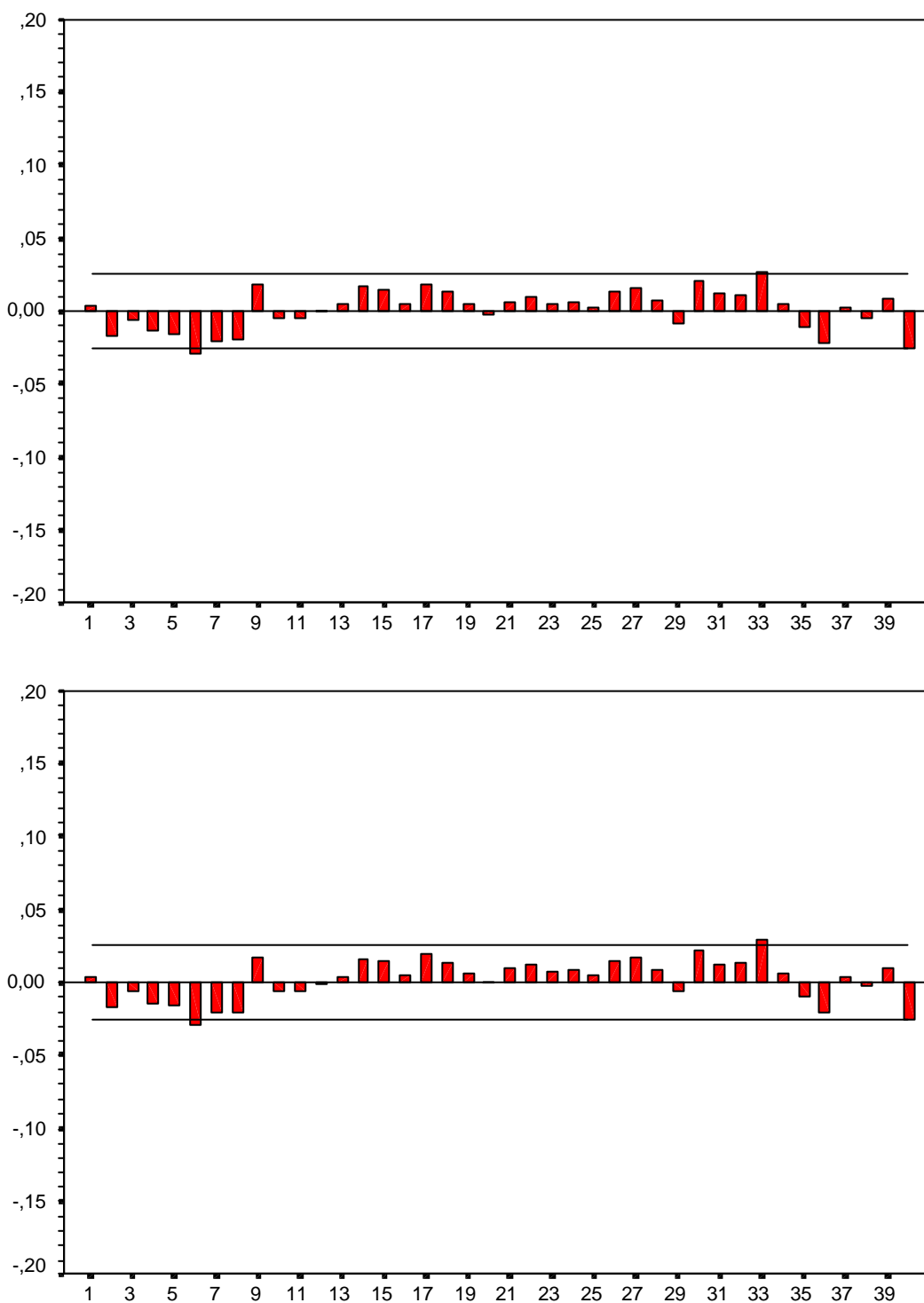


Figura A.49: Correlograma y correlograma parcial del valor absoluto de los residuos normalizados del modelo ARMA(0,0) sobre la media con GARCH(1,1) para la varianza sobre la diferencia de logaritmos del Bono septiembre 98 [cinco minutos]

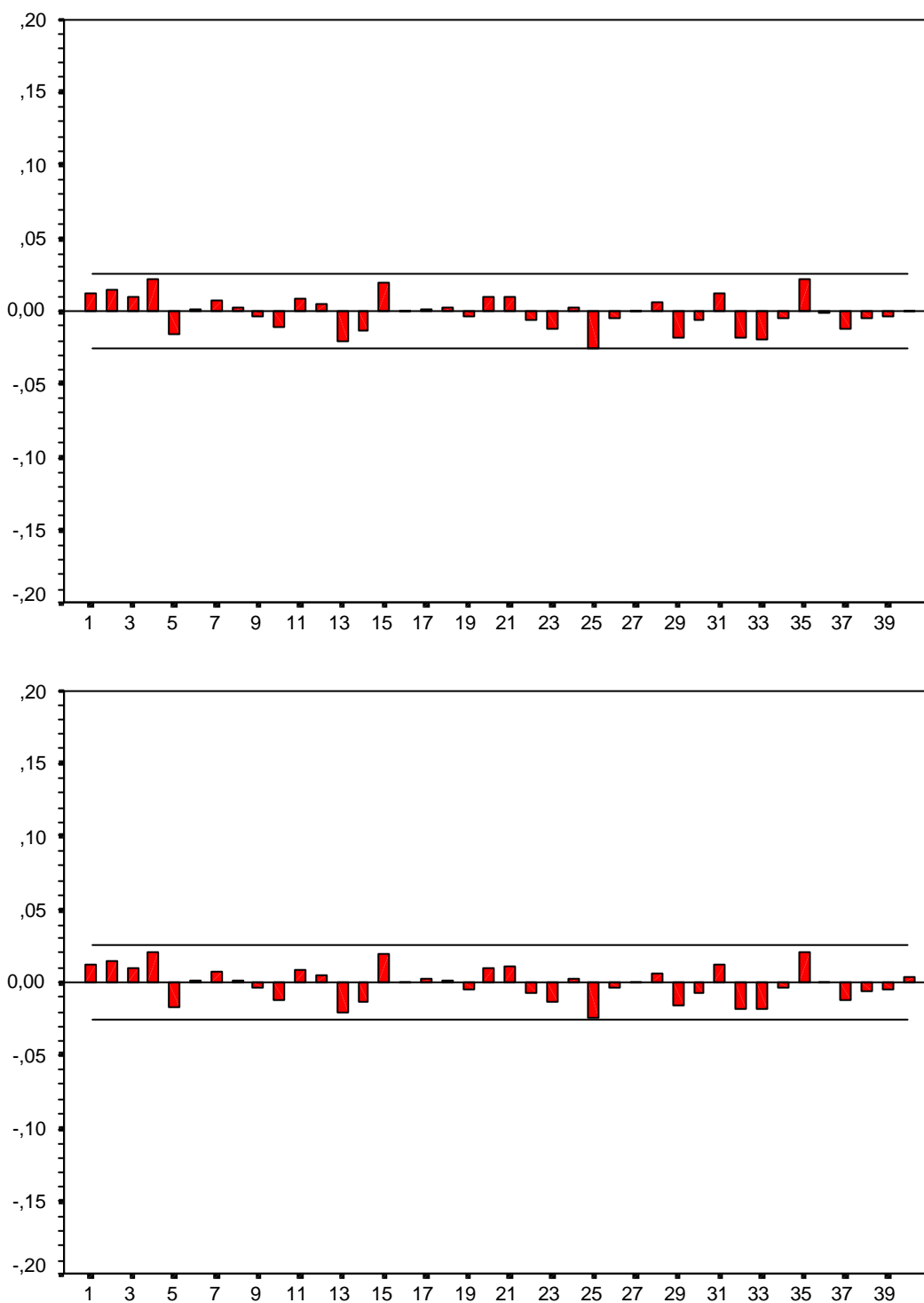


Figura A.50: Correlograma y correlograma parcial de residuos normalizados del modelo
 ARMA(2,4) sobre la media con GARCH(1,1) para la varianza sobre la diferencia de
 logaritmos del Bono diciembre 98
 [cinco minutos]

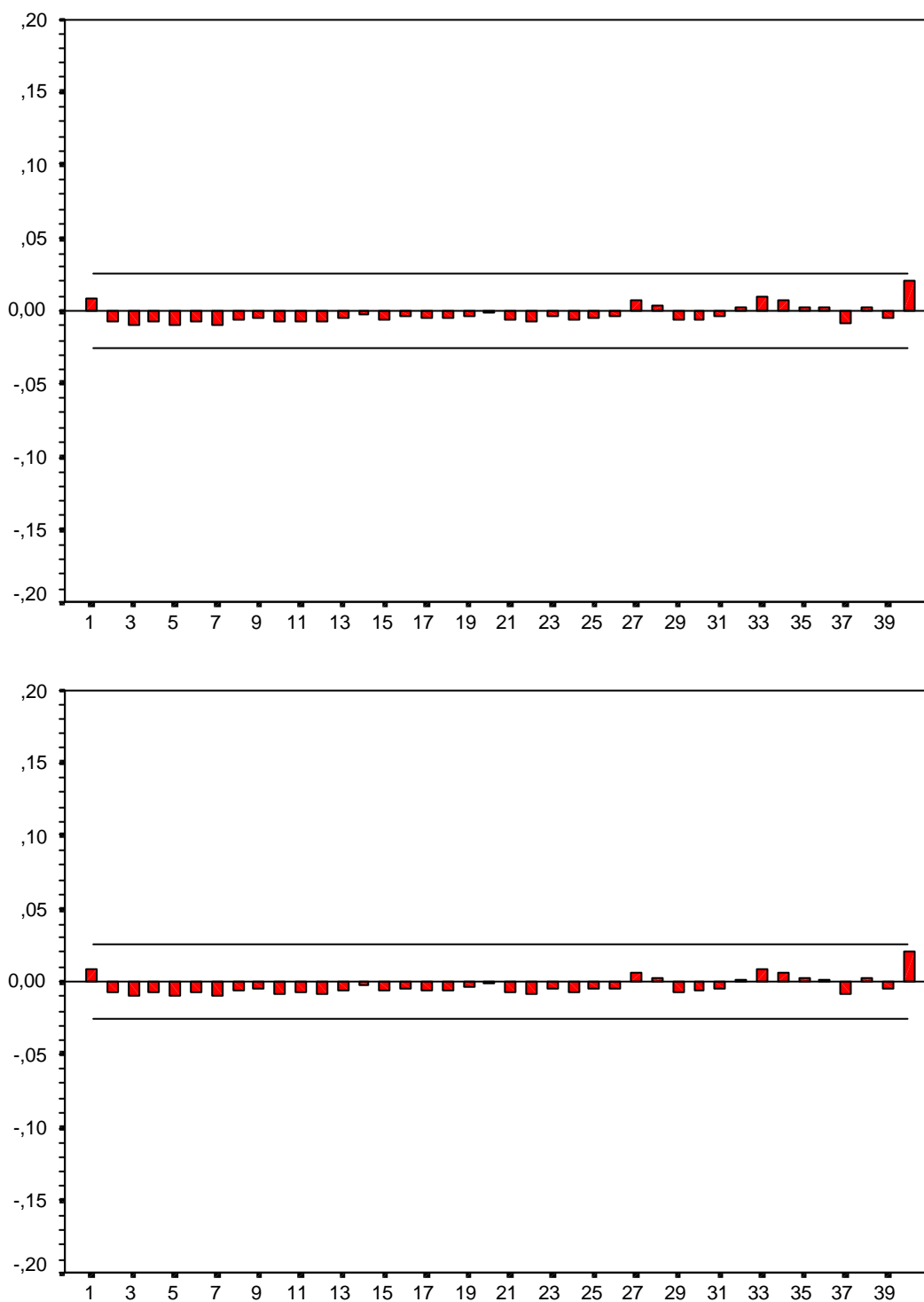


Figura A.51: Correlograma y correlograma parcial de residuos normalizados al cuadrado modelo ARMA(2,4) sobre la media con GARCH(1,1) para la varianza sobre la diferencia de logaritmos del Bono diciembre 98
[cinco minutos]

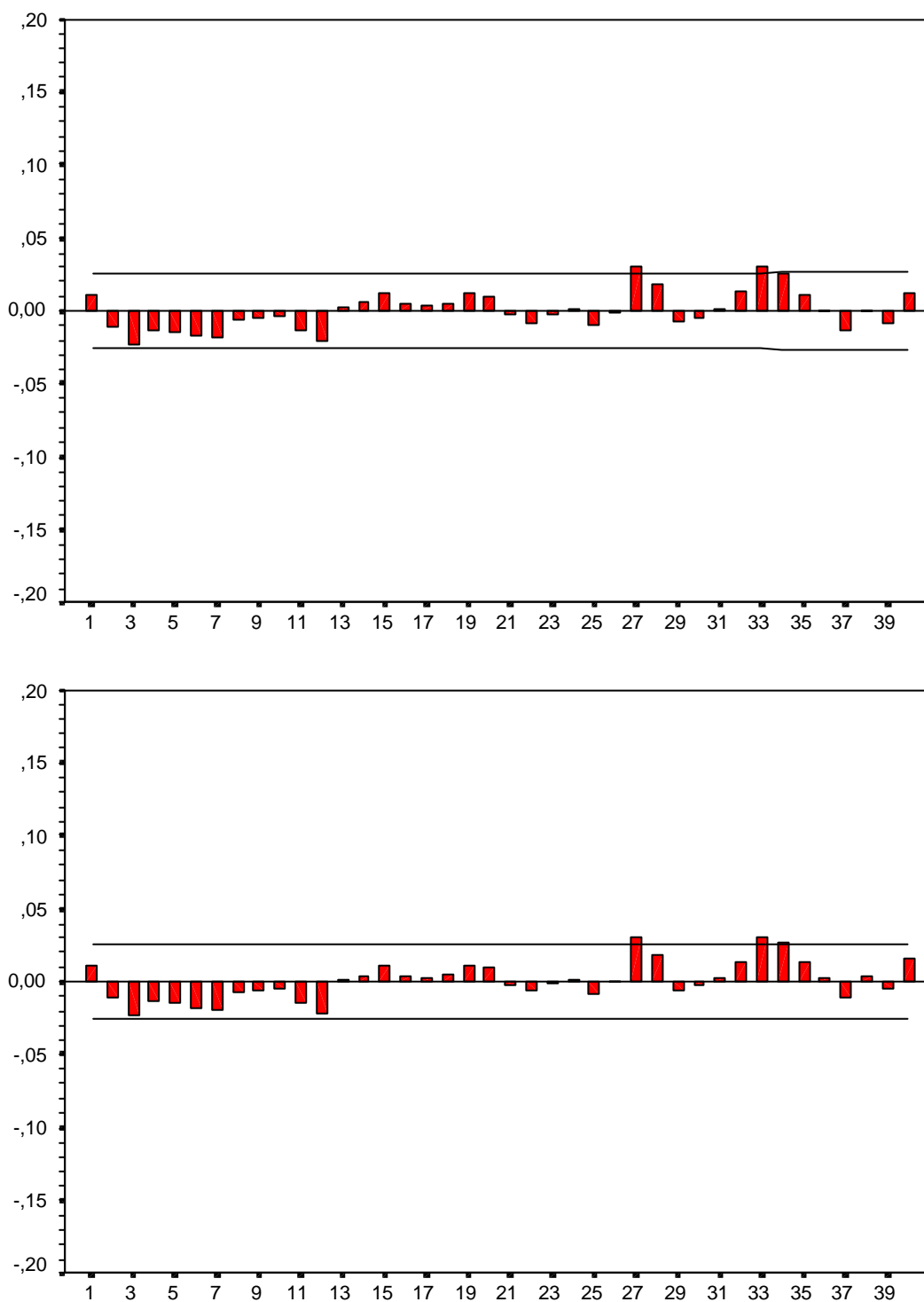


Figura A.52: Correlograma y correlograma parcial del valor absoluto de los residuos normalizados del modelo ARMA(2,4) sobre la media con GARCH(1,1) para la varianza sobre la diferencia de logaritmos del Bono diciembre 98 [cinco minutos]

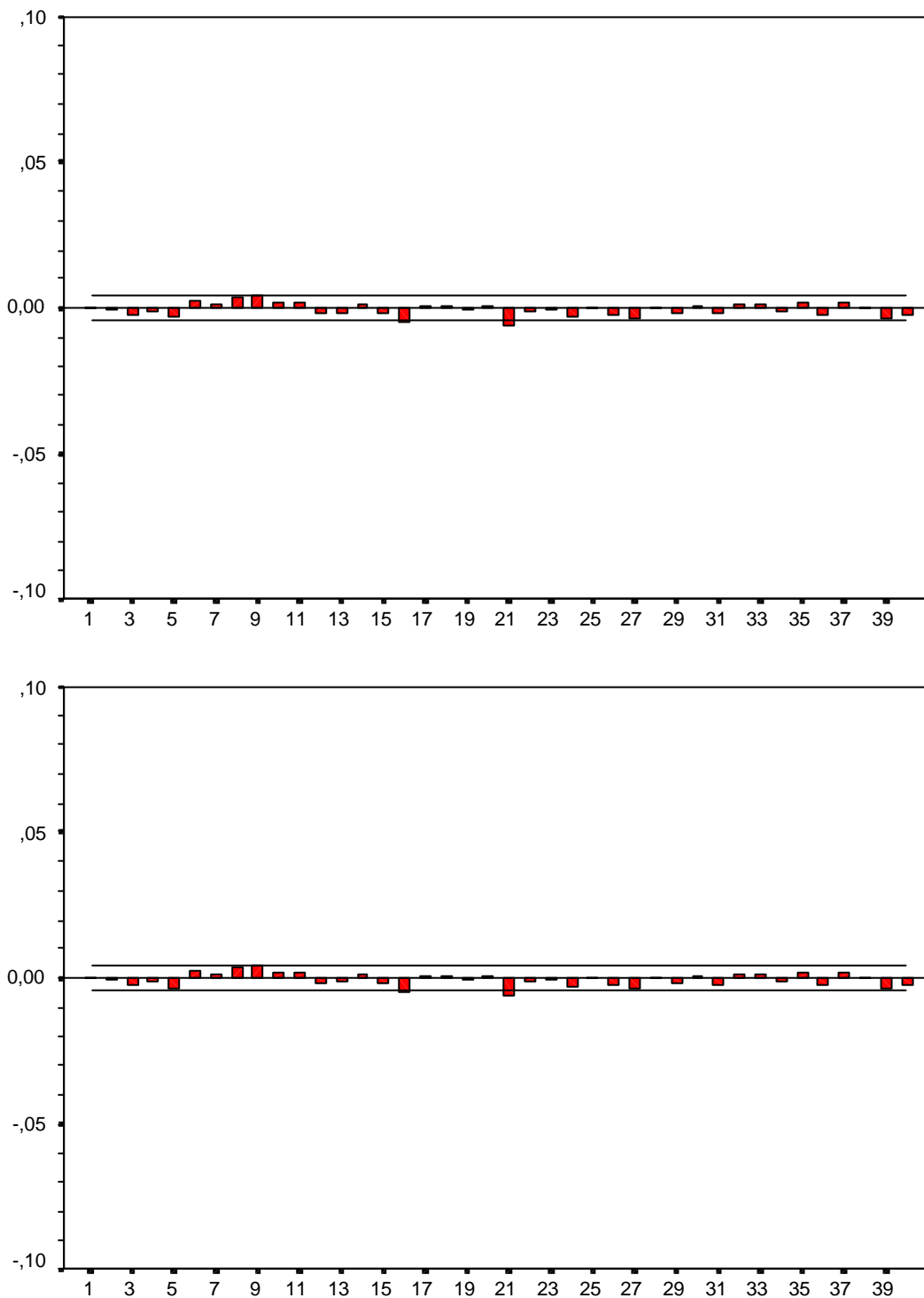


Figura A.53: Correlograma y correlograma parcial de residuos normalizados del modelo ARMA(1,1) sobre la media con GARCH-M(1,1) para la varianza sobre la diferencia de logaritmos del Bono marzo 98 [operación a operación]

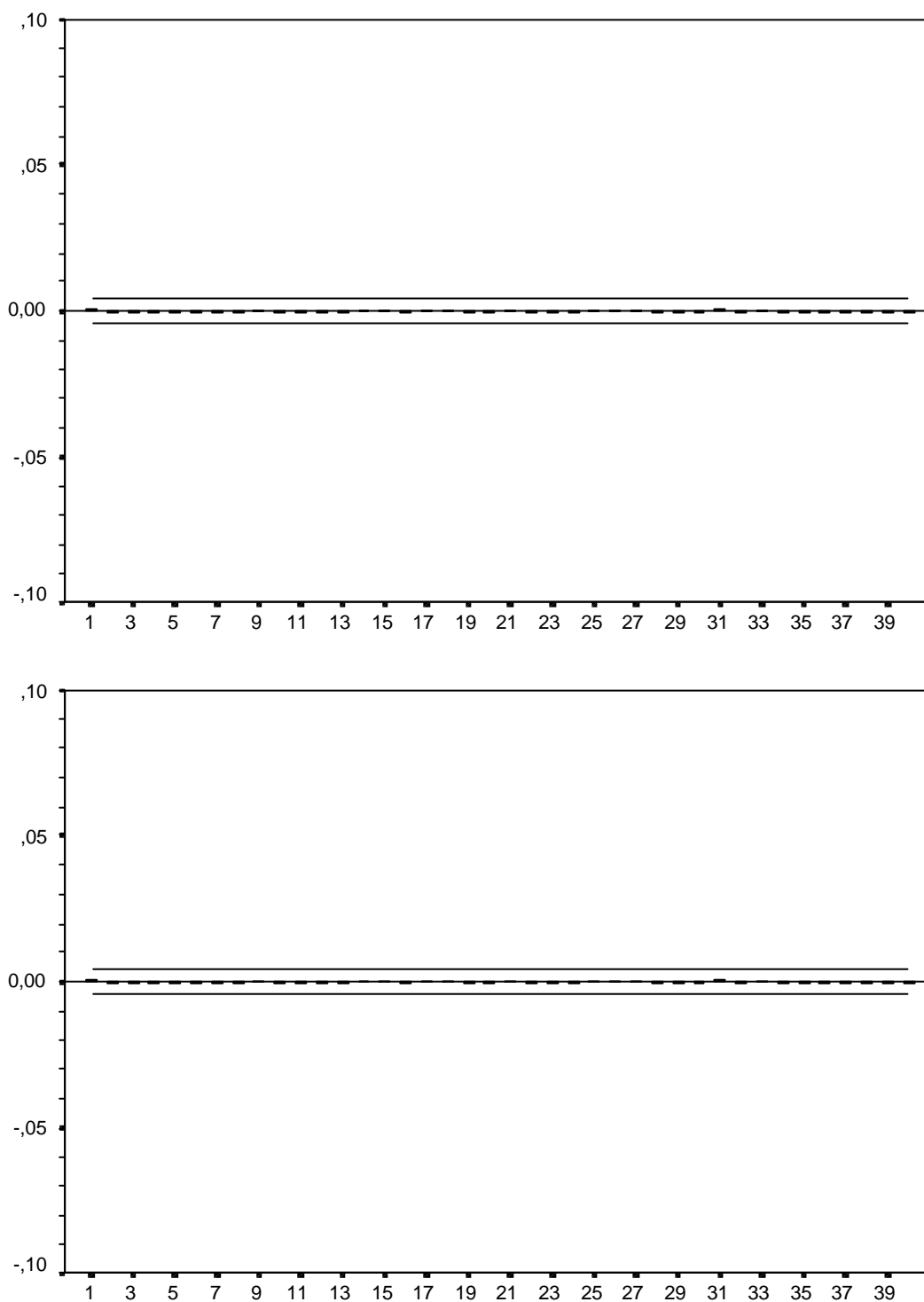


Figura A.54: Correlograma y correlograma parcial de residuos normalizados al cuadrado modelo ARMA(1,1) sobre la media con GARCH-M(1,1) para la varianza sobre la diferencia de logaritmos del Bono marzo 98
[operación a operación]

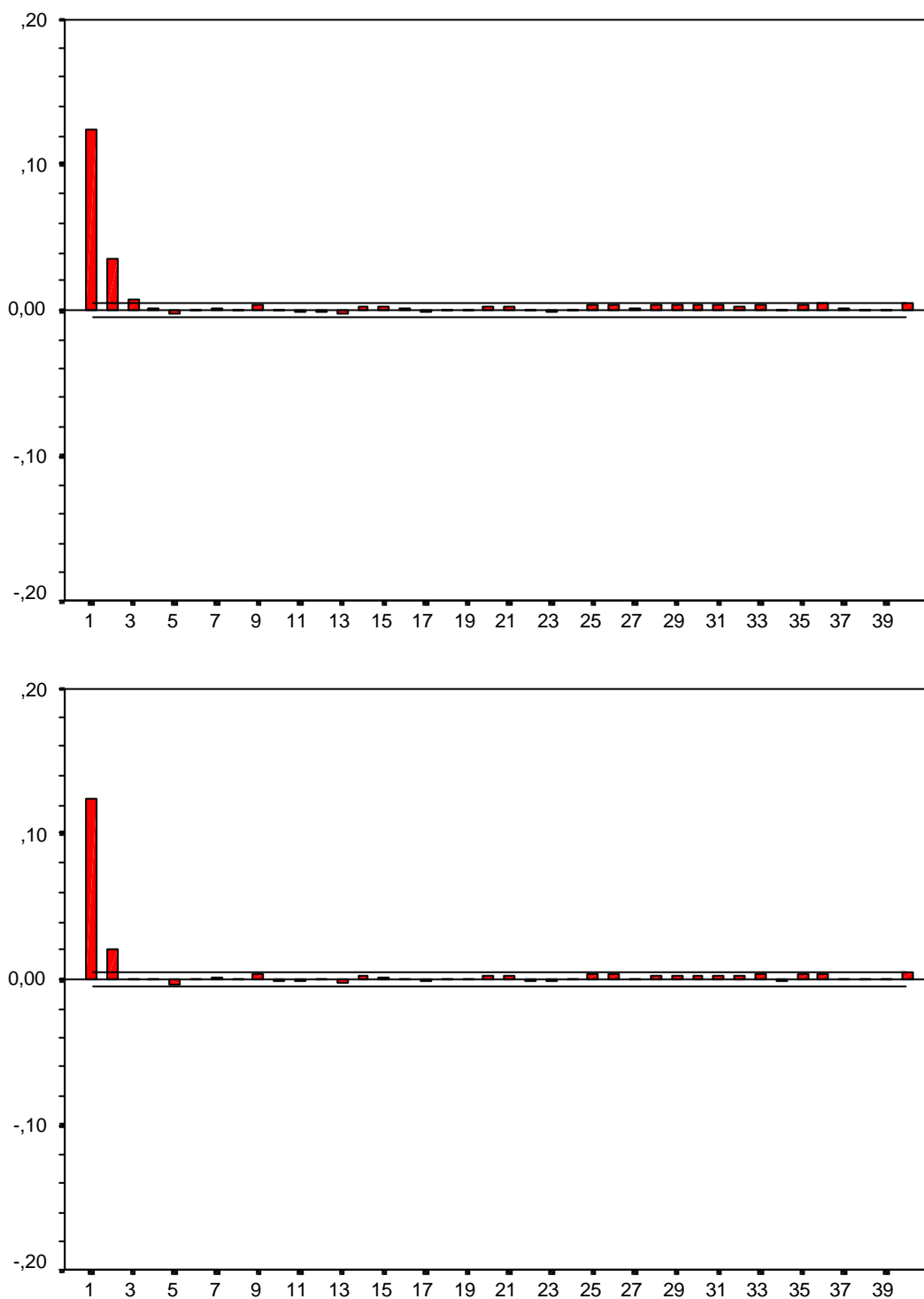


Figura A.55: Correlograma y correlograma parcial del valor absoluto de los residuos normalizados del modelo ARMA(1,1) sobre la media con GARCH-M(1,1) para la varianza sobre la diferencia de logaritmos del Bono marzo 98 [operación a operación]

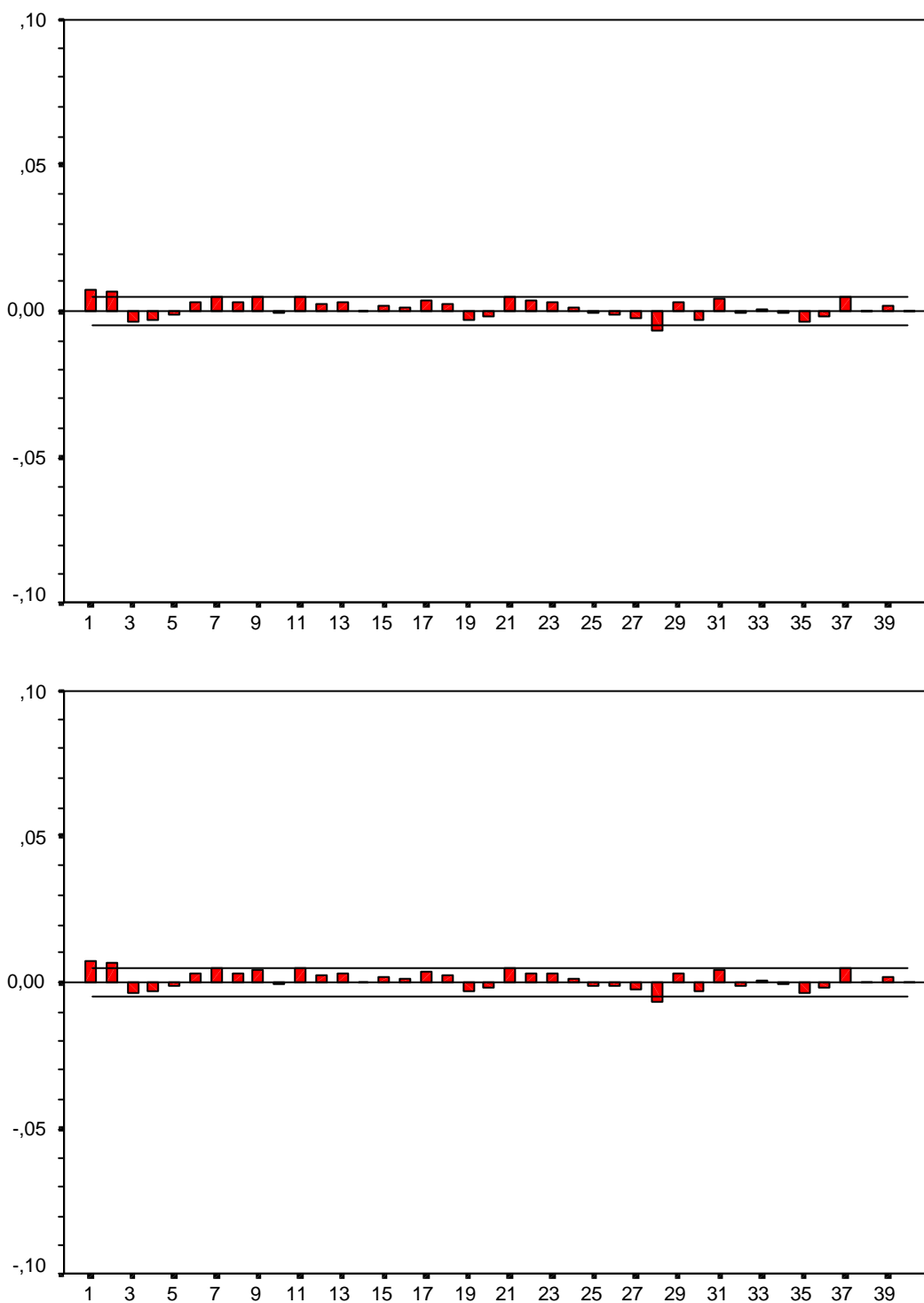


Figura A.56: Correlograma y correlograma parcial de residuos normalizados del modelo ARMA(1,1) sobre la media con GARCH-M(1,1) para la varianza sobre la diferencia de logaritmos del Bono junio 98 [operación a operación]

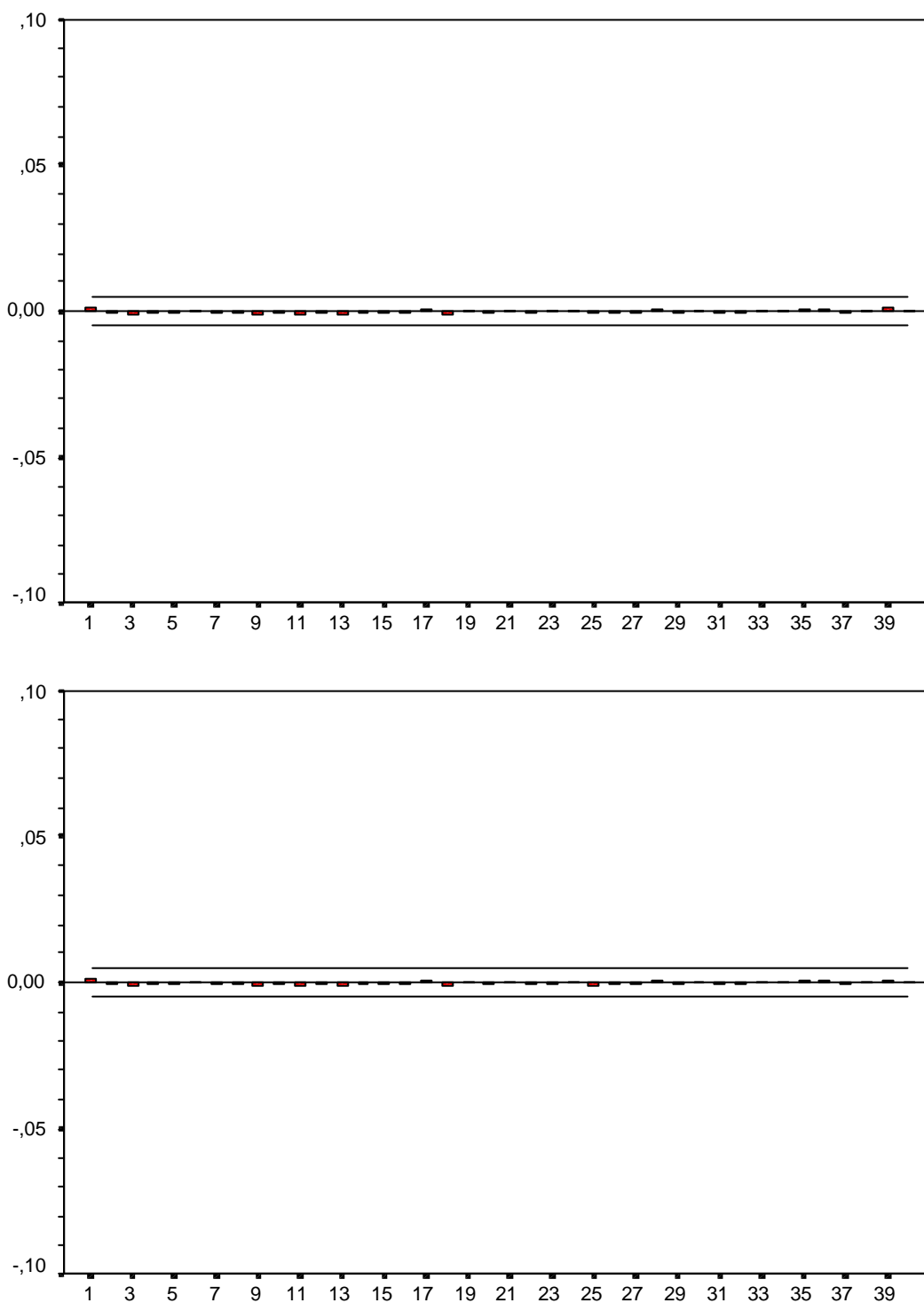


Figura A.57: Correlograma y correlograma parcial de residuos normalizados al cuadrado modelo ARMA(1,1) sobre la media con GARCH-M(1,1) para la varianza sobre la diferencia de logaritmos del Bono junio 98
[operación a operación]

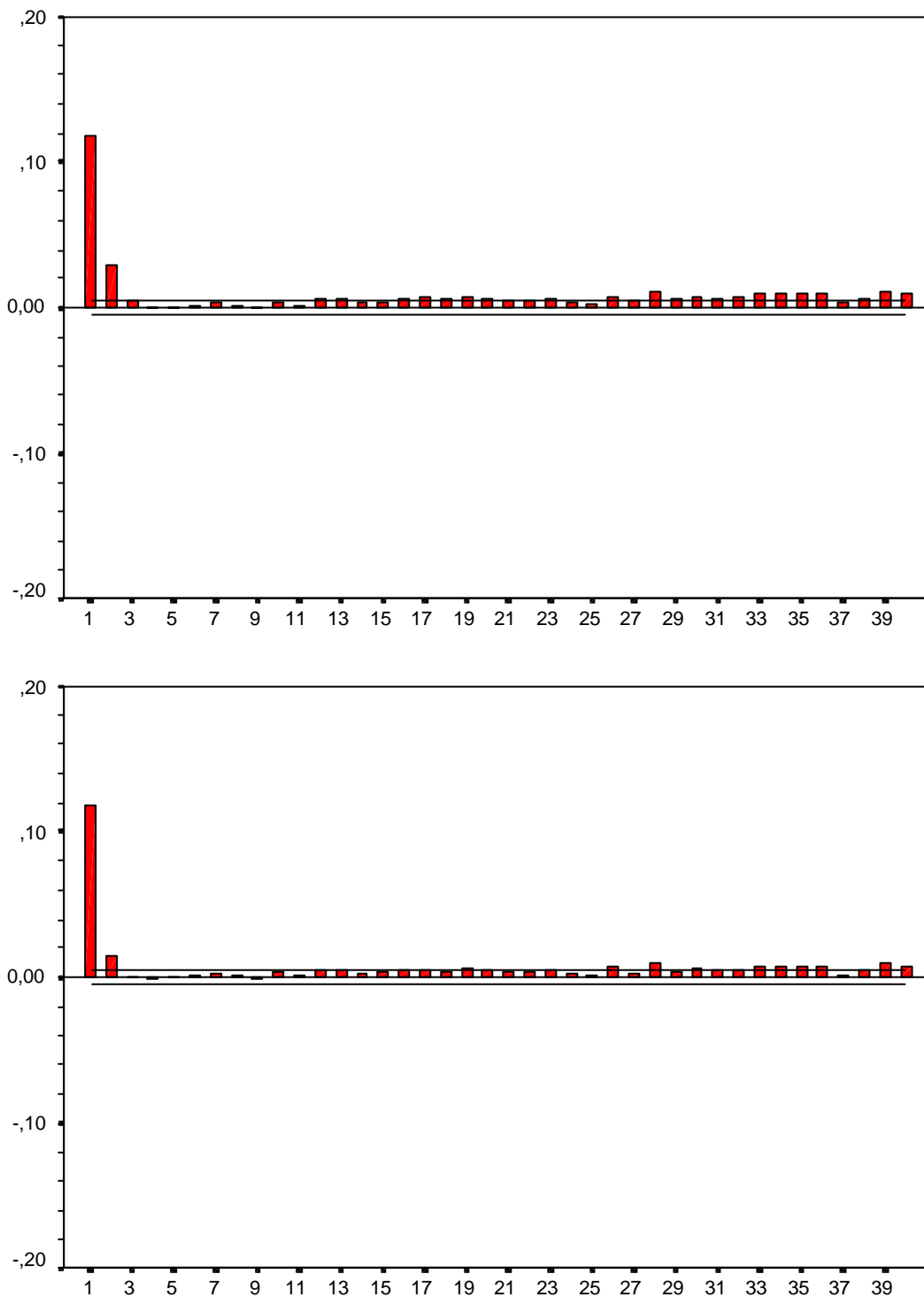


Figura A.58: Correlograma y correlograma parcial del valor absoluto de los residuos normalizados del modelo ARMA(1,1) sobre la media con GARCH-M(1,1) para la varianza sobre la diferencia de logaritmos del Bono junio 98 [operación a operación]

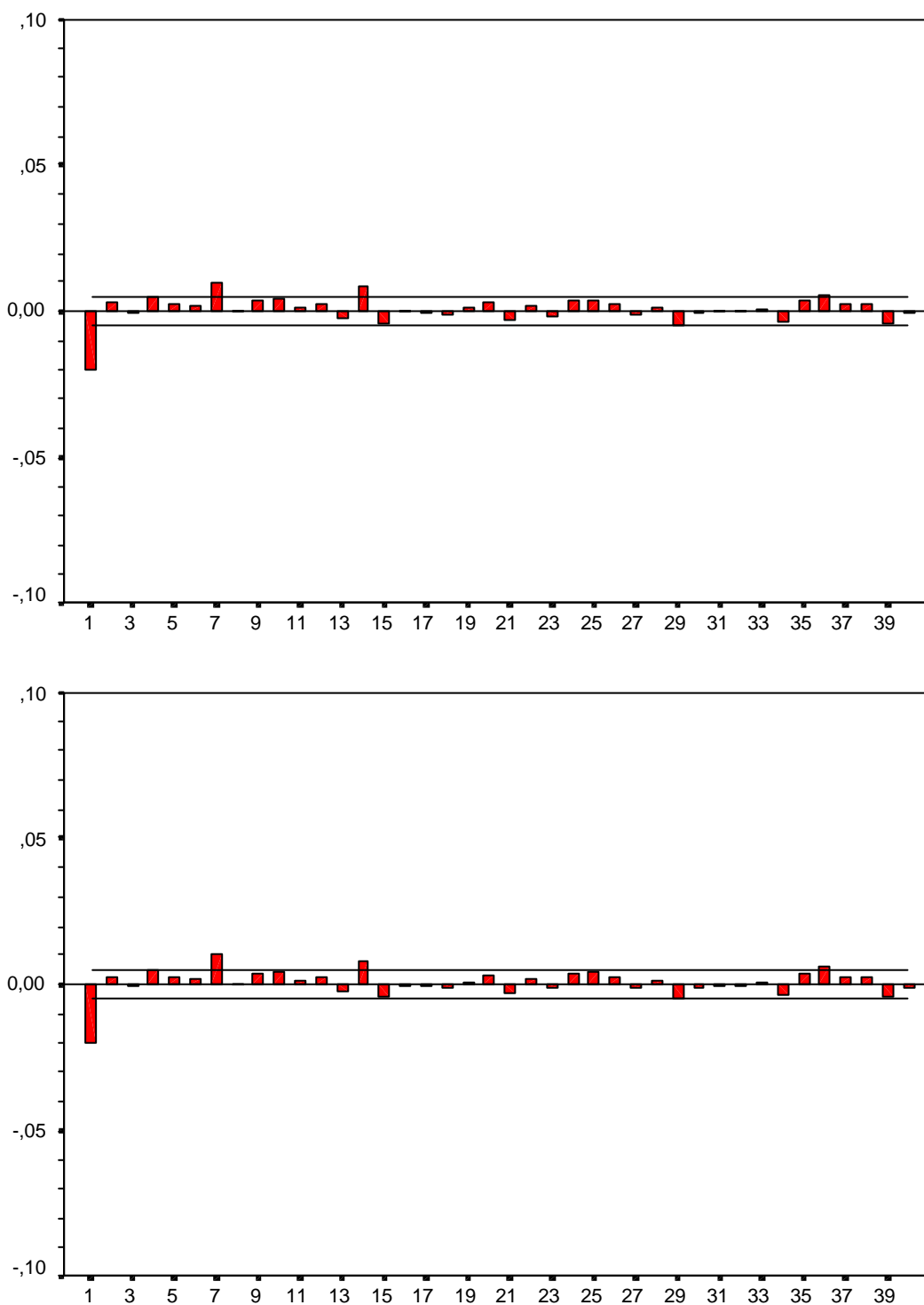


Figura A.59: Correlograma y correlograma parcial de residuos normalizados del modelo ARMA(1,1) sobre la media con GARCH(1,1)-M para la varianza sobre la diferencia de logaritmos del Bono septiembre 98 [operación a operación]

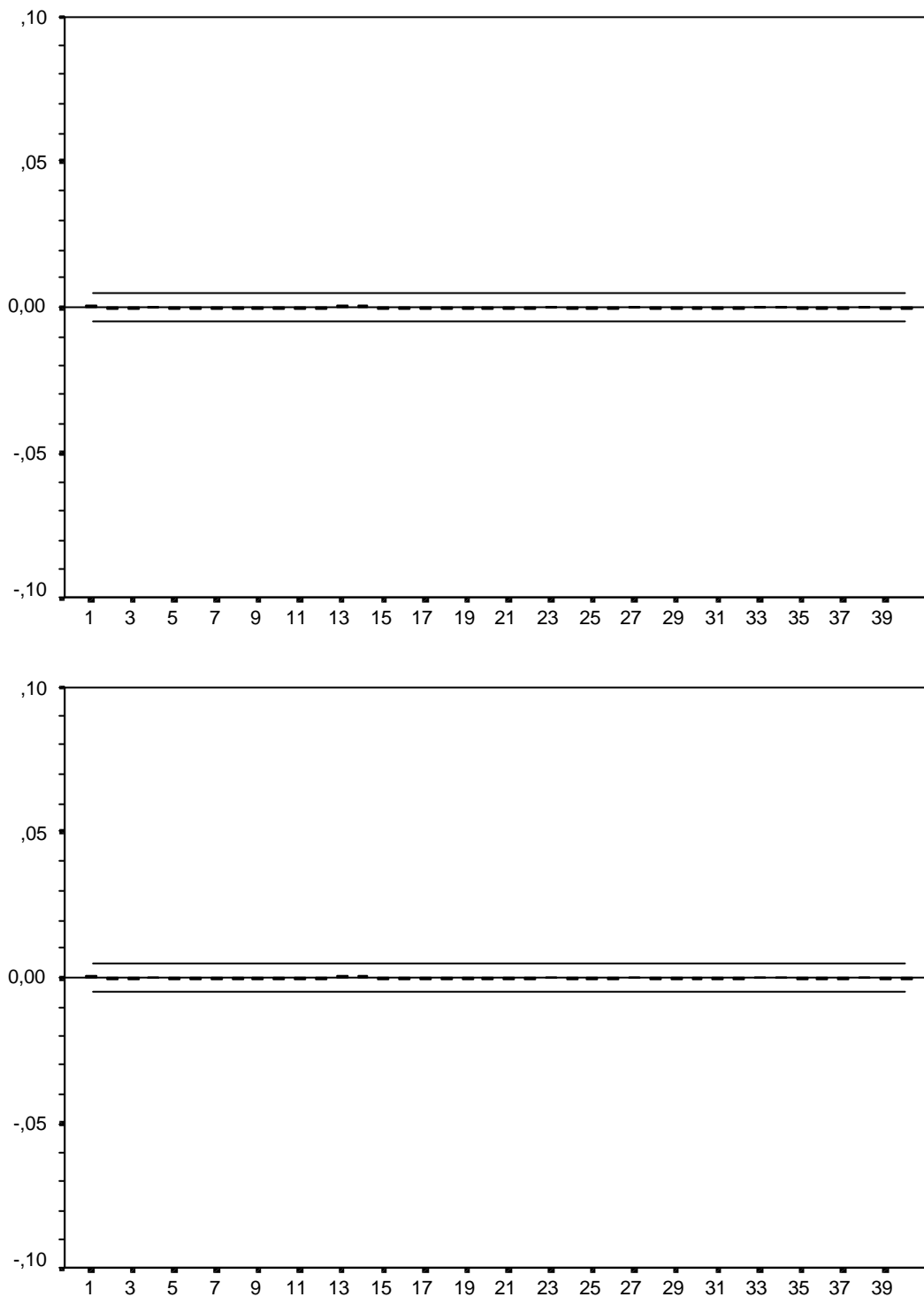


Figura A.60: Correlograma y correlograma parcial de residuos normalizados al cuadrado modelo ARMA(1,1) sobre la media con GARCH(1,1)-M para la varianza sobre la diferencia de logaritmos del Bono septiembre 98

[operación a operación]

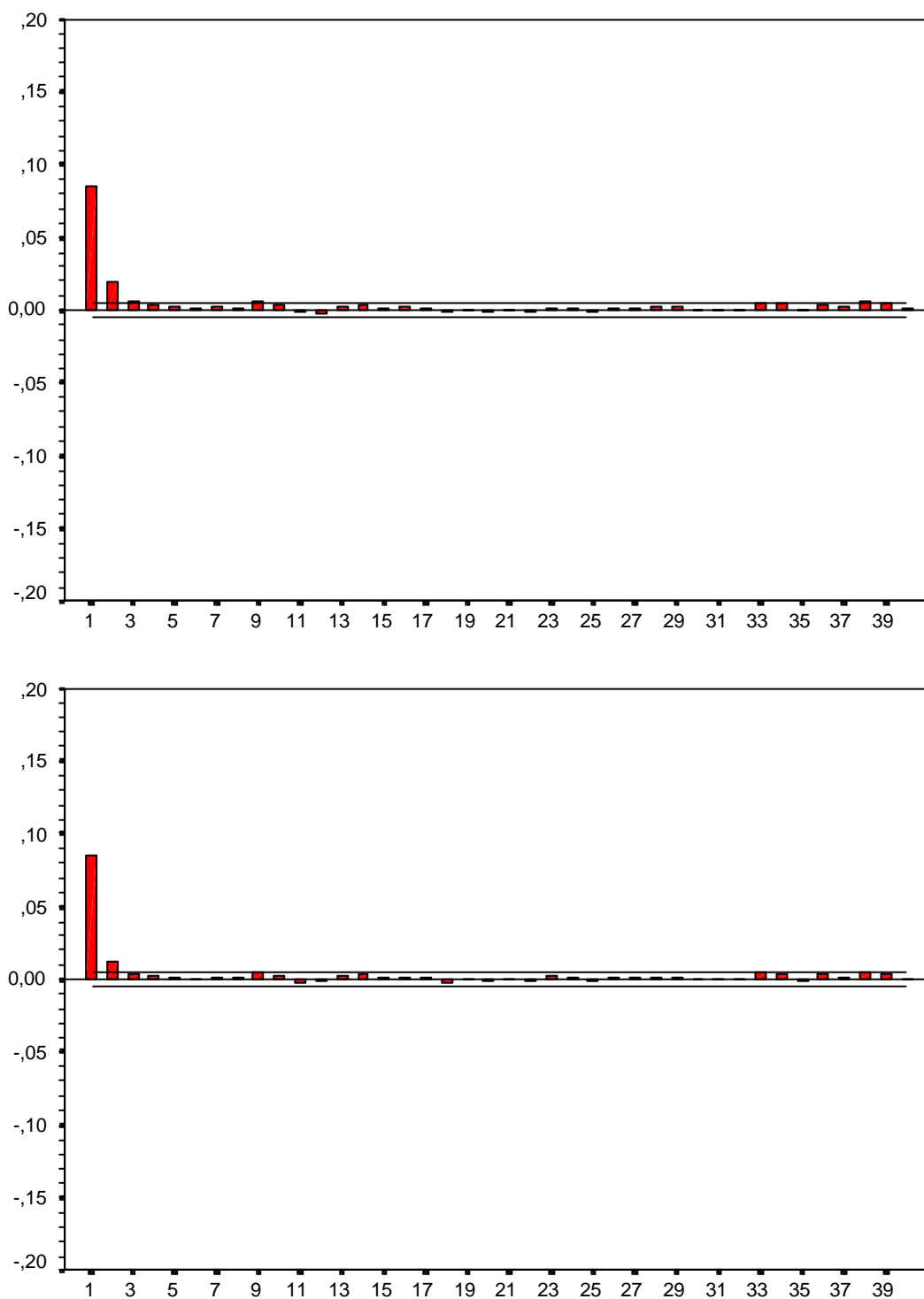


Figura A.61: Correlograma y correlograma parcial del valor absoluto de los residuos normalizados del modelo ARMA(1,1) sobre la media con GARCH(1,1)-M para la varianza sobre la diferencia de logaritmos del Bono septiembre 98

[operación a operación]

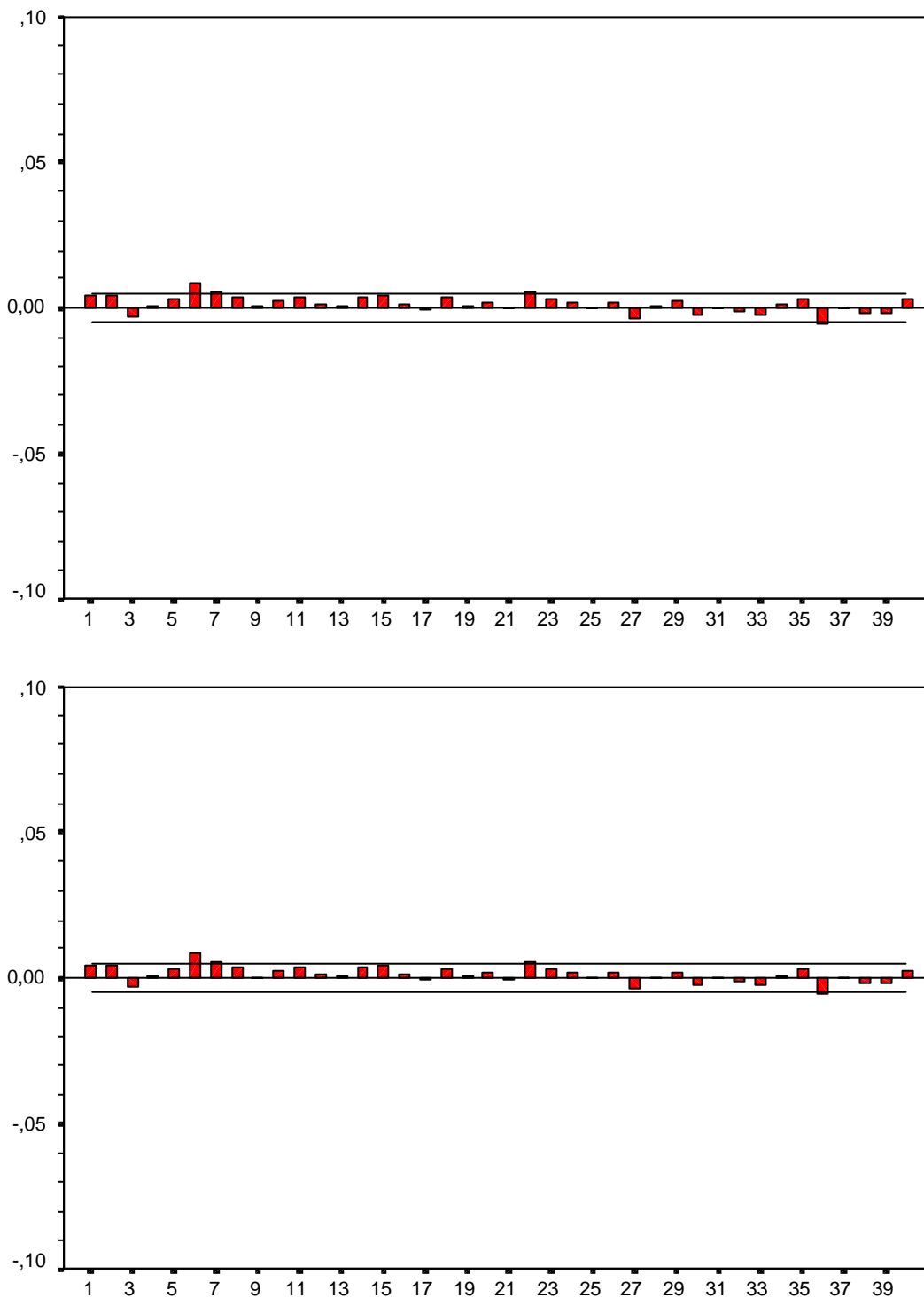


Figura A.62: Correlograma y correlograma parcial de residuos normalizados del modelo ARMA(1,1) sobre la media con GARCH-M(1,1) para la varianza sobre la diferencia de logaritmos del Bono diciembre 98
[operación a operación]

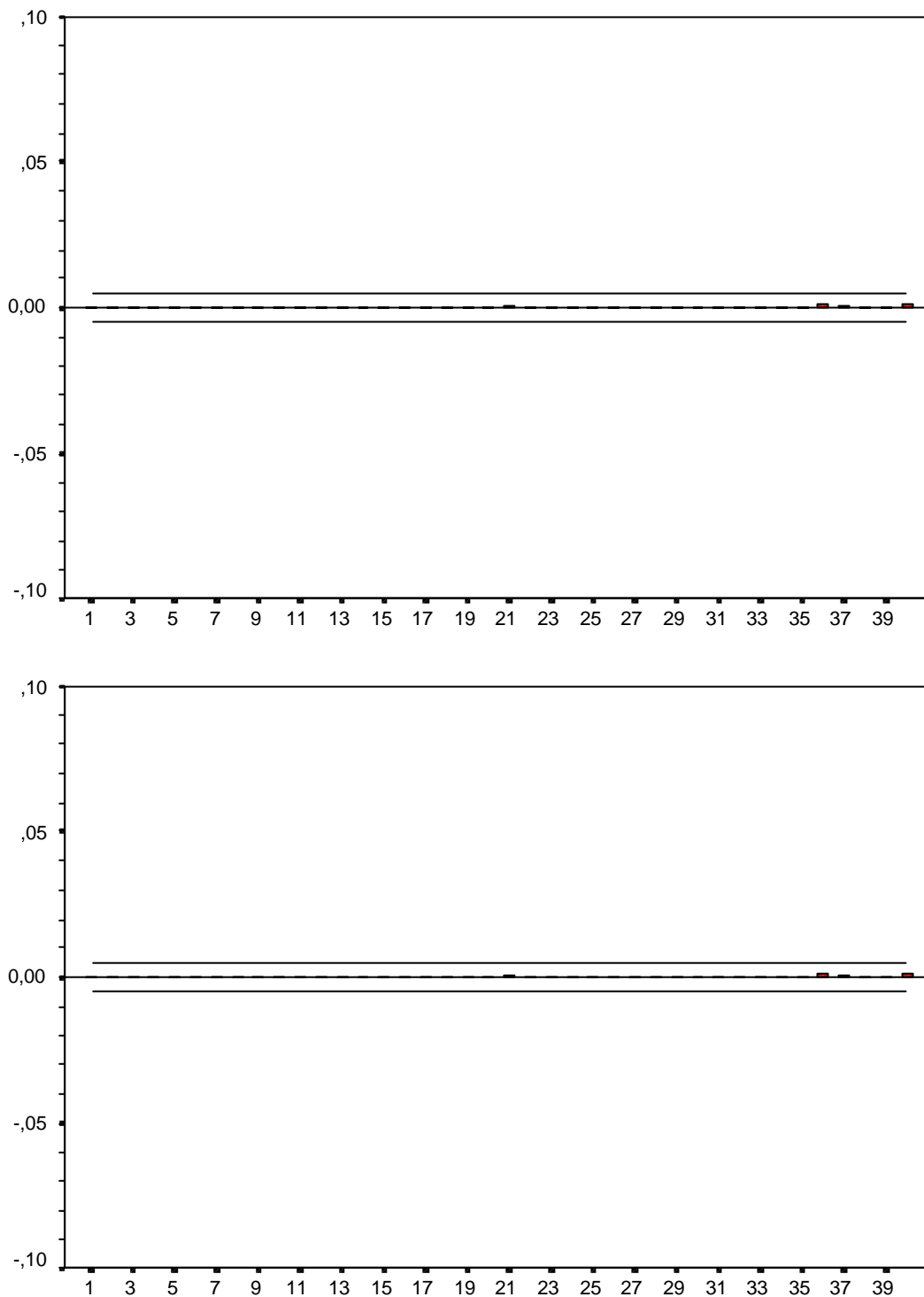


Figura A.63: Correlograma y correlograma parcial de residuos normalizados al cuadrado modelo ARMA(1,1) sobre la media con GARCH-M(1,1) para la varianza sobre la diferencia de logaritmos del Bono diciembre 98
[operación a operación]

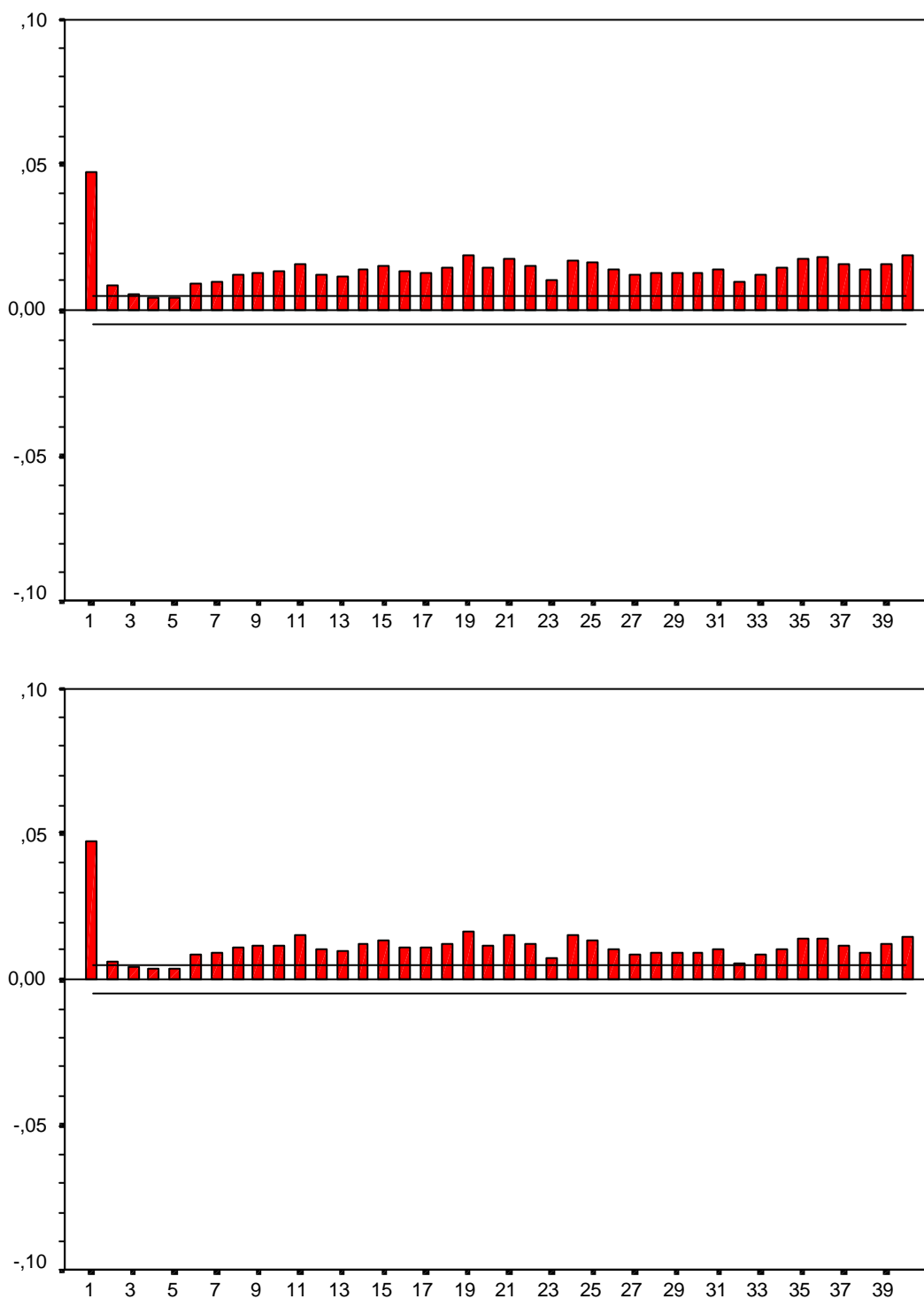


Figura A.64: Correlograma y correlograma parcial del valor absoluto de los residuos normalizados del modelo ARMA(1,1) sobre la media con GARCH-M(1,1) para la varianza sobre la diferencia de logaritmos del Bono diciembre 98 [operación a operación]

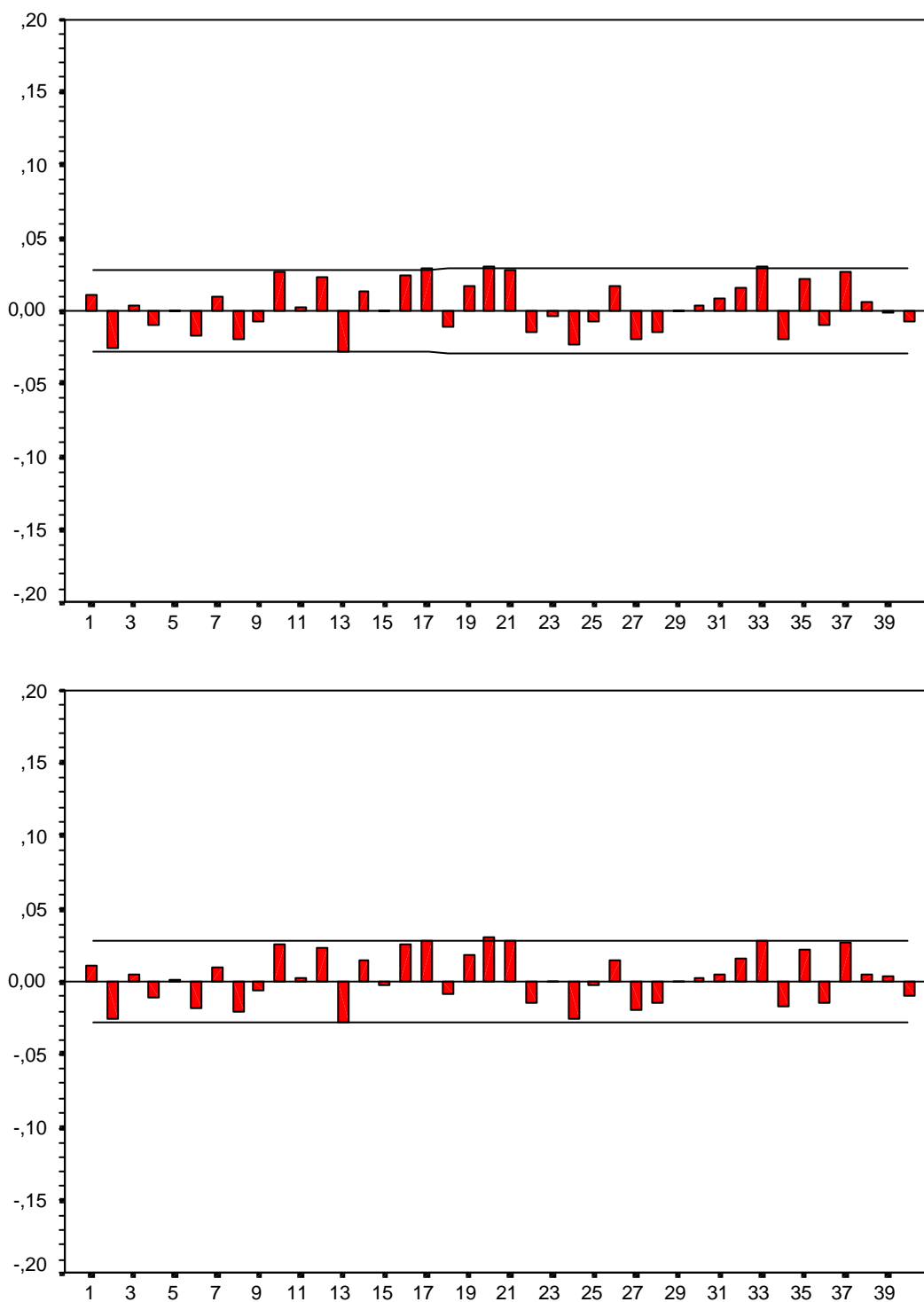


Figura A.65: Correlograma y correlograma parcial de residuos normalizados del modelo ARMA(2,0) sobre la media con GARCH-M(1,1) para la varianza sobre la diferencia de logaritmos del Bono marzo 98 [cinco minutos]

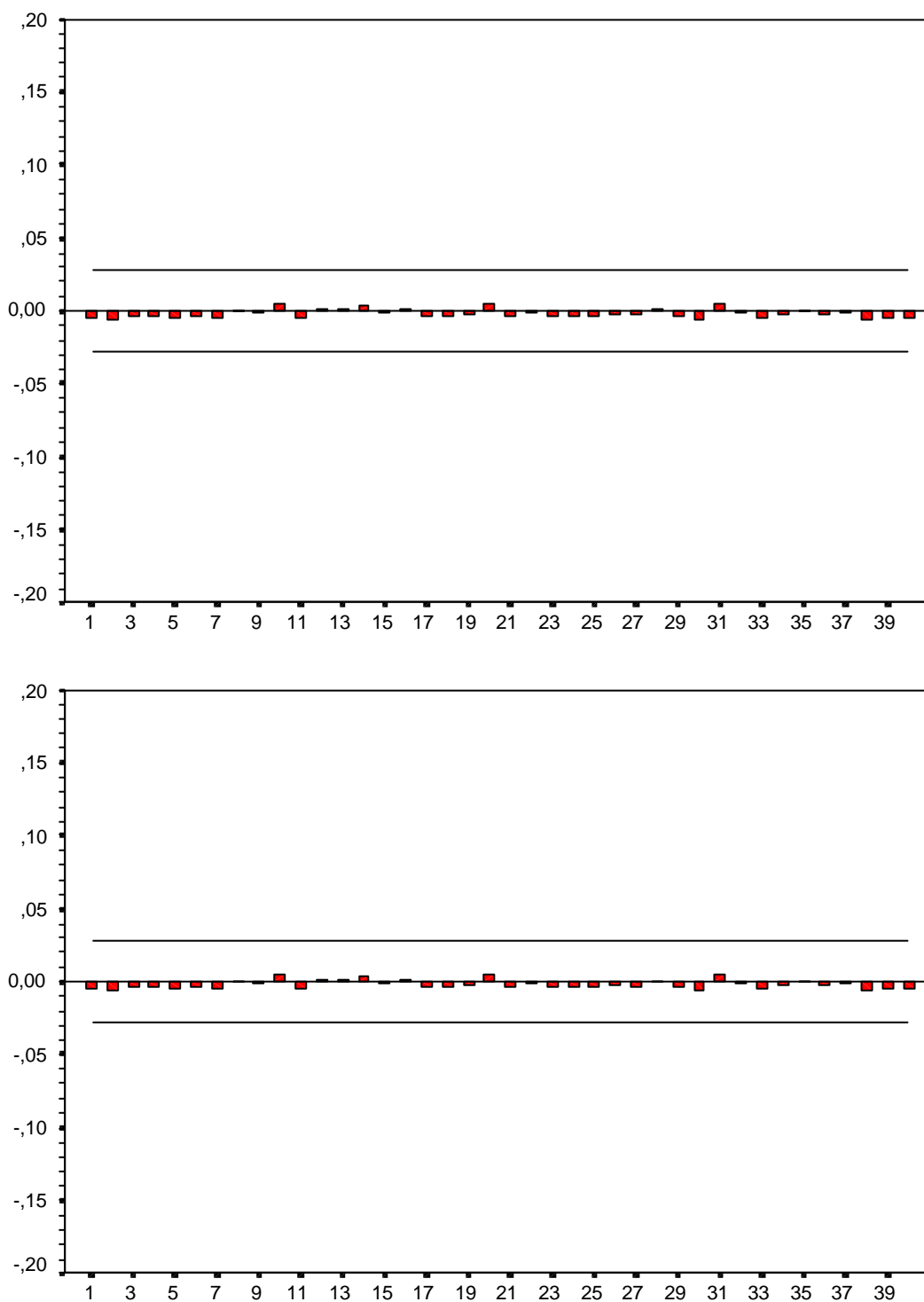


Figura A.66: Correlograma y correlograma parcial de residuos normalizados al cuadrado modelo ARMA(2,0) sobre la media con GARCH-M(1,1) para la varianza sobre la diferencia de logaritmos del Bono marzo 98
[cinco minutos]

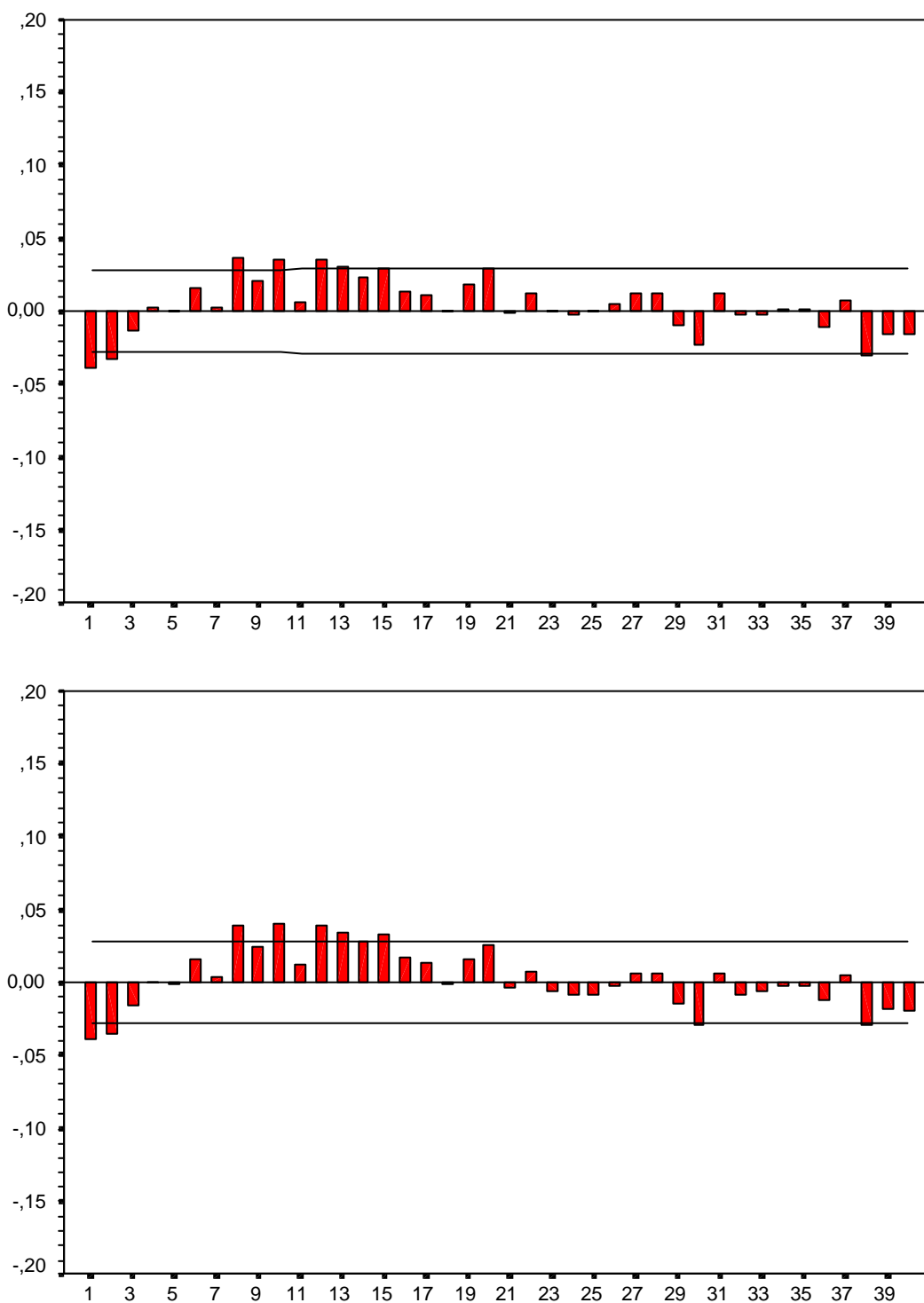


Figura A.67: Correlograma y correlograma parcial del valor absoluto de los residuos normalizados del modelo ARMA(2,0) sobre la media con GARCH-M(1,1) para la varianza sobre la diferencia de logaritmos del Bono marzo 98 [cinco minutos]

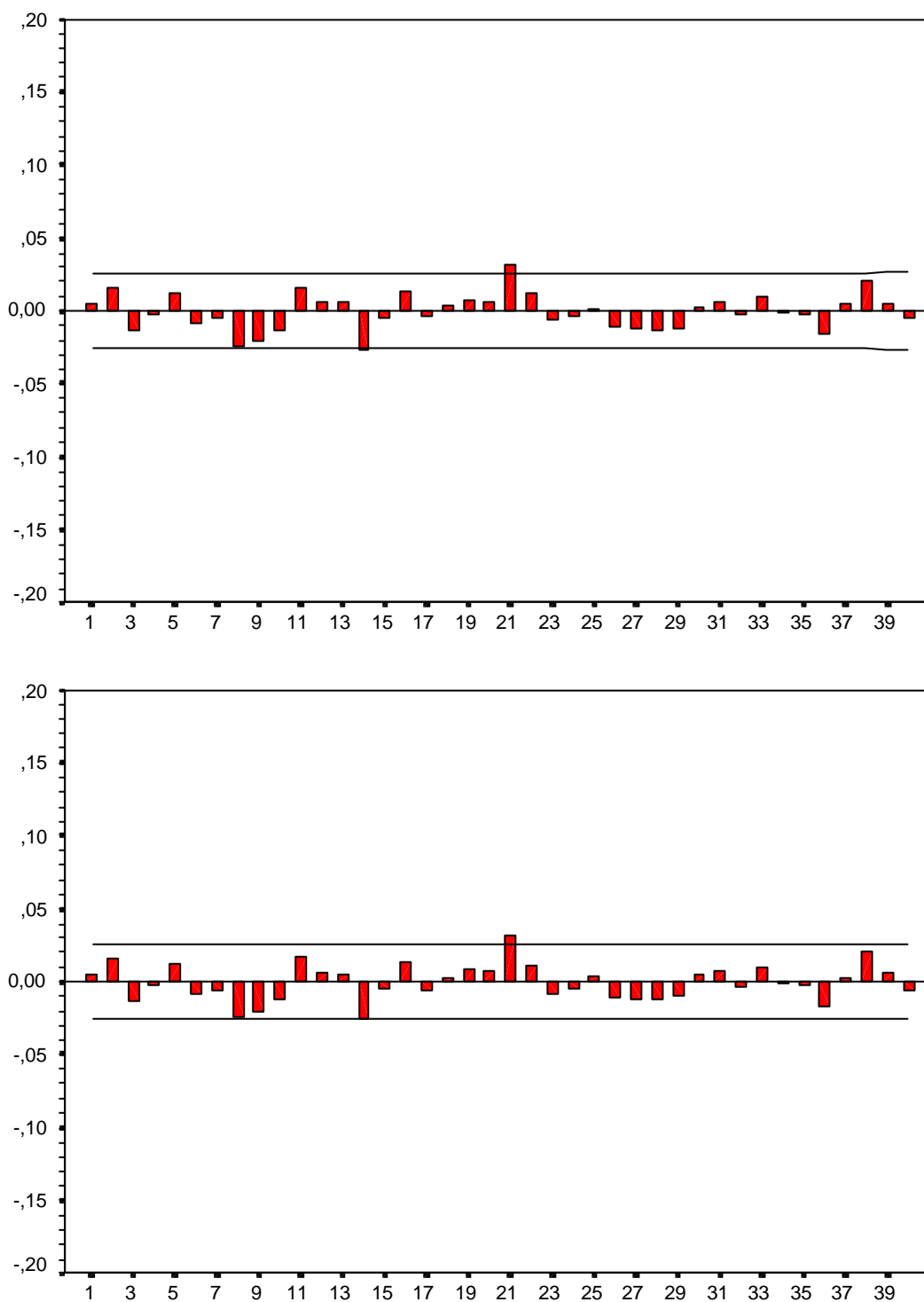


Figura A.68: Correlograma y correlograma parcial de residuos normalizados del modelo ARMA(0,0) sobre la media con GARCH-M(1,1) para la varianza sobre la diferencia de logaritmos del Bono junio 98 [cinco minutos]

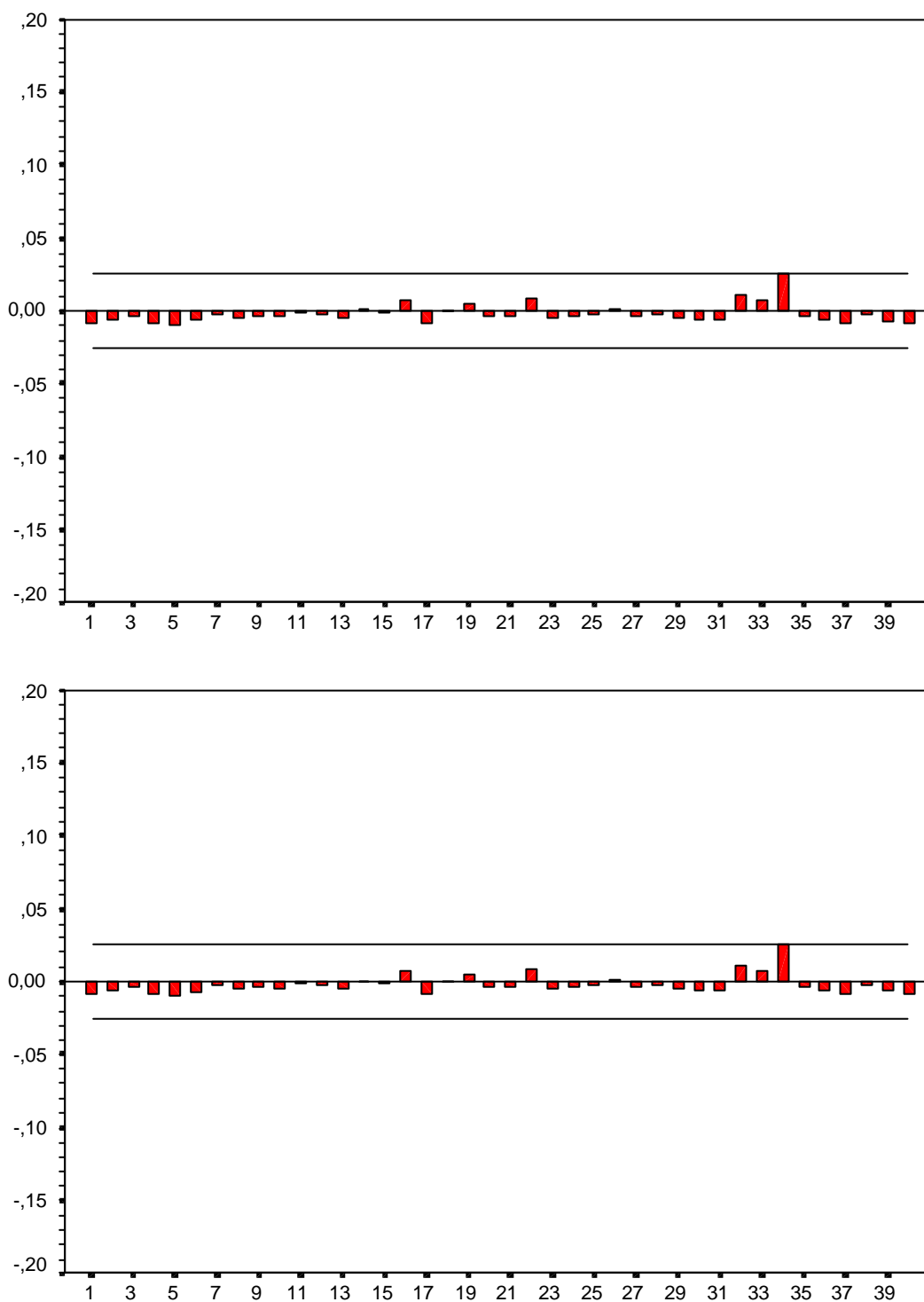


Figura A.69: Correlograma y correlograma parcial de residuos normalizados al cuadrado modelo ARMA(0,0) sobre la media con GARCH-M(1,1) para la varianza sobre la diferencia de logaritmos del Bono junio 98
[cinco minutos]

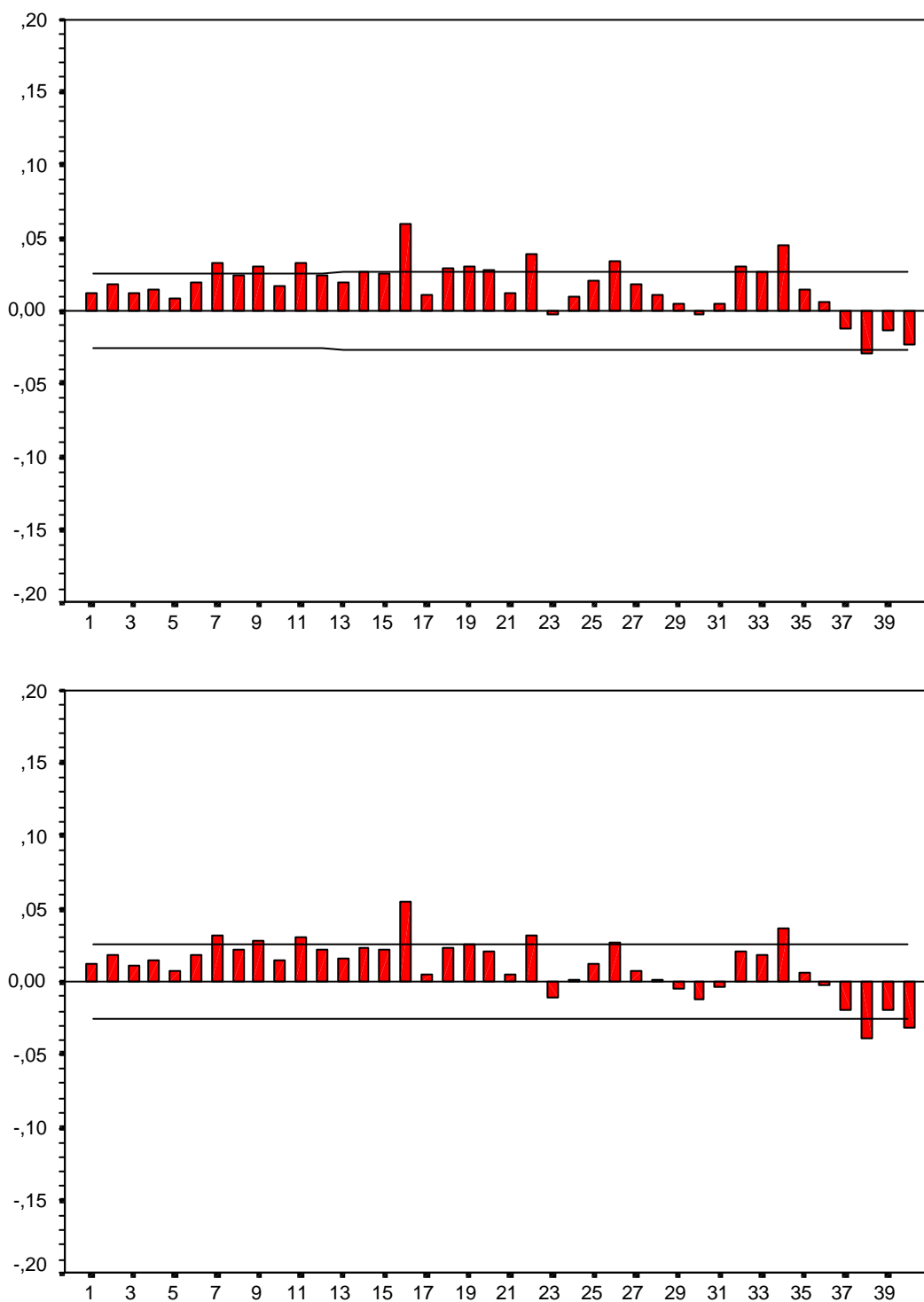


Figura A.70: Correlograma y correlograma parcial del valor absoluto de los residuos normalizados del modelo ARMA(0,0) sobre la media con GARCH-M(1,1) para la varianza sobre la diferencia de logaritmos del Bono junio 98 [cinco minutos]

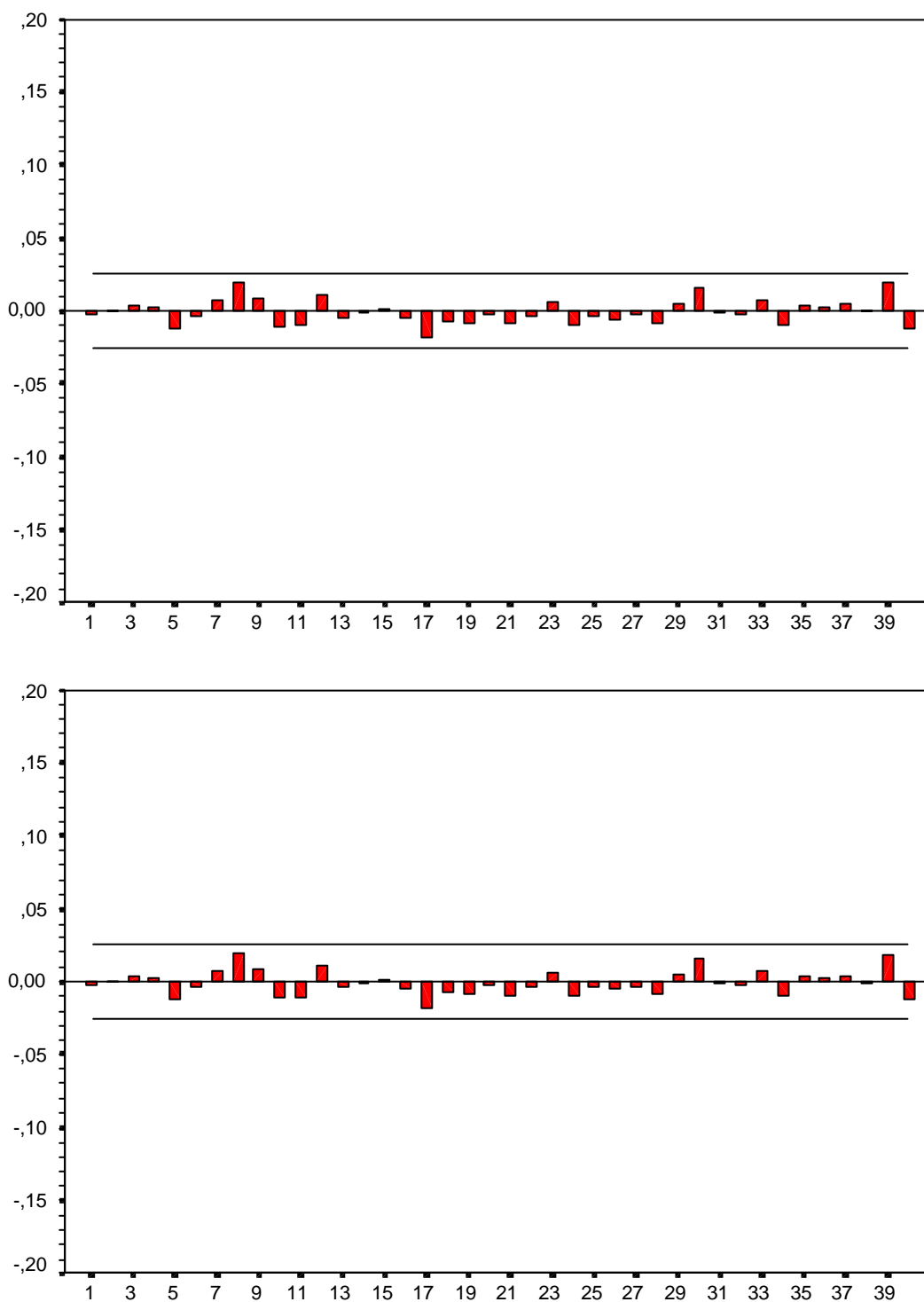


Figura A.71: Correlograma y correlograma parcial de residuos normalizados del modelo ARMA(0,0) sobre la media con GARCH-M(1,1) para la varianza sobre la diferencia de logaritmos del Bono septiembre 98 [cinco minutos]

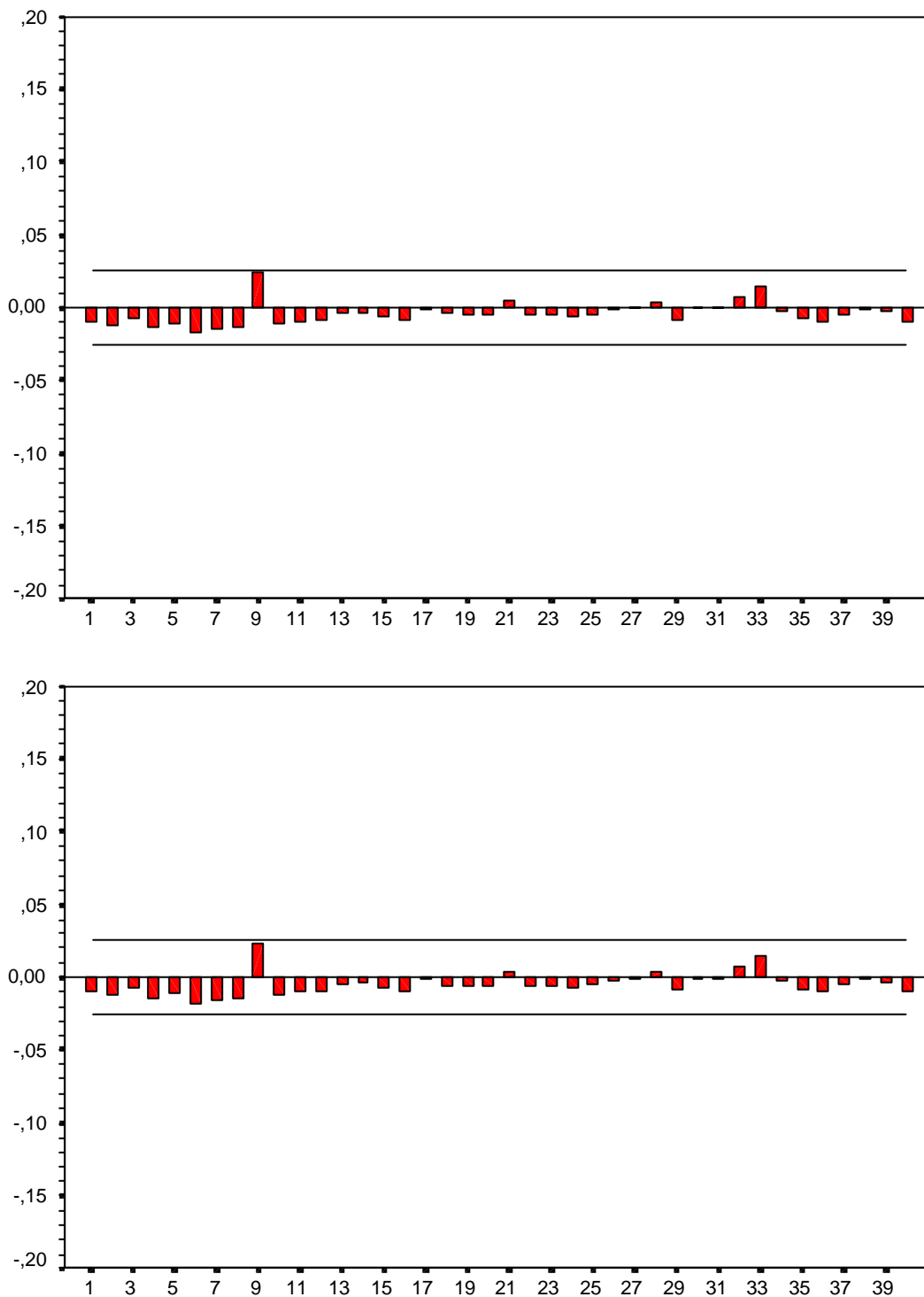


Figura A.72: Correlograma y correlograma parcial de residuos normalizados al cuadrado modelo ARMA(0,0) sobre la media con GARCH-M(1,1) para la varianza sobre la diferencia de logaritmos del Bono septiembre 98
[cinco minutos]

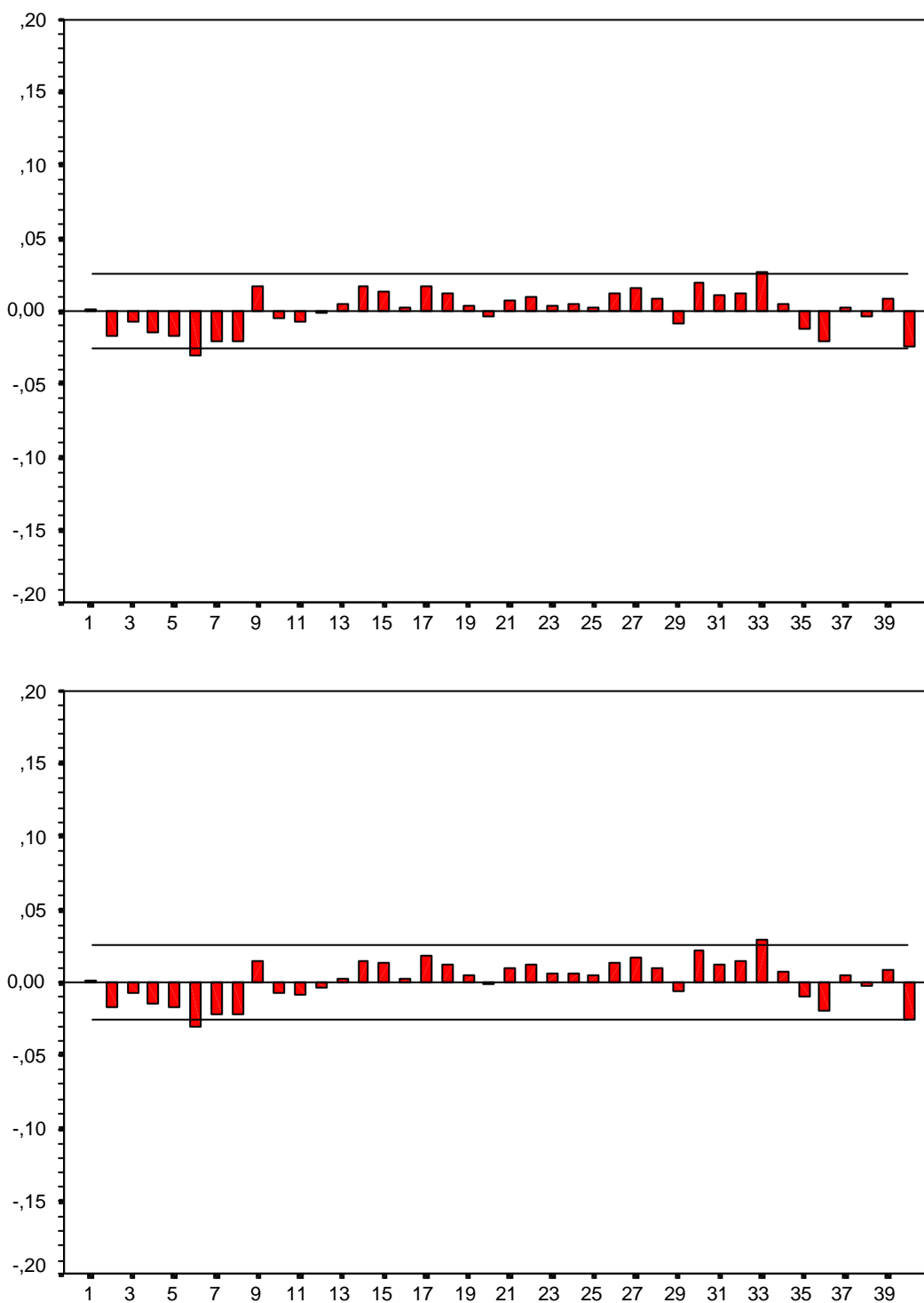


Figura A.73: Correlograma y correlograma parcial del valor absoluto de los residuos normalizados del modelo ARMA(0,0) sobre la media con GARCH-M(1,1) para la varianza sobre la diferencia de logaritmos del Bono septiembre 98 [cinco minutos]

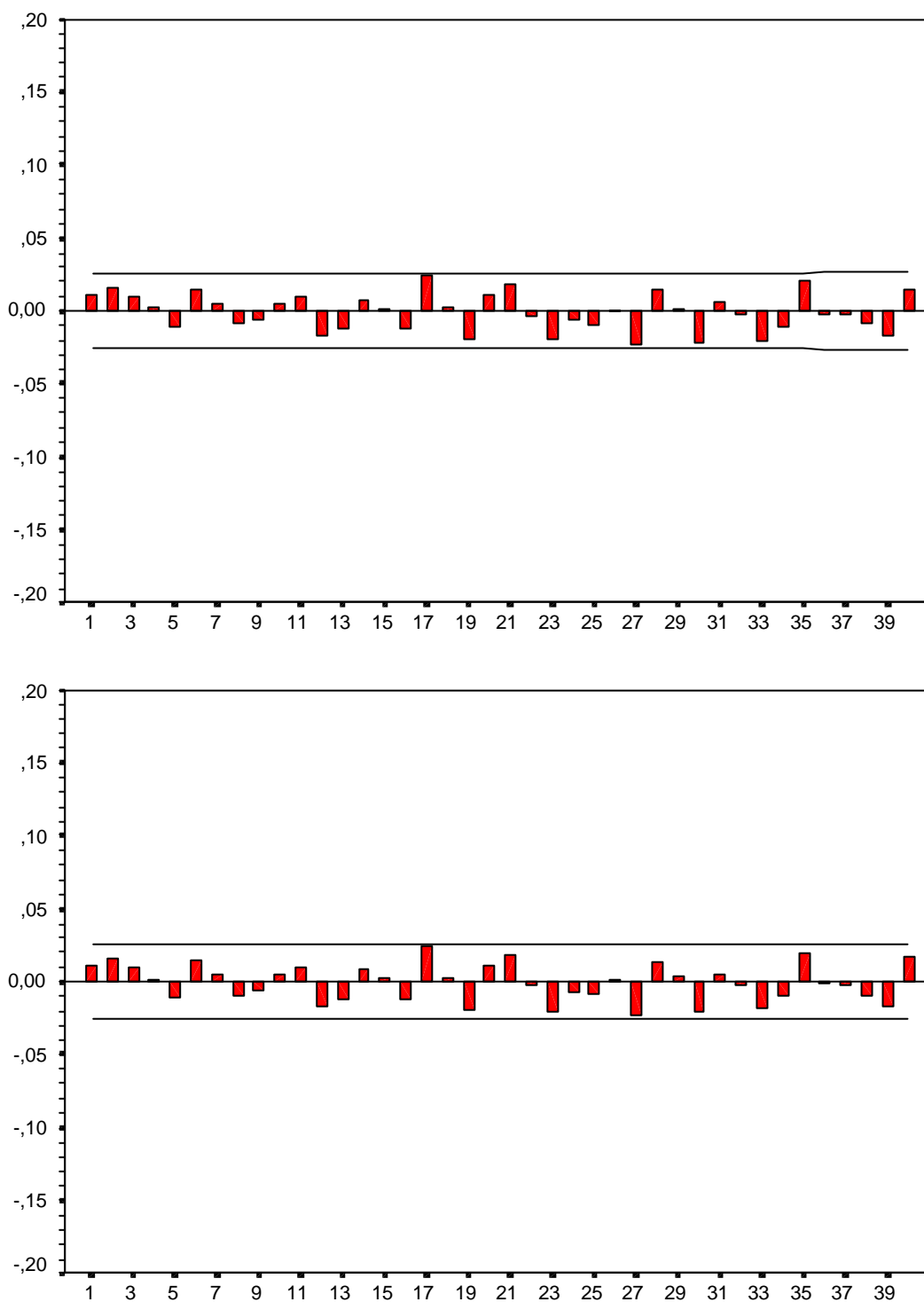


Figura A.74: Correlograma y correlograma parcial de residuos normalizados del modelo ARMA(2,4) sobre la media con GARCH-M(1,1) para la varianza sobre la diferencia de logaritmos del Bono diciembre 98 [cinco minutos]

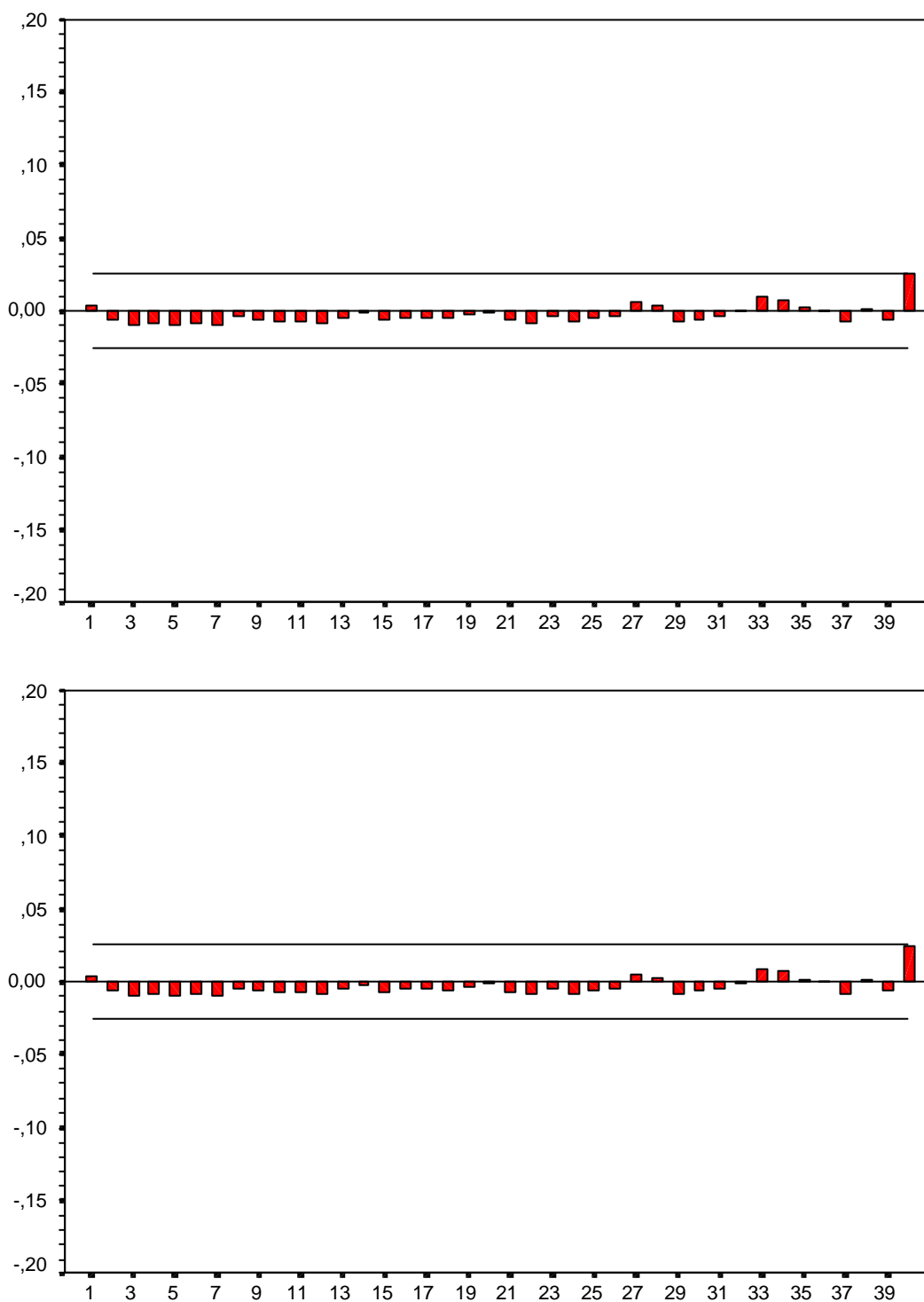


Figura A.75: Correlograma y correlograma parcial de residuos normalizados al cuadrado modelo ARMA(2,4) sobre la media con GARCH-M(1,1) para la varianza sobre la diferencia de logaritmos del Bono diciembre 98 [cinco minutos]

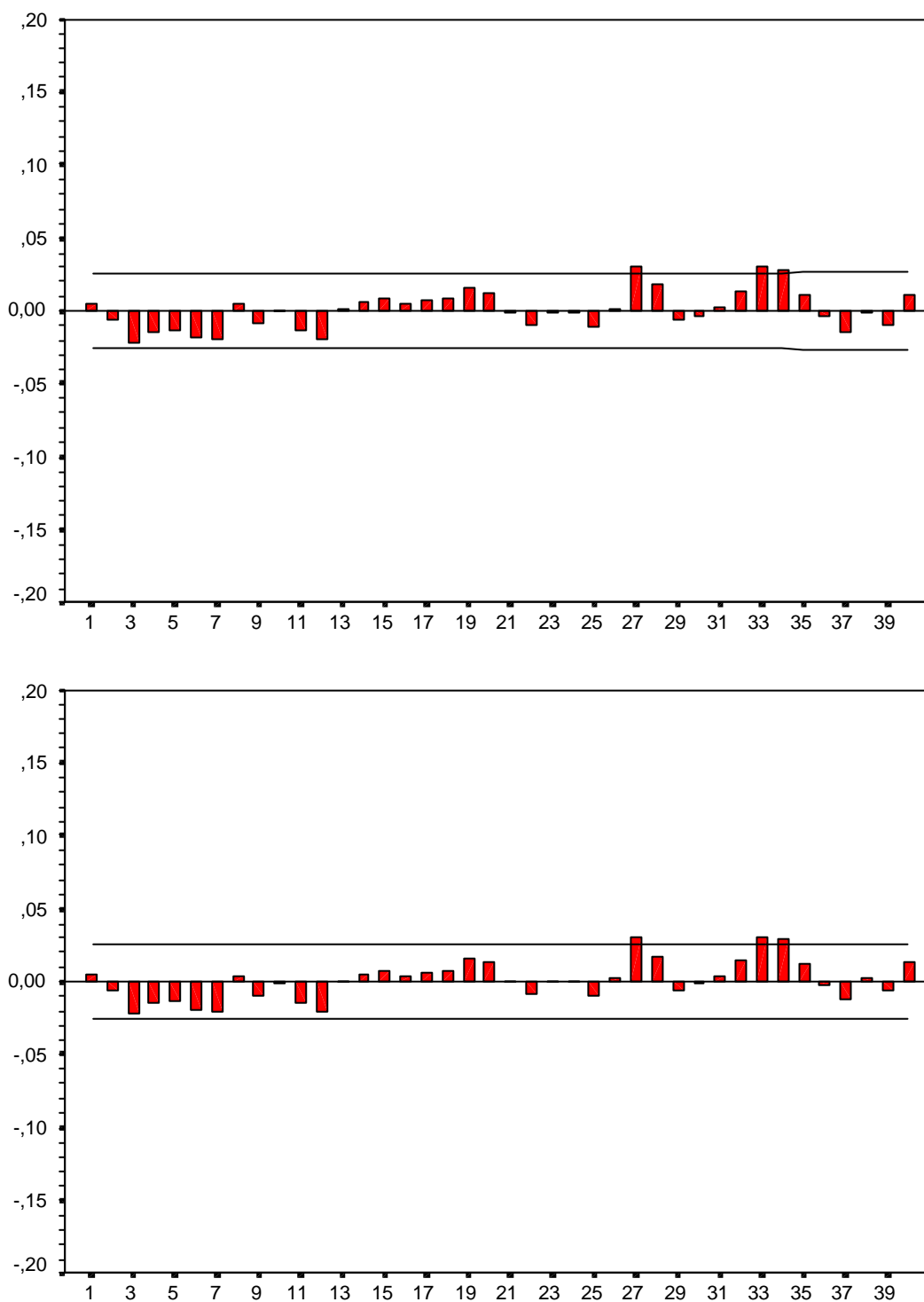


Figura A.76: Correlograma y correlograma parcial del valor absoluto de los residuos normalizados del modelo ARMA(2,4) sobre la media con GARCH-M(1,1) para la varianza sobre la diferencia de logaritmos del Bono diciembre 98 [cinco minutos]

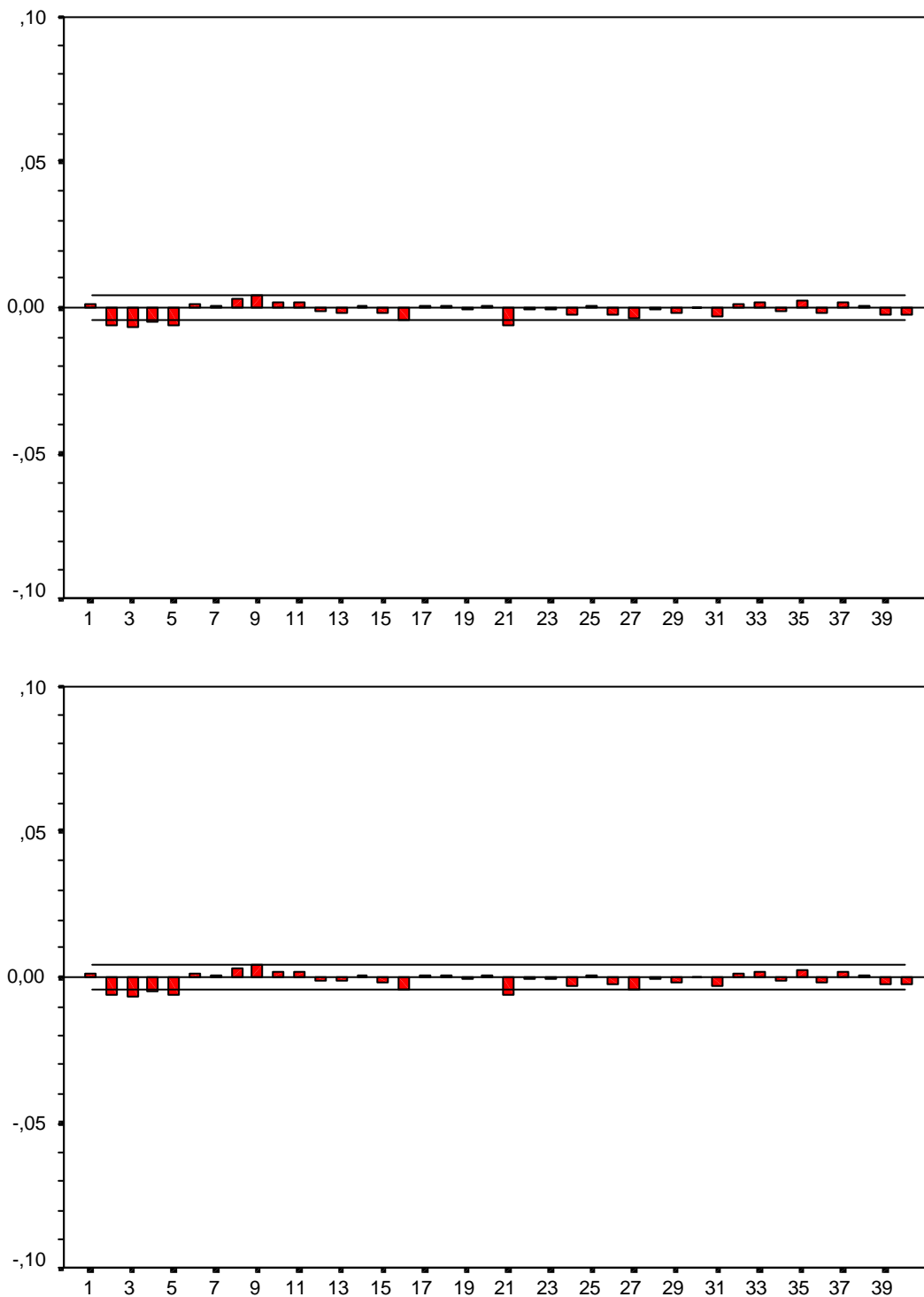


Figura A.77: Correlograma y correlograma parcial de residuos normalizados del modelo ARMA(1,1) sobre la media con EGARCH(1,1) para la varianza sobre la diferencia de logaritmos del Bono marzo 98 [operación a operación]

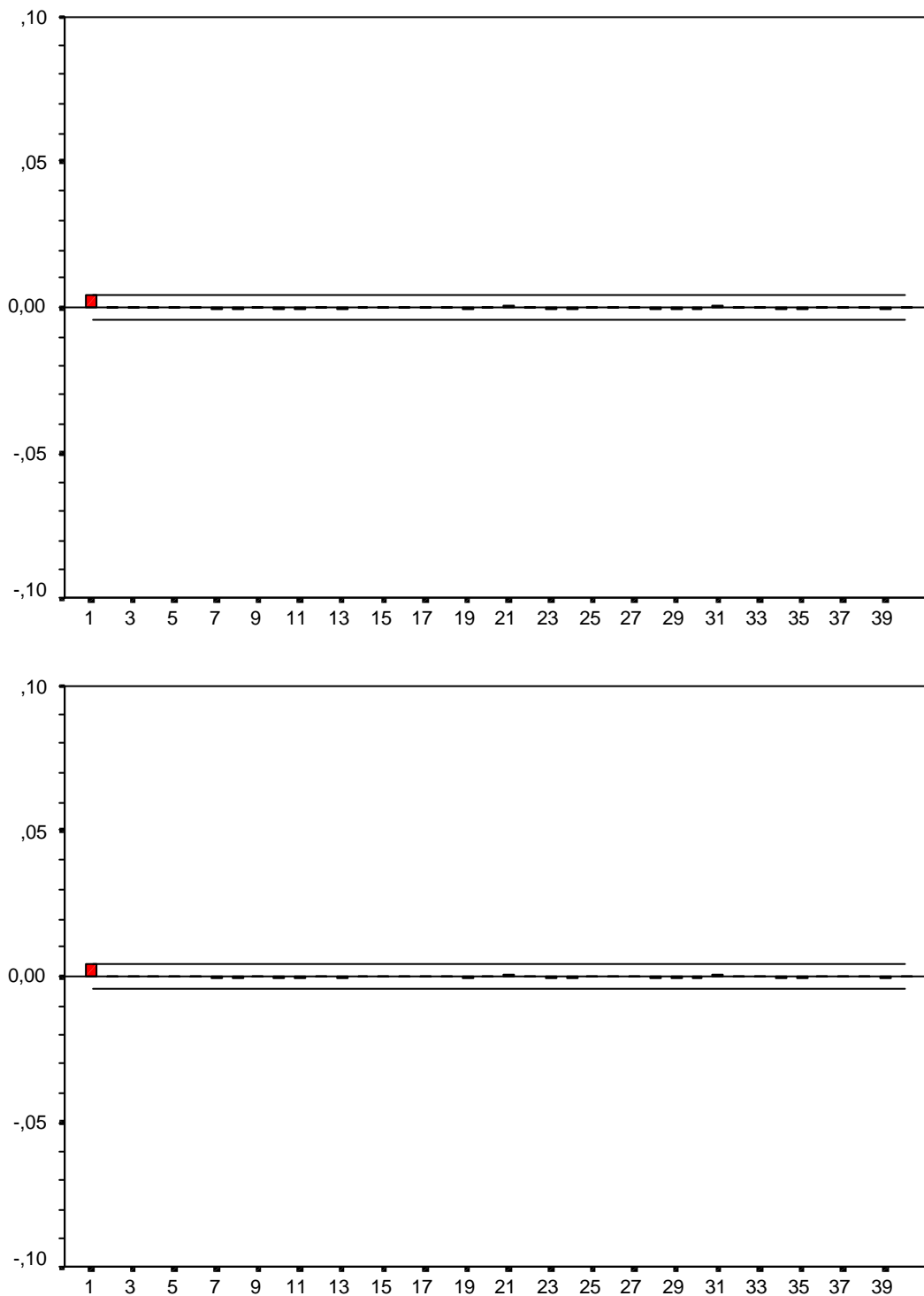


Figura A.78: Correlograma y correlograma parcial de residuos normalizados al cuadrado modelo ARMA(1,1) sobre la media con EGARCH(1,1) para la varianza sobre la diferencia de logaritmos del Bono marzo 98
[operación a operación]

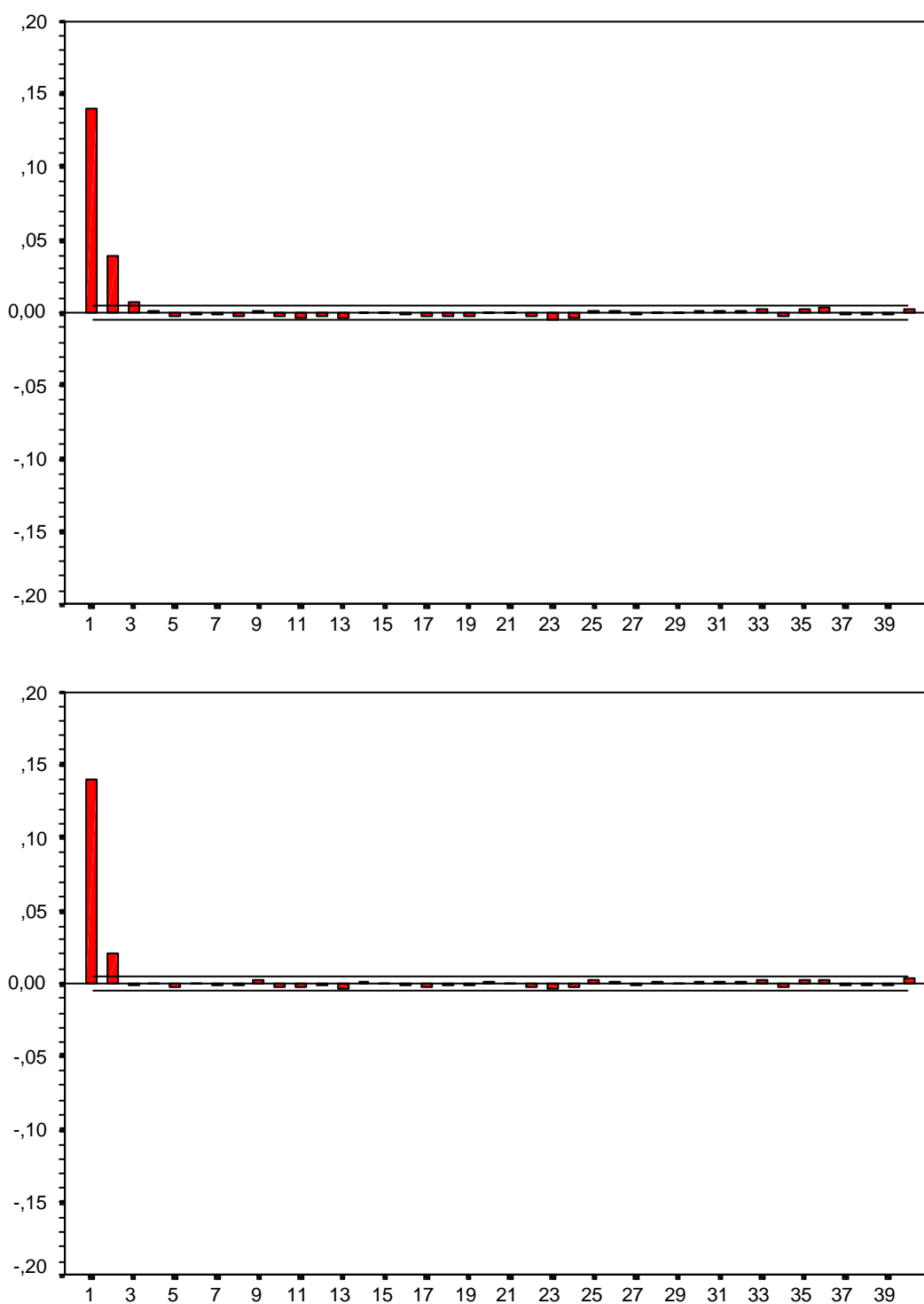


Figura A.79: Correlograma y correlograma parcial del valor absoluto de los residuos normalizados del modelo ARMA(1,1) sobre la media con EGARCH(1,1) para la varianza sobre la diferencia de logaritmos del Bono marzo 98 [operación a operación]

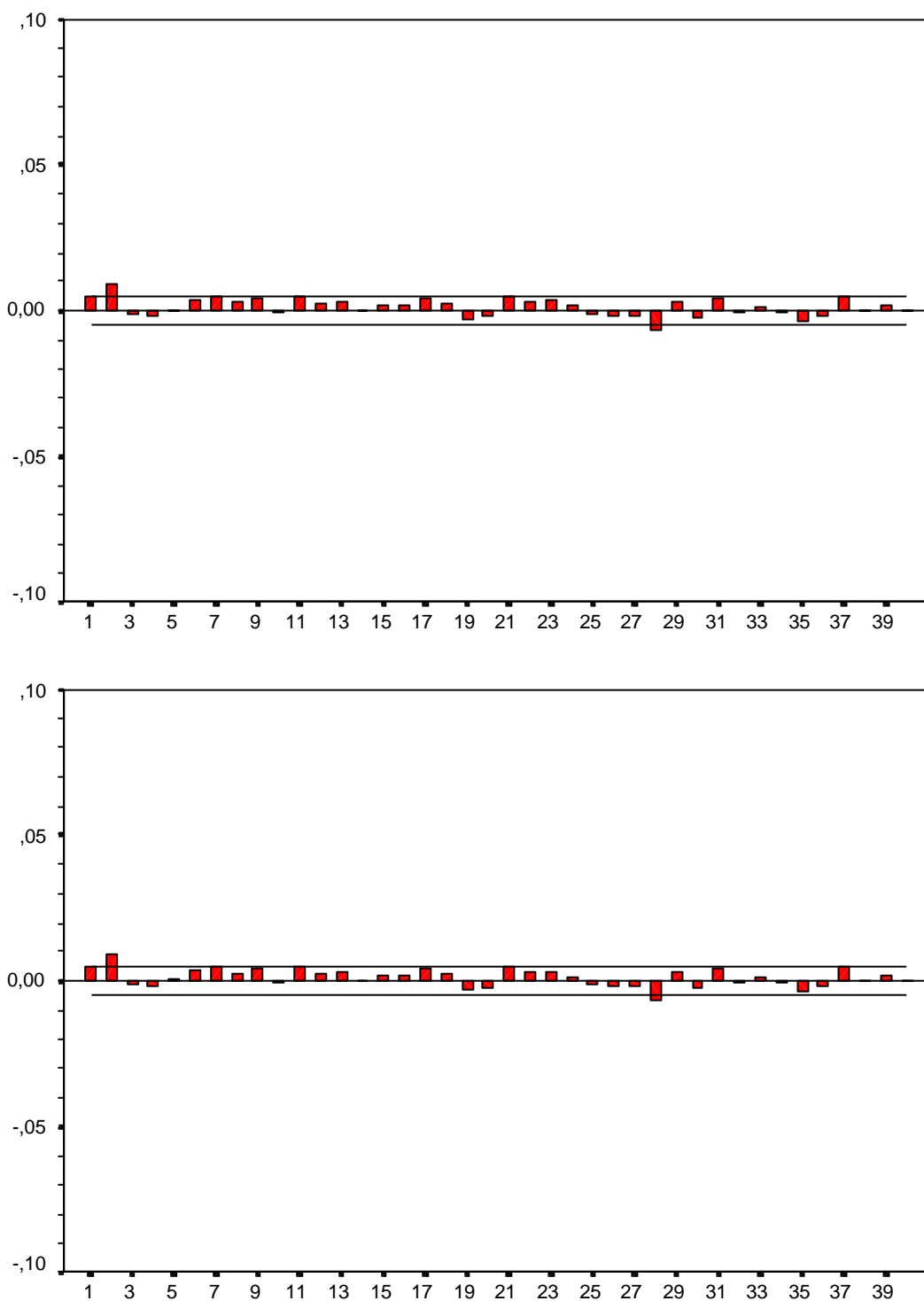


Figura A.80: Correlograma y correlograma parcial de residuos normalizados del modelo ARMA(1,1) sobre la media con EGARCH(1,1) para la varianza sobre la diferencia de logaritmos del Bono junio 98 [operación a operación]

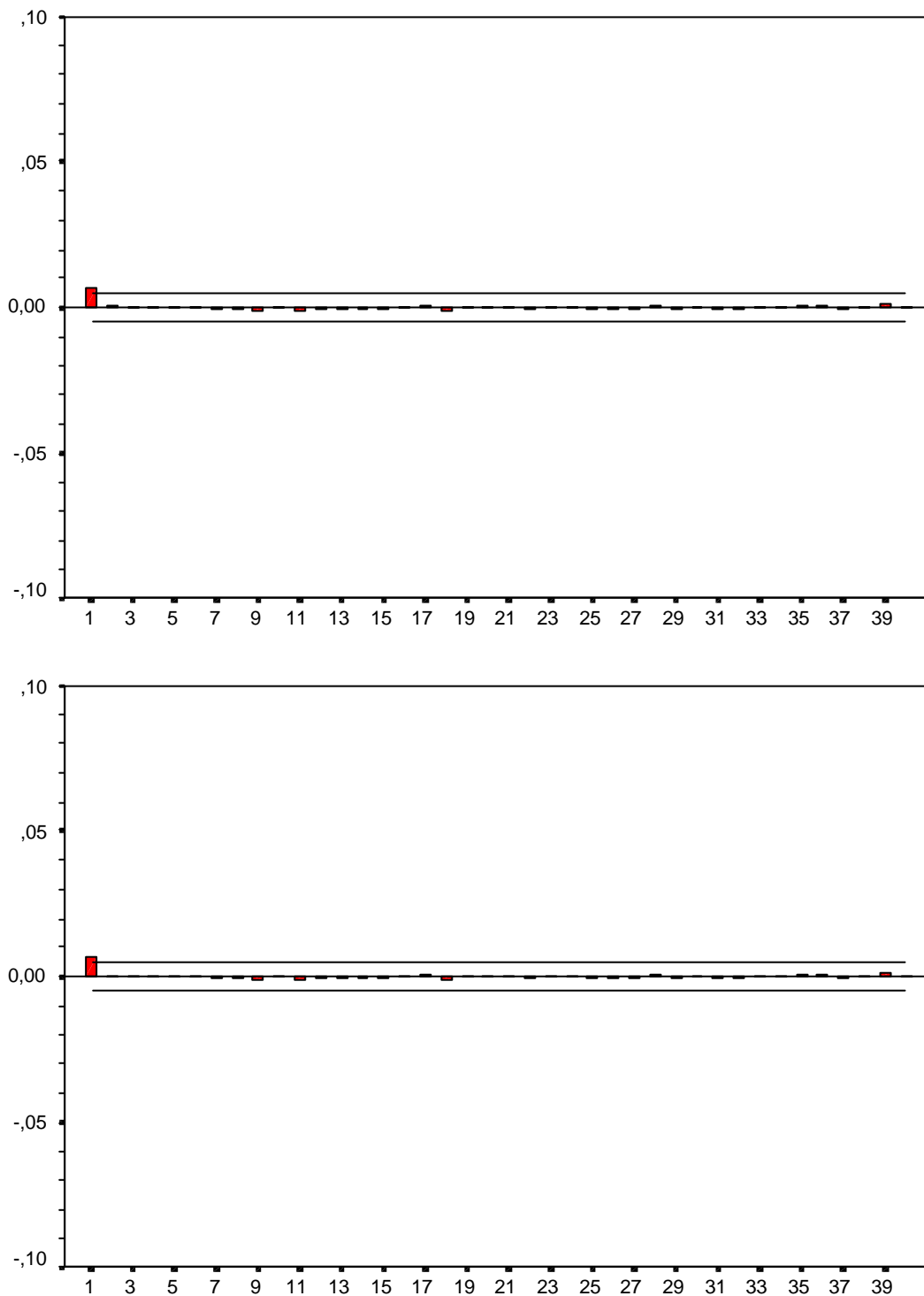


Figura A.81: Correlograma y correlograma parcial de residuos normalizados al cuadrado modelo ARMA(1,1) sobre la media con EGARCH(1,1) para la varianza sobre la diferencia de logaritmos del Bono junio 98
[operación a operación]

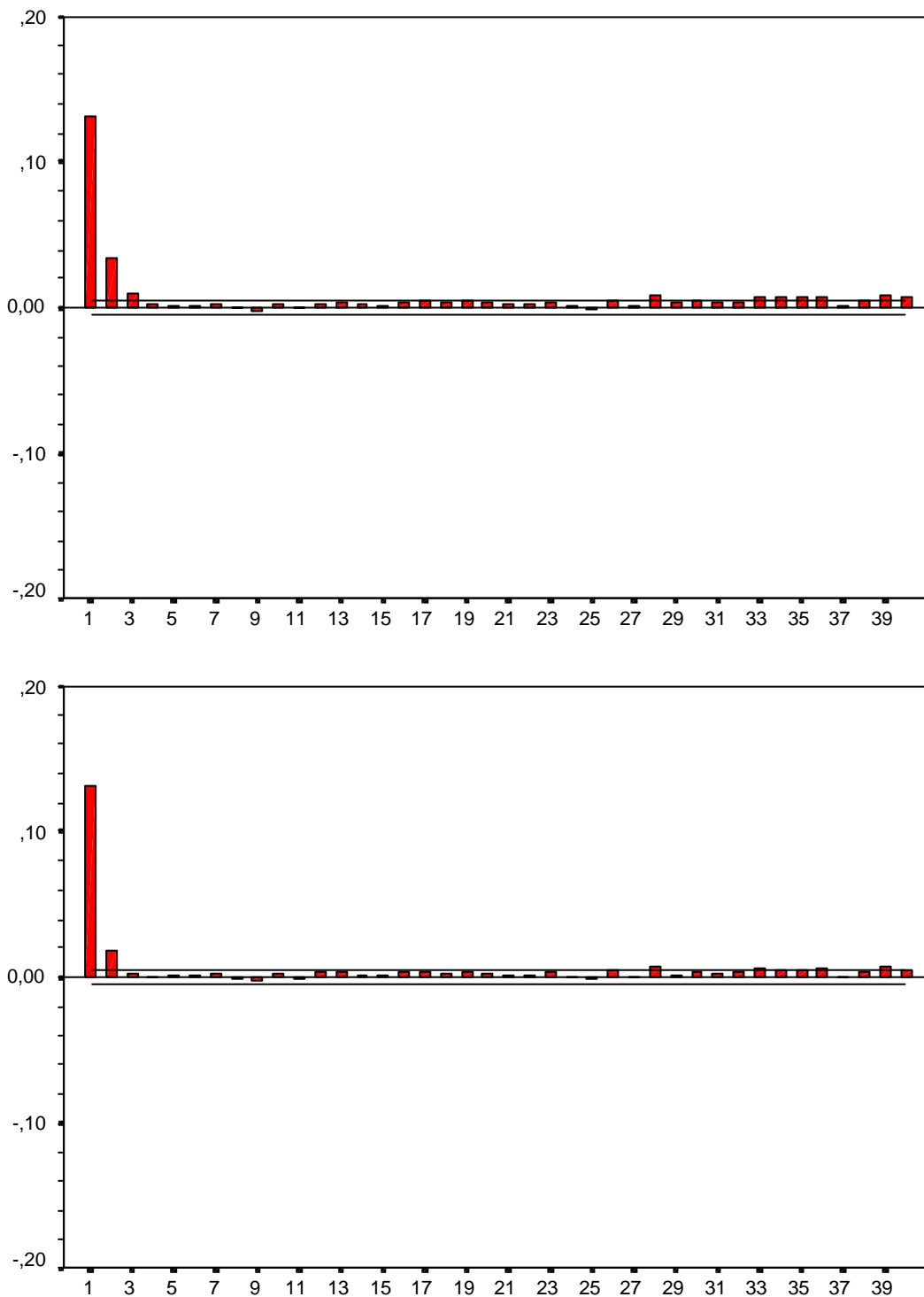


Figura A.82: Correlograma y correlograma parcial del valor absoluto de los residuos normalizados del modelo ARMA(1,1) sobre la media con EGARCH(1,1) para la varianza sobre la diferencia de logaritmos del Bono junio 98 [operación a operación]

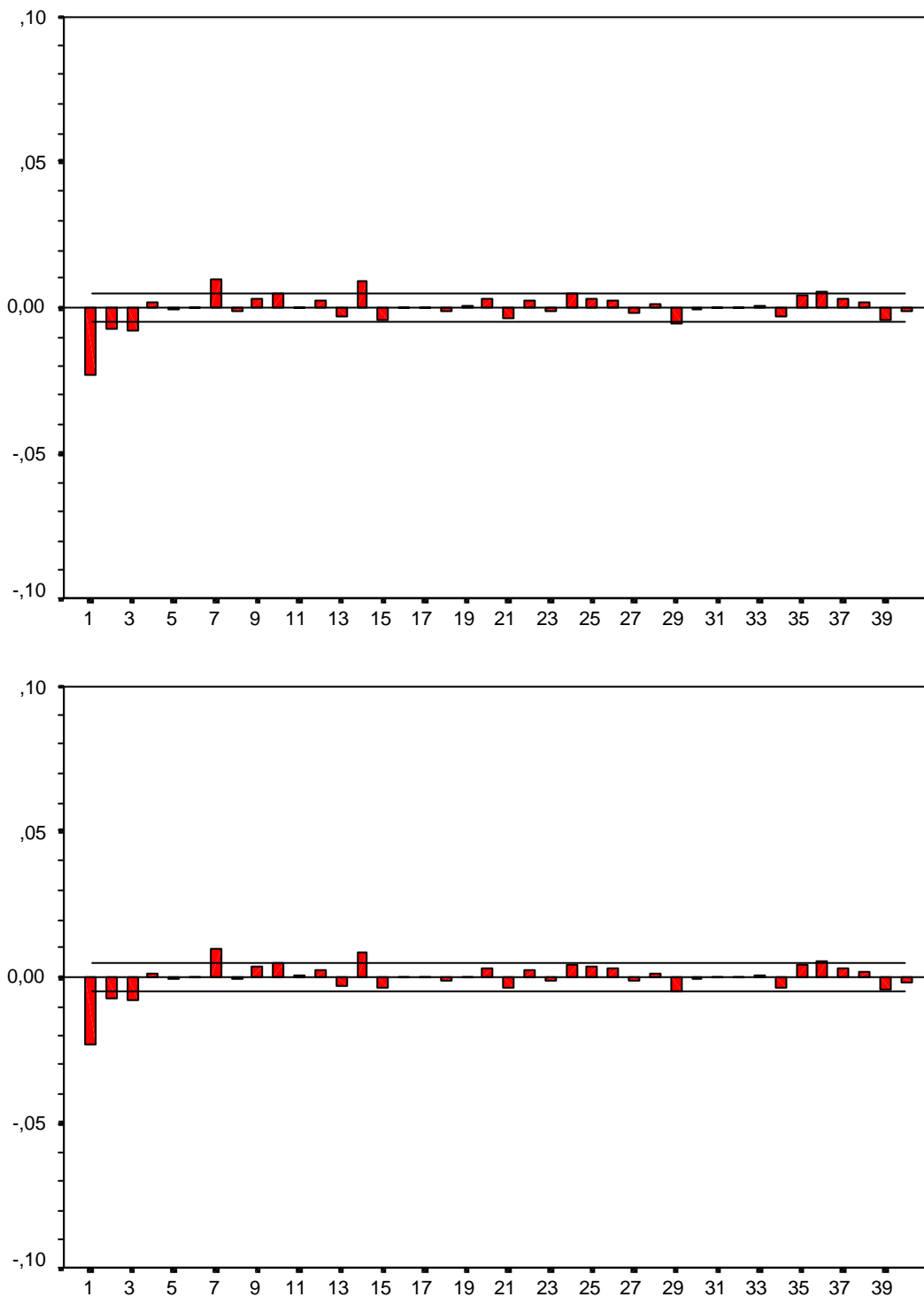


Figura A.83: Correlograma y correlograma parcial de residuos normalizados del modelo ARMA(1,1) sobre la media con EGARCH(1,1) para la varianza sobre la diferencia de logaritmos del Bono septiembre 98 [operación a operación]

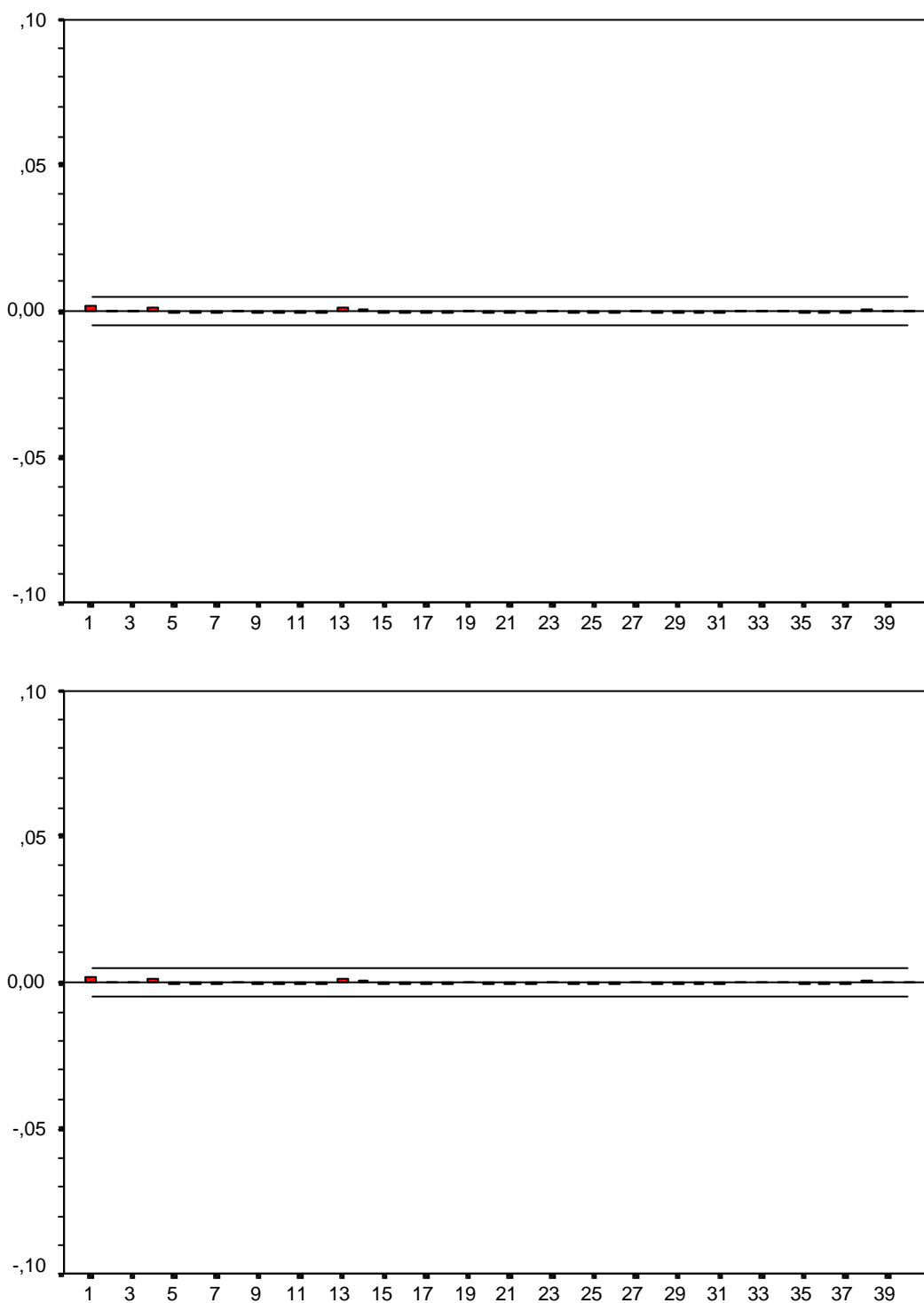


Figura A.84: Correlograma y correlograma parcial de residuos normalizados al cuadrado modelo ARMA(1,1) sobre la media con EGARCH(1,1) para la varianza sobre la diferencia de logaritmos del Bono septiembre 98
[operación a operación]

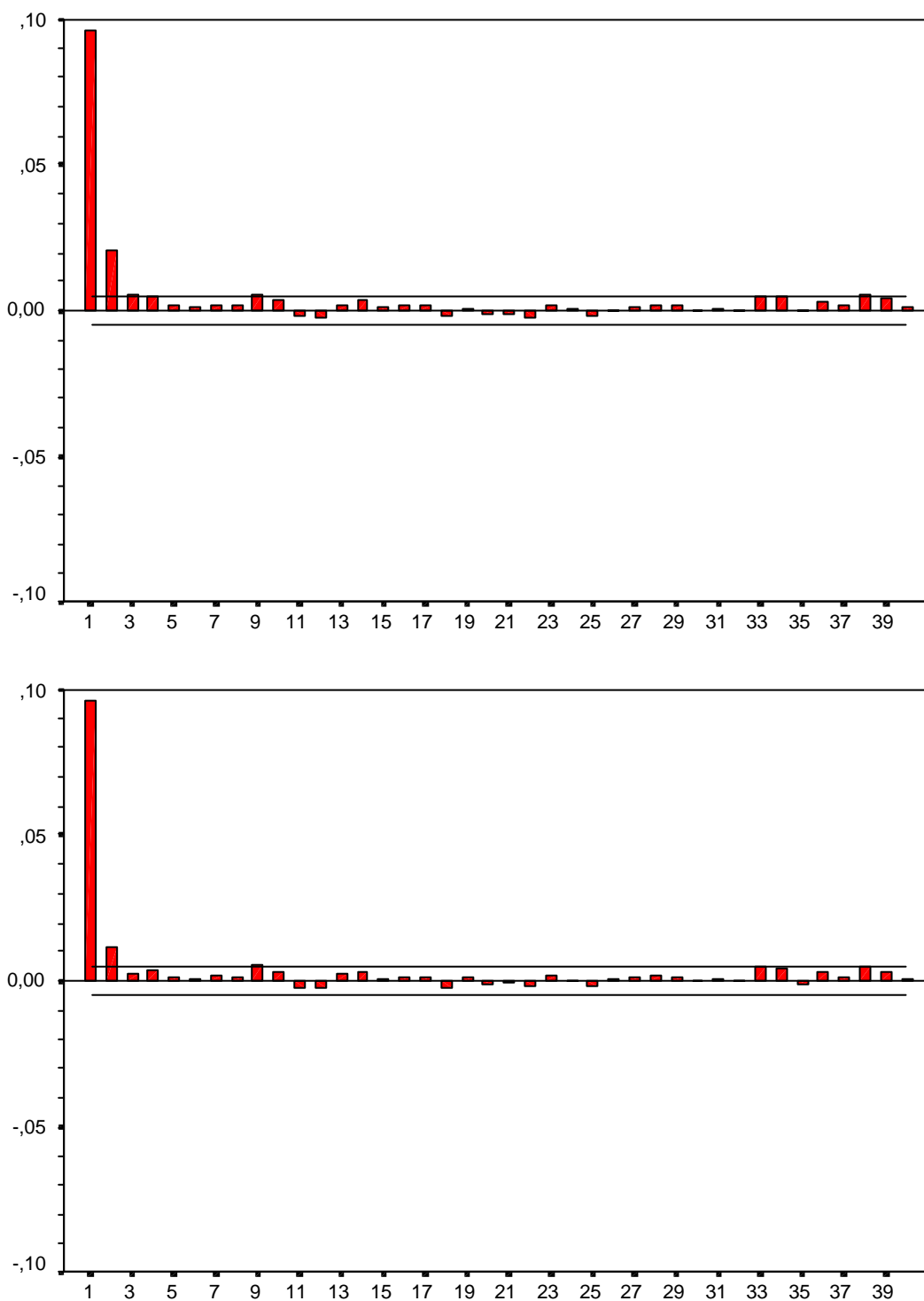


Figura A.85: Correlograma y correlograma parcial del valor absoluto de los residuos normalizados del modelo ARMA(1,1) sobre la media con EGARCH(1,1) para la varianza sobre la diferencia de logaritmos del Bono septiembre 98

[operación a operación]

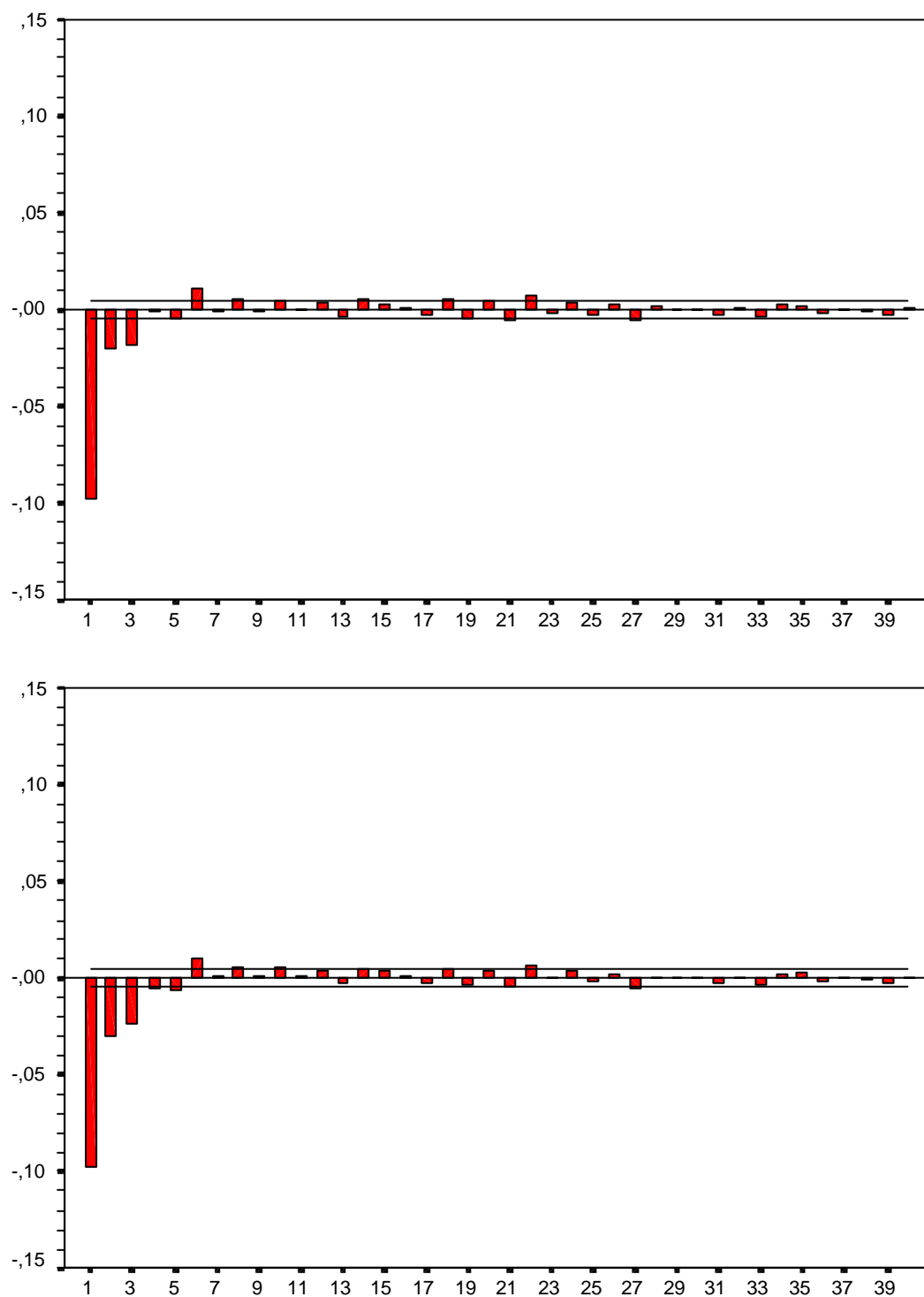


Figura A.86: Correlograma y correlograma parcial de residuos normalizados del modelo ARMA(1,1) sobre la media con EGARCH(1,1) para la varianza sobre la diferencia de logaritmos del Bono diciembre 98 [operación a operación]

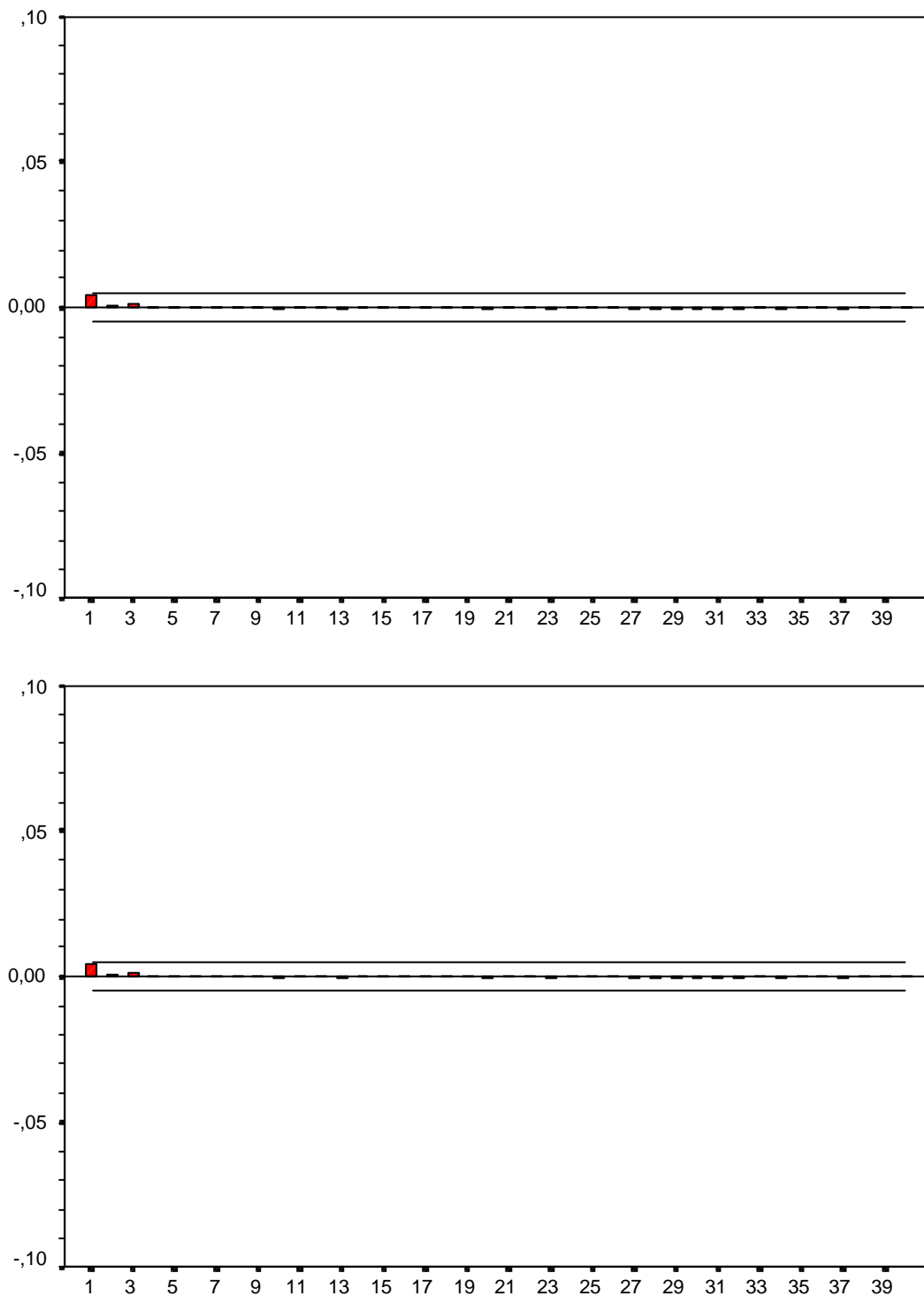


Figura A.87: Correlograma y correlograma parcial de residuos normalizados al cuadrado modelo ARMA(1,1) sobre la media con EGARCH(1,1) para la varianza sobre la diferencia de logaritmos del Bono diciembre 98
[operación a operación]

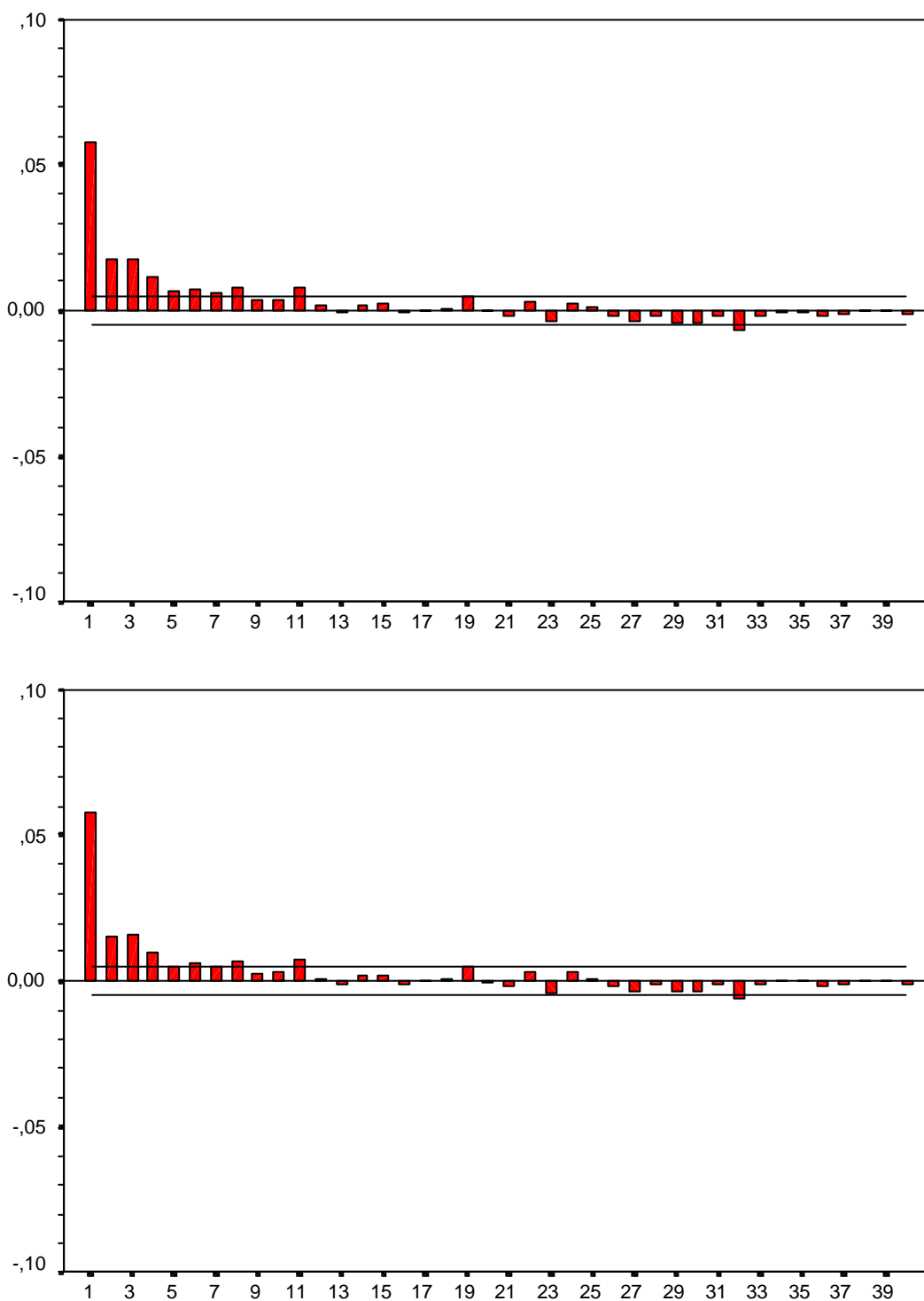


Figura A.88: Correlograma y correlograma parcial del valor absoluto de los residuos normalizados del modelo ARMA(1,1) sobre la media con EGARCH(1,1) para la varianza sobre la diferencia de logaritmos del Bono diciembre 98 [operación a operación]

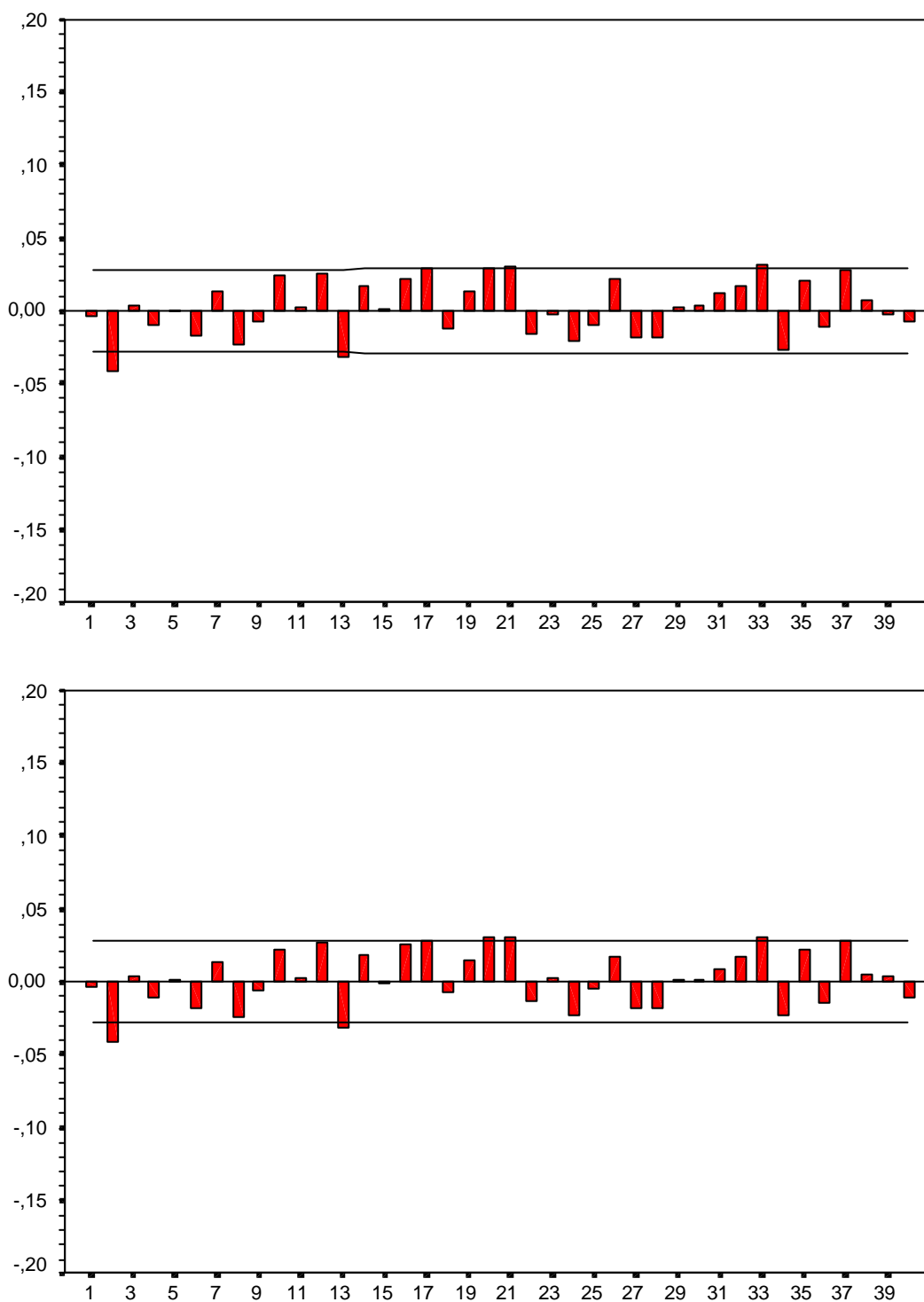


Figura A.89: Correlograma y correlograma parcial de residuos normalizados del modelo ARMA(2,0) sobre la media con EGARCH(1,1) para la varianza sobre la diferencia de logaritmos del Bono marzo 98 [cinco minutos]

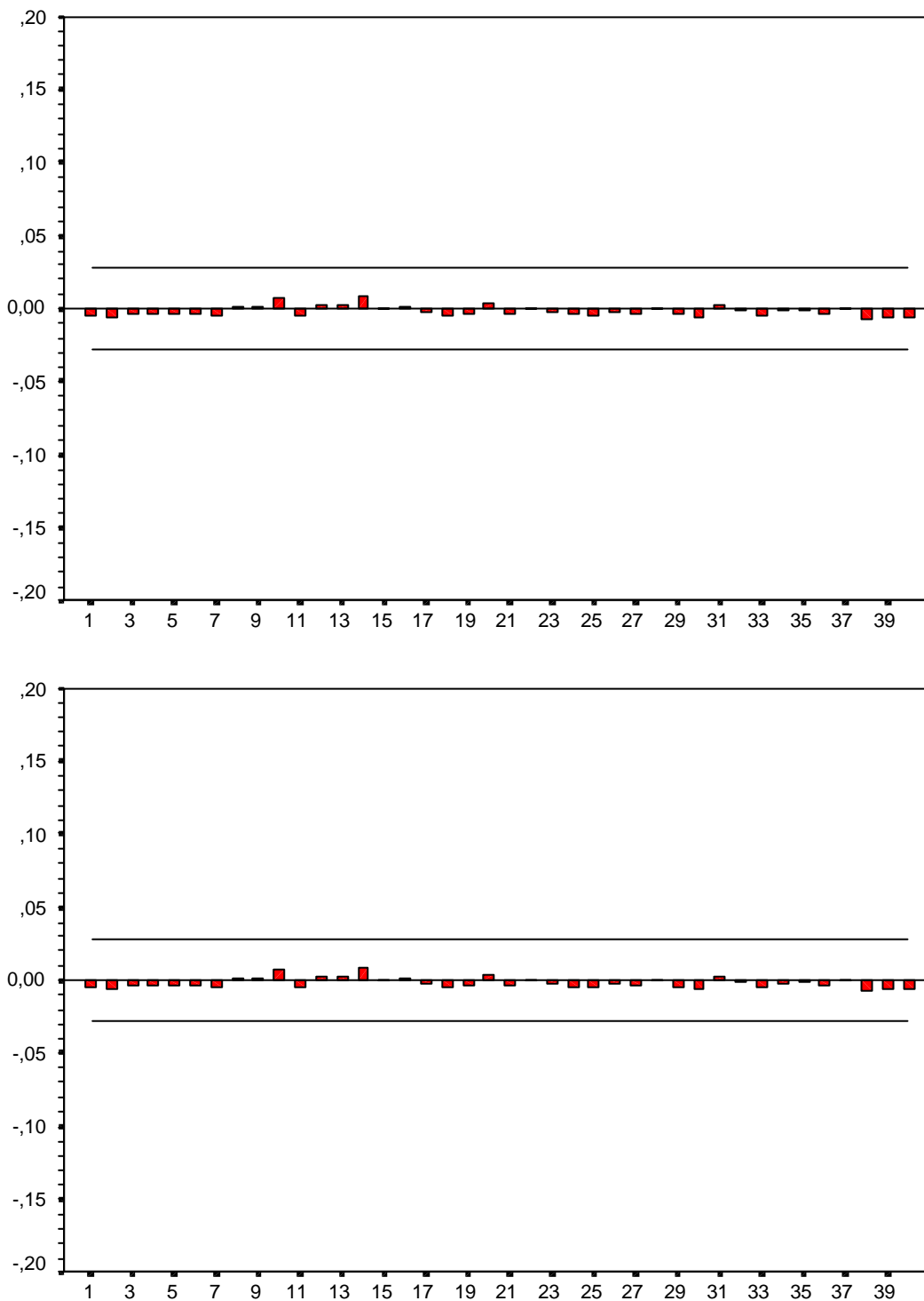


Figura A.90: Correlograma y correlograma parcial de residuos normalizados al cuadrado modelo ARMA(2,0) sobre la media con EGARCH(1,1) para la varianza sobre la diferencia de logaritmos del Bono marzo 98 [cinco minutos]

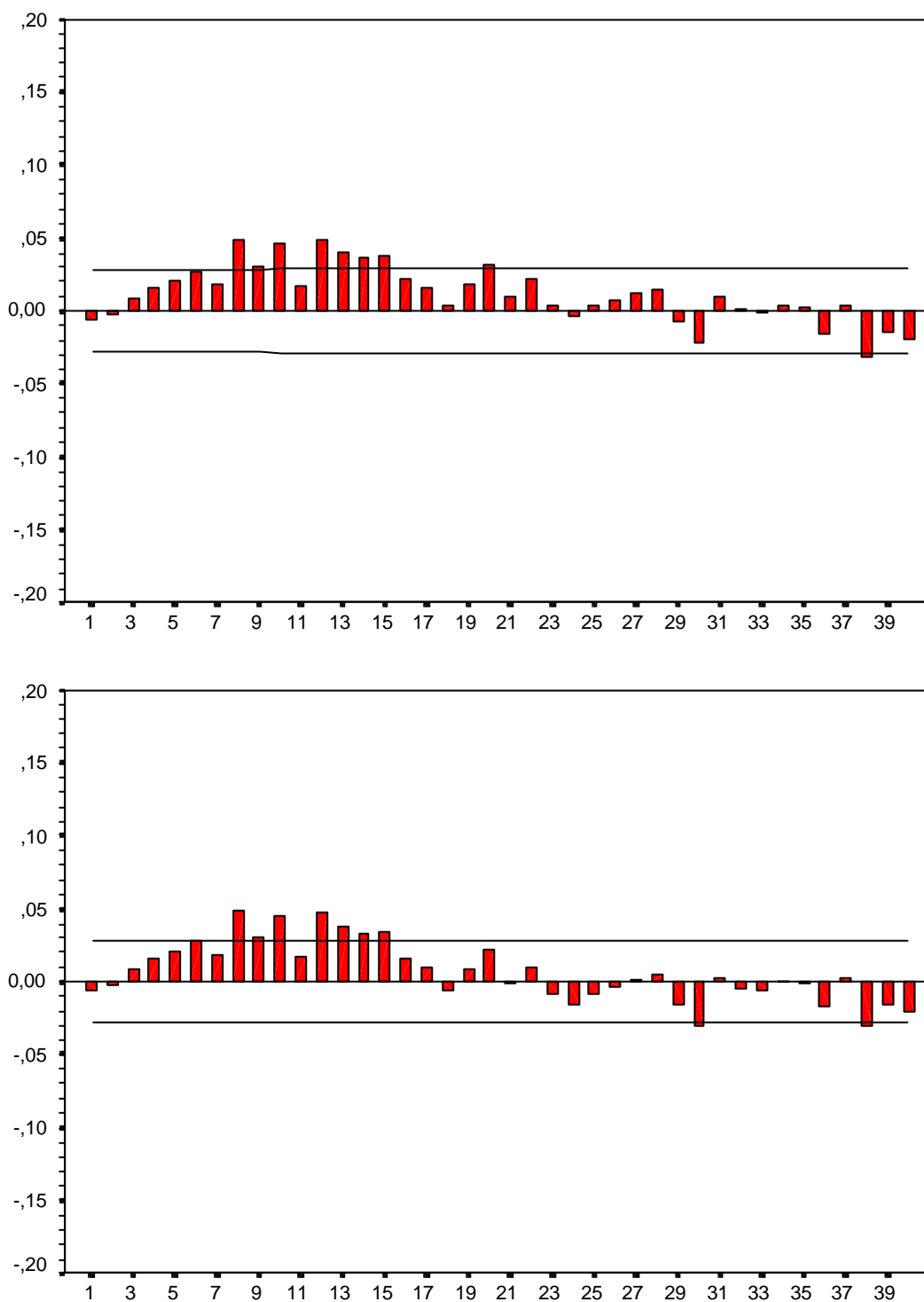


Figura A.91: Correlograma y correlograma parcial del valor absoluto de los residuos normalizados del modelo ARMA(2,0) sobre la media con EGARCH(1,1) para la varianza sobre la diferencia de logaritmos del Bono marzo 98 [cinco minutos]

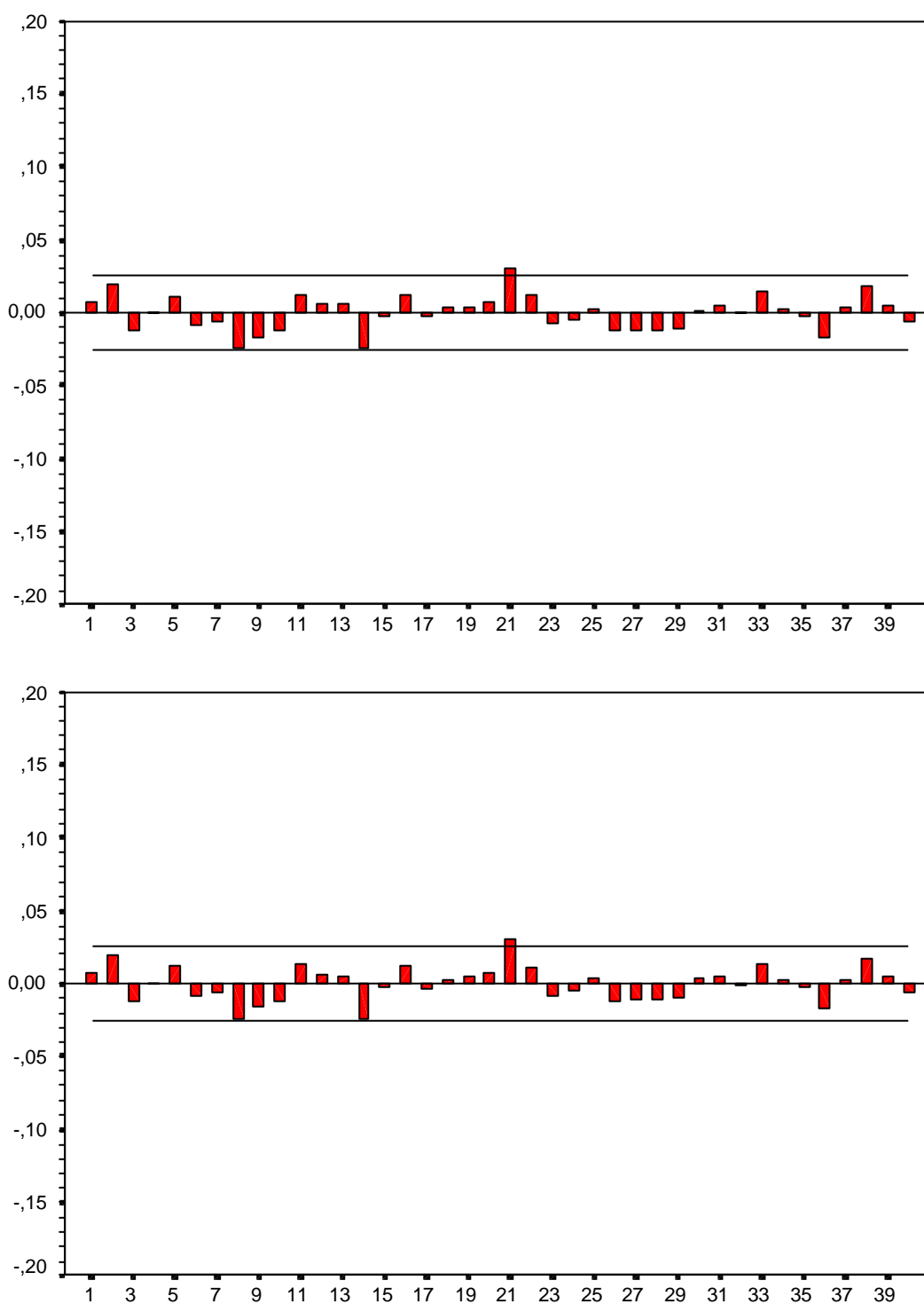


Figura A.92: Correlograma y correlograma parcial de residuos normalizados del modelo ARMA(0,0) sobre la media con EGARCH(1,1) para la varianza sobre la diferencia de logaritmos del Bono junio 98 [cinco minutos]

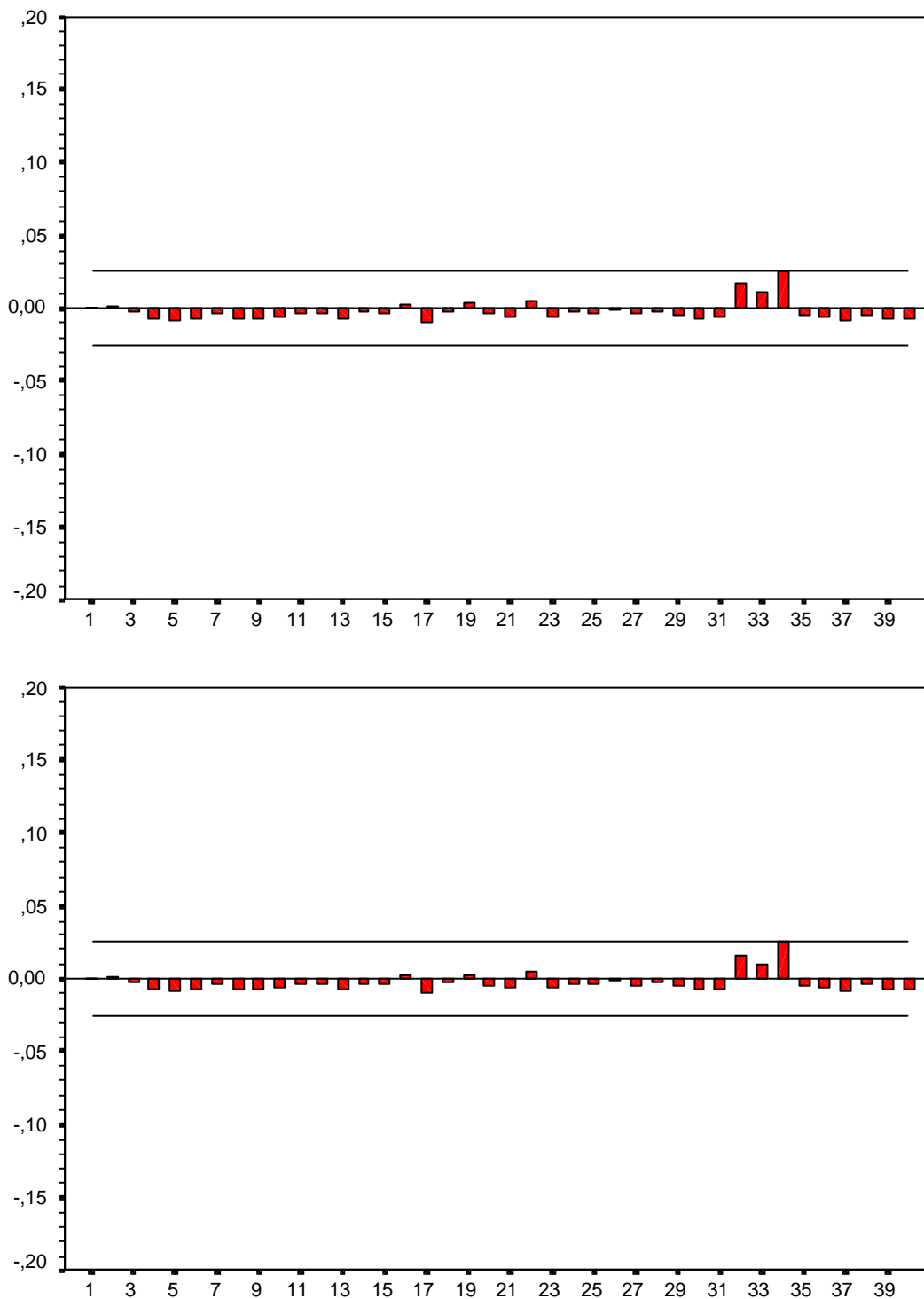


Figura A.93: Correlograma y correlograma parcial de residuos normalizados al cuadrado modelo ARMA(0,0) sobre la media con EGARCH(1,1) para la varianza sobre la diferencia de logaritmos del Bono junio 98
[cinco minutos]

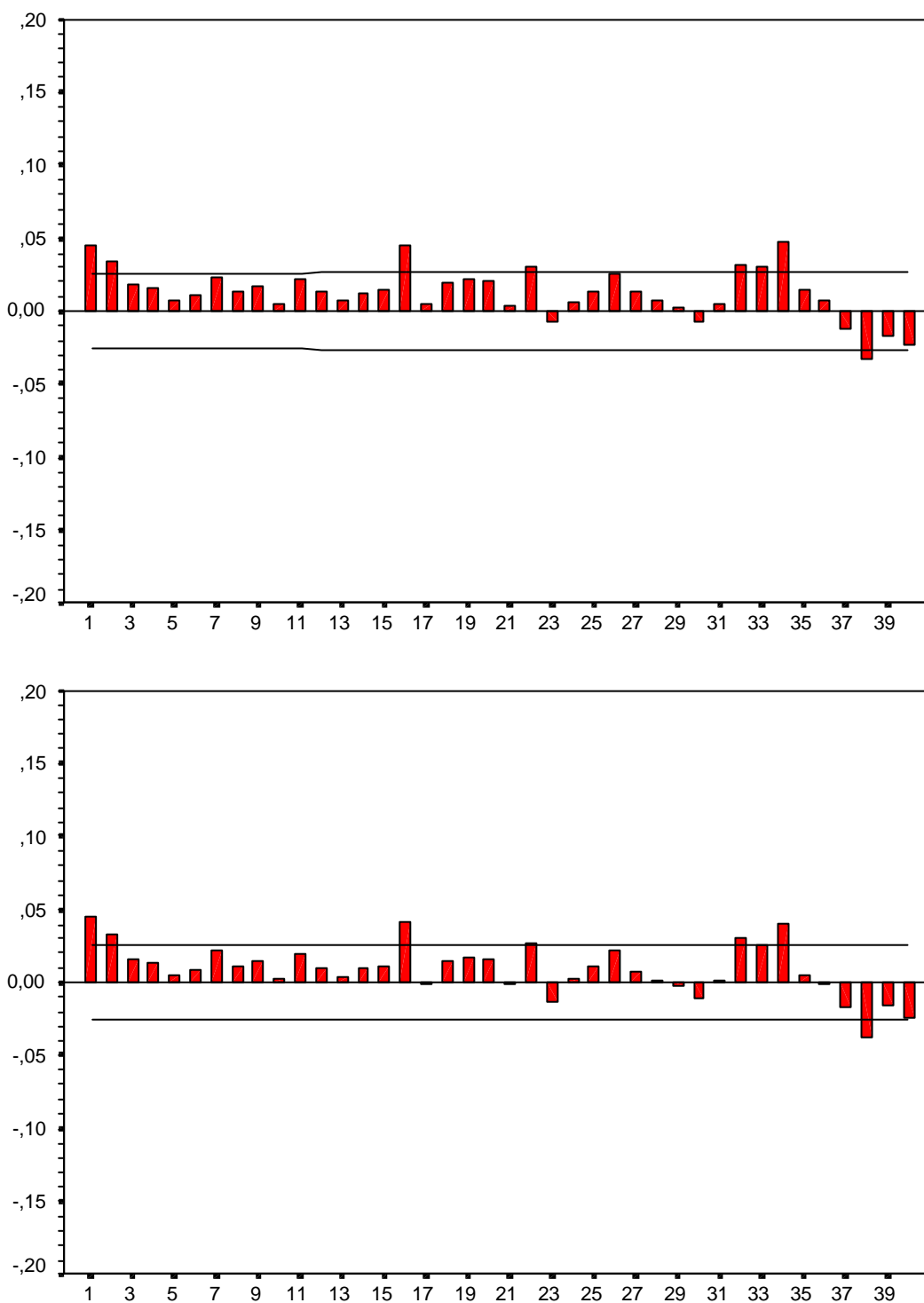


Figura A.94: Correlograma y correlograma parcial del valor absoluto de los residuos normalizados del modelo ARMA(0,0) sobre la media con EGARCH(1,1) para la varianza sobre la diferencia de logaritmos del Bono junio 98 [cinco minutos]

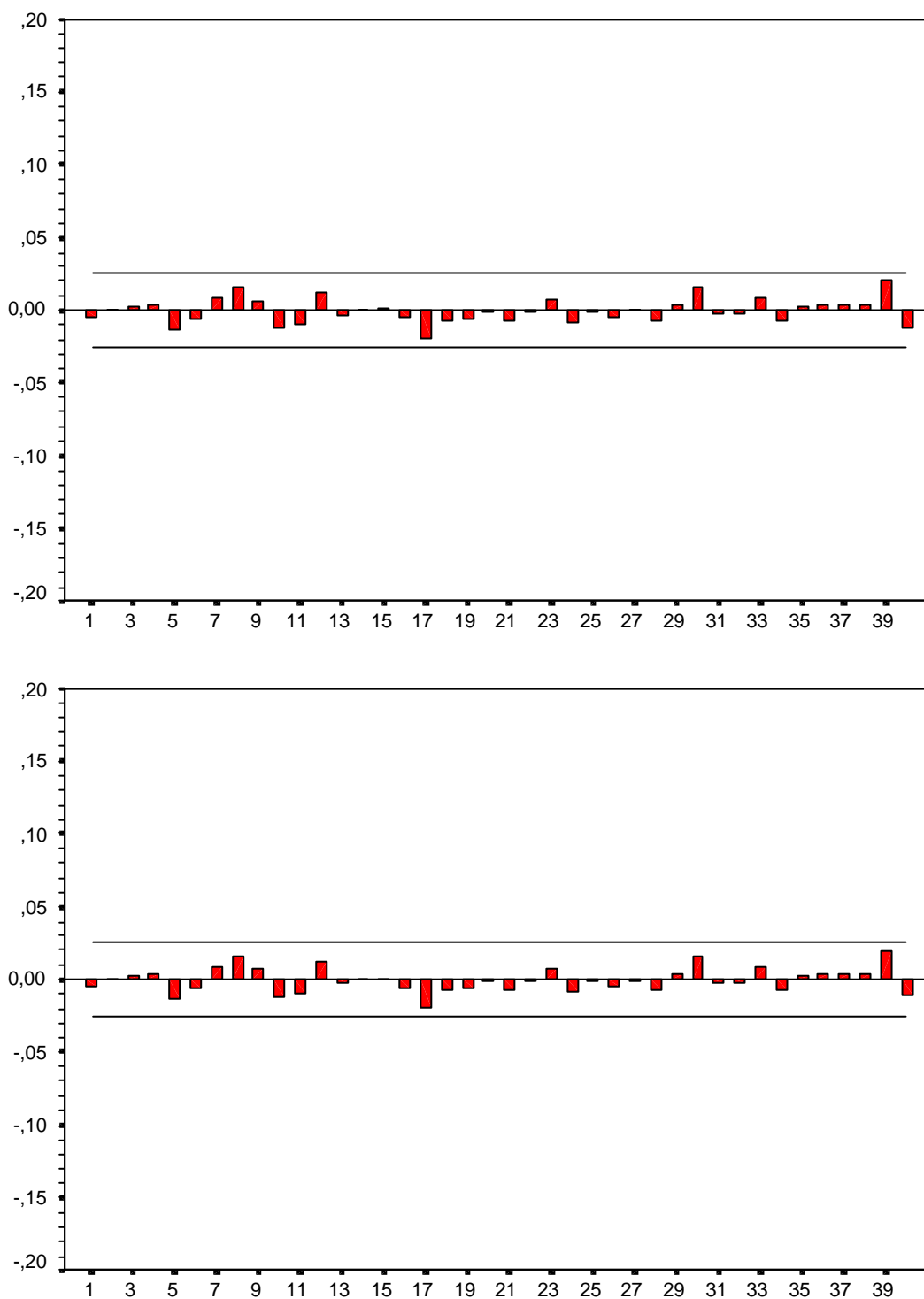


Figura A.95: Correlograma y correlograma parcial de residuos normalizados del modelo ARMA(0,0) sobre la media con EGARCH(1,1) para la varianza sobre la diferencia de logaritmos del Bono septiembre 98 [cinco minutos]

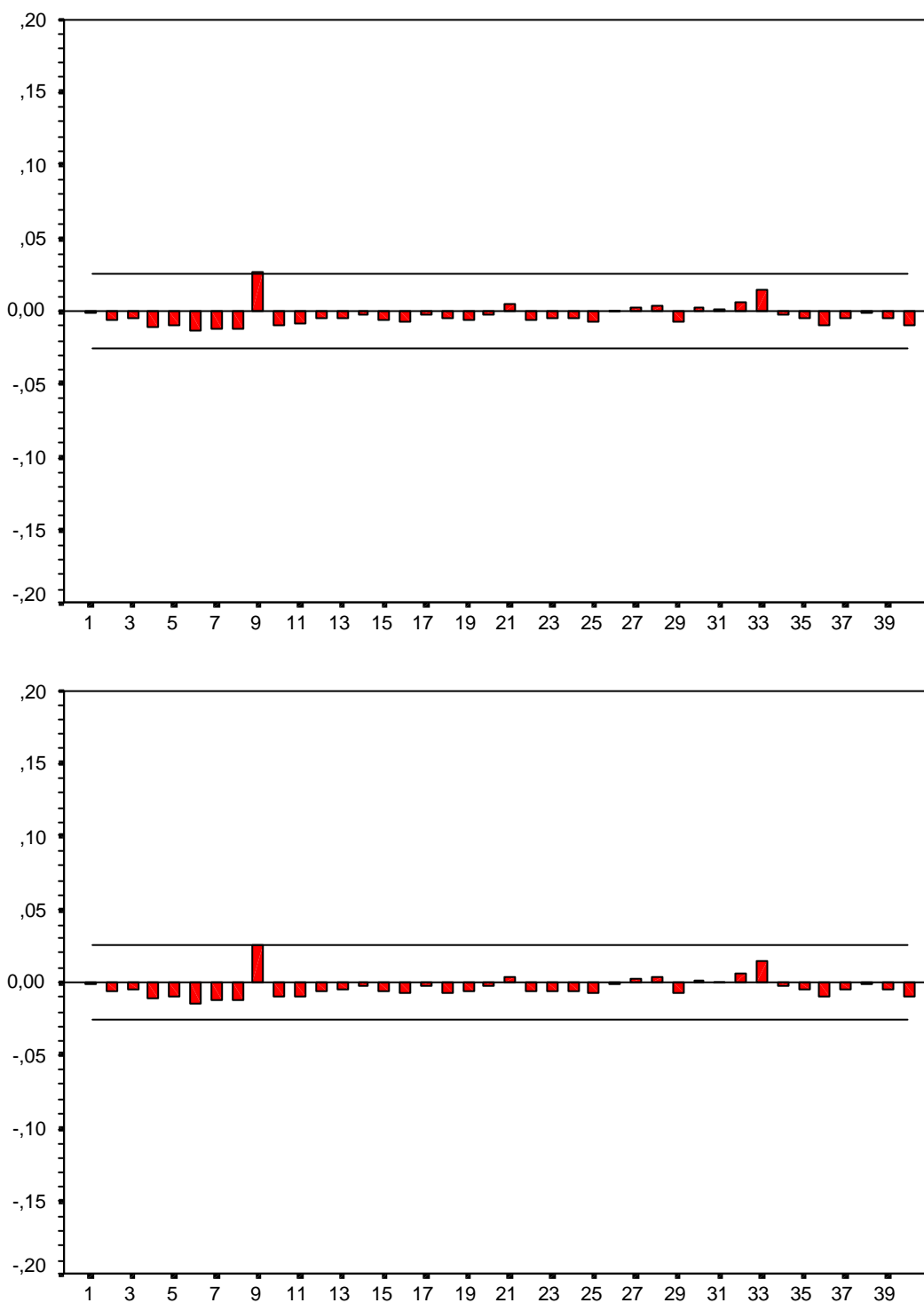


Figura A.96: Correlograma y correlograma parcial de residuos normalizados al cuadrado modelo ARMA(0,0) sobre la media con EGARCH(1,1) para la varianza sobre la diferencia de logaritmos del Bono septiembre 98
[cinco minutos]

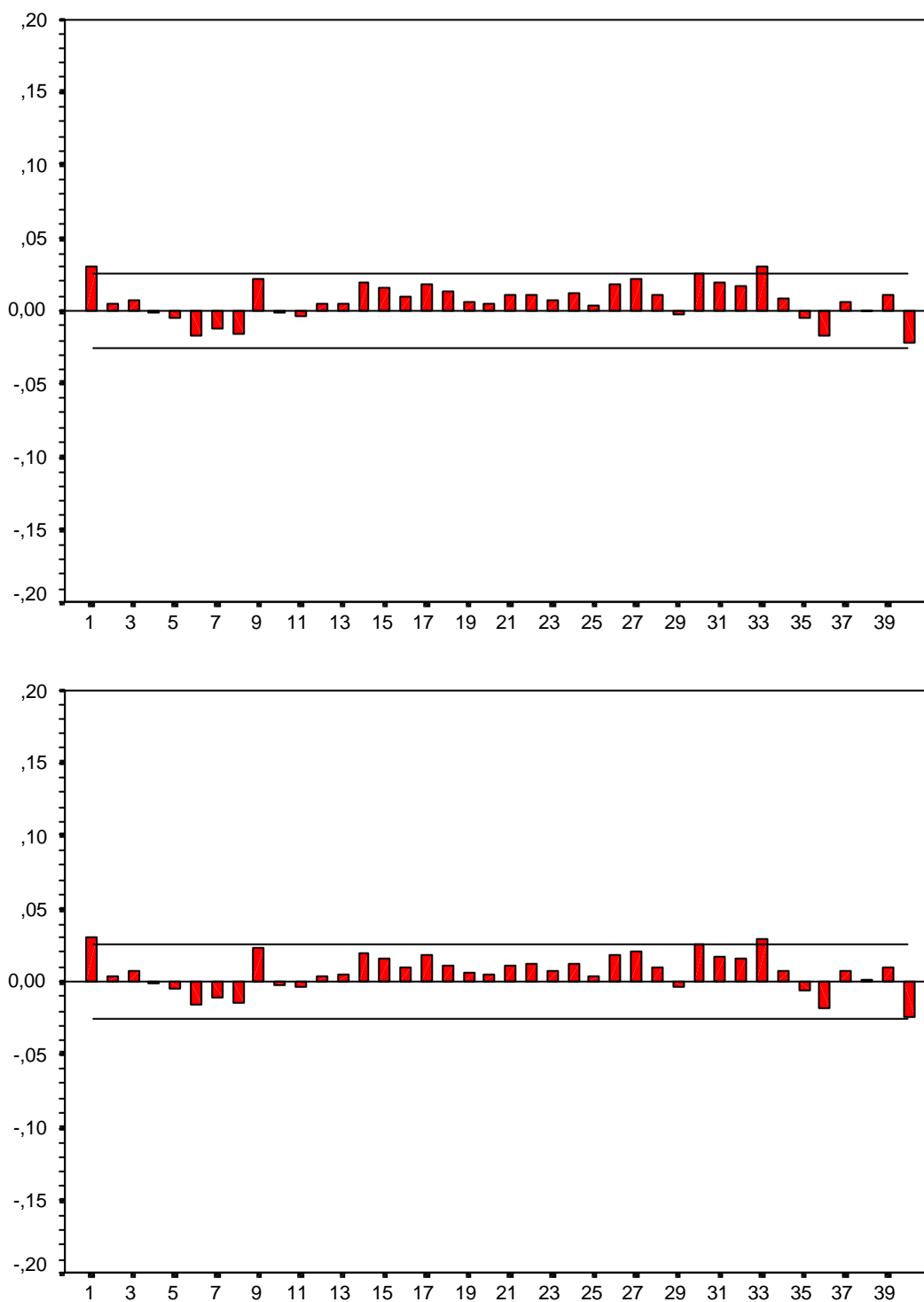


Figura A.97: Correlograma y correlograma parcial del valor absoluto de los residuos normalizados del modelo ARMA(0,0) sobre la media con EGARCH(1,1) para la varianza sobre la diferencia de logaritmos del Bono septiembre 98 [cinco minutos]

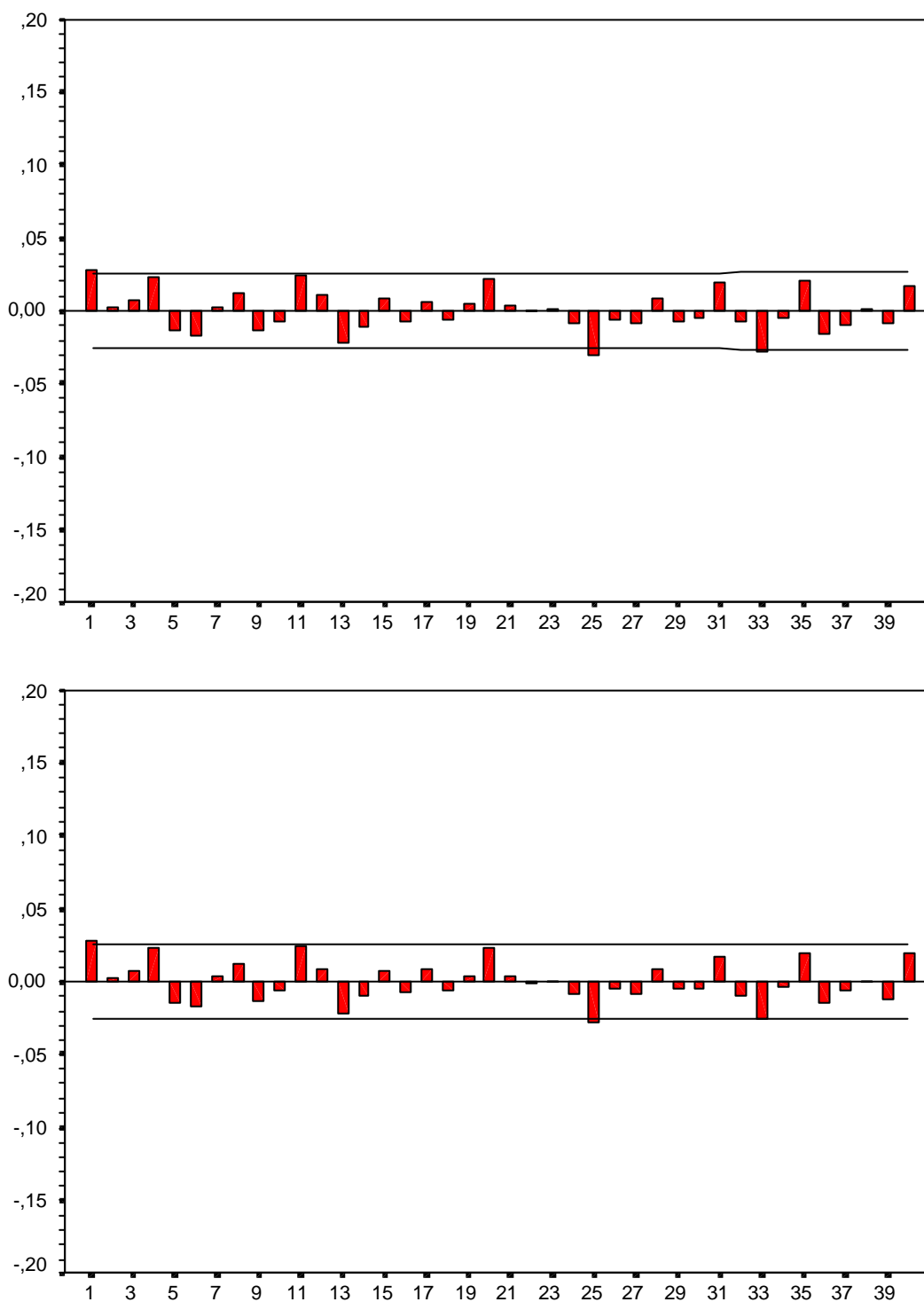


Figura A.98: Correlograma y correlograma parcial de residuos normalizados del modelo ARMA(2,4) sobre la media con EGARCH(1,1) para la varianza sobre la diferencia de logaritmos del Bono diciembre 98 [cinco minutos]

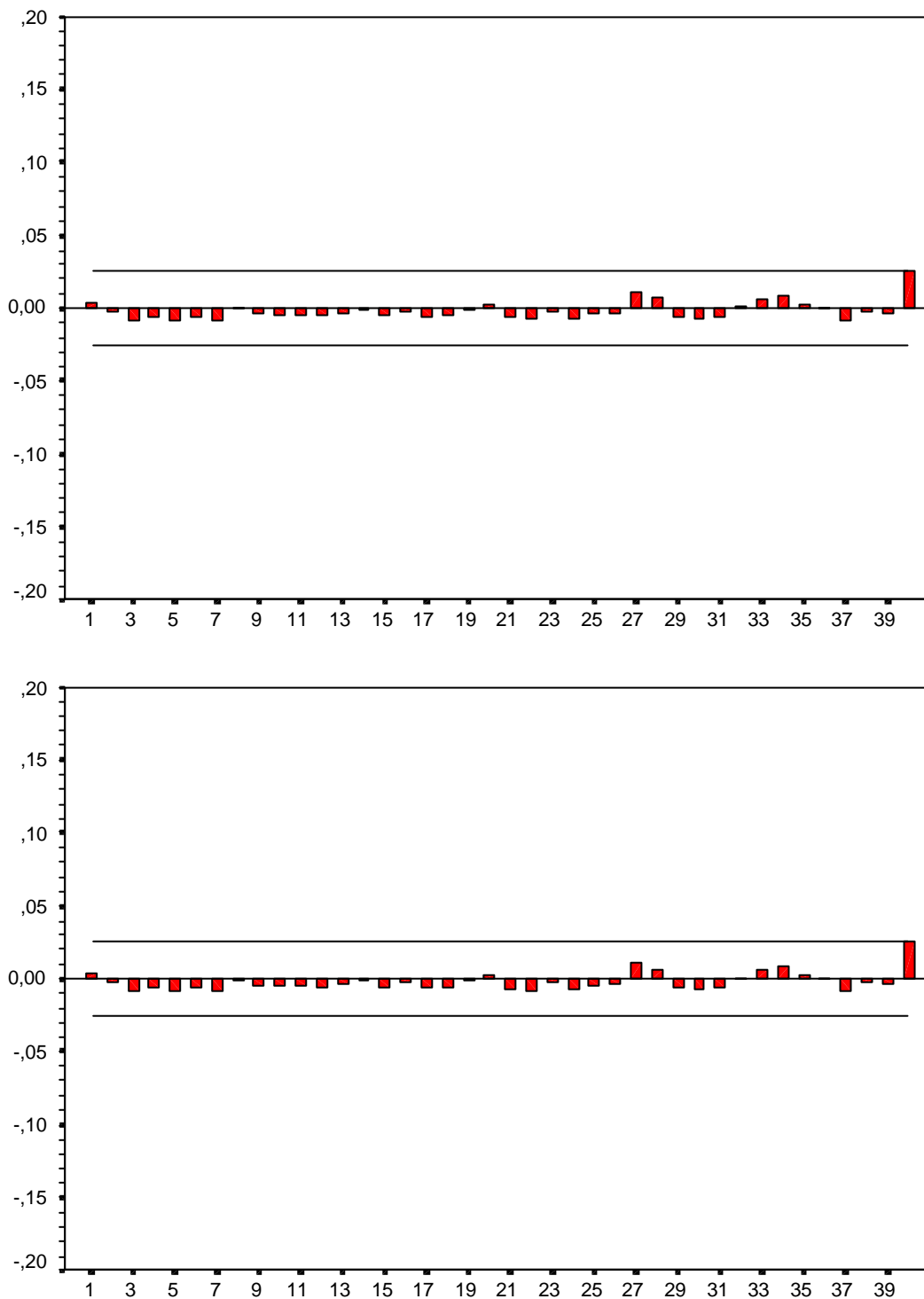


Figura A.99: Correlograma y correlograma parcial de residuos normalizados al cuadrado modelo ARMA(2,4) sobre la media con EGARCH(1,1) para la varianza sobre la diferencia de logaritmos del Bono diciembre 98
[cinco minutos]

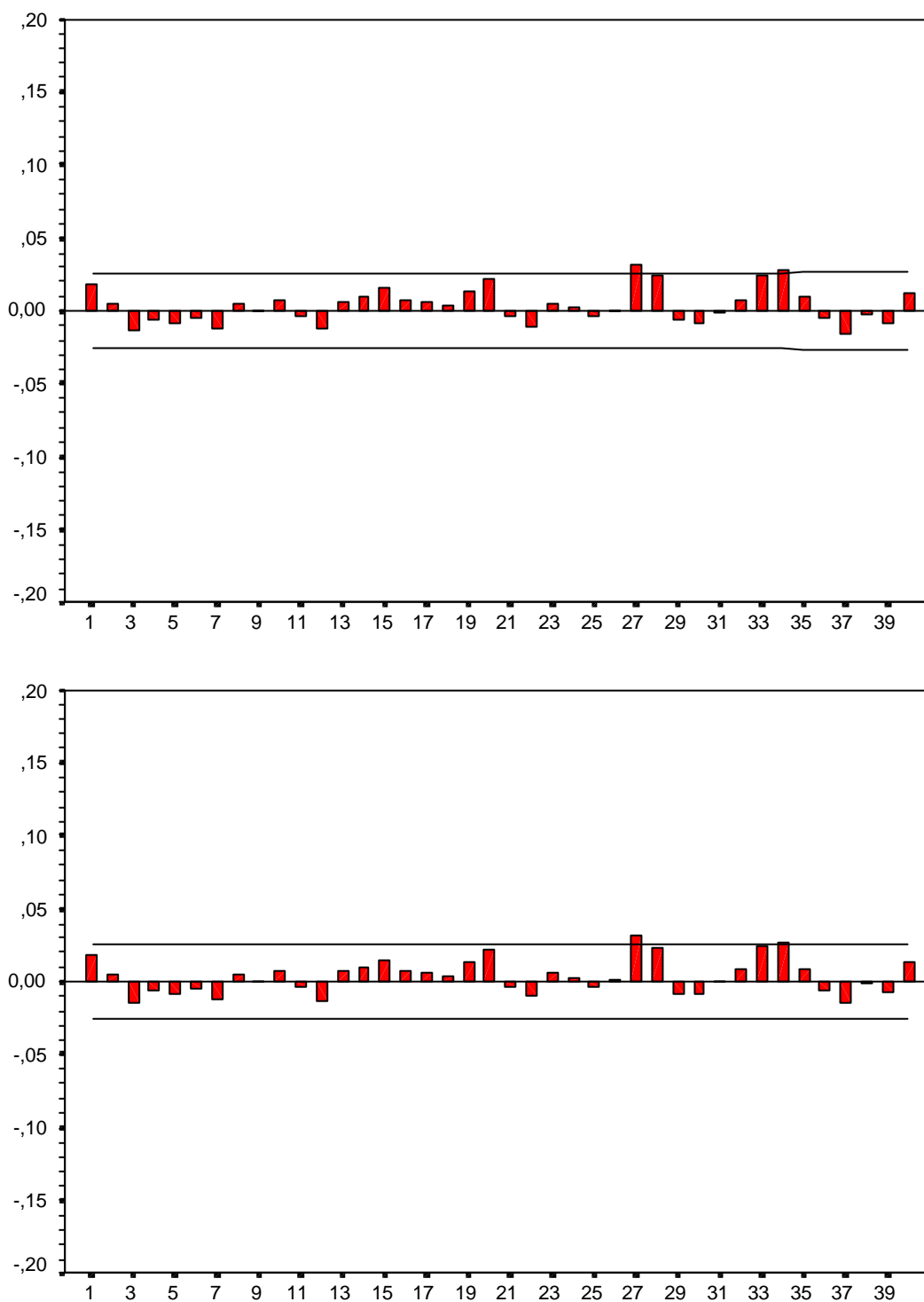


Figura A.100: Correlograma y correlograma parcial del valor absoluto de los residuos normalizados del modelo ARMA(2,4) sobre la media con EGARCH(1,1) para la varianza sobre la diferencia de logaritmos del Bono diciembre 98 [cinco minutos]

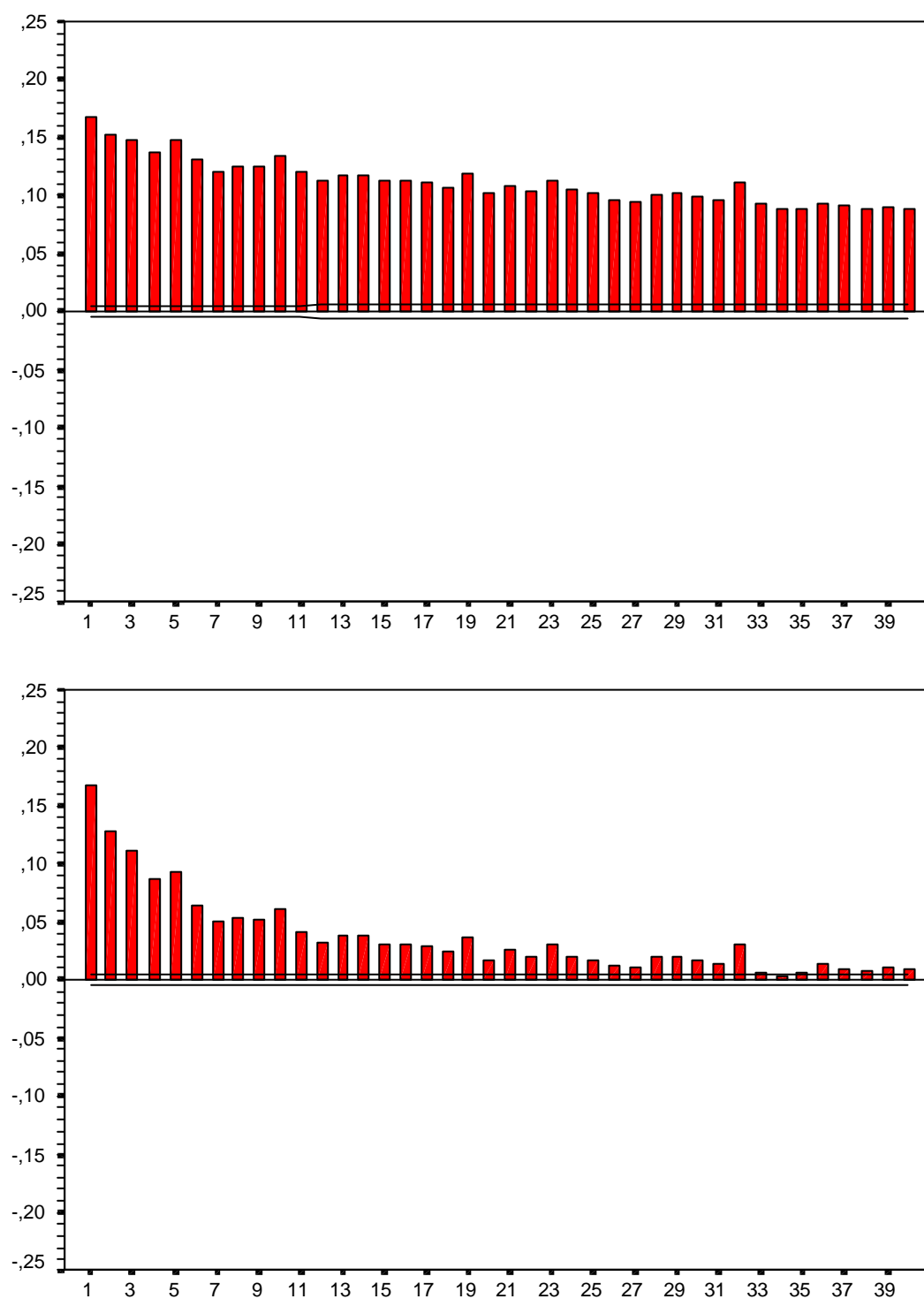


Figura A.101: Correlograma y correlograma parcial de la serie de duración de operaciones del Bono marzo 98

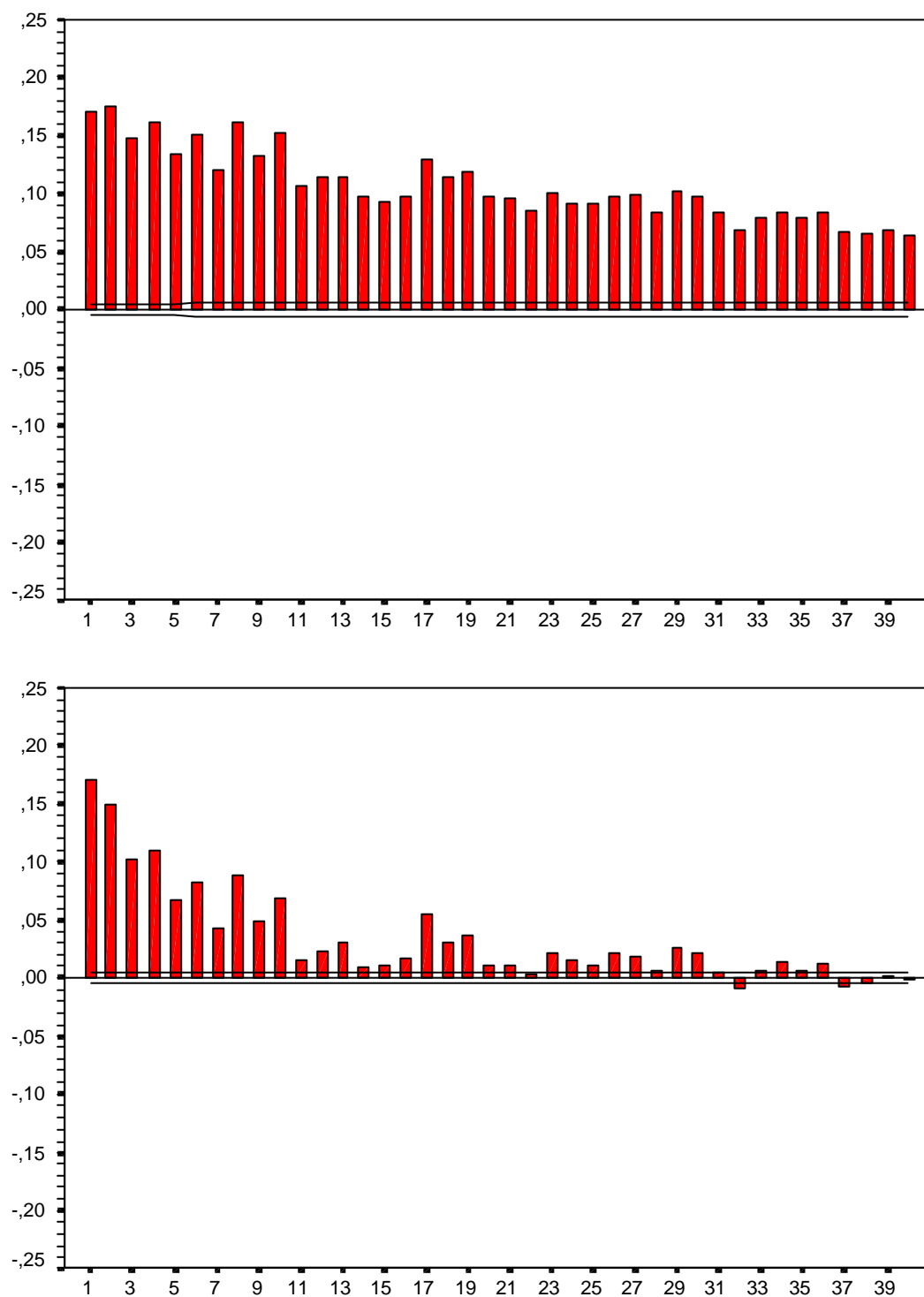


Figura A.102: Correlograma y correlograma parcial de la serie de duración de operaciones del Bono junio 98

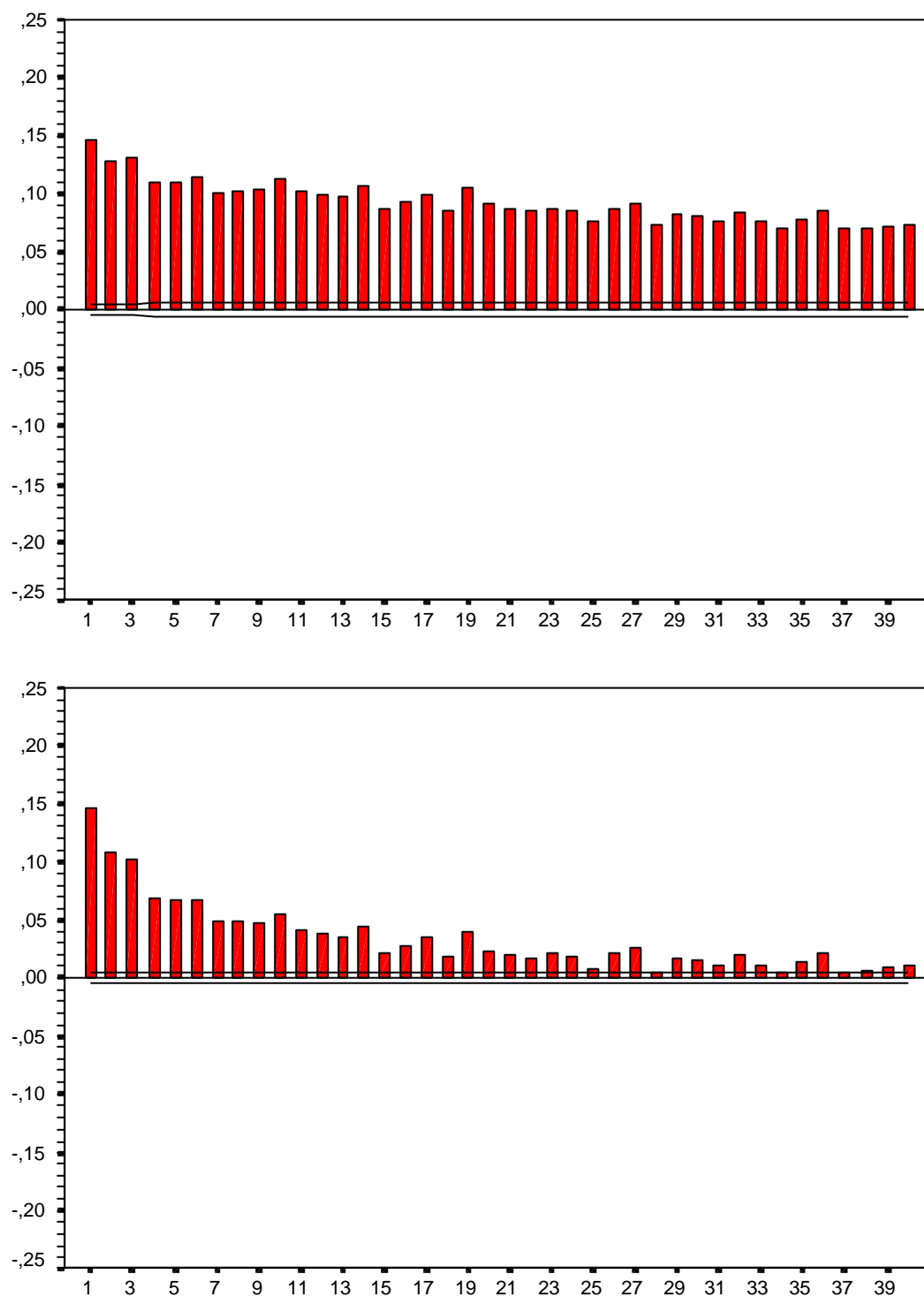


Figura A.103: Correlograma y correlograma parcial de la serie de duración de operaciones del Bono septiembre 98

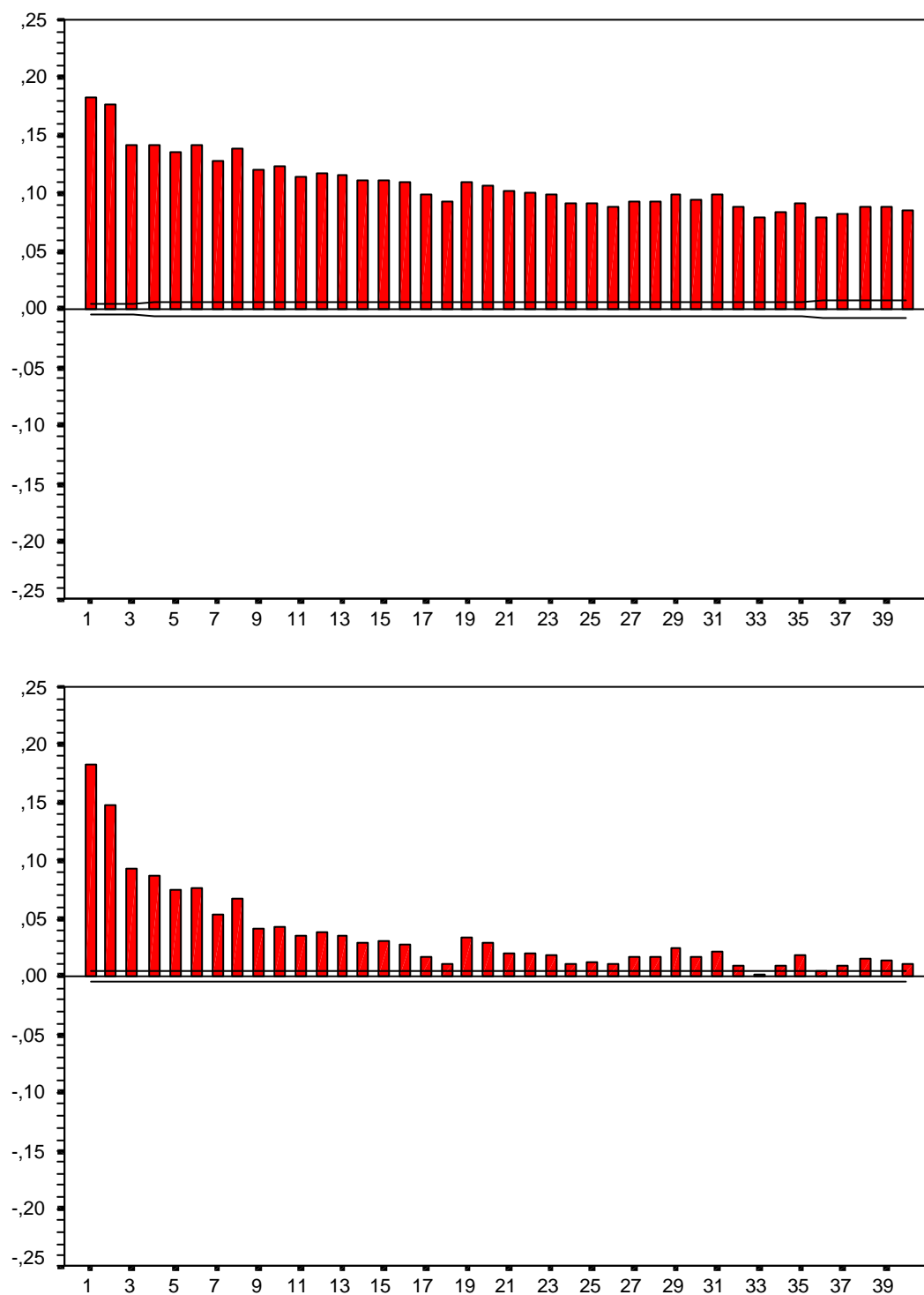


Figura A.104: Correlograma y correlograma parcial de la serie de duración de operaciones del Bono diciembre 98

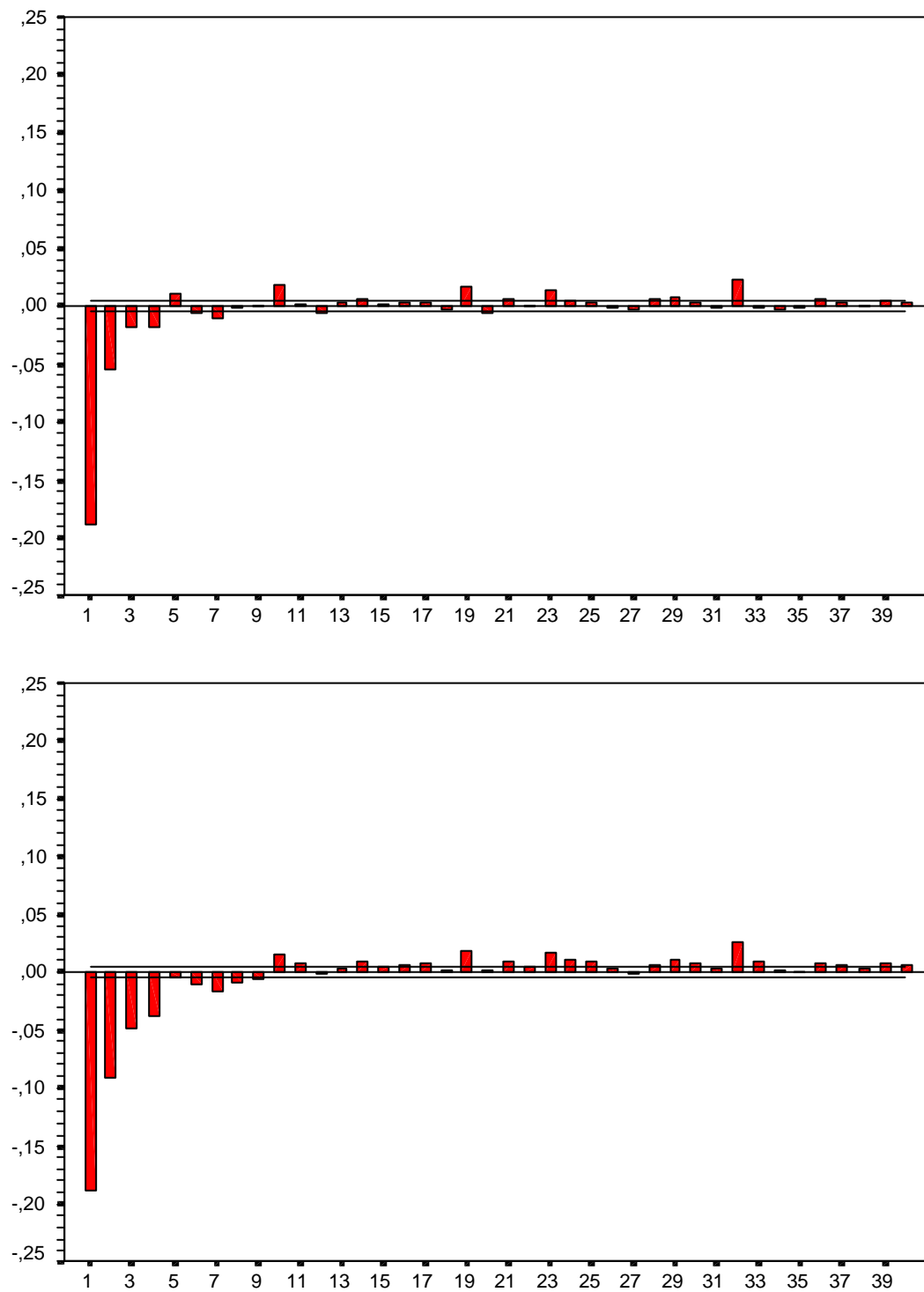


Figura A.105: Correlograma y correlograma parcial de la serie de duración de operaciones del Bono marzo 98 diferenciada fraccionalmente ($d=0.29276$)

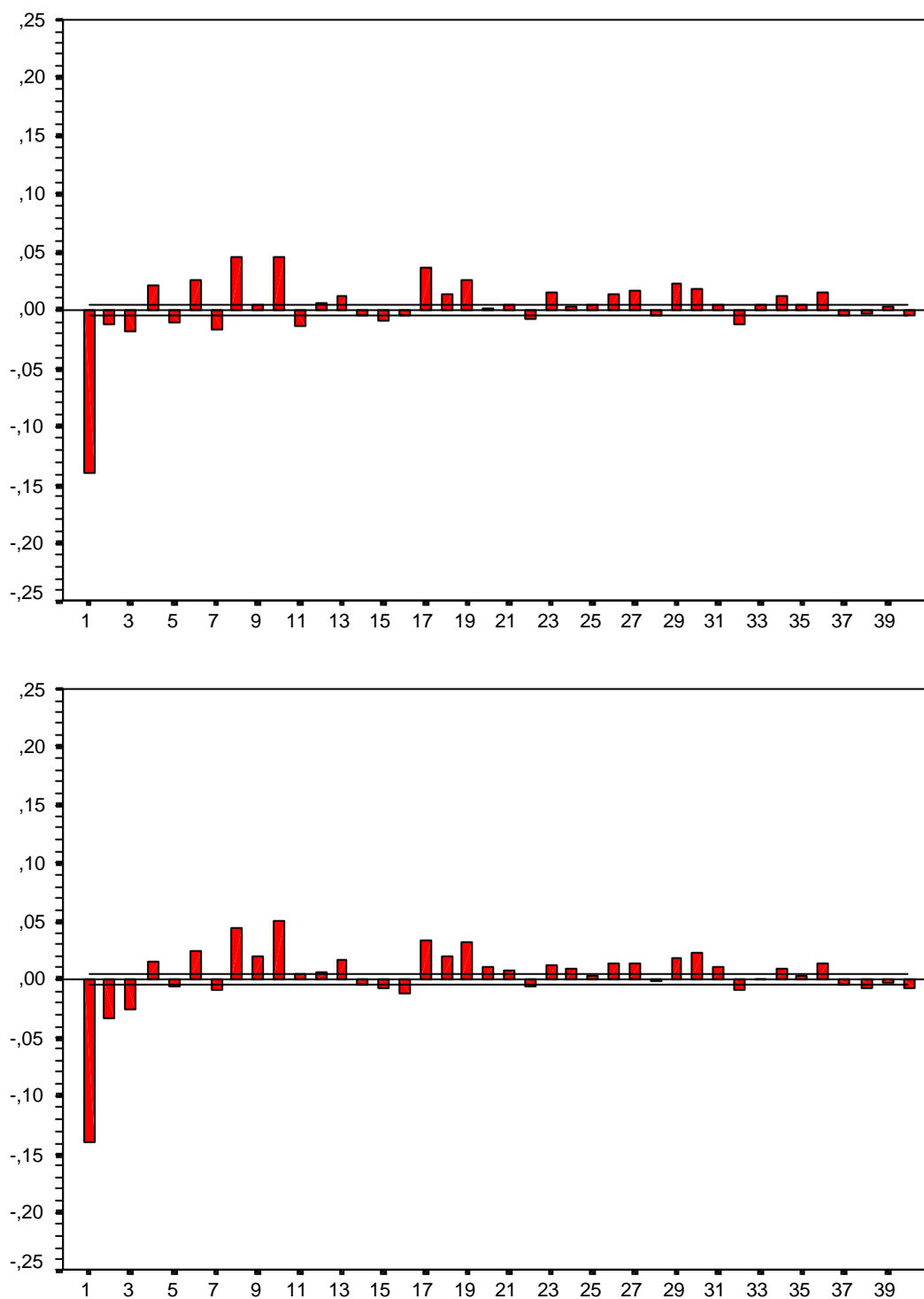


Figura A.106: Correlograma y correlograma parcial de la serie de duración de operaciones del Bono junio 98 diferenciada fraccionalmente ($d=0.22825$)

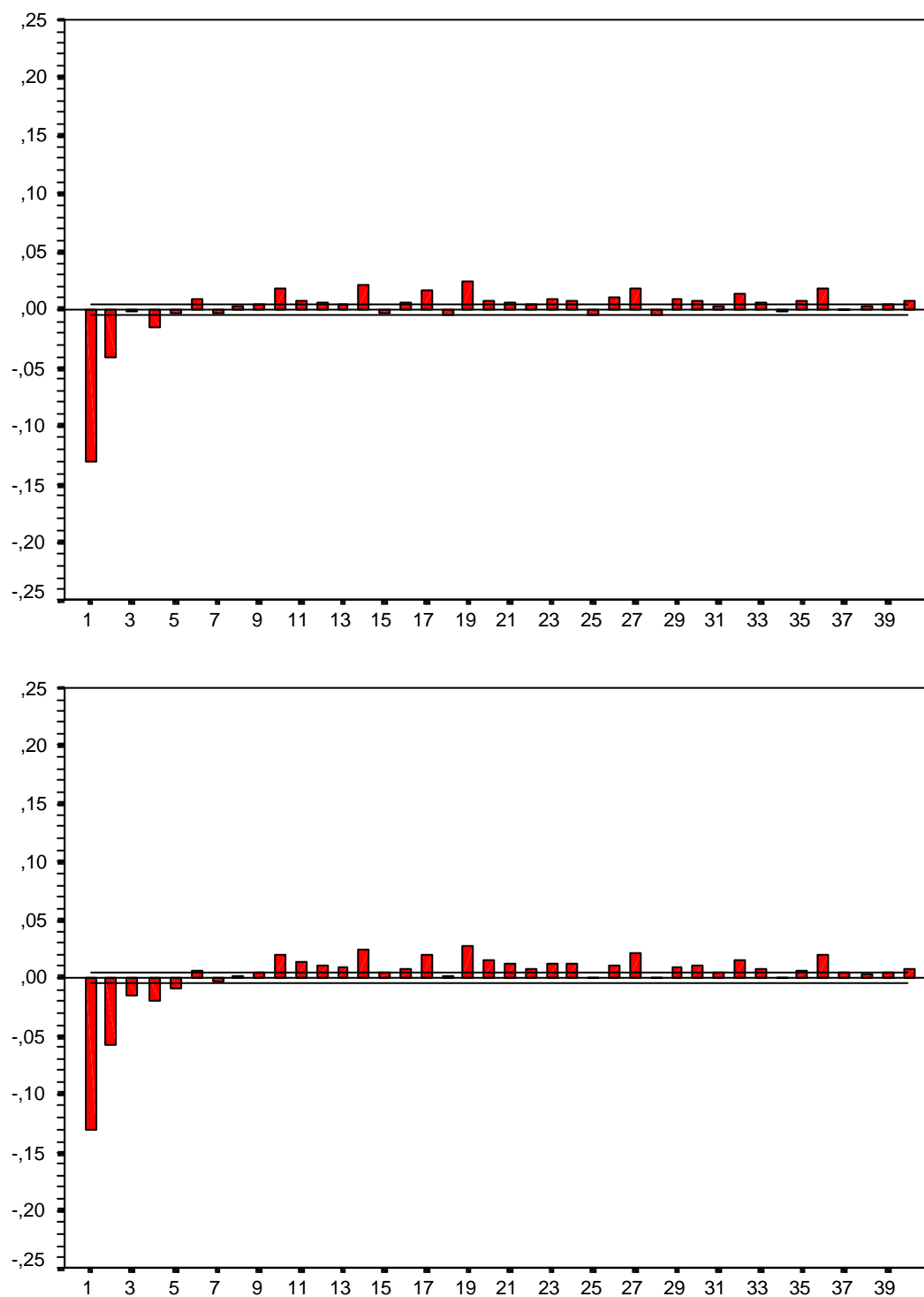


Figura A.107: Correlograma y correlograma parcial de la serie de duración de operaciones del Bono septiembre 98 diferenciada fraccionalmente ($d=0.21824$)

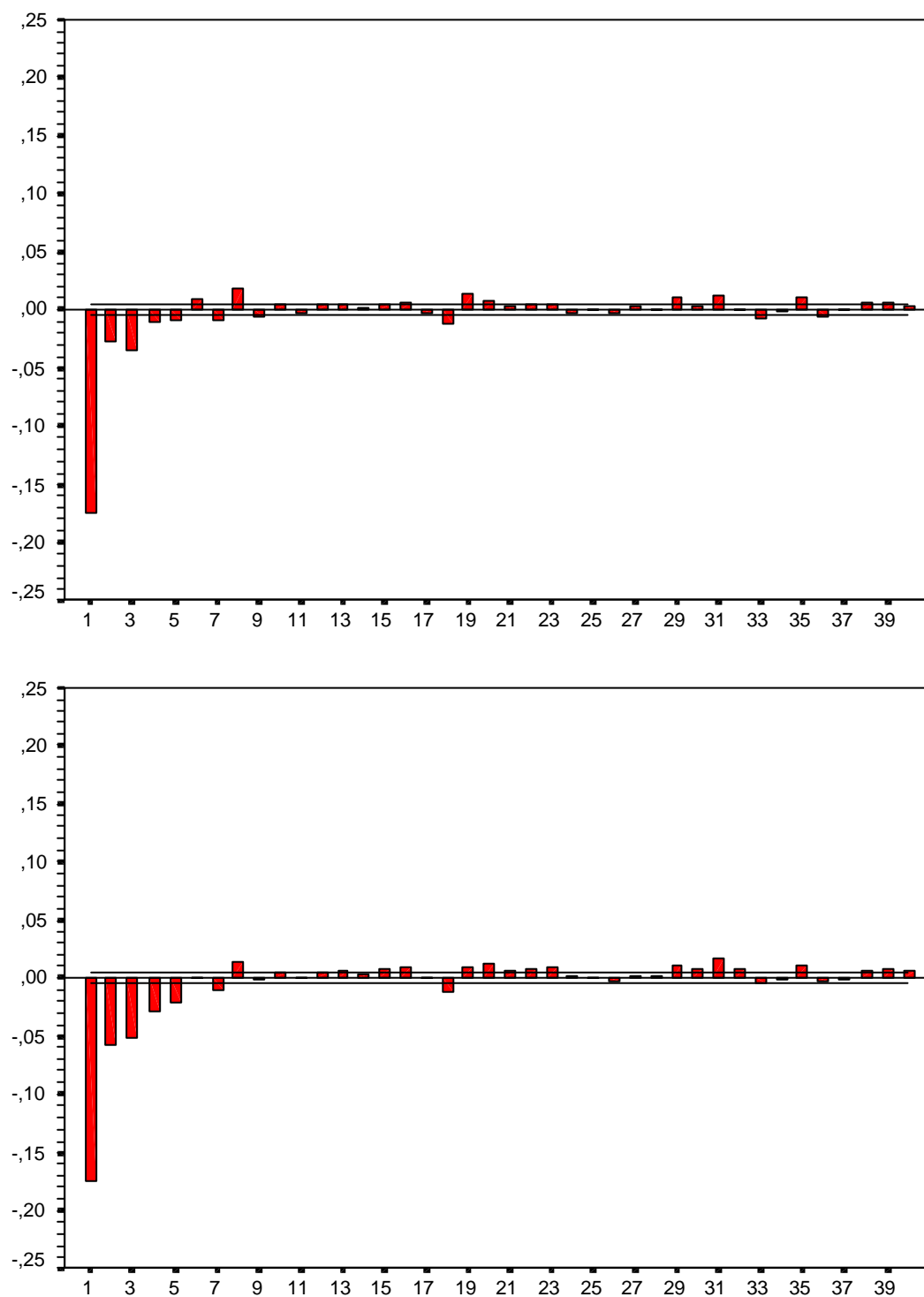


Figura A.108: Correlograma y correlograma parcial de la serie de duración de operaciones del Bono diciembre 98 diferenciada fraccionalmente ($d=0.28545$)

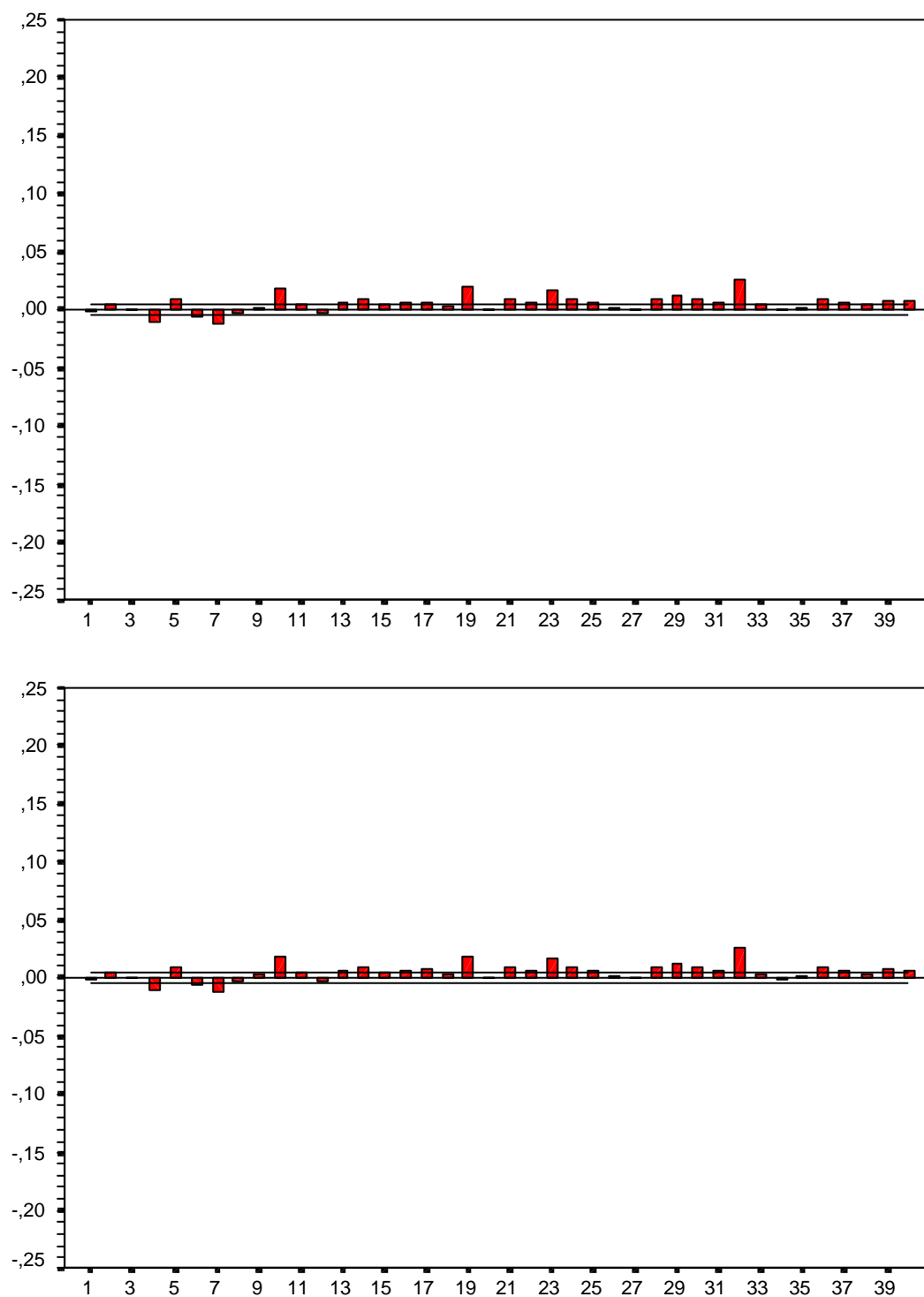


Figura A.109: Correlograma y correlograma parcial de los residuos del modelo

ARFIMA(1,0.29276,1) sobre la serie de duración de operaciones del Bono marzo 98

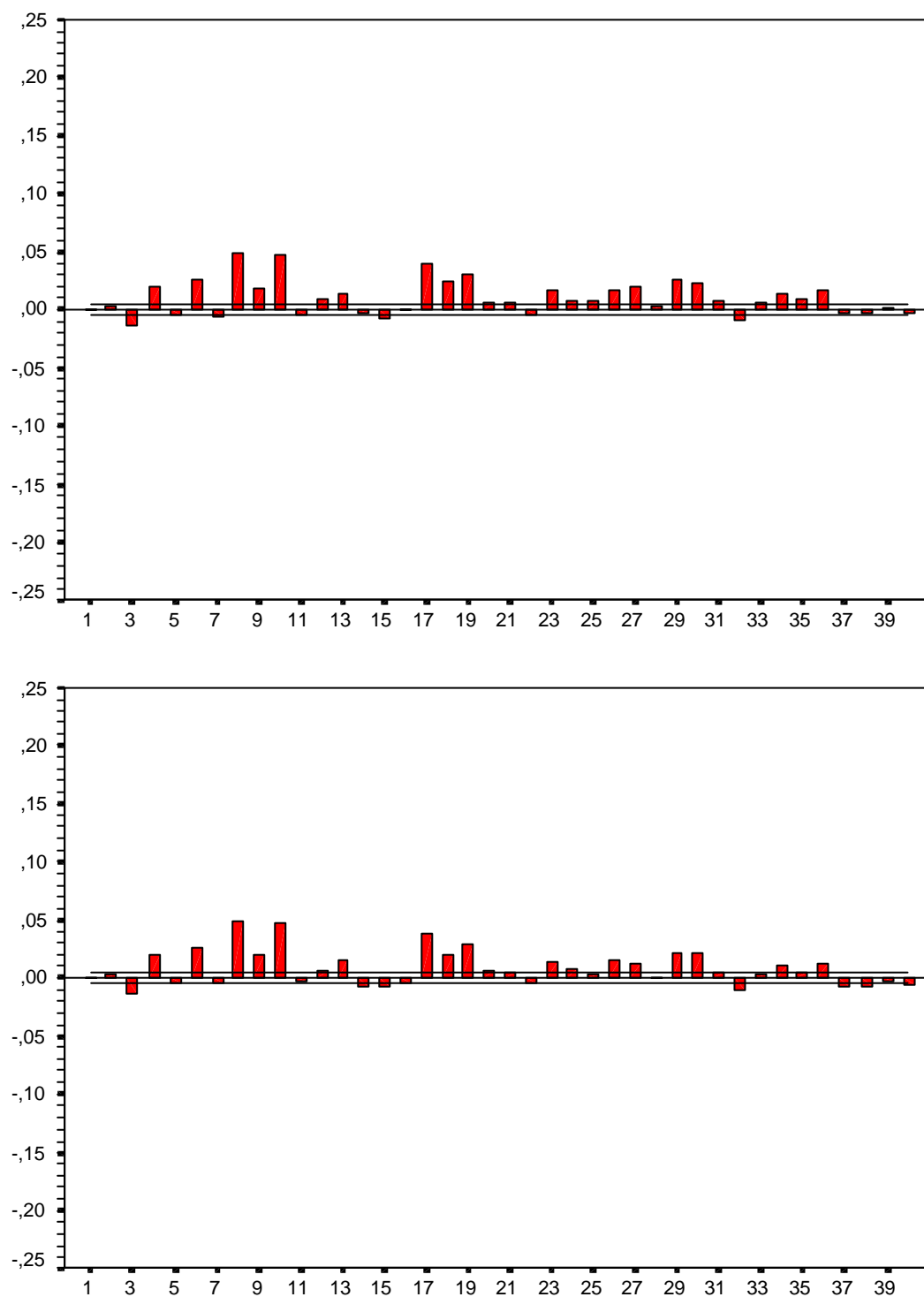


Figura A.110: Correlograma y correlograma parcial de los residuos del modelo

ARFIMA(1,0.22825,1) sobre la serie de duración de operaciones del Bono junio 98

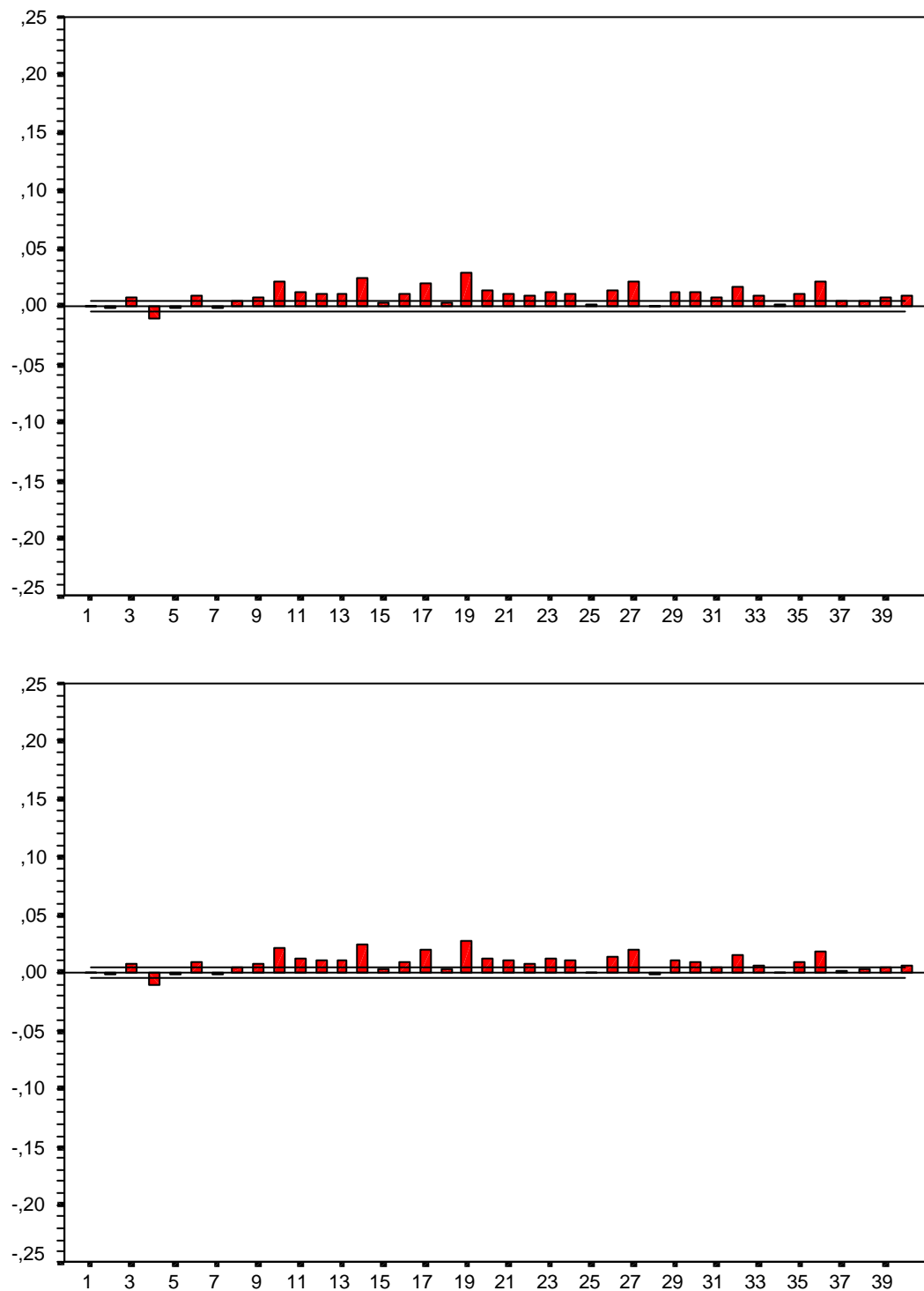


Figura A.111: Correlograma y correlograma parcial de los residuos del modelo

ARFIMA(1,0.21824,1) sobre la serie de duración de operaciones del Bono septiembre

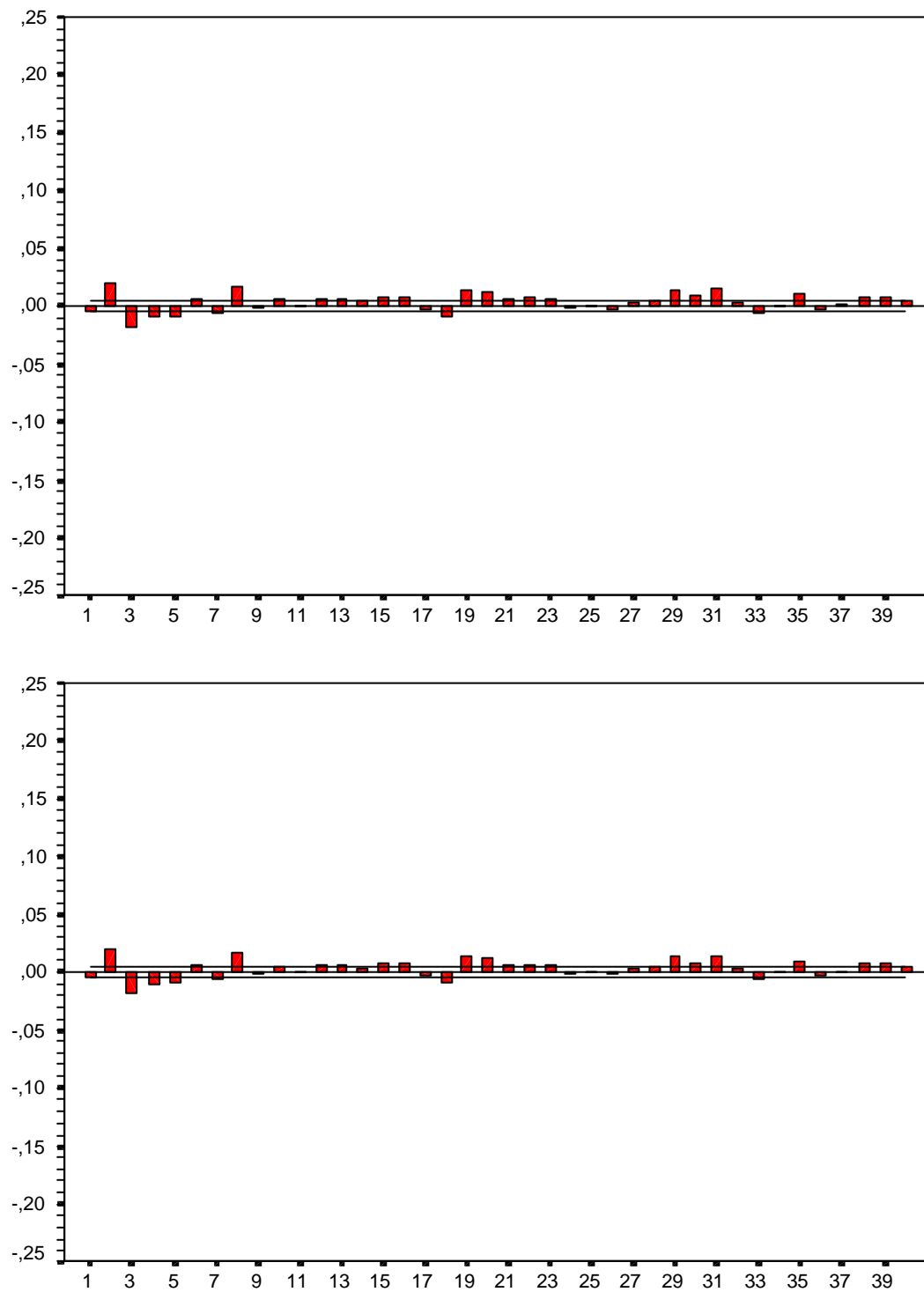


Figura A.112: Correlograma y correlograma parcial de los residuos del modelo

ARFIMA(1,0.28545,1) sobre la serie de duración de operaciones del Bono diciembre 98

SERIES

Figura A.113: Gráfica de x_t en el eje X frente a $x_{t+\tau}$ en el eje Y.
 Serie de rendimientos del contrato de Futuro sobre el Bono con vencimiento en marzo
 1998.
 (operación a operación)

Figura A.114: Gráfica de x_t en el eje X frente a $x_{t+\tau}$ en el eje Y.
 Serie de rendimientos del contrato de Futuro sobre el Bono con vencimiento en junio
 1998.
 (operación a operación)

Figura A.115: Gráfica de x_t en el eje X frente a $x_{t+\tau}$ en el eje Y.
Serie de rendimientos del contrato de Futuro sobre el Bono con vencimiento en
septiembre 1998.
(operación a operación)

Figura A.116: Gráfica de x_t en el eje X frente a $x_{t+\tau}$ en el eje Y.
Serie de rendimientos del contrato de Futuro sobre el Bono con vencimiento en
diciembre 1998.
(operación a operación)

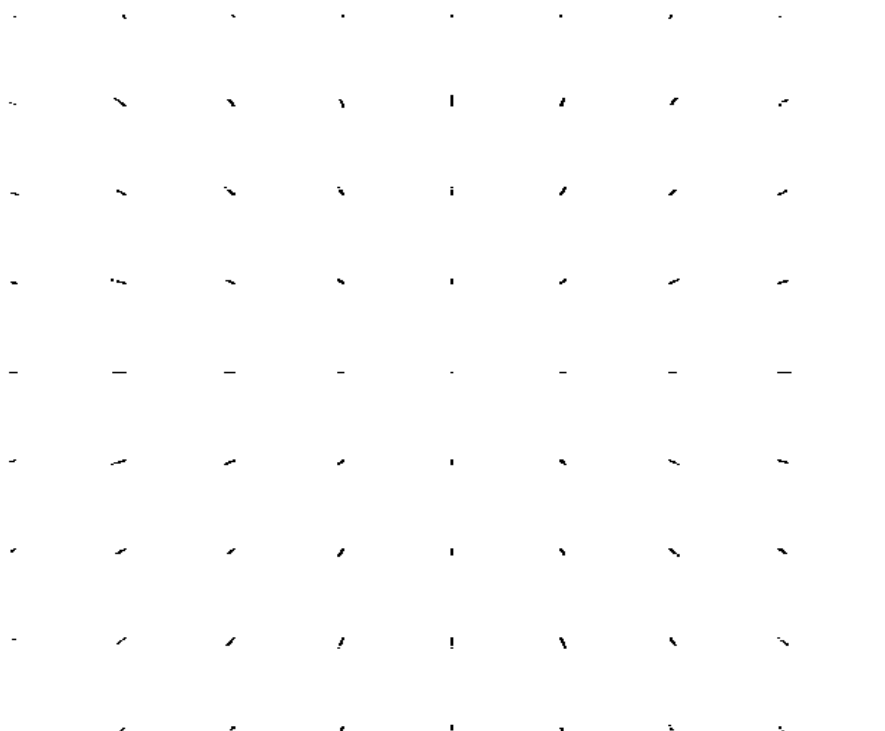


Figura A.117: Gráfica de x_t en el eje X frente a $x_{t+\tau}$ en el eje Y.
Serie de rendimientos del contrato de Futuro sobre el Bono con vencimiento en marzo
1998.
(cinco minutos)

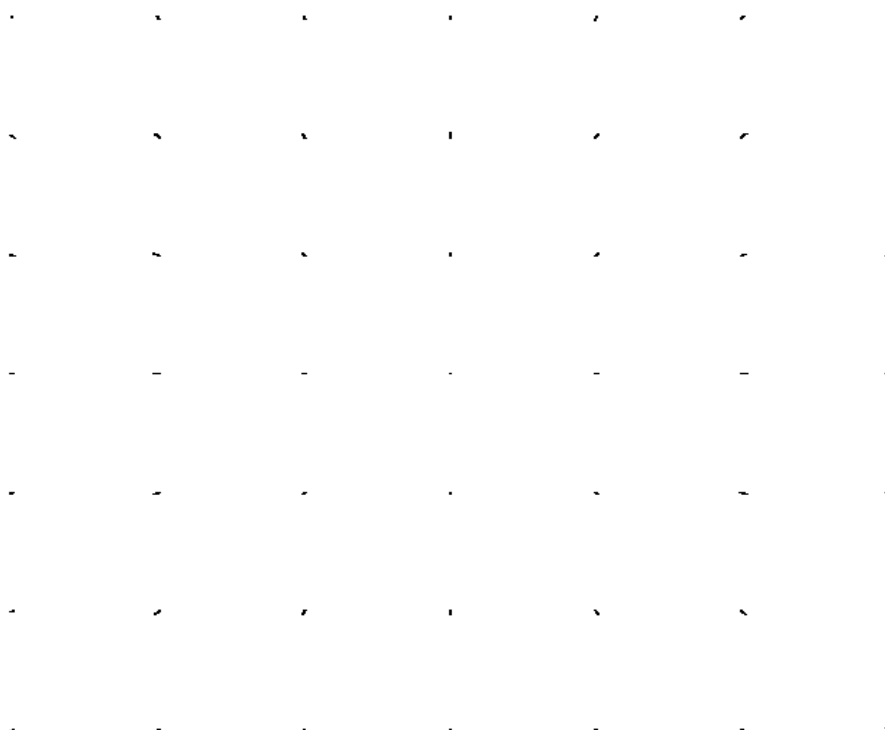


Figura A.118: Gráfica de x_t en el eje X frente a $x_{t+\tau}$ en el eje Y.
Serie de rendimientos del contrato de Futuro sobre el Bono con vencimiento en junio
1998.
(cinco minutos)

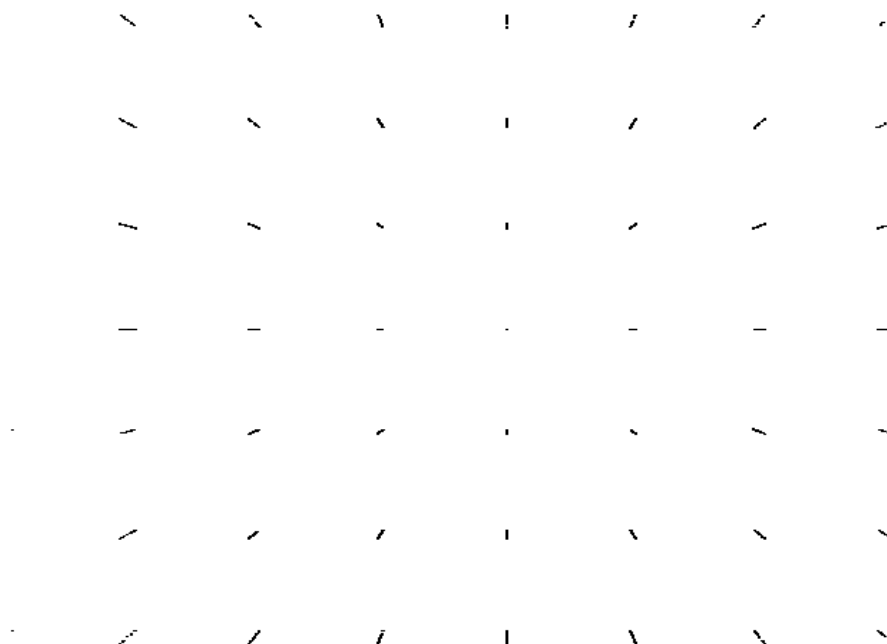


Figura A.119: Gráfica de x_t en el eje X frente a $x_{t+\tau}$ en el eje Y.
Serie de rendimientos del contrato de Futuro sobre el Bono con vencimiento en
septiembre 1998.
(cinco minutos)

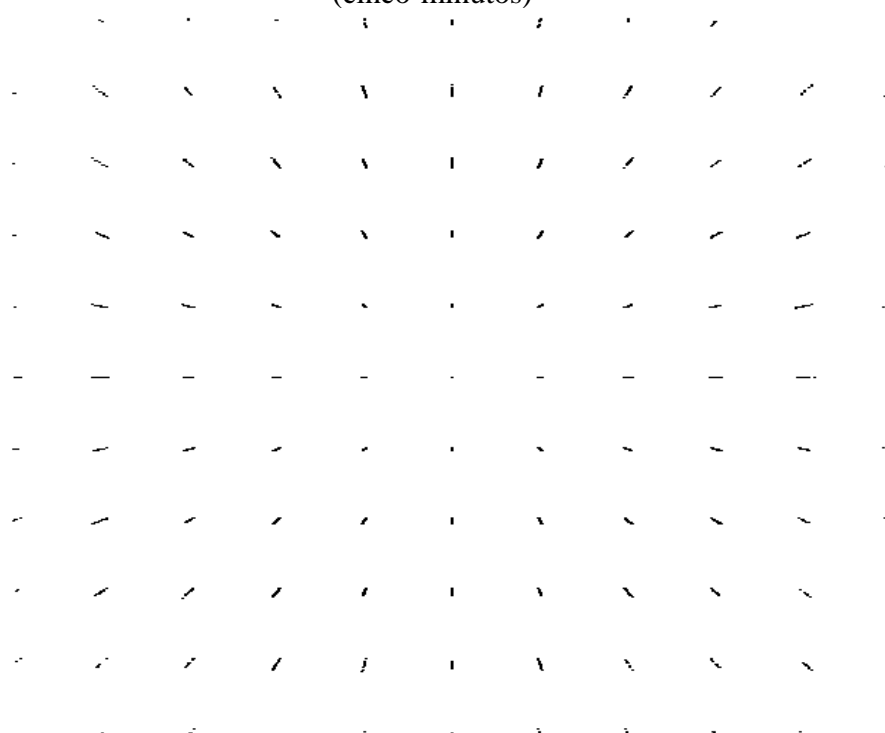


Figura A.120: Gráfica de x_t en el eje X frente a $x_{t+\tau}$ en el eje Y.
Serie de rendimientos del contrato de Futuro sobre el Bono con vencimiento en
diciembre 1998.
(cinco minutos)

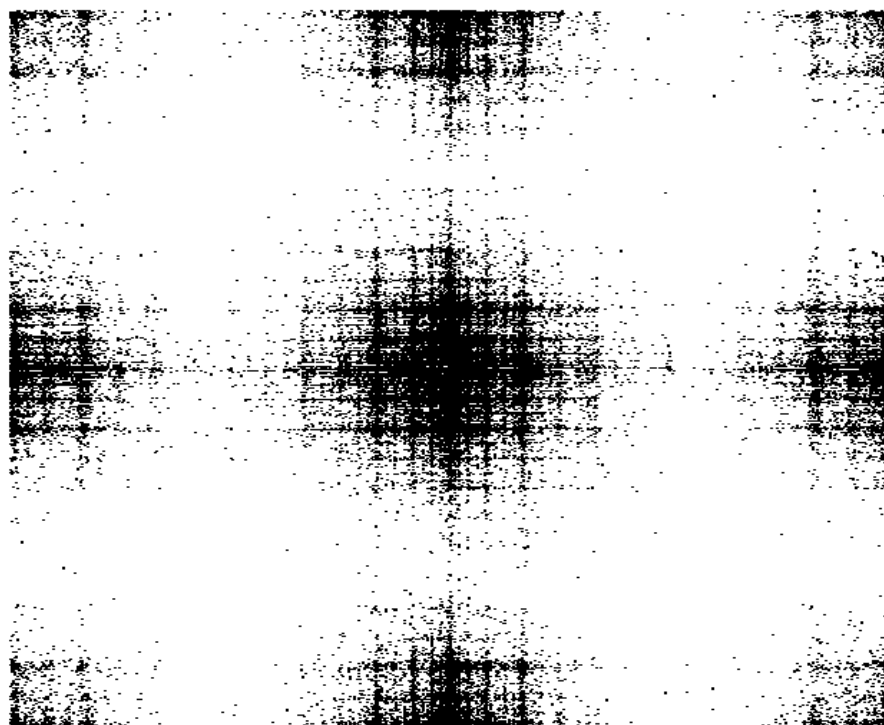


Figura A.121: Gráfica de x_t en el eje X frente a $x_{t+\tau}$ en el eje Y.
Serie de residuos del modelo ARIMA sobre los rendimientos del contrato de Futuro
sobre el Bono con vencimiento en marzo 1998
(operación a operación)

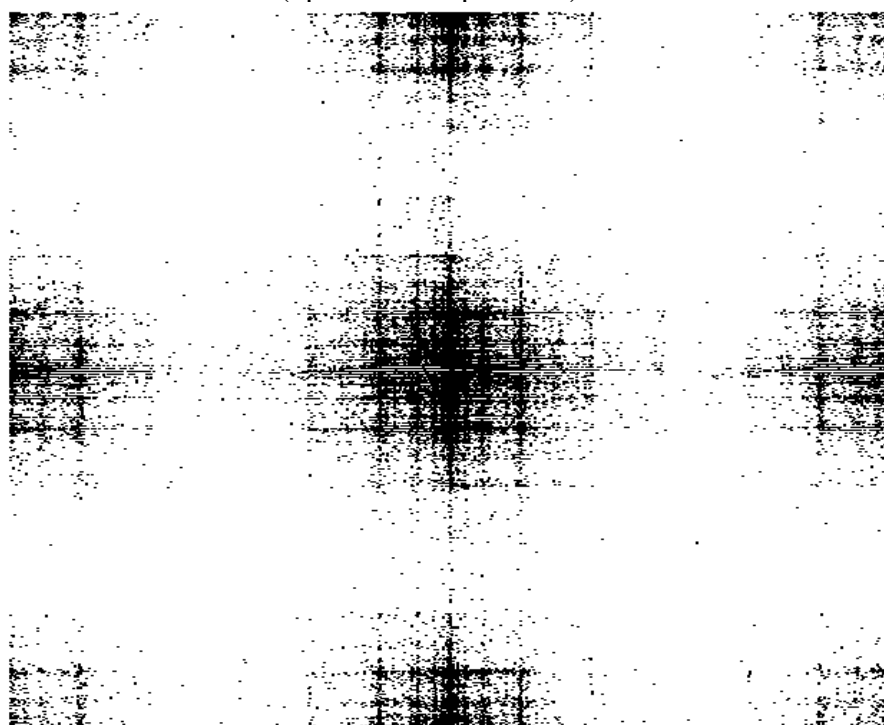


Figura A.122: Gráfica de x_t en el eje X frente a $x_{t+\tau}$ en el eje Y.
Serie de residuos del modelo ARIMA sobre los rendimientos del contrato de Futuro
sobre el Bono con vencimiento en junio 1998
(operación a operación)

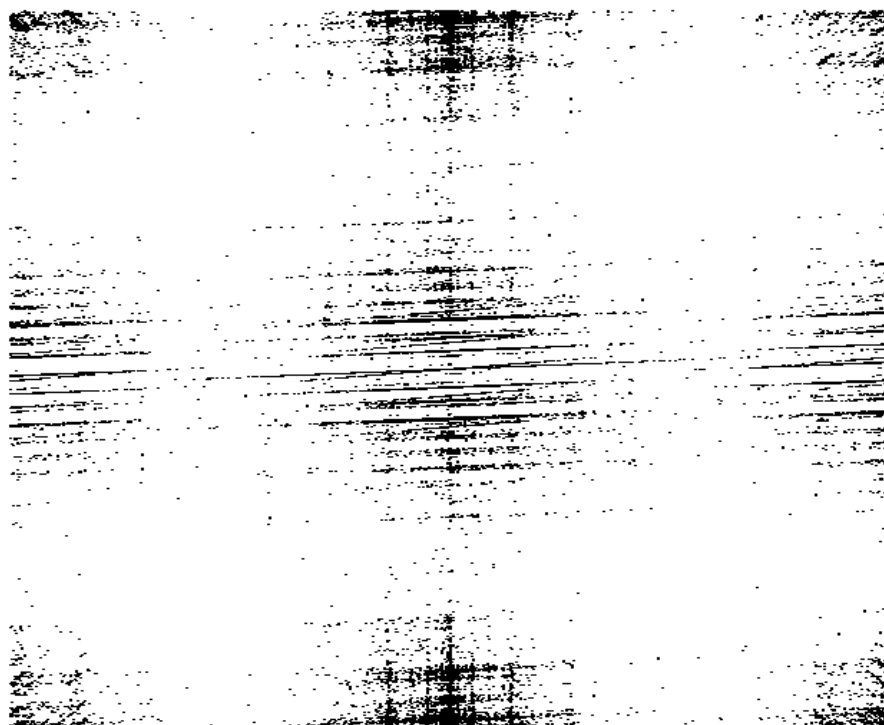


Figura A.123: Gráfica de x_t en el eje X frente a $x_{t+\tau}$ en el eje Y.
Serie de residuos del modelo ARIMA sobre los rendimientos del contrato de Futuro
sobre el Bono con vencimiento en septiembre 1998
(operación a operación)

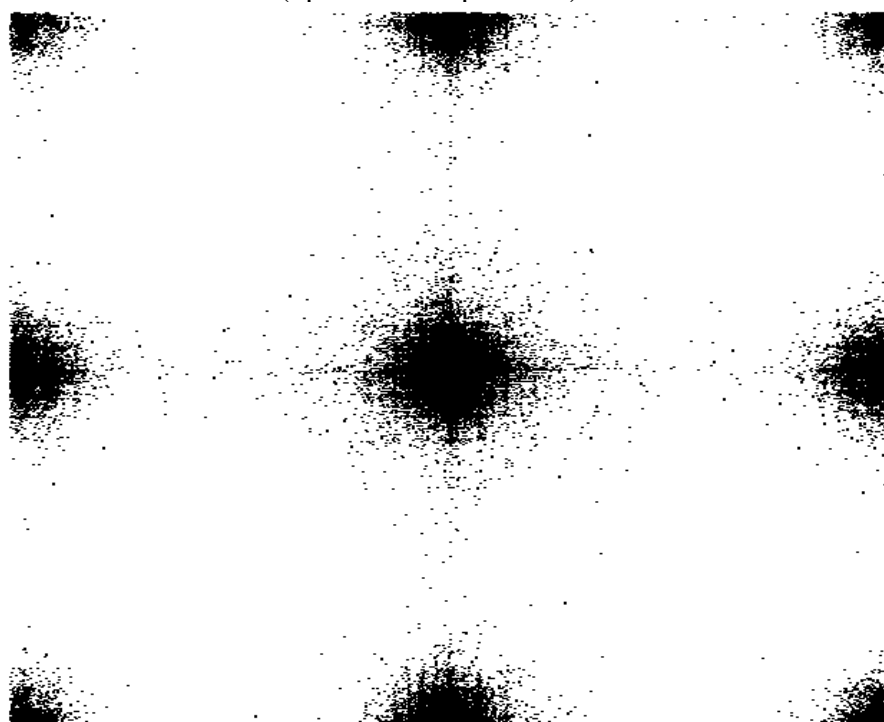


Figura A.124: Gráfica de x_t en el eje X frente a $x_{t+\tau}$ en el eje Y.
Serie de residuos del modelo ARIMA sobre los rendimientos del contrato de Futuro
sobre el Bono con vencimiento en diciembre 1998
(operación a operación)

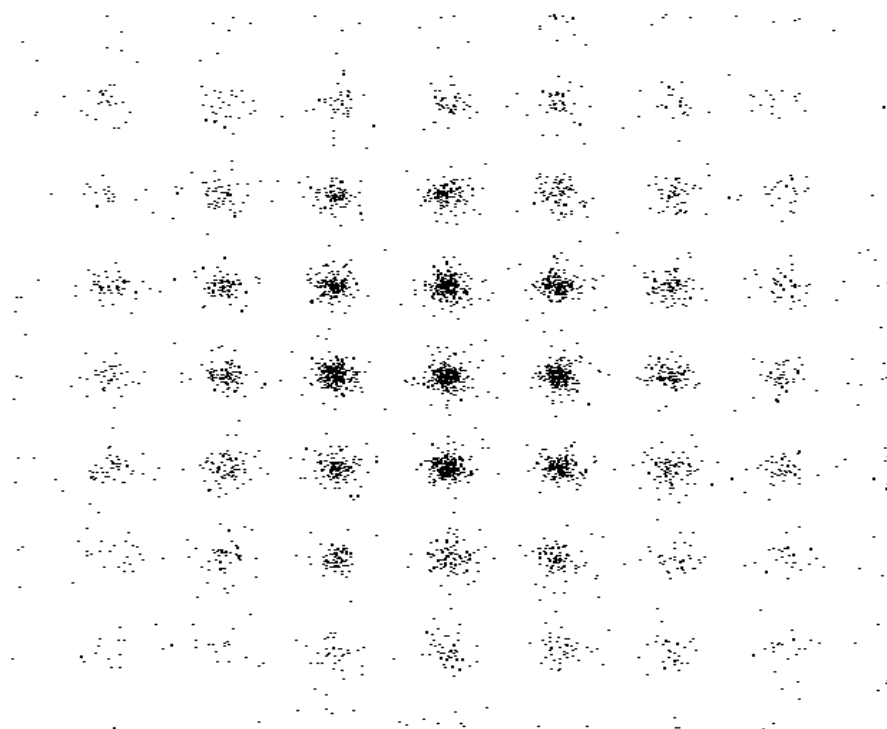


Figura A.125: Gráfica de x_t en el eje X frente a $x_{t+\tau}$ en el eje Y.
Serie de residuos del modelo ARIMA sobre los rendimientos del contrato de Futuro
sobre el Bono con vencimiento en marzo 1998
(cinco minutos)

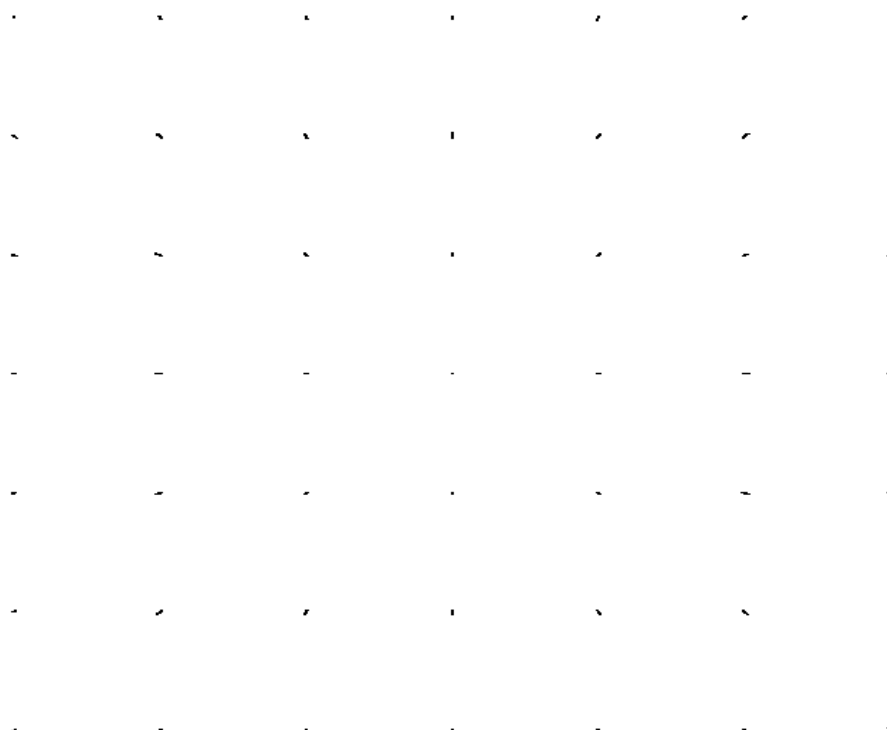


Figura A.126: Gráfica de x_t en el eje X frente a $x_{t+\tau}$ en el eje Y.
Serie de residuos del modelo ARIMA sobre los rendimientos del contrato de Futuro
sobre el Bono con vencimiento en junio 1998
(cinco minutos)

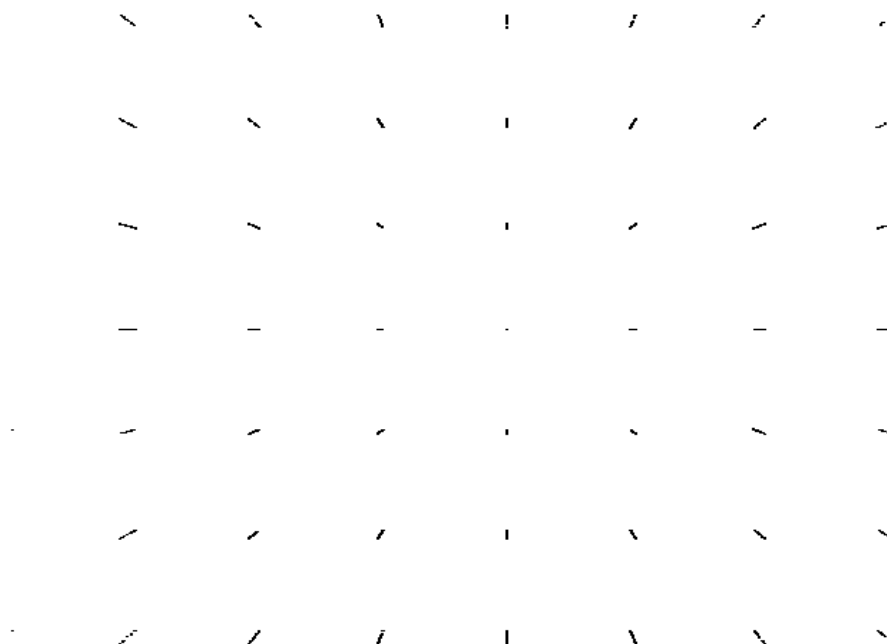


Figura A.127: Gráfica de x_t en el eje X frente a $x_{t+\tau}$ en el eje Y.
Serie de residuos del modelo ARIMA sobre los rendimientos del contrato de Futuro
sobre el Bono con vencimiento en septiembre 1998
(cinco minutos)

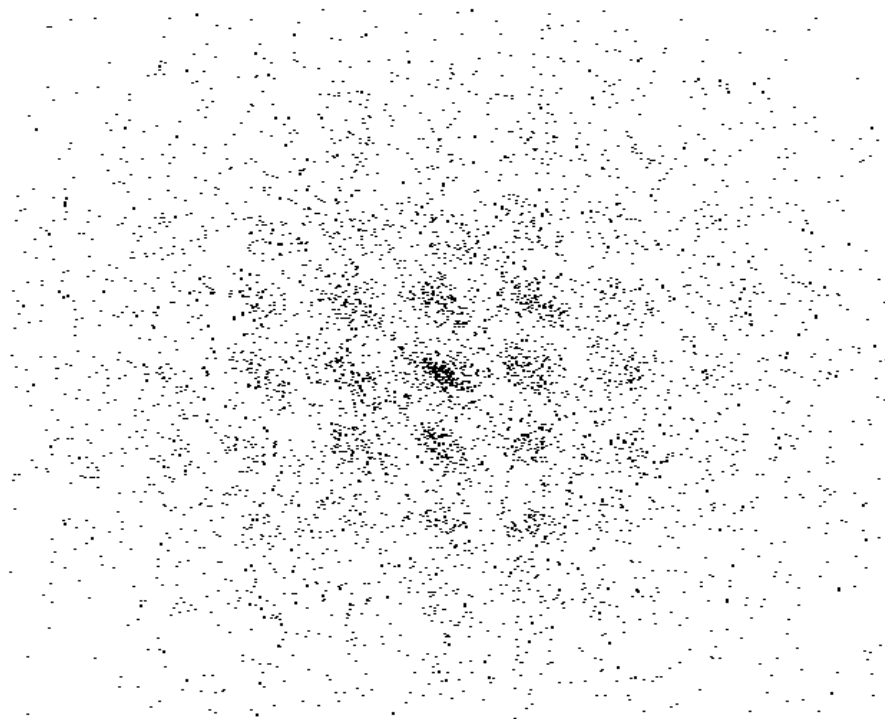


Figura A.128: Gráfica de x_t en el eje X frente a $x_{t+\tau}$ en el eje Y.
Serie de residuos del modelo ARIMA sobre los rendimientos del contrato de Futuro
sobre el Bono con vencimiento en diciembre 1998
(cinco minutos)

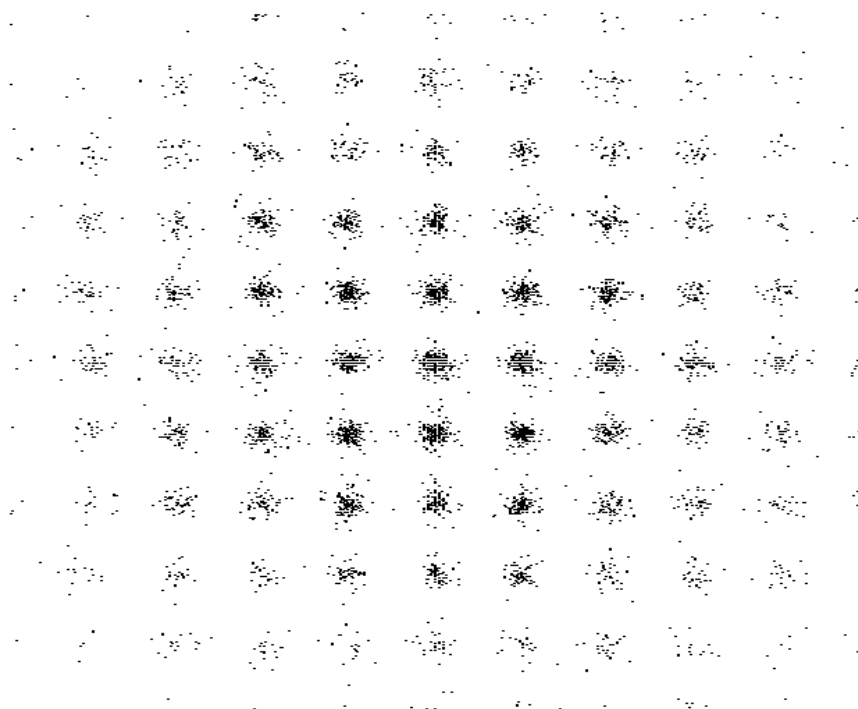


Figura A.129: Gráfica de x_t en el eje X frente a $x_{t+\tau}$ en el eje Y.
Serie de residuos del modelo ARIMA con intervención sobre los rendimientos del
contrato de Futuro sobre el Bono con vencimiento en diciembre 1998
(cinco minutos)

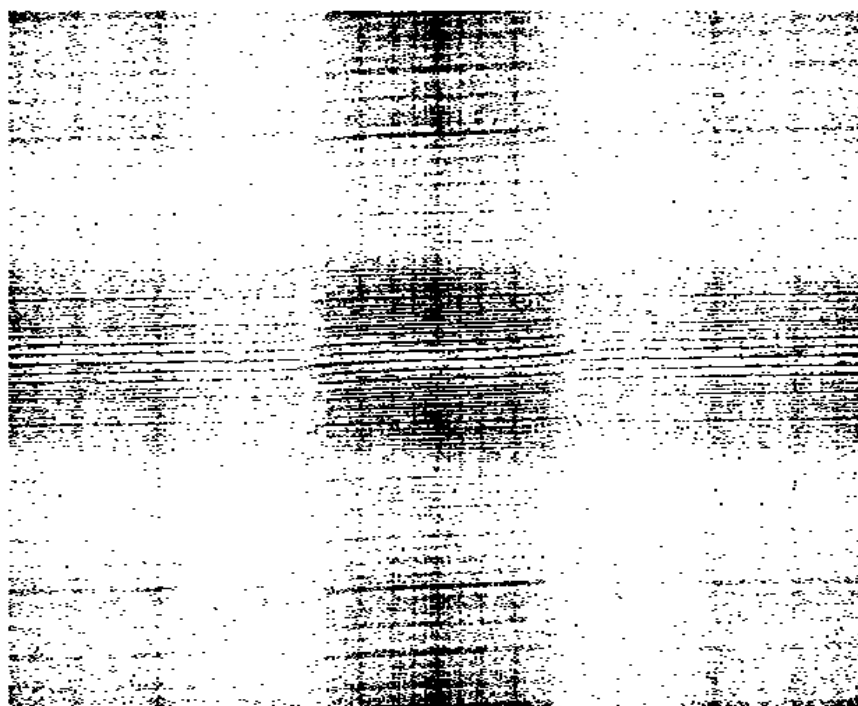


Figura A.130: Gráfica de x_t en el eje X frente a $x_{t+\tau}$ en el eje Y.
Serie de residuos del modelo Garch-M sobre el Bono con vencimiento en marzo 1998
(operación a operación)

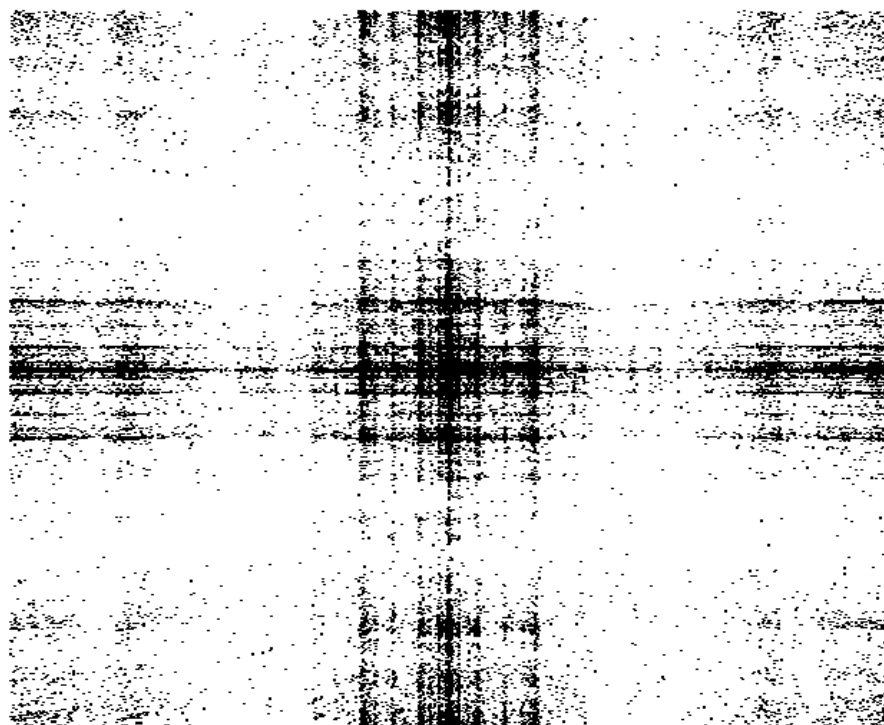


Figura A.131: Gráfica de x_t en el eje X frente a $x_{t+\tau}$ en el eje Y.
Serie de residuos del modelo Garch-M sobre el Bono con vencimiento en junio 1998
(operación a operación)

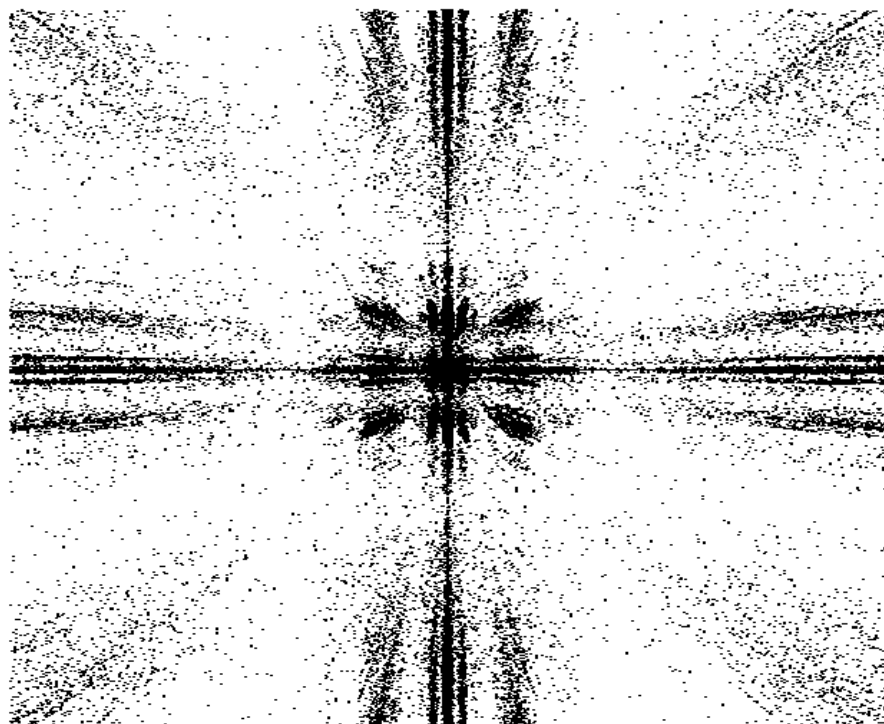


Figura A.132: Gráfica de x_t en el eje X frente a $x_{t+\tau}$ en el eje Y.
Serie de residuos del modelo Garch-M sobre el Bono con vencimiento en septiembre 1998
(operación a operación)

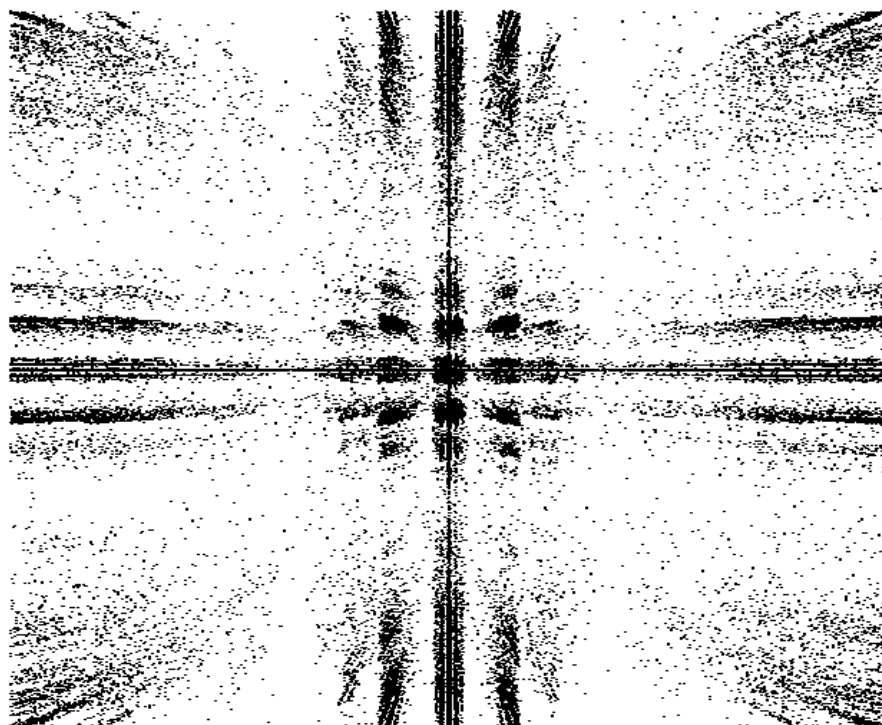


Figura A.133: Gráfica de x_t en el eje X frente a $x_{t+\tau}$ en el eje Y.
Serie de residuos del modelo Garch-M sobre el Bono con vencimiento en diciembre
1998
(operación a operación)

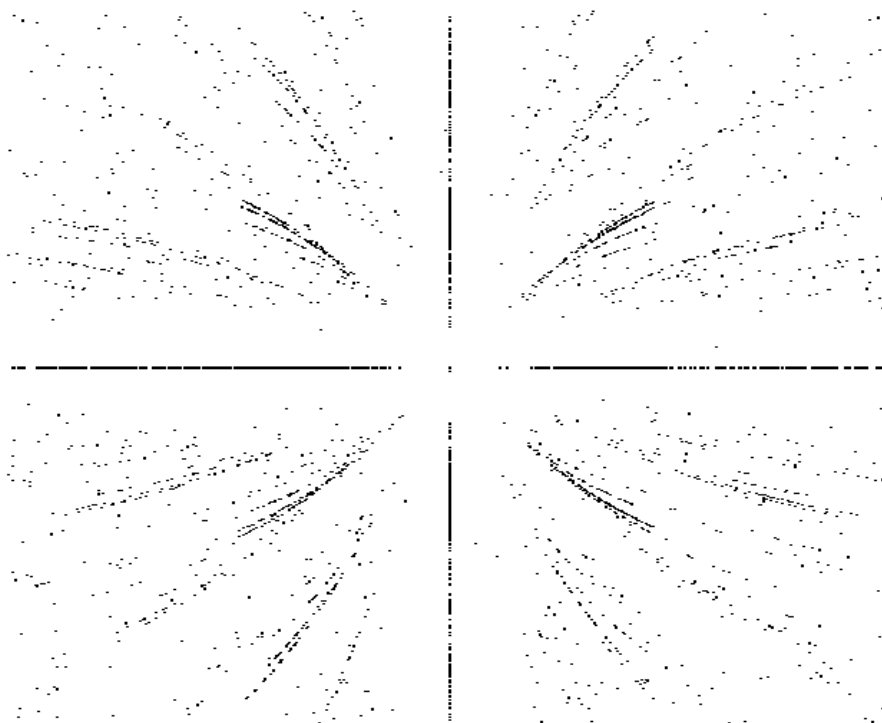


Figura A.134: Gráfica de x_t en el eje X frente a $x_{t+\tau}$ en el eje Y.
Serie de residuos del modelo Garch sobre el Bono con vencimiento en marzo 1998
(cinco minutos)

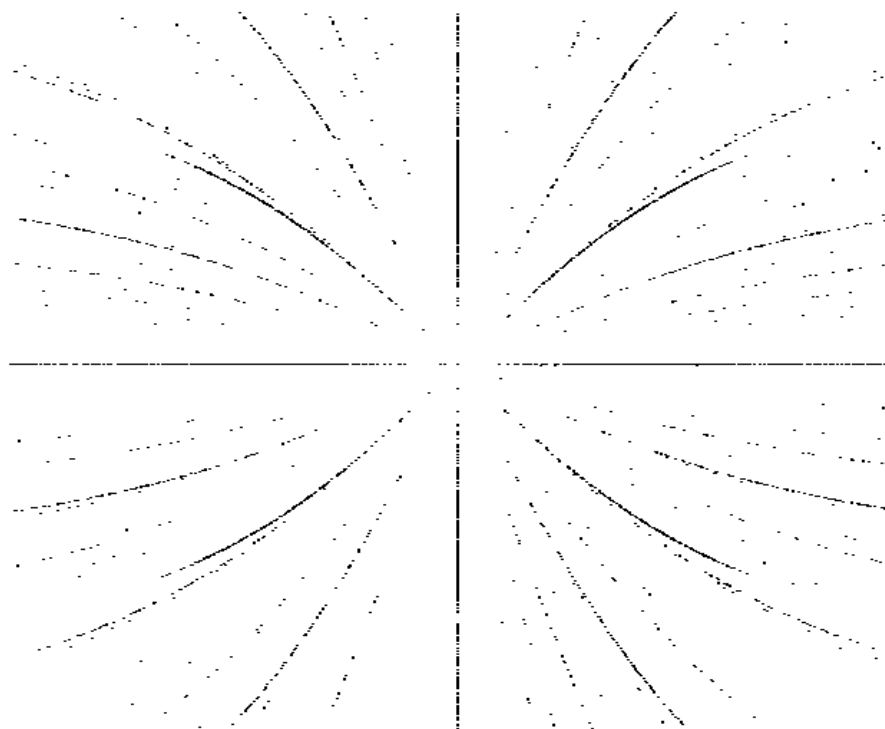


Figura A.135: Gráfica de x_t en el eje X frente a $x_{t+\tau}$ en el eje Y.
Serie de residuos del modelo Garch sobre el Bono con vencimiento en junio 1998
(cinco minutos)

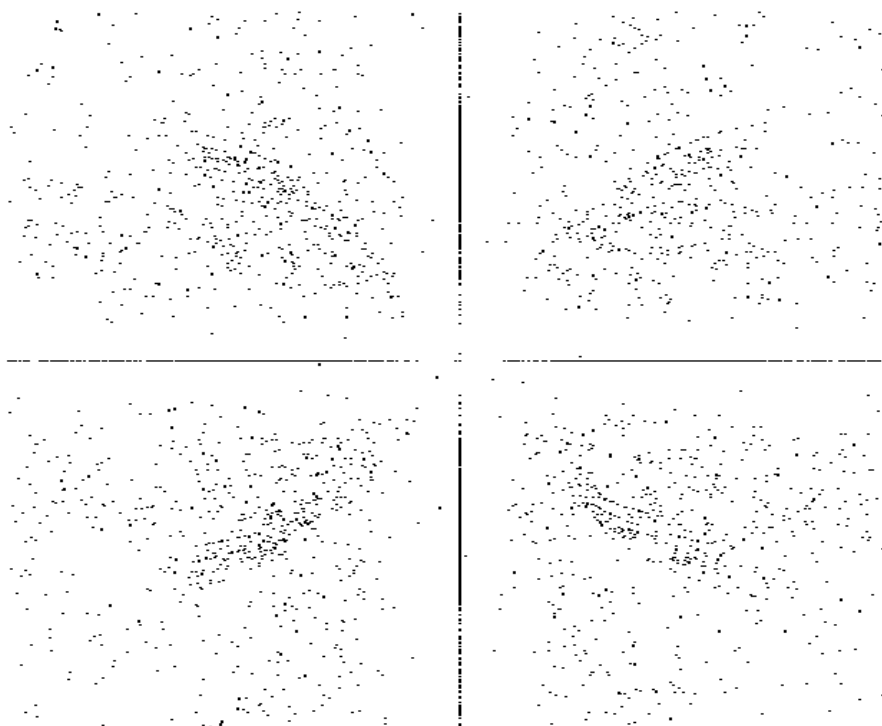


Figura A.136: Gráfica de x_t en el eje X frente a $x_{t+\tau}$ en el eje Y.
Serie de residuos del modelo Garch sobre el Bono con vencimiento en septiembre 1998
(cinco minutos)

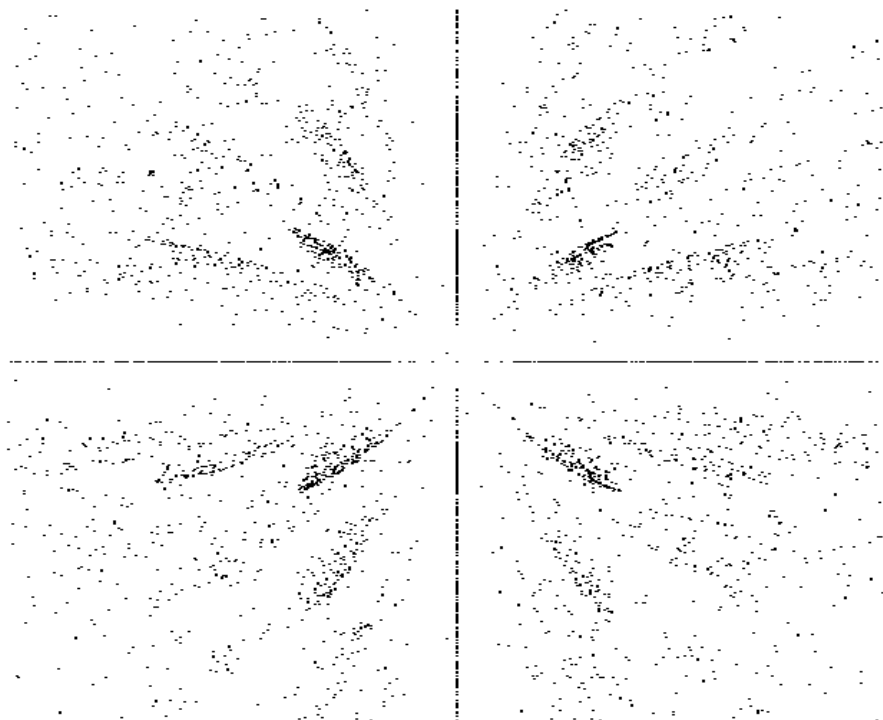


Figura A.137: Gráfica de x_t en el eje X frente a $x_{t+\tau}$ en el eje Y.
Serie de residuos del modelo Garch-M sobre el Bono con vencimiento en diciembre 1998
(cinco minutos)

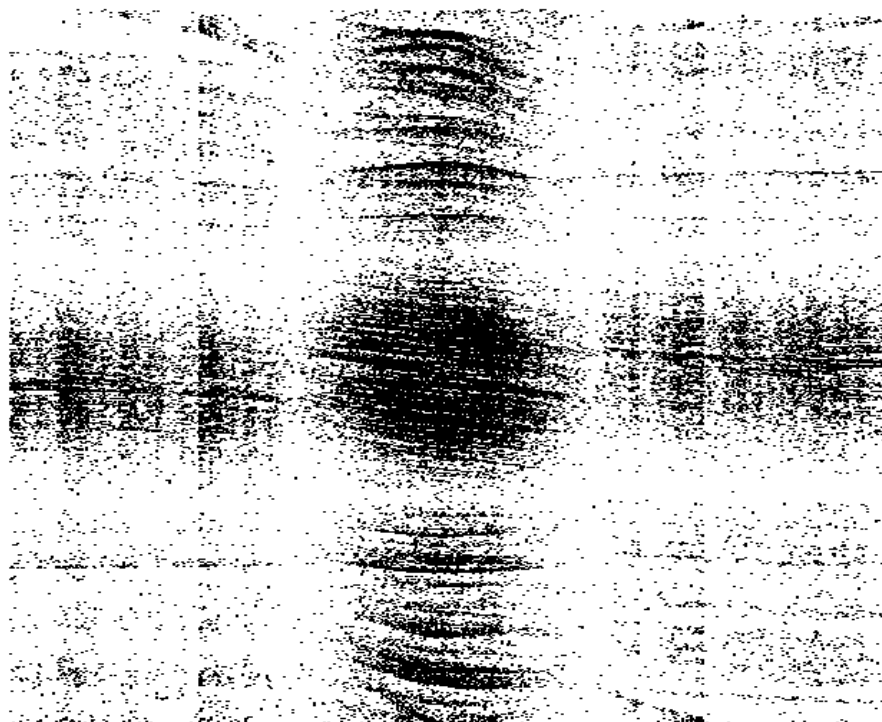


Figura A.138: Gráfica de x_t en el eje X frente a $x_{t+\tau}$ en el eje Y.
Serie de residuos del modelo Egarch sobre el Bono con vencimiento en marzo 1998
(operación a operación)

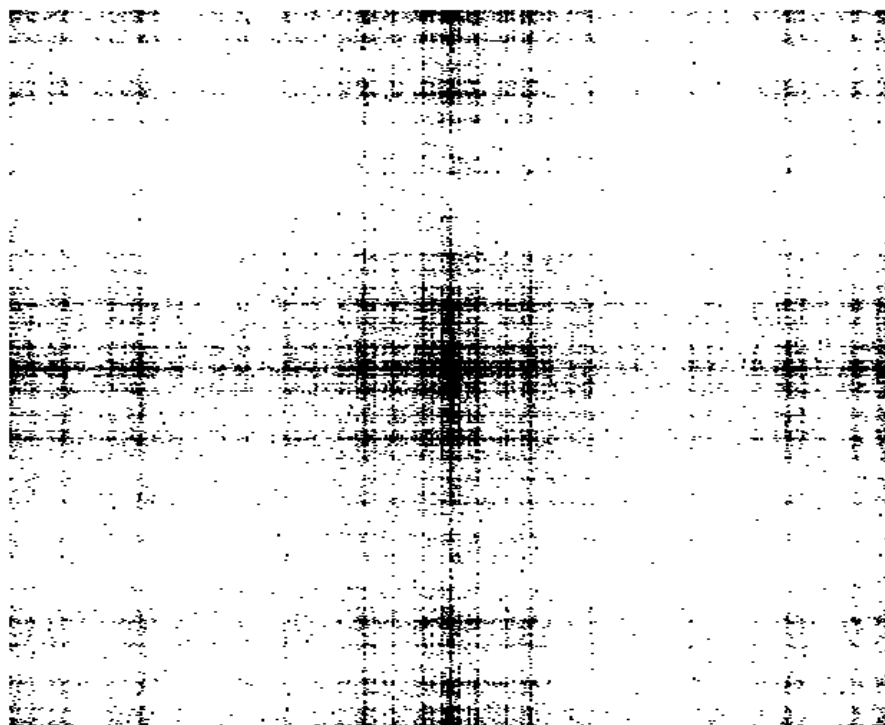


Figura A.139: Gráfica de x_t en el eje X frente a $x_{t+\tau}$ en el eje Y.
Serie de residuos del modelo Egarch sobre el Bono con vencimiento en junio 1998
(operación a operación)

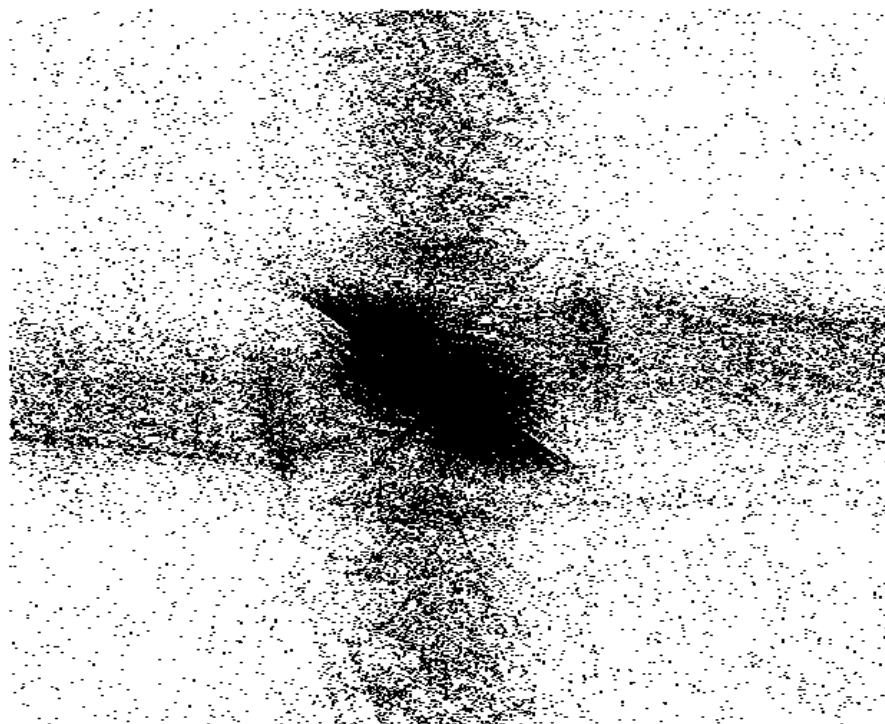


Figura A.140: Gráfica de x_t en el eje X frente a $x_{t+\tau}$ en el eje Y.
Serie de residuos del modelo Egarch sobre el Bono con vencimiento en septiembre 1998
(operación a operación)

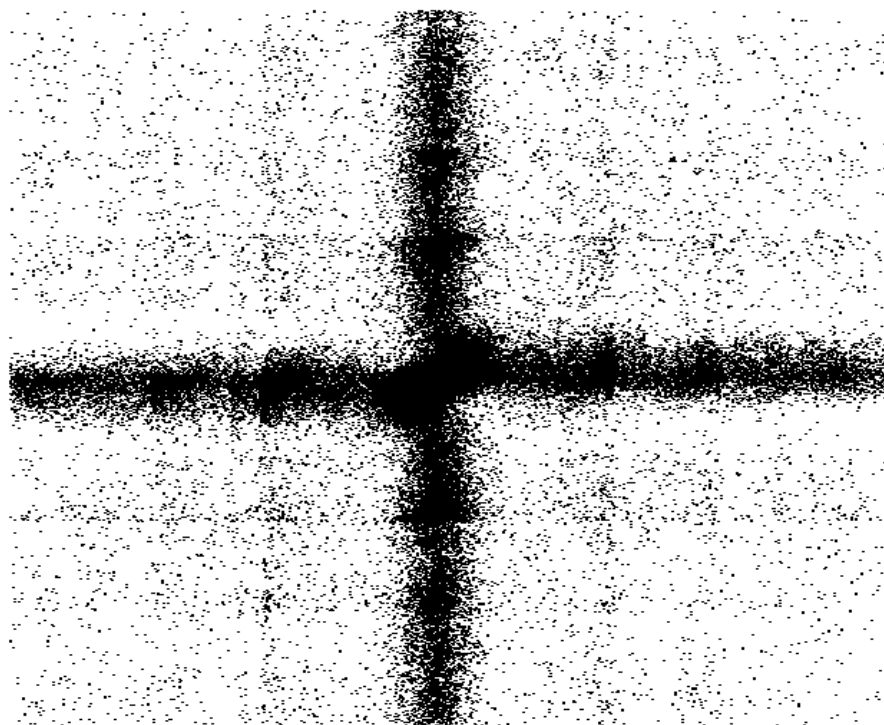


Figura A.141: Gráfica de x_t en el eje X frente a $x_{t+\tau}$ en el eje Y.
Serie de residuos del modelo Egarch sobre el Bono con vencimiento en diciembre 1998
(operación a operación)

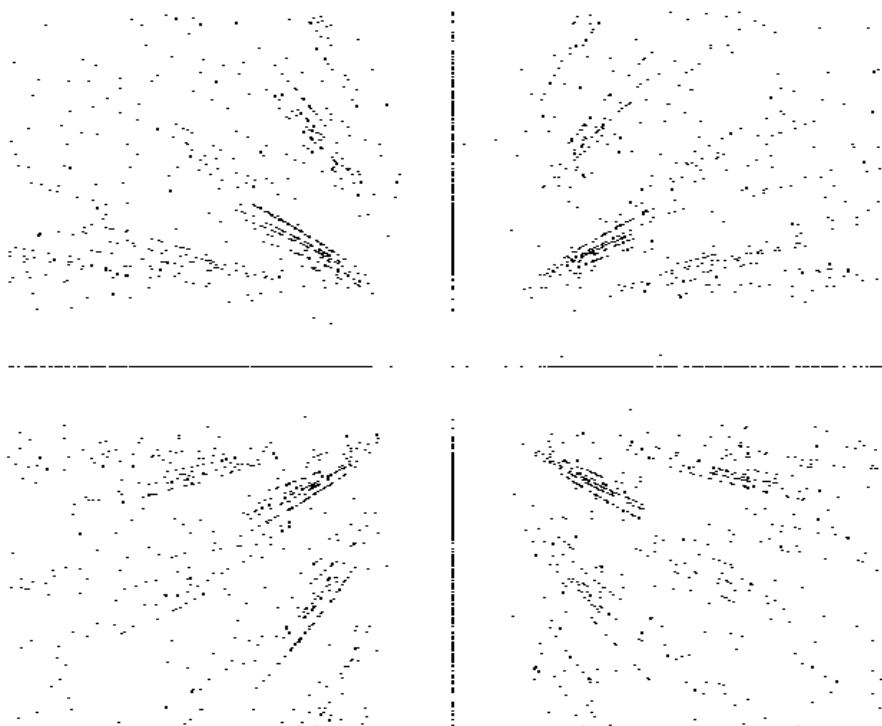


Figura A.142: Gráfica de x_t en el eje X frente a $x_{t+\tau}$ en el eje Y.
Serie de residuos del modelo Egarch sobre el Bono con vencimiento en marzo 1998
(cinco minutos)

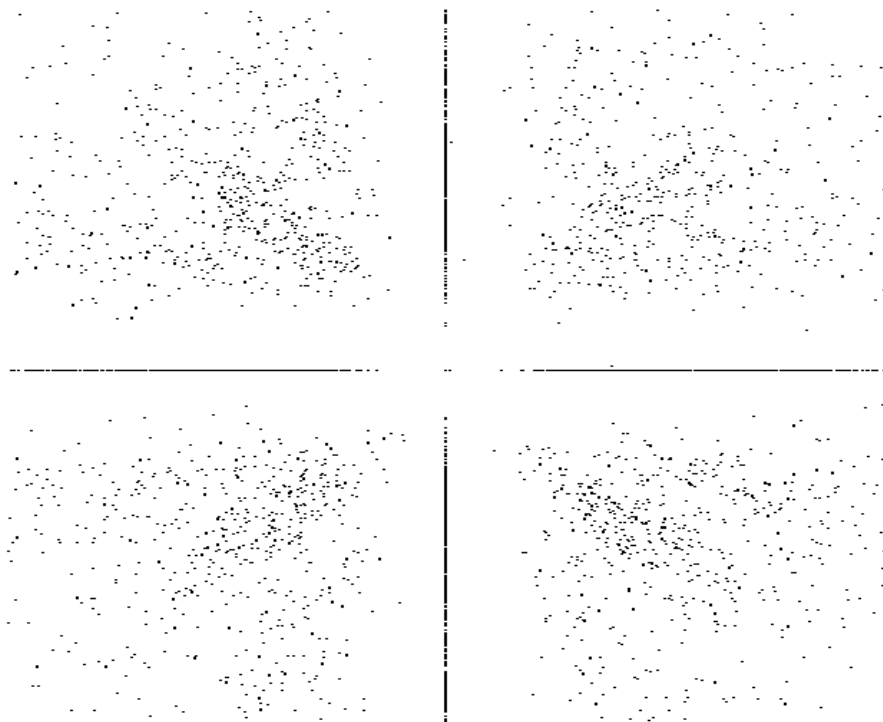


Figura A.143: Gráfica de x_t en el eje X frente a $x_{t+\tau}$ en el eje Y.
Serie de residuos del modelo Egarch sobre el Bono con vencimiento en junio 1998
(cinco minutos)

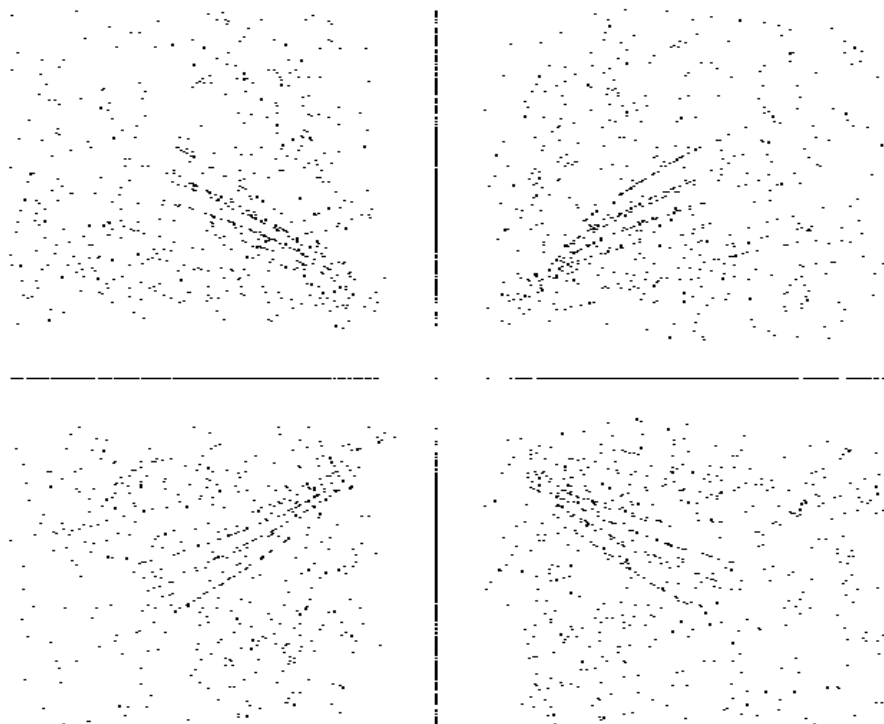


Figura A.144: Gráfica de x_t en el eje X frente a $x_{t+\tau}$ en el eje Y.
Serie de residuos del modelo Egarch sobre el Bono con vencimiento en septiembre 1998
(cinco minutos)

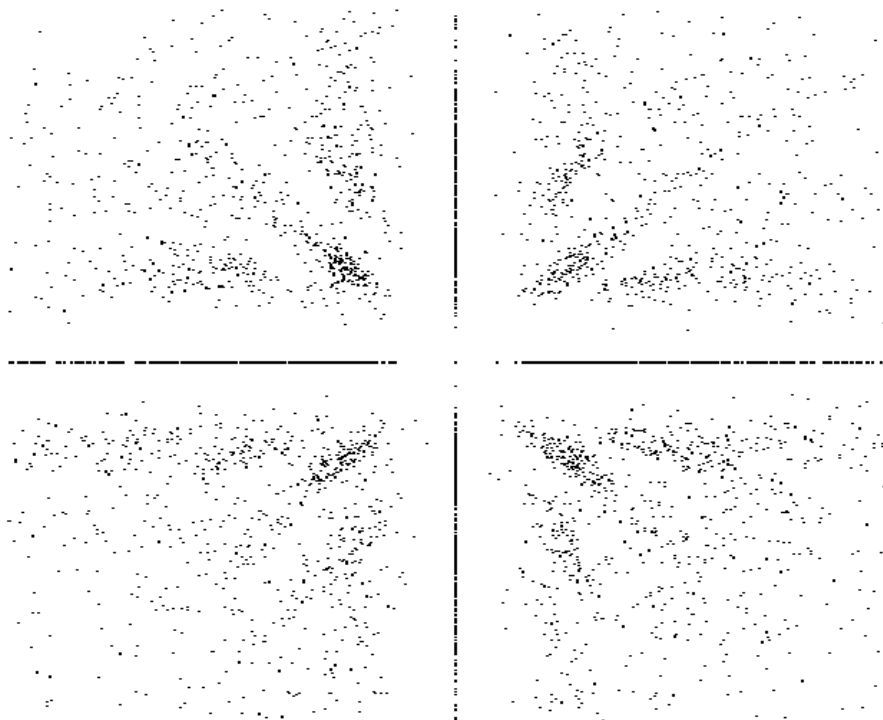


Figura A.145: Gráfica de x_t en el eje X frente a $x_{t+\tau}$ en el eje Y.
Serie de residuos del modelo Egarch sobre el Bono con vencimiento en diciembre 1998
(cinco minutos)

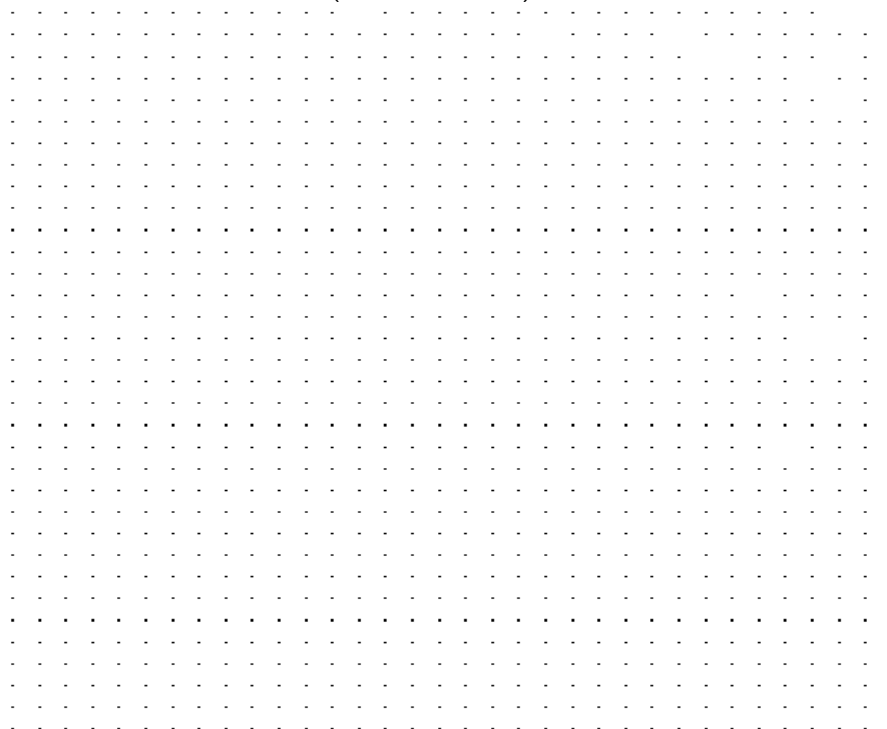


Figura A.146: Gráfica de x_t en el eje X frente a $x_{t+\tau}$ en el eje Y.
Serie de duración de operaciones del contrato de Futuro sobre el Bono con vencimiento
en marzo 1998

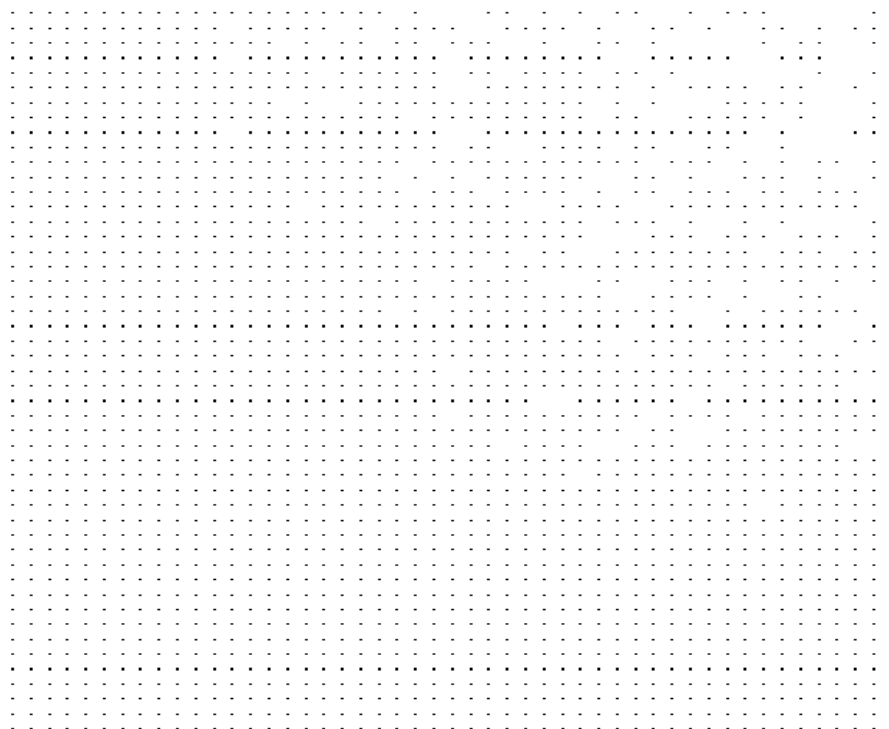


Figura A.147: Gráfica de x_t en el eje X frente a $x_{t+\tau}$ en el eje Y.
Serie de duración de operaciones del contrato de Futuro sobre el Bono con vencimiento
en junio 1998

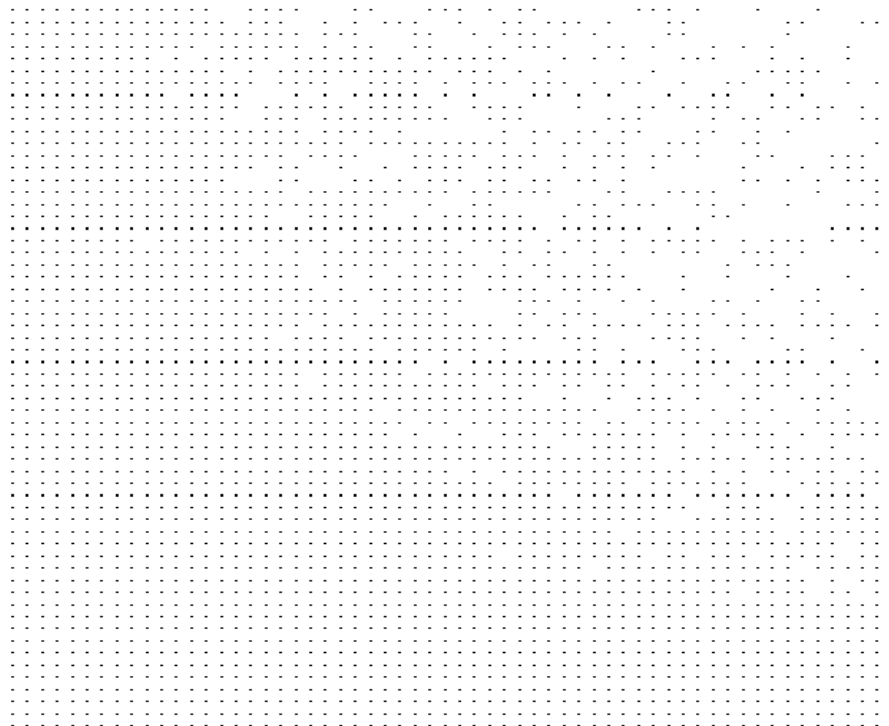


Figura A.148: Gráfica de x_t en el eje X frente a $x_{t+\tau}$ en el eje Y.
Serie de duración de operaciones del contrato de Futuro sobre el Bono con vencimiento
en septiembre 1998

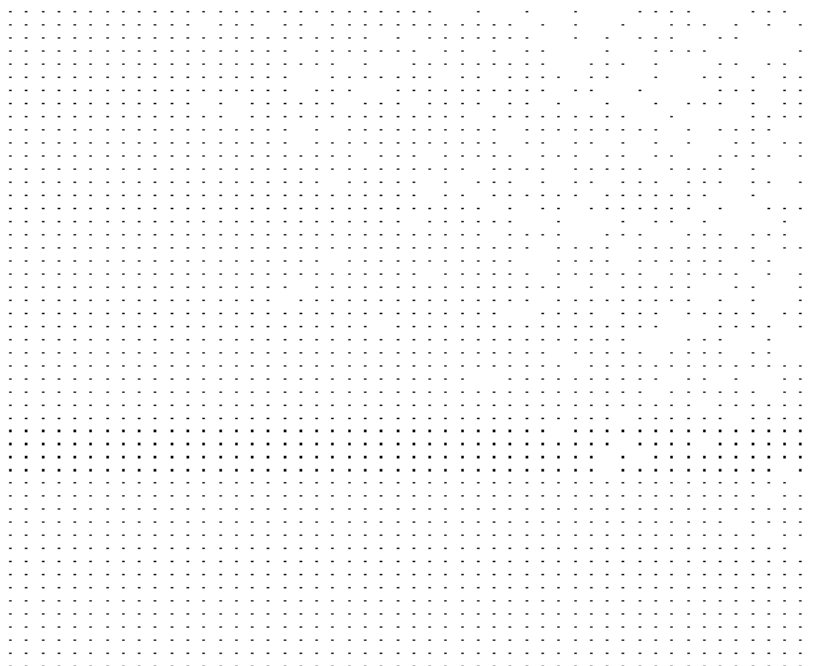


Figura A.149: Gráfica de x_t en el eje X frente a $x_{t+\tau}$ en el eje Y.
Serie de duración de operaciones del contrato de Futuro sobre el Bono con vencimiento
en diciembre 1998

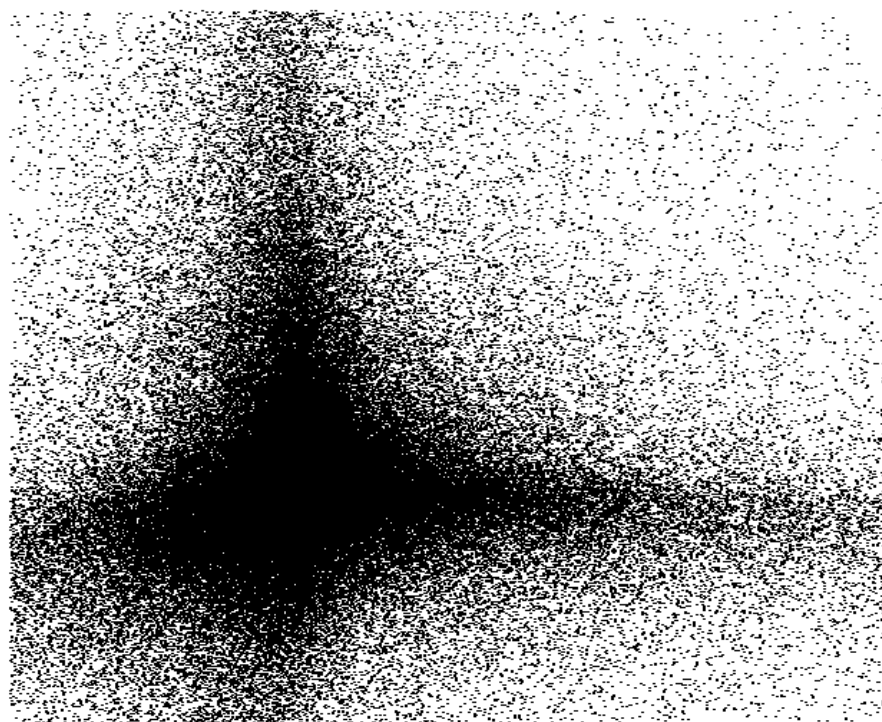


Figura A.150: Gráfica de x_t en el eje X frente a $x_{t+\tau}$ en el eje Y.
serie diferenciada fraccionalmente de las duraciones de operaciones del contrato de
Futuro sobre el Bono con vencimiento en marzo 1998

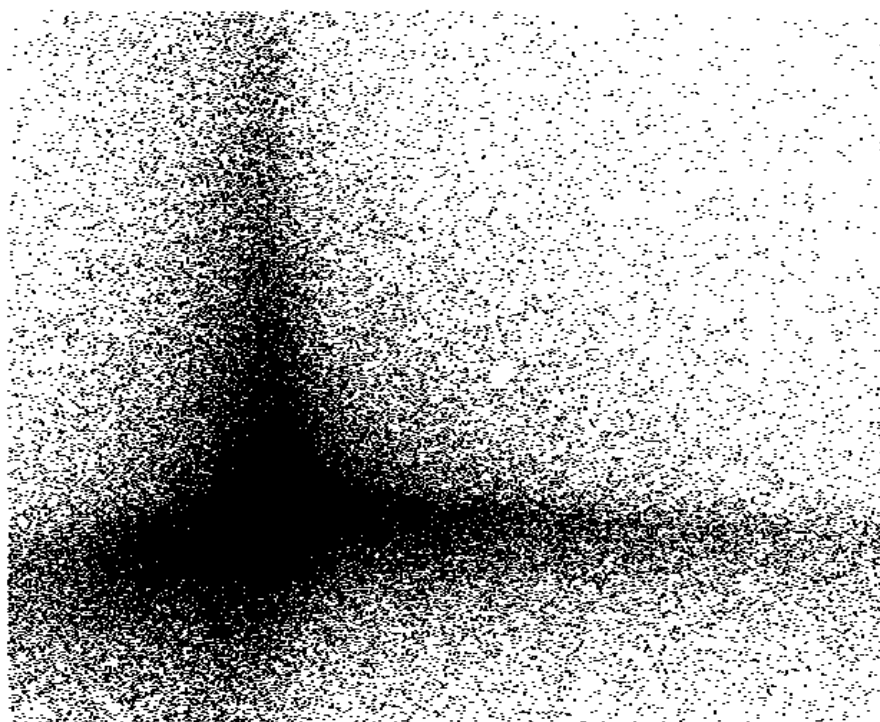


Figura A.151: Gráfica de x_t en el eje X frente a $x_{t+\tau}$ en el eje Y.
serie diferenciada fraccionalmente de las duraciones de operaciones del contrato de
Futuro sobre el Bono con vencimiento en junio 1998

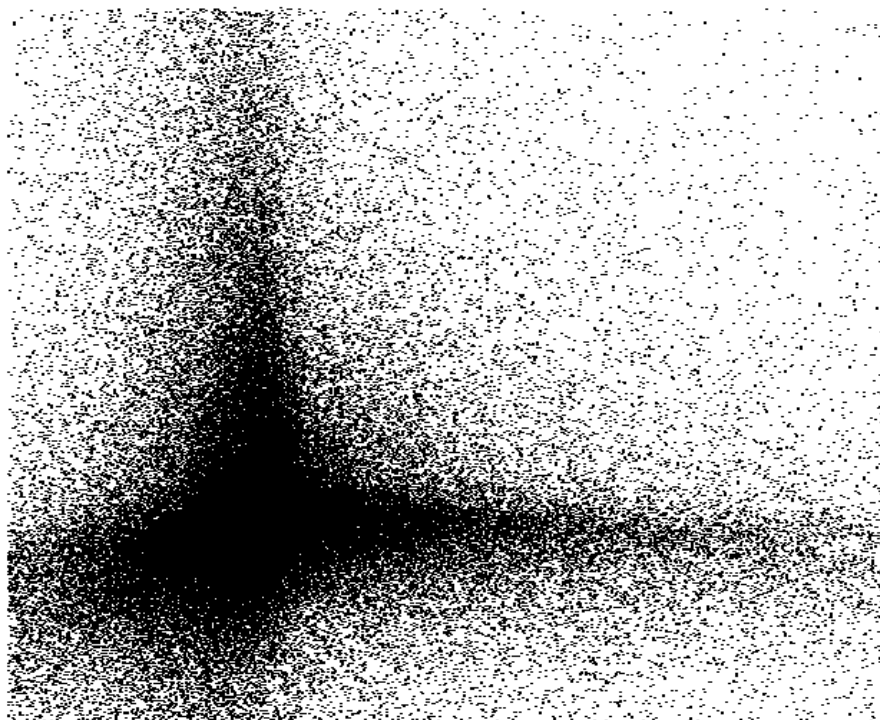


Figura A.152: Gráfica de x_t en el eje X frente a $x_{t+\tau}$ en el eje Y.
serie diferenciada fraccionalmente de las duraciones de operaciones del contrato de
Futuro sobre el Bono con vencimiento en septiembre 1998

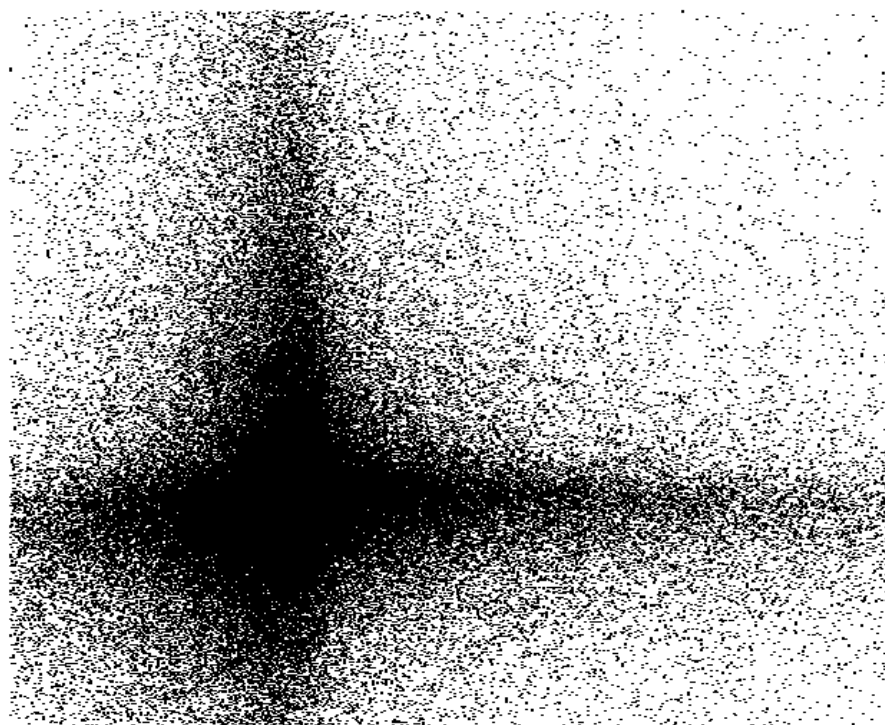


Figura A.153: Gráfica de x_t en el eje X frente a $x_{t+\tau}$ en el eje Y.
serie diferenciada fraccionalmente de las duraciones de operaciones del contrato de
Futuro sobre el Bono con vencimiento en diciembre 1998

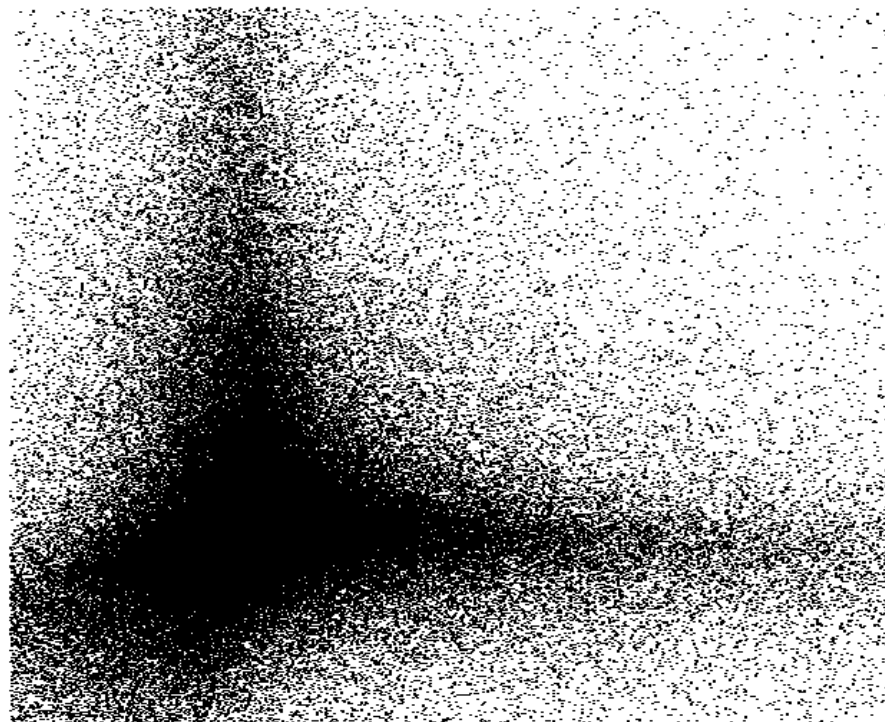


Figura A.154: Gráfica de x_t en el eje X frente a $x_{t+\tau}$ en el eje Y.
serie de residuos del modelo ARFIMA sobre la serie de duración de operaciones del
contrato de Futuro sobre el Bono con vencimiento en marzo 1998

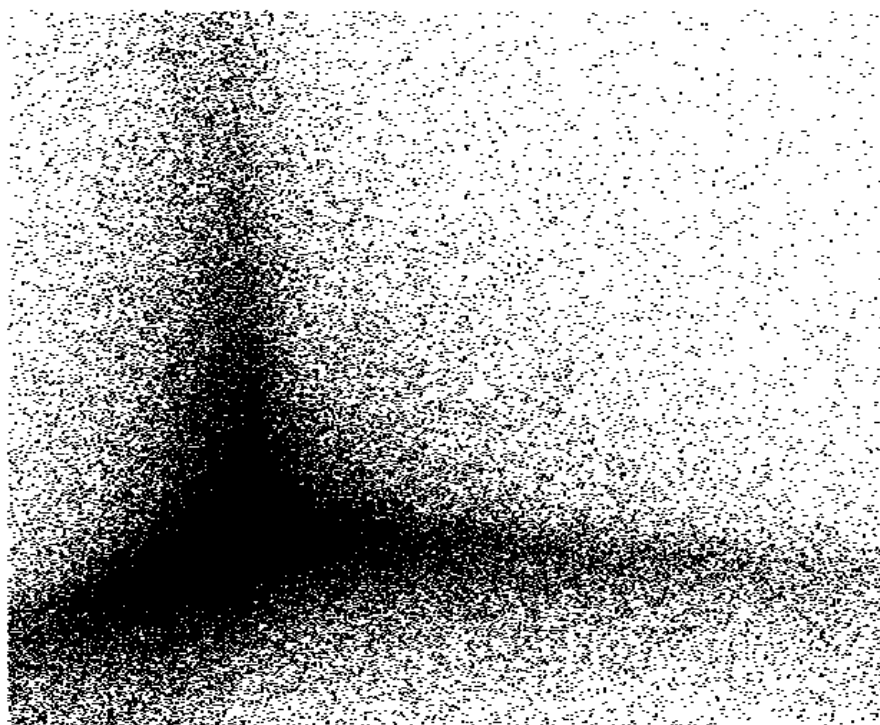


Figura A.155: Gráfica de x_t en el eje X frente a $x_{t+\tau}$ en el eje Y.
serie de residuos del modelo ARFIMA sobre la serie de duración de operaciones del
contrato de Futuro sobre el Bono con vencimiento en junio 1998

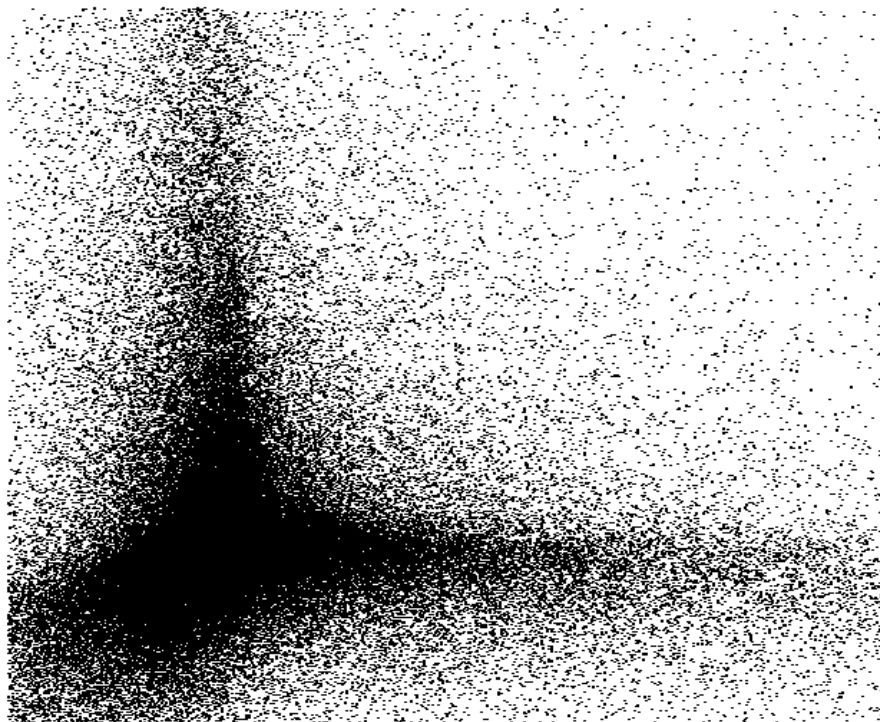


Figura A.156: Gráfica de x_t en el eje X frente a $x_{t+\tau}$ en el eje Y.
serie de residuos del modelo ARFIMA sobre la serie de duración de operaciones del
contrato de Futuro sobre el Bono con vencimiento en septiembre 1998

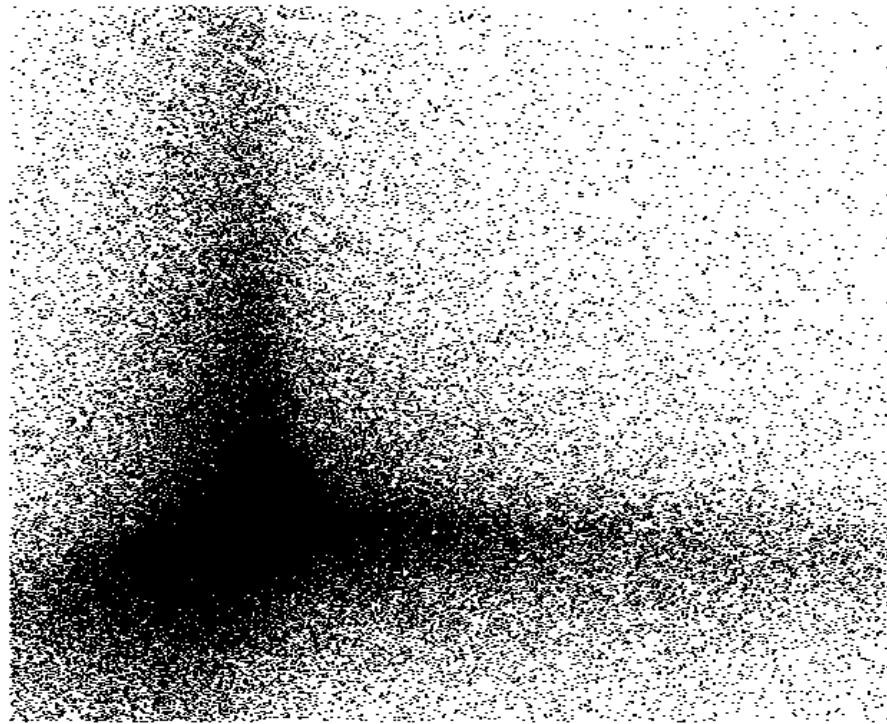


Figura A.157: Gráfica de x_t en el eje X frente a $x_{t+\tau}$ en el eje Y.
serie de residuos del modelo ARFIMA sobre la serie de duración de operaciones del
contrato de Futuro sobre el Bono con vencimiento en diciembre 1998

RECURRENCIAS

Figura A.158: Gráficos de recurrencia de los primeros 600 retardos de las serie de rendimientos del contrato de Futuro sobre el Bono con vencimiento en marzo 1998, con una precisión de $l=rango/1000$.
(operación a operación)



Figura A.159: Gráficos de recurrencia de los primeros 600 retardos de las serie de rendimientos del contrato de Futuro sobre el Bono con vencimiento en junio 1998, con una precisión de $l=rango/1000$.
(operación a operación)



Figura A.160: Gráficos de recurrencia de los primeros 600 retardos de las serie de rendimientos del contrato de Futuro sobre el Bono con vencimiento en septiembre 1998, con una precisión de $l=rango/1000$.
(operación a operación)

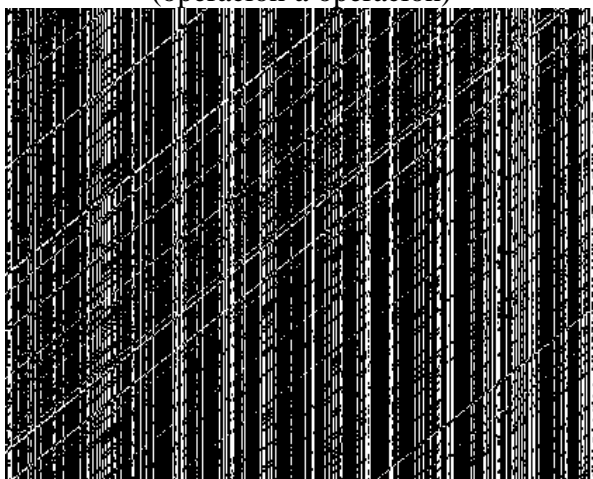


Figura A.161: Gráficos de recurrencia de los primeros 600 retardos de las serie de rendimientos del contrato de Futuro sobre el Bono con vencimiento en diciembre 1998, con una precisión de $l=rango/1000$.
(operación a operación)

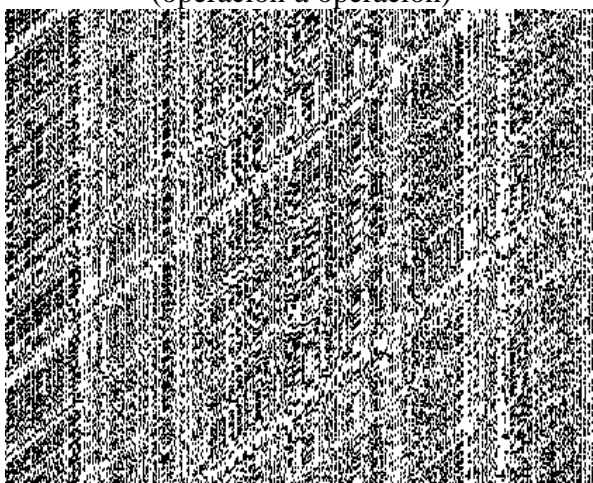


Figura A.162: Gráficos de recurrencia de los primeros 600 retardos de las serie de rendimientos del contrato de Futuro sobre el Bono con vencimiento en marzo 1998, con una precisión de $l=rango/1000$.
(cinco minutos)

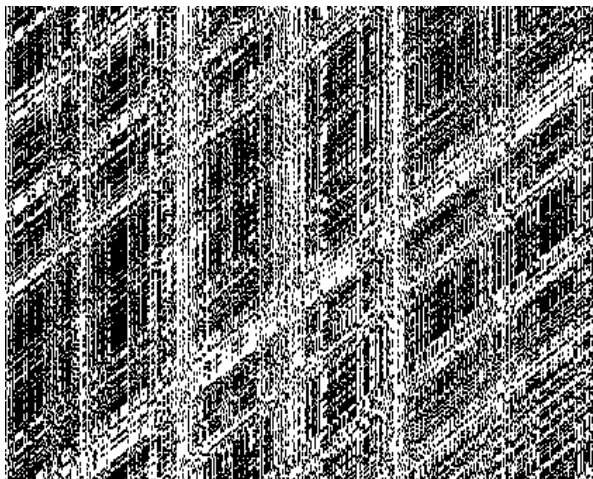


Figura A.163: Gráficos de recurrencia de los primeros 600 retardos de las serie de rendimientos del contrato de Futuro sobre el Bono con vencimiento en junio 1998, con una precisión de $l=rango/1000$.
(cinco minutos)

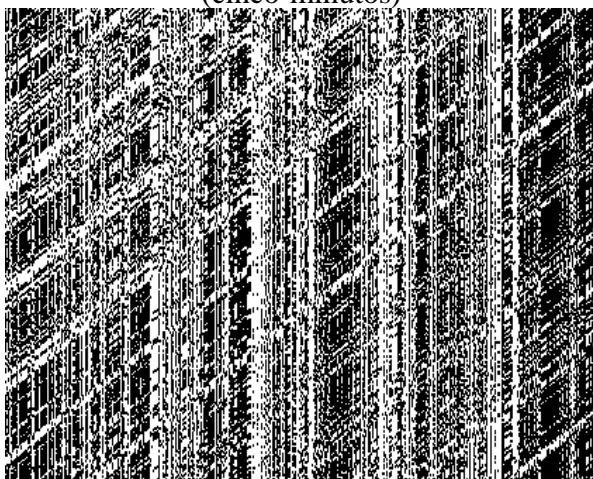


Figura A.164: Gráficos de recurrencia de los primeros 600 retardos de las serie de rendimientos del contrato de Futuro sobre el Bono con vencimiento en septiembre 1998, con una precisión de $l=rango/1000$.
(cinco minutos)

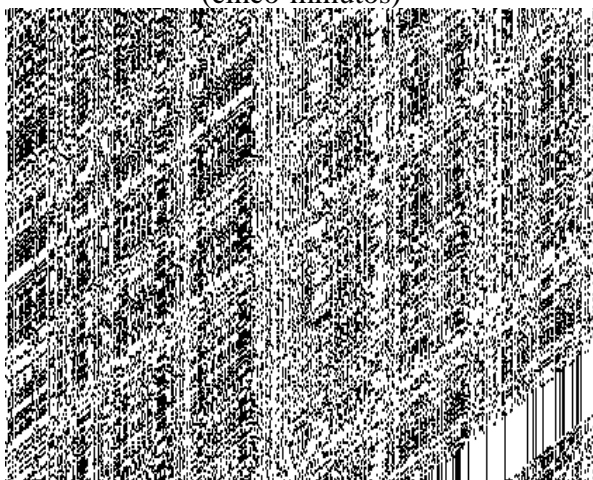


Figura A.165: Gráficos de recurrencia de los primeros 600 retardos de las serie de rendimientos del contrato de Futuro sobre el Bono con vencimiento en diciembre 1998, con una precisión de $l=rango/1000$.
(cinco minutos)

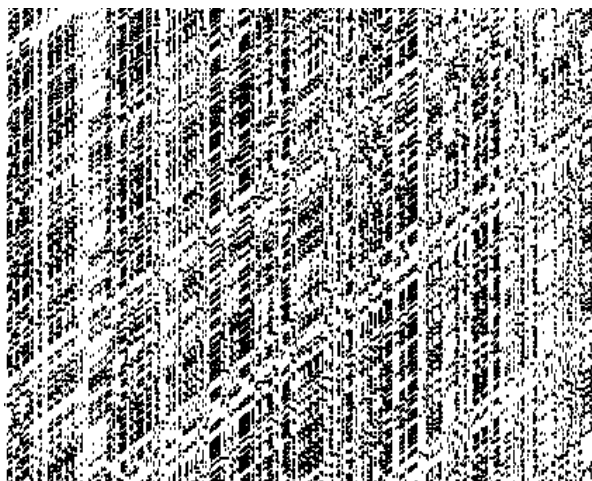


Figura A.166: Gráficos de recurrencia de los primeros 600 retardos de las serie de residuos del modelo ARIMA sobre los rendimientos del contrato de Futuro sobre el Bono con vencimiento en marzo 1998, con una precisión de $l=rango/1000$.
(operación a operación)

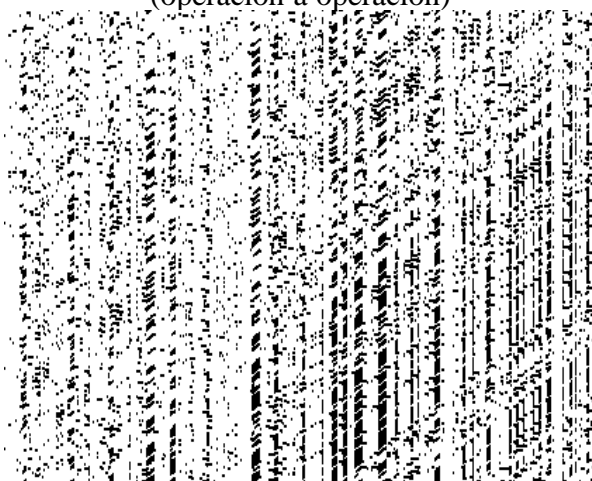


Figura A.167: Gráficos de recurrencia de los primeros 600 retardos de las serie de residuos del modelo ARIMA sobre los rendimientos del contrato de Futuro sobre el Bono con vencimiento en junio 1998, con una precisión de $l=rango/1000$.
(operación a operación)

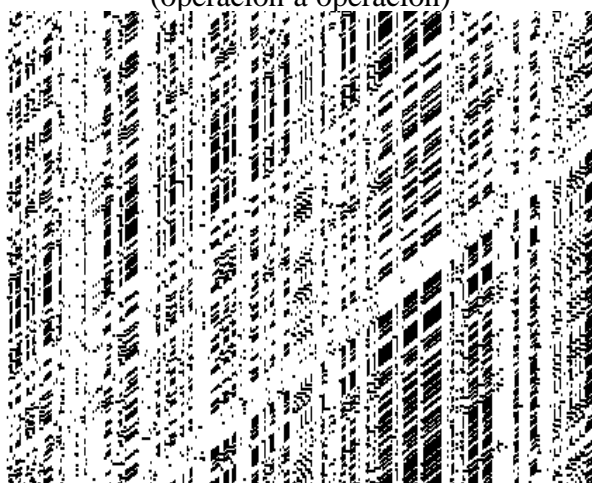


Figura A.168: Gráficos de recurrencia de los primeros 600 retardos de las serie de residuos del modelo ARIMA sobre los rendimientos del contrato de Futuro sobre el Bono con vencimiento en septiembre 1998, con una precisión de $l=rango/1000$.
(operación a operación)

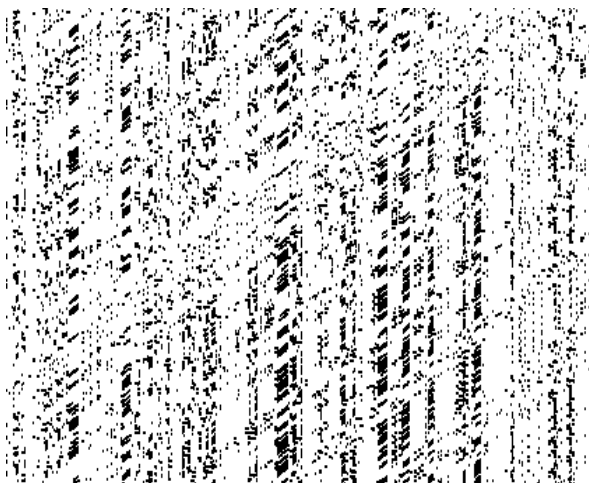


Figura A.169: Gráficos de recurrencia de los primeros 600 retardos de las serie de residuos del modelo ARIMA sobre los rendimientos del contrato de Futuro sobre el Bono con vencimiento en diciembre 1998, con una precisión de $l=rango/1000$.
(operación a operación)

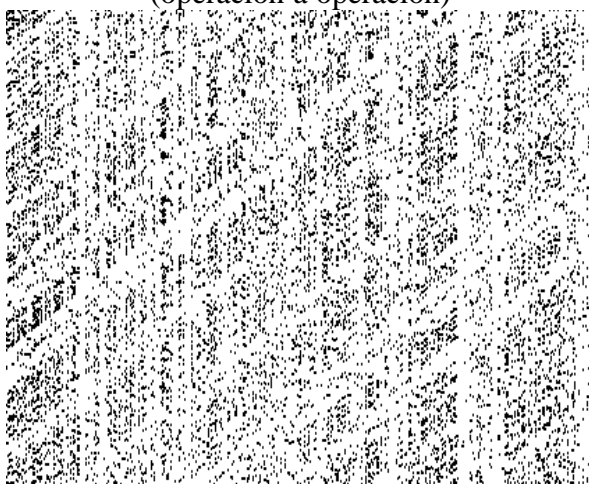


Figura A.170: Gráficos de recurrencia de los primeros 600 retardos de las serie de residuos del modelo ARIMA sobre los rendimientos del contrato de Futuro sobre el Bono con vencimiento en marzo 1998, con una precisión de $l=rango/1000$.
(cinco minutos)

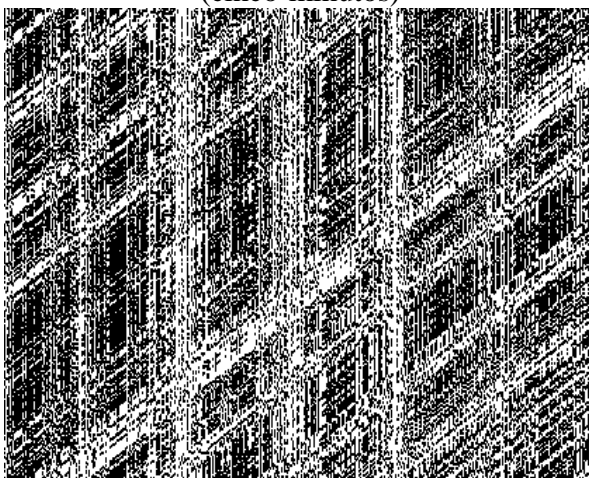


Figura A.171: Gráficos de recurrencia de los primeros 600 retardos de las serie de residuos del modelo ARIMA sobre los rendimientos del contrato de Futuro sobre el Bono con vencimiento en junio 1998, con una precisión de $l=rango/1000$.
(cinco minutos)

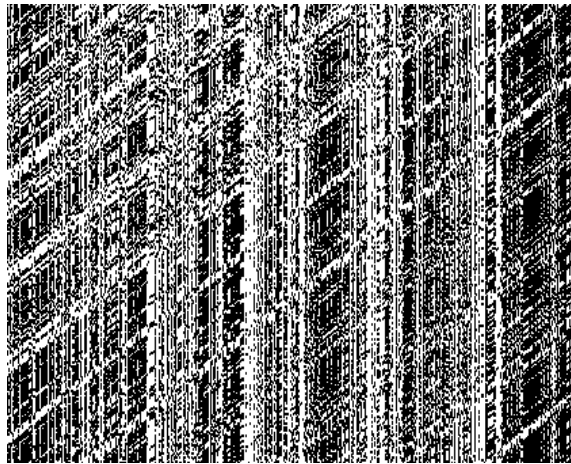


Figura A.172: Gráficos de recurrencia de los primeros 600 retardos de la serie de residuos del modelo ARIMA sobre los rendimientos del contrato de Futuro sobre el Bono con vencimiento en septiembre 1998, con una precisión de $l=rango/1000$.
(cinco minutos)

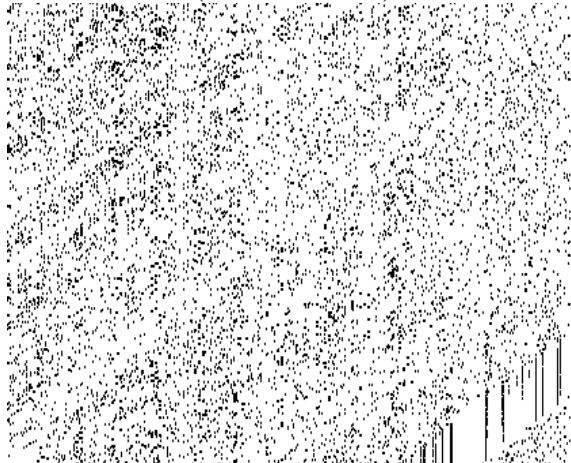


Figura A.173: Gráficos de recurrencia de los primeros 600 retardos de la serie de residuos del modelo ARIMA sobre los rendimientos del contrato de Futuro sobre el Bono con vencimiento en diciembre 1998, con una precisión de $l=rango/1000$.
(cinco minutos)

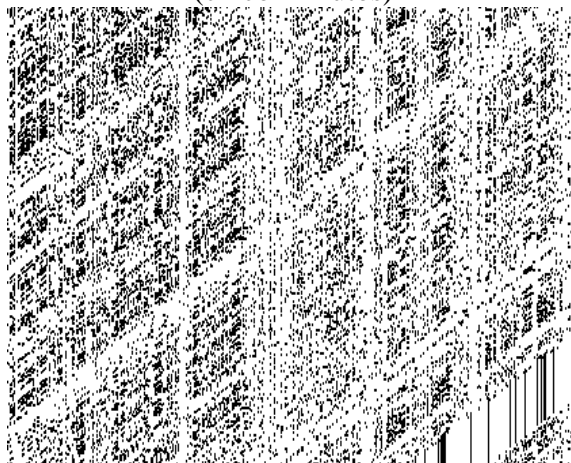


Figura A.174: Gráficos de recurrencia de los primeros 600 retardos de la serie de residuos del modelo ARIMA con intervención sobre los rendimientos del contrato de Futuro sobre el Bono con vencimiento en marzo 1998, con una precisión de $l=rango/1000$.
(cinco minutos)

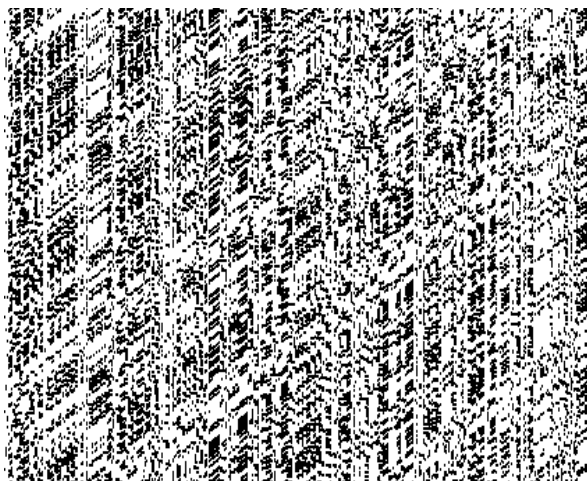


Figura A.175: Gráficos de recurrencia de los primeros 600 retardos de las serie de residuos del modelo GARCH-M sobre los rendimientos del contrato de Futuro sobre el Bono con vencimiento en marzo 1998, con una precisión de $l=rango/1000$.
(operación a operación)

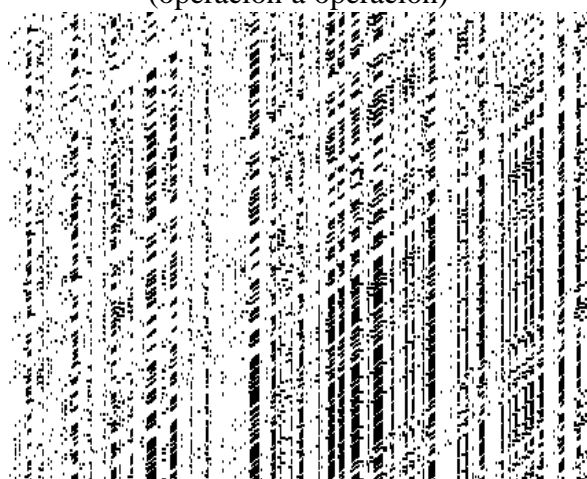


Figura A.176: Gráficos de recurrencia de los primeros 600 retardos de las serie de residuos del modelo GARCH-M sobre los rendimientos del contrato de Futuro sobre el Bono con vencimiento en junio 1998, con una precisión de $l=rango/1000$.
(operación a operación)

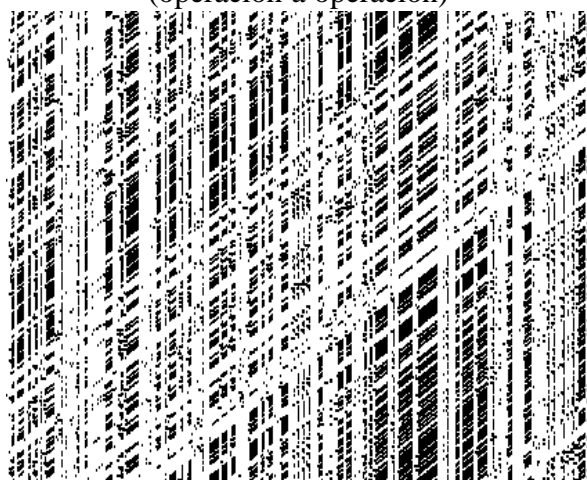


Figura A.177: Gráficos de recurrencia de los primeros 600 retardos de las serie de residuos del modelo GARCH-M sobre los rendimientos del contrato de Futuro sobre el Bono con vencimiento en septiembre 1998, con una precisión de $l=rango/1000$.
(operación a operación)

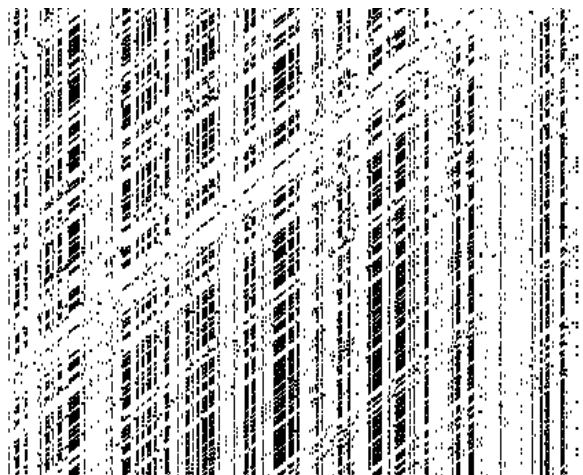


Figura A.178: Gráficos de recurrencia de los primeros 600 retardos de la serie de residuos del modelo GARCH-M sobre los rendimientos del contrato de Futuro sobre el Bono con vencimiento en diciembre 1998, con una precisión de $l=rango/1000$.
(operación a operación)

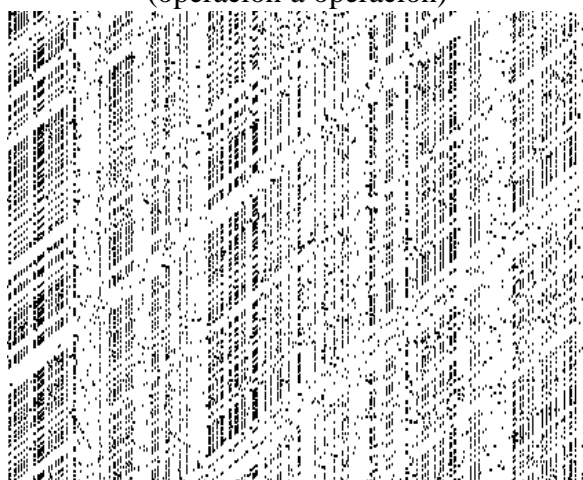


Figura A.179: Gráficos de recurrencia de los primeros 600 retardos de la serie de residuos del modelo GARCH sobre los rendimientos del contrato de Futuro sobre el Bono con vencimiento en marzo 1998, con una precisión de $l=rango/1000$.
(cinco minutos)

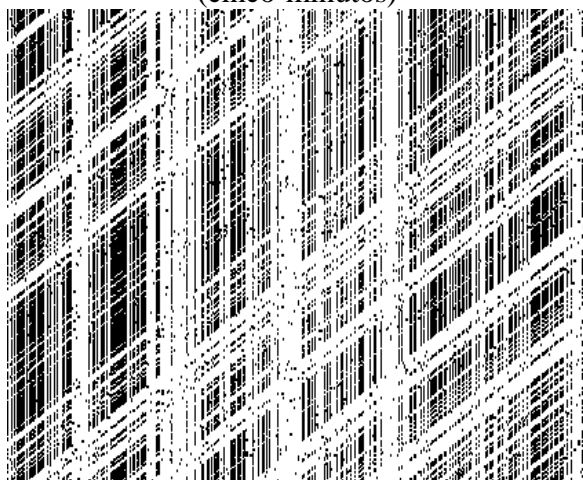


Figura A.180: Gráficos de recurrencia de los primeros 600 retardos de la serie de residuos del modelo GARCH sobre los rendimientos del contrato de Futuro sobre el Bono con vencimiento en junio 1998, con una precisión de $l=rango/1000$.
(cinco minutos)

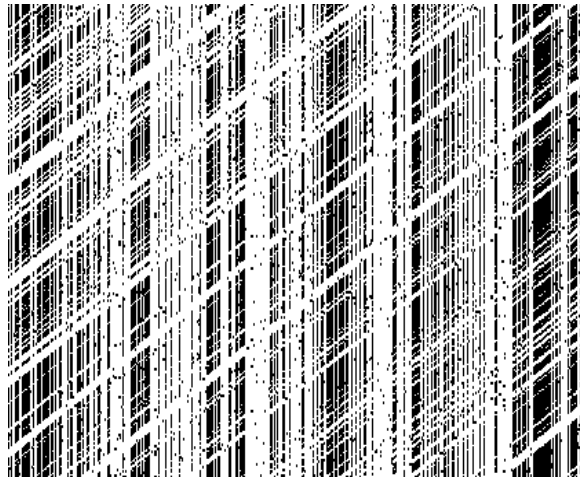


Figura A.181: Gráficos de recurrencia de los primeros 600 retardos de las serie de residuos del modelo GARCH sobre los rendimientos del contrato de Futuro sobre el Bono con vencimiento en septiembre 1998, con una precisión de $l=rango/1000$.
(cinco minutos)

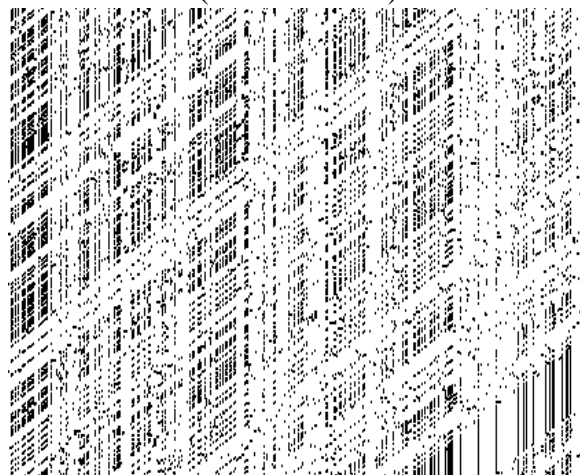


Figura A.182: Gráficos de recurrencia de los primeros 600 retardos de las serie de residuos del modelo GARCH-M sobre los rendimientos del contrato de Futuro sobre el Bono con vencimiento en diciembre 1998, con una precisión de $l=rango/1000$.
(cinco minutos)

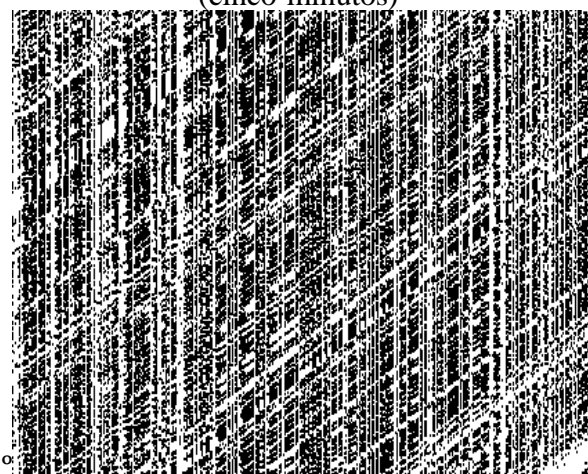


Figura A.183: Gráficos de recurrencia de los primeros 600 retardos de las serie de residuos del modelo EGARCH sobre los rendimientos del contrato de Futuro sobre el Bono con vencimiento en marzo 1998, con una precisión de $l=rango/1000$.
(operación a operación)

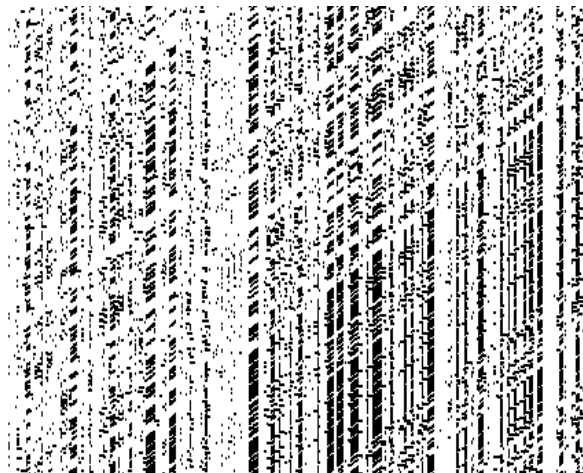


Figura A.184: Gráficos de recurrencia de los primeros 600 retardos de las serie de residuos del modelo EGARCH sobre los rendimientos del contrato de Futuro sobre el Bono con vencimiento en junio 1998, con una precisión de $l=rango/1000$.
(operación a operación)

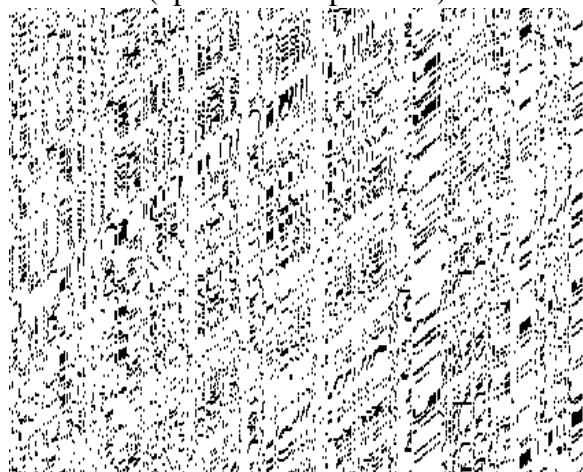


Figura A.185: Gráficos de recurrencia de los primeros 600 retardos de las serie de residuos del modelo EGARCH sobre los rendimientos del contrato de Futuro sobre el Bono con vencimiento en septiembre 1998, con una precisión de $l=rango/1000$.
(operación a operación)

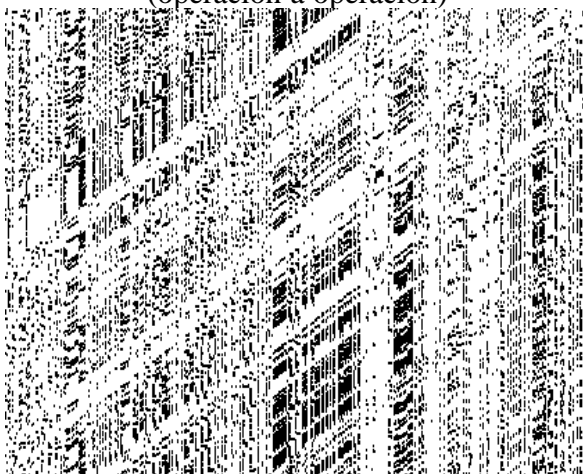


Figura A.186: Gráficos de recurrencia de los primeros 600 retardos de las serie de residuos del modelo EGARCH sobre los rendimientos del contrato de Futuro sobre el Bono con vencimiento en diciembre 1998, con una precisión de $l=rango/1000$.
(operación a operación)

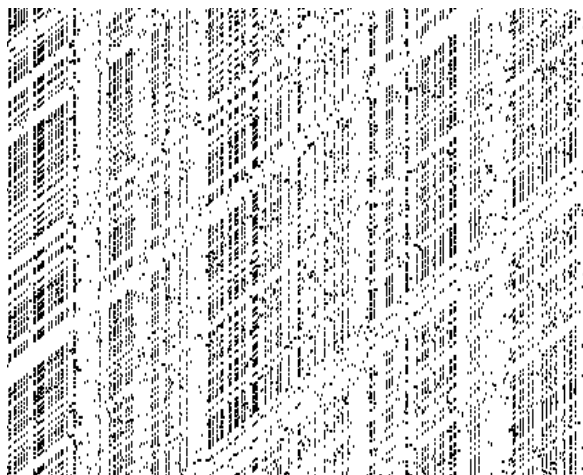


Figura A.187: Gráficos de recurrencia de los primeros 600 retardos de las serie de residuos del modelo EGARCH sobre los rendimientos del contrato de Futuro sobre el Bono con vencimiento en marzo 1998, con una precisión de $l=rango/1000$.
(cinco minutos)

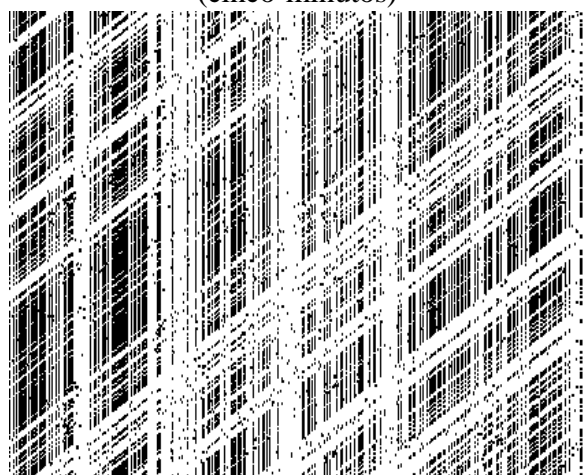


Figura A.188: Gráficos de recurrencia de los primeros 600 retardos de las serie de residuos del modelo EGARCH sobre los rendimientos del contrato de Futuro sobre el Bono con vencimiento en junio 1998, con una precisión de $l=rango/1000$.
(cinco minutos)

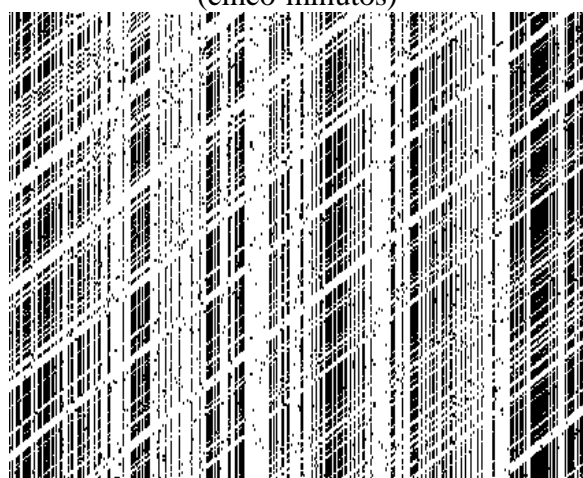


Figura A.189: Gráficos de recurrencia de los primeros 600 retardos de las serie de residuos del modelo EGARCH sobre los rendimientos del contrato de Futuro sobre el Bono con vencimiento en septiembre 1998, con una precisión de $l=rango/1000$.
(cinco minutos)

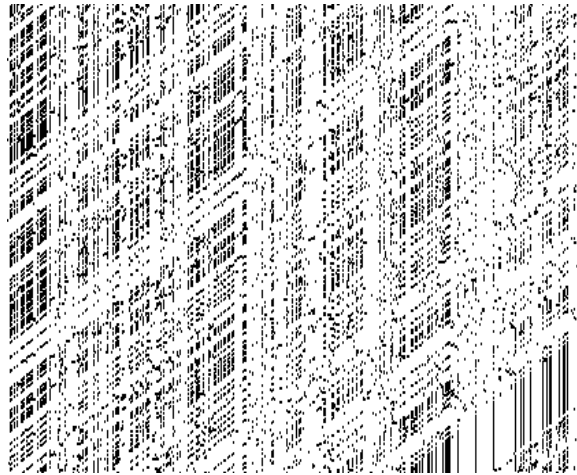


Figura A.190: Gráficos de recurrencia de los primeros 600 retardos de las serie de residuos del modelo EGARCH sobre los rendimientos del contrato de Futuro sobre el Bono con vencimiento en diciembre 1998, con una precisión de $l=rango/1000$.
(cinco minutos)

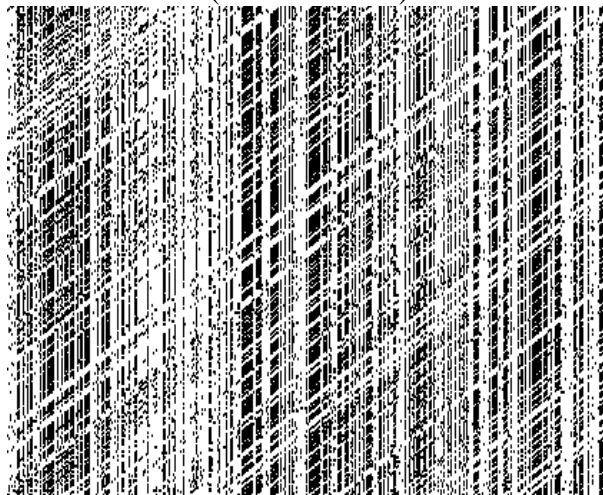


Figura A.191: Gráficos de recurrencia de los primeros 600 retardos de las serie de duraciones del contrato de Futuro sobre el Bono con vencimiento en marzo 1998, con una precisión de $l=rango/1000$.

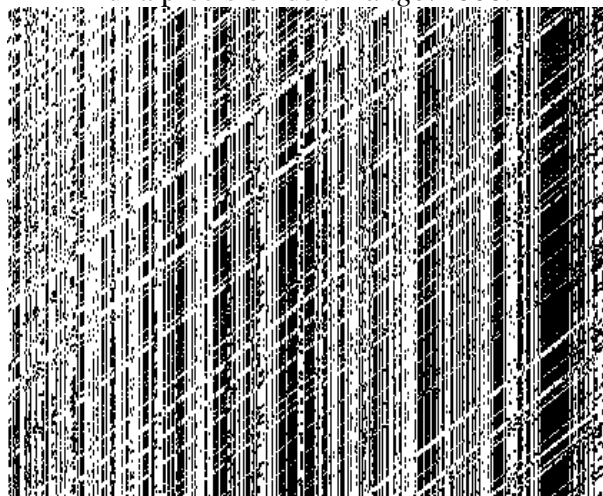


Figura A.192: Gráficos de recurrencia de los primeros 600 retardos de las serie de duraciones del contrato de Futuro sobre el Bono con vencimiento en junio 1998, con una precisión de $l=rango/1000$.

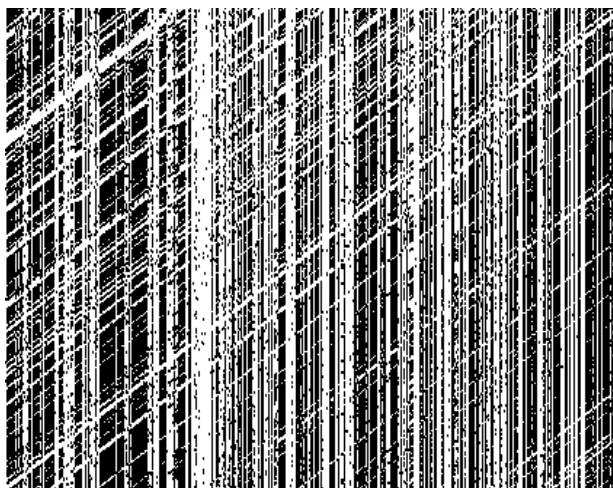


Figura A.193: Gráficos de recurrencia de los primeros 600 retardos de la serie de duraciones del contrato de Futuro sobre el Bono con vencimiento en septiembre 1998, con una precisión de $l=rango/1000$.

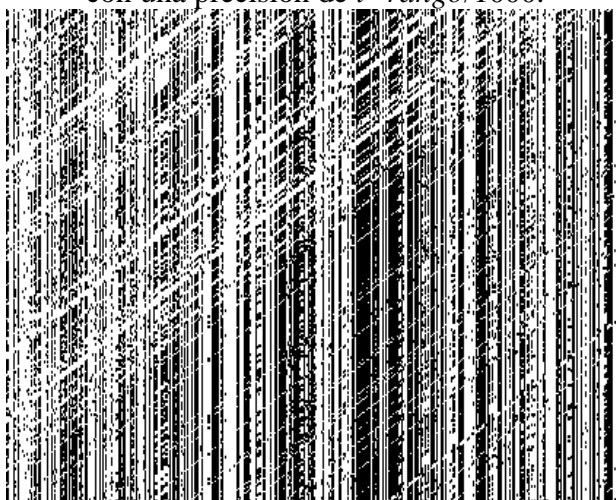


Figura A.194: Gráficos de recurrencia de los primeros 600 retardos de la serie de duraciones del contrato de Futuro sobre el Bono con vencimiento en diciembre 1998, con una precisión de $l=rango/1000$.

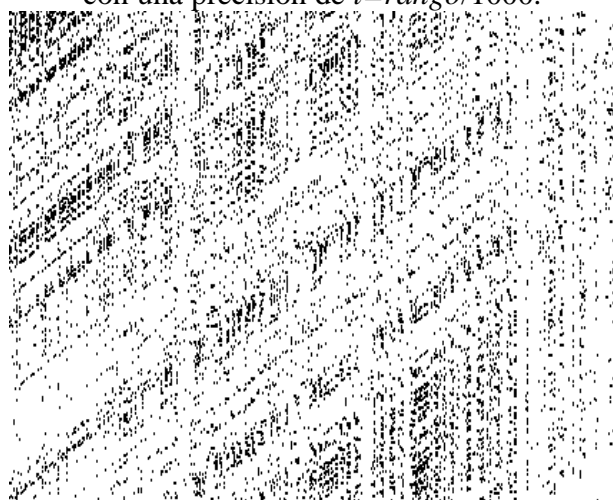


Figura A.195: Gráficos de recurrencia de los primeros 600 retardos de la serie diferenciada fraccionalmente de duraciones del contrato de Futuro sobre el Bono con vencimiento en marzo 1998, con una precisión de $l=rango/1000$.

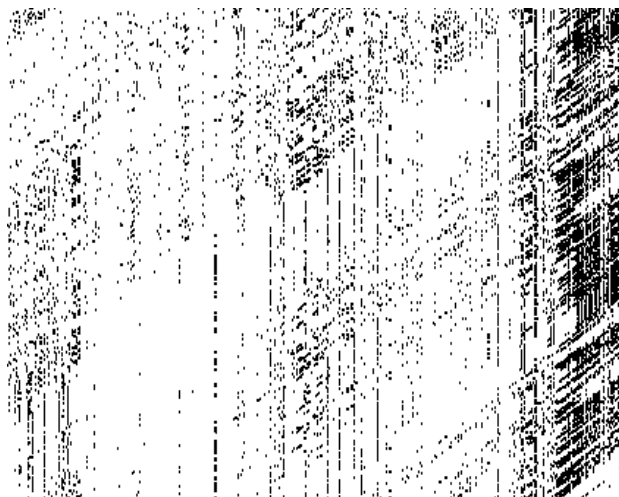


Figura A.196: Gráficos de recurrencia de los primeros 600 retardos de las serie diferenciada fraccionalmente de duraciones del contrato de Futuro sobre el Bono con vencimiento en junio 1998, con una precisión de $l=rango/1000$.

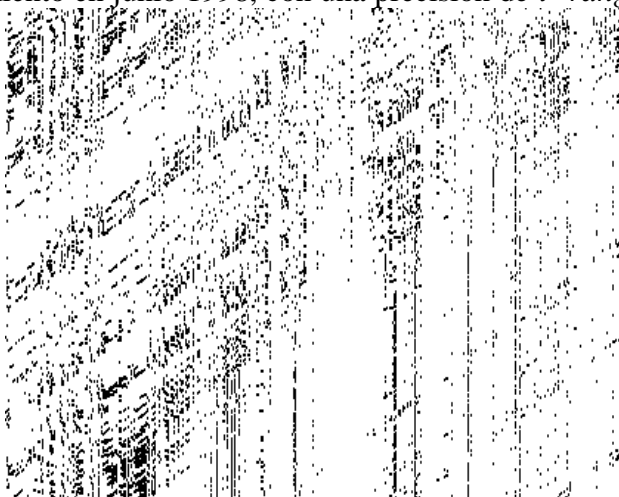


Figura A.197: Gráficos de recurrencia de los primeros 600 retardos de las serie diferenciada fraccionalmente de duraciones del contrato de Futuro sobre el Bono con vencimiento en septiembre 1998, con una precisión de $l=rango/1000$.

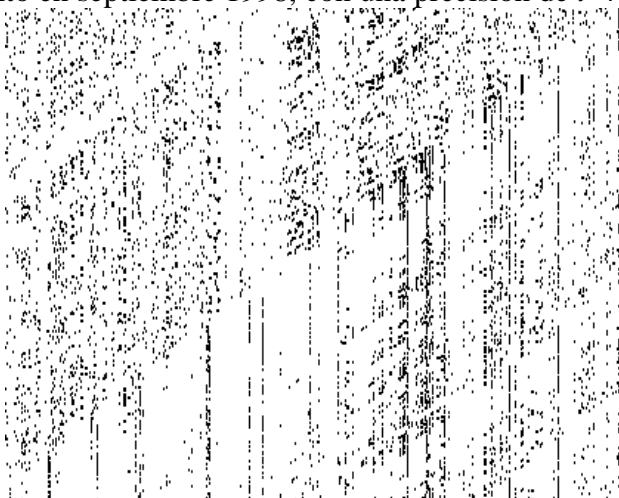


Figura A.198: Gráficos de recurrencia de los primeros 600 retardos de las serie diferenciada fraccionalmente de duraciones del contrato de Futuro sobre el Bono con vencimiento en diciembre 1998, con una precisión de $l=rango/1000$.

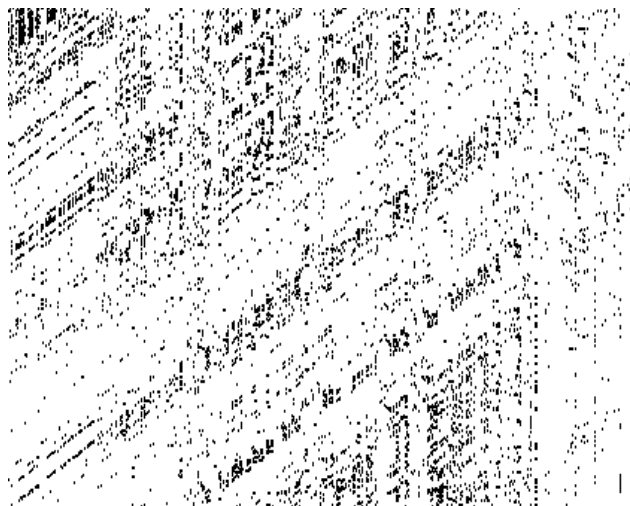


Figura A.199: Gráficos de recurrencia de los primeros 600 retardos de las serie de residuos del modelo ARFIMA sobre las duraciones del contrato de Futuro sobre el Bono con vencimiento en marzo 1998, con una precisión de $l=rango/1000$.

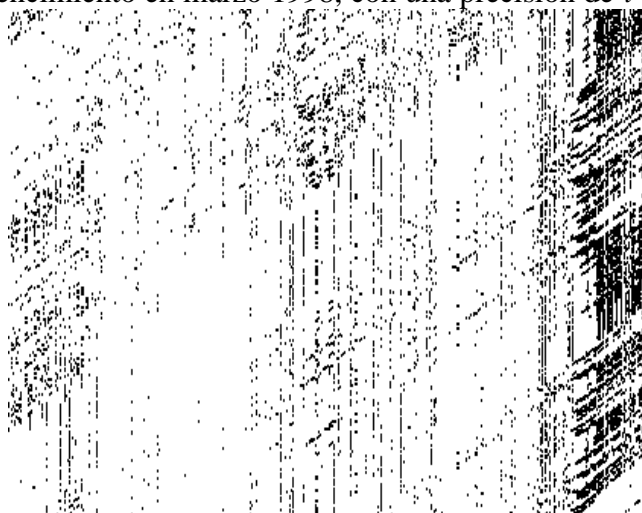


Figura A.200: Gráficos de recurrencia de los primeros 600 retardos de las serie de residuos del modelo ARFIMA sobre las duraciones del contrato de Futuro sobre el Bono con vencimiento en junio 1998, con una precisión de $l=rango/1000$.

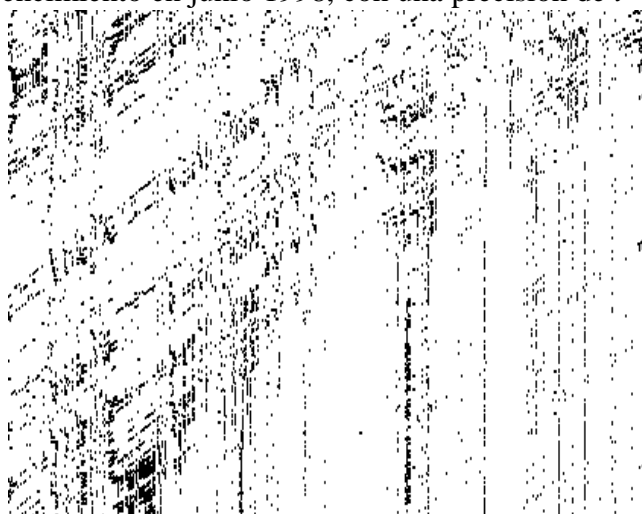


Figura A.201: Gráficos de recurrencia de los primeros 600 retardos de las serie de residuos del modelo ARFIMA sobre las duraciones del contrato de Futuro sobre el Bono con vencimiento en septiembre 1998, con una precisión de $l=rango/1000$.

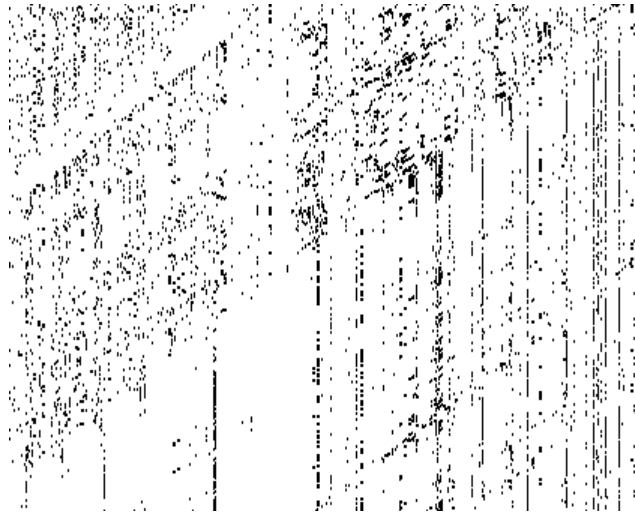


Figura A.202: Gráficos de recurrencia de los primeros 600 retardos de la serie de residuos del modelo ARFIMA sobre las duraciones del contrato de Futuro sobre el Bono con vencimiento en diciembre 1998, con una precisión de $l=rango/1000$.

INFORMACIÓN MUTUA

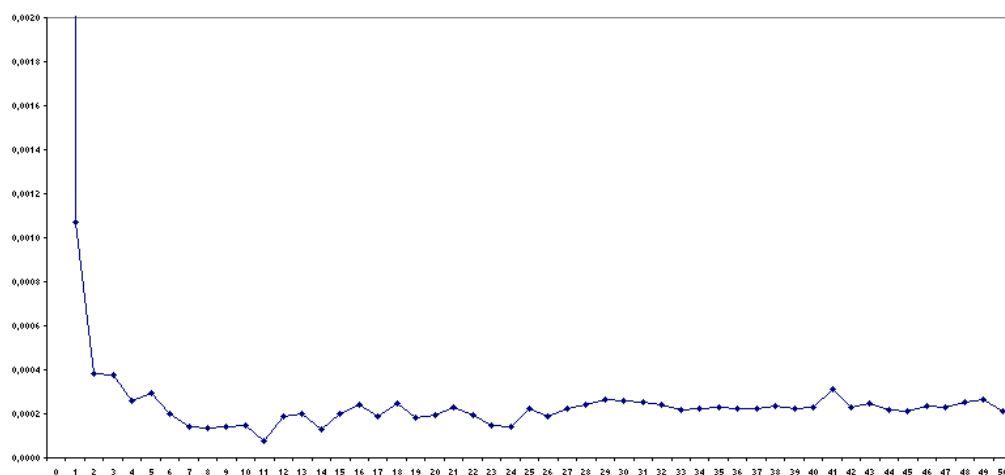


Figura A.203: Información mutua (ordenadas) respecto a t (abcisas) de la serie de rendimientos del contrato de Futuro sobre el Bono con vencimiento en marzo 1998 (operación a operación)

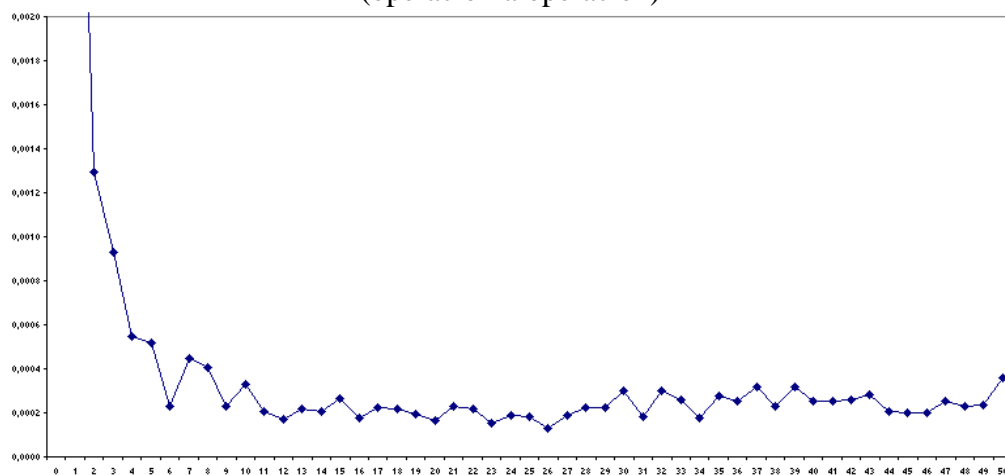


Figura A.204: Información mutua (ordenadas) respecto a t (abcisas) de la serie de rendimientos del contrato de Futuro sobre el Bono con vencimiento en junio 1998 (operación a operación)

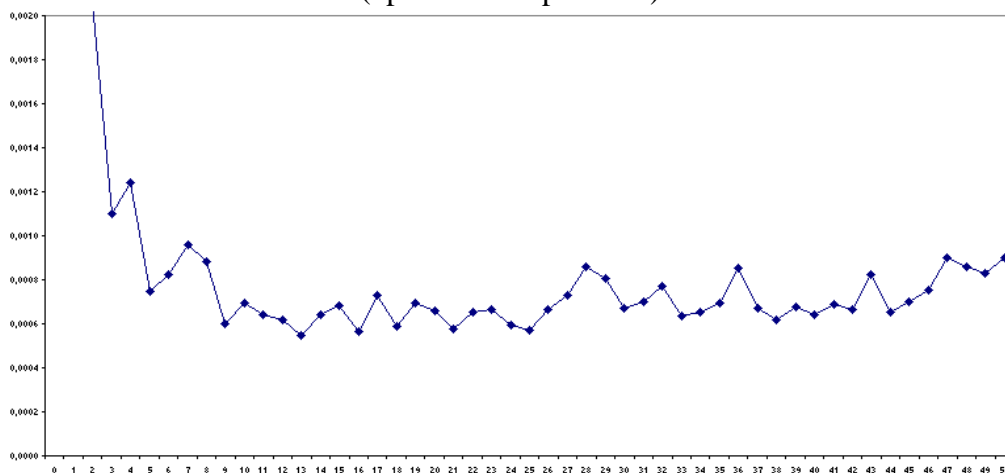


Figura A.205: Información mutua (ordenadas) respecto a t (abcisas) de la serie de rendimientos del contrato de Futuro sobre el Bono con vencimiento en septiembre 1998 (operación a operación)

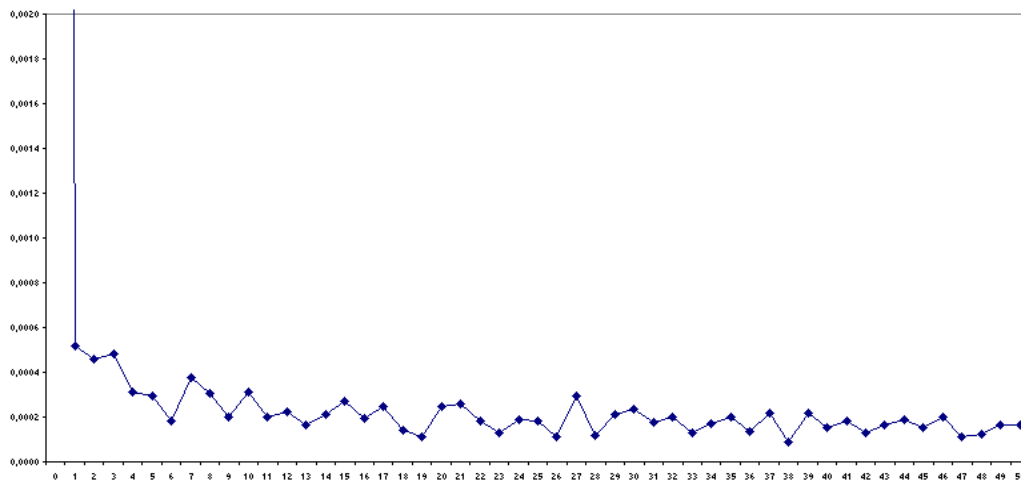


Figura A.206: Información mutua (ordenadas) respecto a t (abcisas) de la serie de rendimientos del contrato de Futuro sobre el Bono con vencimiento en diciembre 1998 (operación a operación)

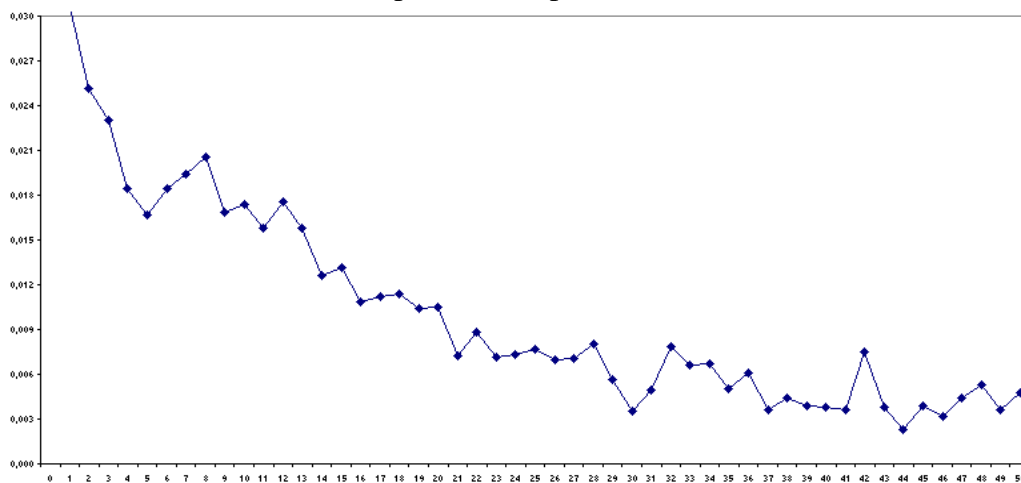


Figura A.207: Información mutua (ordenadas) respecto a t (abcisas) de la serie de rendimientos del contrato de Futuro sobre el Bono con vencimiento en marzo 1998 (cinco minutos)

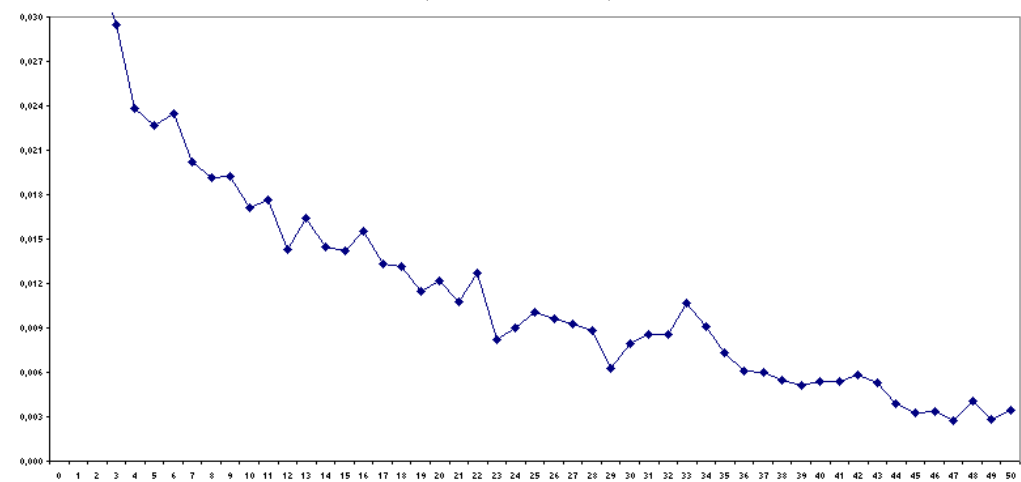


Figura A.208: Información mutua (ordenadas) respecto a t (abcisas) de la serie de rendimientos del contrato de Futuro sobre el Bono con vencimiento en junio 1998 (cinco minutos)

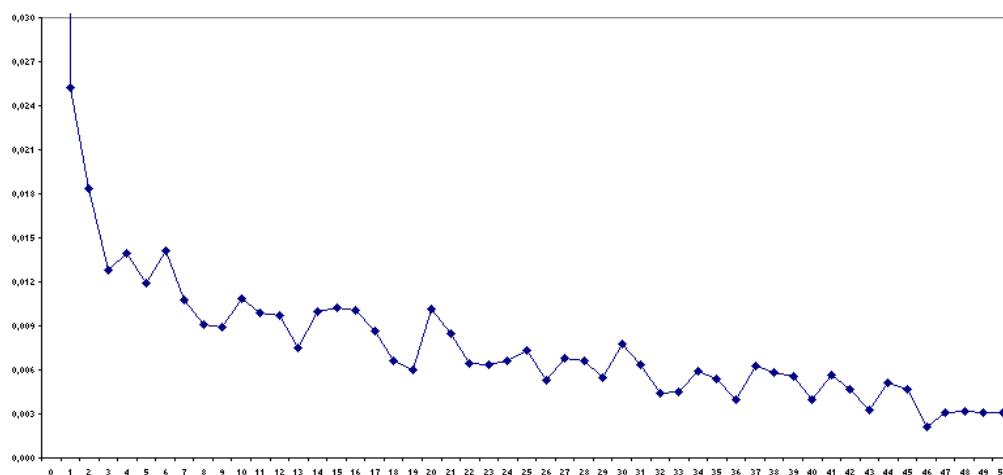


Figura A.209: Información mutua (ordenadas) respecto a t (abcisas) de la serie de rendimientos del contrato de Futuro sobre el Bono con vencimiento en septiembre 1998 (cinco minutos)

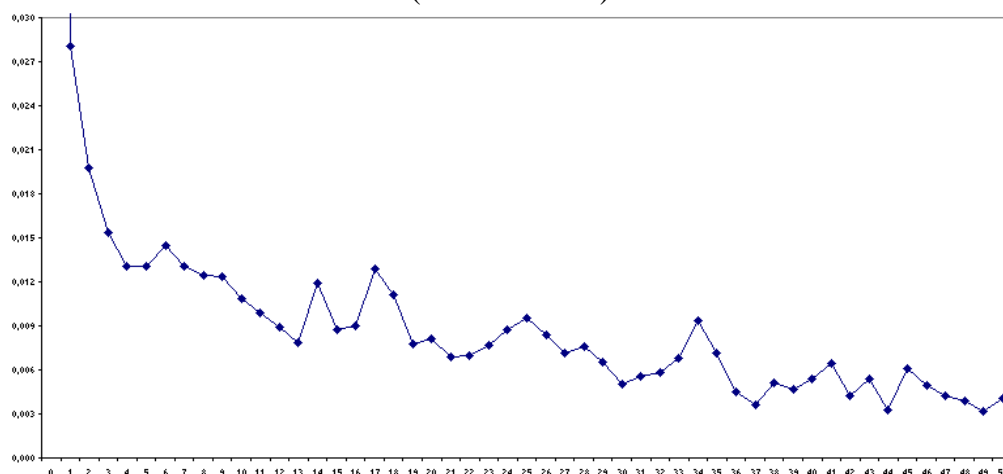


Figura A.210: Información mutua (ordenadas) respecto a t (abcisas) de la serie de rendimientos del contrato de Futuro sobre el Bono con vencimiento en diciembre 1998 (cinco minutos)

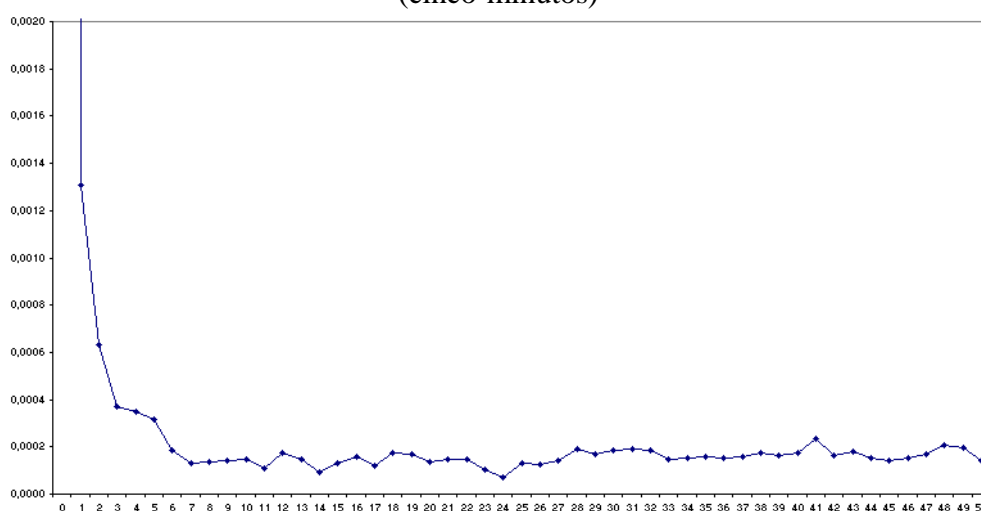


Figura A.211: Información mutua (ordenadas) respecto a t (abcisas) de la serie de residuos del modelo ARIMA sobre los rendimientos del contrato de Futuro sobre el Bono con vencimiento en marzo 1998 (operación a operación)

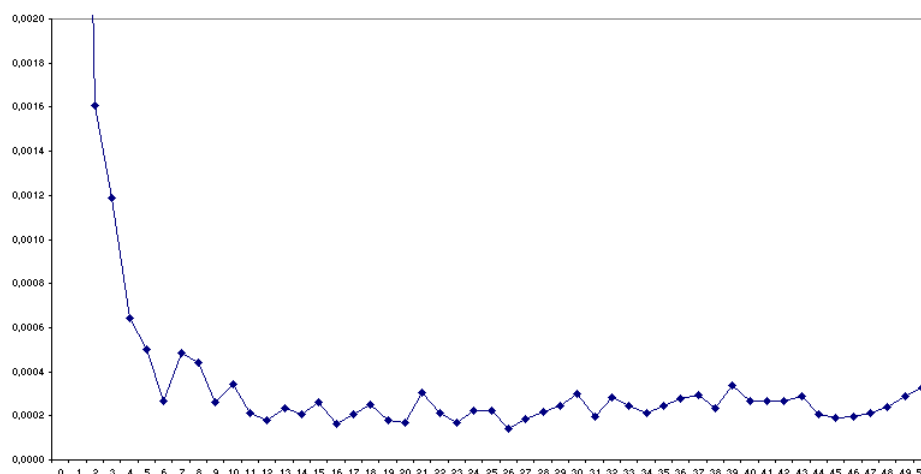


Figura A.212: Información mutua (ordenadas) respecto a t (abcisas) de la serie de residuos del modelo ARIMA sobre los rendimientos del contrato de Futuro sobre el Bono con vencimiento en junio 1998 (operación a operación)

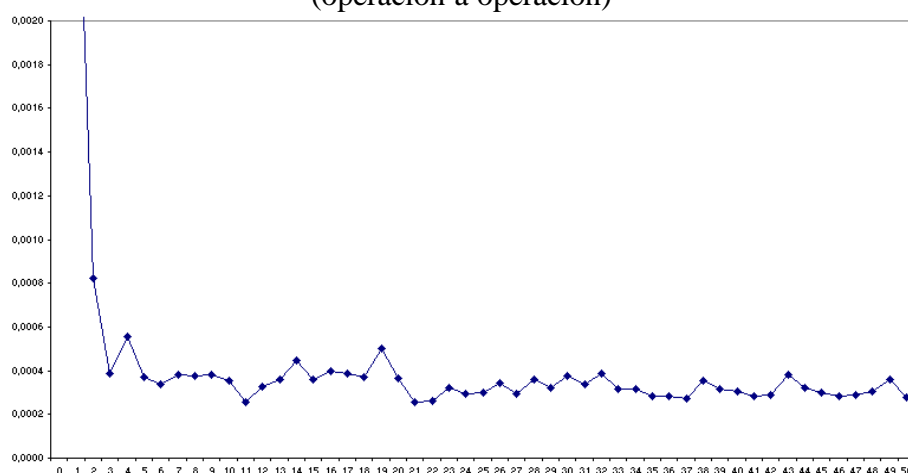


Figura A.213: Información mutua (ordenadas) respecto a t (abcisas) de la serie de residuos del modelo ARIMA sobre los rendimientos del contrato de Futuro sobre el Bono con vencimiento en septiembre 1998 (operación a operación)

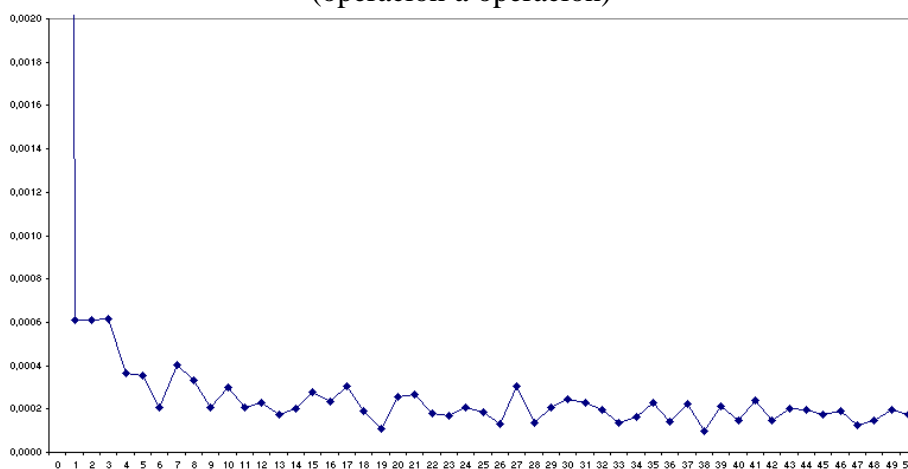


Figura A.214: Información mutua (ordenadas) respecto a t (abcisas) de la serie de residuos del modelo ARIMA sobre los rendimientos del contrato de Futuro sobre el Bono con vencimiento en diciembre 1998 (operación a operación)

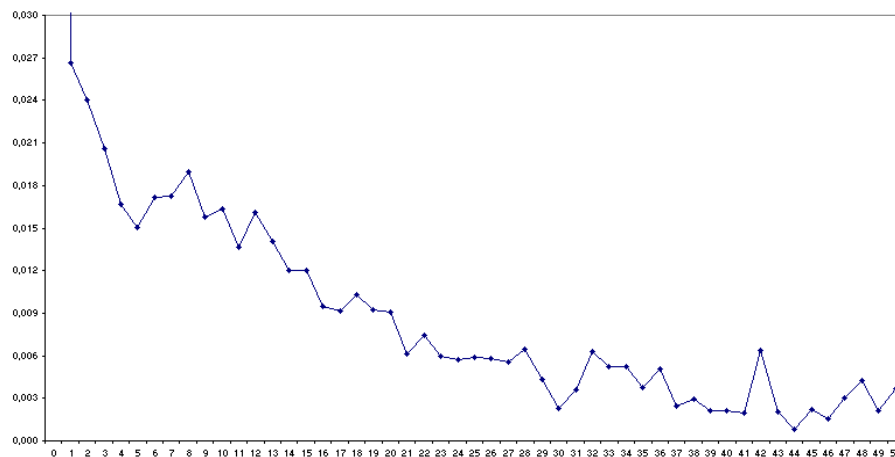


Figura A.215: Información mutua (ordenadas) respecto a t (abcisas) de la serie de residuos del modelo ARIMA sobre los rendimientos del contrato de Futuro sobre el Bono con vencimiento en marzo 1998 (cinco minutos)

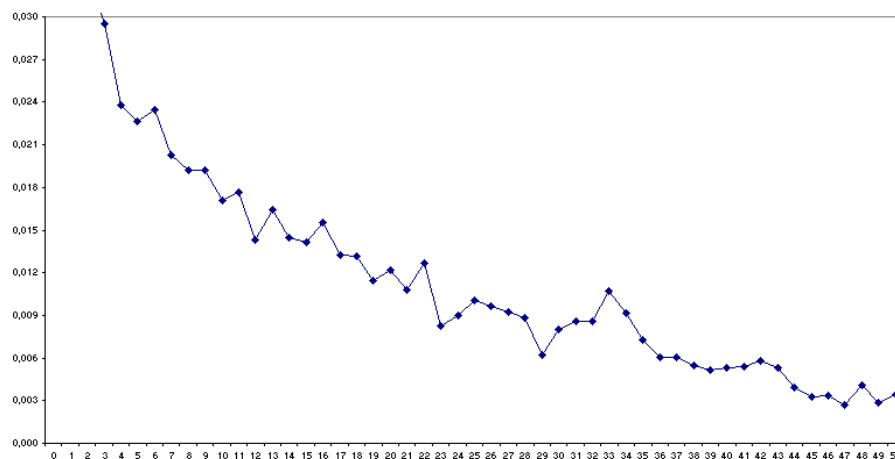


Figura A.216: Información mutua (ordenadas) respecto a t (abcisas) de la serie de residuos del modelo ARIMA sobre los rendimientos del contrato de Futuro sobre el Bono con vencimiento en junio 1998 (cinco minutos)

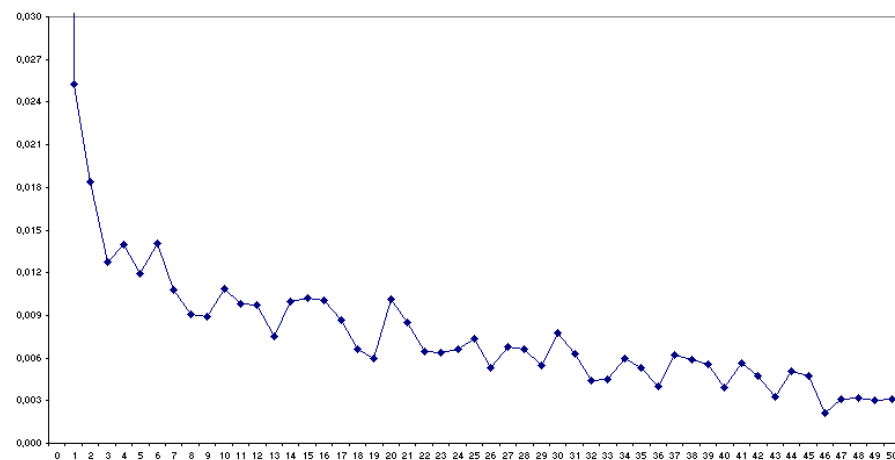


Figura A.217: Información mutua (ordenadas) respecto a t (abcisas) de la serie de residuos del modelo ARIMA sobre los rendimientos del contrato de Futuro sobre el Bono con vencimiento en septiembre 1998 (cinco minutos)

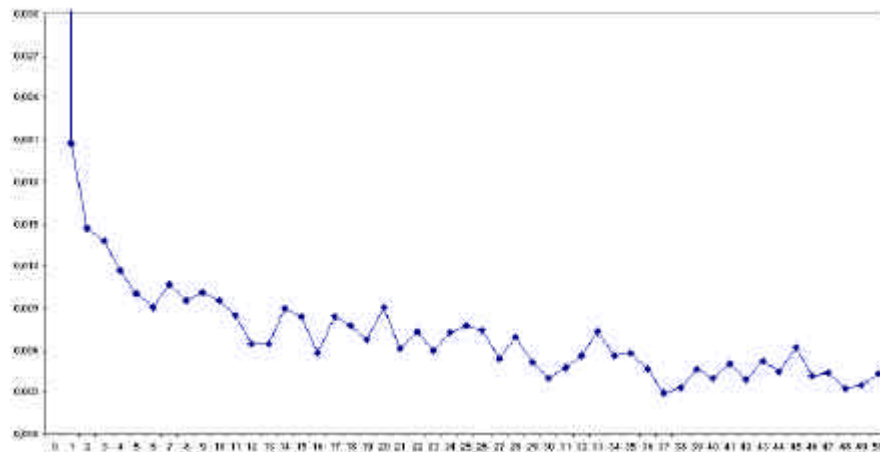


Figura A.218: Información mutua (ordenadas) respecto a t (abcisas) de la serie de residuos del modelo ARIMA sobre los rendimientos del contrato de Futuro sobre el Bono con vencimiento en diciembre 1998 (cinco minutos)

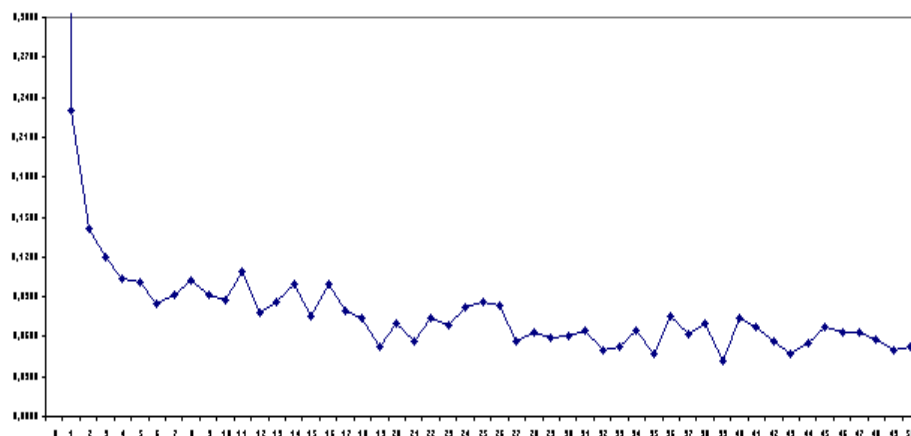


Figura A.219: Información mutua (ordenadas) respecto a t (abcisas) de la serie de residuos del modelo ARIMA con intervención sobre los rendimientos del contrato de Futuro sobre el Bono con vencimiento en diciembre 1998 (cinco minutos)

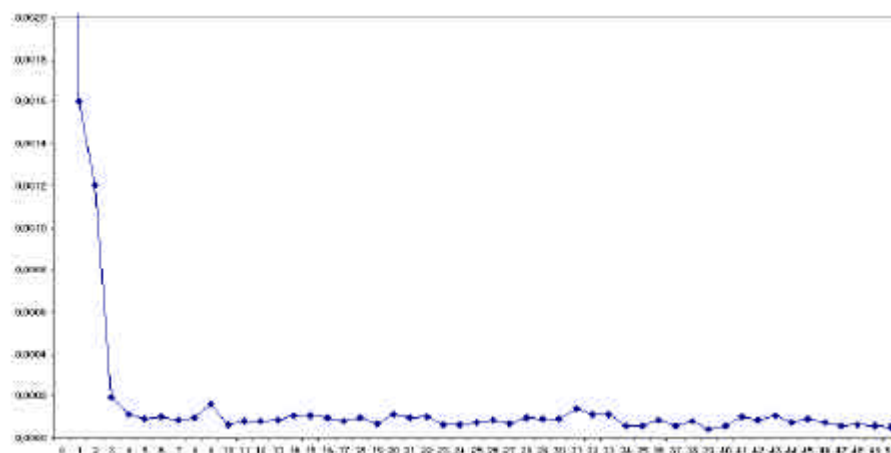


Figura A.220: Información mutua (ordenadas) respecto a t (abcisas) de la serie de residuos del modelo Garch-M sobre el Bono con vencimiento en marzo 1998, operación a operación.

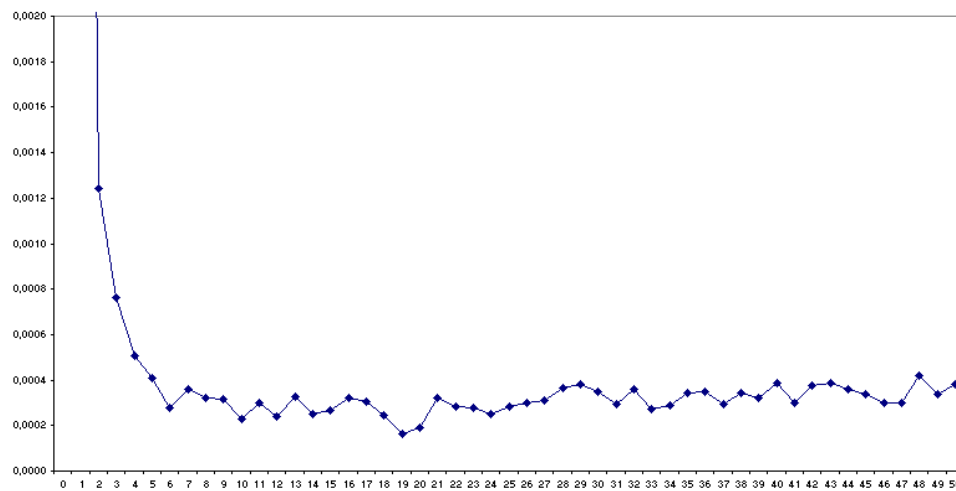


Figura A.221: Información mutua (ordenadas) respecto a t (abscisas) de la serie de residuos del modelo Garch-M sobre el Bono con vencimiento en junio 1998, operación a operación.

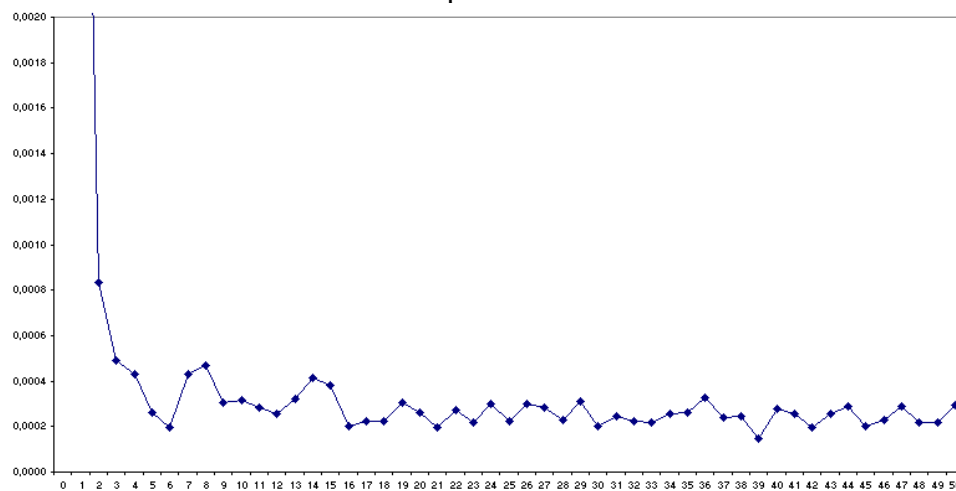


Figura A.222: Información mutua (ordenadas) respecto a t (abscisas) de la serie de residuos del modelo Garch-M sobre el Bono con vencimiento en septiembre 1998, operación a operación.

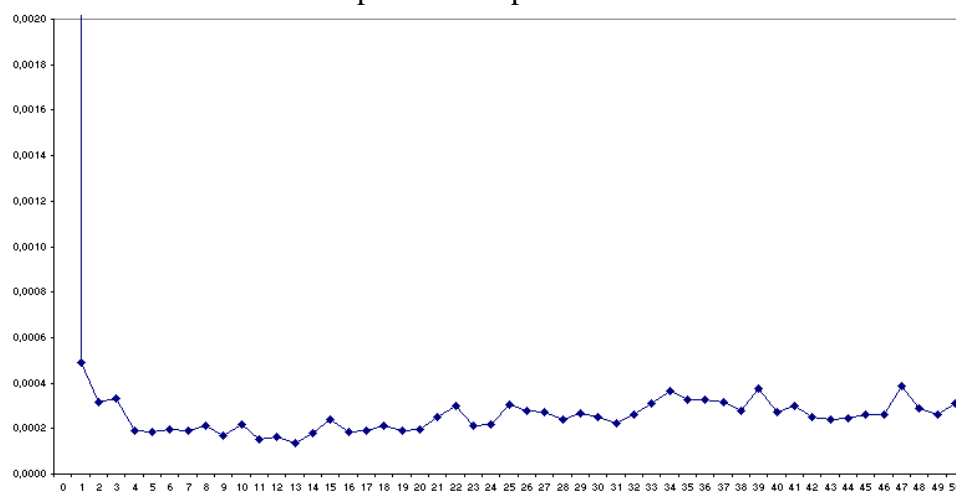


Figura A.223: Información mutua (ordenadas) respecto a t (abscisas) de la serie de residuos del modelo Garch-M sobre el Bono con vencimiento en diciembre 1998, operación a operación.

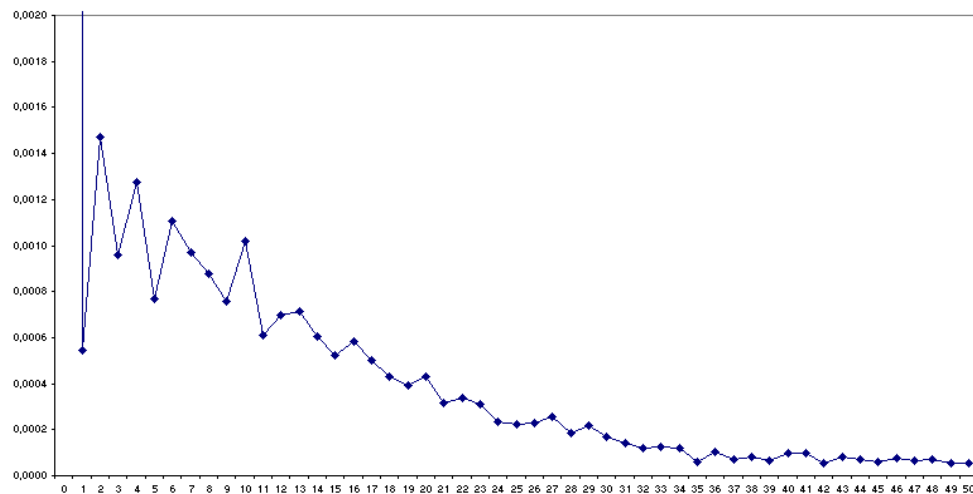


Figura A.224: Información mutua (ordenadas) respecto a t (abcisas) de la serie de residuos del modelo Egarch sobre el Bono con vencimiento en marzo 1998, operación a operación.

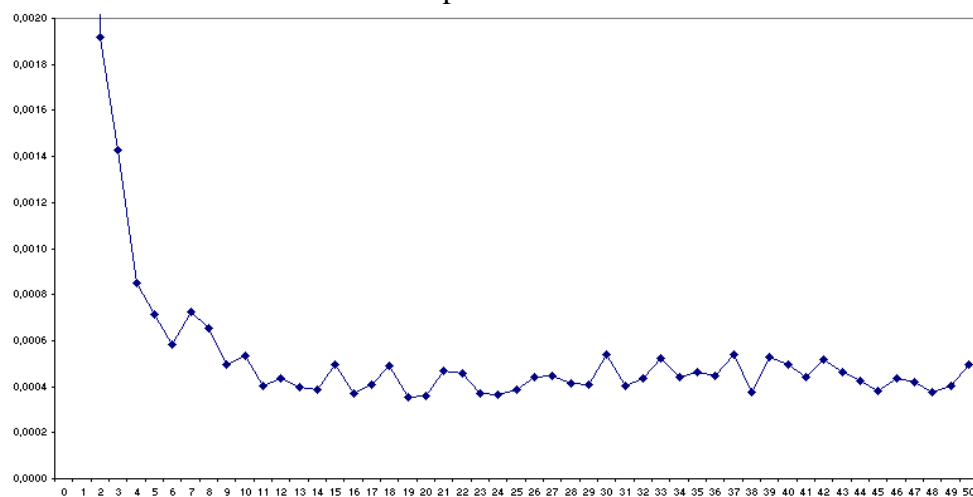


Figura A.225: Información mutua (ordenadas) respecto a t (abcisas) de la serie de residuos del modelo Egarch sobre el Bono con vencimiento en junio 1998, operación a operación.

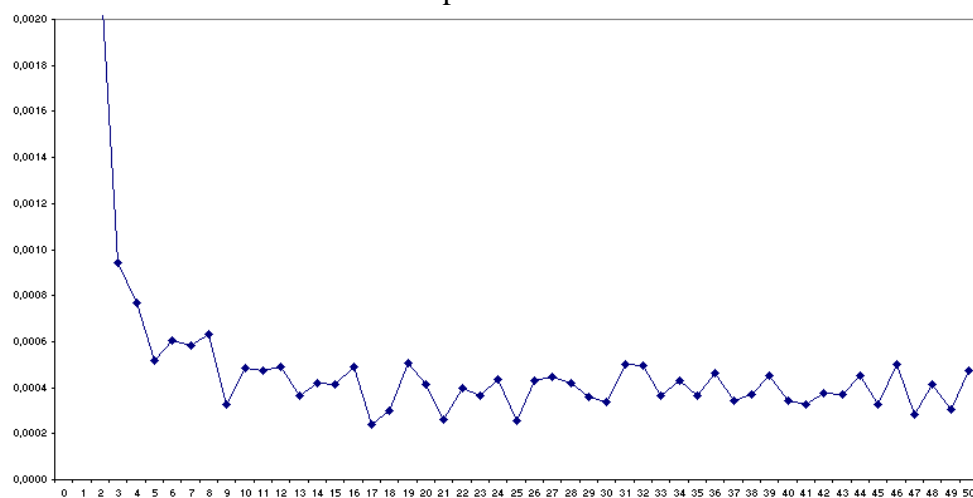


Figura A.226: Información mutua (ordenadas) respecto a t (abcisas) de la serie de residuos del modelo Egarch sobre el Bono con vencimiento en septiembre 1998, operación a operación.

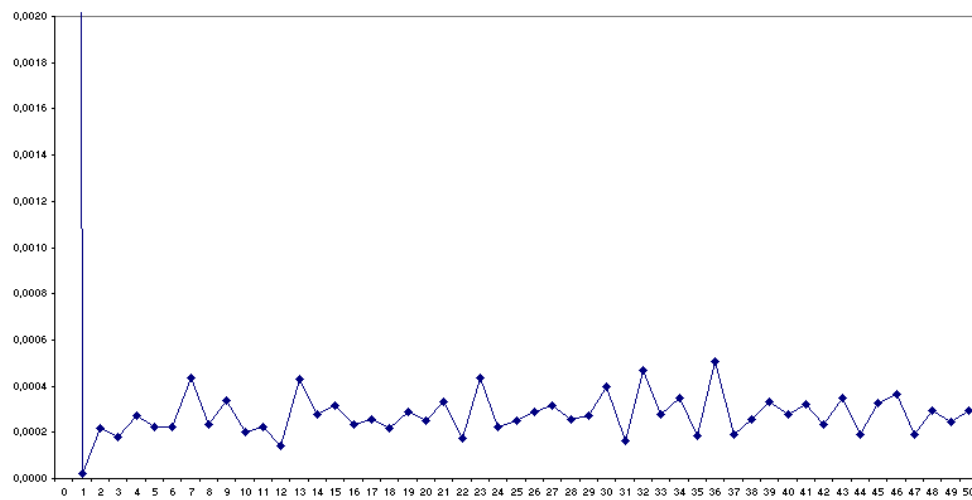


Figura A.227: Información mutua (ordenadas) respecto a t (abcisas) de la serie de residuos del modelo Egarch sobre el Bono con vencimiento en diciembre 1998, operación a operación.

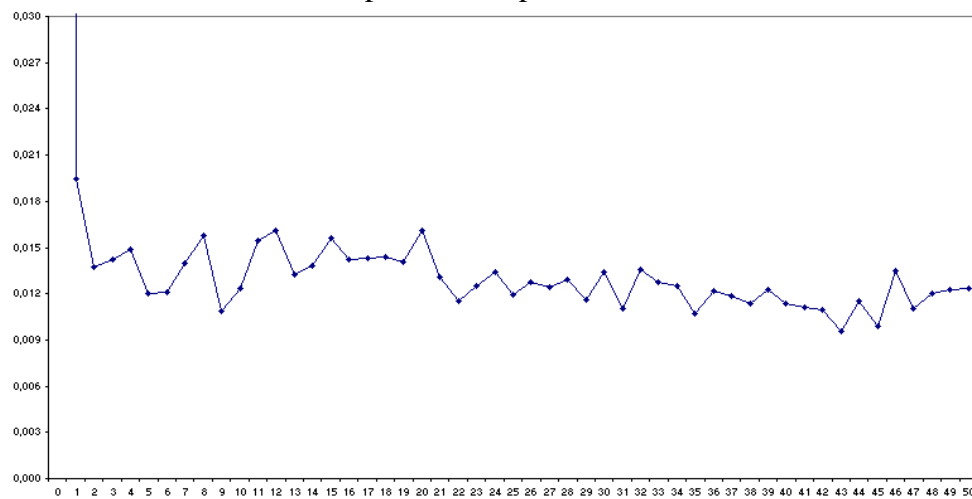


Figura A.228: Información mutua (ordenadas) respecto a t (abcisas) de la serie de residuos del modelo Garch sobre el Bono con vencimiento en marzo 1998, cinco minutos.

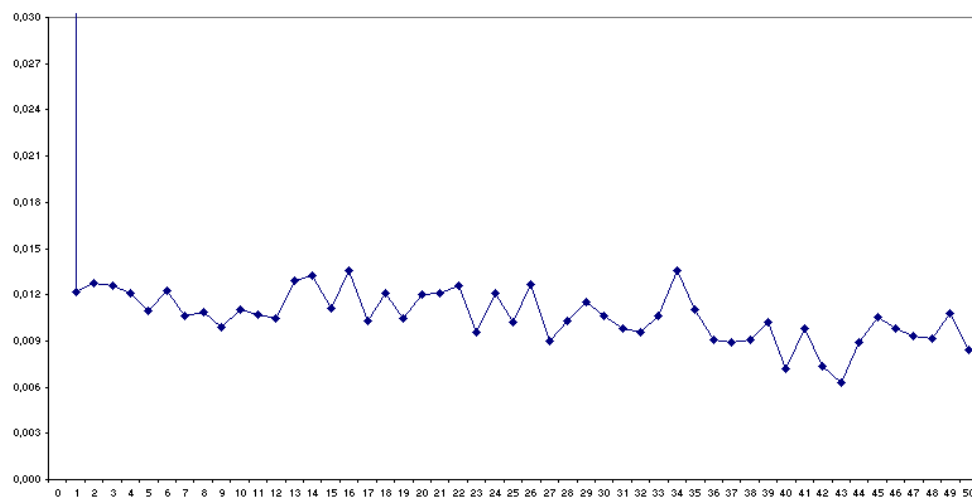


Figura A.229: Información mutua (ordenadas) respecto a t (abcisas) de la serie de residuos del modelo Garch sobre el Bono con vencimiento en junio 1998, cinco minutos.

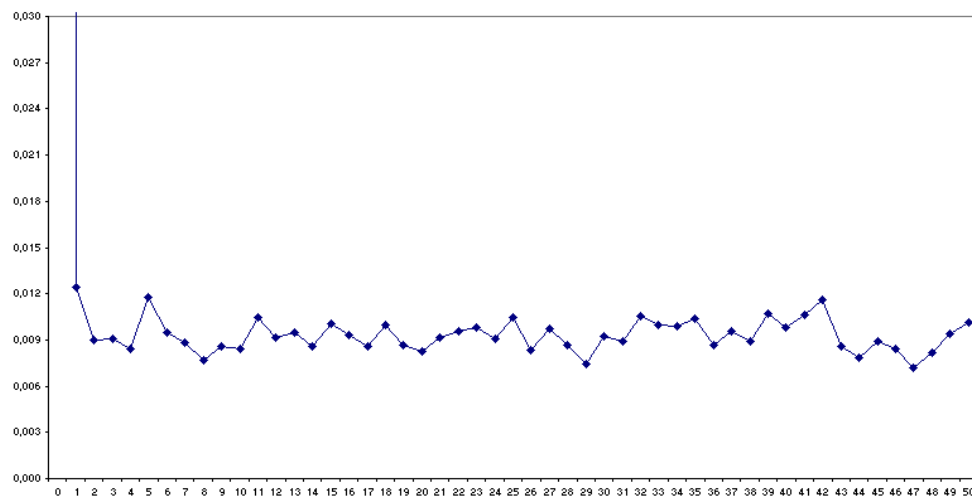


Figura A.230: Información mutua (ordenadas) respecto a t (abcisas) de la serie de residuos del modelo Garch sobre el Bono con vencimiento en septiembre 1998, cinco minutos.

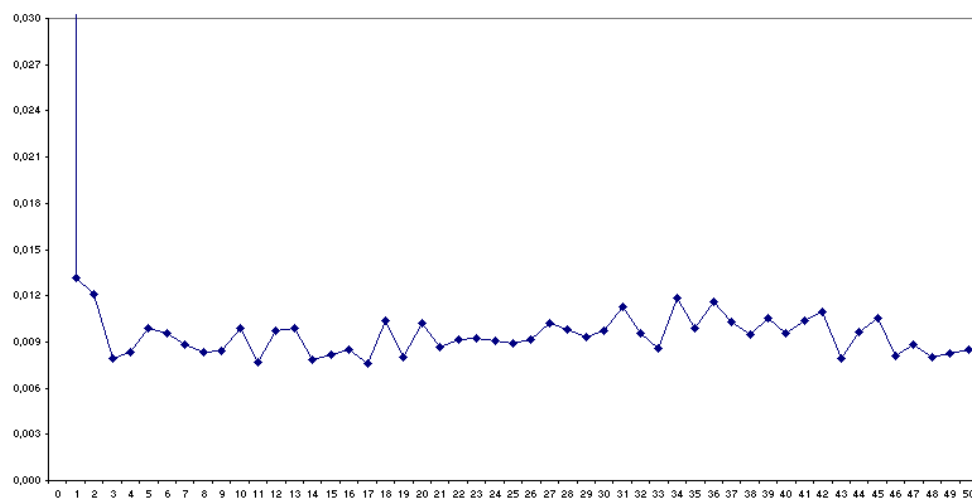


Figura A.231: Información mutua (ordenadas) respecto a t (abcisas) de la serie de residuos del modelo Garch-M sobre el Bono con vencimiento en diciembre 1998, cinco minutos.

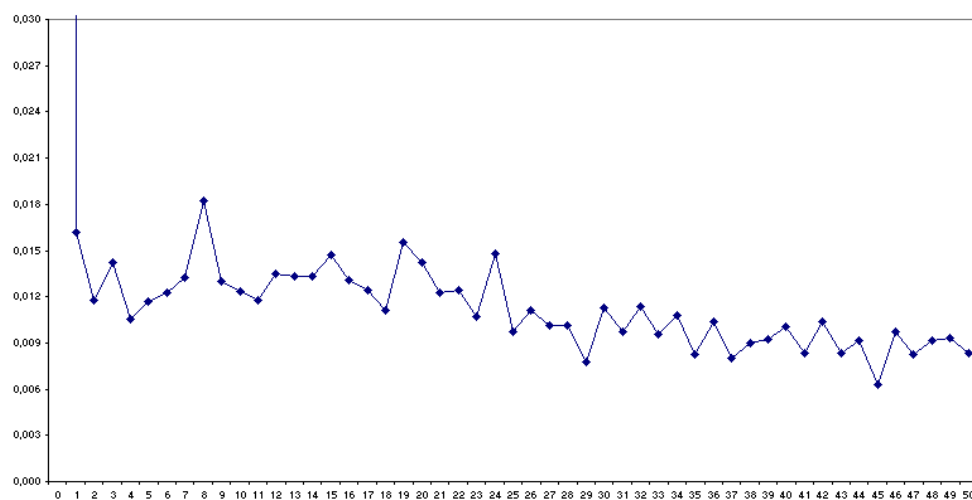


Figura A.232: Información mutua (ordenadas) respecto a t (abcisas) de la serie de residuos del modelo Egarch sobre el Bono con vencimiento en marzo 1998, cinco minutos.

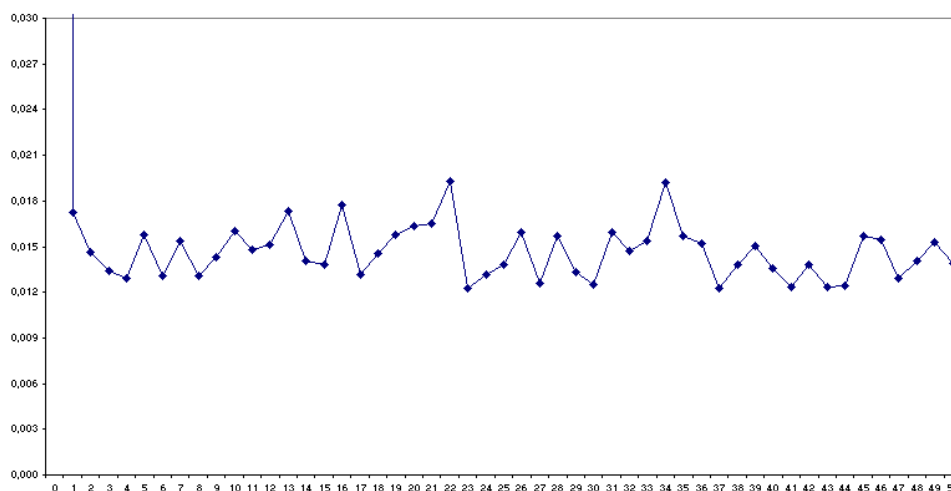


Figura A.233: Información mutua (ordenadas) respecto a t (abcisas) de la serie de residuos del modelo Egarch sobre el Bono con vencimiento en junio 1998, cinco minutos.

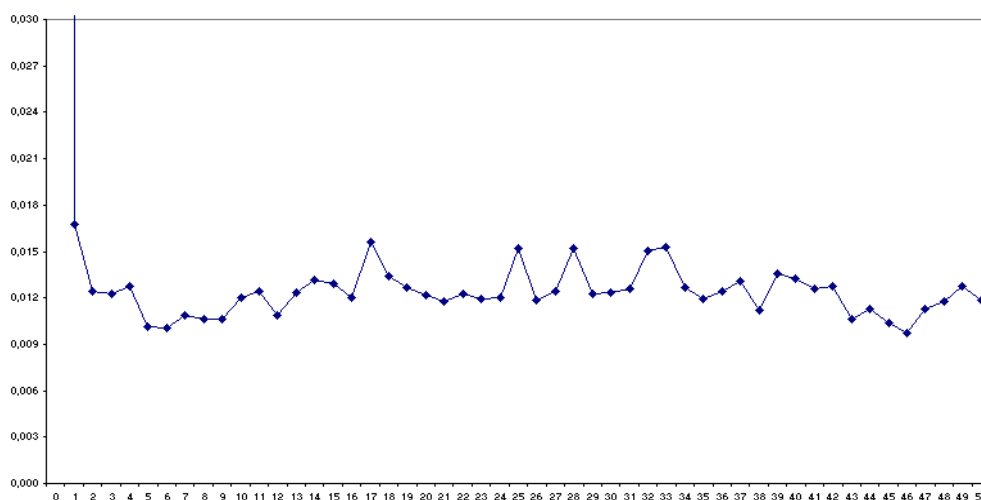


Figura A.234: Información mutua (ordenadas) respecto a t (abcisas) de la serie de residuos del modelo Egarch sobre el Bono con vencimiento en septiembre 1998, cinco minutos.

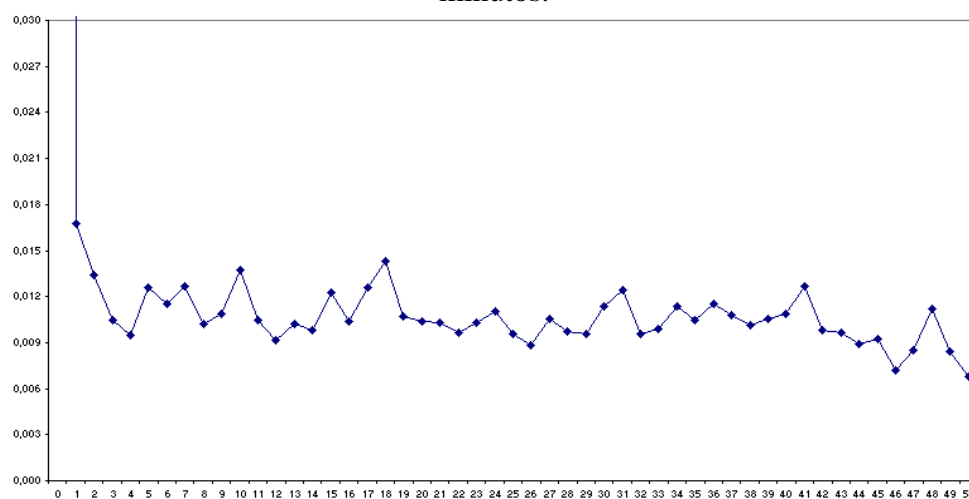


Figura A.235: Información mutua (ordenadas) respecto a t (abcisas) de la serie de residuos del modelo Egarch sobre el Bono con vencimiento en diciembre 1998, cinco minutos.

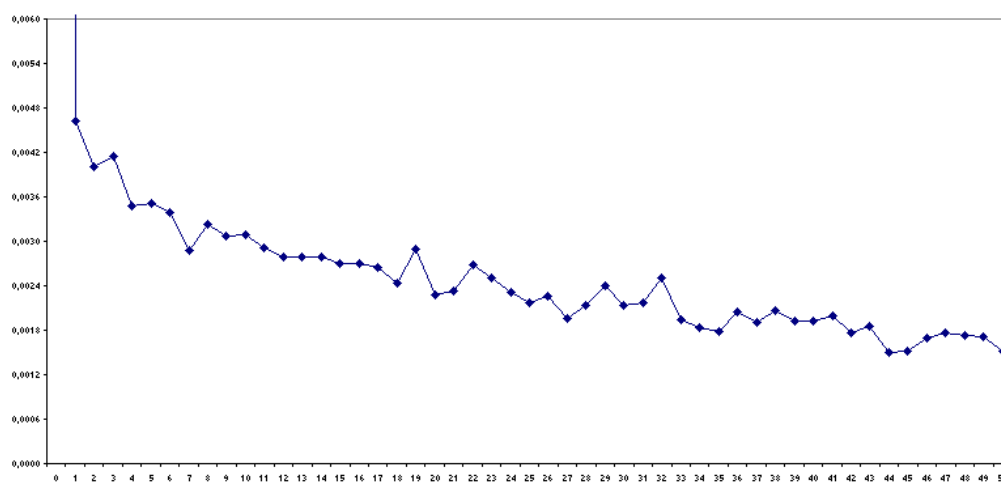


Figura A.236: Información mutua (ordenadas) respecto a t (abcisas) de la serie de duración de operaciones del contrato de Futuro sobre el Bono con vencimiento en marzo 1998

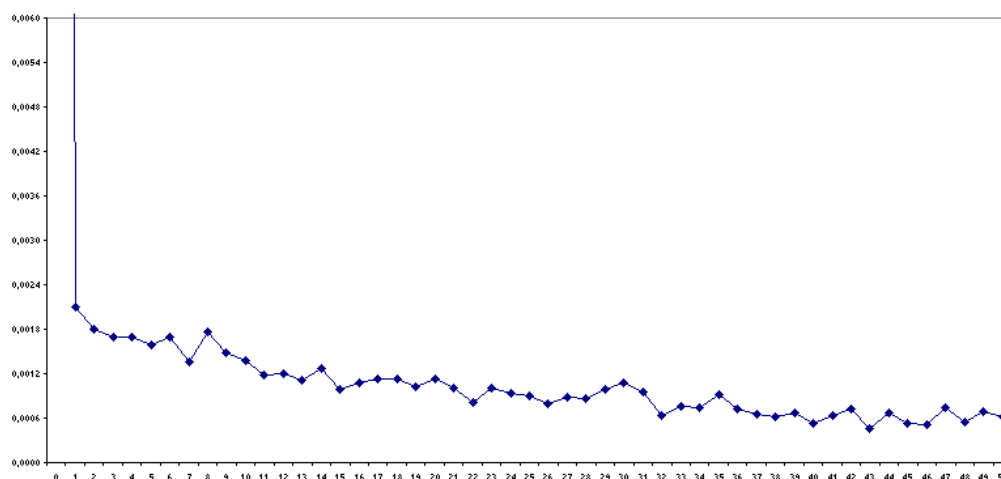


Figura A.237: Información mutua (ordenadas) respecto a t (abcisas) de la serie de duración de operaciones del contrato de Futuro sobre el Bono con vencimiento en junio 1998

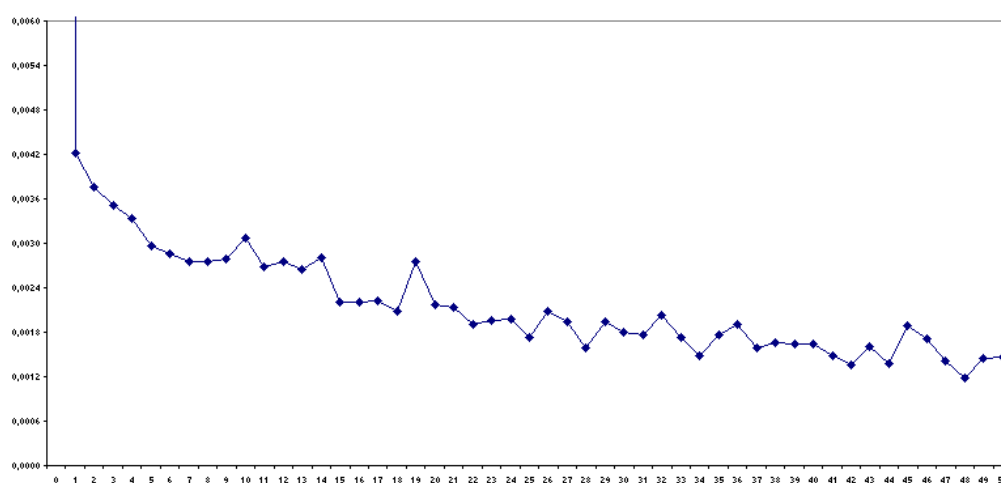


Figura A.238: Información mutua (ordenadas) respecto a t (abcisas) de la serie de duración de operaciones del contrato de Futuro sobre el Bono con vencimiento en septiembre 1998

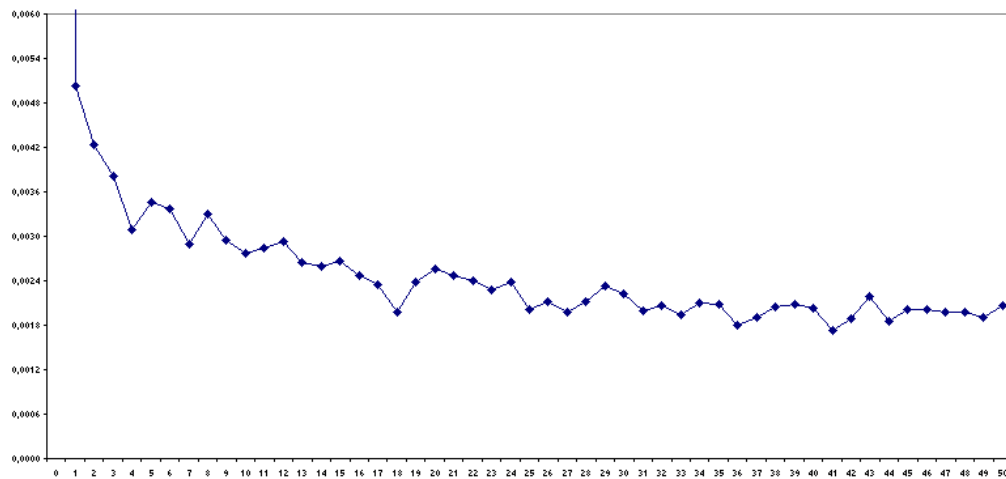


Figura A.239: Información mutua (ordenadas) respecto a t (abcisas) de la serie de duración de operaciones del contrato de Futuro sobre el Bono con vencimiento en diciembre 1998

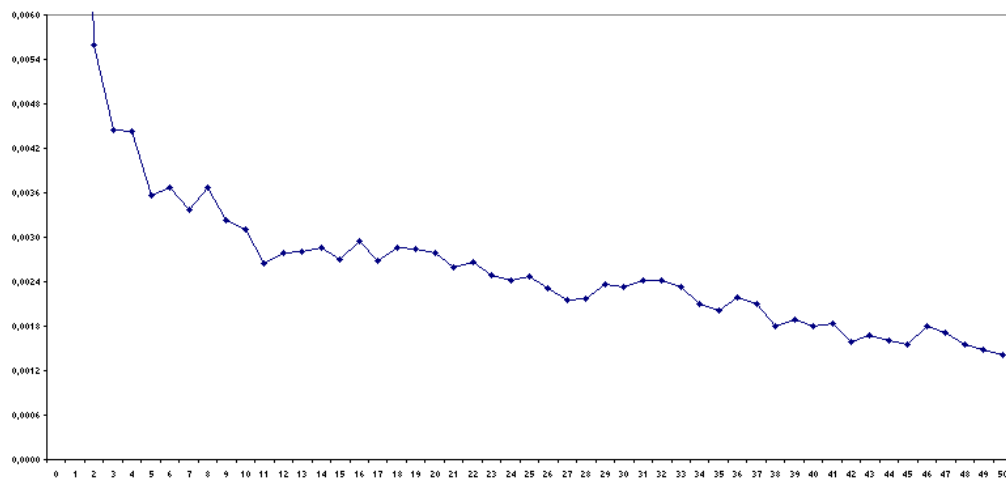


Figura A.240: Información mutua (ordenadas) respecto a t (abcisas) de la serie diferenciada fraccionalmente de las duraciones de operaciones del contrato de Futuro sobre el Bono con vencimiento en marzo 1998

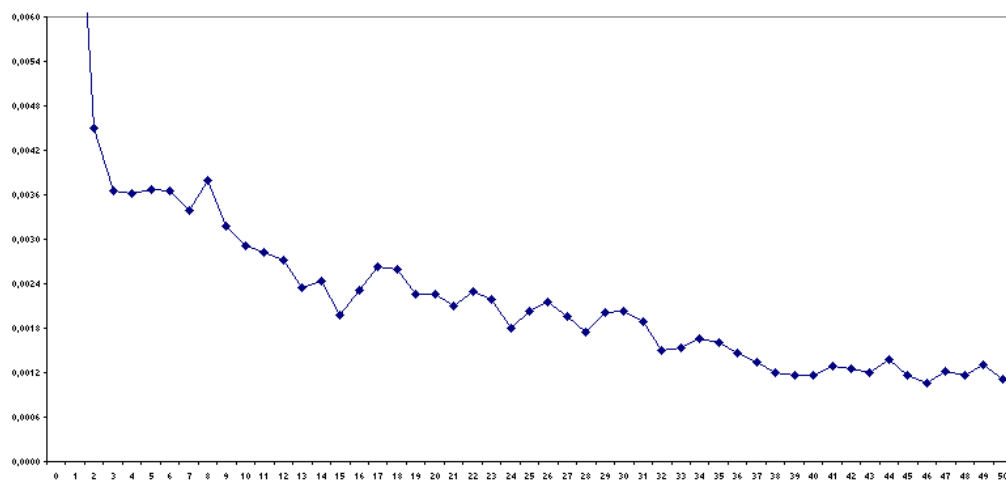


Figura A.241: Información mutua (ordenadas) respecto a t (abcisas) de la serie diferenciada fraccionalmente de las duraciones de operaciones del contrato de Futuro sobre el Bono con vencimiento en junio 1998

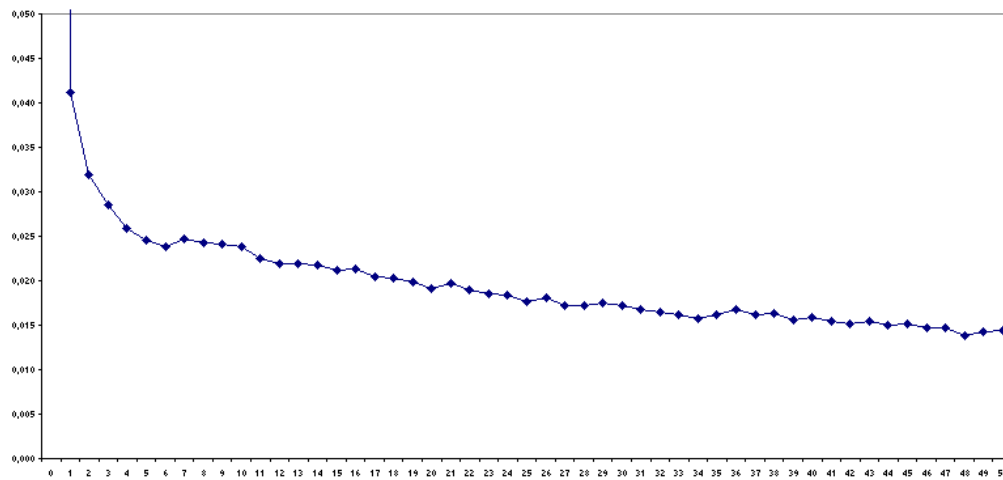


Figura A.242: Información mutua (ordenadas) respecto a t (abcisas) de la serie diferenciada fraccionalmente de las duraciones de operaciones del contrato de Futuro sobre el Bono con vencimiento en septiembre 1998

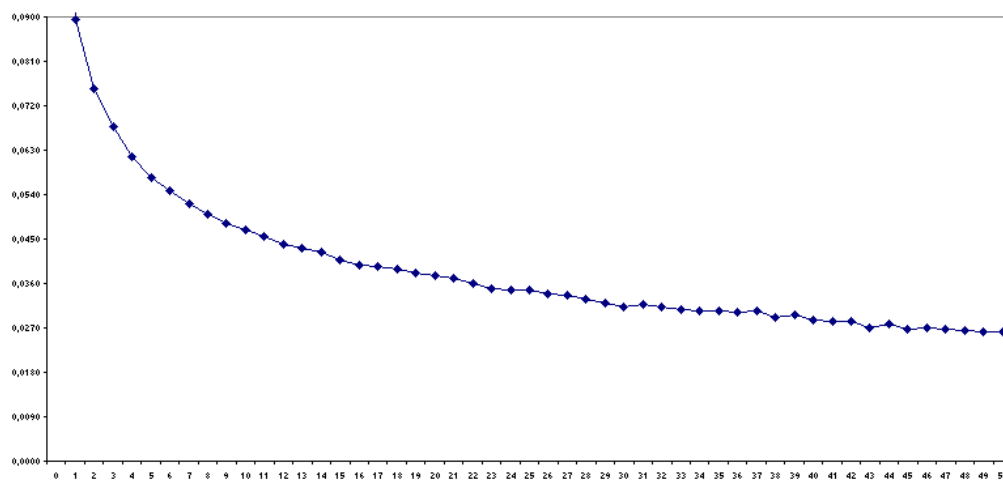


Figura A.243: Información mutua (ordenadas) respecto a t (abcisas) de la serie diferenciada fraccionalmente de las duraciones de operaciones del contrato de Futuro sobre el Bono con vencimiento en diciembre 1998

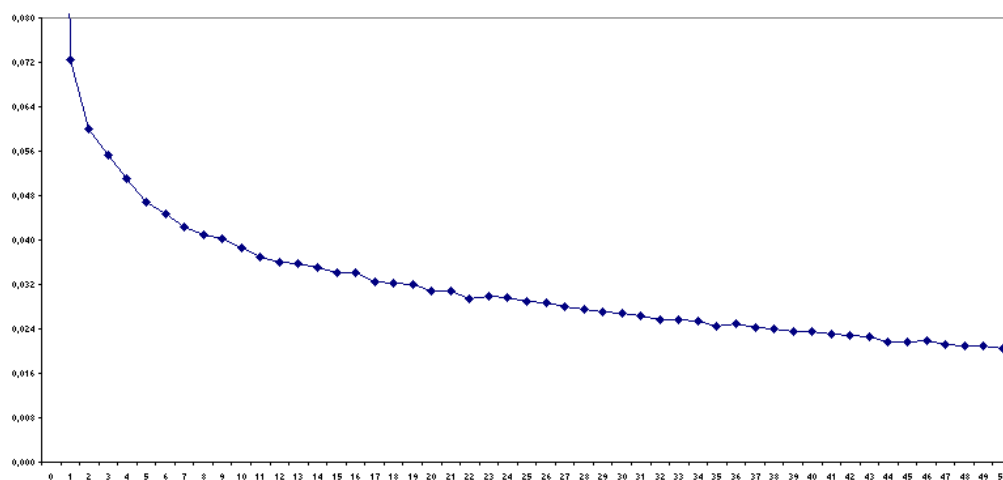


Figura A.244: Información mutua (ordenadas) respecto a t (abcisas) de la serie de residuos del modelo ARFIMA sobre la serie de duración de operaciones del contrato de Futuro sobre el Bono con vencimiento en marzo 1998

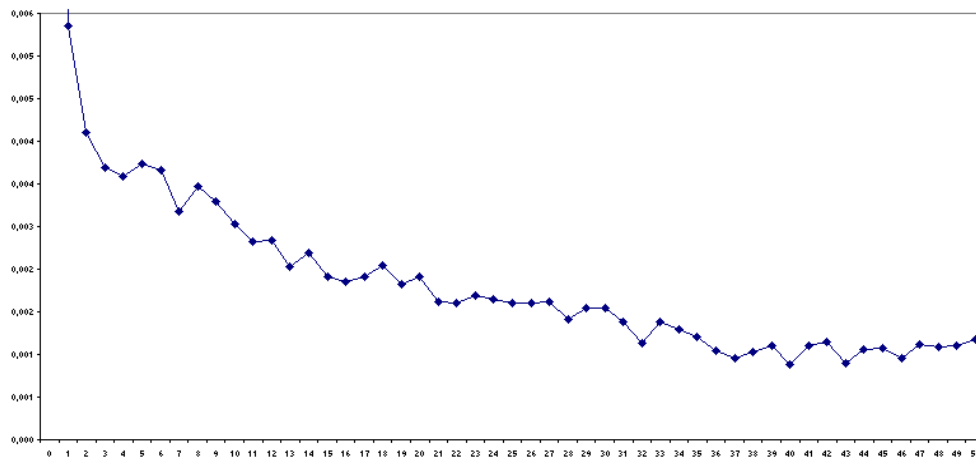


Figura A.245: Información mutua (ordenadas) respecto a t (abcisas) de la serie de residuos del modelo ARFIMA sobre la serie de duración de operaciones del contrato de Futuro sobre el Bono con vencimiento en junio 1998

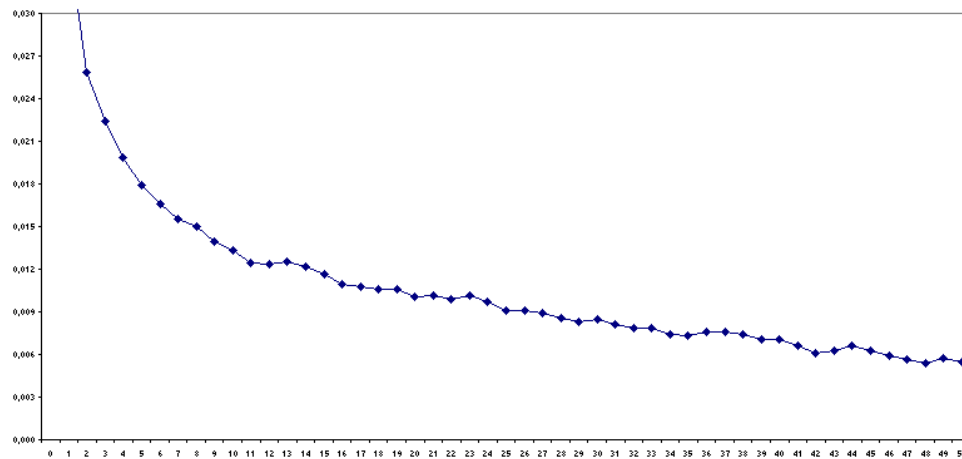


Figura A.246: Información mutua (ordenadas) respecto a t (abcisas) de la serie de residuos del modelo ARFIMA sobre la serie de duración de operaciones del contrato de Futuro sobre el Bono con vencimiento en septiembre 1998

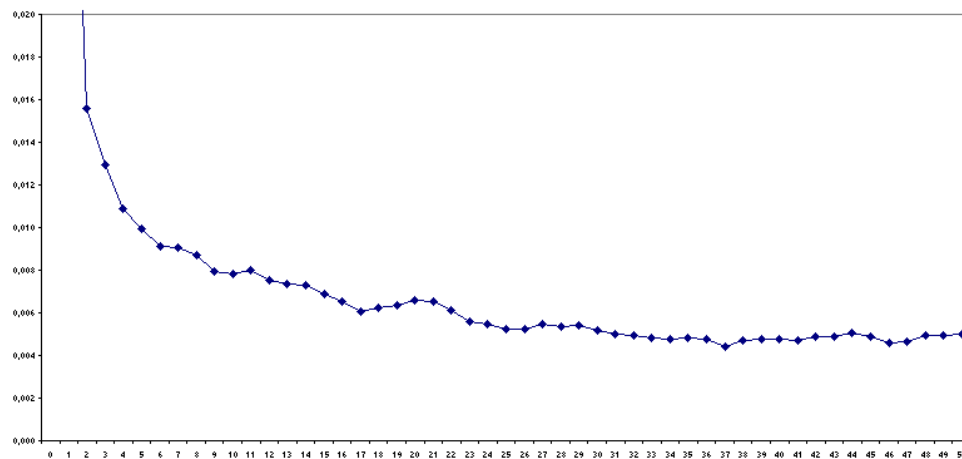


Figura A.247: Información mutua (ordenadas) respecto a t (abcisas) de la serie de residuos del modelo ARFIMA sobre la serie de duración de operaciones del contrato de Futuro sobre el Bono con vencimiento en diciembre 1998

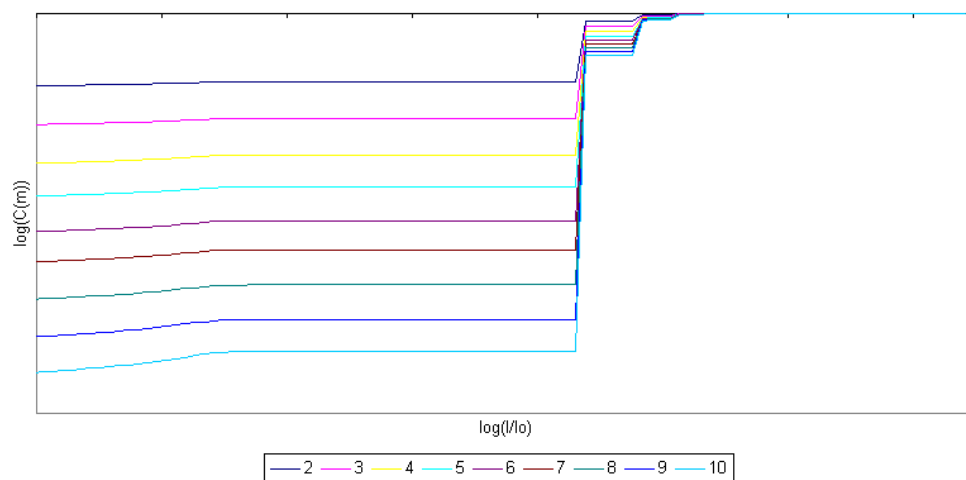
DIMENSIÓN DE CORRELACIÓN

Figura A.248: Integral de correlación (ordenadas) respecto a la precisión l (abcisas) de la serie de rendimientos del contrato de Futuro sobre el Bono con vencimiento en marzo 1998
(operación a operación)

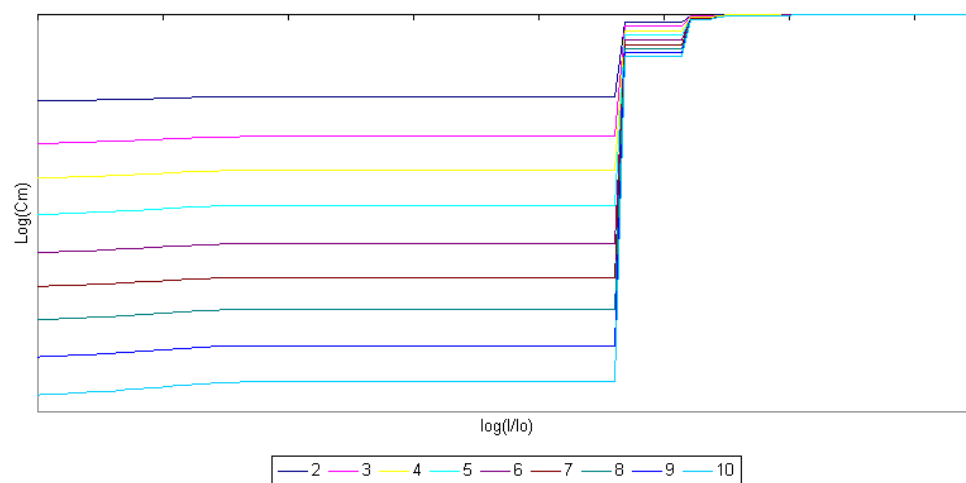


Figura A.249: Integral de correlación (ordenadas) respecto a la precisión l (abcisas) de la serie de rendimientos del contrato de Futuro sobre el Bono con vencimiento en junio 1998
(operación a operación)

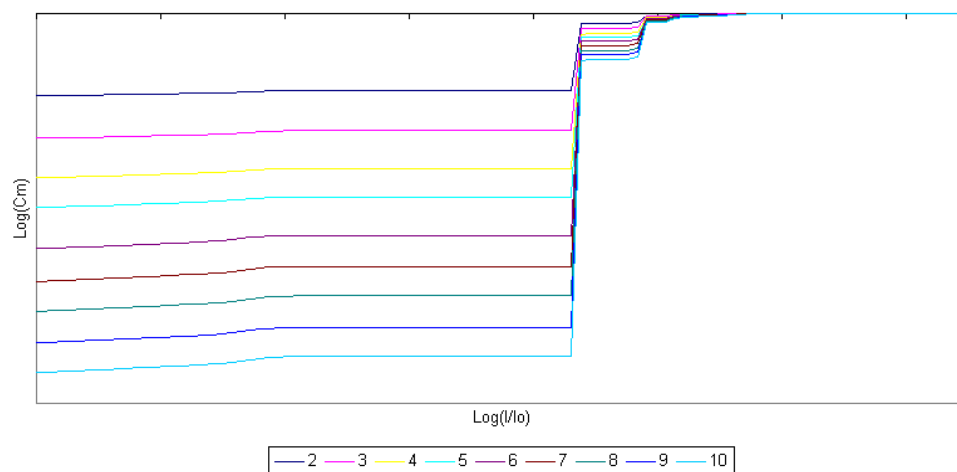


Figura A.250: Integral de correlación (ordenadas) respecto a la precisión l (abcisas) de la serie de rendimientos del contrato de Futuro sobre el Bono con vencimiento en septiembre 1998 (operación a operación)

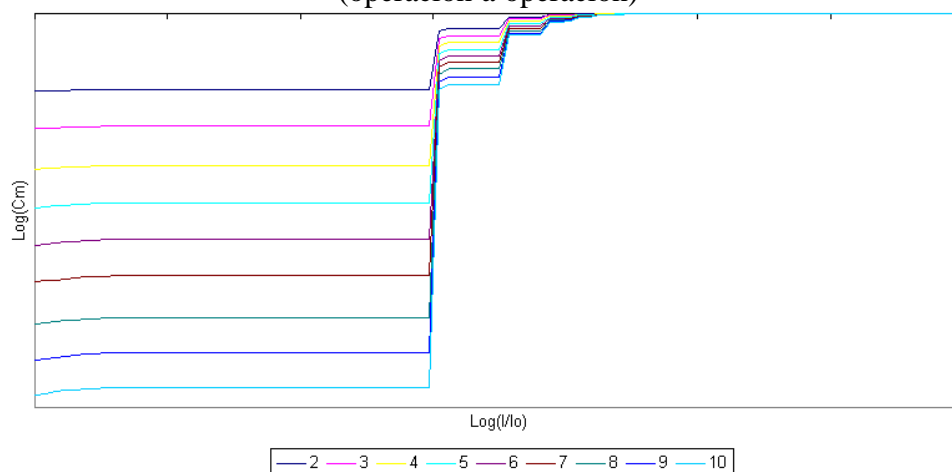


Figura A.251: Integral de correlación (ordenadas) respecto a la precisión l (abcisas) de la serie de rendimientos del contrato de Futuro sobre el Bono con vencimiento en diciembre 1998 (operación a operación)

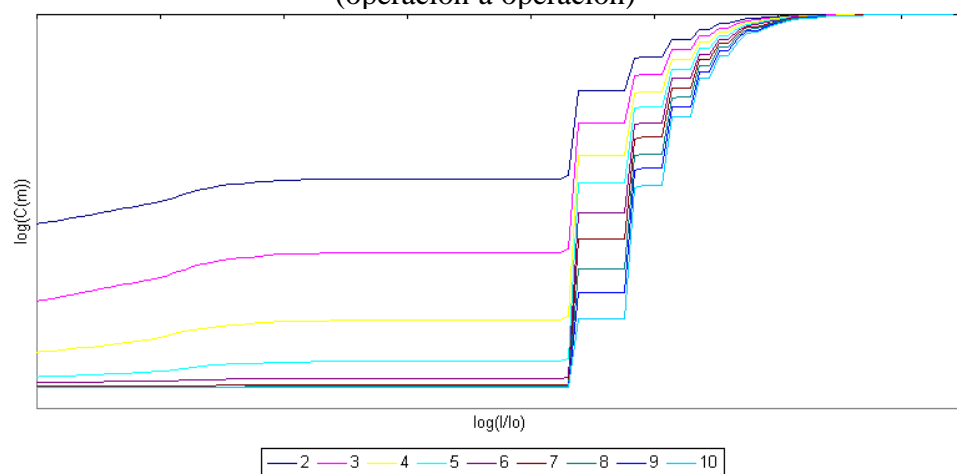


Figura A.252: Integral de correlación (ordenadas) respecto a la precisión l (abcisas) de la serie de rendimientos del contrato de Futuro sobre el Bono con vencimiento en marzo 1998 (cinco minutos)

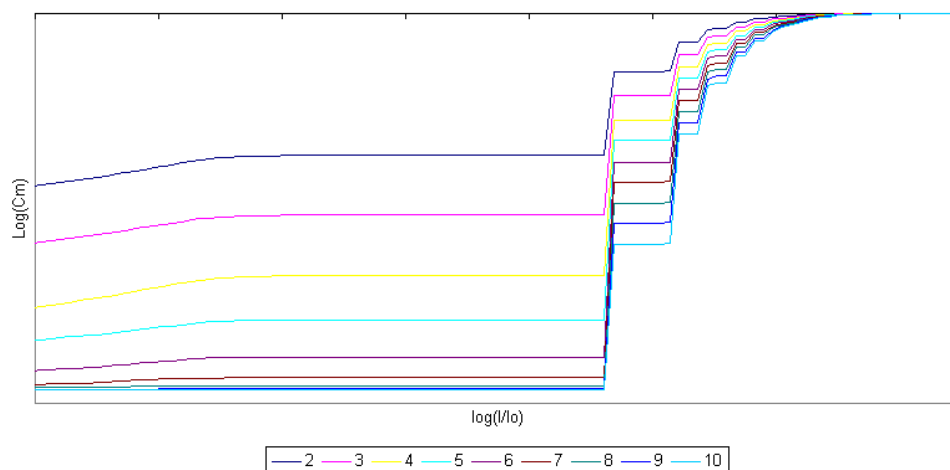


Figura A.253: Integral de correlación (ordenadas) respecto a la precisión l (abcisas) de la serie de rendimientos del contrato de Futuro sobre el Bono con vencimiento en junio 1998 (cinco minutos)

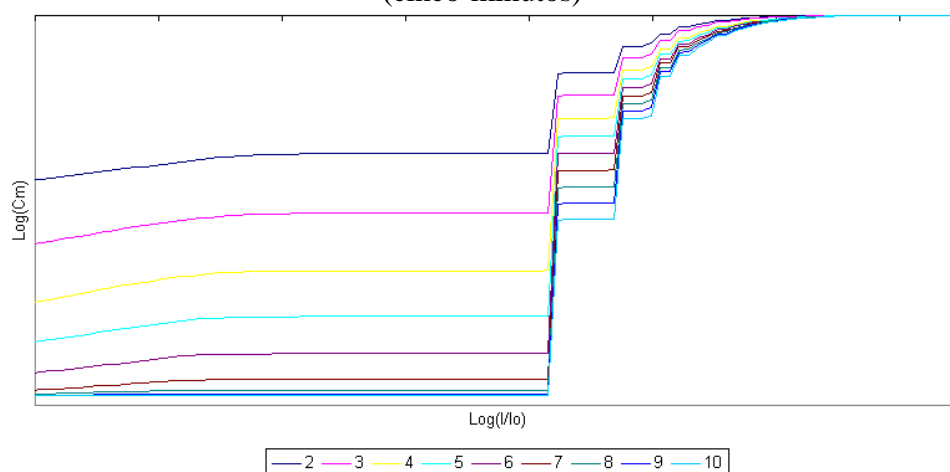


Figura A.254: Integral de correlación (ordenadas) respecto a la precisión l (abcisas) de la serie de rendimientos del contrato de Futuro sobre el Bono con vencimiento en septiembre 1998 (cinco minutos)

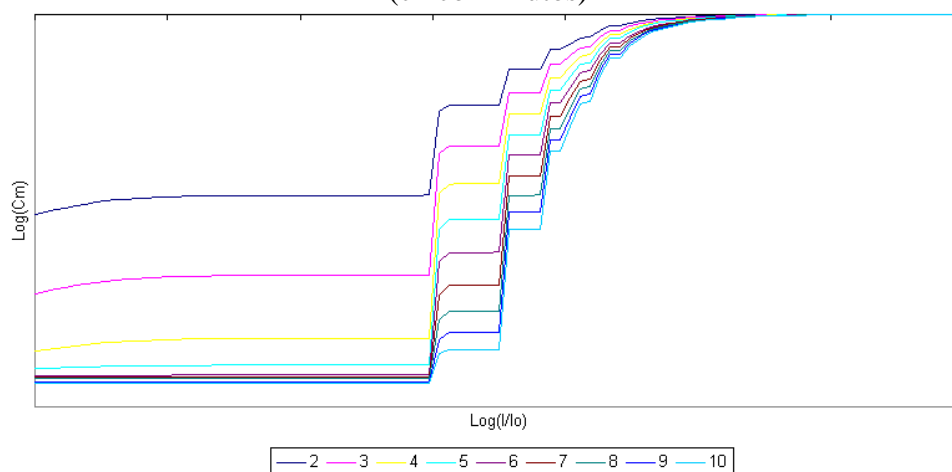


Figura A.255: Integral de correlación (ordenadas) respecto a la precisión l (abcisas) de la serie de rendimientos del contrato de Futuro sobre el Bono con vencimiento en diciembre 1998 (cinco minutos)

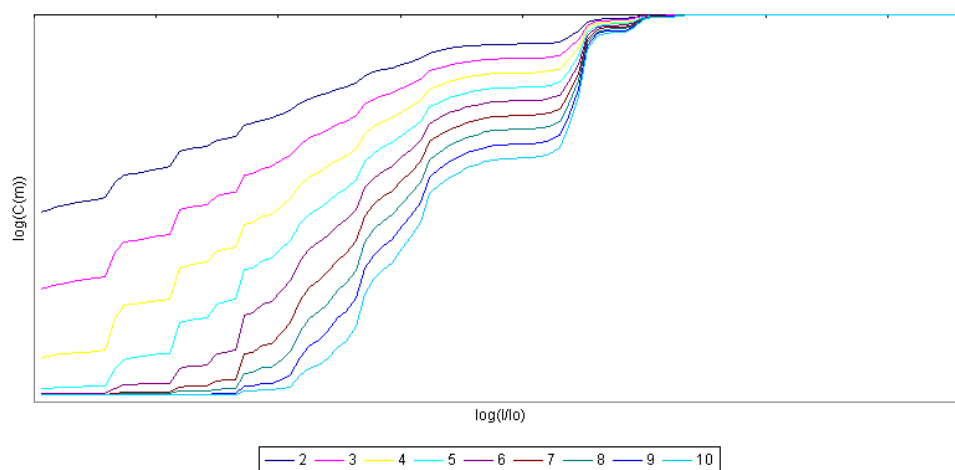


Figura A.256: Integral de correlación (ordenadas) respecto a la precisión l (abcisas) de la serie de residuos del modelo ARIMA sobre los rendimientos del contrato de Futuro sobre el Bono con vencimiento en marzo 1998 (operación a operación)

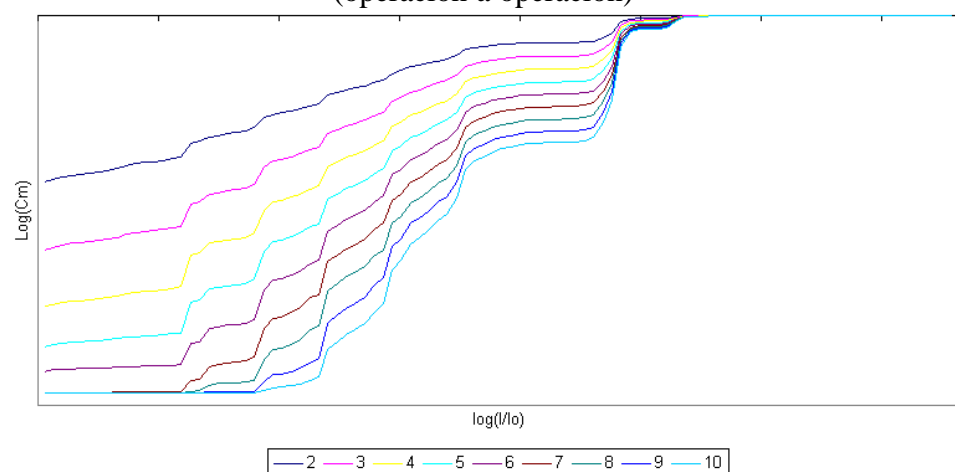


Figura A.257: Integral de correlación (ordenadas) respecto a la precisión l (abcisas) de la serie de residuos del modelo ARIMA sobre los rendimientos del contrato de Futuro sobre el Bono con vencimiento en junio 1998 (operación a operación)

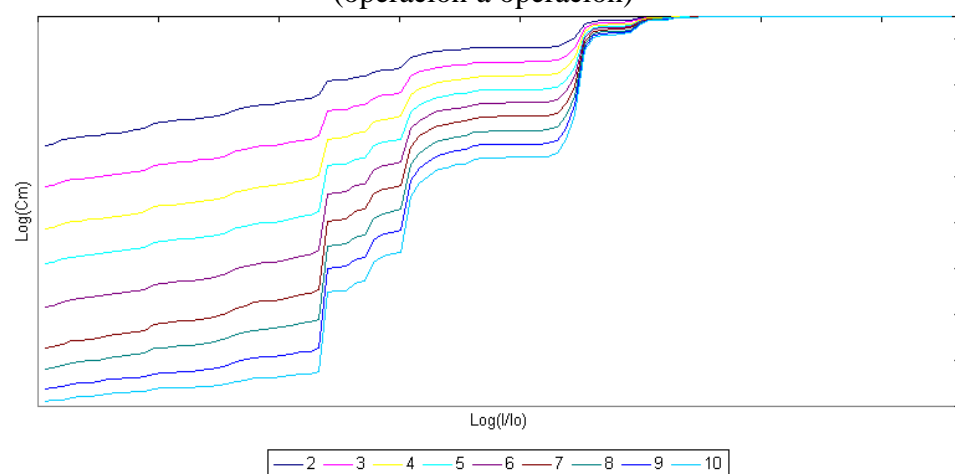


Figura A.258: Integral de correlación (ordenadas) respecto a la precisión l (abcisas) de la serie de residuos del modelo ARIMA sobre los rendimientos del contrato de Futuro sobre el Bono con vencimiento en septiembre 1998 (operación a operación)

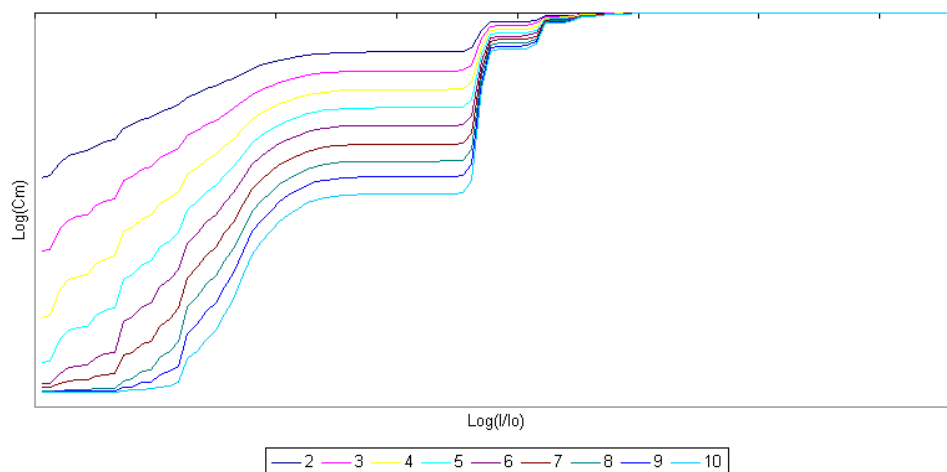


Figura A.259: Integral de correlación (ordenadas) respecto a la precisión l (abcisas) de la serie de residuos del modelo ARIMA sobre los rendimientos del contrato de Futuro sobre el Bono con vencimiento en diciembre 1998 (operación a operación)

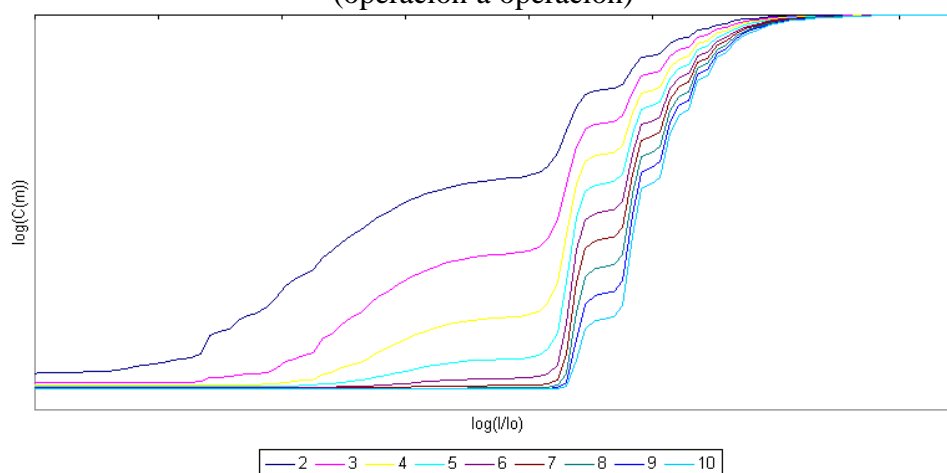


Figura A.260: Integral de correlación (ordenadas) respecto a la precisión l (abcisas) de la serie de residuos del modelo ARIMA sobre los rendimientos del contrato de Futuro sobre el Bono con vencimiento en marzo 1998 (cinco minutos)

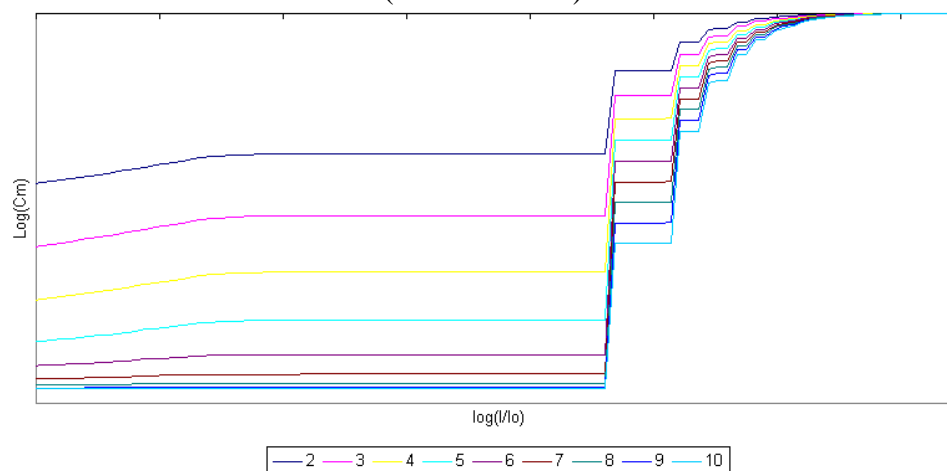


Figura A.261: Integral de correlación (ordenadas) respecto a la precisión l (abcisas) de la serie de residuos del modelo ARIMA sobre los rendimientos del contrato de Futuro sobre el Bono con vencimiento en junio 1998 (cinco minutos)

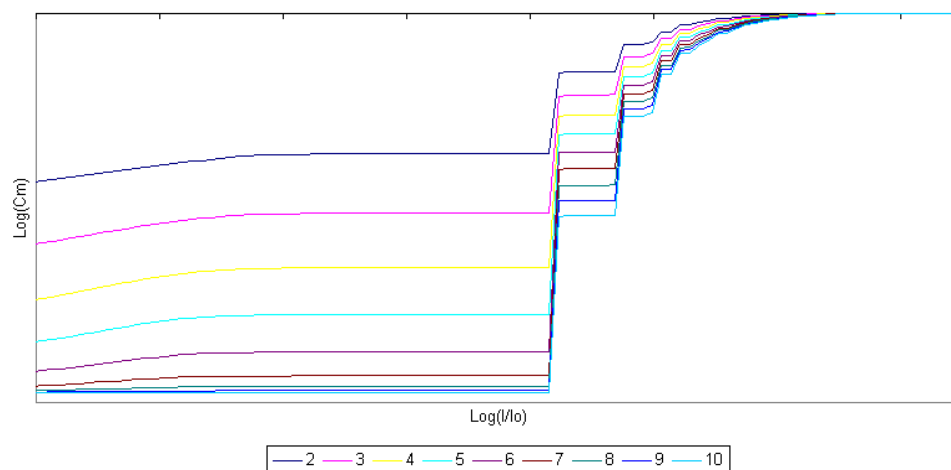


Figura A.262: Integral de correlación (ordenadas) respecto a la precisión l (abcisas) de la serie de residuos del modelo ARIMA sobre los rendimientos del contrato de Futuro sobre el Bono con vencimiento en septiembre 1998 (cinco minutos)

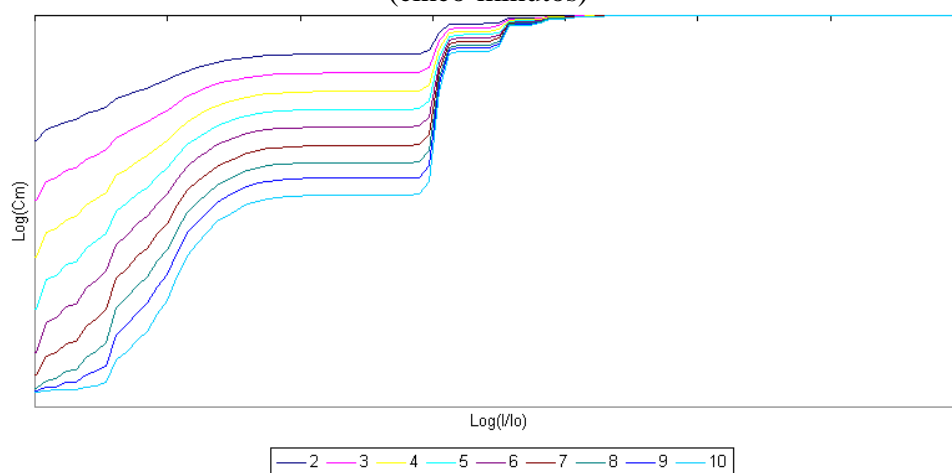


Figura A.263: Integral de correlación (ordenadas) respecto a la precisión l (abcisas) de la serie de residuos del modelo ARIMA sobre los rendimientos del contrato de Futuro sobre el Bono con vencimiento en diciembre 1998 (cinco minutos)

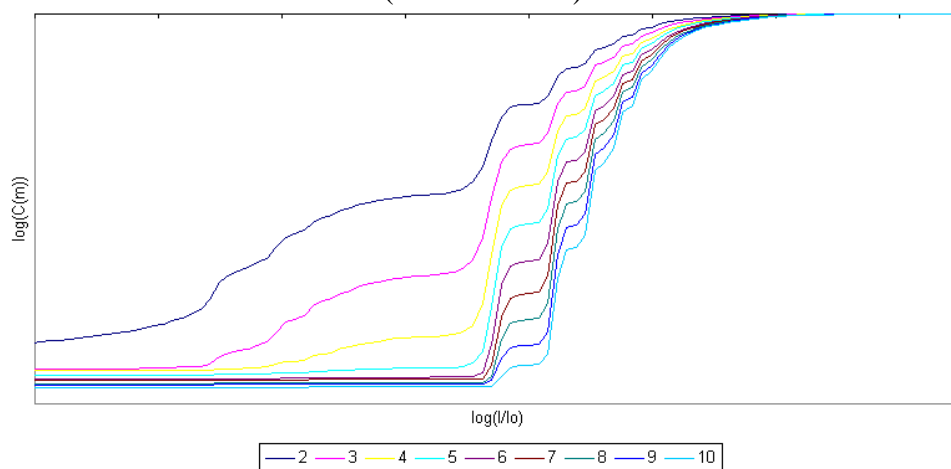


Figura A.264: Integral de correlación (ordenadas) respecto a la precisión l (abcisas) de la serie de residuos del modelo ARIMA con intervención sobre los rendimientos del contrato de Futuro sobre el Bono con vencimiento en diciembre 1998 (cinco minutos)

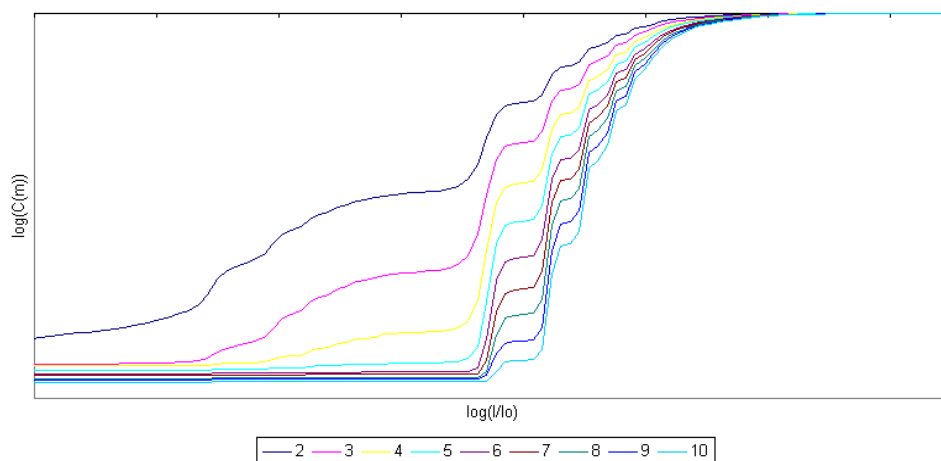


Figura A.265: Integral de correlación (ordenadas) respecto a la precisión l (abcisas) de la serie de residuos del modelo ARIMA con intervención sobre los rendimientos del contrato de Futuro sobre el Bono con vencimiento en diciembre 1998 (cinco minutos)

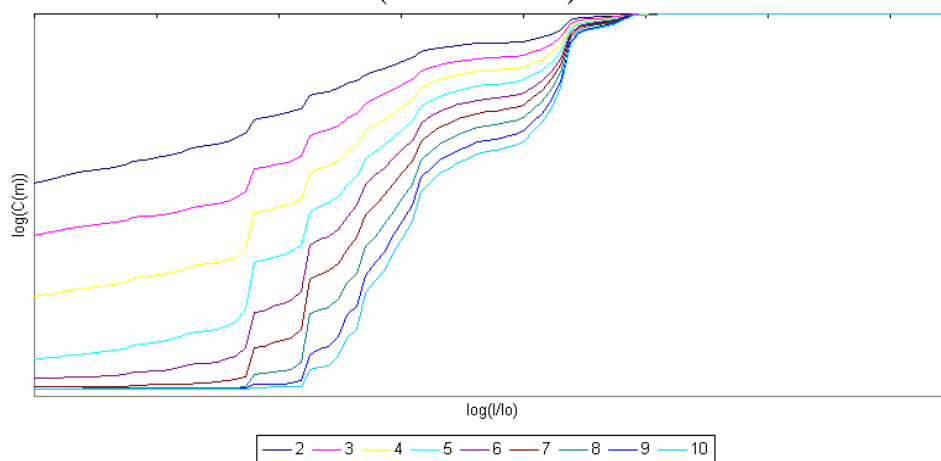


Figura A.266: Integral de correlación (ordenadas) respecto a la precisión l (abcisas) de la serie de residuos del modelo GARCH-M sobre los rendimientos del contrato de Futuro sobre el Bono con vencimiento en marzo 1998 (operación a operación)

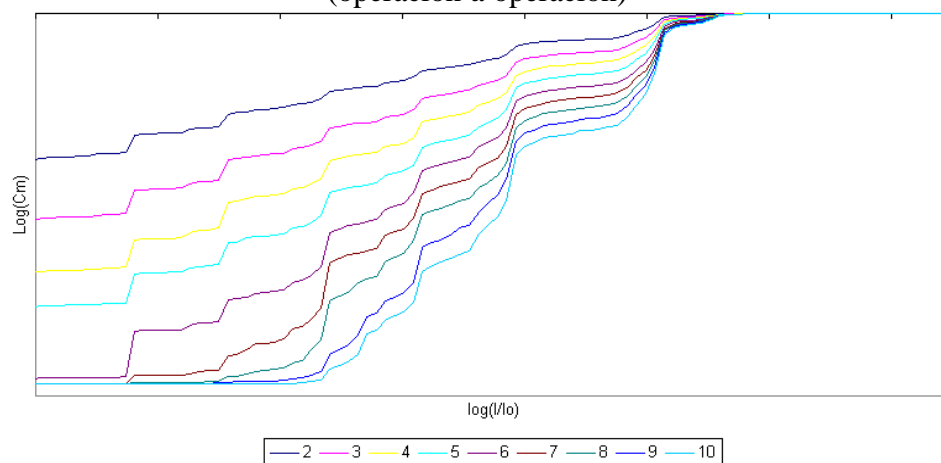


Figura A.267: Integral de correlación (ordenadas) respecto a la precisión l (abcisas) de la serie de residuos del modelo GARCH-M sobre los rendimientos del contrato de Futuro sobre el Bono con vencimiento en junio 1998 (operación a operación)

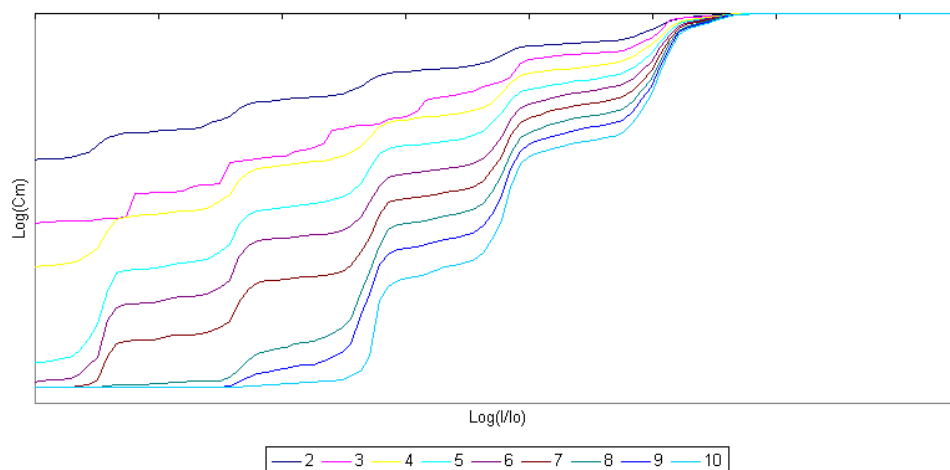


Figura A.268: Integral de correlación (ordenadas) respecto a la precisión l (abcisas) de la serie de residuos del modelo GARCH-M sobre los rendimientos del contrato de Futuro sobre el Bono con vencimiento en septiembre 1998 (operación a operación)

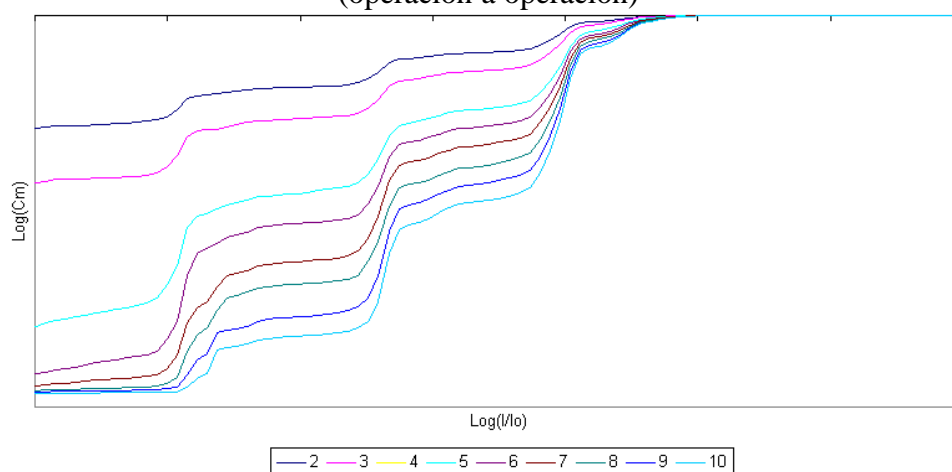


Figura A.269: Integral de correlación (ordenadas) respecto a la precisión l (abcisas) de la serie de residuos del modelo GARCH-M sobre los rendimientos del contrato de Futuro sobre el Bono con vencimiento en diciembre 1998 (operación a operación)

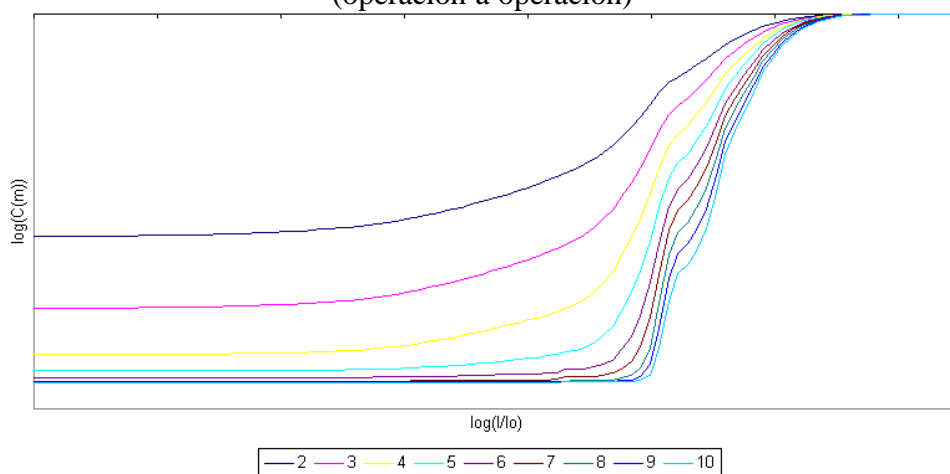


Figura A.270: Integral de correlación (ordenadas) respecto a la precisión l (abcisas) de la serie de residuos del modelo GARCH sobre los rendimientos del contrato de Futuro sobre el Bono con vencimiento en marzo 1998 (cinco minutos)

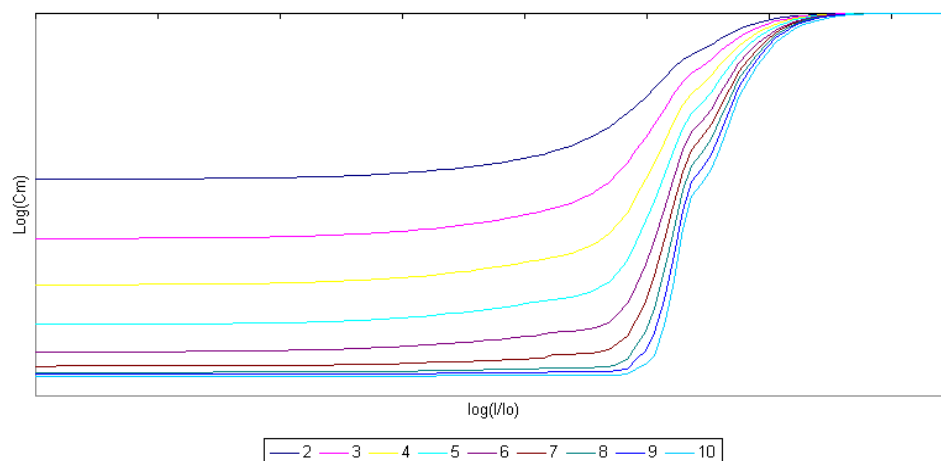


Figura A.271: Integral de correlación (ordenadas) respecto a la precisión l (abcisas) de la serie de residuos del modelo GARCH sobre los rendimientos del contrato de Futuro sobre el Bono con vencimiento en junio 1998 (cinco minutos)

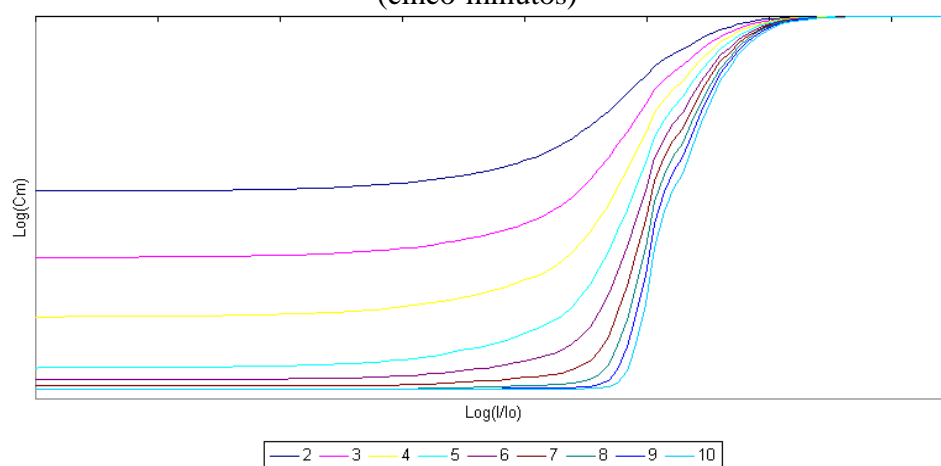


Figura A.272: Integral de correlación (ordenadas) respecto a la precisión l (abcisas) de la serie de residuos del modelo GARCH sobre los rendimientos del contrato de Futuro sobre el Bono con vencimiento en septiembre 1998 (cinco minutos)

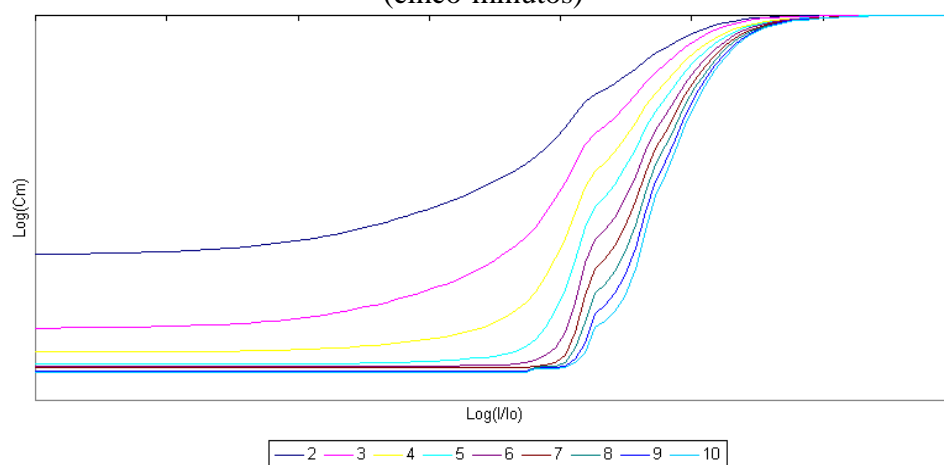


Figura A.273: Integral de correlación (ordenadas) respecto a la precisión l (abcisas) de la serie de residuos del modelo GARCH-M sobre los rendimientos del contrato de Futuro sobre el Bono con vencimiento en diciembre 1998 (cinco minutos)

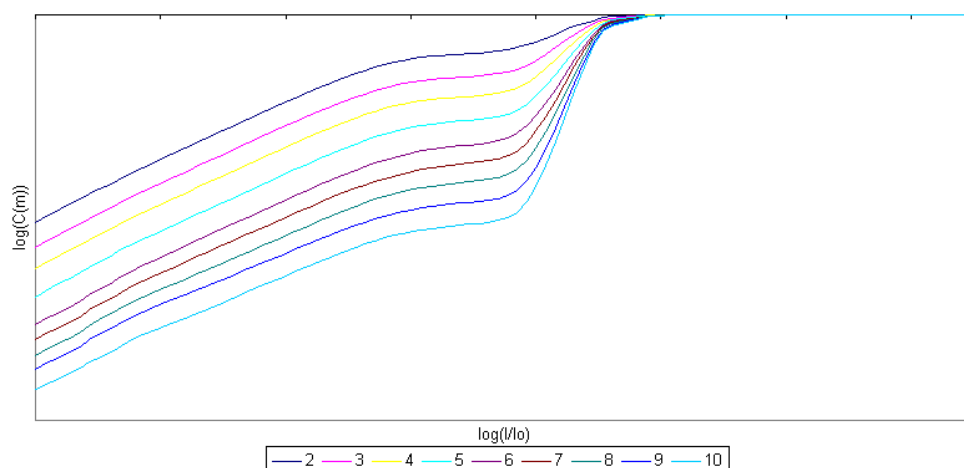


Figura A.274: Integral de correlación (ordenadas) respecto a la precisión l (abcisas) de la serie de residuos del modelo EGARCH sobre los rendimientos del contrato de Futuro sobre el Bono con vencimiento en marzo 1998 (operación a operación)

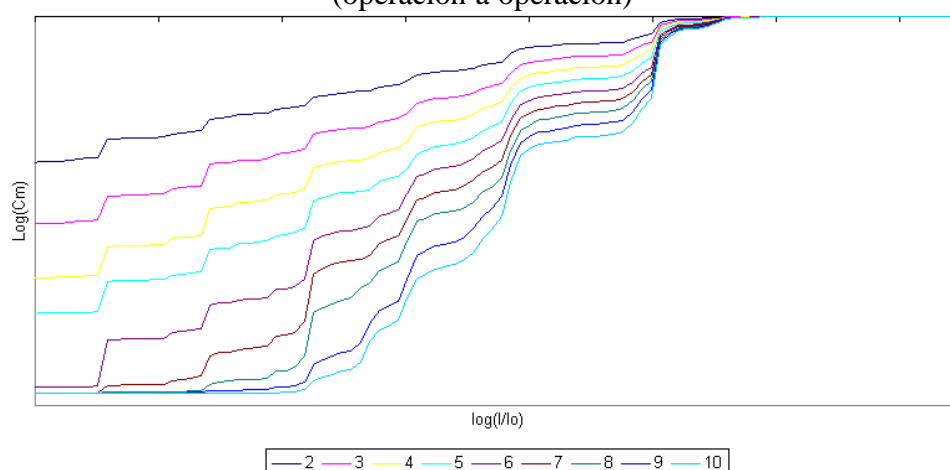


Figura A.275: Integral de correlación (ordenadas) respecto a la precisión l (abcisas) de la serie de residuos del modelo EGARCH sobre los rendimientos del contrato de Futuro sobre el Bono con vencimiento en junio 1998 (operación a operación)

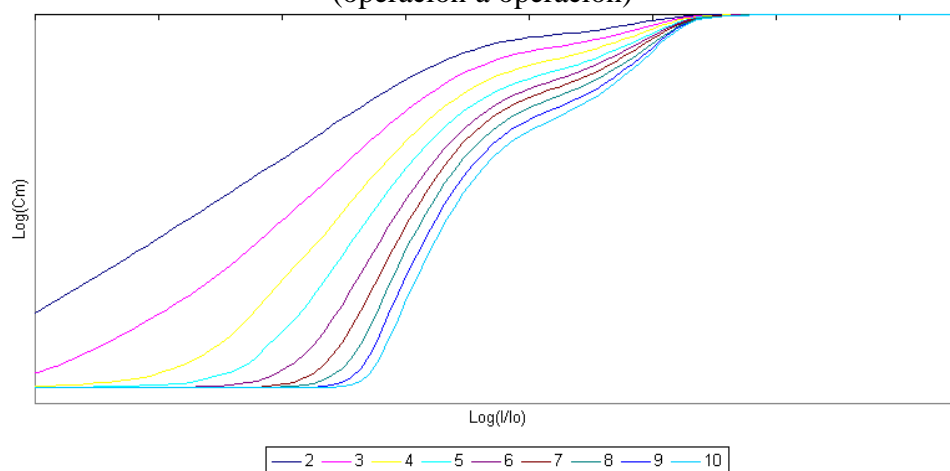


Figura A.276: Integral de correlación (ordenadas) respecto a la precisión l (abcisas) de la serie de residuos del modelo EGARCH sobre los rendimientos del contrato de Futuro sobre el Bono con vencimiento en septiembre 1998 (operación a operación)

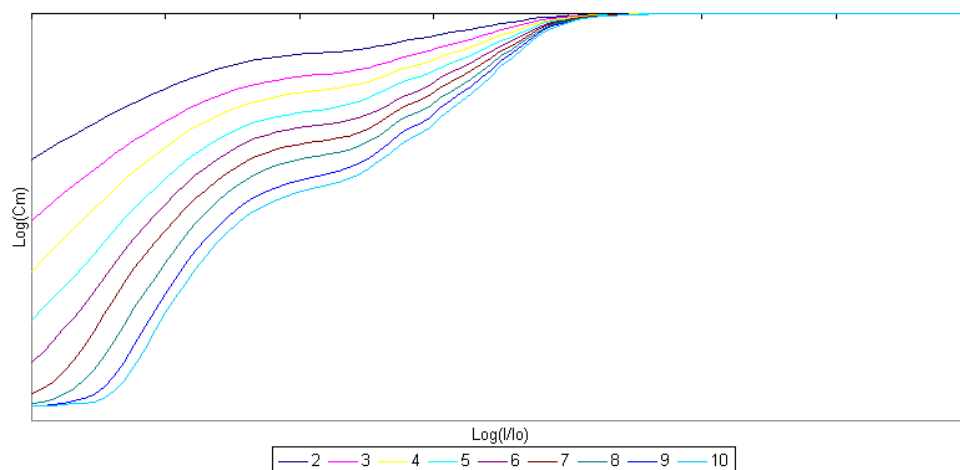


Figura A.277: Integral de correlación (ordenadas) respecto a la precisión l (abcisas) de la serie de residuos del modelo EGARCH sobre los rendimientos del contrato de Futuro sobre el Bono con vencimiento en diciembre 1998 (operación a operación)

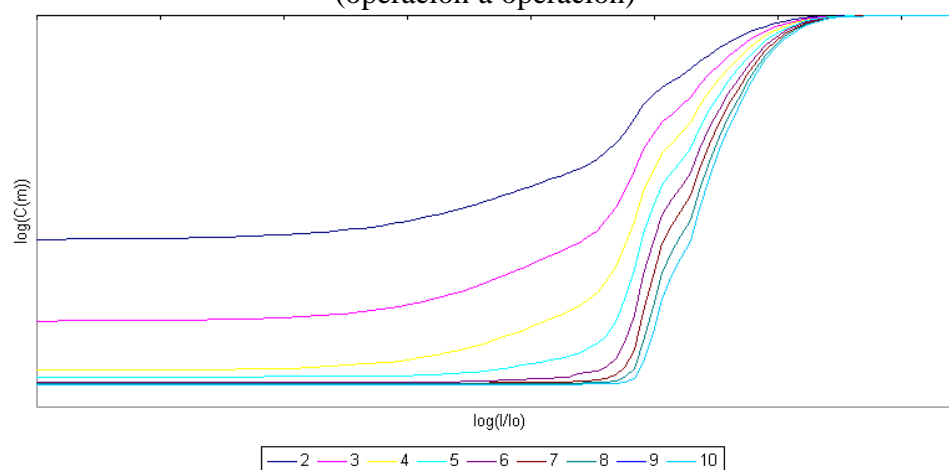


Figura A.278: Integral de correlación (ordenadas) respecto a la precisión l (abcisas) de la serie de residuos del modelo EGARCH sobre los rendimientos del contrato de Futuro sobre el Bono con vencimiento en marzo 1998 (cinco minutos)

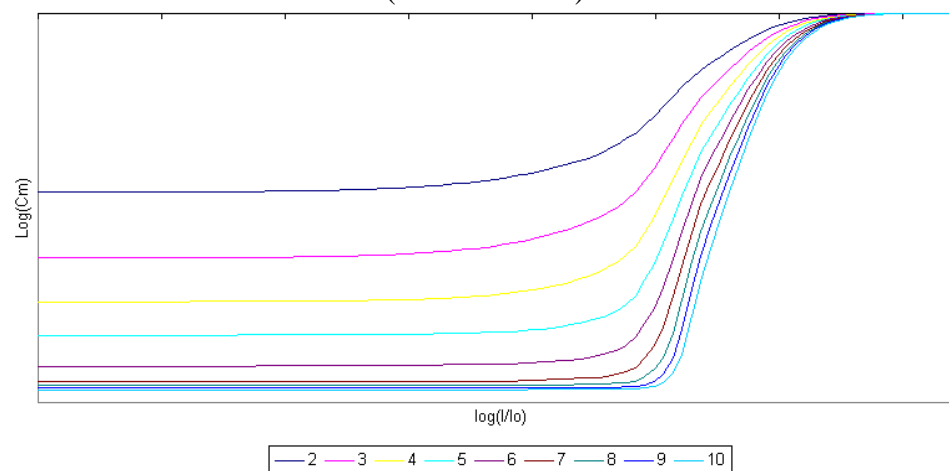


Figura A.279: Integral de correlación (ordenadas) respecto a la precisión l (abcisas) de la serie de residuos del modelo EGARCH sobre los rendimientos del contrato de Futuro sobre el Bono con vencimiento en junio 1998 (cinco minutos)

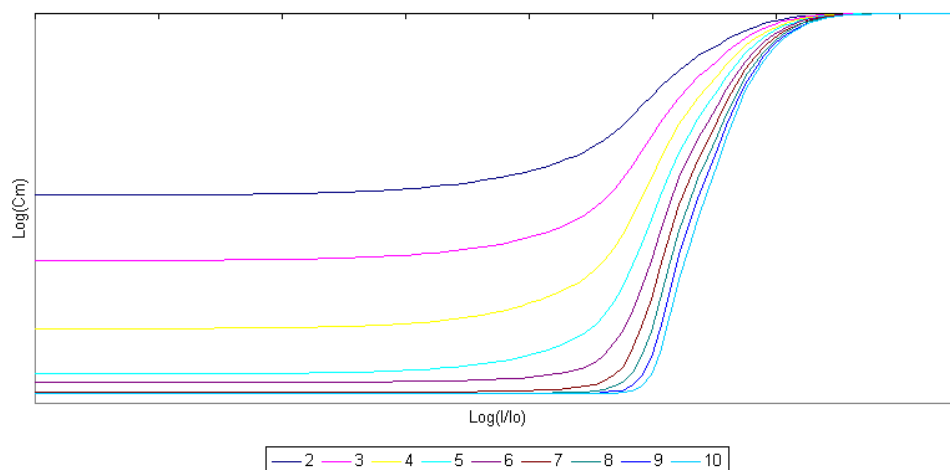


Figura A.280: Integral de correlación (ordenadas) respecto a la precisión l (abcisas) de la serie de residuos del modelo EGARCH sobre los rendimientos del contrato de Futuro sobre el Bono con vencimiento en septiembre 1998 (cinco minutos)

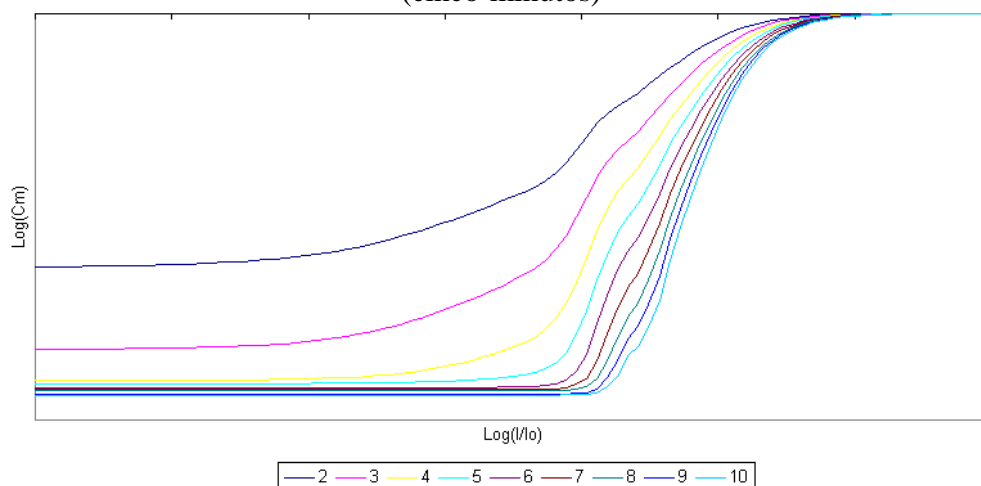


Figura A.281: Integral de correlación (ordenadas) respecto a la precisión l (abcisas) de la serie de residuos del modelo EGARCH sobre los rendimientos del contrato de Futuro sobre el Bono con vencimiento en diciembre 1998 (cinco minutos)

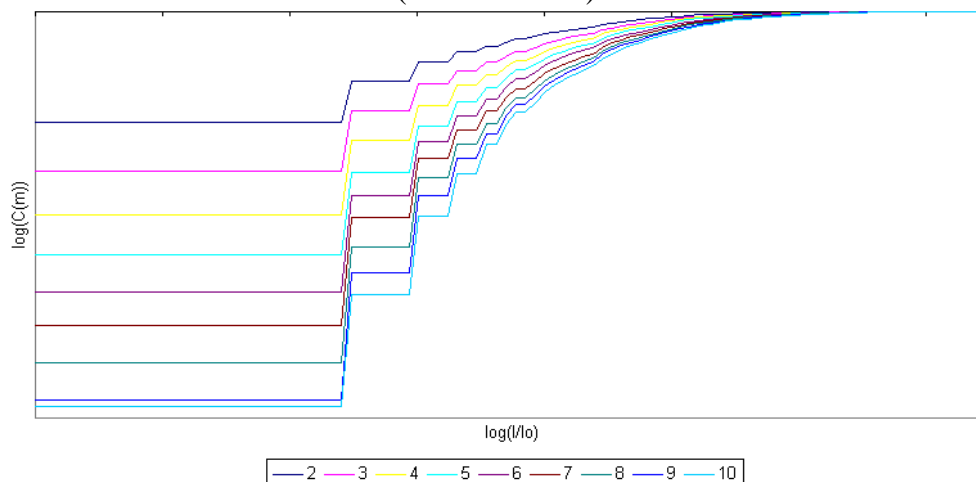


Figura A.282: Integral de correlación (ordenadas) respecto a la precisión l (abcisas) de la serie de duración de operaciones del contrato de Futuro sobre el Bono con vencimiento en marzo 1998

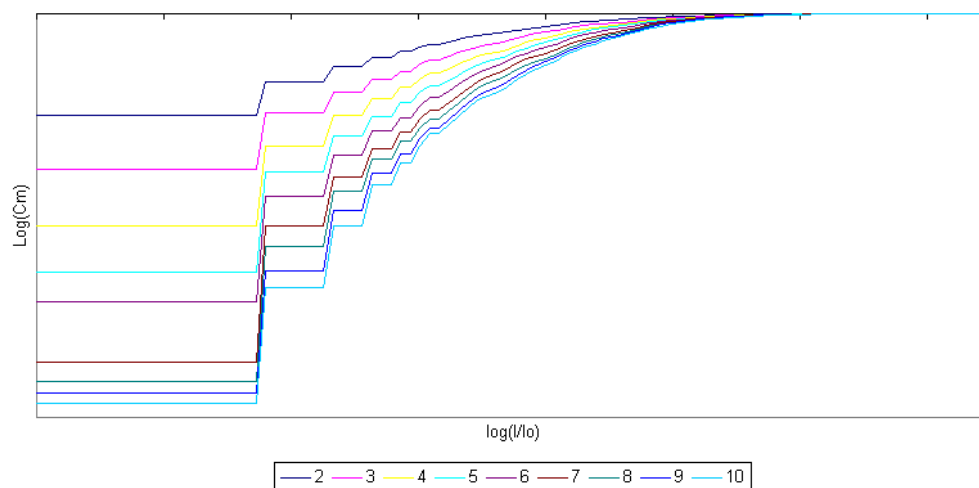


Figura A.283: Integral de correlación (ordenadas) respecto a la precisión l (abcisas) de la serie de duración de operaciones del contrato de Futuro sobre el Bono con vencimiento en junio 1998

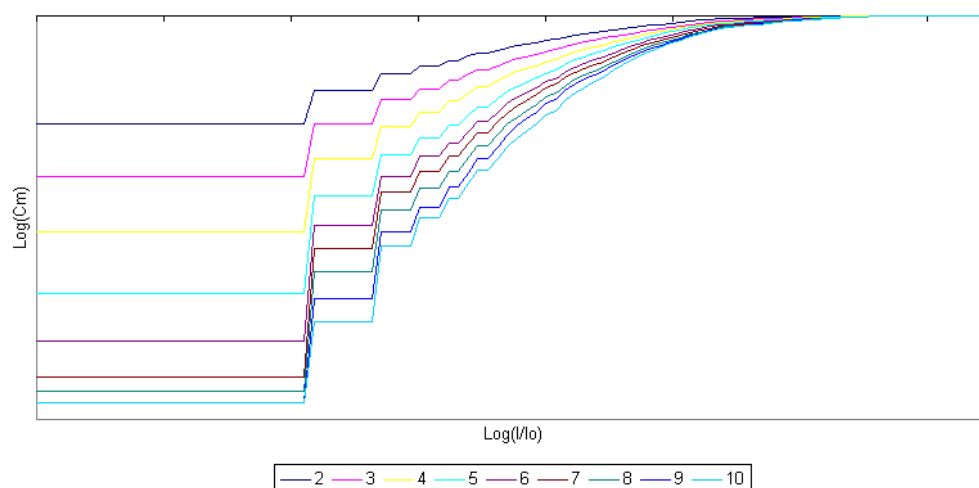


Figura A.284: Integral de correlación (ordenadas) respecto a la precisión l (abcisas) de la serie de duración de operaciones del contrato de Futuro sobre el Bono con vencimiento en septiembre 1998

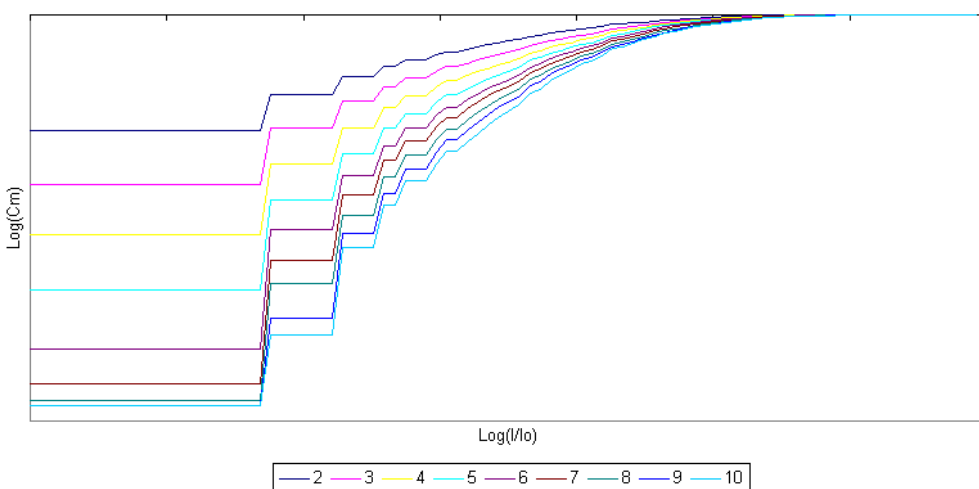


Figura A.285: Integral de correlación (ordenadas) respecto a la precisión l (abcisas) de la serie de duración de operaciones del contrato de Futuro sobre el Bono con vencimiento en diciembre 1998

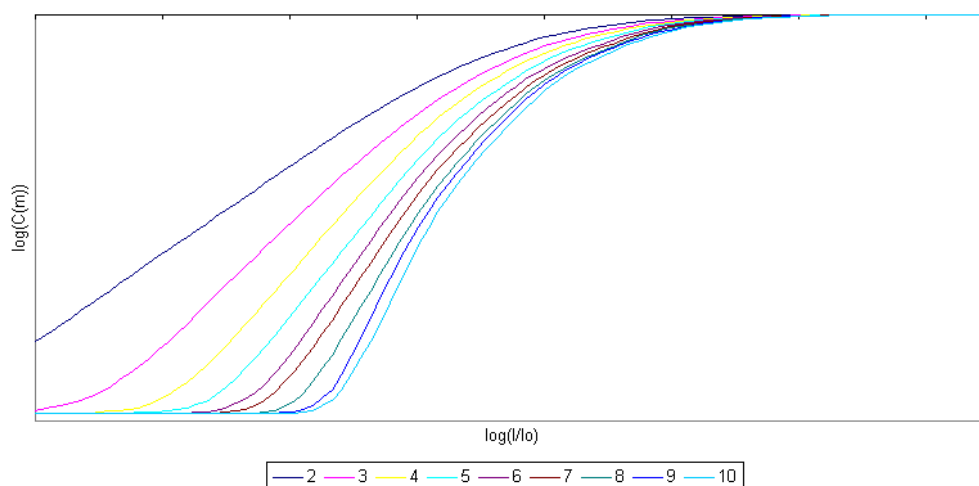


Figura A.286: Integral de correlación (ordenadas) respecto a la precisión l (abcisas) de la serie diferenciada fraccionalmente de las duraciones de operaciones del contrato de Futuro sobre el Bono con vencimiento en marzo 1998

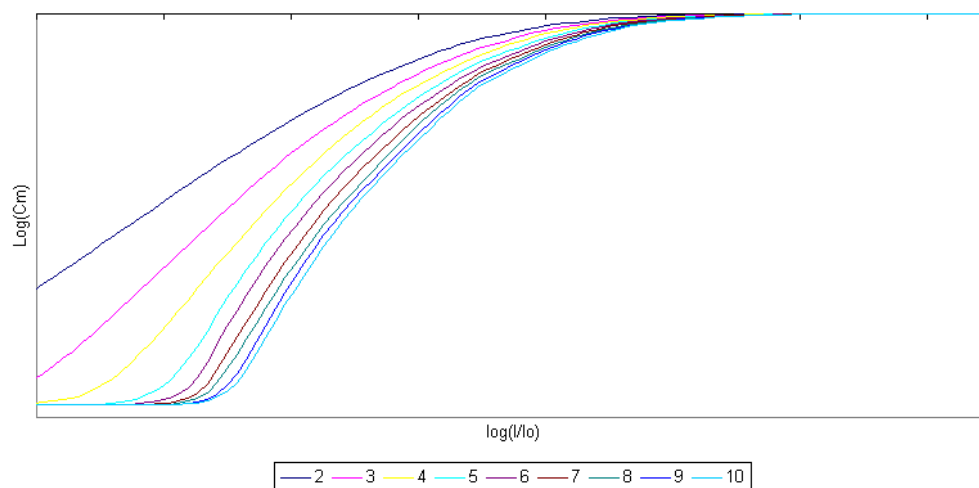


Figura A.287: Integral de correlación (ordenadas) respecto a la precisión l (abcisas) de la serie diferenciada fraccionalmente de las duraciones de operaciones del contrato de Futuro sobre el Bono con vencimiento en junio 1998

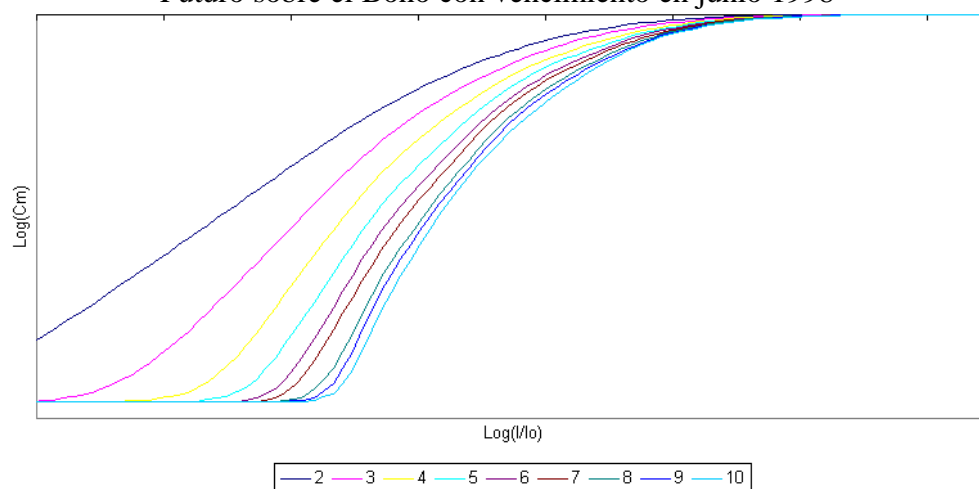


Figura A.288: Integral de correlación (ordenadas) respecto a la precisión l (abcisas) de la serie diferenciada fraccionalmente de las duraciones de operaciones del contrato de Futuro sobre el Bono con vencimiento en septiembre 1998

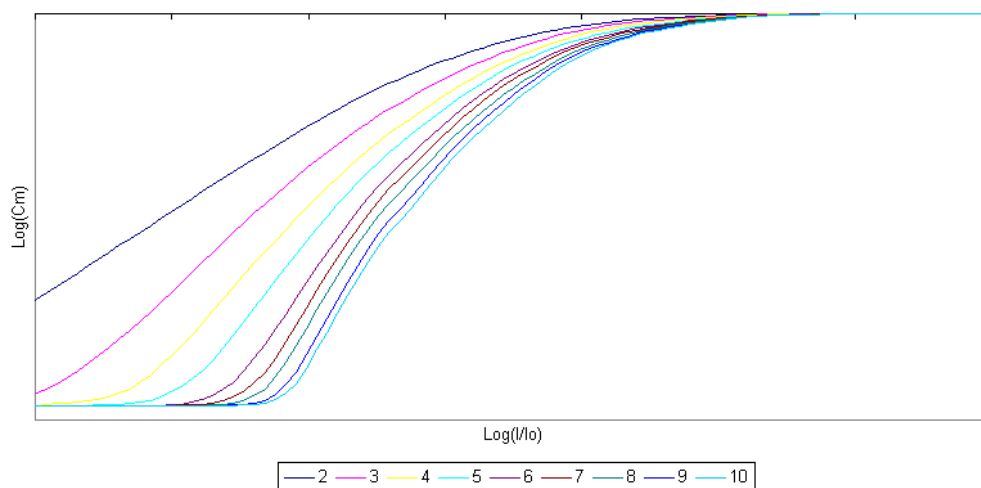


Figura A.289: Integral de correlación (ordenadas) respecto a la precisión l (abcisas) de la serie diferenciada fraccionalmente de las duraciones de operaciones del contrato de Futuro sobre el Bono con vencimiento en diciembre 1998

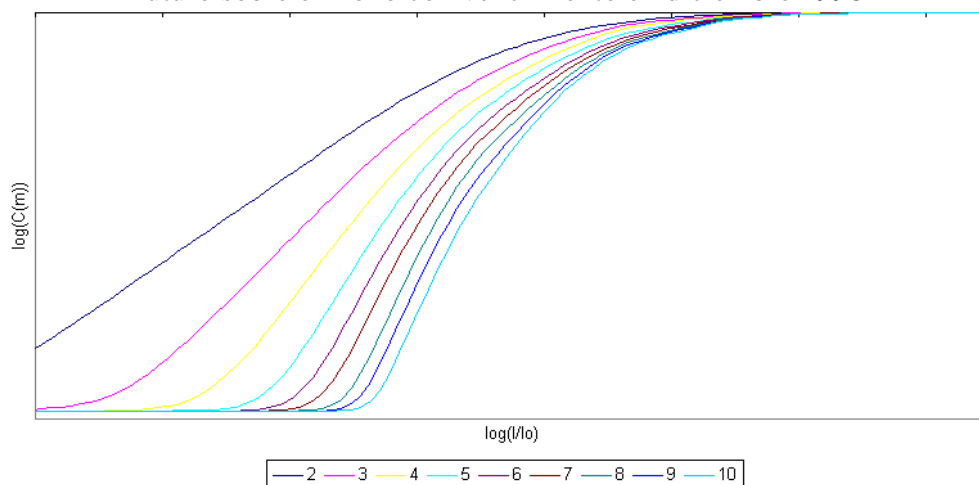


Figura A.290: Integral de correlación (ordenadas) respecto a la precisión l (abcisas) de la serie de residuos del modelo ARFIMA sobre la serie de duración de operaciones del contrato de Futuro sobre el Bono con vencimiento en marzo 1998

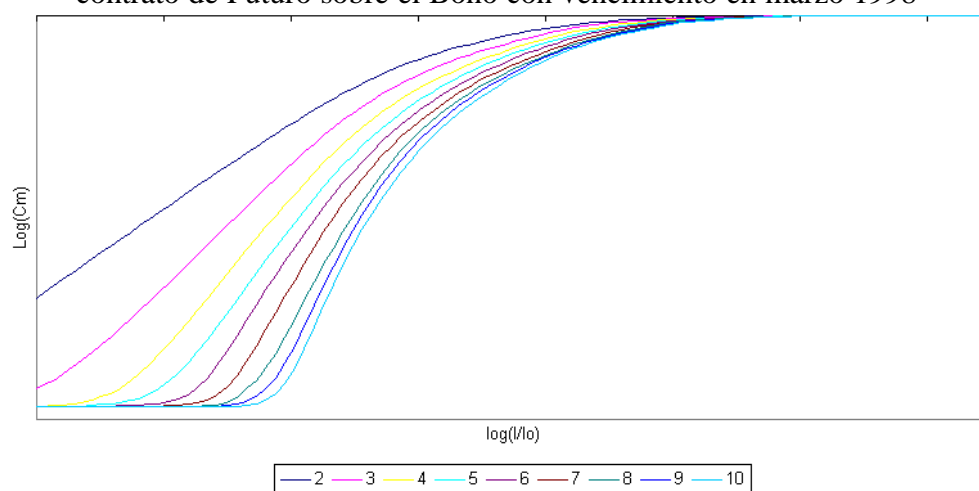


Figura A.291: Integral de correlación (ordenadas) respecto a la precisión l (abcisas) de la serie de residuos del modelo ARFIMA sobre la serie de duración de operaciones del contrato de Futuro sobre el Bono con vencimiento en junio 1998

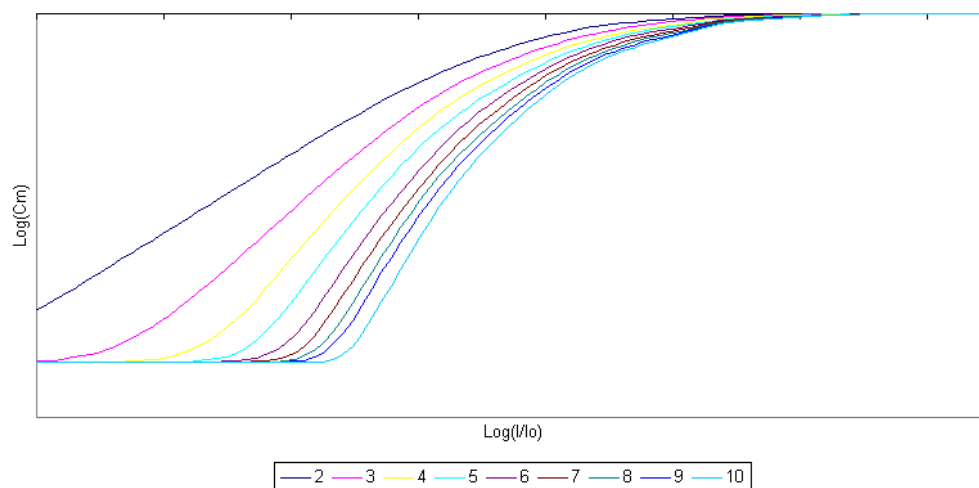


Figura A.292: Integral de correlación (ordenadas) respecto a la precisión l (abcisas) de la serie de residuos del modelo ARFIMA sobre la serie de duración de operaciones del contrato de Futuro sobre el Bono con vencimiento en septiembre 1998

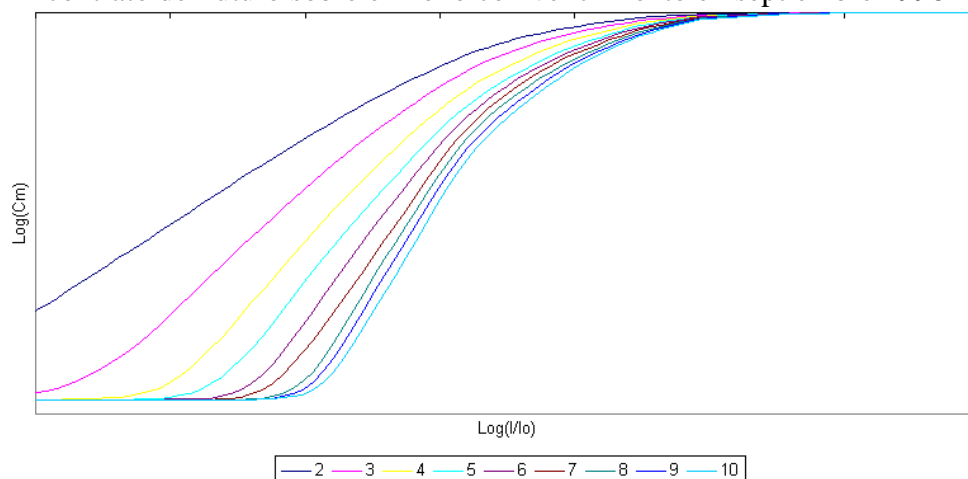


Figura A.293: Integral de correlación (ordenadas) respecto a la precisión l (abcisas) de la serie de residuos del modelo ARFIMA sobre la serie de duración de operaciones del contrato de Futuro sobre el Bono con vencimiento en diciembre 1998

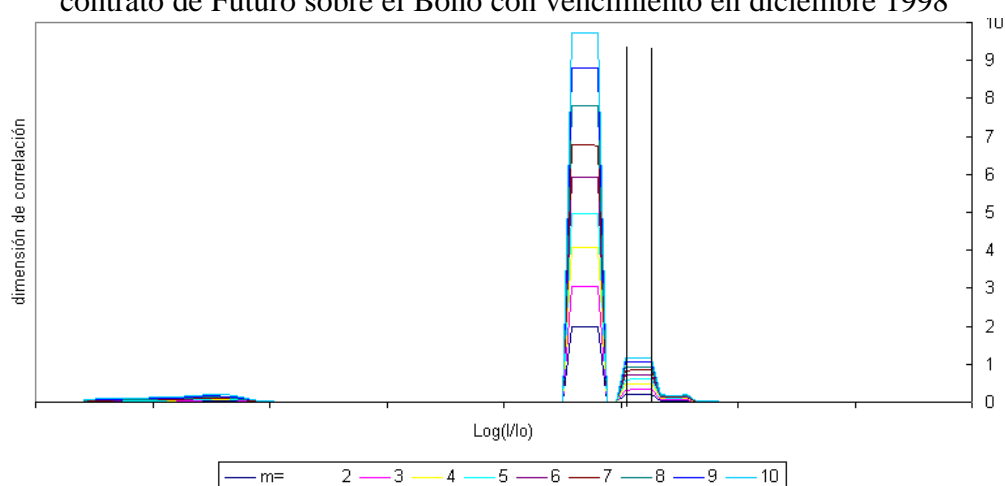


Figura A.294: Dimensión de correlación (ordenadas) respecto a la precisión l (abcisas) de la serie de rendimientos del contrato de Futuro sobre el Bono con vencimiento en marzo 1998 (operación a operación)

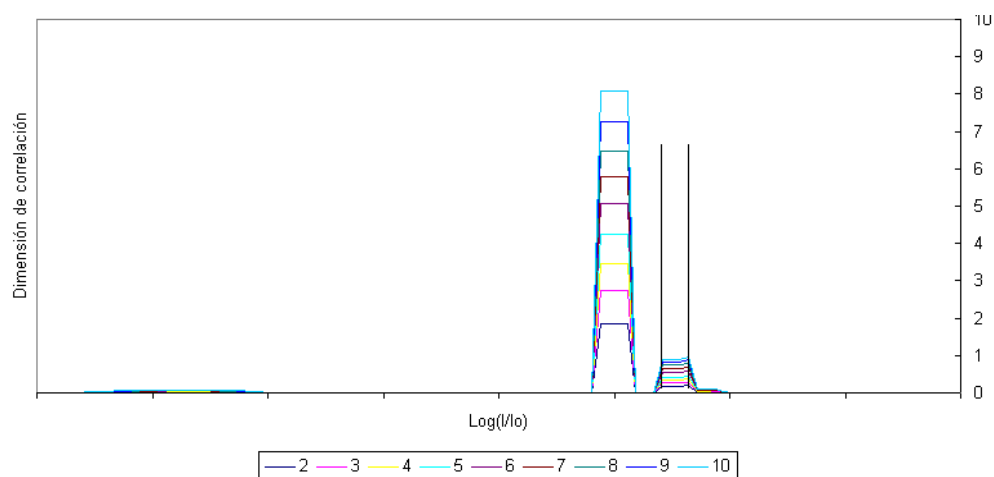


Figura A.295: Dimensión de correlación (ordenadas) respecto a la precisión l (abcisas) de la serie de rendimientos del contrato de Futuro sobre el Bono con vencimiento en junio 1998 (operación a operación)

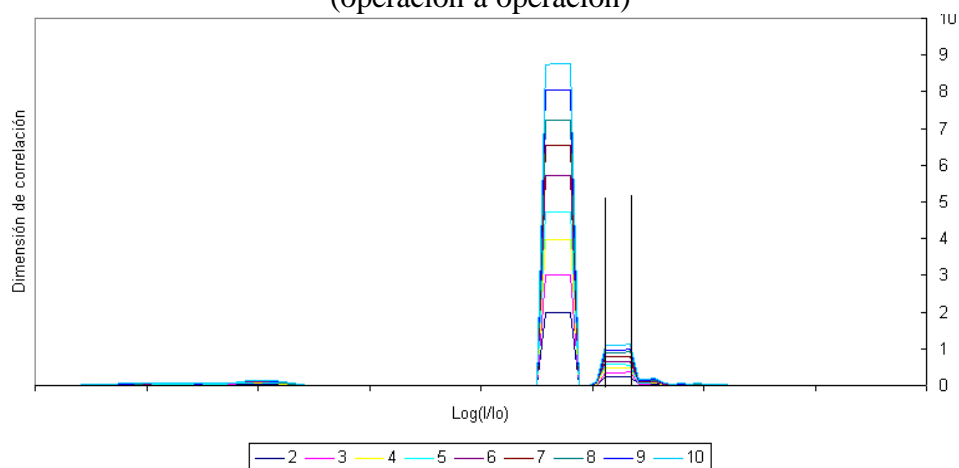


Figura A.296: Dimensión de correlación (ordenadas) respecto a la precisión l (abcisas) de la serie de rendimientos del contrato de Futuro sobre el Bono con vencimiento en septiembre 1998 (operación a operación)

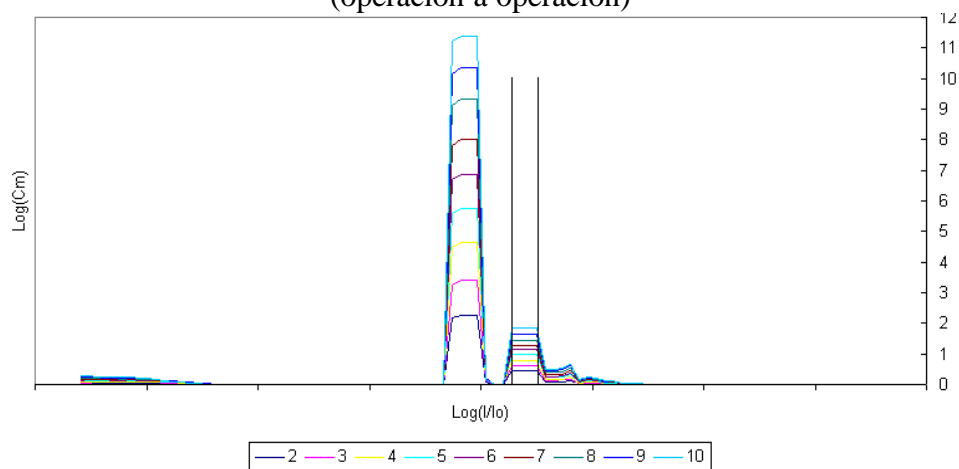


Figura A.297: Dimensión de correlación (ordenadas) respecto a la precisión l (abcisas) de la serie de rendimientos del contrato de Futuro sobre el Bono con vencimiento en diciembre 1998 (operación a operación)

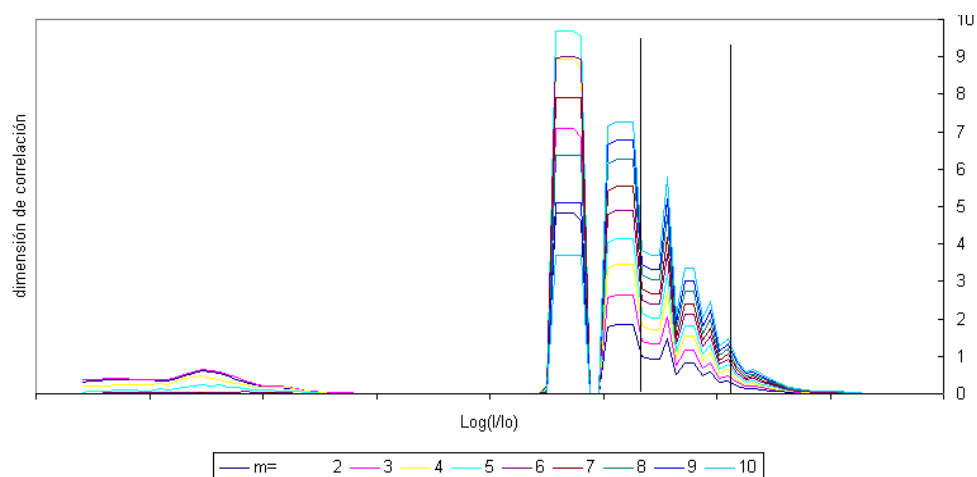


Figura A.298: Dimensión de correlación (ordenadas) respecto a la precisión l (abcisas) de la serie de rendimientos del contrato de Futuro sobre el Bono con vencimiento en marzo 1998 (cinco minutos)

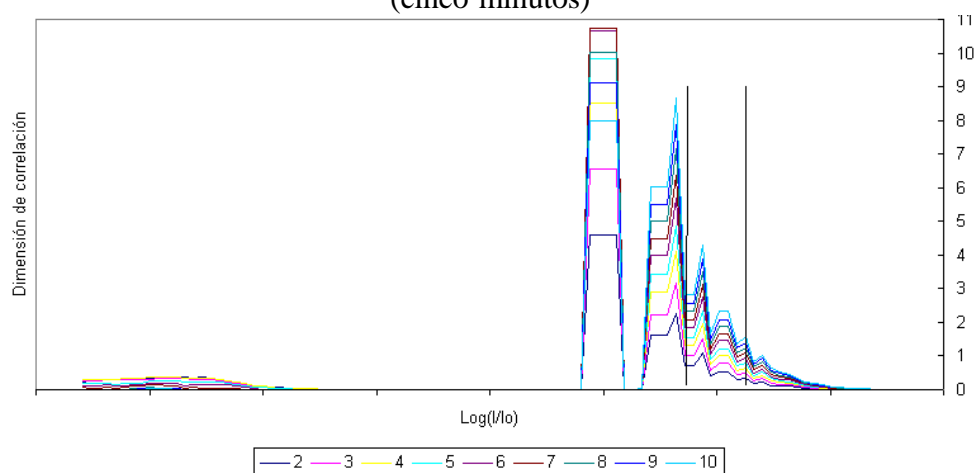


Figura A.299: Dimensión de correlación (ordenadas) respecto a la precisión l (abcisas) de la serie de rendimientos del contrato de Futuro sobre el Bono con vencimiento en junio 1998 (cinco minutos)

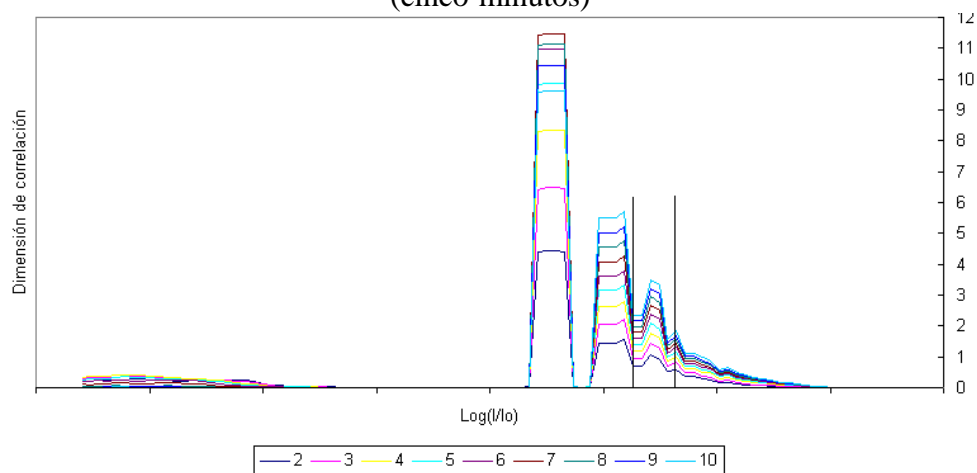


Figura A.300: Dimensión de correlación (ordenadas) respecto a la precisión l (abcisas) de la serie de rendimientos del contrato de Futuro sobre el Bono con vencimiento en septiembre 1998 (cinco minutos)

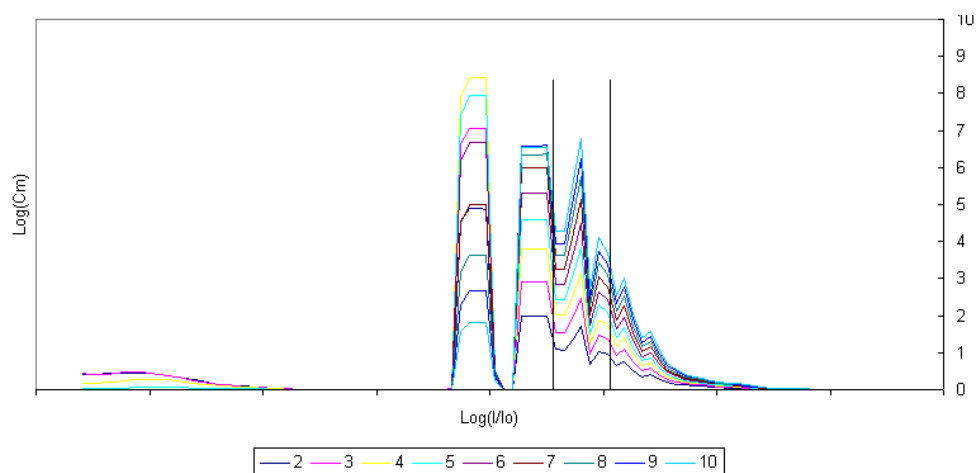


Figura A.301: Dimensión de correlación (ordenadas) respecto a la precisión l (abcisas) de la serie de rendimientos del contrato de Futuro sobre el Bono con vencimiento en diciembre 1998 (cinco minutos)

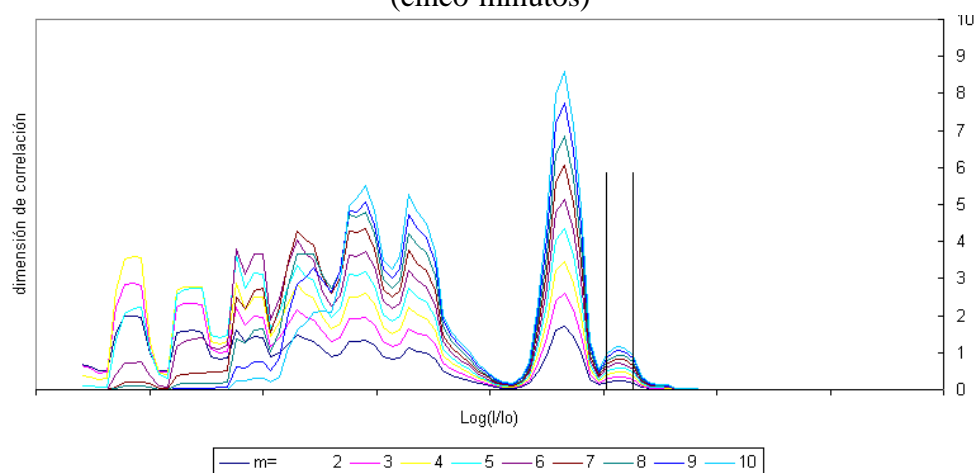


Figura A.302: Dimensión de correlación (ordenadas) respecto a la precisión l (abcisas) de la serie de residuos del modelo ARIMA sobre los rendimientos del contrato de Futuro sobre el Bono con vencimiento en marzo 1998 (operación a operación)

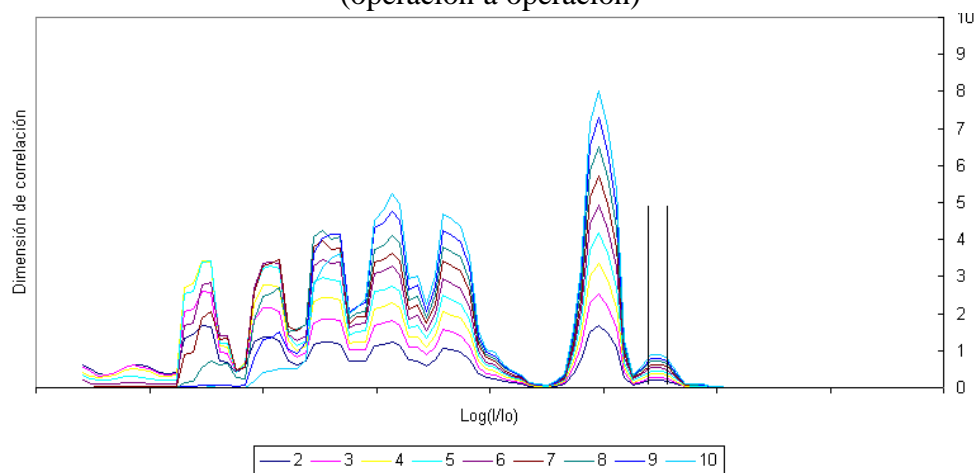


Figura A.303: Dimensión de correlación (ordenadas) respecto a la precisión l (abcisas) de la serie de residuos del modelo ARIMA sobre los rendimientos del contrato de Futuro sobre el Bono con vencimiento en junio 1998 (operación a operación)

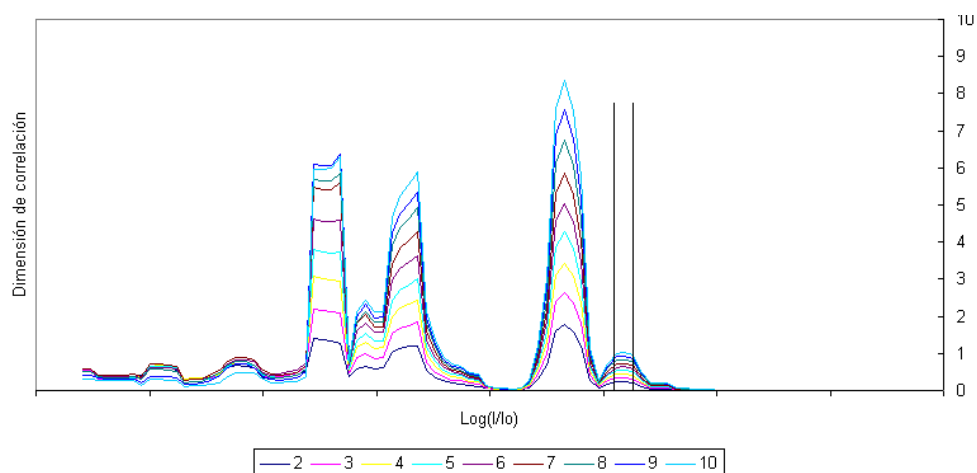


Figura A.304: Dimensión de correlación (ordenadas) respecto a la precisión l (abcisas) de la serie de residuos del modelo ARIMA sobre los rendimientos del contrato de Futuro sobre el Bono con vencimiento en septiembre 1998 (operación a operación)

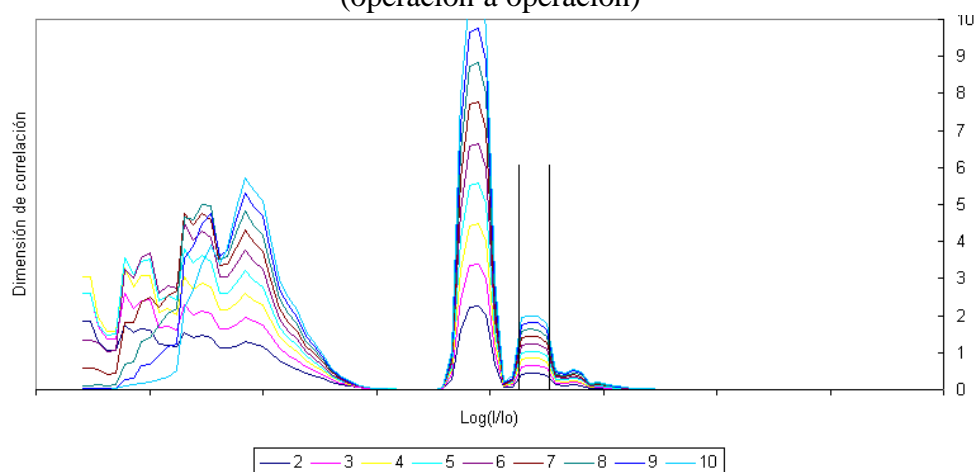


Figura A.305: Dimensión de correlación (ordenadas) respecto a la precisión l (abcisas) de la serie de residuos del modelo ARIMA sobre los rendimientos del contrato de Futuro sobre el Bono con vencimiento en diciembre 1998 (operación a operación)

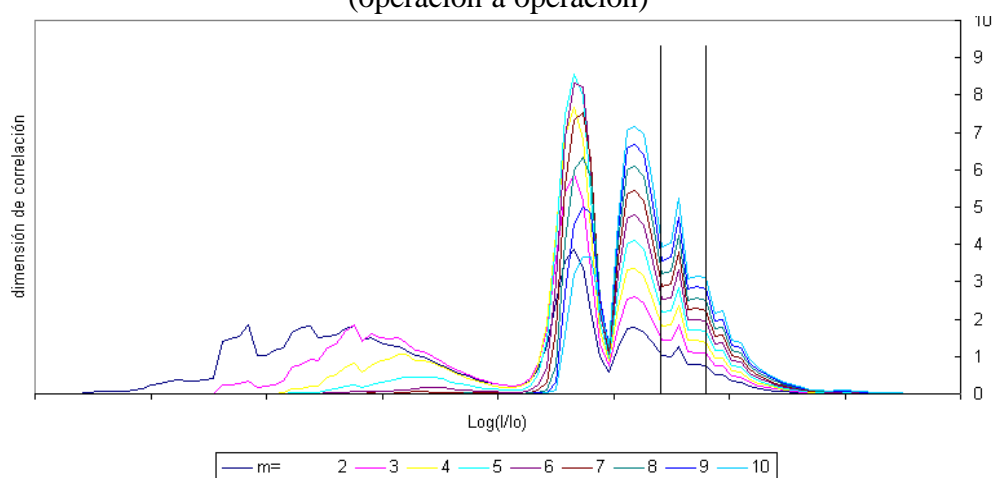


Figura A.306: Dimensión de correlación (ordenadas) respecto a la precisión l (abcisas) de la serie de residuos del modelo ARIMA sobre los rendimientos del contrato de Futuro sobre el Bono con vencimiento en marzo 1998 (cinco minutos)

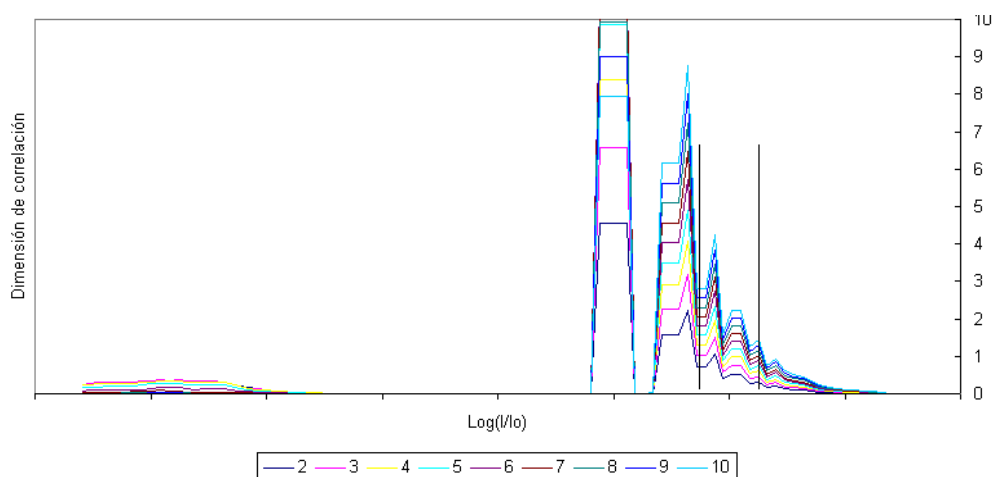


Figura A.307: Dimensión de correlación (ordenadas) respecto a la precisión l (abcisas) de la serie de residuos del modelo ARIMA sobre los rendimientos del contrato de Futuro sobre el Bono con vencimiento en junio 1998 (cinco minutos)

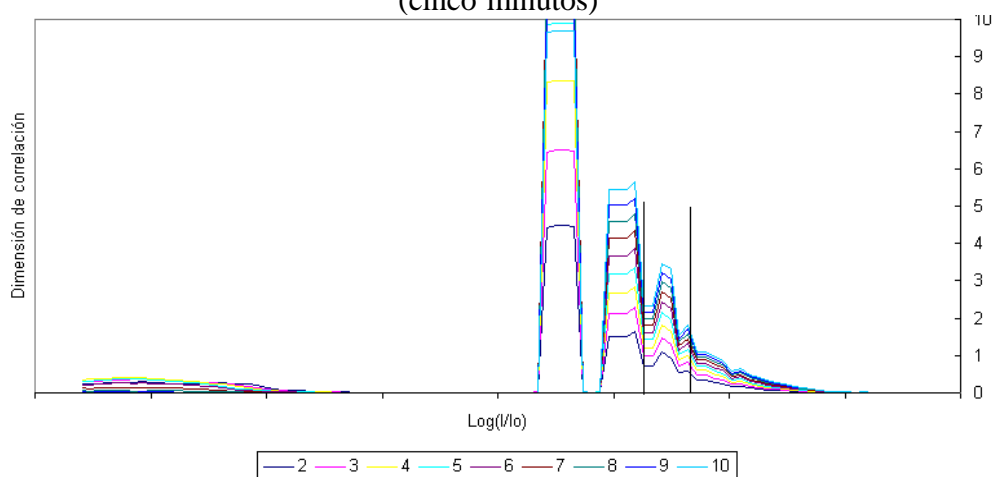


Figura A.308: Dimensión de correlación (ordenadas) respecto a la precisión l (abcisas) de la serie de residuos del modelo ARIMA sobre los rendimientos del contrato de Futuro sobre el Bono con vencimiento en septiembre 1998 (cinco minutos)

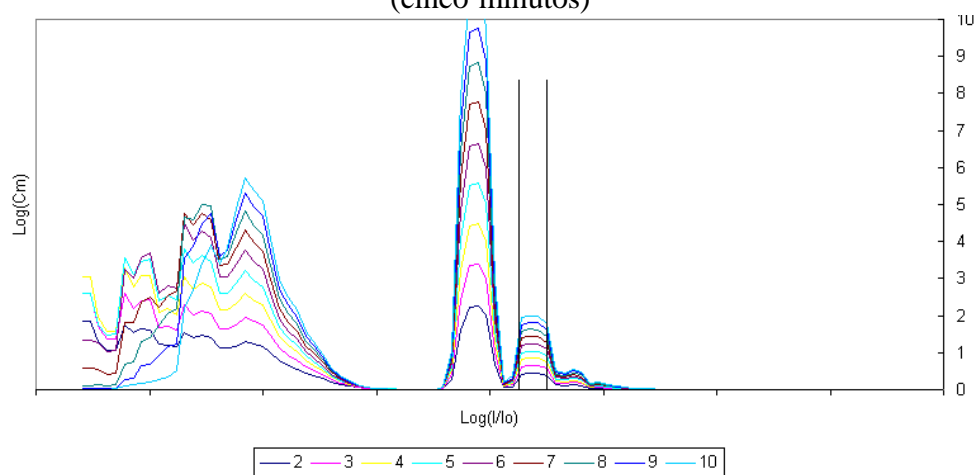


Figura A.309: Dimensión de correlación (ordenadas) respecto a la precisión l (abcisas) de la serie de residuos del modelo ARIMA sobre los rendimientos del contrato de Futuro sobre el Bono con vencimiento en diciembre 1998 (cinco minutos)

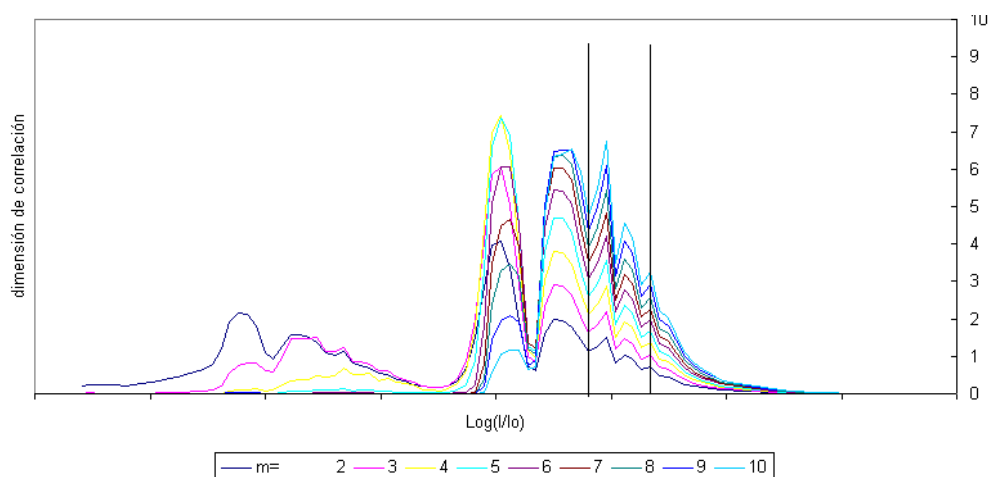


Figura A.310: Dimensión de correlación (ordenadas) respecto a la precisión l (abcisas) de la serie de residuos del modelo ARIMA con intervención sobre los rendimientos del contrato de Futuro sobre el Bono con vencimiento en diciembre 1998 (cinco minutos)

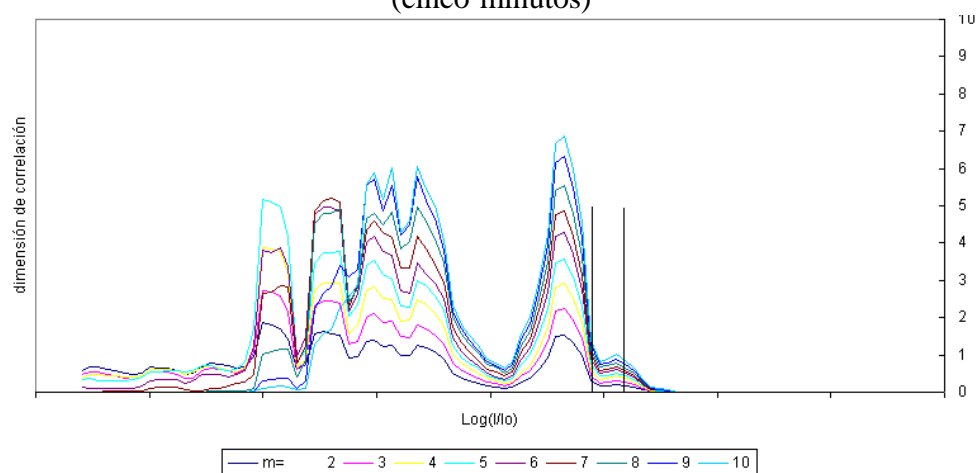


Figura A.311: Dimensión de correlación (ordenadas) respecto a la precisión l (abcisas) de la serie de residuos del modelo GARCH-M sobre los rendimientos del contrato de Futuro sobre el Bono con vencimiento en marzo 1998 (operación a operación)

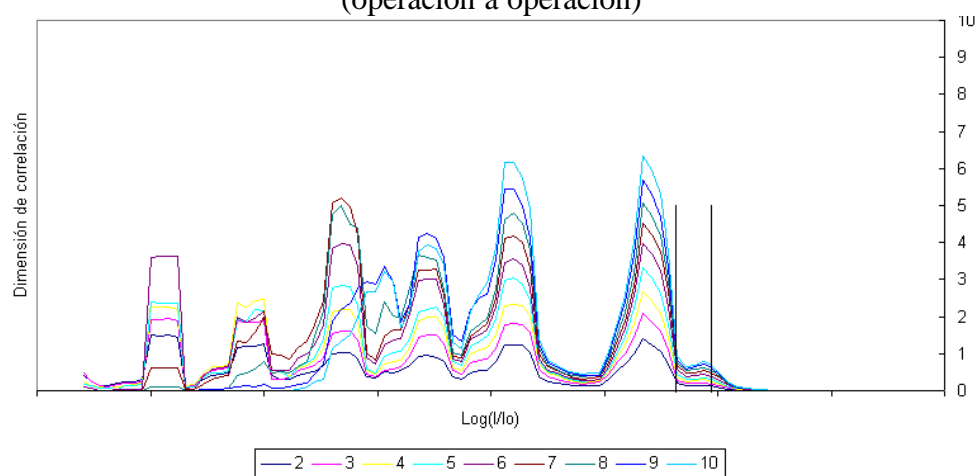


Figura A.312: Dimensión de correlación (ordenadas) respecto a la precisión l (abcisas) de la serie de residuos del modelo GARCH-M sobre los rendimientos del contrato de Futuro sobre el Bono con vencimiento en junio 1998 (operación a operación)

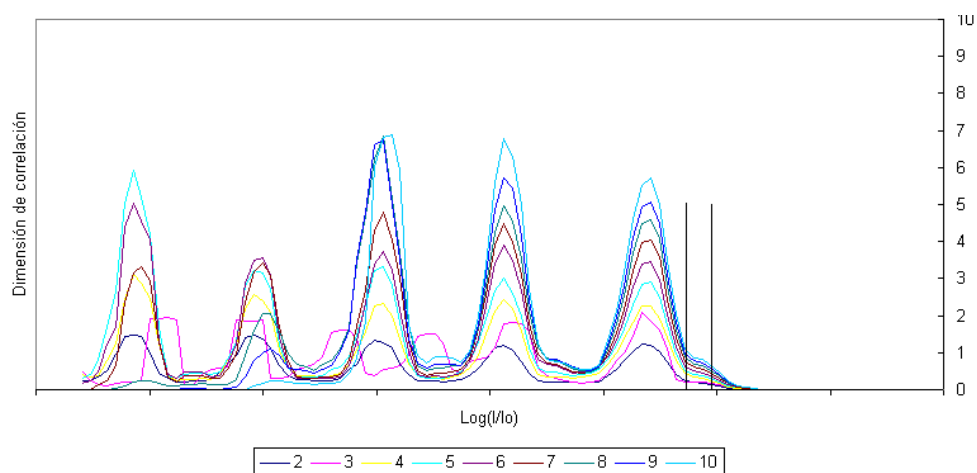


Figura A.313: Dimensión de correlación (ordenadas) respecto a la precisión l (abcisas) de la serie de residuos del modelo GARCH-M sobre los rendimientos del contrato de Futuro sobre el Bono con vencimiento en septiembre 1998 (operación a operación)

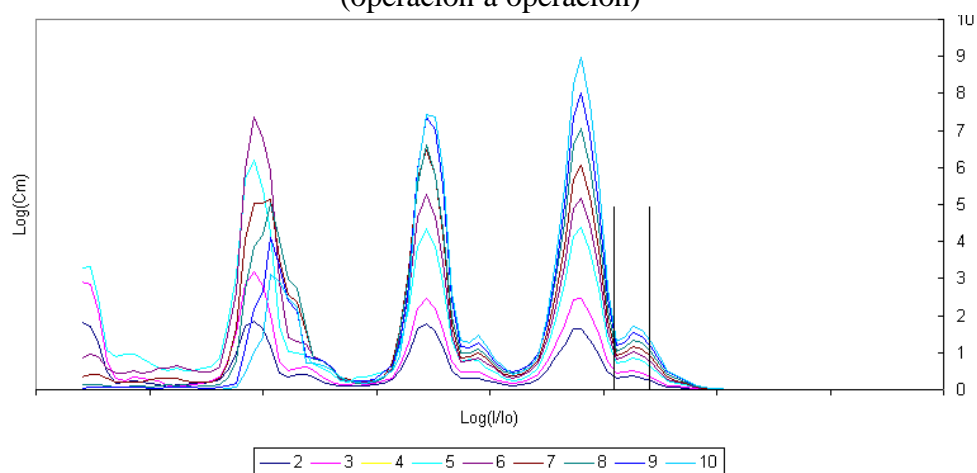


Figura A.314: Dimensión de correlación (ordenadas) respecto a la precisión l (abcisas) de la serie de residuos del modelo GARCH-M sobre los rendimientos del contrato de Futuro sobre el Bono con vencimiento en diciembre 1998 (operación a operación)

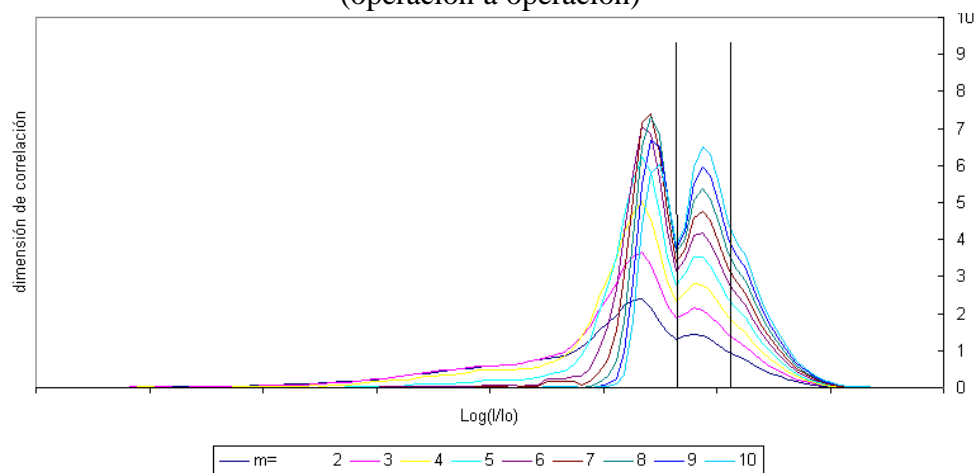


Figura A.315: Dimensión de correlación (ordenadas) respecto a la precisión l (abcisas) de la serie de residuos del modelo GARCH sobre los rendimientos del contrato de Futuro sobre el Bono con vencimiento en marzo 1998 (cinco minutos)

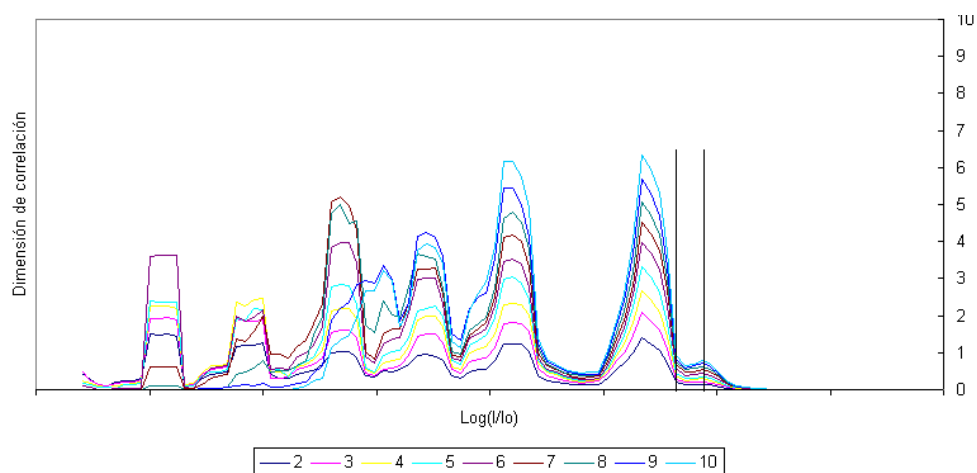


Figura A.316: Dimensión de correlación (ordenadas) respecto a la precisión l (abcisas) de la serie de residuos del modelo GARCH sobre los rendimientos del contrato de Futuro sobre el Bono con vencimiento en junio 1998 (cinco minutos)

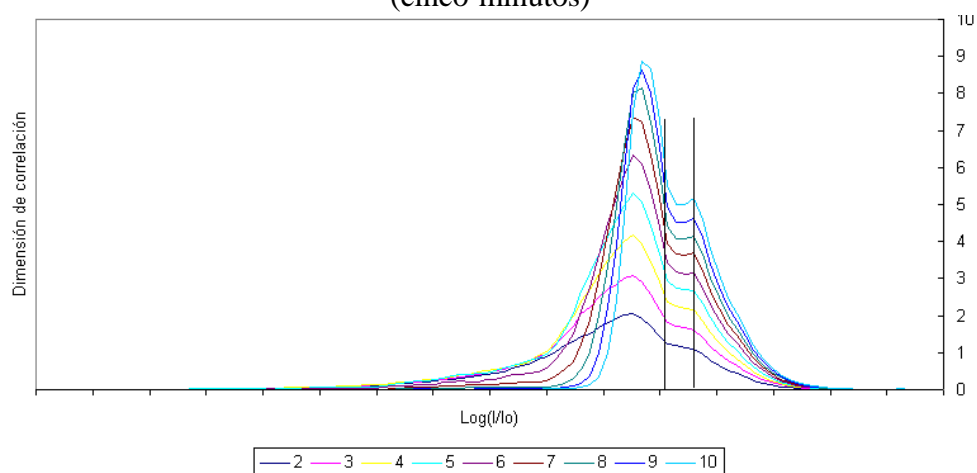


Figura A.317: Dimensión de correlación (ordenadas) respecto a la precisión l (abcisas) de la serie de residuos del modelo GARCH sobre los rendimientos del contrato de Futuro sobre el Bono con vencimiento en septiembre 1998 (cinco minutos)

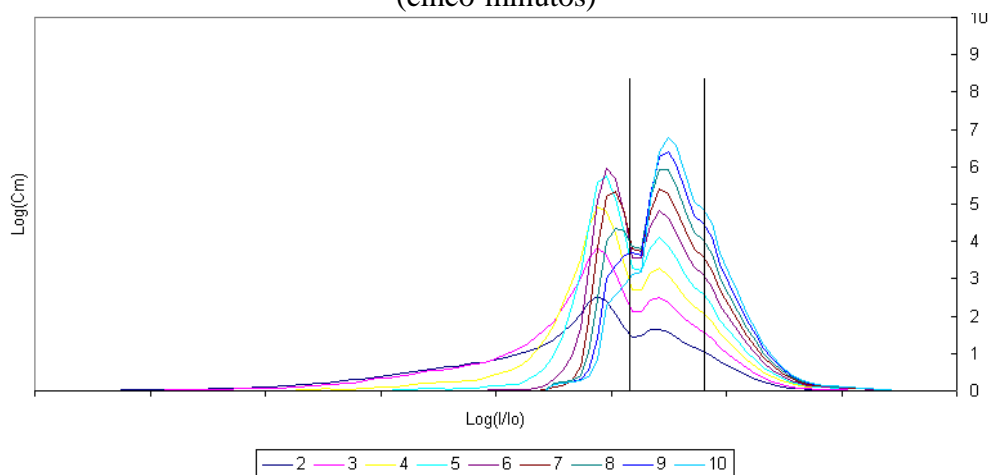


Figura A.318: Dimensión de correlación (ordenadas) respecto a la precisión l (abcisas) de la serie de residuos del modelo GARCH-M sobre los rendimientos del contrato de Futuro sobre el Bono con vencimiento en diciembre 1998 (cinco minutos)

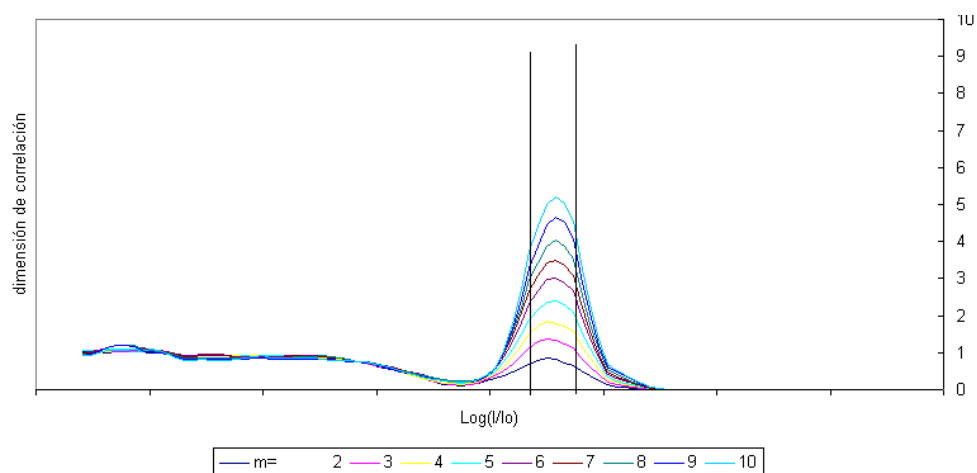


Figura A.319: Dimensión de correlación (ordenadas) respecto a la precisión l (abcisas) de la serie de residuos del modelo EGARCH sobre los rendimientos del contrato de Futuro sobre el Bono con vencimiento en marzo 1998 (operación a operación)

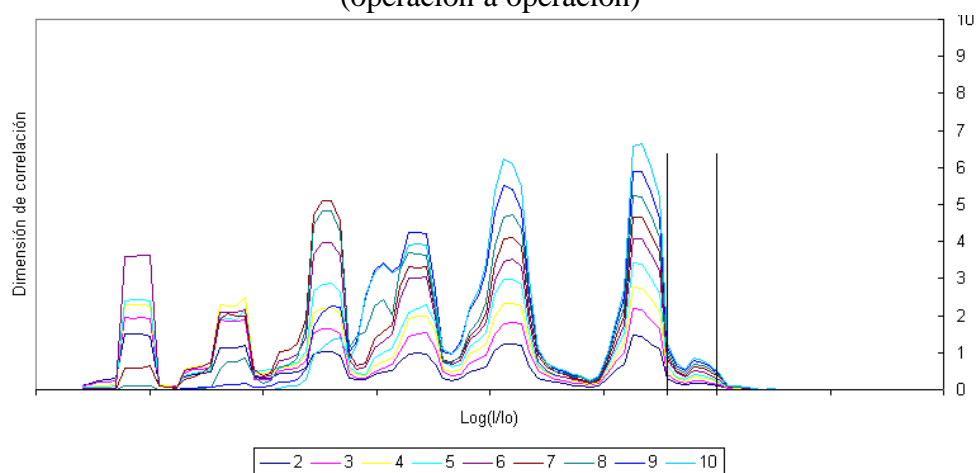


Figura A.320: Dimensión de correlación (ordenadas) respecto a la precisión l (abcisas) de la serie de residuos del modelo EGARCH sobre los rendimientos del contrato de Futuro sobre el Bono con vencimiento en junio 1998 (operación a operación)

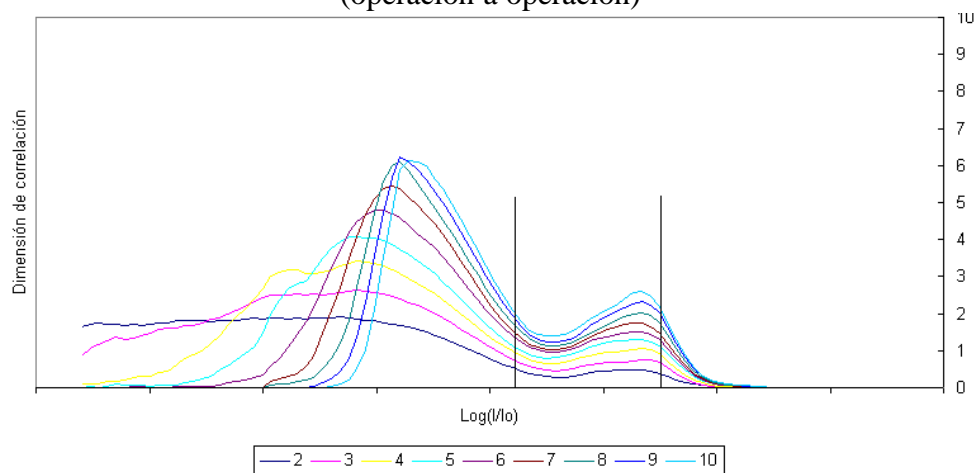


Figura A.321: Dimensión de correlación (ordenadas) respecto a la precisión l (abcisas) de la serie de residuos del modelo EGARCH sobre los rendimientos del contrato de Futuro sobre el Bono con vencimiento en septiembre 1998 (operación a operación)

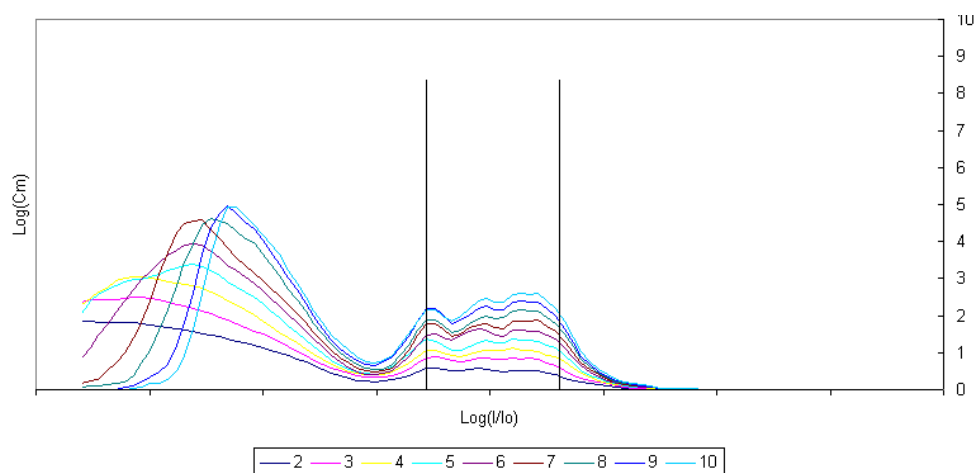


Figura A.322: Dimensión de correlación (ordenadas) respecto a la precisión l (abcisas) de la serie de residuos del modelo EGARCH sobre los rendimientos del contrato de Futuro sobre el Bono con vencimiento en diciembre 1998 (operación a operación)

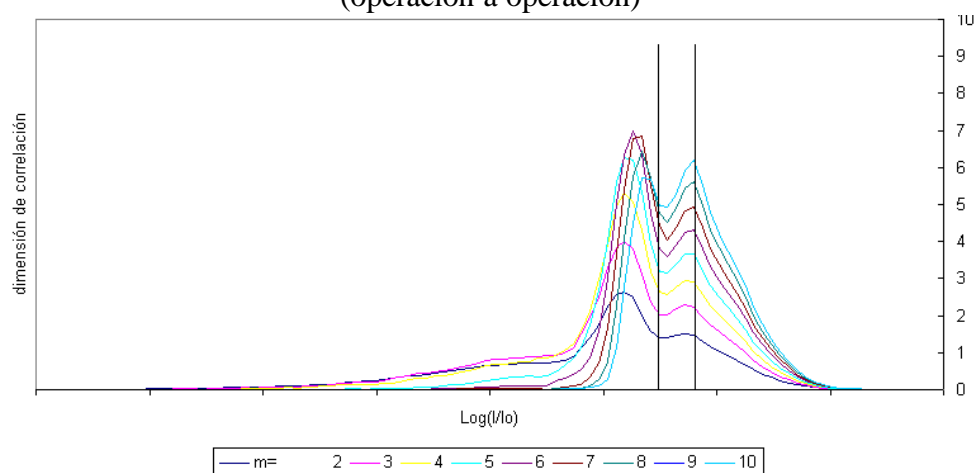


Figura A.323: Dimensión de correlación (ordenadas) respecto a la precisión l (abcisas) de la serie de residuos del modelo EGARCH sobre los rendimientos del contrato de Futuro sobre el Bono con vencimiento en marzo 1998 (cinco minutos)

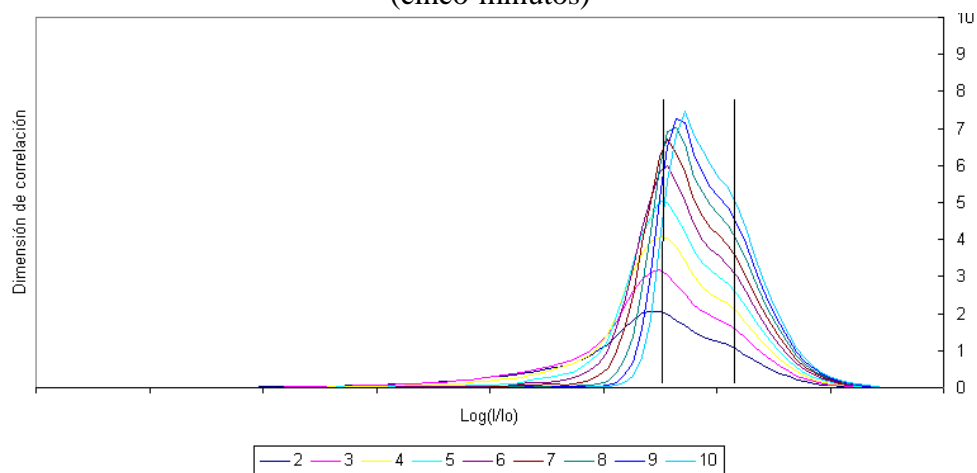


Figura A.324: Dimensión de correlación (ordenadas) respecto a la precisión l (abcisas) de la serie de residuos del modelo EGARCH sobre los rendimientos del contrato de Futuro sobre el Bono con vencimiento en junio 1998 (cinco minutos)

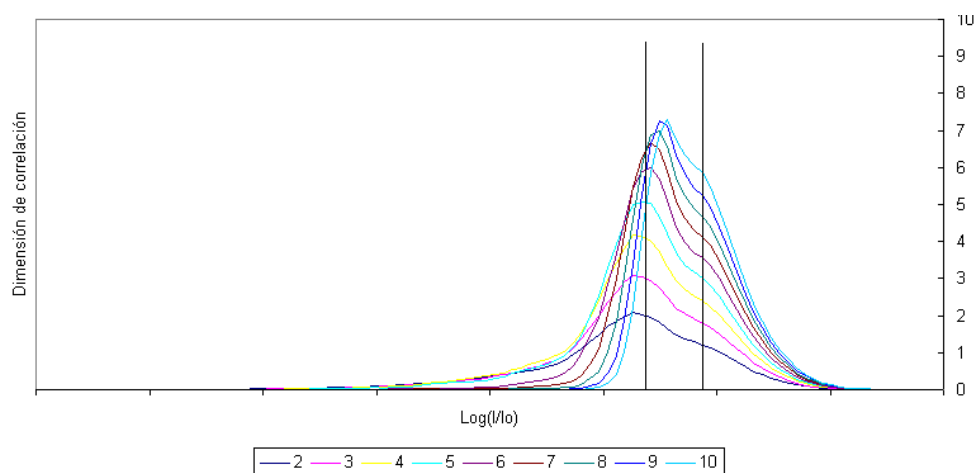


Figura A.325: Dimensión de correlación (ordenadas) respecto a la precisión l (abscisas) de la serie de residuos del modelo EGARCH sobre los rendimientos del contrato de Futuro sobre el Bono con vencimiento en septiembre 1998 (cinco minutos)

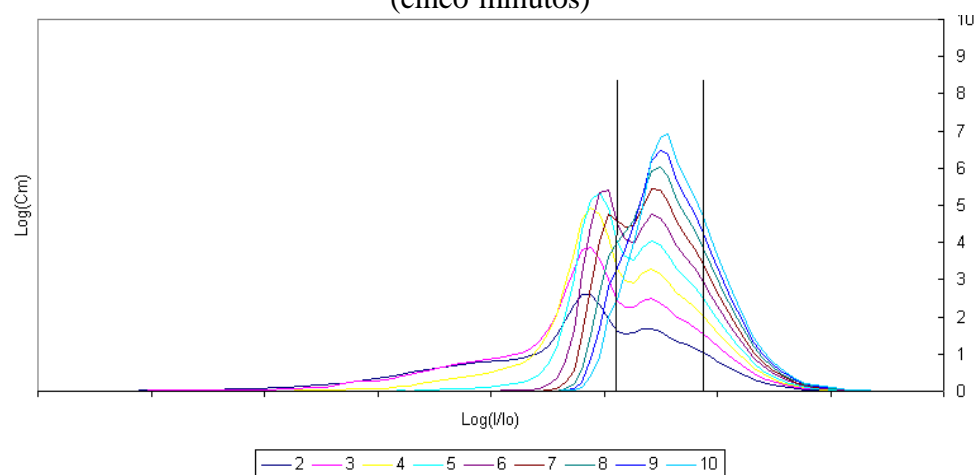


Figura A.326: Dimensión de correlación (ordenadas) respecto a la precisión l (abscisas) de la serie de residuos del modelo EGARCH sobre los rendimientos del contrato de Futuro sobre el Bono con vencimiento en diciembre 1998 (cinco minutos)

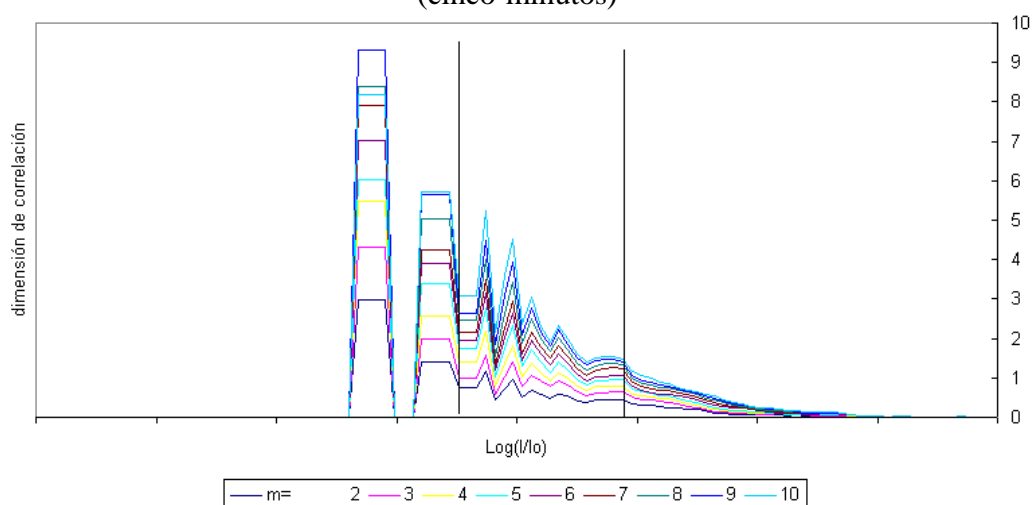


Figura A.327: Dimensión de correlación (ordenadas) respecto a la precisión l (abscisas) de la serie de duración de operaciones del contrato de Futuro sobre el Bono con vencimiento en marzo 1998

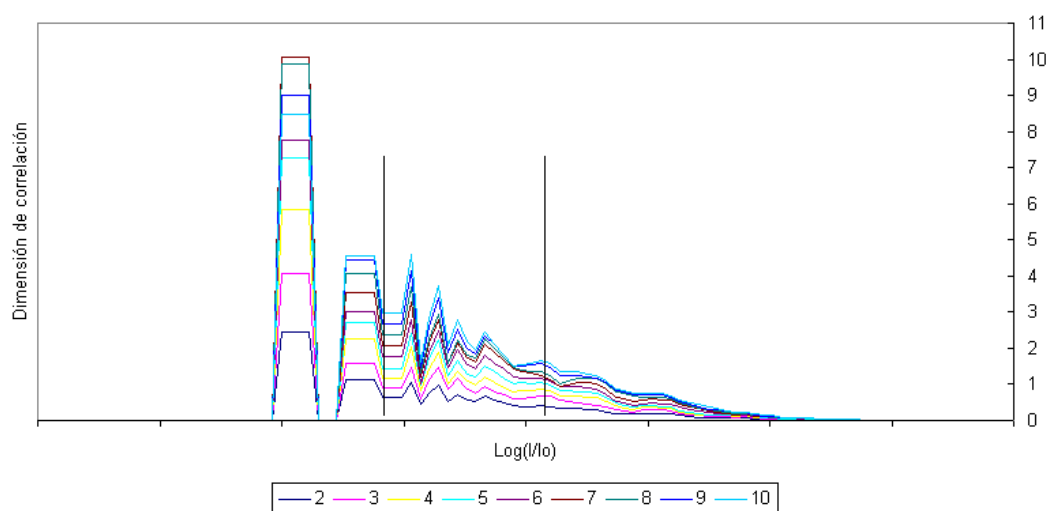


Figura A.328: Dimensión de correlación (ordenadas) respecto a la precisión l (abcisas) de la serie de duración de operaciones del contrato de Futuro sobre el Bono con vencimiento en junio 1998

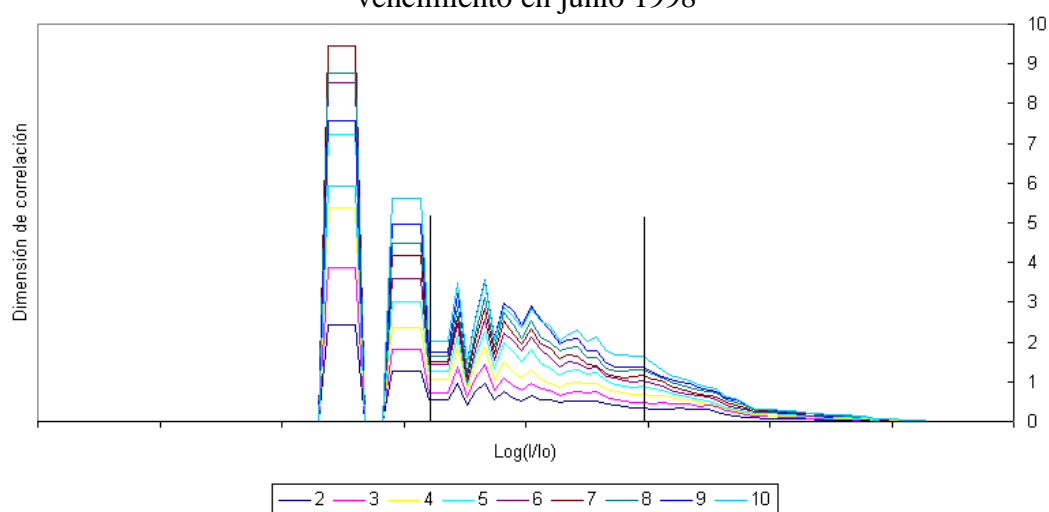


Figura A.329: Dimensión de correlación (ordenadas) respecto a la precisión l (abcisas) de la serie de duración de operaciones del contrato de Futuro sobre el Bono con vencimiento en septiembre 1998

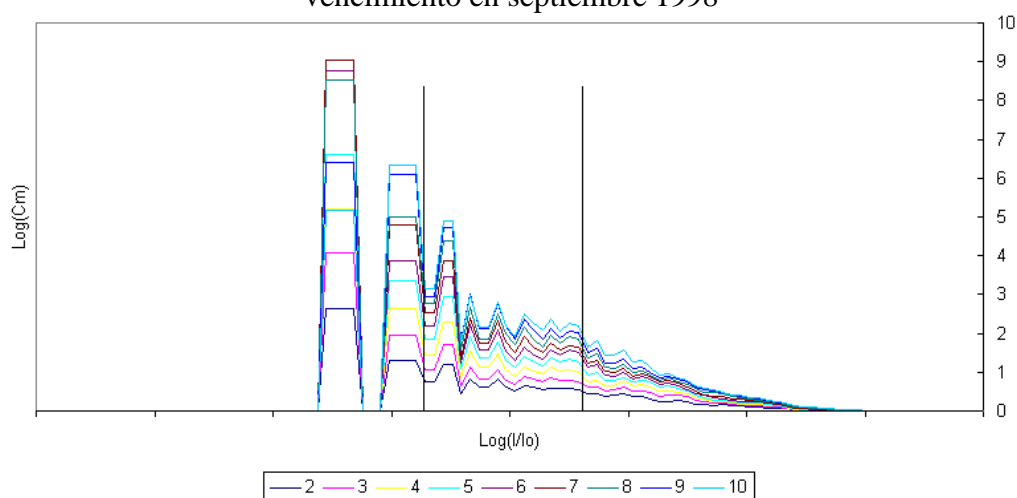


Figura A.330: Dimensión de correlación (ordenadas) respecto a la precisión l (abcisas) de la serie de duración de operaciones del contrato de Futuro sobre el Bono con vencimiento en diciembre 1998

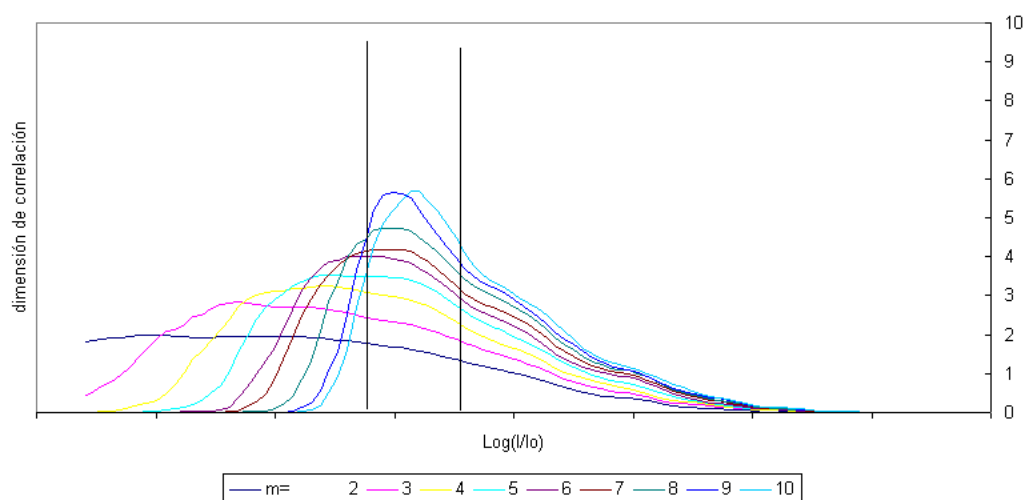


Figura A.331: Dimensión de correlación (ordenadas) respecto a la precisión l (abscisas) de la serie diferenciada fraccionalmente de las duraciones de operaciones del contrato de Futuro sobre el Bono con vencimiento en marzo 1998

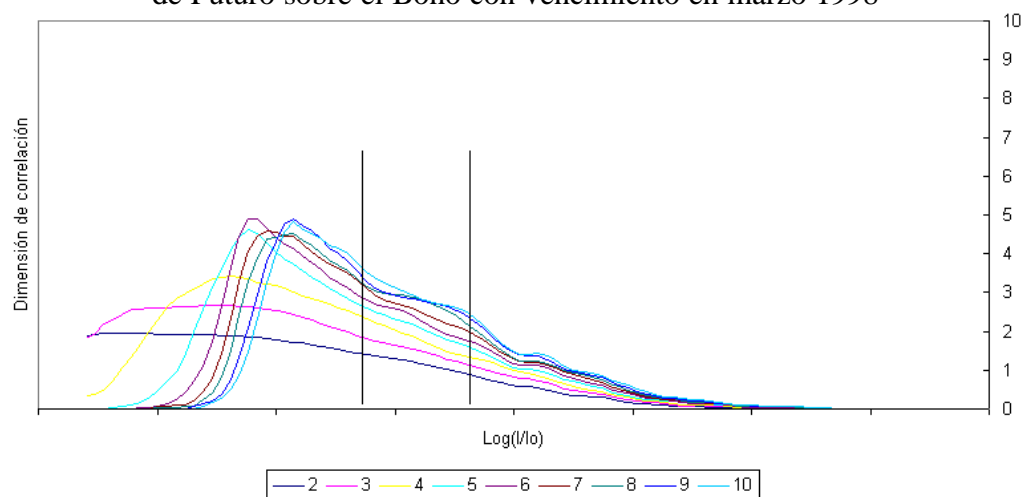


Figura A.332: Dimensión de correlación (ordenadas) respecto a la precisión l (abscisas) de la serie diferenciada fraccionalmente de las duraciones de operaciones del contrato de Futuro sobre el Bono con vencimiento en junio 1998

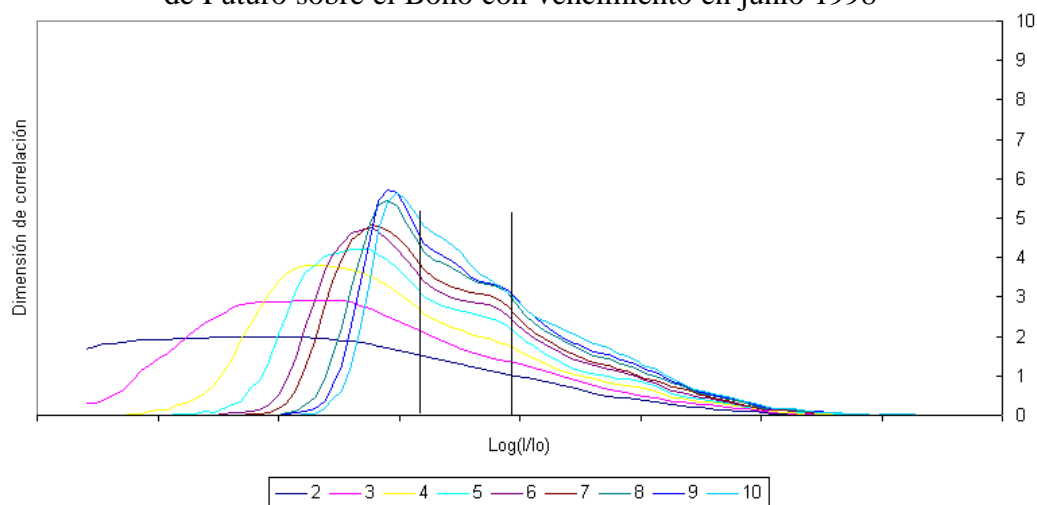


Figura A.333: Dimensión de correlación (ordenadas) respecto a la precisión l (abscisas) de la serie diferenciada fraccionalmente de las duraciones de operaciones del contrato de Futuro sobre el Bono con vencimiento en septiembre 1998

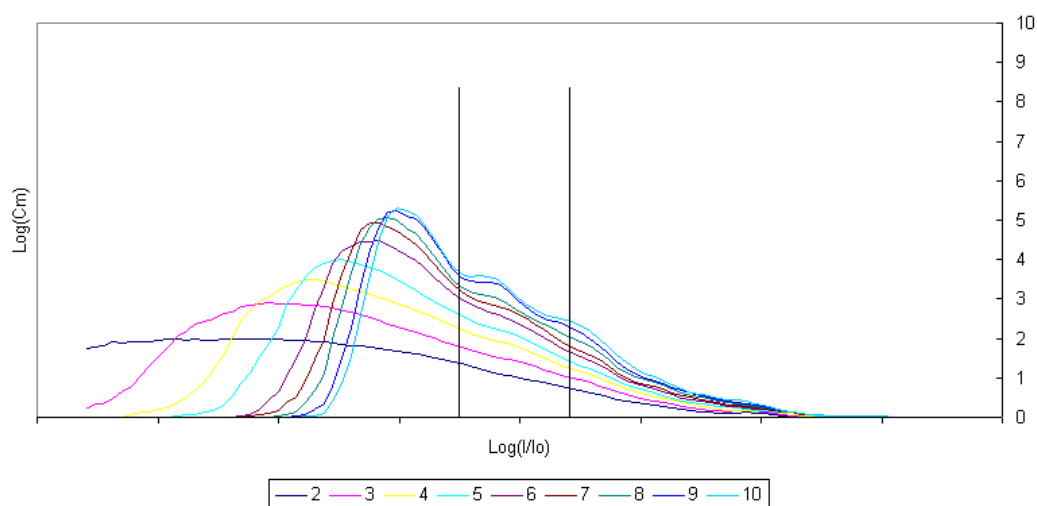


Figura A.334: Dimensión de correlación (ordenadas) respecto a la precisión l (abcisas) de la serie diferenciada fraccionalmente de las duraciones de operaciones del contrato de Futuro sobre el Bono con vencimiento en diciembre 1998

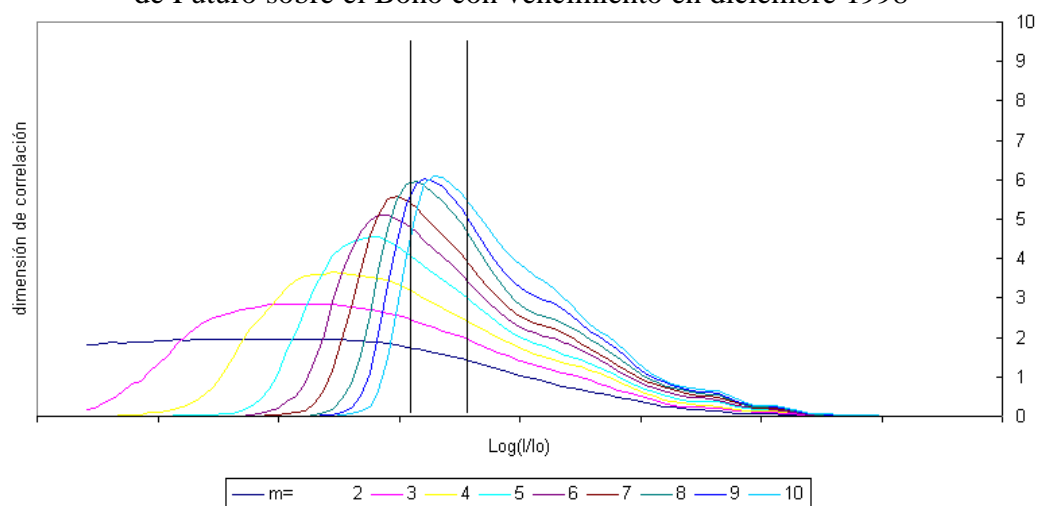


Figura A.335: Dimensión de correlación (ordenadas) respecto a la precisión l (abcisas) de la serie de residuos del modelo ARFIMA sobre la serie de duración de operaciones del contrato de Futuro sobre el Bono con vencimiento en marzo 1998

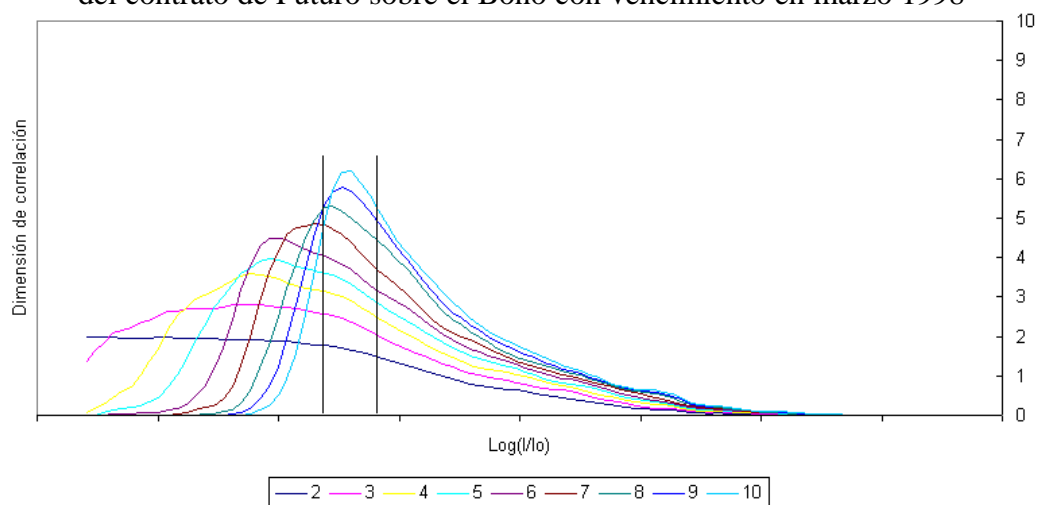


Figura A.336: Dimensión de correlación (ordenadas) respecto a la precisión l (abcisas) de la serie de residuos del modelo ARFIMA sobre la serie de duración de operaciones del contrato de Futuro sobre el Bono con vencimiento en junio 1998

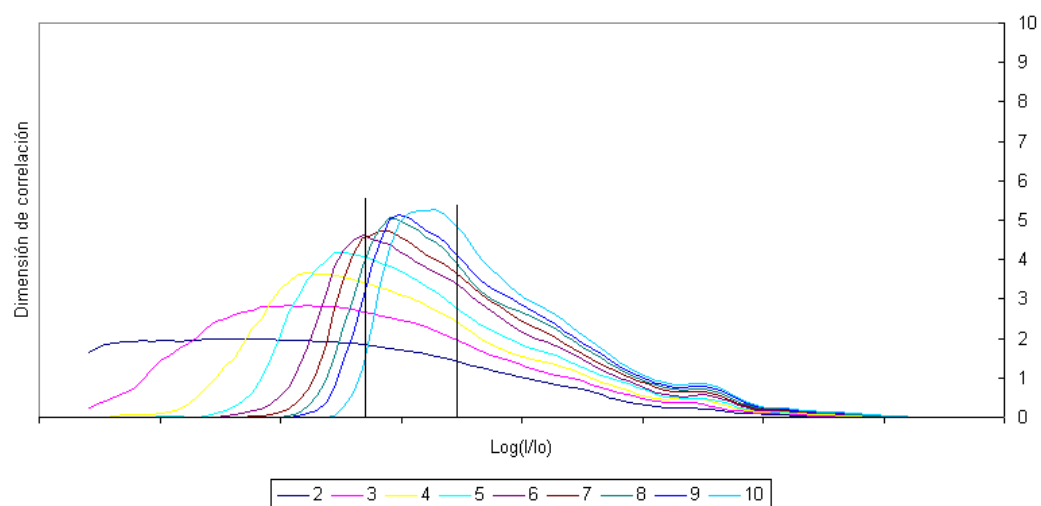


Figura A.337: Dimensión de correlación (ordenadas) respecto a la precisión l (abcisas) de la serie de residuos del modelo ARFIMA sobre la serie de duración de operaciones del contrato de Futuro sobre el Bono con vencimiento en septiembre 1998

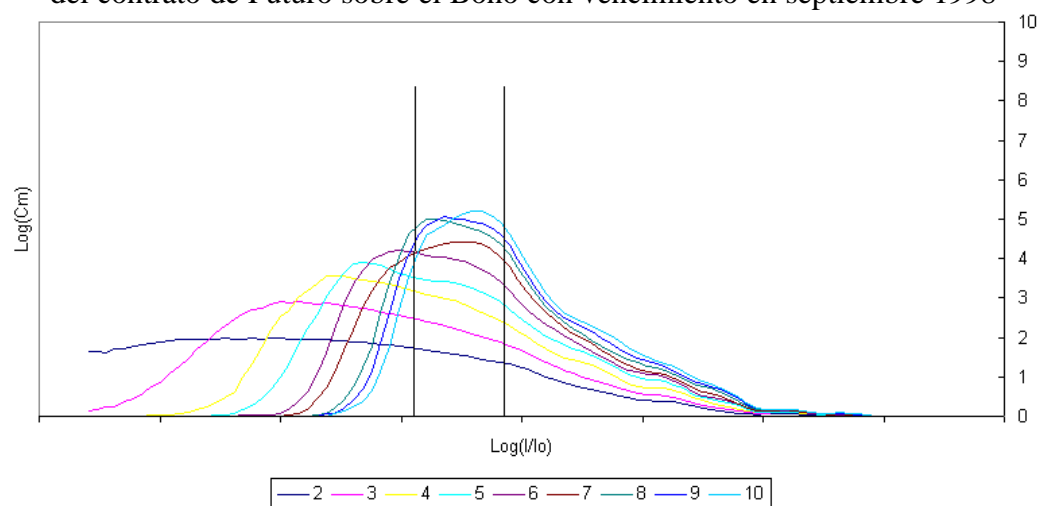


Figura A.338: Dimensión de correlación (ordenadas) respecto a la precisión l (abcisas) de la serie de residuos del modelo ARFIMA sobre la serie de duración de operaciones del contrato de Futuro sobre el Bono con vencimiento en diciembre 1998

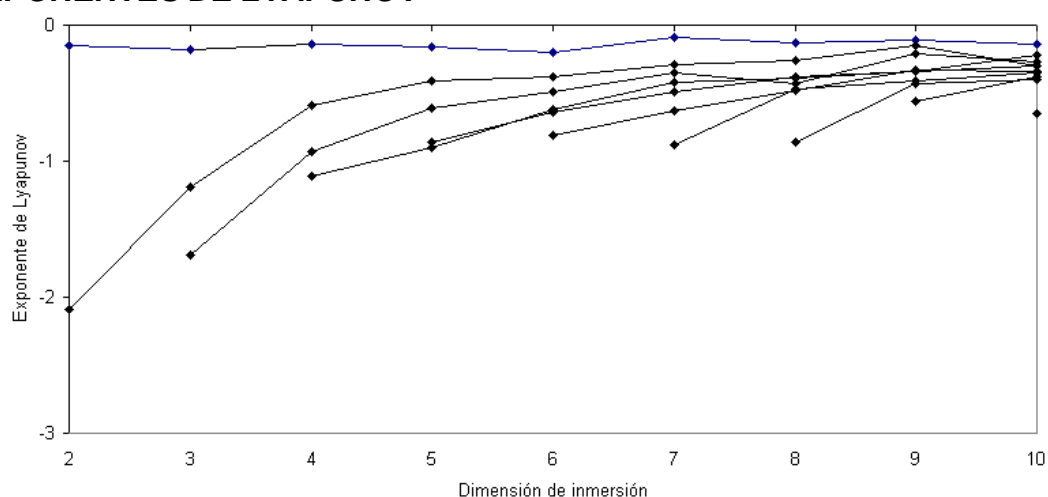
EXPONENTES DE LYAPUNOV

Figura A.339: Exponentes de Lyapunov de la serie de rendimientos del contrato de Futuro sobre el Bono con vencimiento en marzo 1998.
(operación a operación)

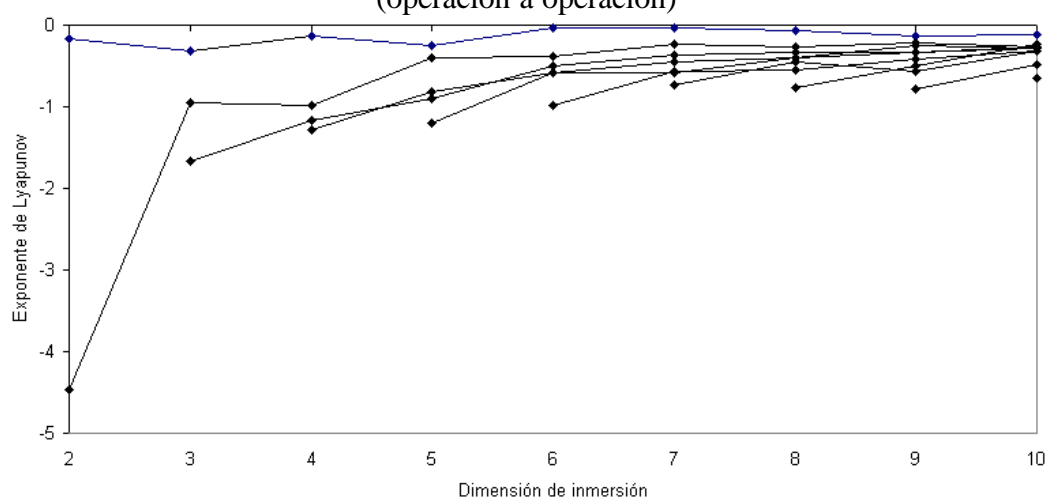


Figura A.340: Exponentes de Lyapunov de la serie de rendimientos del contrato de Futuro sobre el Bono con vencimiento en junio 1998.
(operación a operación)

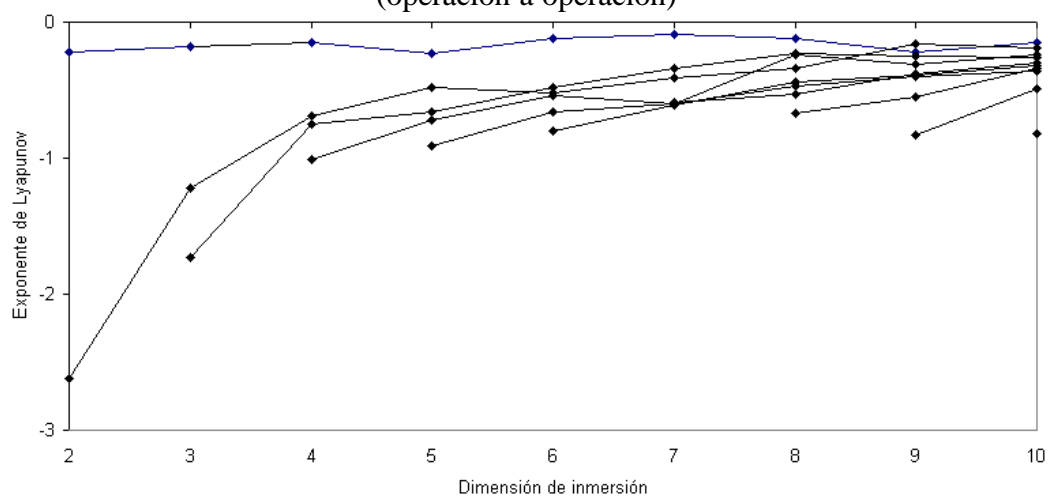


Figura A.341: Exponentes de Lyapunov de la serie de rendimientos del contrato de Futuro sobre el Bono con vencimiento en septiembre 1998.
(operación a operación)

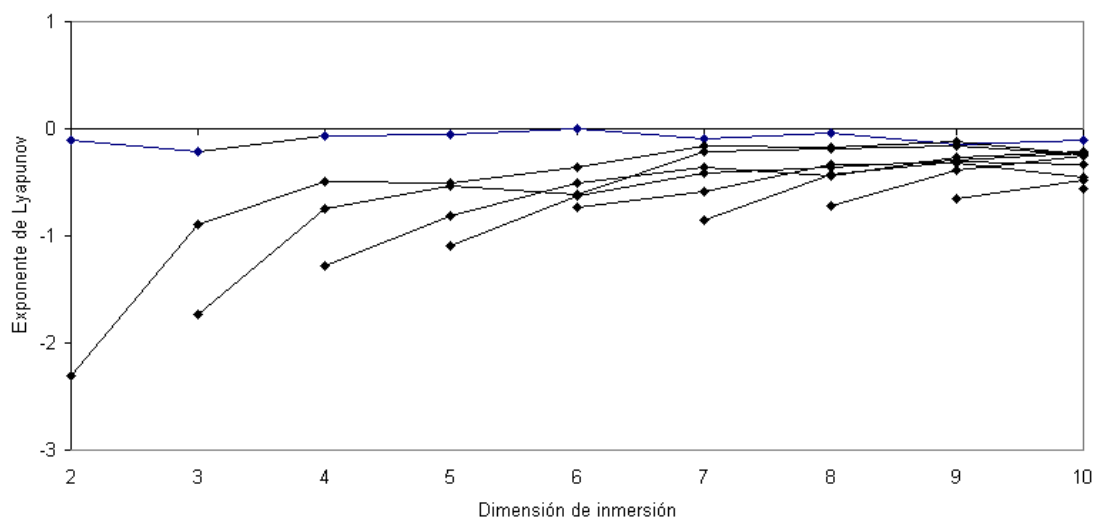


Figura A.342: Exponentes de Lyapunov de la serie de rendimientos del contrato de Futuro sobre el Bono con vencimiento en diciembre 1998.
(operación a operación)

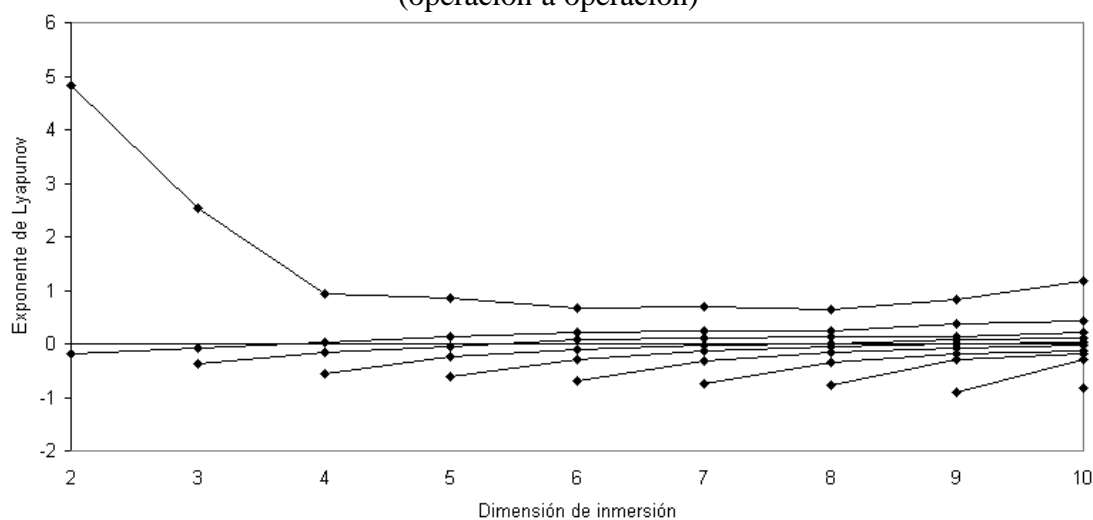


Figura A.343: Exponentes de Lyapunov de la serie de rendimientos del contrato de Futuro sobre el Bono con vencimiento en marzo 1998.
(cinco minutos)

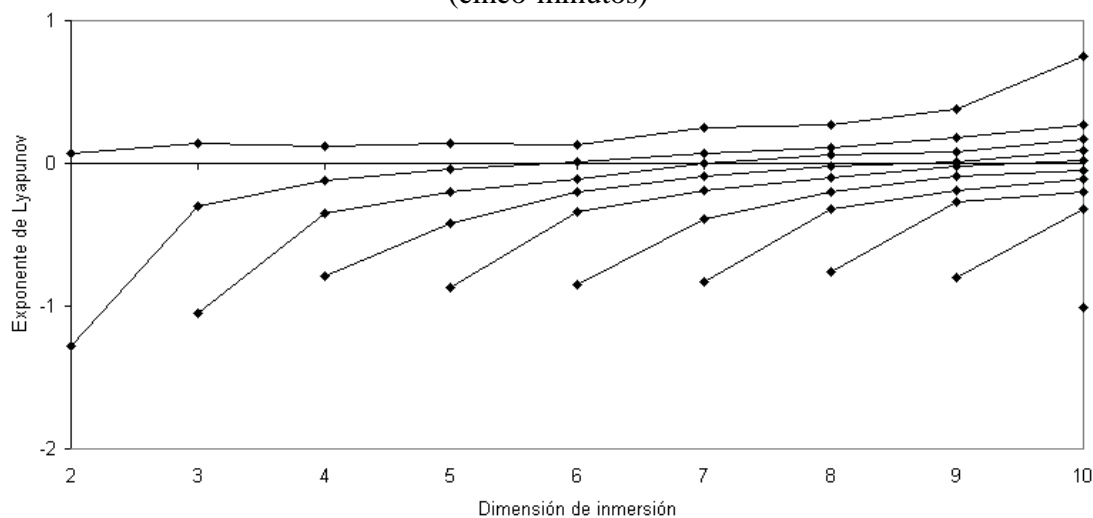


Figura A.344: Exponentes de Lyapunov de la serie de rendimientos del contrato de Futuro sobre el Bono con vencimiento en junio 1998.
(operación a operación)

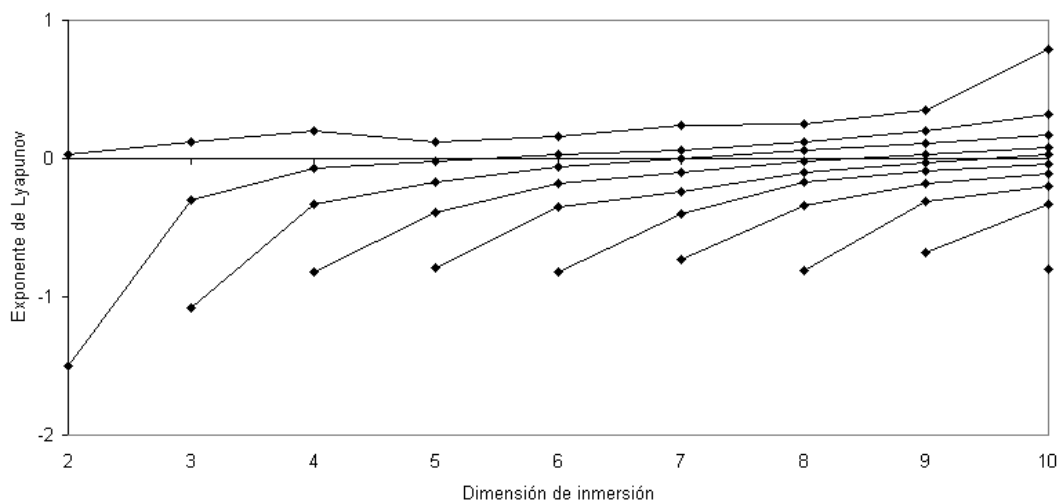


Figura A.345: Exponentes de Lyapunov de la serie de rendimientos del contrato de Futuro sobre el Bono con vencimiento en septiembre 1998.
(cinco minutos)

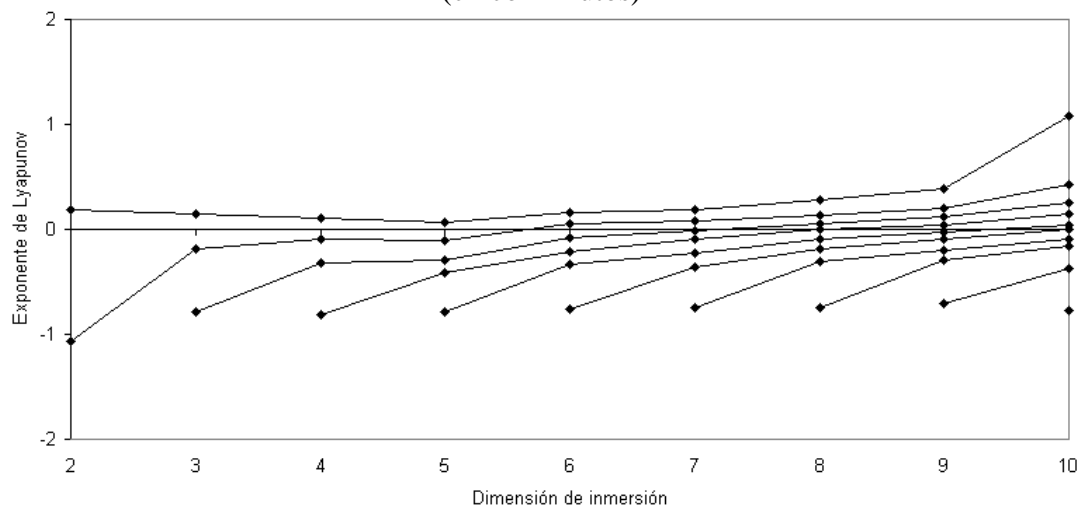


Figura A.346: Exponentes de Lyapunov de la serie de rendimientos del contrato de Futuro sobre el Bono con vencimiento en diciembre 1998.
(cinco minutos)

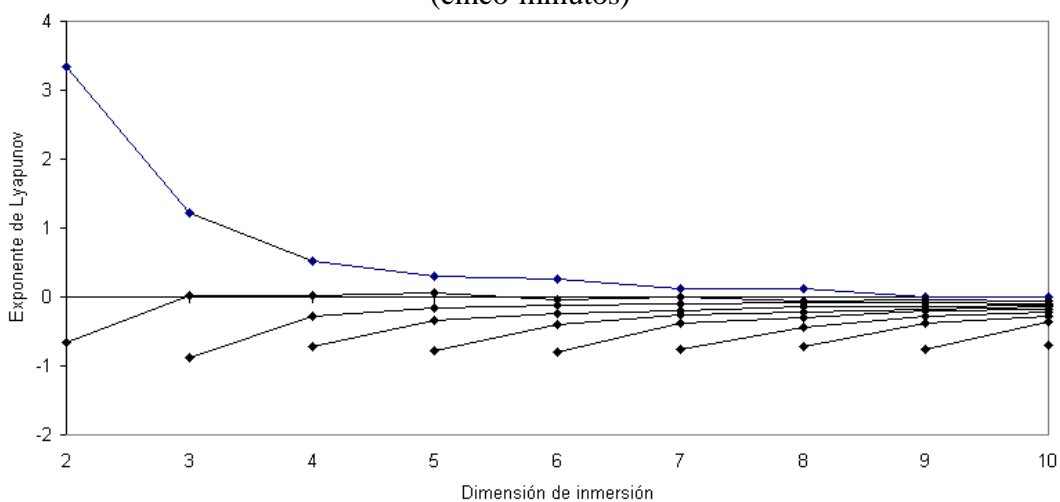


Figura A.347: Exponentes de Lyapunov de la serie de residuos del modelo ARIMA sobre los rendimientos del contrato de Futuro sobre el Bono con vencimiento en marzo 1998.
(operación a operación)

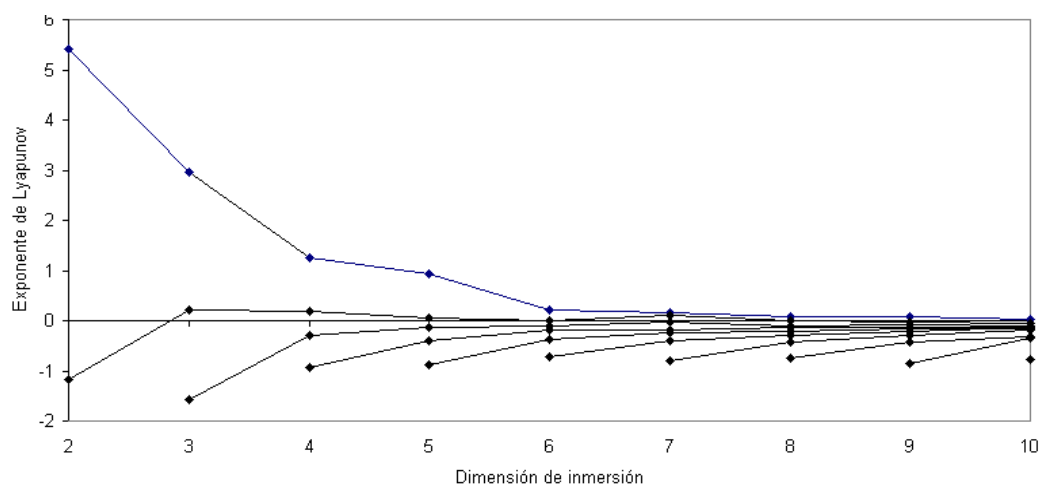


Figura A.348: Exponentes de Lyapunov de la serie de residuos del modelo ARIMA sobre los rendimientos del contrato de Futuro sobre el Bono con vencimiento en junio 1998.

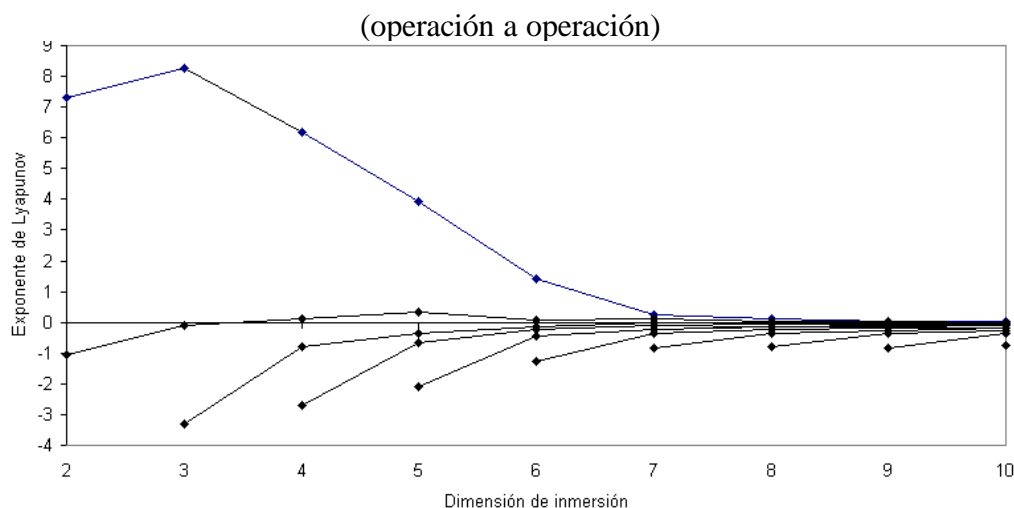


Figura A.349: Exponentes de Lyapunov de la serie de residuos del modelo ARIMA sobre los rendimientos del contrato de Futuro sobre el Bono con vencimiento en septiembre 1998.

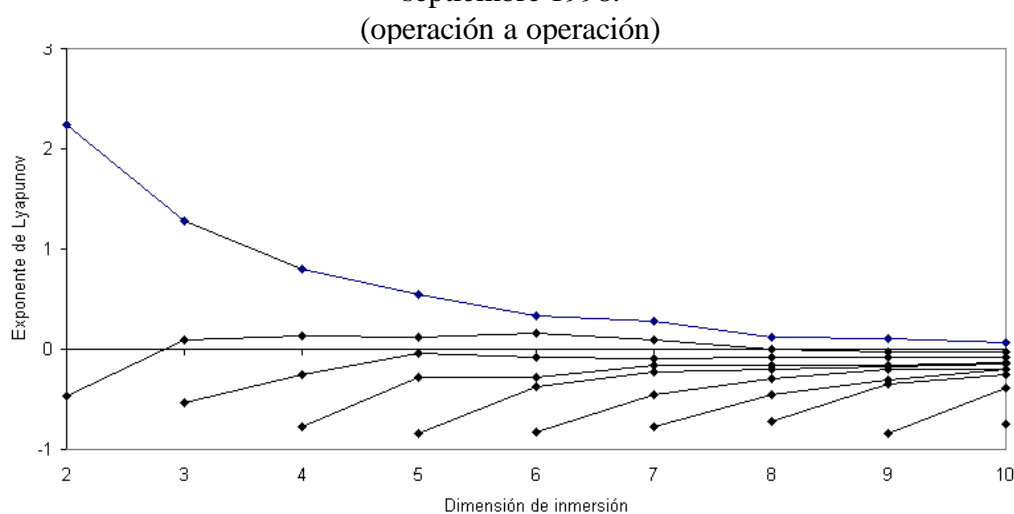


Figura A.350: Exponentes de Lyapunov de la serie de residuos del modelo ARIMA sobre los rendimientos del contrato de Futuro sobre el Bono con vencimiento en diciembre 1998.

(operación a operación)

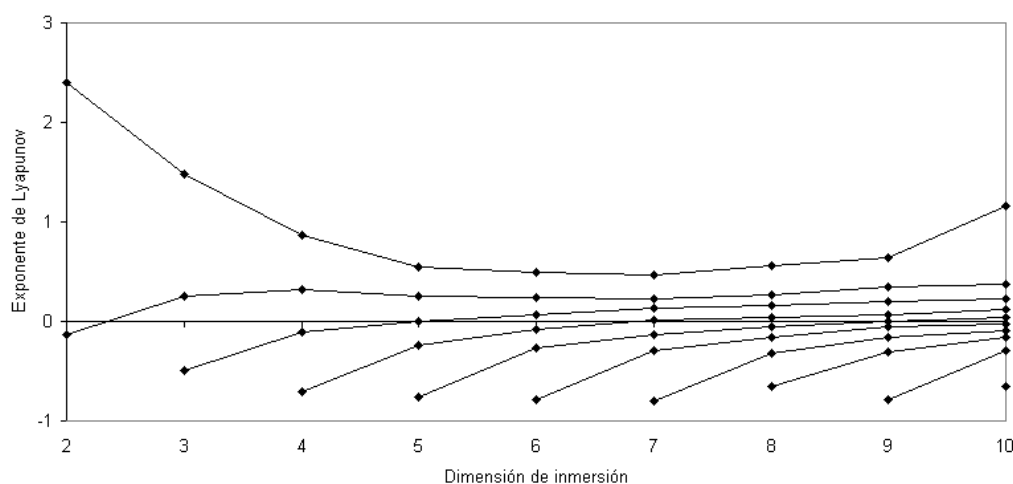


Figura A.351: Exponentes de Lyapunov de la serie de residuos del modelo ARIMA sobre los rendimientos del contrato de Futuro sobre el Bono con vencimiento en marzo 1998.
(cinco minutos)

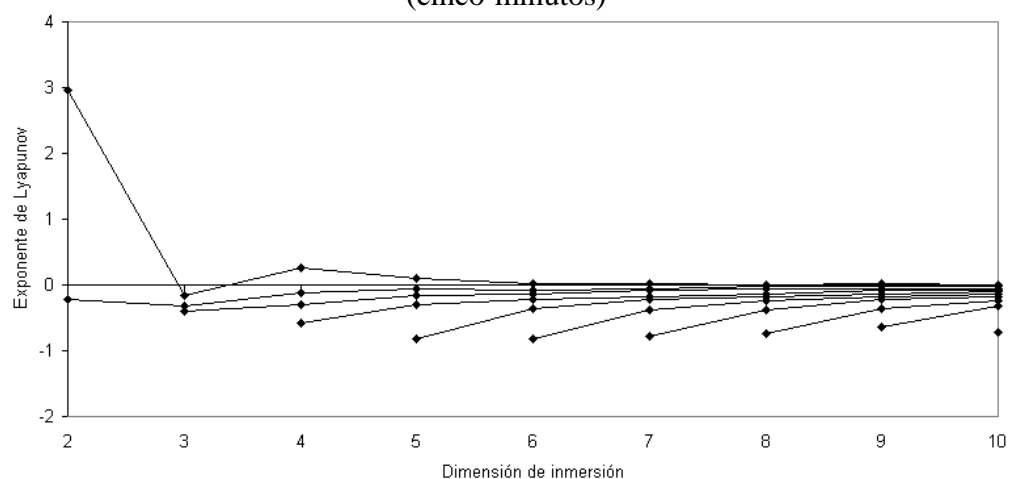


Figura A.352: Exponentes de Lyapunov de la serie de residuos del modelo ARIMA sobre los rendimientos del contrato de Futuro sobre el Bono con vencimiento en junio 1998.
(cinco minutos)

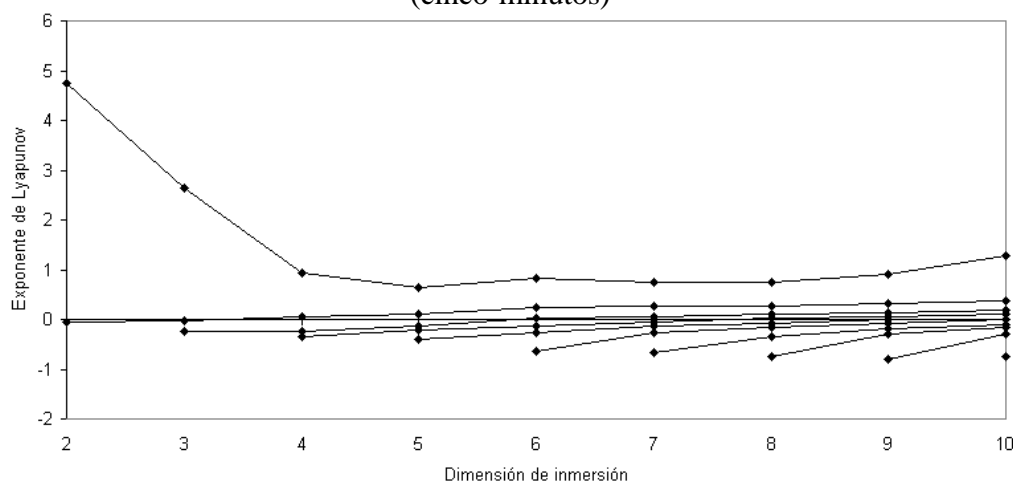


Figura A.353: Exponentes de Lyapunov de la serie de residuos del modelo ARIMA sobre los rendimientos del contrato de Futuro sobre el Bono con vencimiento en septiembre 1998.
(cinco minutos)

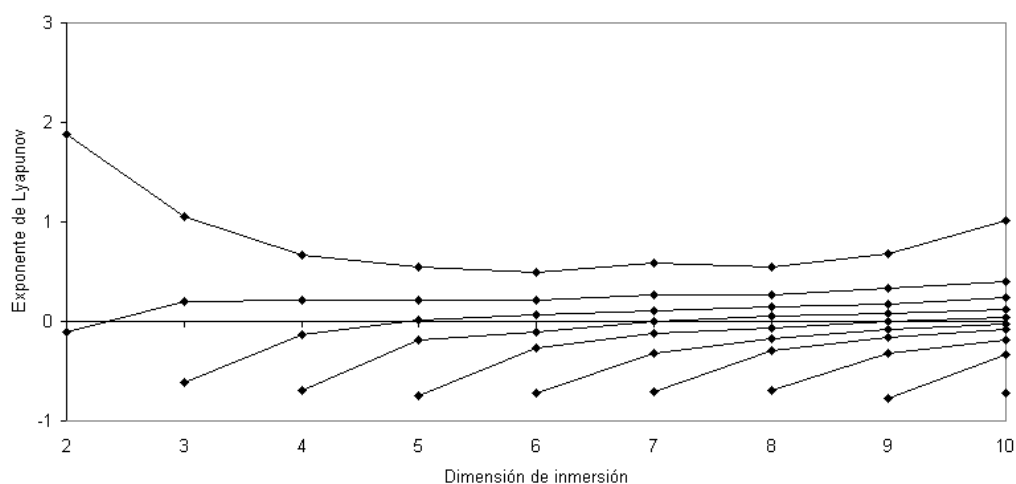


Figura A.354: Exponentes de Lyapunov de la serie de residuos del modelo ARIMA sobre los rendimientos del contrato de Futuro sobre el Bono con vencimiento en diciembre 1998.
(cinco minutos)

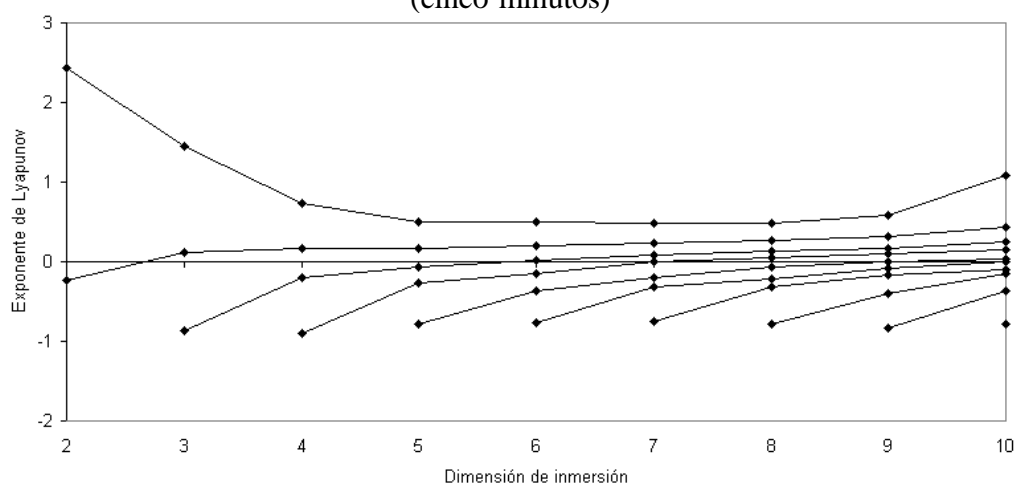


Figura A.355: Exponentes de Lyapunov de la serie de residuos del modelo ARIMA con intervención sobre los rendimientos del contrato de Futuro sobre el Bono con vencimiento en diciembre 1998.
(cinco minutos)

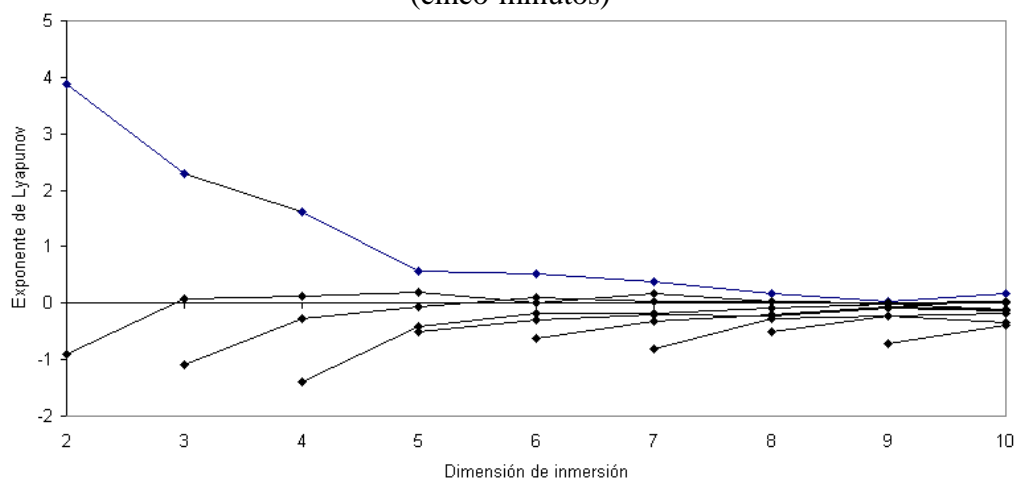


Figura A.356: Exponentes de Lyapunov de la serie de residuos del modelo GARCH-M sobre los rendimientos del contrato de Futuro sobre el Bono con vencimiento en marzo 1998.
(operación a operación)

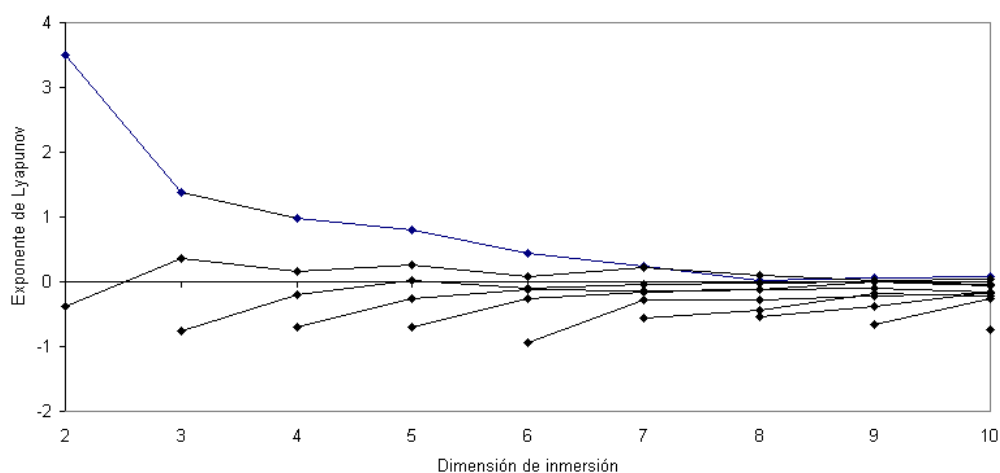


Figura A.357: Exponentes de Lyapunov de la serie de residuos del modelo GARCH-M sobre los rendimientos del contrato de Futuro sobre el Bono con vencimiento en junio 1998.

(operación a operación)

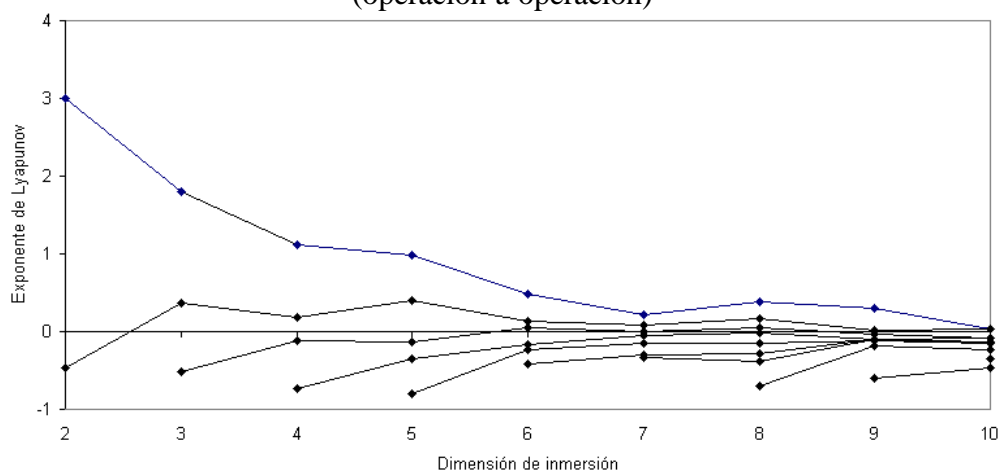


Figura A.358: Exponentes de Lyapunov de la serie de residuos del modelo GARCH-M sobre los rendimientos del contrato de Futuro sobre el Bono con vencimiento en septiembre 1998.

(operación a operación)

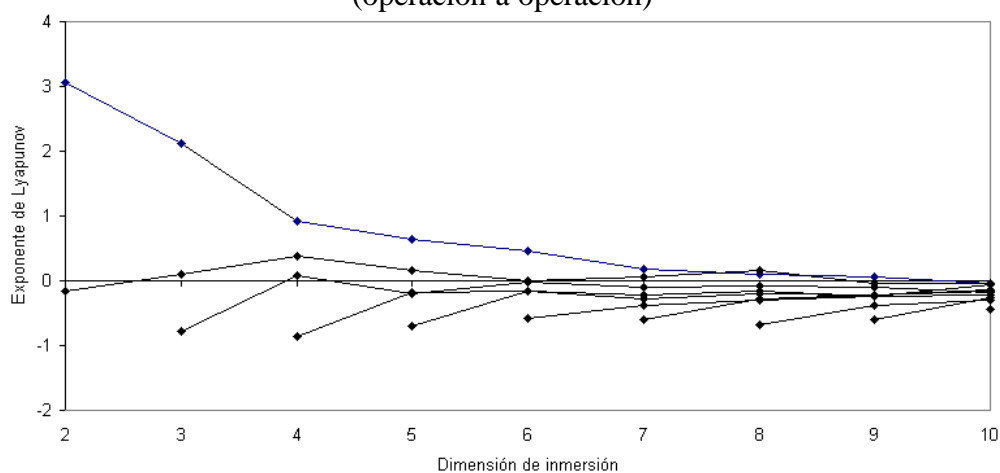


Figura A.359: Exponentes de Lyapunov de la serie de residuos del modelo GARCH-M sobre los rendimientos del contrato de Futuro sobre el Bono con vencimiento en diciembre 1998.

(operación a operación)

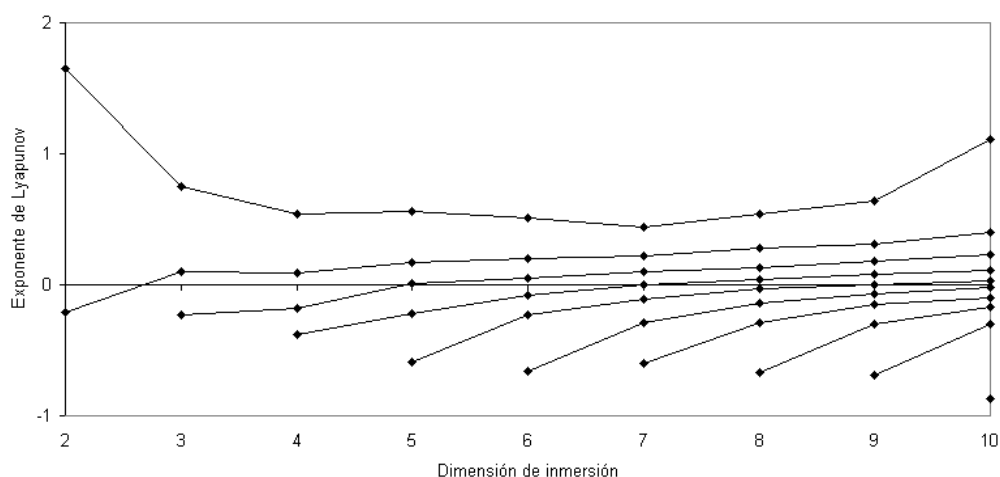


Figura A.360: Exponentes de Lyapunov de la serie de residuos del modelo GARCH sobre los rendimientos del contrato de Futuro sobre el Bono con vencimiento en marzo 1998.
(cinco minutos)

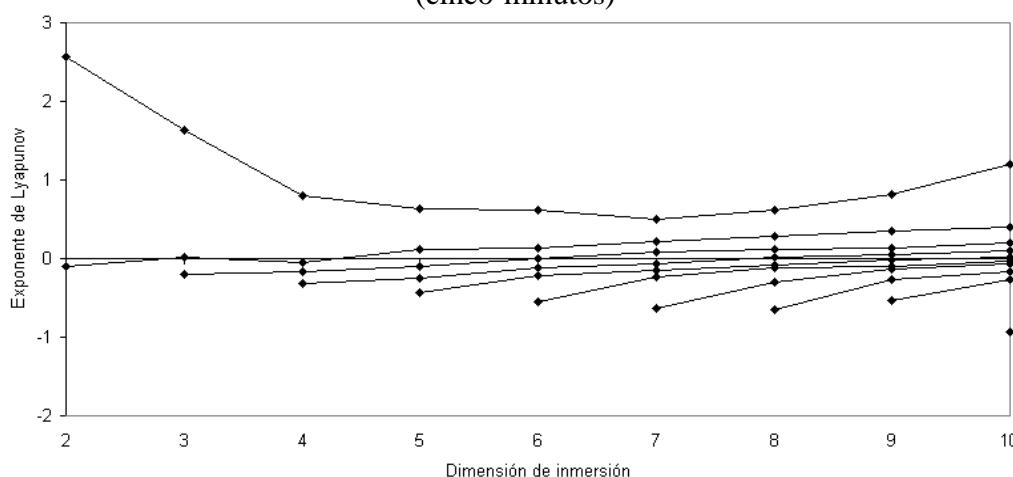


Figura A.361: Exponentes de Lyapunov de la serie de residuos del modelo GARCH sobre los rendimientos del contrato de Futuro sobre el Bono con vencimiento en junio 1998.
(cinco minutos)

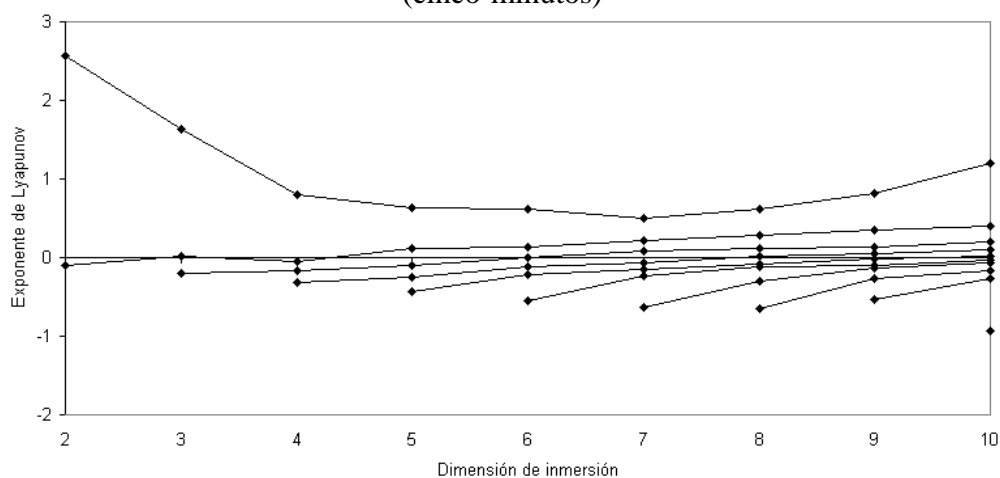


Figura A.362: Exponentes de Lyapunov de la serie de residuos del modelo GARCH sobre los rendimientos del contrato de Futuro sobre el Bono con vencimiento en septiembre 1998.
(cinco minutos)

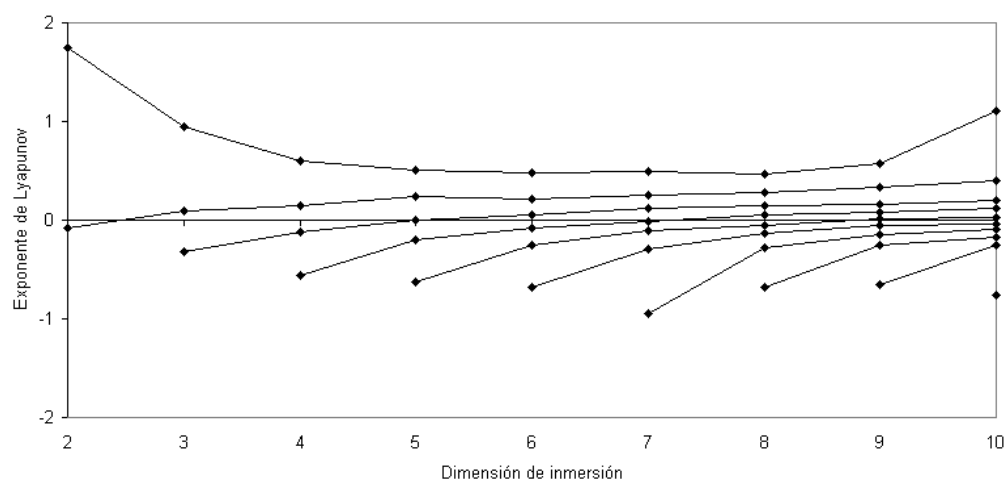


Figura A.363: Exponentes de Lyapunov de la serie de residuos del modelo GARCH-M sobre los rendimientos del contrato de Futuro sobre el Bono con vencimiento en diciembre 1998.
(cinco minutos)

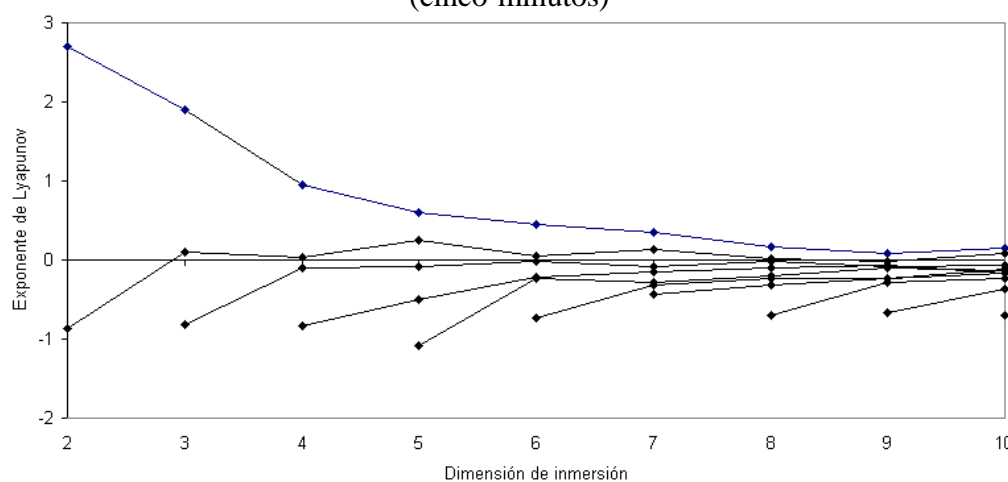


Figura A.364: Exponentes de Lyapunov de la serie de residuos del modelo EGARCH sobre los rendimientos del contrato de Futuro sobre el Bono con vencimiento en marzo 1998.
(operación a operación)

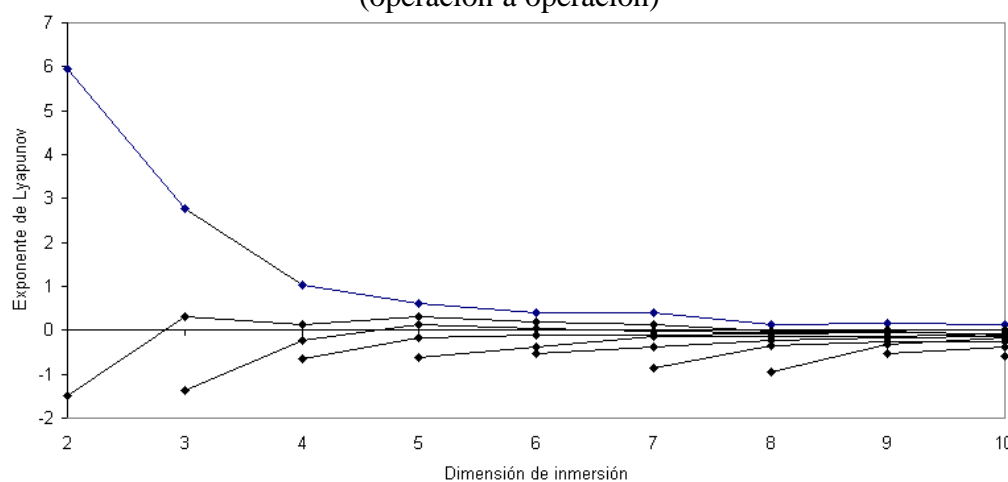


Figura A.365: Exponentes de Lyapunov de la serie de residuos del modelo EGARCH sobre los rendimientos del contrato de Futuro sobre el Bono con vencimiento en junio 1998.
(operación a operación)

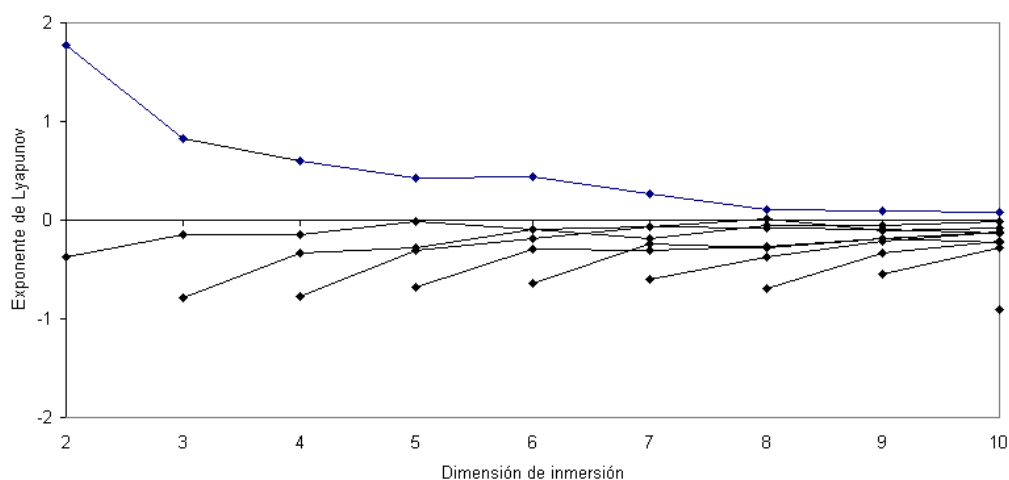


Figura A.366: Exponentes de Lyapunov de la serie de residuos del modelo EGARCH sobre los rendimientos del contrato de Futuro sobre el Bono con vencimiento en septiembre 1998.
(operación a operación)

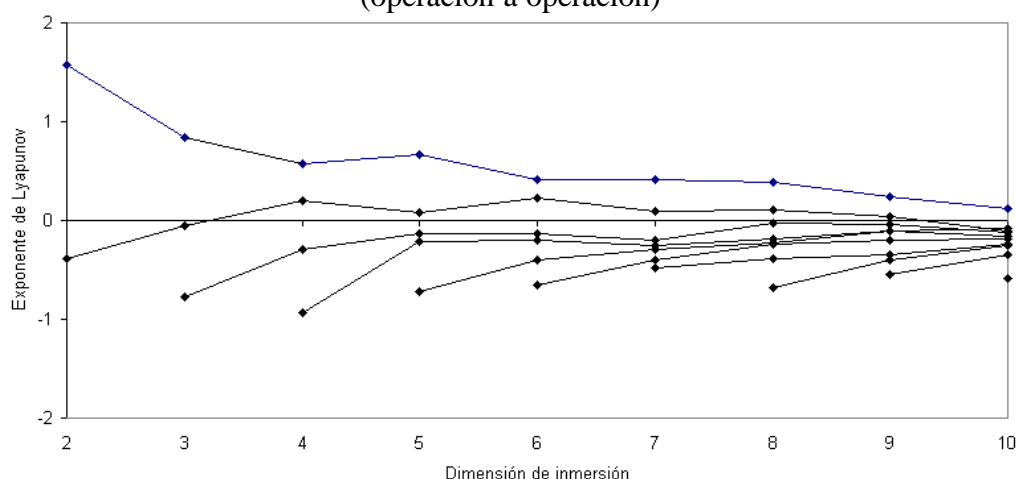


Figura A.367: Exponentes de Lyapunov de la serie de residuos del modelo EGARCH sobre los rendimientos del contrato de Futuro sobre el Bono con vencimiento en diciembre 1998.
(operación a operación)

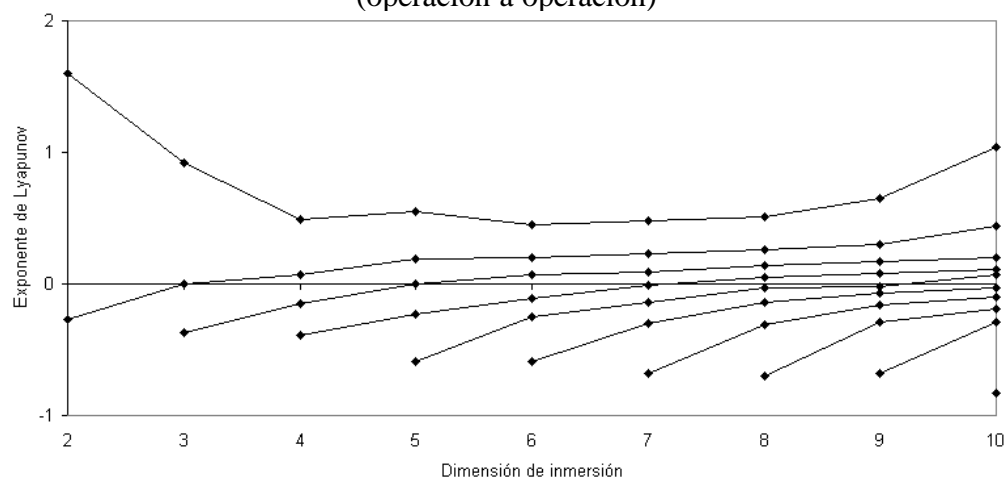


Figura A.368: Exponentes de Lyapunov de la serie de residuos del modelo EGARCH sobre los rendimientos del contrato de Futuro sobre el Bono con vencimiento en marzo 1998.
(cinco minutos)

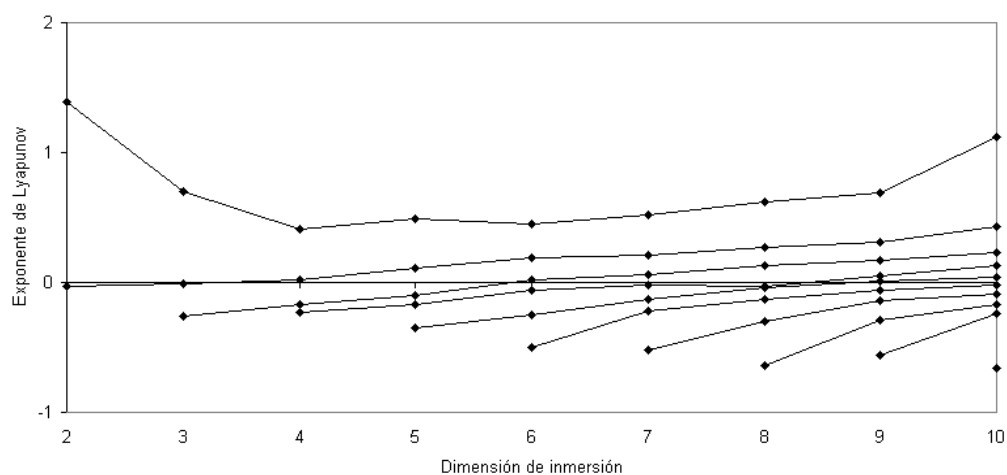


Figura A.369: Exponentes de Lyapunov de la serie de residuos del modelo EGARCH sobre los rendimientos del contrato de Futuro sobre el Bono con vencimiento en junio 1998.
(cinco minutos)

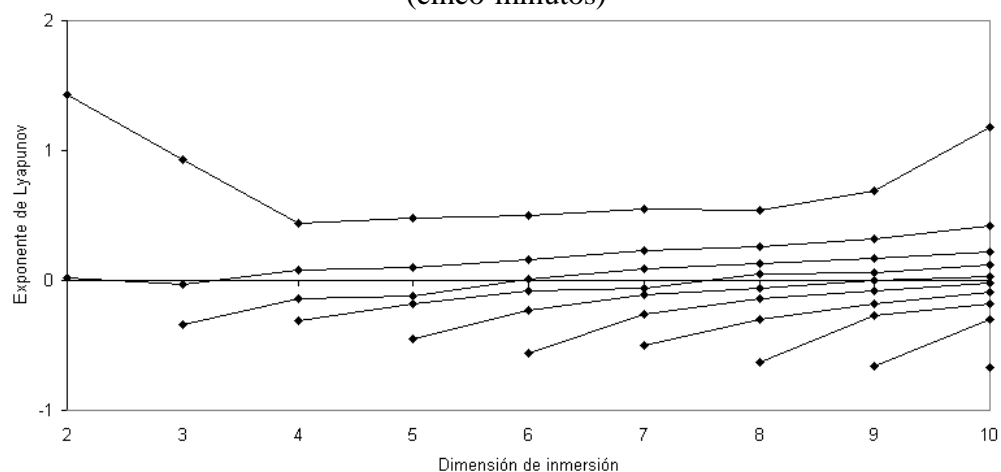


Figura A.370: Exponentes de Lyapunov de la serie de residuos del modelo EGARCH sobre los rendimientos del contrato de Futuro sobre el Bono con vencimiento en septiembre 1998.
(cinco minutos)

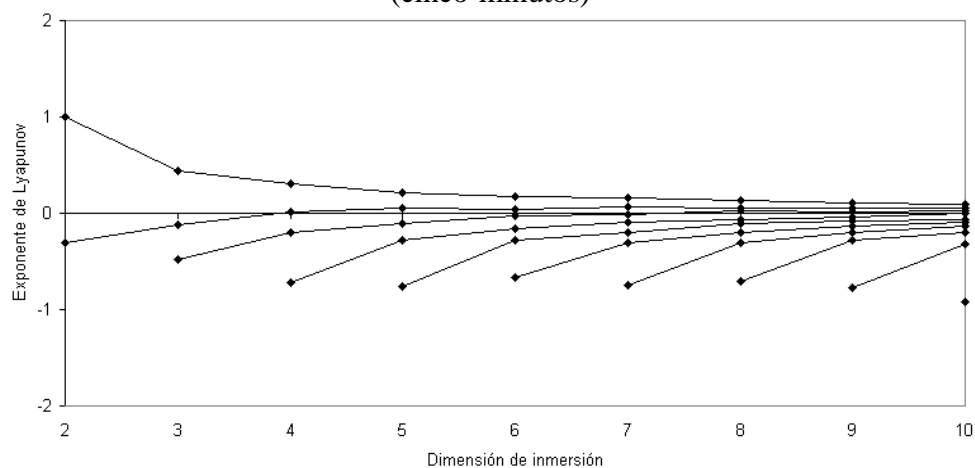


Figura A.371: Exponentes de Lyapunov de la serie de residuos del modelo EGARCH sobre los rendimientos del contrato de Futuro sobre el Bono con vencimiento en diciembre 1998.
(cinco minutos)

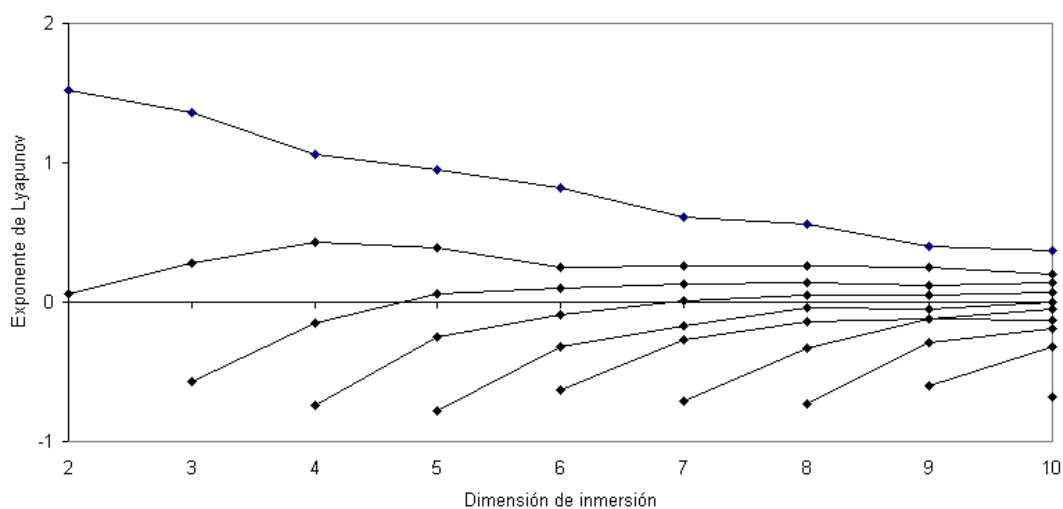


Figura A.372: Exponentes de Lyapunov de la serie de duraciones del contrato de Futuro sobre el Bono con vencimiento en marzo 1998.

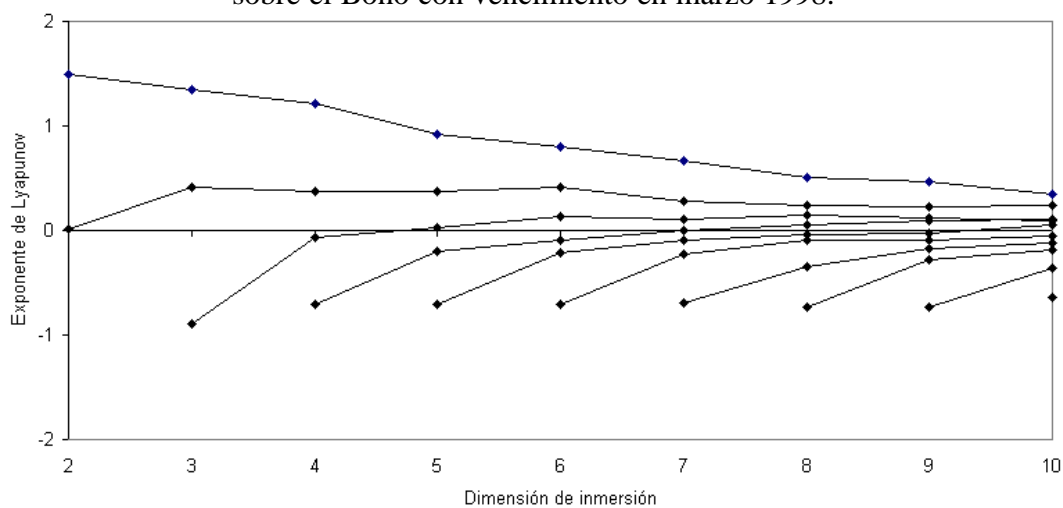


Figura A.373: Exponentes de Lyapunov de la serie de duraciones del contrato de Futuro sobre el Bono con vencimiento en junio 1998.

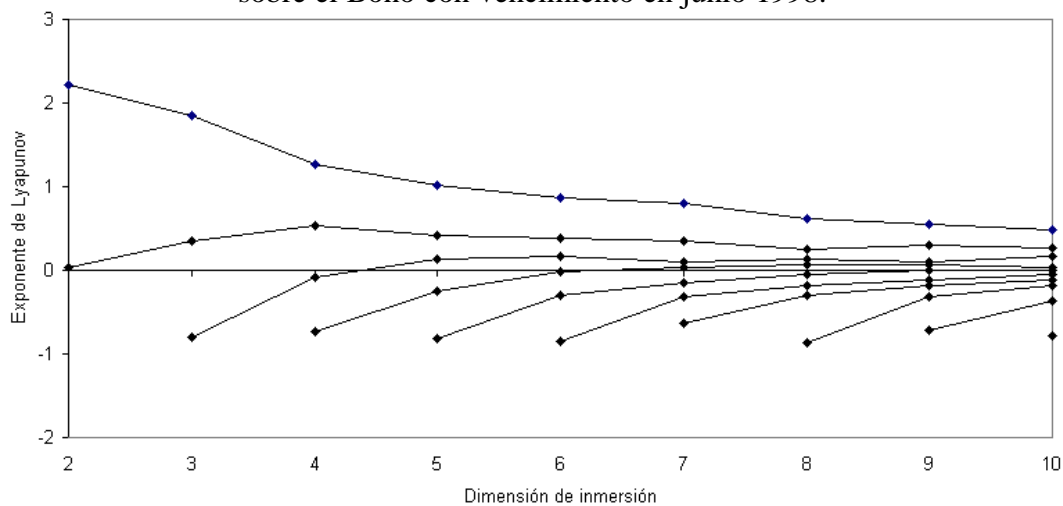


Figura A.374: Exponentes de Lyapunov de la serie de duraciones del contrato de Futuro sobre el Bono con vencimiento en septiembre 1998.

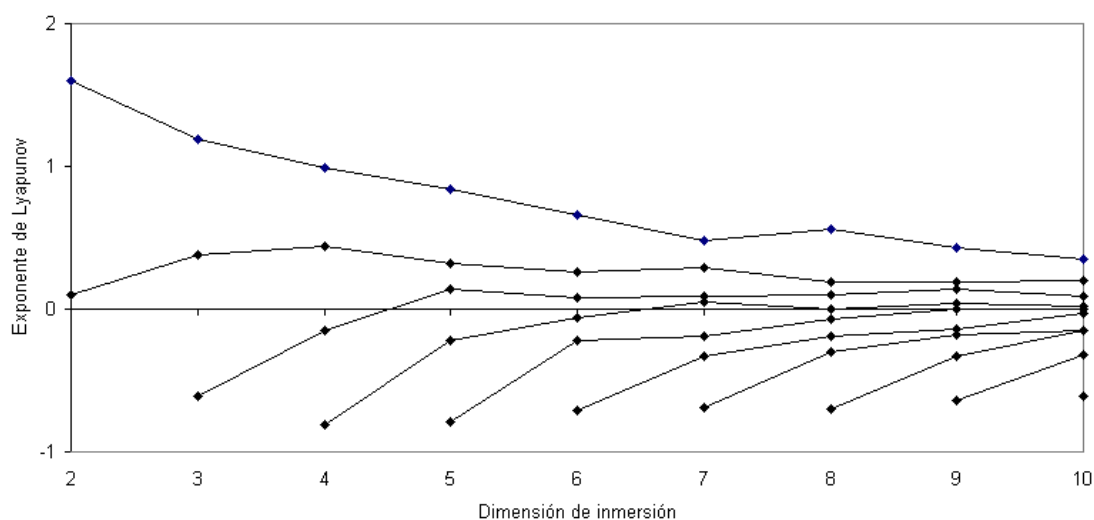


Figura A.375: Exponentes de Lyapunov de la serie de duraciones del contrato de Futuro sobre el Bono con vencimiento en diciembre 1998.

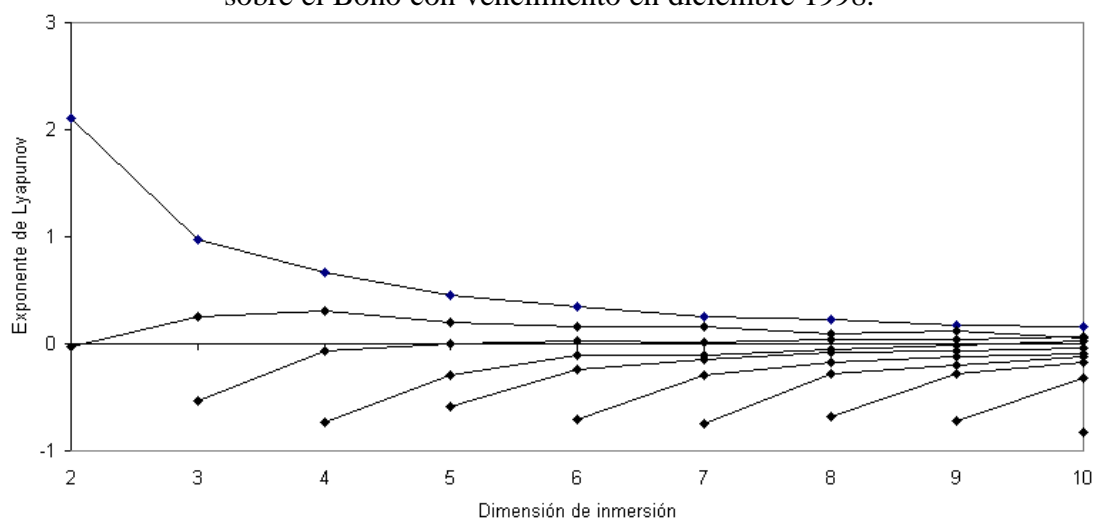


Figura A.376: Exponentes de Lyapunov de la serie diferenciada fraccionalmente de las duraciones del contrato de Futuro sobre el Bono con vencimiento en marzo 1998.

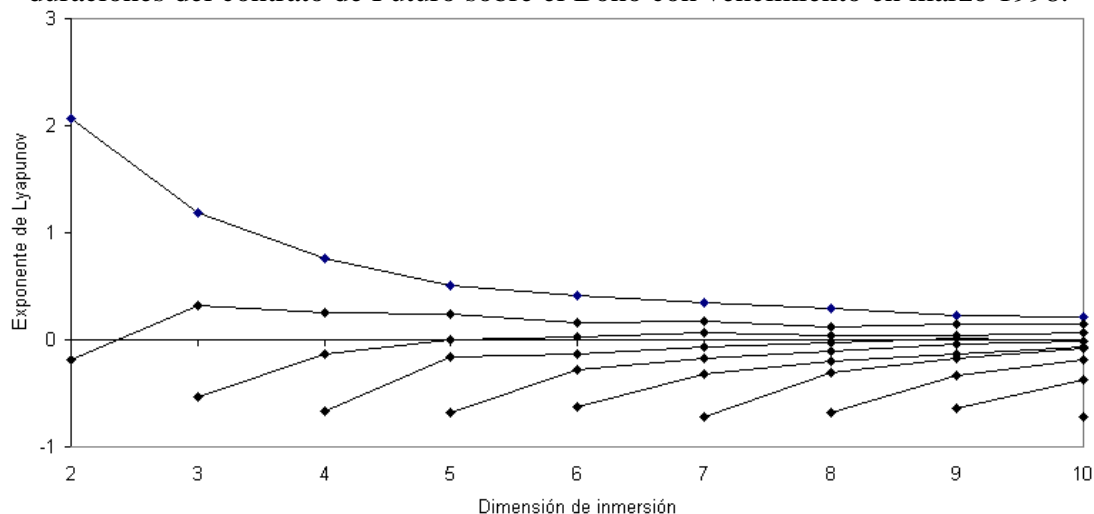


Figura A.377: Exponentes de Lyapunov de la serie diferenciada fraccionalmente de las duraciones del contrato de Futuro sobre el Bono con vencimiento en junio 1998.

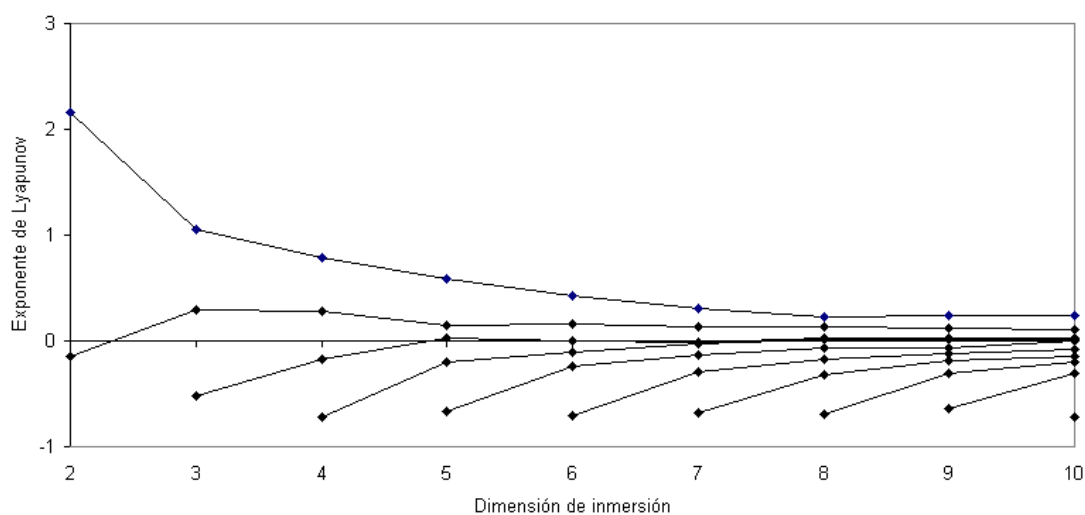


Figura A.378: Exponentes de Lyapunov de la serie diferenciada fraccionalmente de las duraciones del contrato de Futuro sobre el Bono con vencimiento en septiembre 1998.

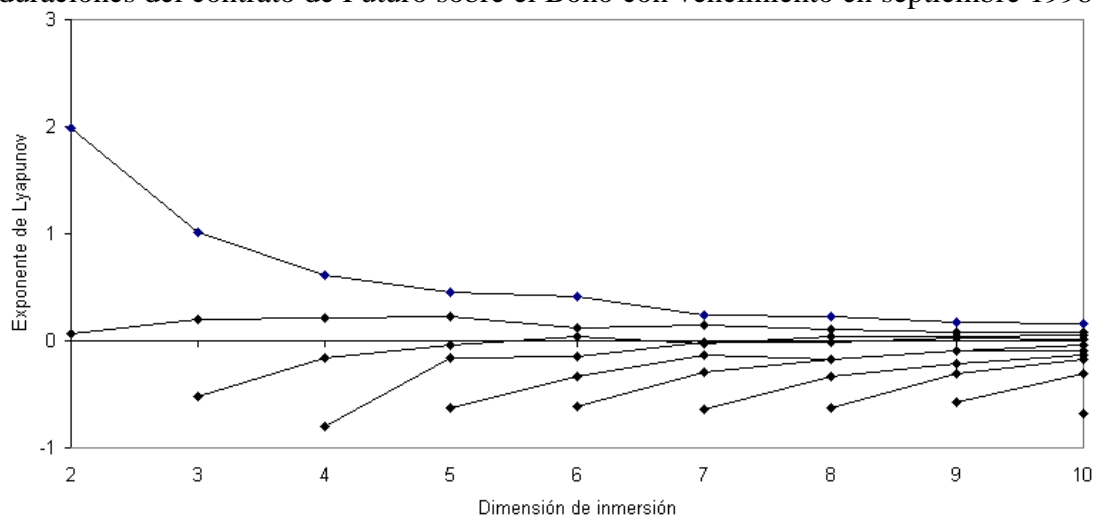


Figura A.379: Exponentes de Lyapunov de la serie diferenciada fraccionalmente de las duraciones del contrato de Futuro sobre el Bono con vencimiento en diciembre 1998.

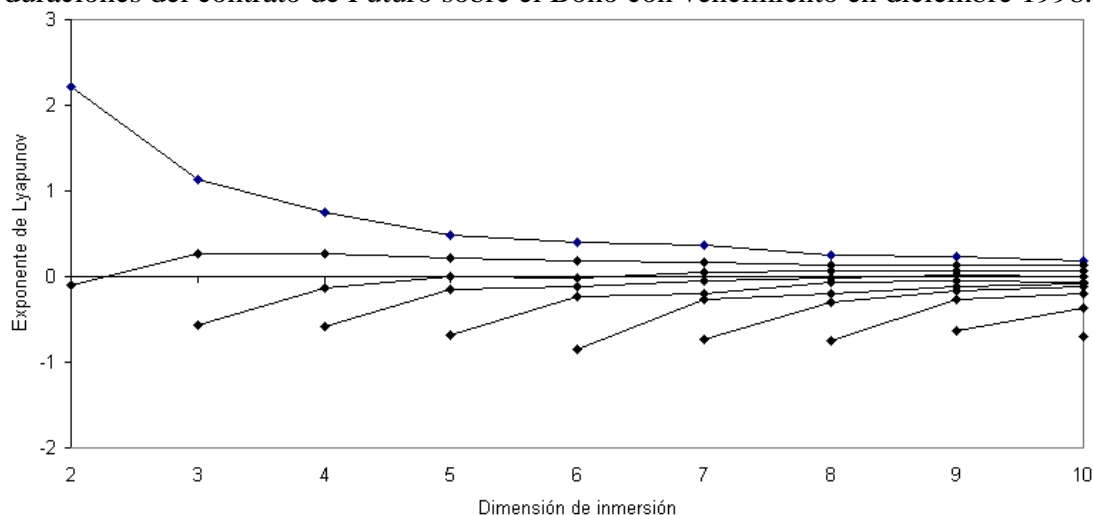


Figura A.380: Exponentes de Lyapunov de la serie de residuos del modelo ARFIMA sobre las duraciones del contrato de Futuro sobre el Bono con vencimiento en marzo 1998.

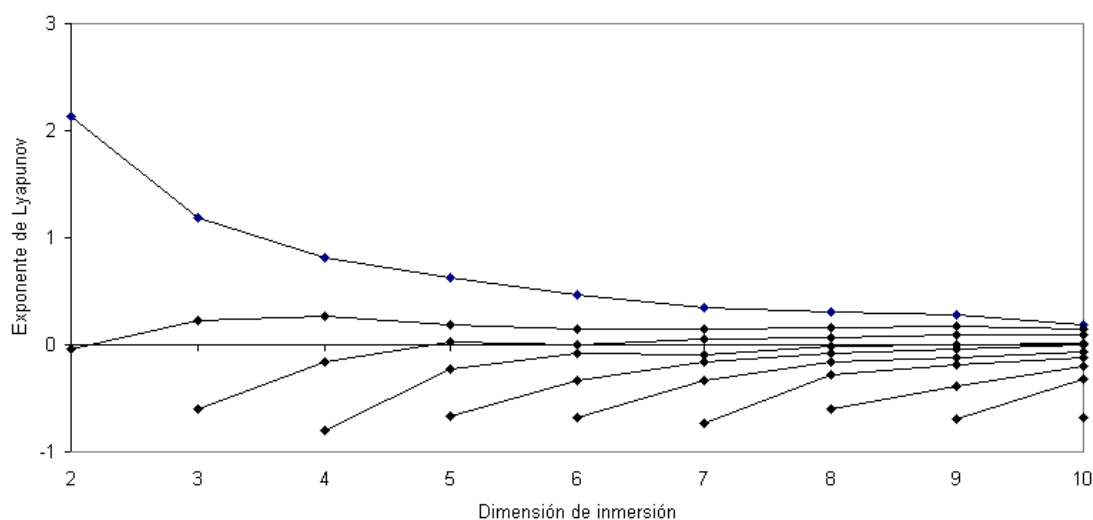


Figura A.381: Exponentes de Lyapunov de la serie de residuos del modelo ARFIMA sobre las duraciones del contrato de Futuro sobre el Bono con vencimiento en junio 1998.

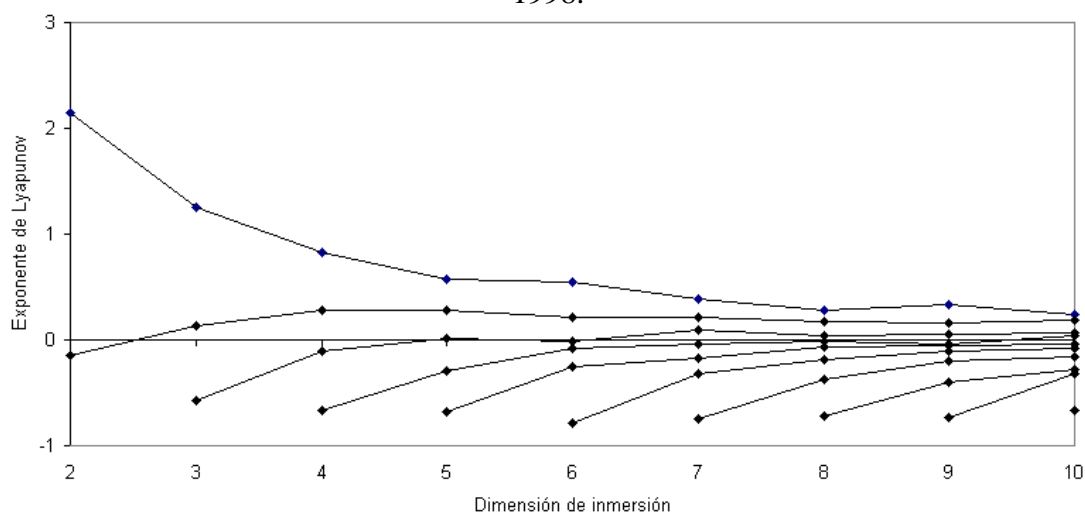


Figura A.382: Exponentes de Lyapunov de la serie de residuos del modelo ARFIMA sobre las duraciones del contrato de Futuro sobre el Bono con vencimiento en septiembre 1998.

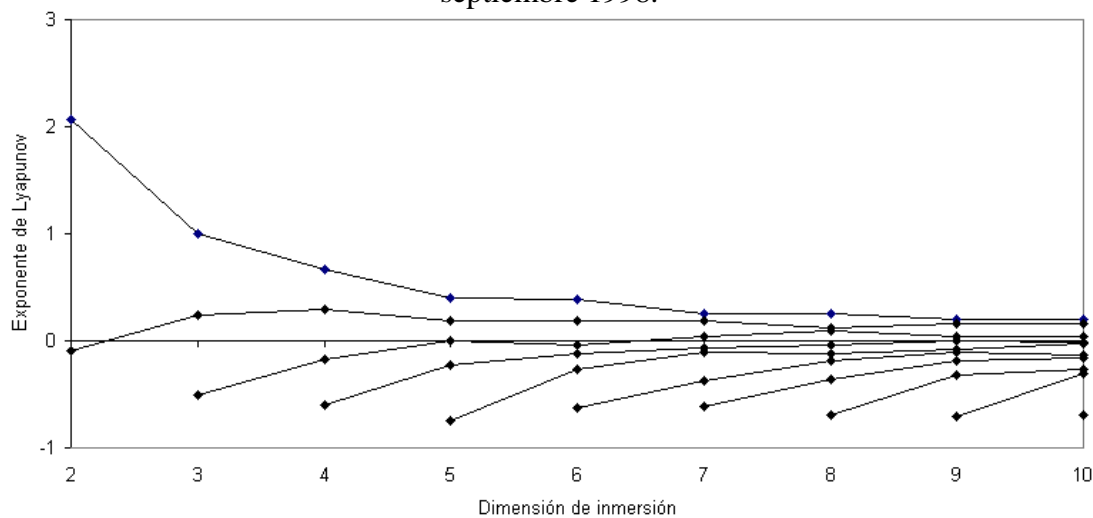


Figura A.383: Exponentes de Lyapunov de la serie de residuos del modelo ARFIMA sobre las duraciones del contrato de Futuro sobre el Bono con vencimiento en diciembre 1998.

ENTROPÍA DE KOLGOMOROV

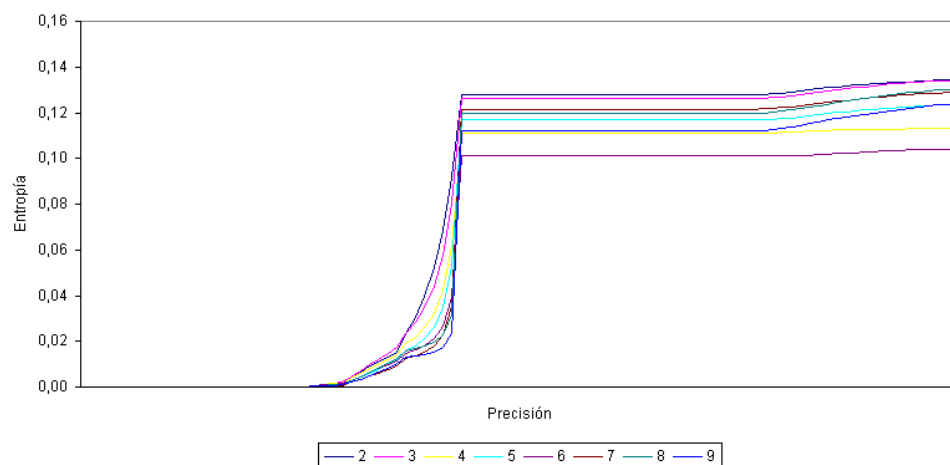


Figura A.384: Entropía de Kolmogorov de la serie de rendimientos del contrato de Futuro sobre el Bono Nocional a 10 años con vencimiento en marzo 98 y frecuencia de operación a operación, en función de la dimensión de inmersión y de la precisión.

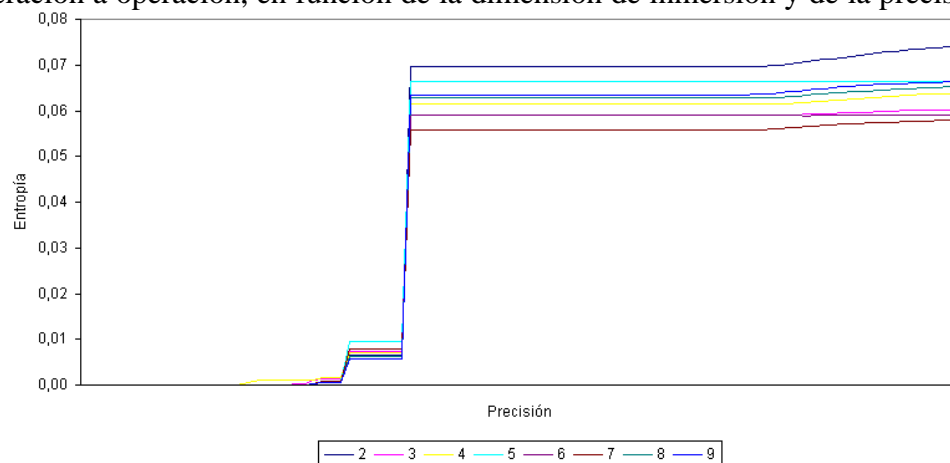


Figura A.385: Entropía de Kolmogorov de la serie de rendimientos del contrato de Futuro sobre el Bono Nocional a 10 años con vencimiento en junio 98 y frecuencia de operación a operación, en función de la dimensión de inmersión y de la precisión.

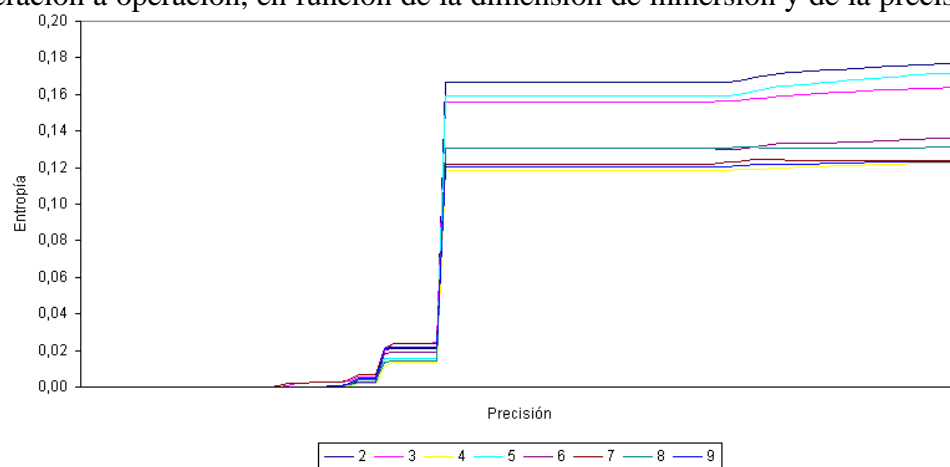


Figura A.386: Entropía de Kolmogorov de la serie de rendimientos del contrato de Futuro sobre el Bono Nocional a 10 años con vencimiento en septiembre 98 y frecuencia de operación a operación, en función de la dimensión de inmersión y de la precisión.

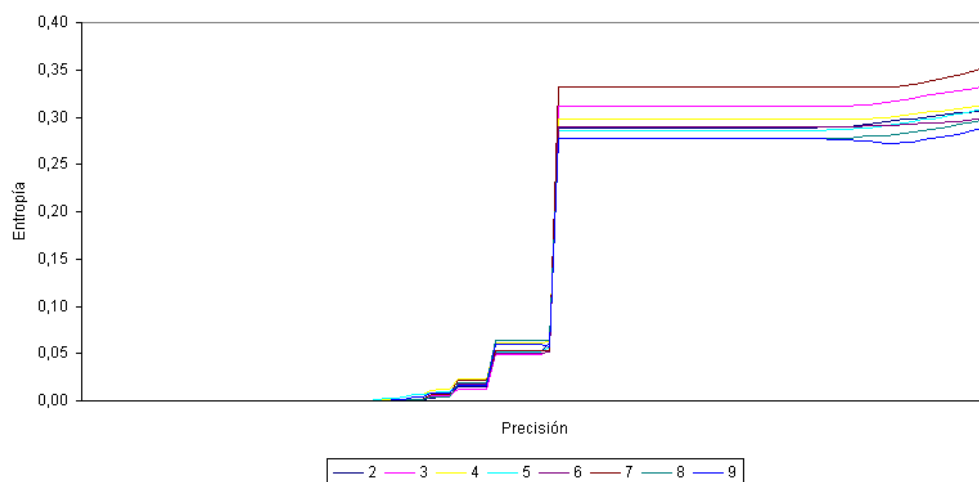


Figura A.387: Entropía de Kolmogorov de la serie de rendimientos del contrato de Futuro sobre el Bono Nocional a 10 años con vencimiento en diciembre 98 y frecuencia de operación a operación, en función de la dimensión de inmersión y de la precisión.

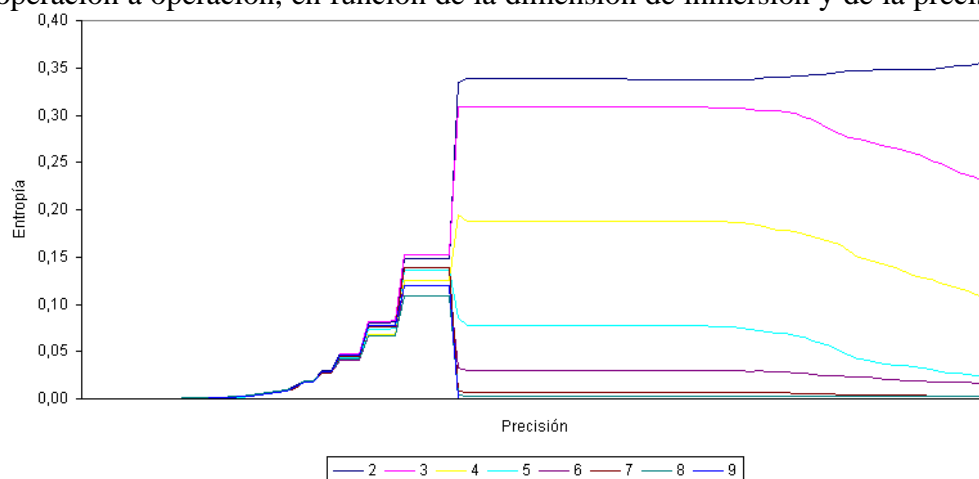


Figura A.388: Entropía de Kolmogorov de la serie de rendimientos del contrato de Futuro sobre el Bono Nocional a 10 años con vencimiento en marzo 98 y frecuencia de cinco minutos, en función de la dimensión de inmersión y de la precisión.

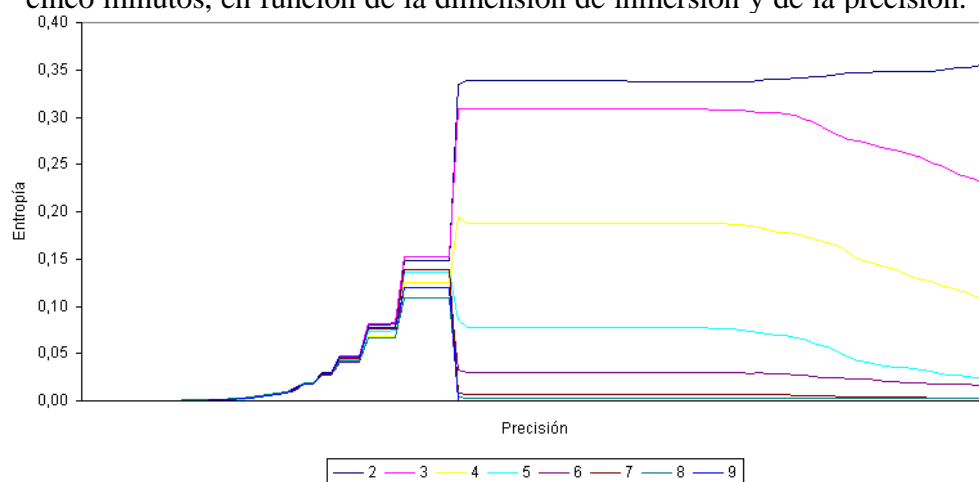


Figura A.389: Entropía de Kolmogorov de la serie de rendimientos del contrato de Futuro sobre el Bono Nocional a 10 años con vencimiento en junio 98 y frecuencia de cinco minutos, en función de la dimensión de inmersión y de la precisión.

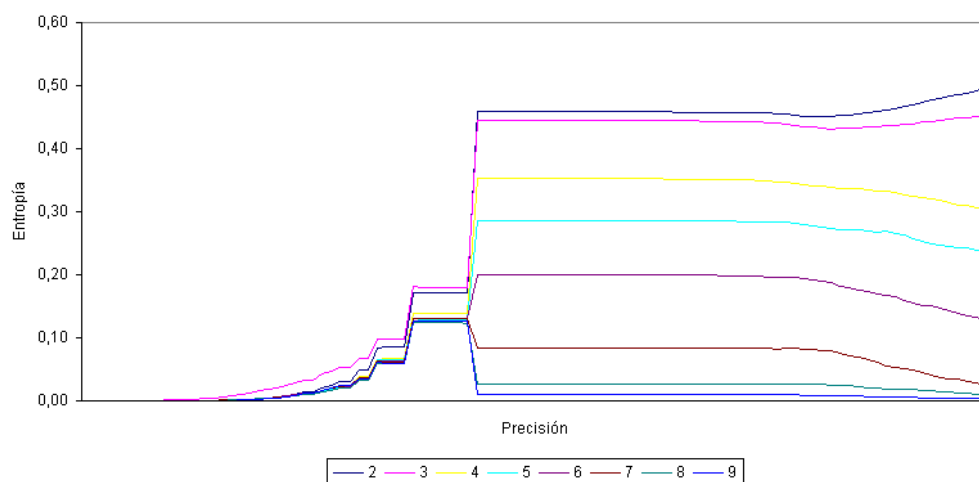


Figura A.390: Entropía de Kolmogorov de la serie de rendimientos del contrato de Futuro sobre el Bono Nocional a 10 años con vencimiento en septiembre 98 y frecuencia de cinco minutos, en función de la dimensión de inmersión y de la precisión.

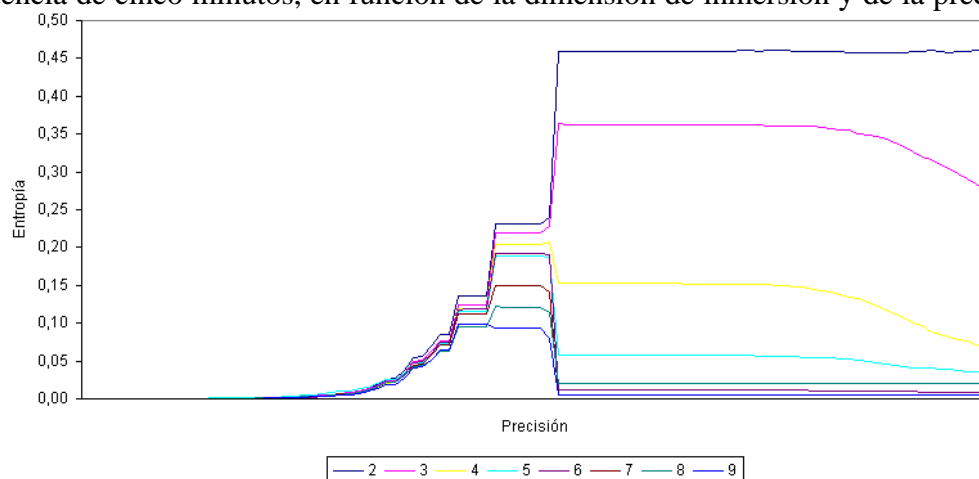


Figura A.391: Entropía de Kolmogorov de la serie de rendimientos del contrato de Futuro sobre el Bono Nocional a 10 años con vencimiento en diciembre 98 y frecuencia de cinco minutos, en función de la dimensión de inmersión y de la precisión.

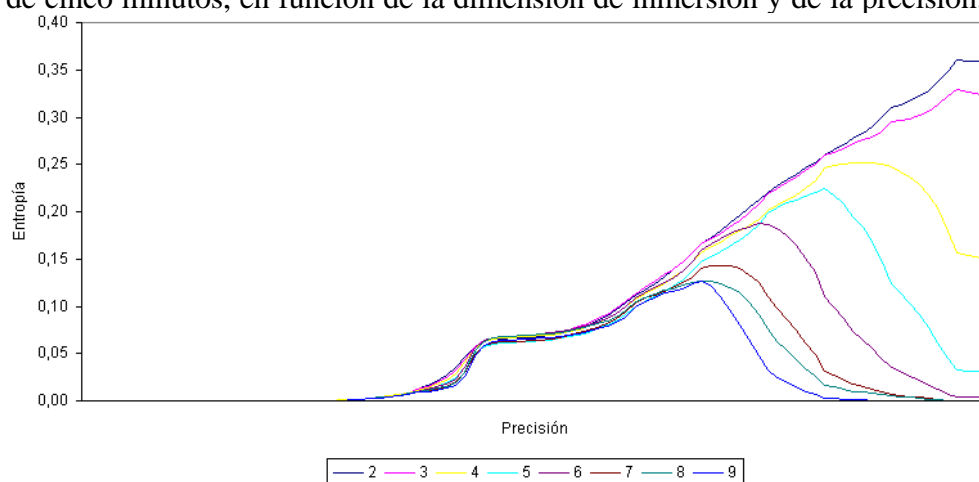


Figura A.392: Entropía de Kolmogorov de la serie de residuos del modelo ARIMA sobre los rendimientos del contrato de Futuro sobre el Bono Nocional a 10 años con vencimiento en marzo 98 y frecuencia de operación a operación, en función de la dimensión de inmersión y de la precisión.

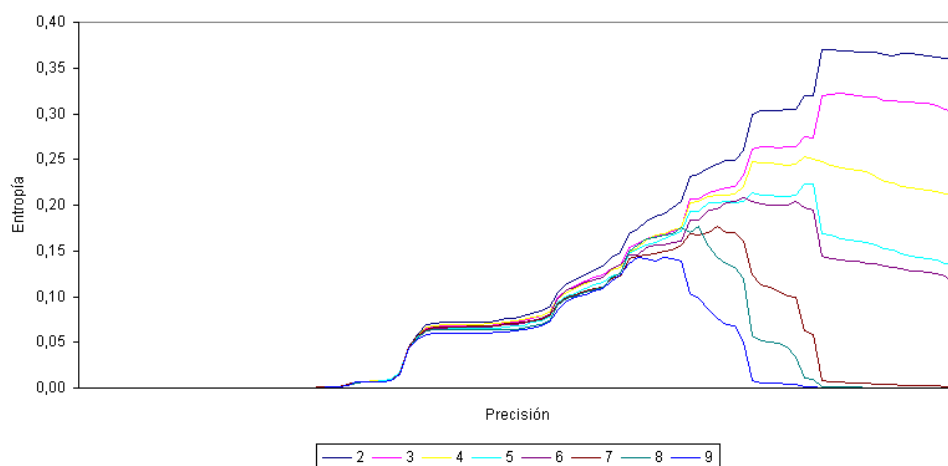


Figura A.393: Entropía de Kolmogorov de la serie de residuos del modelo ARIMA sobre los rendimientos del contrato de Futuro sobre el Bono Nocional a 10 años con vencimiento en junio 98 y frecuencia de operación a operación, en función de la dimensión de inmersión y de la precisión.

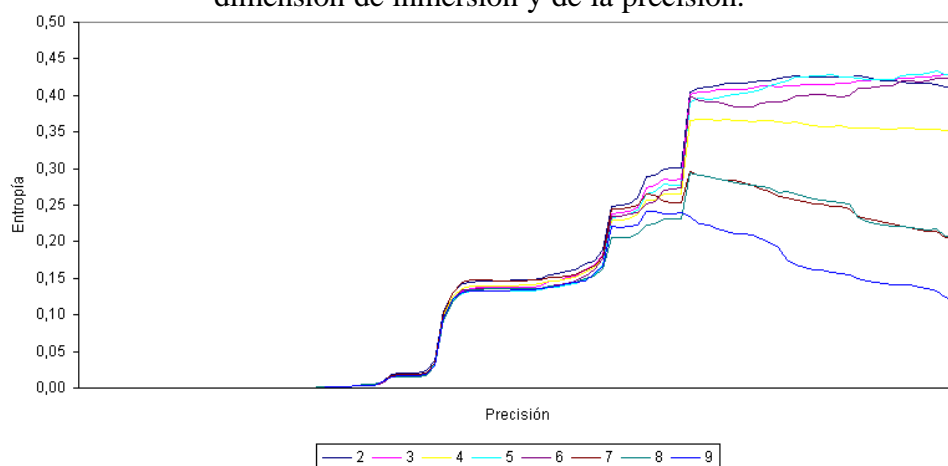


Figura A.394: Entropía de Kolmogorov de la serie de residuos del modelo ARIMA sobre los rendimientos del contrato de Futuro sobre el Bono Nocional a 10 años con vencimiento en septiembre 98 y frecuencia de operación a operación, en función de la dimensión de inmersión y de la precisión.

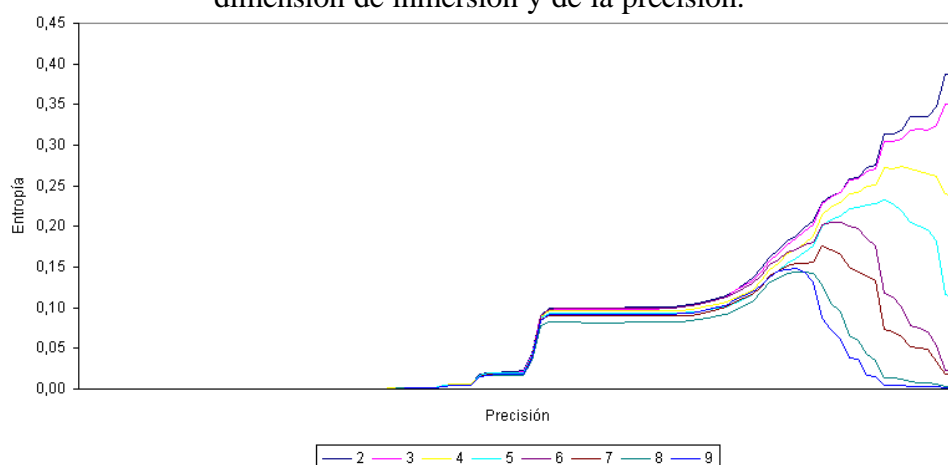


Figura A.395: Entropía de Kolmogorov de la serie de residuos del modelo ARIMA sobre los rendimientos del contrato de Futuro sobre el Bono Nocional a 10 años con vencimiento en diciembre 98 y frecuencia de operación a operación, en función de la dimensión de inmersión y de la precisión.

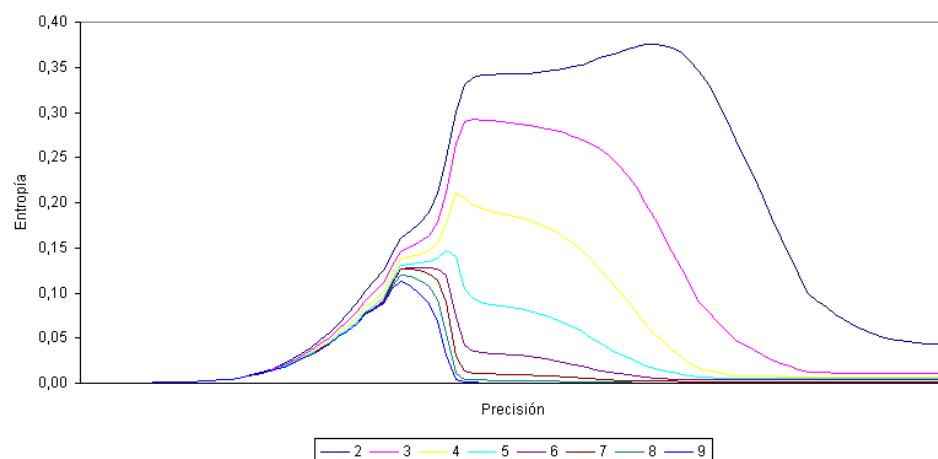


Figura A.396: Entropía de Kolmogorov de la serie de residuos del modelo ARIMA sobre los rendimientos del contrato de Futuro sobre el Bono Nocional a 10 años con vencimiento en marzo 98 y frecuencia de cinco minutos, en función de la dimensión de inmersión y de la precisión.

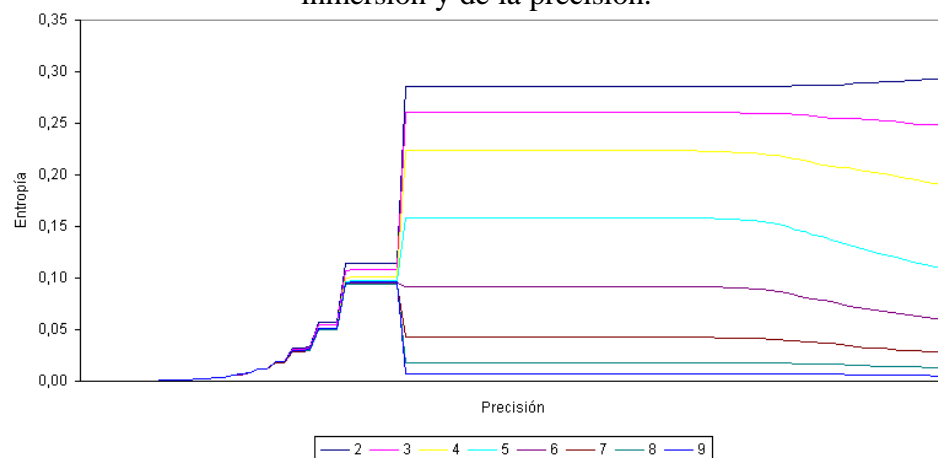


Figura A.397: Entropía de Kolmogorov de la serie de residuos del modelo ARIMA sobre los rendimientos del contrato de Futuro sobre el Bono Nocional a 10 años con vencimiento en marzo 98 y frecuencia de cinco minutos, en función de la dimensión de inmersión y de la precisión.

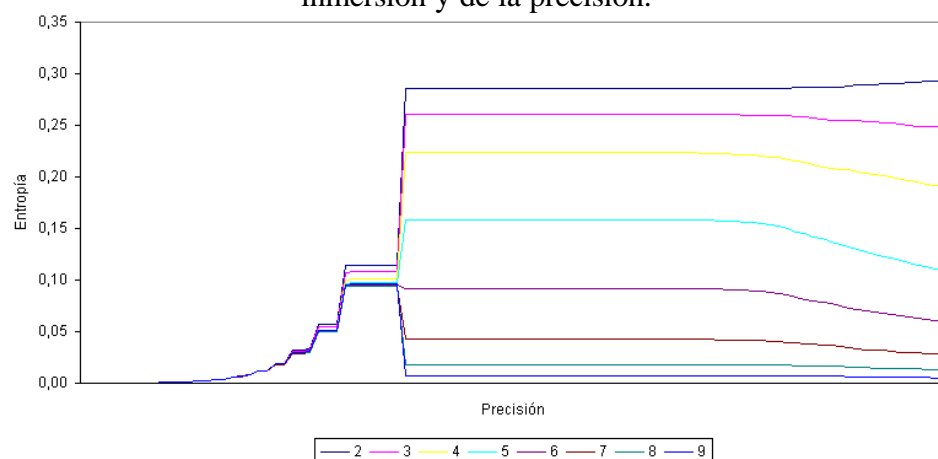


Figura A.398: Entropía de Kolmogorov de la serie de residuos del modelo ARIMA sobre los rendimientos del contrato de Futuro sobre el Bono Nocional a 10 años con vencimiento en junio 98 y frecuencia de cinco minutos, en función de la dimensión de inmersión y de la precisión.

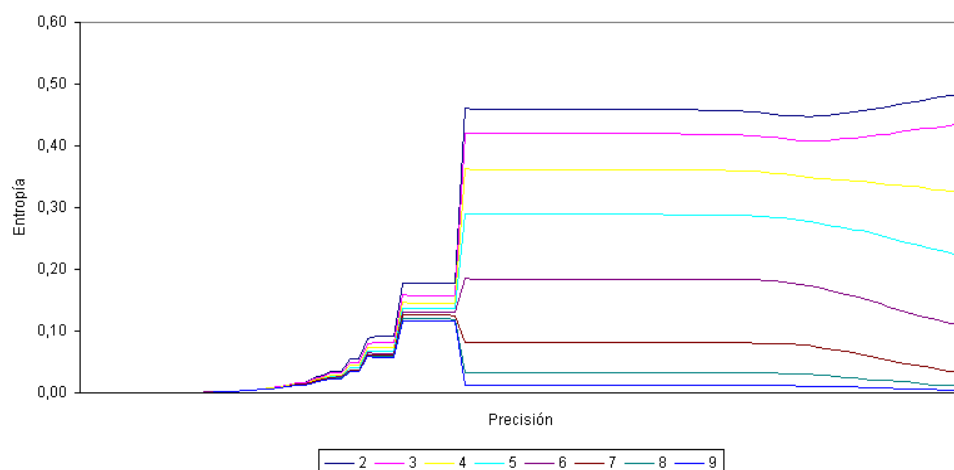


Figura A.399: Entropía de Kolmogorov de la serie de residuos del modelo ARIMA sobre los rendimientos del contrato de Futuro sobre el Bono Nocional a 10 años con vencimiento en septiembre 98 y frecuencia de cinco minutos, en función de la dimensión de inmersión y de la precisión.

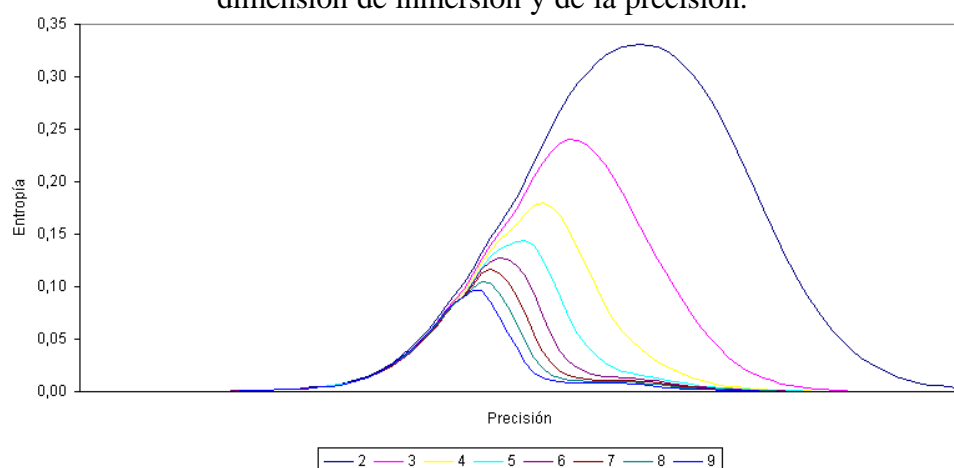


Figura A.400: Entropía de Kolmogorov de la serie de residuos del modelo ARIMA sobre los rendimientos del contrato de Futuro sobre el Bono Nocional a 10 años con vencimiento en diciembre 98 y frecuencia de cinco minutos, en función de la dimensión de inmersión y de la precisión.

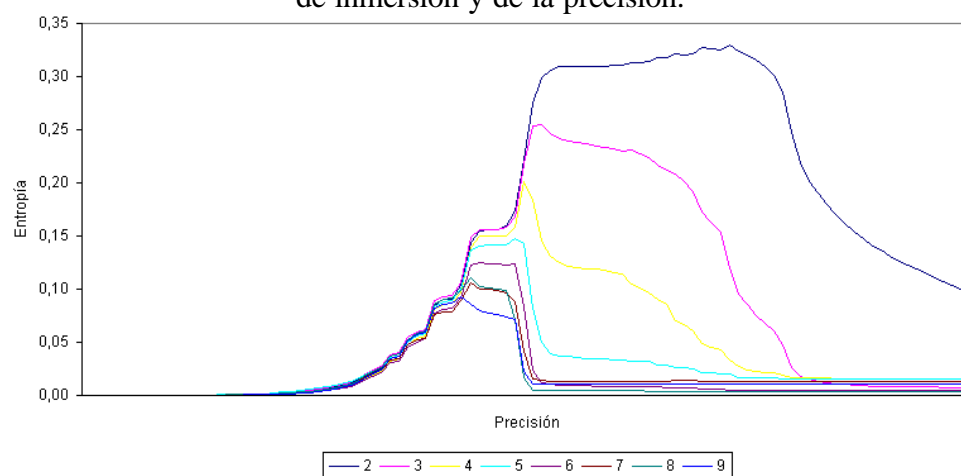


Figura A.401: Entropía de Kolmogorov de la serie de residuos del modelo ARIMA con intervención sobre los rendimientos del contrato de Futuro sobre el Bono Nocional a 10 años con vencimiento en diciembre 98 y frecuencia de cinco minutos, en función de la dimensión de inmersión y de la precisión.

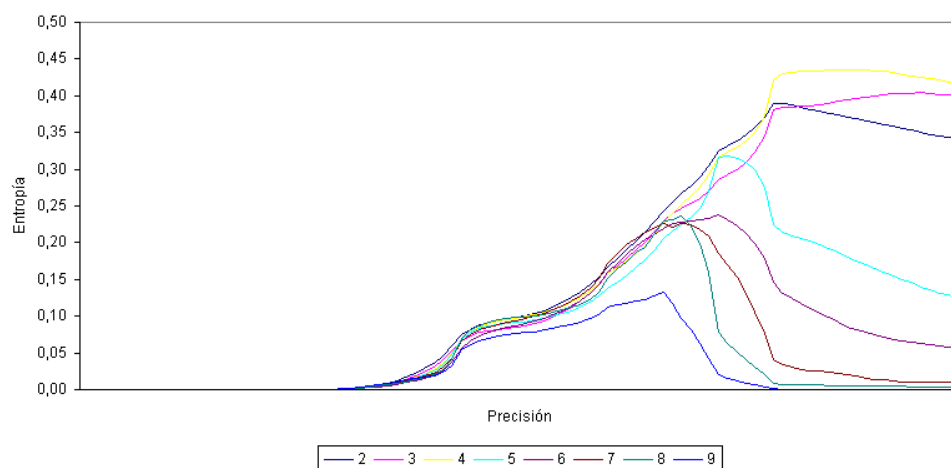


Figura A.402: Entropía de Kolmogorov de la serie de residuos del modelo GARCH-M sobre los rendimientos del contrato de Futuro sobre el Bono Nocional a 10 años con vencimiento en marzo 98 y frecuencia de operación a operación, en función de la dimensión de inmersión y de la precisión.

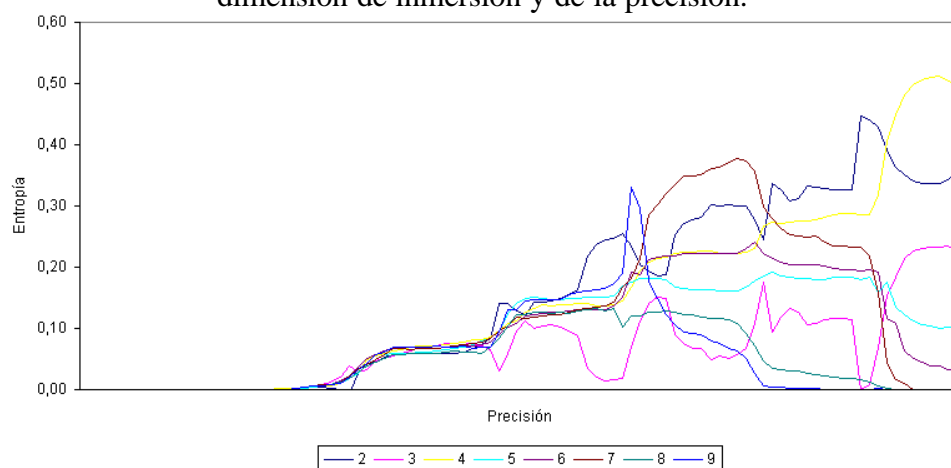


Figura A.403: Entropía de Kolmogorov de la serie de residuos del modelo GARCH-M sobre los rendimientos del contrato de Futuro sobre el Bono Nocional a 10 años con vencimiento en junio 98 y frecuencia de operación a operación, en función de la dimensión de inmersión y de la precisión.

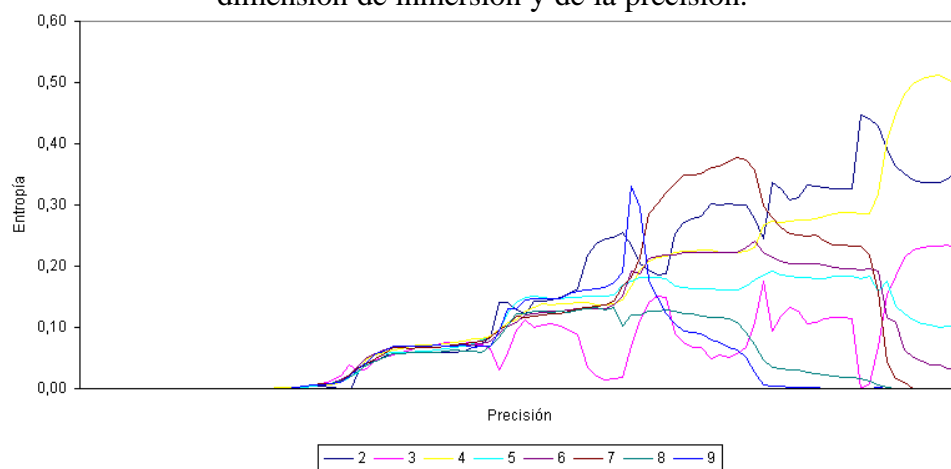


Figura A.404: Entropía de Kolmogorov de la serie de residuos del modelo GARCH-M sobre los rendimientos del contrato de Futuro sobre el Bono Nocional a 10 años con vencimiento en septiembre 98 y frecuencia de operación a operación, en función de la dimensión de inmersión y de la precisión.

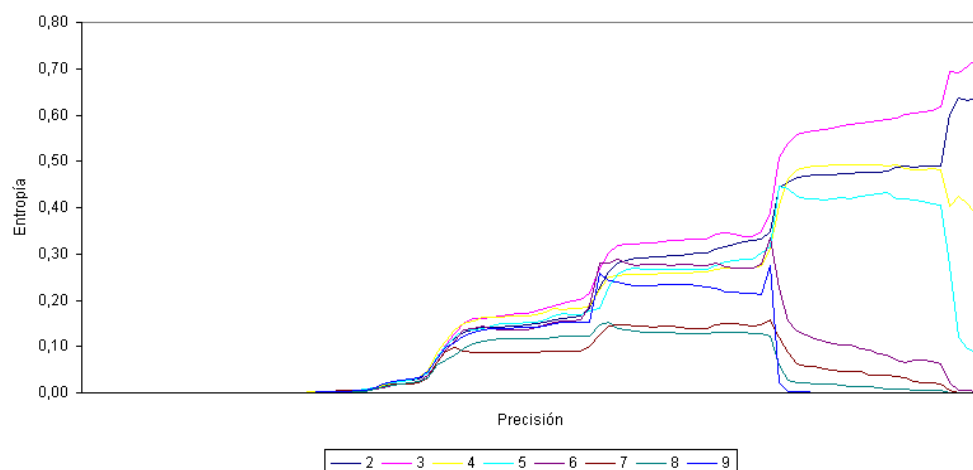


Figura A.405: Entropía de Kolmogorov de la serie de residuos del modelo GARCH-M sobre los rendimientos del contrato de Futuro sobre el Bono Nocional a 10 años con vencimiento en diciembre 98 y frecuencia de operación a operación, en función de la dimensión de inmersión y de la precisión.

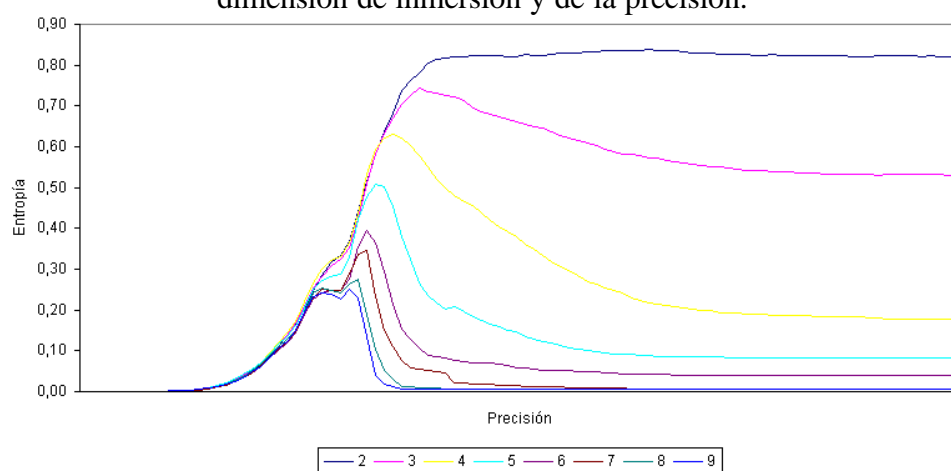


Figura A.406: Entropía de Kolmogorov de la serie de residuos del modelo GARCH sobre los rendimientos del contrato de Futuro sobre el Bono Nocional a 10 años con vencimiento en marzo 98 y frecuencia de cinco minutos, en función de la dimensión de inmersión y de la precisión.

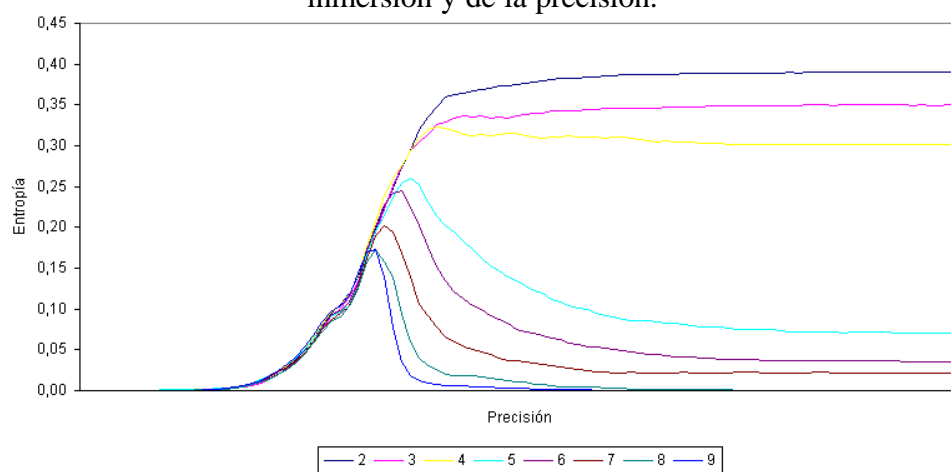


Figura A.407: Entropía de Kolmogorov de la serie de residuos del modelo GARCH sobre los rendimientos del contrato de Futuro sobre el Bono Nocional a 10 años con vencimiento en junio 98 y frecuencia de cinco minutos, en función de la dimensión de inmersión y de la precisión.

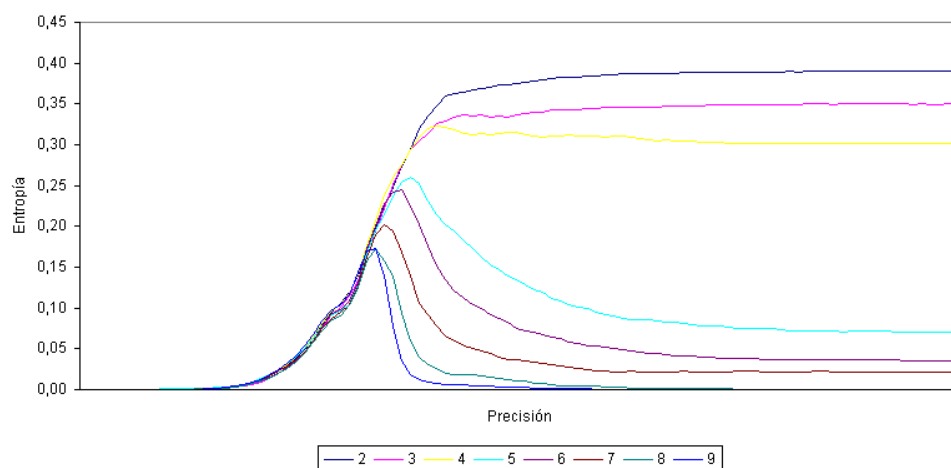


Figura A.408: Entropía de Kolmogorov de la serie de residuos del modelo GARCH sobre los rendimientos del contrato de Futuro sobre el Bono Nacional a 10 años con vencimiento en septiembre 98 y frecuencia de cinco minutos, en función de la dimensión de inmersión y de la precisión.

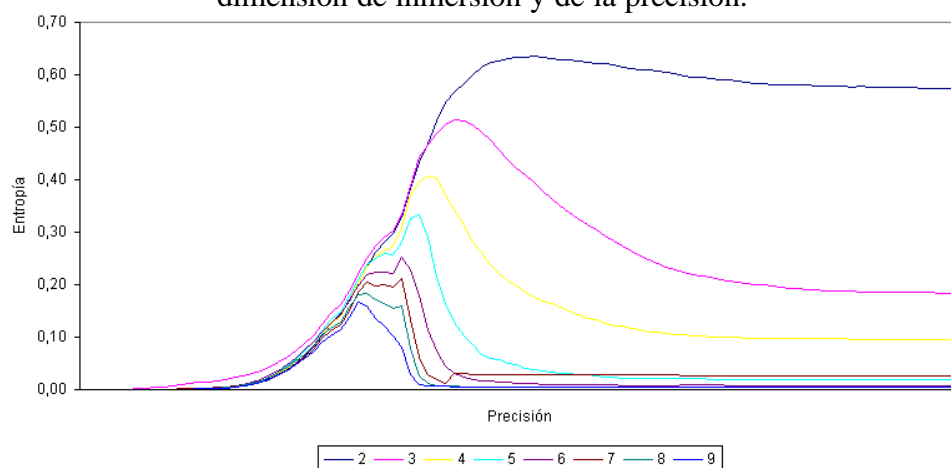


Figura A.409: Entropía de Kolmogorov de la serie de residuos del modelo GARCH-M sobre los rendimientos del contrato de Futuro sobre el Bono Nacional a 10 años con vencimiento en diciembre 98 y frecuencia de cinco minutos, en función de la dimensión de inmersión y de la precisión.

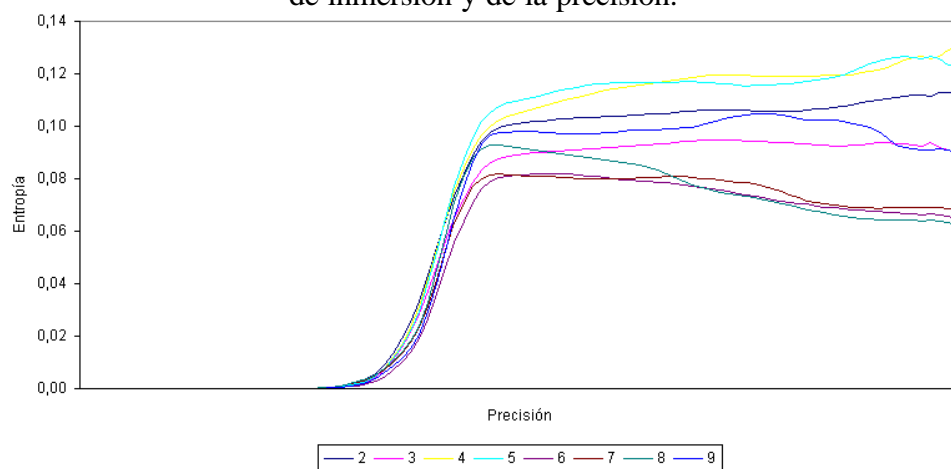


Figura A.410: Entropía de Kolmogorov de la serie de residuos del modelo EGARCH sobre los rendimientos del contrato de Futuro sobre el Bono Nacional a 10 años con vencimiento en marzo 98 y frecuencia de operación a operación, en función de la dimensión de inmersión y de la precisión.

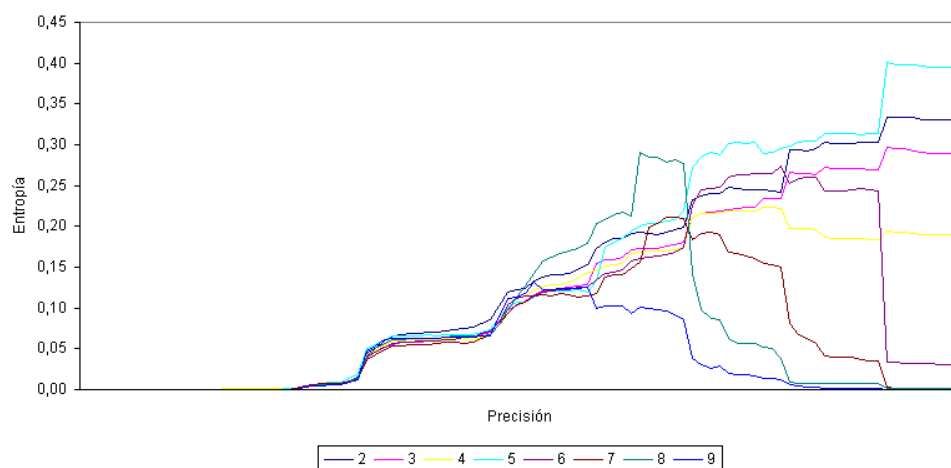


Figura A.411: Entropía de Kolmogorov de la serie de residuos del modelo EGARCH sobre los rendimientos del contrato de Futuro sobre el Bono Nacional a 10 años con vencimiento en junio 98 y frecuencia de operación a operación, en función de la dimensión de inmersión y de la precisión.

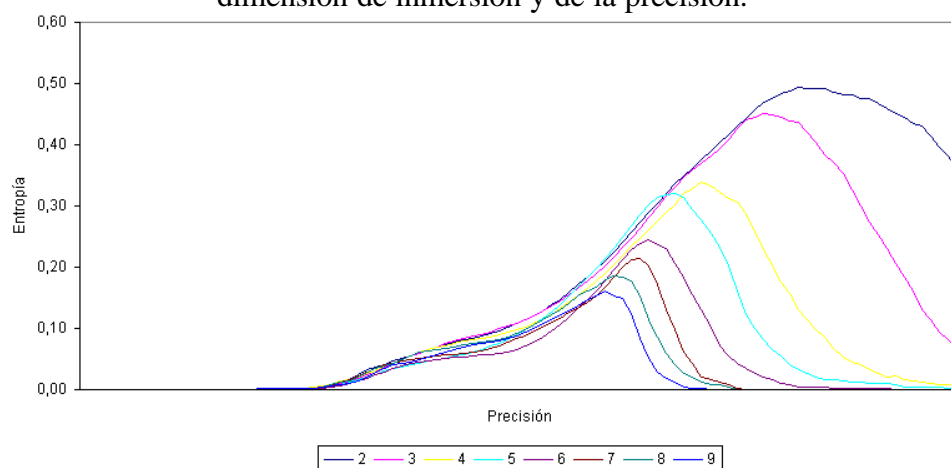


Figura A.412: Entropía de Kolmogorov de la serie de residuos del modelo EGARCH sobre los rendimientos del contrato de Futuro sobre el Bono Nacional a 10 años con vencimiento en septiembre 98 y frecuencia de operación a operación, en función de la dimensión de inmersión y de la precisión.

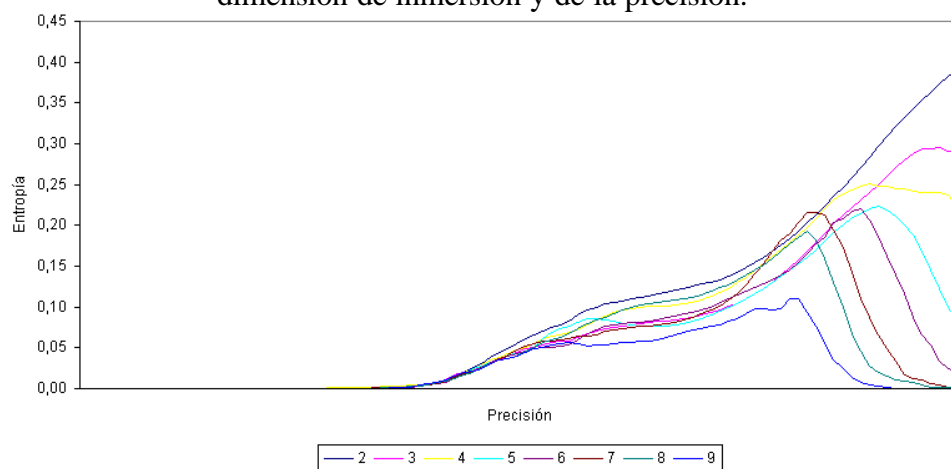


Figura A.413: Entropía de Kolmogorov de la serie de residuos del modelo EGARCH sobre los rendimientos del contrato de Futuro sobre el Bono Nacional a 10 años con vencimiento en diciembre 98 y frecuencia de operación a operación, en función de la dimensión de inmersión y de la precisión.

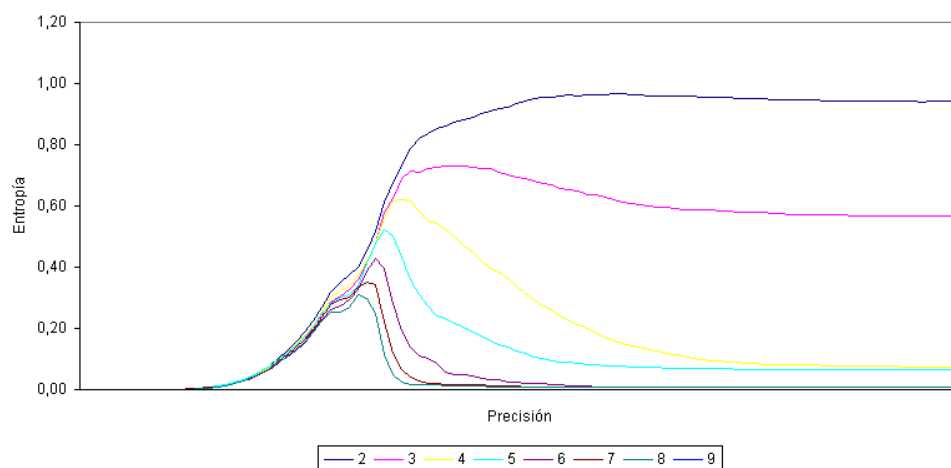


Figura A.414: Entropía de Kolmogorov de la serie de residuos del modelo EGARCH sobre los rendimientos del contrato de Futuro sobre el Bono Nacional a 10 años con vencimiento en marzo 98 y frecuencia de cinco minutos, en función de la dimensión de inmersión y de la precisión.

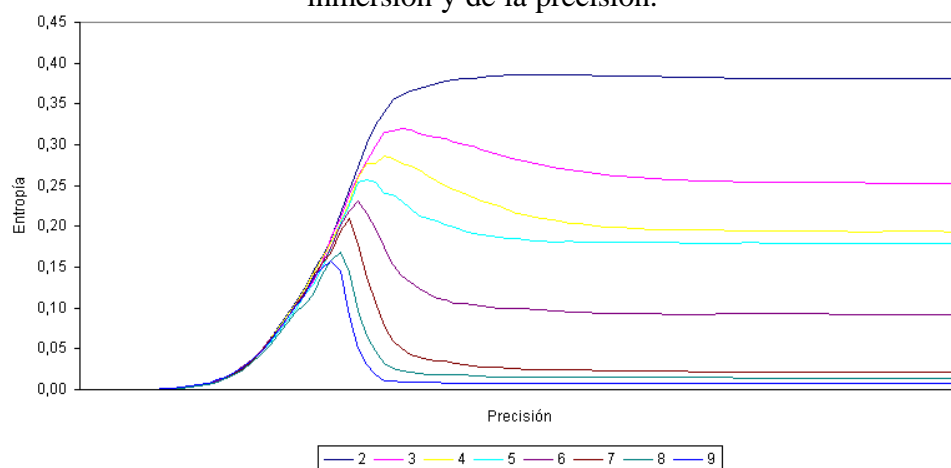


Figura A.415: Entropía de Kolmogorov de la serie de residuos del modelo EGARCH sobre los rendimientos del contrato de Futuro sobre el Bono Nacional a 10 años con vencimiento en marzo 98 y frecuencia de cinco minutos, en función de la dimensión de inmersión y de la precisión.

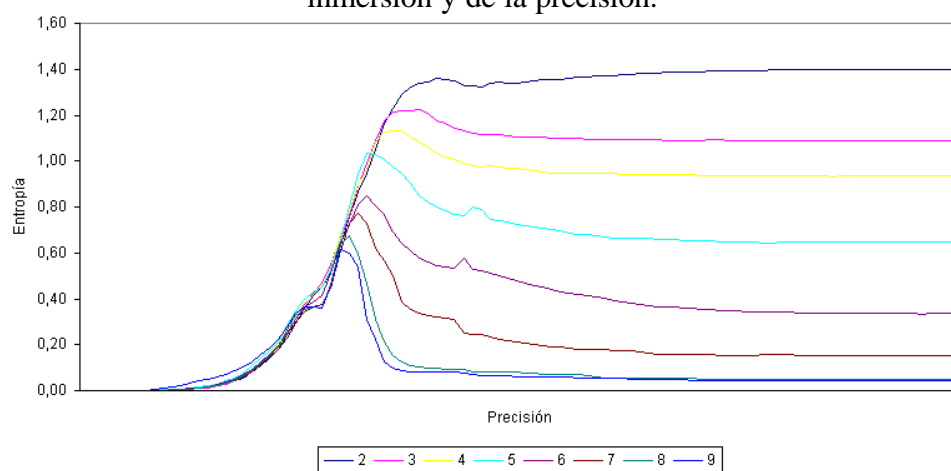


Figura A.416: Entropía de Kolmogorov de la serie de residuos del modelo EGARCH sobre los rendimientos del contrato de Futuro sobre el Bono Nacional a 10 años con vencimiento en junio 98 y frecuencia de cinco minutos, en función de la dimensión de inmersión y de la precisión.

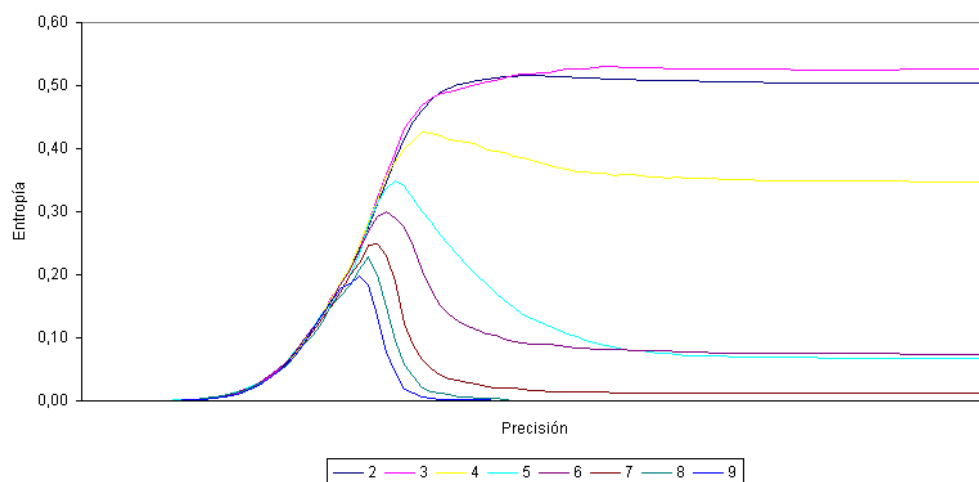


Figura A.417: Entropía de Kolmogorov de la serie de residuos del modelo EGARCH sobre los rendimientos del contrato de Futuro sobre el Bono Nocional a 10 años con vencimiento en septiembre 98 y frecuencia de cinco minutos, en función de la dimensión de inmersión y de la precisión.

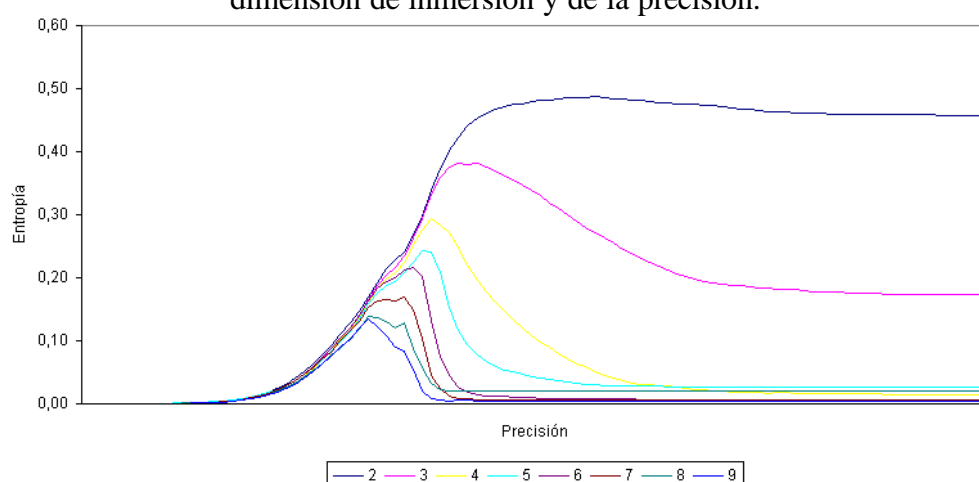


Figura A.418: Entropía de Kolmogorov de la serie de residuos del modelo EGARCH sobre los rendimientos del contrato de Futuro sobre el Bono Nocional a 10 años con vencimiento en diciembre 98 y frecuencia de cinco minutos, en función de la dimensión de inmersión y de la precisión.

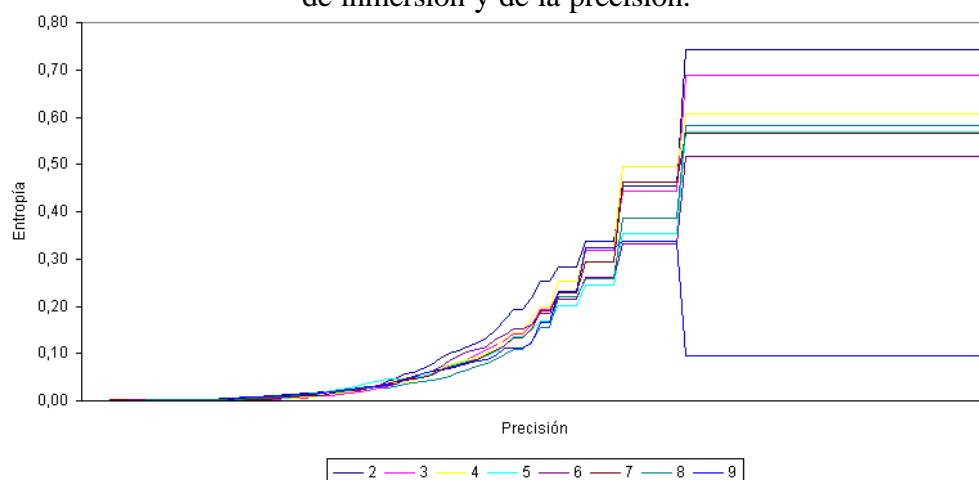


Figura A.419: Entropía de Kolmogorov de la serie de duraciones del contrato de Futuro sobre el Bono Nocional a 10 años con vencimiento en marzo 98 y frecuencia de cinco minutos, en función de la dimensión de inmersión y de la precisión.

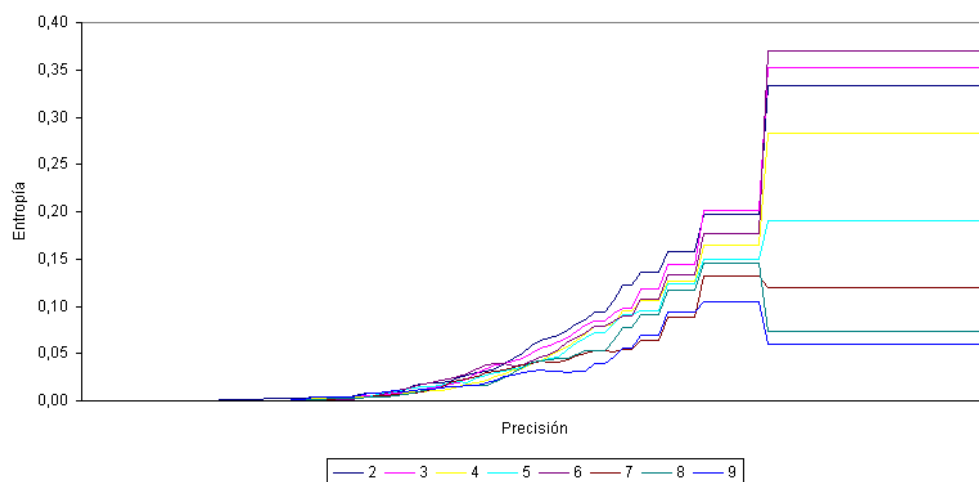


Figura A.420: Entropía de Kolmogorov de la serie de duraciones del contrato de Futuro sobre el Bono Nocional a 10 años con vencimiento en junio 98 y frecuencia de cinco minutos, en función de la dimensión de inmersión y de la precisión.

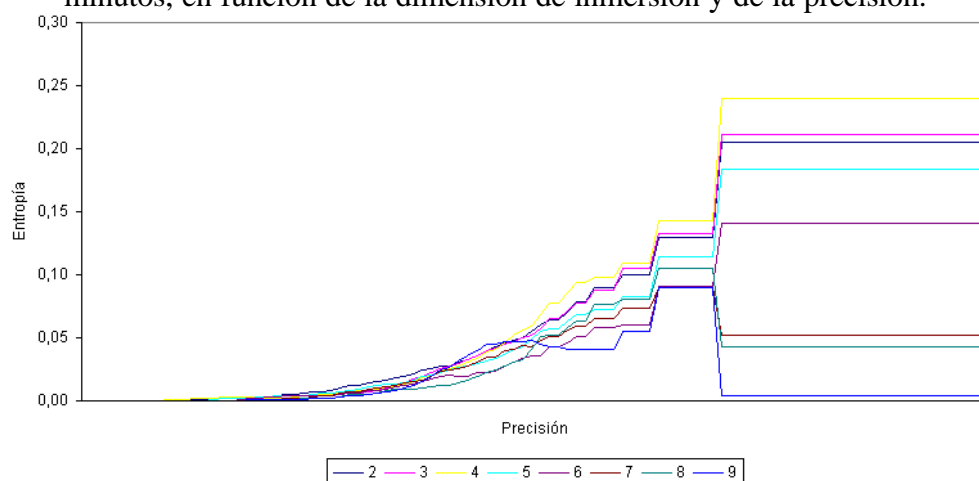


Figura A.421: Entropía de Kolmogorov de la serie de duraciones del contrato de Futuro sobre el Bono Nocional a 10 años con vencimiento en septiembre 98 y frecuencia de cinco minutos, en función de la dimensión de inmersión y de la precisión.

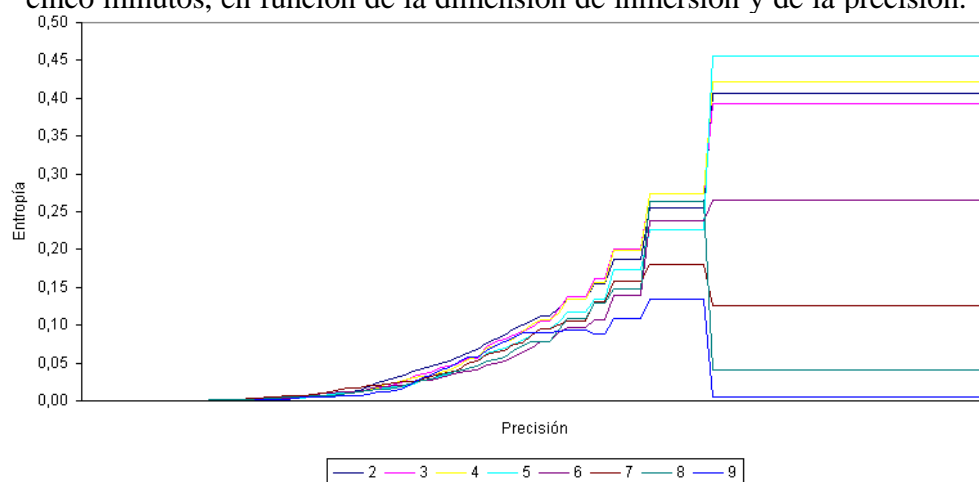


Figura A.422: Entropía de Kolmogorov de la serie de duraciones del contrato de Futuro sobre el Bono Nocional a 10 años con vencimiento en diciembre 98 y frecuencia de cinco minutos, en función de la dimensión de inmersión y de la precisión.

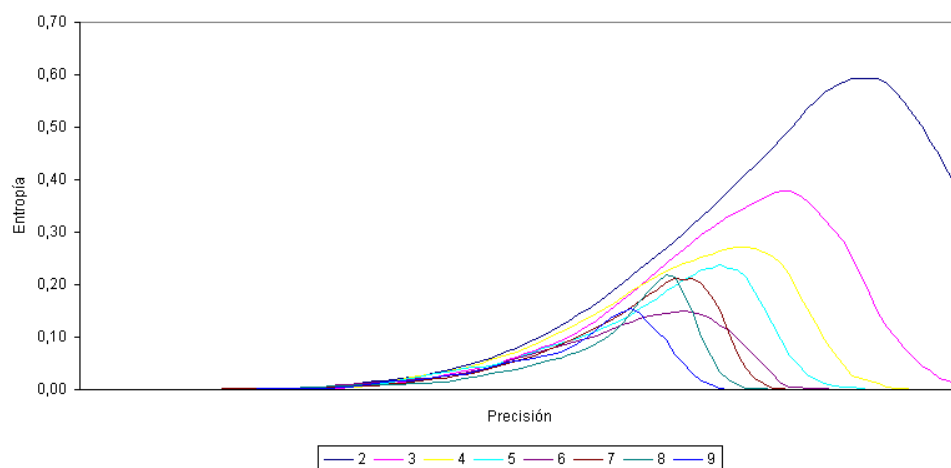


Figura A.423: Entropía de Kolmogorov de la serie de duraciones diferenciada fraccionalmente del contrato de Futuro sobre el Bono Ncional a 10 años con vencimiento en marzo 98 y frecuencia de cinco minutos, en función de la dimensión de inmersión y de la precisión.

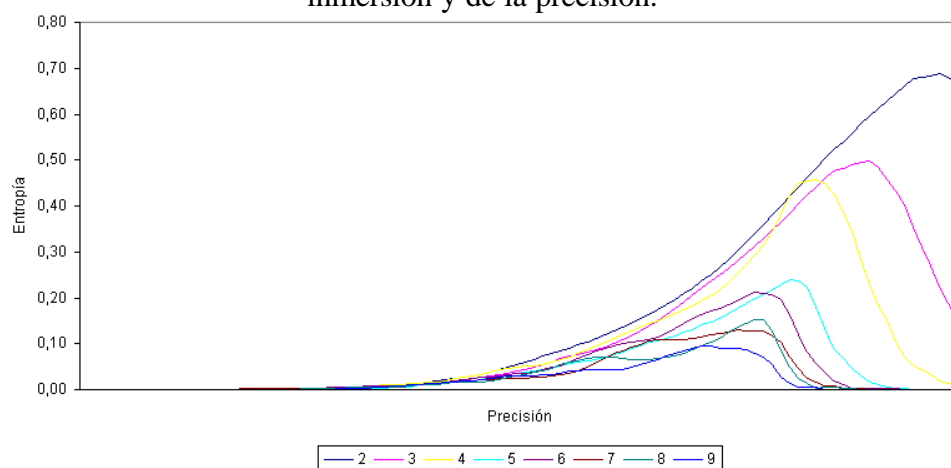


Figura A.424: Entropía de Kolmogorov de la serie de duraciones diferenciada fraccionalmente del contrato de Futuro sobre el Bono Ncional a 10 años con vencimiento en junio 98 y frecuencia de cinco minutos, en función de la dimensión de inmersión y de la precisión.

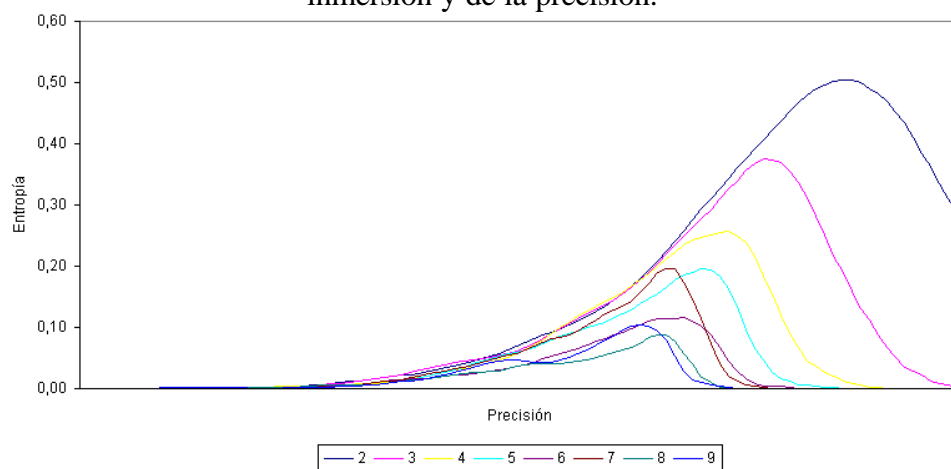


Figura A.425: Entropía de Kolmogorov de la serie de duraciones diferenciada fraccionalmente del contrato de Futuro sobre el Bono Ncional a 10 años con vencimiento en septiembre 98 y frecuencia de cinco minutos, en función de la dimensión de inmersión y de la precisión.

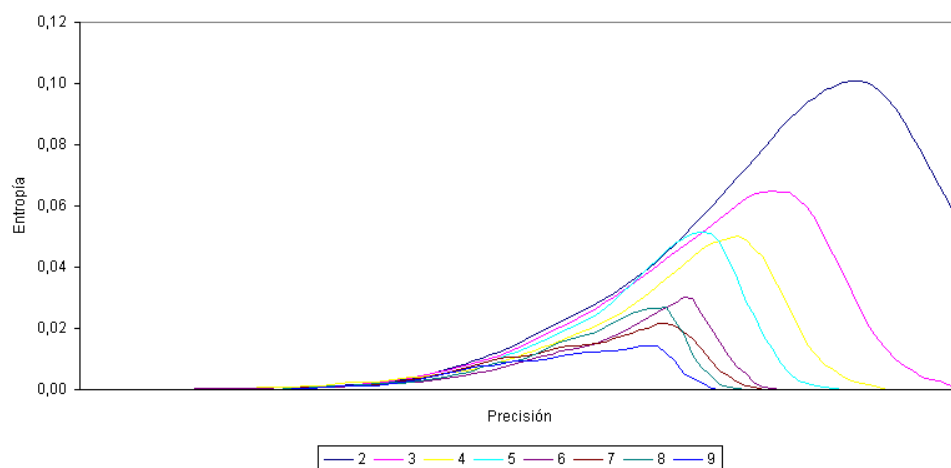


Figura A.426: Entropía de Kolmogorov de la serie de duraciones diferenciada fraccionalmente del contrato de Futuro sobre el Bono Ncional a 10 años con vencimiento en diciembre 98 y frecuencia de cinco minutos, en función de la dimensión de inmersión y de la precisión.

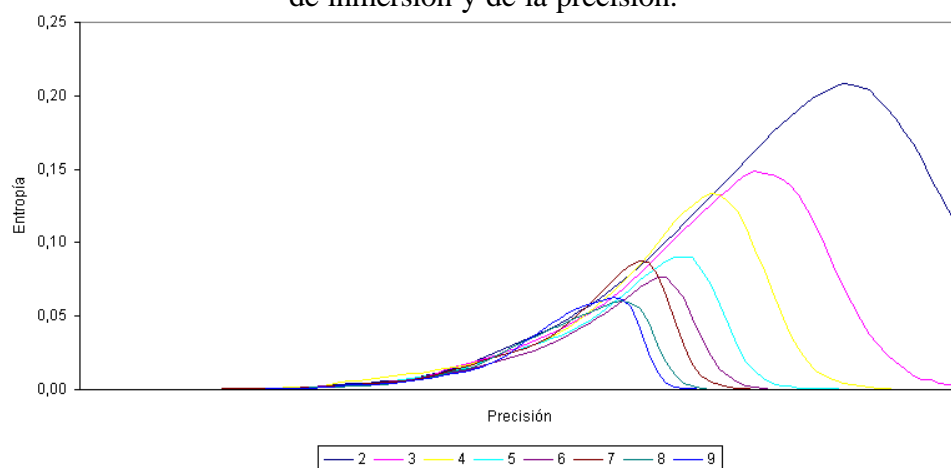


Figura A.427: Entropía de Kolmogorov de la serie de residuos del modelo ARFIMA sobre la serie de duraciones del contrato de Futuro sobre el Bono Ncional a 10 años con vencimiento en marzo 98 y frecuencia de cinco minutos, en función de la dimensión de inmersión y de la precisión.

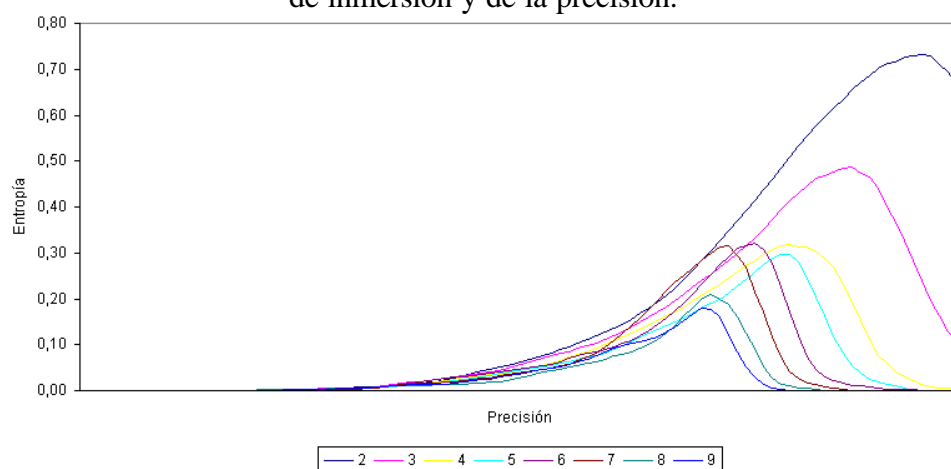


Figura A.428: Entropía de Kolmogorov de la serie de residuos del modelo ARFIMA sobre la serie de duraciones del contrato de Futuro sobre el Bono Ncional a 10 años con vencimiento en junio 98 y frecuencia de cinco minutos, en función de la dimensión de inmersión y de la precisión.

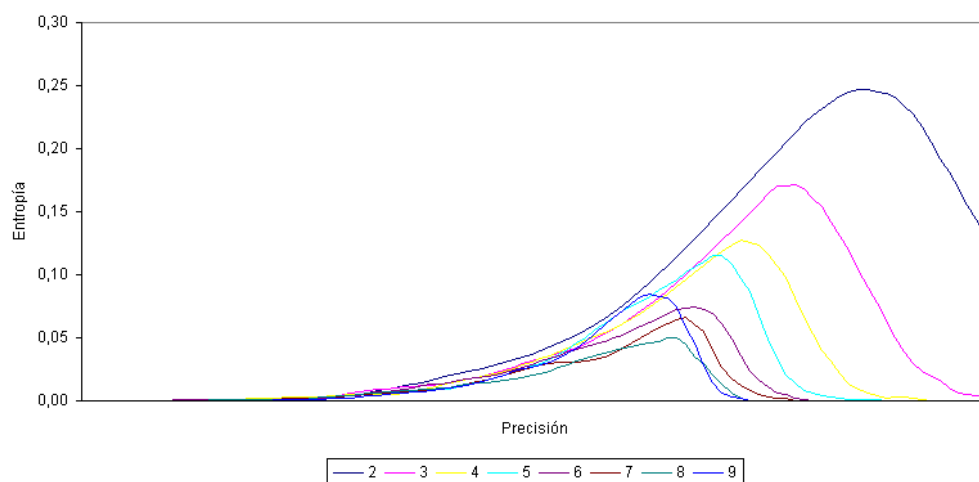


Figura A.429: Entropía de Kolmogorov de la serie de residuos del modelo ARFIMA sobre la serie de duraciones del contrato de Futuro sobre el Bono Nocional a 10 años con vencimiento en septiembre 98 y frecuencia de cinco minutos, en función de la dimensión de inmersión y de la precisión.

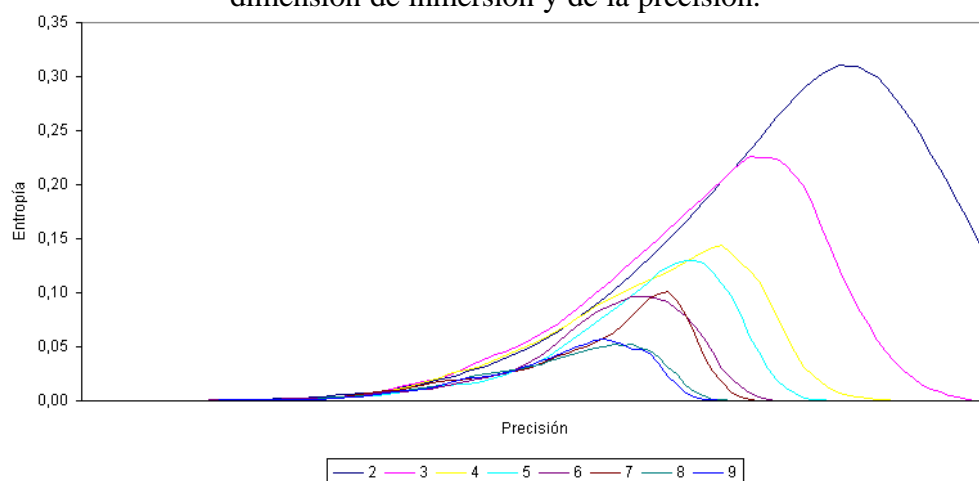


Figura A.430: Entropía de Kolmogorov de la serie de residuos del modelo ARFIMA sobre la serie de duraciones del contrato de Futuro sobre el Bono Nocional a 10 años con vencimiento en diciembre 98 y frecuencia de cinco minutos, en función de la dimensión de inmersión y de la precisión.